

**Universitatea "Politehnica" din Timișoara**

**ing. Sorin George Lemac**

**MODELAREA GEOMETRICĂ,  
CA TEHNICĂ DE CUPLARE  
A SISTEMELOR CAD-CAM  
DE CONCEPȚIE ȘI FABRICAȚIE  
A ENTITĂȚILOR GEOMETRICE**

Teză destinată obținerii  
titlului științific de doctor inginer  
în domeniul Inginerie Industrială

Conducător științific:  
Prof. univ. dr. ing. George Drăghici

2010



## CUPRINS

Notații, abrevieri, acronime.....	9
Lista de tabele.....	14
Lista de figuri.....	15
INTRODUCERE GENERALĂ.....	19
1. NOȚIUNI ȘI PRINCIPII FUNDAMENTALE.....	25
1.1. Introducere.....	25
1.2. Modelul.....	25
1.2.1. Termenul de model.....	25
1.2.2. Modelul și subiectul de modelat.....	27
1.2.3. Modelul propus și realitatea modelată.....	27
1.2.4. Crearea modelului.....	27
1.3. Modelarea matematică numerică.....	30
1.3.1. Aspecte calitative și cantitative ale procesului de modelare.....	30
1.3.2. Probleme ale modelării matematice.....	31
1.3.3. Prelucrarea datelor numerice.....	31
1.3.4. Tipuri de probleme numerice.....	31
1.3.5. Erori în modelarea matematică.....	32
1.3.6. Problema condiției numerice.....	33
1.3.7. Numărul condiției absolute.....	33
1.3.8. Numărul condiției relative.....	34
1.3.9. Calculul numerelor condiției folosind diferențierea.....	34
1.3.10. Problemele valorilor condițiilor numerice.....	35
1.3.11. Unele probleme ale condiției numerice.....	35
1.3.12. Constanta lui Lipschitz.....	36
1.3.13. Norma lui Lipschitz.....	36
1.3.14. Determinarea condiției numerice prin diferențiere.....	37
1.3.15. Condiția numerică de gradul I.....	37
1.3.16. Condiția numerică de gradul I relativă.....	38
1.3.17. Condiția numerică pentru problema matematică inversă.....	38
1.3.18. Condiția numerică a problemelor liniare.....	40
1.3.19. Efectul perturbației asupra lui $y$ .....	40
1.3.20. Validarea modelului matematic.....	40

1.3.21. Sensibilitatea analizei și estimarea erorilor.....	41
1.3.22. Impactul erorilor de model.....	41
1.3.23. Impactul erorilor de date.....	41
1.3.24. Impactul erorilor de rotunjire.....	42
1.3.25. Impactul erorilor algoritmilor de calcul.....	42
1.3.26. Analiza erorilor folosind condițiile numerice.....	42
1.3.27. Analiza generării erorilor.....	43
1.4. Concluzii.....	43
2. MODELAREA GEOMETRICĂ, CA PARTE IMPORTANTĂ A PROCESULUI DE MODELARE.....	45
2.1. Introducere.....	45
2.2. Scopul și destinația modelării geometrice.....	46
2.3. Modelarea geometrică a suprafețelor.....	46
2.4. Tehnici de modelare geometrică a suprafețelor.....	47
2.5. Clasificarea condițiilor de continuitate și racordare.....	47
2.6. Tehnici de construcție a modelelor geometrice.....	47
2.6.1. Construcția modelelor geometrice pornind de la date (puncte) obținute prin procesul de digitizare.....	47
2.6.2. Construcția modelelor geometrice pornind de la schițe și desene de proiectare.....	48
2.6.3. Procedee de construcție a curbelor și a caroiajelor.....	49
2.6.4. Utilizarea polinoamelor la modelarea matematică.....	51
2.6.5. Polinoame și rețele caracteristice.....	52
2.7. Concluzii.....	53
3. TEHNICI DE MODELARE GEOMETRICĂ PRIN INTERPOLARE.....	55
3.1. Introducere.....	55
3.2. Problema interpolării și tipuri de interpolare.....	55
3.3. Interpolarea prin polinoame. Polinomul de interpolare al lui Lagrange.....	56
3.4. Algoritmul lui Neville.....	56
3.5. Polinomul lui Newton de interpolare.....	57
3.6. Interpolarea prin funcții raționale.....	58
3.7. Algoritmul lui Neville pentru funcții raționale.....	59
3.8. Interpolarea prin funcții spline.....	60
3.9. Teorema lui Holladay.....	61
3.10. Metode de determinare a funcțiilor spline cubice.....	62
3.11. Proprietățile de convergență a funcțiilor spline.....	65
3.12. Erorile de interpolare.....	72



3.13.	Concluzii.....	73
4.	POLINOAMELE LUI BERNSTEIN CA ELEMENTE DE BAZĂ ALE MODELĂRII GEOMETRICE.....	75
4.1.	Introducere.....	75
4.2.	Definirea polinoamelor lui Bernstein.....	75
4.3.	Polinoamele lui Bernstein pentru funcții de două variabile.....	76
4.4.	Polinoamele lui Bernstein de gradul $m$ .....	83
4.5.	Polinoamele lui Bernstein în spațiul $n$ dimensional.....	84
4.6.	Derivatele polinoamelor lui Bernstein.....	86
4.7.	Gradul de aproximare al funcției $f(x)$ atribuit polinoamelor Bernstein.....	86
4.8.	Convergența derivatelor $B_{nk}$ ale polinoamelor lui Bernstein a funcției $f(x)$ .....	88
4.9.	Liniaritatea polinoamelor lui Bernstein.....	90
4.10.	Reprezentări grafice ale polinoamelor lui Bernstein.....	91
4.11.	Recurența polinoamelor lui Bernstein.....	94
4.12.	Generalizarea polinoamelor lui Bernstein.....	94
4.13.	Polinoamele lui Bernstein în cazul funcțiilor discontinue.....	95
4.14.	Polinoamele de aproximare a lui Bernstein.....	97
4.15.	Teorema lui Weierstrass.....	99
4.16.	Alte expresii matematice care aproximează funcția generatoare $f(x)$ .....	100
4.17.	Concluzii.....	102
5.	DEZVOLTAREA MODELELOR MATEMATICE DE DESCRIERE A ENTITĂȚILOR GEOMETRICE.....	103
5.1.	Introducere.....	103
5.2.	Polinoamele lui Bernstein și modelele lui Bezier.....	103
5.3.	Polinoamele lui Bernstein și algoritmul lui de Casteljaou.....	108
5.4.	Algoritmul lui Boor ca un caz particular al algoritmului lui de Casteljaou.....	111
5.5.	Unele observații referitoare la algoritmul lui Boor.....	111
5.6.	Polinoame definite prin părți folosite la modelarea geometrică.....	112
5.6.1.	Polinoame (curbe) spline cubice definite prin părți.....	113
5.7.	Polinoame spline folosite la modelarea geometrică.....	115
5.7.1.	Polinoame (curbe) B-spline folosite la modelarea geometrică.....	117
5.7.2.	Calculul polinoamelor (curbelor) B-spline folosind metoda interpolării.....	121
5.8.	Suprafețe spațiale și volume utilizate în modelarea geometrică.....	124
5.9.	Suprafețe de interpolare folosite la modelarea geometrică.....	126

5.9.1. Suprafețe spline bicubice.....	126
5.9.2. Suprafețe Bezier bicubice.....	130
5.9.3. Algoritmul lui de Casteljau în cazul suprafețelor Bezier.....	131
5.9.4. Conexitatea suprafețelor Bezier.....	132
5.9.5. Condițiile de continuitate a suprafețelor Bezier.....	132
5.9.6. Suprafețe spine Bezier bicuadratică.....	134
5.9.7. Suprafețe spline Bezier bicubice.....	134
5.10. Algoritmul lui de Casteljau aplicat suprafețelor triunghiulare Bezier.....	137
5.11. Condițiile de continuitate ale sub-suprafețelor (sub-caroiajelor) triunghiulare Bezier.....	139
5.12. Condițiile de continuitate în cazul suprafețelor (caroiajelor) Bezier mixte.....	141
5.13. Interpolarea suprafețelor folosind suprafețele Bezier generate de puncte Bezier.....	143
5.13.1. Dreptunghiuri Bezier și triunghiuri Bezier folosite la interpolarea suprafețelor.....	143
5.13.2. Definierea unui triunghi Bezier de gradul $n$ .....	144
5.13.3. Proprietățile geometrice ale triunghiului lui Bezier.....	144
5.13.4. Derivatele marginale ale triunghiurilor Bezier.....	146
5.13.5. Studiul suprafețelor Bezier în zona frontierei comune.....	147
5.13.6. Utilizarea suprafețelor raționale Bezier pentru generarea punctelor Bezier.....	149
5.13.7. Utilizarea punctelor raționale Bezier la generarea suprafețelor Bezier rectangulare.....	152
5.13.8. Utilizarea punctelor raționale Bezier la generarea suprafețelor Bezier triunghiulare.....	154
5.13.9. Eliminarea singularităților la colțurile de conectare.....	155
5.14. Utilizarea suprafețelor Gordon–Coons în modelarea geometrică.....	156
5.14.1. Utilizarea suprafețelor rectangulare Gordon–Coons în modelarea geometrică.....	156
5.14.2. Suprafețe de interpolare Gordon–Coons bicubice.....	162
5.14.3. Suprafețe de interpolare Gordon–Coons triunghiulare.....	163
5.15. Concluzii.....	165
6. CUPLAREA SISTEMELOR DE CONCEPȚIE ȘI FABRICAȚIE A ENTITĂȚILOR GEOMETRICE.....	167
6.1. Introducere.....	167
6.2. Modelarea geometrică a volumelor.....	170
6.2.1. Utilizarea geometriei constructive a volumelor la modelarea acestora.....	170
6.2.2. Utilizarea modelelor de frontieră (marginii).....	170

6.2.3.	Utilizarea reprezentării volumelor cu ajutorul unor poliedre....	171
6.3.	Calculul proprietăților globale ale volumelor modelate.....	171
6.3.1.	Metoda descompunerii volumelor în părți componente.....	172
6.3.2.	Metoda Timmer–Stern.....	173
6.4.	Modelarea geometrică a intersecțiilor.....	176
6.5.	Modelarea geometrică a intersecțiilor suprafețelor.....	179
6.6.	Modelarea matematică a procesului de fabricație a modelelor (solidelor).....	186
6.6.1.	Studiul matematic al traiectoriei sculelor de prelucrat.....	187
6.6.2.	Tipuri de traiectorii ale sculei de prelucrat.....	191
6.7.	Descrierea geometrică a traiectoriei sculei de prelucrat.....	192
6.8.	Concluzii.....	197
7.	MODELAREA GEOMETRICĂ, CA TEHNICĂ DE CONCEPȚIE ȘI FABRICAȚIE A SUPRAFEȚELOR SCULPTATE.....	199
7.1.	Introducere.....	199
7.2.	Realizarea suprafețelor sculptate pe mașini-unelte cu comandă numerică.....	200
7.3.	Cinematica prelucrării suprafețelor sculptate.....	203
7.3.1.	Sistemul local de referință.....	203
7.3.2.	Elementele mișcării relativ.....	204
7.4.	Descrierea analitică a geometriei de contact a suprafețelor sculptate P și a suprafețelor generatoare T a sculei așchietoare.....	213
7.4.1.	Definirea orientărilor relative a suprafețelor P și T.....	214
7.4.2.	Coeficientul lui Dupin.....	216
7.4.3.	Coeficientul de conformitate al suprafețelor P și T în punctul CC de contact K.....	216
7.4.4.	Variația coeficientul de conformitate al suprafețelor P și T în punctul CC de contact K.....	217
7.4.5.	Utilizarea conoidul lui Plücker pentru descrierea analitică a curbelor caracteristice.....	218
7.4.6.	Coeficientul bidimensional a suprafeței sculptat.....	220
7.4.7.	Curbe caracteristice relativ.....	220
7.5.	Proiectarea optimală a sculei așchietoare.....	222
7.5.1.	Proiectarea sculei așchietoare necesare realizării suprafețelor sculptate.....	222
7.5.2.	Descrierea înfășurătorilor suprafeței sculptate P determinate de suprafața generatoare T a sculei așchietoare.....	224
7.5.3.	Generarea suprafeței T de către sculele așchietoare.....	225
7.5.4.	Algoritm de calcul al parametrilor sculei așchietoare.....	226
7.5.5.	Alegerea parametrilor constructivi ai sculei așchietoare.....	227

7.5.6.	Scule aşchietoare ce permit schimbarea continuă a suprafeţei generatoare T a sculei aşchietoare.....	228
7.6.	Condiţii optimale ale generării suprafeţei sculptate P.....	228
7.6.1.	Orientarea optimală a suprafeţei generatoare T a sculei aşchietoare.....	229
7.6.2.	Condiţii necesare şi suficiente pentru generarea optimală a suprafeţei sculptate P.....	230
7.6.3.	Verificarea globală a condiţiilor de generare a suprafeţei sculptate P.....	233
7.7.	Calculul toleranţei prelucrării suprafeţei sculptate P.....	234
7.7.1.	Componente ale erorilor de prelucrare pe maşini-unelte cu comandă numerică.....	234
7.7.2.	Aproximări ale erorilor de prelucrare în punctele de contact...	235
7.7.3.	Calculul suprafeţei torului de aproximaţie.....	237
7.7.4.	Evaluarea erorilor de prelucrare a suprafeţei sculptate P.....	238
7.7.5.	Eroarea totală a deplasării sculei aşchietoare faţă de suprafaţa sculptată P.....	239
7.7.6.	Metode de mărire a preciziei suprafeţei sculptate P.....	244
7.7.7.	Principiul liniarităţii rugozităţilor.....	245
7.8.	Prelucrarea optimală a suprafeţei sculptate P.....	245
7.8.1.	Criterii de optimizare a prelucrării suprafeţei sculptate P.....	245
7.8.2.	Calculul parametrilor optimali ai prelucrării suprafeţei sculptate P.....	247
7.8.3.	Efectul zonei de frontieră asupra prelucrării suprafeţei sculptate P.....	254
7.8.4.	Cuplarea modelului geometric al analizei suprafeţelor sculptate cu programarea maşinilor-unelte cu comandă numerică.....	255
7.9.	Concluzii.....	257
CONCLUZII FINALE, CONTRIBUȚII ȘI PRESPECTIVE.....		259
BIBLIOGRAFIE.....		265

## Notății, abrevieri, acronime

### Capitolul 1

$f(x) - p(x)$ , eroarea de trunchiere,  
 $k$ , numărul condiției absolute a problemei matematice,  
 $\lambda(F, B) \in \mathbb{R}^+$ , constanta lui Lipschitz a lui  $F$  în regiunea  $B \subseteq X$ ,  
 $Lip(F, B)$  a lui  $F : X \rightarrow Y$  pe  $B \subseteq X$ , norma lui Lipschitz,  
 $K_{K_{F-x}}(x_0)$ , condiția numerică absolută de gradul I a lui  $F$  în  $x_0$ ,  
 $Lip(F, B)$ , condiția numerică pentru  $\forall$  vecinătate  $x_0$  în  $B$ .

### Capitolul 2

$(u_i), (v_i)$ , coordonatele parametrice,  
 $RG_{nm}$ , rețeaua caracteristică ca  $(m + 1)$  secvențe ordonate de  $(n + 1)$  puncte,  
 $S_{ij}$ , vectorii elemente ale unei rețele caracteristice asociate unui carioaj.

### Capitolul 3

$\Phi$ , o familie de funcții de o singură variabilă  $x$ ,  
 $\Pi_n$ , un set de polinoame  $P$  în domeniul real sau complex,  
 $P_{i_0 i_1} \in \Pi_k$ , un polinom în  $\Pi_k$ ,  
 $(x_i, f_i)$ , punctele de suport,  $\phi^{\mu, \nu}(x)$  sunt funcțiile raționale de interpolare,  
 $P_s^{\mu, \nu}(x)$  și  $Q_s^{\mu, \nu}(x)$ , polinoame de grad mai mic decît  $\mu$  și  $\nu$ ,  
 $S_\Delta(Y; \bullet)$ , funcția spline de interpolare  $S_\Delta$ ,  
 $K^m[a, b]$ , funcțiile reale  $f: [a, b] \rightarrow \mathbb{R}$  pentru care  $f^{(m-1)}$  este absolut continuă pe  $[a, b] \rightarrow \mathbb{R}$ ,  
 $f^m \in L^2[a, b]$ , unde  $L^2[a, b]$  estet setul tuturor funcțiilor pătratice a căror integrale pe intervalul  $[a, b]$ , de exemplu  $\int_a^b |f(t)|^2 dt$ , există și sunt finite,  
 $K_p^m[a, b]$ , setul tuturor funcțiilor pentru care  $f^{(k)}(a) = f^{(k)}(b)$ , pentru  $k = 0, 1, 2 \dots (m - 1)$ ,  
 $M_j$ , momente determinante ale lui  $S_\Delta(Y; \bullet)$ ,  
 $A$ , matricea de dimensiune  $(n + 1) \cdot (n + 1)$ ,  
 $M_j$ , vectorul de momente a funcției spline  $S_\Delta(Y; \bullet)$ ,  
 $F: [a, b] \rightarrow \mathbb{R}$  de  $(n + 1)$ , funcția diferentiabilă pe  $\mathbb{R}$ ,  
 $P \in \Pi_n$  este un polinom, unde  $P_{x_k} = f_{x_k}$  pentru  $k = 0, 1, 2, \dots, n$ .

### Capitolul 4

$B_n(x)$ , polinoamele lui Bernstein de ordinul  $n$  al funcției  $f(x)$ , unde  $B_n(x)$  este un polinom în  $x$ , iar  $x \leq n, n \in N$ ,  
 $B_{n_1, n_2}^f(x, y)$ , polinoamele lui Bernstein în două variabile  $x$  și  $y$  pentru funcția  $f(x, y)$  de două variabile,  
 $B_{f, n_1, n_2, \dots, n_n}(x_1, x_2, \dots, x_m)$ , polinoamele lui Bernstein de ordinul  $n$ ,  
 $\omega(\delta)$ , modul de continuitate.

### Capitolul 5

$\mathcal{P}_k \subset \mathbb{R}^k$ , spațiu vectorial de polinoame de grad  $\leq k$ ,  
 $\mathcal{P}_{k, \tau, r}$ , spațiul vectorial de funcții polinomiale de grad  $\leq k$  pe  $[a, b]$ ,

$\mathcal{F}_{i,j} \subset \mathbb{R}^k$ , spațiul format din funcțiile  $f_{i,j}$ ,  
 $f \in \mathcal{P}_{k,\tau,r}$ , un polinom  $P_i \subset [\tau_i, \tau_{i+1}]$ ,  
 $\mathcal{S}_{k,r}$ , subspațiul inclus în  $\mathcal{S}_{k,r} \subset \mathcal{P}_{k,\tau,r}$ ,  
 $\mathcal{S}_{k,r} \subset \mathcal{P}_{k,\tau,r}$ , subspațiul denumit subspațiul polinoamelor (curbelor) spline de  
 ordinul  $k$  având punctele (nodurile)  $\tau_i$ ,  
 $\Phi \in E$ , subset a lui  $C^r$  ( $E \subset C^r$ ) de polinoame (curbe) definite pe  $[a, b]$ ,  
 $\mathcal{S}_{1,\tau}$ , spațiul polinoamelor (curbelor, funcțiilor) de gradul I pe  $[a, b]$  având punctele  
 de control (nodurile)  $\tau_i$ ,  
 $\mathcal{S}_{k,\Delta}$ , vector în spațiul real  $\mathbb{R}^k$   
 $\chi[\tilde{x}_i, \tilde{x}_{i+1}]$ , funcție caracteristică recursivă,  
 $N_{i,k}(x)$ , funcțiile B-spline de ordin  $k$ ,  
 $d_i$ , coeficienții ce definesc nodurile (punctele)  $s$  ale lui de Boor,  
 $B_i^n(t)$ , polinoame lui Bernstein de gradul  $n$ , univariabile în  $t, t \in \mathbb{R}^2$ ,  
 $P_{i,j}$ , puncte Bezier,  
 $b_{i,j,k}^n(u, v, w)$ , polinoame bivariate Bernstein de gradul  $n$ .

## Capitolul 6

$\phi$ , proprietatea globală studiată și care este o integrală triplă pe un volum  $V$  dat,  
 iar  $f(p)$  un vector funcție descriind  $\phi$ ,  
 $J$ , transformarea Jacobiană,  
 $\bar{n}$ , vectorul normal unitar, iar  $\nabla$  operatorul de derivare  $(\frac{\partial}{\partial x}, \frac{\partial}{\partial y}, \frac{\partial}{\partial z})$ ,  
 $t \in [0, 1]$ ,  $t \in \mathbb{R}^3$  unde  $i$  identifică o porțiune a frontierei (marginii),  
 $w$  și  $a$ , ponderi ale polinomului lui Legendre de ordinul  $(m + 1)$ ,  
 $L$ , numărul de curbe închise care definesc sub-suprafețele  $S_i$ ,  
 $\bar{c}'(s) = \bar{t}$ , vectorul unitar tangent,  
 $\bar{c}''(s) = \bar{k} = k \bar{n}$ , unde  $\bar{k}$  este vectorul curbura care măsoară variația vectorului  
 tangent,  
 $\bar{t}, \bar{n}, \bar{b}$ , vectori ortonormali,  
 $E, F$  și  $G$ , coeficienții suprafeței reprezentate parametric în  $u, v$ ,  
 $\rho$ , colțul toroidal,  
 $q$ , tipul sculelor de prelucrat,  
 $s$ , mărimea axului,  
 $\bar{T}$ , vectorul tangent la traiectoria sculei de prelucrat,  
 $\bar{N}$ , vectorul normal la suprafață,  
 $\bar{S}$ , vectorul binormal,  
 $\bar{X}$ , punct al traiectoriei sculei de prelucrat,  
 $\bar{V}$ , vectorul de deplasare,  
 $(\bar{T}, \bar{S}, \bar{N})$ , sistemul de coordonate ortonormale,

## Capitolul 7

$P$  este suprafața modelată (sculptată) ce urmează a se realiza pe mașinile unelte  
 cu comandă numerică,  
 $T$  este suprafața generatoare a sculelor prelucrătoare,  
 $r_p$  este vectorul de poziție al unui punct al suprafeței sculptate  $P$ ;  
 $X_p, Y_p, Z_p$  sunt coordonatele rectangulare carteziene ( Gauss ) ale unui punct al  
 suprafeței modelate (sculptate)  $P$ ;  
 $U_p, V_p$  sunt variabilele carteziene ( Gauss ) reprezentând parametrii unui punct al  
 suprafeței modelate (sculptate)  $P$ ;

$U_{1,P}, U_{2,P}$  sunt punctele de frontieră ale intervalului închis  $[U_{1,P}, U_{2,P}] \subseteq \mathbb{R}$  ai parametrului  $U_P$ ;  
 $V_{1,P}, V_{2,P}$  sunt punctele de frontieră ale intervalului închis  $[V_{1,P}, V_{2,P}] \subseteq \mathbb{R}$  ai parametrului  $V_P$ ;  
 $\Phi_{1,P}$  este funcția fundamentală de ordinul I,  
 $\Phi_{2,P}$  este funcția fundamentală de ordinul II,  
 $s_P$  este elementul liniar al suprafeței modelate (sculptate) P;  
 $E_P, F_P, G_P$  sunt mărimi fundamentale de ordinul I funcții scalare ai parametrilor  $U_P$  și  $V_P$  ai suprafeței modelate (sculptate) P;  
 $L_P, M_P, N_P$  sunt mărimile fundamentale de ordinul II ca funcții scalare ale parametrilor  $U_P$  și  $V_P$  a suprafeței modelate (sculptate) P,  
 $T_P$  este discriminantul funcției fundamentale de ordinul II:  $\Phi_{2,P}$   
 $\mathbf{n}_P$  este vectorul unitate normal la suprafața P,  
 $\mathbf{t}_{1,P}$  și  $\mathbf{t}_{2,P}$  sunt vectori unitari ortogonali la suprafața P,  
 $(x_P, y_P, z_P)$  este sistemul de coordonate local,  
 $t$  reprezintă timpul,  
 $\varphi_u, \varphi_v, \varphi_n$  sunt unghiurile de rotație ale sculelor tăietoare după axele de referință  $x_P, y_P, z_P$ ,  
 $V_\Sigma$  definește viteza mișcării rezultante ale sculelor prelucrătoare relative la suprafața sculptată P,  
 $R_{P_u}$  și  $R_{P_v}$  definesc razele de curbură a suprafeței modelate (sculptate) P pe direcțiile  $\mathbf{u}_P$  și respectiv  $\mathbf{v}_P$  și care se măsoară în planul secțiunilor vectorilor unitari  $|\mathbf{U}_P|$  și  $|\mathbf{V}_P|$ ,  
 $R_{1,P}$  și  $R_{2,P}$  definesc prima și a doua rază de curbură principală a suprafeței modelate (sculptate) P,  
 $\omega$  este unghiul pe care tangenta vectorului unitar  $\mathbf{u}_P$  o face cu direcția principală  $\mathbf{t}_{1,P}$  la suprafața considerată,  
 $\omega_{T-P}$  este vectorul mișcării de rotație a suprafeței T ale sculelor prelucrătoare în jurul unei axe perpendiculare pe planul normal definit de vectorul  $V_\Sigma$ ;  
 $R_{P_\Sigma}$  este raza de curbură a suprafeței modelate (sculptate) P în direcția vectorului  $V_\Sigma$ ;  
 $\delta = \delta^+ + \delta^-$  toleranța prelucrării suprafeței modelate (sculptate) P,  
 $V_n$  mișcarea relativă a sculei de prelucrat de-a lungul vectorului normal unitar  $\mathbf{n}_P$ ;  
 $T_r(\alpha_x, X)$ ,  $T_r(\alpha_y, Y)$ ,  $T_r(\alpha_z, Z)$  sunt operatorii de translație,  
 $(\alpha_x, \alpha_y, \alpha_z)$  reprezintă translația de-a lungul axelor de coordonate respective,  
 $\mathbf{r}_1(\mathbf{M})$ , vector de poziție,  
 $\mathbf{r}_2(\mathbf{M})$ , vector de poziție,  
 $\varphi_x, \varphi_y, \varphi_z$  sunt unghiurile de rotație corespunzătoare axelor respective,  
 $\mathbf{R}_S(1 \rightarrow 2)$  este operatorul liniar de transformare ce descrie analitic rezultatul transformărilor coordonatelor de sistem de la  $X_1, Y_1, Z_1$  la  $X_2, Y_2, Z_2$ ,  
 $\mu$  este unghiul dintre vectorul tangent unitar  $\mathbf{t}_{1,P}$  al primei direcției principale a suprafeței modelate (sculptate) P și vectorul tangent unitar  $\mathbf{t}_{2,P}$  al primei direcției principale a suprafeței generatoare T a sculelor prelucrătoare,  
 $\mathbf{r}_{tp}$  este vectorul de poziție al unui punct de pe planul tangent comun,  
 $\mathbf{r}_K$  este vectorul de poziție al punctului CC de contact K,  
 $\xi$  este unghiul dintre direcția principală  $\mathbf{t}_{1,P}$  de pe suprafața P și vectorul unitar tangent  $\mathbf{U}_P$ ,  
 $\xi_T$  este unghiul dintre direcția principală  $\mathbf{t}_{1,T}$  pe care suprafața generatoare T a sculelor prelucrătoare o face cu direcția tangentei  $\mathbf{u}_t$ ,

$Dup(P)$  este coeficientul lui Dupin,  
 $C_{nf_R}(P/T)$  este coeficientul de conformitate al suprafețelor P și T în punctul CC de contact K,  
 $d_{cnf}$  este diametrul unei curbe central simetrice,  
 $d_{cnf}^{(min)}$  valori minime și  $d_{cnf}^{(max)}$  valori maxime reprezentând diametrele exterioare,  
 $\varphi_{min}$  și  $\varphi_{max}$ , unghiurile definind două direcții cuprinse în planul tangent comun,  
 $\mathbf{R} = \mathbf{R}(u)$  este vectorul curbei directoare sau curba de bază al unui conoid,  
 iar  $\mathbf{l}(u)$  este dreapta ce se deplasează în spațiu pe curba directoare,  
 $Pl_R(P)$  este conoidul lui Plücker de gradul I,  
 $Pl_K(P)$  este conoidul lui Plücker de gradul II,  
 $Pl_R(P)(P/T)$  este coeficientul curburii lui Plücker cu curba caracteristică planară corespunzătoare,  
 $An_r(P)$  este coeficientul bidimensional,  
 $S_T$  reprezintă dimensiunea sculei prelucrătoare,  
 $h_p$  este elementul de degroșare,  
 $R_T^u$  reprezintă razele de curbura ale diferitelor suprafețe ale sculelor prelucrătoare  $T^i$  ( $i = a, b, c, d$ ) au valori,  
 $h_p^i$  ( $i = a, b, c, d$ ) este adaosul de prelucrare,  
 $R_T$  este rata maximă de conformitate a suprafeței T față de suprafața P,  
 $F_1, F_2, F_3$  sunt funcții descriind coeficienții de conformitate ai suprafețelor P și T,  
 $\Gamma_{jk}^i$  sunt simbolurile lui Christoffel de ordinul II și unde  $g_{ij}$  este tensorul metric al suprafeței T,  
 $g^{ij}$  este tensorul covariant al suprafeței T,  
 $r_T$  reprezintă poziția unui vector al unui punct al curbei generatoare;  
 $\Psi$  reprezintă parametrul curbei generatoare,  
 $R_{T,0}$  este vectorul de poziție al originii axelor de coordonate,  
 $\alpha, \beta, \gamma$  reprezintă unghiurile normalei la suprafața P cu axele de coordonate,  
 $(\psi, \theta, \varphi)$  reprezintă unghiurile lui Euler,  
 $\mathbf{r}_T^{(i)}$  și  $\mathbf{r}_T^{(i\pm 1)}$  descriu poziția vectorilor suprafețelor  $T_i$  și respectiv  $T_{i+1}$ ,  
 $U_T^{(i\pm 1)}$  și  $V_T^{(i\pm 1)}$  sunt coordonatele carteziene ale unui punct al suprafețelor și  $T_i$  respectiv  $T_{i+1}$ ,  
 $\mathbf{r}_P^{(n)}$  este vectorul de poziție a unui punct al suprafeței ideale  $P^{(n)}$ ,  
 $\mathbf{r}_P^{(a)}$  este vectorul de poziție a unui punct al suprafeței reale  $P^{(a)}$ ,  
 $\mathbf{r}_P^{(t)}$  este vectorul de poziție a unui punct aparținând suprafeței  $P^{(t)}$  numită suprafață de toleranță,  
 $\mathbf{n}_P$  este vectorul normal la suprafața ideală  $P^{(n)}$ ,  
 $h_{fr}$  este eroarea elementară de prelucrare,  
 $h_{ss_\Sigma}$  reprezintă erorile de prelucrare la realizarea suprafeței reale  $P_{ac}$  față de suprafața nominală  $P_{nom}$ ,  
 $h_\Sigma^{max}$  este eroarea maximă de prelucrare a suprafeței modelate (sculptate) reale  $P_{ac}$  față de suprafața nominală  $P_{nom}$ ,  
 $R_{1,P}$  și  $R_{2,P}$  sunt razele de curbura în punctul CC de contact K;  
 $t_P$  este tensorul suprafeței modelate (sculptate) P în punctul CC de contact K,  
 $\mathbf{r}_{p1}$  reprezintă poziția vectorului  $\mathbf{r}_{p1}$  într-un punct arbitrar  $p_1$  al suprafeței modelate (sculptate) P,  
 $\theta_{tr}$  și  $\varphi_{tr}$  sunt unghiurile dintre razele cercurilor ce definesc torul considerat și direcțiile vectorilor unitari în punctul dat,



- $R_{P,f}$  și  $R_{T,f}$  sunt razele curburii normale a suprafețelor P și respectiv T, măsurate pe direcția vectorului  $F_{fr}$ ,
- $\check{F}_f$  este segmentul de arc al vectorului de direcție  $F_{fr}$ ,
- $R_{P,ss}$  și  $R_{T,ss}$  sunt razele curburii normale a suprafețelor P și T măsurate pe arcu  $\check{F}_{ss}$  care este segmentul de arc al vectorului de direcție  $F_{ss}$ ,
- $\delta_\Sigma$  reprezintă deplasarea liniară totală a sculelor prelucrătoare față de suprafața sculptată P,
- $\delta_x, \delta_y, \delta_z$  reprezintă deplasările liniare elementare de-a lungul axelor  $x_P, y_P, z_P$ ,
- $\theta_x, \theta_y, \theta_z$  reprezintă deplasările unghiulare ale sistemului de coordonate  $x_T, y_T, z_T$  față de sistemul de coordonate  $x_P, y_P, z_P$ ,
- $\theta_\Sigma$  reprezintă deplasarea unghiulară totală a sculelor prelucrătoare față de suprafața P,
- $K_P$  și  $K_T$  reprezintă originile sistemelor locale de coordonate  $x_P, y_P, z_P$  și respectiv  $x_T^*, y_T^*, z_T^*$ .
- $x_T^*, y_T^*, z_T^*$  reprezintă deplasările elementare la sistemele de coordonate  $x_T, y_T, z_T$ ,
- $real_i$  și  $nom_i$  reprezintă pozițiile reale și respectiv, poziții cerute de proiectul de execuție ale prelucrărilor  $i$  ( $i = 1, 2, \dots, n$ ),
- CDA reprezintă coeficientul de aproximație al suprafețelor toroidale de aproximație  $T_{r_P}$  și respectiv  $T_{r_P}$ ,
- $[\Delta h_\Sigma]$  este toleranța rezultată din calculul rugozității,
- $P_{GS} = P_{GS}(t)$  reprezintă productivitatea a generării suprafeței modelate (sculptate) P,
- $\check{F}_{fr} = |F_{fr}|$  reprezintă vectorul avansului sculei prelucrătoare,
- $\check{F}_{ss} = |F_{ss}|$  reprezintă vectorul vitezei prelucrării adausului de prelucrare,
- $S_{sg}$  reprezintă totalul suprafeței generate în intervalul total de timp  $t_\Sigma$ ,
- $V_{mr}$  este volumul total de material prelucrat,
- $t_\Sigma$  este timpul total al prelucrării,
- $R_{P,ss}$  și  $R_{T,ss}$  sunt razele normale de curbură,
- $V^{opt}$  reprezintă direcția optimală a traiectoriei sculelor prelucrătoare pe suprafața sculptată P și care se exprimată matricial în sistemul de coordonate carteziene  $x_P, y_P, z_P$  definit pe suprafața locală P,
- $k_{t_P}$  și  $t_{t_P}$  sunt curbura și respectiv torsiunea traiectoriei punctului CC de contact K,
- $t_{t_P}$  și  $b_{t_P}$  sunt vectorul tangent unitar și respectiv vectorul binormal al traiectoriei punctului curent K,
- $\theta$  este unghiul dintre vectorul lui Darboux  $\Omega$  și vectorul tangent  $t_{t_P}$  la traiectoria punctului CC de contact K curent considerat,
- $l_{tr}$  este lungimea arcului traiectoriei măsurată dintr-un punct al traiectoriei și care este exprimată în funcție de raza de curbură  $r_{tr}$  a unui punct al traiectoriei și de torsiunea  $\tau_{tr}$  în acel punct,
- $n$  reprezintă numărul total al traiectoriilor necesare acoperirii întregii suprafețe prelucrătoare,
- $K_{int}$  reprezintă coeficientului de interferență,
- $S_{[h]}$  este suprafața toleranței admisă la distanța  $[h]$  față de suprafața sculptată P,
- $\pm S_{wl}$  mișcarea de pendulare a sculelor prelucrătoare,
- $\pm S_{wn}$  mișcarea de rotație a sculelor prelucrătoare.

## Lista de tabele

Tabel 1.1. Rezolvarea problemelor numerice

Tabel 3.1. Polinoamele succesive de interpolare conform algoritmului lui Neville

Tabel 3.2. Valorile funcției  $y = x^{2,5}$ , pentru  $x = 0, 1, 2, \dots, 10$  și ale interpolării liniare

Tabel 5.1. Punctele Bezier ale dreptunghiului bicubic Bezier pentru  $m = n = 3$

## Lista de figuri

### Capitolul 1

Fig. 1.1. Etapele creerii unui model

### Capitolul 3

Fig. 3.1. Interpolare liniară a funcției  $f(x) = x \exp^{2,5}$

Fig. 3.2. Interpolarea liniară a funcției  $F(x) = \sin x$ .

Fig. 3.3. Funcția  $f(x) = \sin x$  și interpolarea liniară a funcției  $f(x) = \sin x$ .

Fig. 3.4. Interpolarea liniară „ooo” și cubică „\*\*\*” a funcției  $f(x) = \sin(x)$

Fig. 3.5. Interpolarea cubică „ooo” a funcției  $f(x) = x \exp^{2,5}$

### Capitolul 4

Fig. 4.1. Polinoamele lui Bernstein pentru o variabilă

Fig. 4.2. Reprezentarea grafică a polinoamelor lui Bernstein pentru două variabile

Fig. 4.3. Polinoamele lui Bernstein de gradul 4

Fig. 4.4. Polinoamele lui Bernstein de gradul 5

Fig. 4.5. Polinoamele lui Bernstein de gradul 10

Fig. 4.6. Polinoamele lui Bernstein pentru  $n = 20$  aproximând funcția  $f(x) = 12 \pi n x (1 - x)$  folosind Mathematica 7

Fig. 4.7. Intervalul  $\epsilon$  conținând  $f(x)$  și  $P(x)$  care aproximează  $f(x)$

### Capitolul 5

Fig. 5.1. Exemplificarea algoritmului lui de Casteljaou

Fig. 5.2. Algoritmul lui de Casteljaou aplicat suprafețelor Bezier triunghiulare

Fig. 5.3. Interpretarea geometrică a derivatelor direcționale din formulele a), b), c) de-a lungul unei curbe de frontieră  $u$

Fig. 5.4. Triunghiurile Bezier corespunzătoare condiției de continuitate  $G^1$ .

Fig. 5.5. Continuitatea sub-suprafețelor (caroiajelor) Bezier triunghiulare și rectangulare

Fig. 5.6. Puncte Bezier ale unui triunghi Bezier cuartic

Fig. 5.7. Interpolarea unor curbe Bezier de grade ce variază de la  $n$  la zero

Fig. 5.8. Dreptunghiuri Bezier „degenerate” corespunzătoare unor curbe Bezier de gradul zero

Fig. 5.9. Derivatele dreptunghiului Bezier cubic și ale triunghiului Bezier cuartic

Fig. 5.10. Conectarea a două dreptunghiuri Bezier

Fig. 5.11. Conexiuni dintre dreptunghiurile Bezier bicubice și triunghiulare Bezier cuartice

Fig. 5.12. Suprafețe (caroiaje) Gregory rectangulare bicubice

Fig. 5.13. Suprafață (caroiaj) Gregory triunghiulară cuartică

Fig. 5.14. Funcția  $F(u, v)$  de tip rațional Bezier

Fig. 5.15. Funcția  $g(u, v, w)$  Bezier triunghiulară

Fig. 5.16. Suprafețe rectangulare raționale Bezier având puncte (noduri) Bezier de pondere zero

Fig. 5.17. Suprafețe Bezier rectangulare folosind puncte (noduri) Bezier

Fig. 5.18. Suprafețe Bezier triunghiulare folosind puncte (noduri) Bezier

- Fig. 5.19. Interpolare liniară a unui patrulater în spațiu cu laturi (marginii) linii drepte
- Fig. 5.20. Suprafața de interpolare liniară a unui patrulater în spațiu cu laturi (marginii) linii curbe
- Fig. 5.21. Suprafață de interpolare liniară corectată față de un patrulater în spațiu cu laturi (marginii) linii curbe
- Fig. 5.22. Derivatele în punctele aparținând curbelor de margine ce definesc sub-suprafețele (sub-caroiaje) Gordon–Coons
- Fig. 5.23. Suprafață de interpolare de-a lungul frontierelor (marginilor)
- Fig. 5.24. Estimarea punctelor  $P_{uk, vj}$  în funcție de punctele vecine
- Fig. 5.25. Interpolare paralelă cu axa  $x$
- Fig. 5.26. Interpolare paralelă cu axa  $y$

## Capitolul 6

- Fig. 6.1. Reprezentarea grafică a metodei Lee și Requicha de realizare a unui model (solid)
- Fig. 6.2. Reprezentarea parametrică a frontierei (marginilor) feței (sub-suprafeței) unui solid. Zona hașurată reprezintă zona activă
- Fig. 6.3. Tipuri de intersecție ale suprafeței  $r_{u,v}$  rezolvând curba  $F_{u,v} = 0$
- Fig. 6.4. Variația curbei algebrice  $F_{u,v}$  în apropierea lui  $P(u,v)$  și  $Q(u + \delta u, v + \delta v)$
- Fig. 6.5. Foliculul lui Descartes
- Fig. 6.6. Punctul singular  $O(0, 0)$  corespunzător unei rădăcini reale
- Fig. 6.7. Graficul curbei  $F(u,v)$ , având o rădăcină dublă în  $O(0, 0)$
- Fig. 6.8. Graficul curbei  $F^3(u,v)$  de gradul 6
- Fig. 6.9. Vedere laterală și profil a unei traiectorii sculelor prelucrătoare speciale
- Fig. 6.10. Sculă de prelucrat cilindrică
- Fig. 6.11. Sculă de prelucrat cilindrică cu cap sferic
- Fig. 6.12. Sculă de prelucrat cu cap toroidal
- Fig. 6.13. Unghiul de înclinare dat (unde  $b = \beta$  pentru cele 3 tipuri de scule de prelucrat)
- Fig. 6.14. Prelucrare în zigzag
- Fig. 6.15. Prelucrare paralelă cu conturile suprafeței (cunoscută sub numele de offset)
- Fig. 6.16. Poziții de lucru al diferitelor tipuri de scule de prelucrat (unde  $b = \beta$  reprezintă unghiul de prelucrat, iar  $dh = \Delta h$  și  $dz = \Delta z$ )
- Fig. 6.17. Secvența profilurilor de tăiere descriind suprafața de prelucrat
- Fig. 6.18. Mișcarea sculei de prelucrat cilindrică de-a lungul traiectoriei  $X(\mu)$
- Fig. 6.19. Profilul de prelucrat și poziția sculei pentru prelucrare în 3D și care se deplasează de-a lungul unui cilindru

## Capitolul 7

- Fig. 7.4. Elementele principale ale topologiei suprafețelor modelate (sculptate)
- Fig. 7.5. Sistemul de coordonate carteziene a generării suprafeței modelate (sculptate)  $P$  și a suprafeței generatoare  $T$  a sculelor prelucrătoare
- Fig. 7.6. Mișcările relative ale sculelor prelucrătoare în sistemul de coordonate de referință  $x_p, y_p, z_p$  cu originea în punctul CC de contact  $K$
- Fig. 7.7. Mișcările sculei așchietoare față de suprafața sculptată  $P$
- Fig. 7.8. Descrierea operatorilor de translație  $T_r(a_x, X)$ ,  $T_r(a_y, Y)$ ,  $T_r(a_z, Z)$  de-a lungul axelor de coordonate

- Fig. 7.9. Sistemele de axe de coordonate  $X_1, Y_1, Z_1$  și  $X_2, Y_2, Z_2$
- Fig. 7.10. Tangenta la suprafețele P și T în punctul CC de contact K
- Fig. 7.11. Unghiul  $\mu$  dintre suprafețele P și T măsurat în planul tangent comun la suprafețele P și T în punctul CC de contact K
- Fig. 7.12. Exemple ale coeficientului de conformitate  $C_{nf_R} (P/T)$
- Fig. 7.10. Exemplu de conoid rezultat din deplasarea unei drepte paralele cu un plan ce intersectează două axe de coordonate
- Fig. 7.11. Un exemplu al conoidului lui Plücker ca suprafață regulată în care o dreaptă se deplasează perpendicular pe o line dată
- Fig. 7.12. Exemplu al unui conoid Plücker pentru  $n = 4$
- Fig. 7.13. Coeficientul bidimensional  $An_R (P/T)$  al suprafețelor P și T
- Fig. 7.13. Diverse forme ale sculelor prelucrătoare destinate obținerii suprafeței modelate (sculptate) P
- Fig. 7.15. Exemple de coeficienți a suprafeței generatoare T a sculei prelucrătoare pentru realizarea suprafeței modelate (sculptate) P în planul vectorului normal unitar  $n_p$ .
- Fig. 7.14. Schema logică a algoritmului de calcul a parametrilor sculei așchiitoare pentru prelucrarea optimă a suprafeței sculptate P pe mașini-unelte cu comandă numerică
- Fig. 7.15. Diverse forme ale sculei așchiitoare în cazul prelucrării suprafeței sculptate P, pe mașini-unelte cu comandă numerică: a) convexă, b) concavă, c) cu un punct de inflexiune M
- Fig. 7.16. Realizarea suprafeței sculptate P folosind sculele așchiitoare T
- Fig. 7.17. Exemple ale celei de a III-a condiții de generare a suprafeței sculptate P
- Fig. 7.18. Cele două tipuri ale erorilor de prelucrare datorită: a) sculei așchiitoare și b) punctului de contact dintre suprafețele P și T
- Fig. 7.19. Reprezentarea suprafeței toroidale  $T_p$  în punctul  $p_1$  al suprafeței sculptate P
- Fig. 7.20. Suprafața generatoare T a sculei așchiitoare în punctul CC de contact K
- Fig. 7.21. prezintă dispunerea relativă a suprafețelor toroidale de aproximație  $Tr_p$  și  $Tr_T$
- Fig. 7.22. Eroarea de prelucrare  $h_{fr}$  relativă la suprafața sculptată P
- Fig. 7.23. Configurația suprafeței toroidale locale  $Tr_p$  și  $Tr_T$ .
- Fig. 7.24. Rezultatele soluțiilor problemei prelucrării locale a suprafeței sculptate P
- Fig. 7.25. Exemplu de generare a unei suprafețe concave **P** de către suprafața convexă **T** a sculei așchiitoare
- Fig. 7.26. Configurarea și mișcarea relativă a suprafețelor **P** și **T** în funcție de coordonatele carteziane de sistem  $X_{NC}, Y_{NC}, Z_{NC}$  asociate mașinii-unelte cu comandă numerică
- Fig. 7.27. Efectul de frontieră asupra prelucrării suprafeței sculptate P
- Fig. 7.28. Optimizarea prelucrării suprafeței sculptate **P** pe mașini-unelte cu comandă numerică
- Fig. 7.29. Mișcarea de rotație  $\pm S_{wn}$  care provoacă o rotație  $\omega_n$  a sculei așchiitoare în jurul perpendicularei comune  $n_p = -n_T$ .



# INTRODUCERE GENERALĂ

Dezvoltarea tehnologică a civilizației umane după sfârșitul secolului al XIX-lea, și în special în secolul al XX-lea, a fost fără precedent în istoria umanității, atât ca domenii de dezvoltare, practic afectând orice aspect al vieții umane, dar și ca viteză de schimbare și transformare a societăților umane. Această dezvoltare explozivă și exponențială s-a datorat unui complex de factori, dintre care se pot menționa o serie de invenții și descoperiri considerate de istorici ca fiind cruciale, și care au schimbat definitiv cursul istoriei umane.

Noile descoperiri s-au manifestat pe plan tehnologic, dar în egală măsură și pe planul cunoștințelor teoretice. Noi teorii au condus la apariția de noi discipline care au îmbunătățit universul de cunoaștere a umanității, dar nu de puține ori au condus la noi invenții și descoperiri practice. Acest proces s-a accentuat după al doilea război mondial, când cele două laturi ale cunoașterii umane menționate mai sus, al cunoștințelor practice și al celor teoretice, s-au întrepătruns și influențat reciproc.

În cadrul acestui proces complex al dezvoltării civilizației umane, alături de alte științe și discipline, matematica și a adus o contribuție aparte, influențând profund modul în care alte discipline își desfășoară activitatea. În perioada menționată matematica s-a dezvoltat, întocmai ca celelalte științe, atât pe plan teoretic – al matematicii "pure", cât și al matematicii „aplicate” în diferite și numeroase alte științe și discipline, care au beneficiat de noile descoperiri.

În domeniul Ingineriei Industriale, concepția produselor și a proceselor de fabricație este abordată integrat (Drăghici, 1999), evitându-se consecințele erorilor de concepție asupra fabricației și performanțelor produsului realizat, reducându-se termenele de lansare în fabricație și pe piață a produselor, precum și costurile de producție. Sistemele actuale de concepție și fabricație virtuală sunt bazate pe integrarea cunoștințelor întregului ciclu de viață al produsului (Product Lifecycle Management). Cuplarea sistemelor de concepție și fabricație depinde în mare măsură de modul de reprezentare a obiectului. Cele mai uzuale modele folosite în sistemele integrate CAD/CAM sunt Constructive Solid Geometry (CSG), Boundary Representation (B-Rep) etc., iar pentru suprafețele complexe, modelele matematice (Bezier, B-spline, NURBS, etc.).

Obiectivul cercetărilor întreprinse în cadrul tezei de doctorat l-a constituit dezvoltarea modelelor matematice de descriere a entităților geometrice în vederea cuplării sistemelor de concepție și fabricație.

Atingerea acestui obiectiv a necesitat o abordare sistematică, succesivă a diferitelor aspecte legate de modelarea matematică în general și modelarea geometrică în particular. A fost necesar studiul aprofundat al metodelor matematice de modelare, așa cum se prezintă ele în literatura de specialitate, ca bază de abordare și rezolvare a problemelor de modelare matematică.

Scopul principal al studierii și prezentării acestor metode a fost dictat de necesitatea utilizării metodelor modelării geometrice și aplicarea aparatului matematic studiat ca instrument de cuplare a sistemelor CAD-CAM de concepție și fabricație a entităților geometrice.

Structura lucrării are în vedere rezolvarea acestor cerințe.

În **capitolele 1 și 2** se definesc noțiunile de *model*, *modelare*, *modelare matematică*, *modelare geometrică*, iar în **capitolul 3** se prezintă evoluția cunoștințelor referitoare la acest domeniu.

Introducerea formalizărilor și a simbolurilor matematice în științe și discipline în care matematica era puțin prezentă a condus la noi moduri de abordare și prezentare a cunoștințelor în aceste discipline, dar ca un revers, au condus la îmbogățirea matematicii însăși. Au apărut și s-au dezvoltat noi domenii, nu numai teoretice, dar și practice, ca de exemplu: fizica matematică, matematica finanțelor, biologia matematică, ca să menționăm doar câteva.

În plus, dacă în domeniile sau științele denumite „clasice”, apariția de noi descoperiri, considerate cruciale, care pot să modifice radical sau să schimbe profund aceste științe, se apreciază a fi relativ scăzută (dar bineînțeles nu imposibilă), atunci nu aceeași situație poate apărea în domenii multidisciplinare, și mai ales interdisciplinare, care se consideră domenii potențiale de cercetare reale, susceptibile de noi și profunde schimbări.

În anul 2010 se aniversează un secol de când o astfel de descoperire crucială a avut loc, și care a schimbat nu numai matematica pură, dar și cea aplicată. Dacă până la acea dată matematicienii lumii căutau formule „perfecte”, care să reprezinte curbe și suprafețe „perfecte”, pentru prima dată s-a demonstrat că dându-se o curbă oarecare, în loc să se caute o formulă „perfectă”, care să reprezinte acea curbă, există posibilitatea găsirii unei funcții care să „aproximeze” curba respectivă.

În anul 1910, *Serghei Natanovici Bernstein* a definit polinoamele ce îi poartă numele, polinoame care pot aproxima practic orice curbă. Importanța acestei descoperiri s-a confirmat ulterior, după 1935, și în special după 1950, când aceste polinoame au devenit fundamentale pentru o nouă ramură a matematicii: teoria aproximării funcțiilor, teorie care stă la baza *modelării matematice*, în general, și a *modelării geometrice*, în particular. *Bernstein* a arătat că orice funcție poate fi aproximată cu ajutorul unui polinom care, în limitele unor valori acceptabile ale erorilor de aproximare, ne permite să *aproximăm* sau să *modelăm* o funcție inițială dată.

Prezenta lucrare, în care sunt descrise pe larg *polinoamele lui Bernstein* constituie un modest omagiu adus unui matematician care a schimbat cursul istoriei matematicii pentru generațiile ce au urmat după el. **Capitolul 4** al acestei lucrări, consacrat *polinoamelor lui Bernstein*, proprietăților și aplicațiilor acestora, prezintă schimbările majore introduse de aceste polinoame în abordarea problemelor legate de aproximarea funcțiilor, cu consecințe directe asupra dezvoltării *modelelor matematice* de descriere a entităților geometrice, și care au fost studiate în continuare în cadrul lucrării.

Necesitatea reprezentării curbilor, așa cum ele apar în natură, adică de parte de o formă „perfectă”, a făcut ca utilizarea *polinoamelor lui Bernstein* să reprezinte primul pas pentru dezvoltarea unor noi modele și algoritmi care să rezolve această problemă. În acest fel, din necesitatea de a modela forma exterioară a automobilului s-au descoperit *modelele lui Bezier* și *algoritmul lui Casteljau*, care au contribuit la dezvoltarea și consolidarea unor noi ramuri apărute în matematică, și anume *modelarea matematică* și, în special, *modelarea geometrică*.

Modelele propuse de *Bezier* au constituit următorul pas decisiv în dezvoltarea acestei noi ramuri a matematicii numerice, și anume au arătat practic cum poate fi construit și generat un astfel de polinom. Importanța practică a modelului propus de *Bezier* constă în aceea că a condus la descoperirea unei algoritmi



care să permită atât construirea modelului ce îi poartă numele, cât și obținerea de informații asupra derivatelor polinomului de interpolare sau de aproximare, și care au fost studiate în **capitolul 5**.

În abordarea acestor probleme autorul a încercat o metodă devenită clasică în cercetarea matematică fundamentală și aplicativă. În primul rând, s-au prezentat problemele propuse a se cerceta, așa cum apar în literatura de specialitate la data elaborării lucrării. În al doilea rând, pe baza acestor cunoștințe disponibile, s-a încercat a se adăuga o modestă contribuție, atât printr-o nouă formă de abordare a problemelor cercetate, cât și prin noi idei și concepte, care pot sta la baza dezvoltării ulterioare, într-un domeniu care încă se prezintă ca un domeniu potențial de cercetare pentru viitor.

Astfel, pe lângă reprezentarea considerată clasică a acestor probleme, autorul a încercat și o prezentare matricială a diverselor tehnici de aproximare și modelare, ținându-se cont de volumul ridicat de date care se cer manipulate cu tehnici specifice de calcul. Ca un domeniu de abordat pentru viitor, autorul consideră că abordarea vectorială și tensorială, atât în domeniul real, cât și în domeniul complex, reprezintă un domeniu viitor de cercetare, cu rezultate promițătoare.

Un factor major în dezvoltarea *modelării matematice* și a *modelării geometrice* l-a constituit apariția, după 1950, a calculatoarelor electronice, care a condus la noi descoperiri importante, consolidând această nouă știință, iar cercetările și descoperirile din domeniul *modelării suprafețelor*, și apoi a *volumelor*, au permis extinderea orizontului acestei științe până la nivelul realizării virtuale a *modelării obiectelor*.

Aceste descoperiri au pregătit fundamentul matematic pe care s-au elaborat apoi sistemele software de proiectare existente în domeniul aplicativ. Fără acest fundament teoretic matematic, formalizat într-un limbaj adecvat, și cu simboluri specifice matematice, nu ar fi fost posibilă realizarea acestora. Lucrarea de față se dorește o modestă contribuție tocmai la cercetarea acestui fundament al conceptelor matematice ce stau la baza *modelării matematice* și a *modelării geometrice*.

În mod detaliat s-au prezentat în **capitolul 5** din lucrare suprafețele și volumele folosite în *modelarea geometrică*, în special suprafețele bicubice și bicuadrice. S-a insistat asupra unor tehnici de interpolare a suprafețelor, folosind suprafețe triunghiulare sau dreptunghiulare, și în special asupra zonelor de frontieră și de conectare între suprafețele studiate, considerându-se că aceste zone au o influență majoră, atât pentru acuratețea modelării geometrice a suprafețelor și a volumelor, dar și la precizia acestei reprezentări în zonele de frontieră și conectare.

În abordarea lucrării s-a ținut cont de faptul că metodele de *modelare geometrică* reprezintă o sinteză a unor domenii științifice diferite: geometrie analitică și descriptivă, topologie și algebră topologică, teoria logicii matematice, analiză numerică, calcul vectorial și metode matriciale, pentru a enumera doar câteva domenii ce își aduc contribuția la abordarea acestei probleme. Or aceasta a condus la necesitatea folosirii cunoștințelor din domenii diverse ale matematicii, pentru abordarea adecvată a acestor probleme complexe.

În practică, prin asamblarea acestor domenii s-a creat o disciplină independentă, cu o logică și un limbaj specific. Acest lucru a fost urmărit și în cadrul lucrării. Inițial s-a aprofundat prezentarea unor obiecte în spațiul bidimensional, apoi, întocmai ca în practică, noi cerințe, atât teoretice, cât și tehnologice, împreună cu noi cunoștințe în domeniile prezentate mai sus, au condus la extinde-

rea prezentării *modelării geometrice* și, în special, la extinderea modelării tri și multidimensionale.

În **capitolul 6** s-a abordat pe larg cuplarea sistemelor CAD-CAM, de concepție și de fabricație a entităților geometrice, atât la nivelul liniilor, a curbilor în plan și în spațiu, a suprafețelor în plan și în spațiu și a volumelor, dar accentuându-se îndeosebi asupra modelării volumelor și a suprafețelor în spațiu.

S-a prezentat *modelarea geometrică* a volumelor folosind geometria constructivă a volumelor, modele de frontieră și cu ajutorul unor poliedre. Totodată, s-au calculat proprietățile globale ale volumelor modelate folosind metoda descompunerii volumelor în părți componente și prin metoda Timmer – Stern. O atenție aparte s-a acordat abordării problemei intersecțiilor entităților geometrice.

În abordarea *modelării geometrice* a volumelor s-a ținut cont de reprezentarea obiectului de modelat, de desenul obiectului și de realizarea practică a modelului, cele trei aspecte fiind strâns legate și dependente. În practică, când se creează un *model geometric* al unui produs nou, obiectul fizic inițial nu există, ci se creează, apoi obiectul creat prin *modelare* este studiat, perfecționat sau îmbunătățit, modelul fiind apoi disponibil pentru analiză și evaluare. După selectarea unui *model* și aprobarea lui conceptuală, acesta se poate utiliza pentru fabricația obiectului modelat.

În numeroase aplicații, *modelul geometric* al unui obiect fizic poate necesita o descriere completă a proprietăților suprafețelor modelate sau poate include doar informații referitoare, de exemplu, la proprietățile de rezistență sau elasticitate a obiectului material. În practică se pot utiliza metode de *modelare geometrică* pentru a construi o descriere matematică cât mai apropiată a detaliilor unui obiect real sau pentru a simula un proces.

Construcția propriu-zisă a *modelului* se poate realiza, în principiu, utilizând calculatoare și sisteme de operații și de aplicații adecvate. Utilizarea calculatoarelor este, de fapt, principalul instrument folosit în *modelarea geometrică*. Fără un sistem de calcul adecvat, din punctul de vedere al puterii de calcul și a programelor de calcul folosite, nu este posibilă crearea, construcția și analiza unor modele sofisticate, care au o importanță practică.

Odată *modelul* creat, este necesară testarea acestuia, pentru a constata dacă el corespunde cerințelor și specificațiilor pentru care a fost creat, ceea ce conduce la elaborarea unor versiuni și variante îmbunătățite și care să corespundă în mod adecvat caietului de sarcini ale produsului.

Acceptarea *modelului* din punctul de vedere calitativ și cantitativ reprezintă pasul final spre scopul pentru care a fost construit *modelul*: acela de a permite studierea caracteristicilor și proprietățile obiectului modelat, folosind un *model virtual* conceput pentru a substitui acest obiect. Funcție de complexitatea și fidelitatea modelului, informațiile obținute din studierea modelului reprezintă o sursă importantă de informații relative, de exemplu la forma obiectului modelat, structurile de rezistență, aspect, etc.

Ca urmare a informațiilor obținute prin folosirea *modelului geometric* al obiectului modelat, analiza structurilor de rezistență mecanice, statice și dinamice, se poate studia într-un număr extrem de mare de condiții și sarcini de încărcare. Efectul acestor sarcini mecanice se pot vizualiza rapid, rezultând o interpretare clară a solicitărilor structurale, ușor de modificat în direcția cerută de caietul de sarcini.

Sistemele cinematice pe calculator au permis realizarea de *modele* diferite pentru părți diferite ale modelelor de realizat, făcând apoi îmbinarea lor finală,

fie vizual, fie analitic. Iar sistemele de inteligență artificială permit punerea de întrebări și obținerea de răspunsuri la probleme legate, de pildă, de accesibilitatea sculelor de prelucrat în asamblarea pieselor.

În departamentele de producție, calculatoarele sunt în măsură să interpreteze aceste modele, să genereze instrucțiuni de prelucrare și de asamblare pentru liniile de producție computerizate și robotizate. Inspecția finală și controlul automat al calității cu ajutorul calculatoarelor electronice a condus la creșterea indicilor de calitate a produselor realizate.

Se poate considera că un domeniu în care *modelarea geometrică* a avut cele mai spectaculoase aplicații îl reprezintă *fabricația asistată de calculator*. Modelarea geometrică a făcut posibil ca întreg procesul de fabricație al produselor să fie asistat de calculator. Sistemele de prelucrare sunt dotate cu microprocesoare capabile ca, prin folosirea unor limbaje de programare adecvate, să execute comenzile necesare realizării produselor, reprezentând faza finală a ciclului de producție.

În același timp, în funcție de complexitatea lor, realizarea suprafețelor sculptate necesită mașini-unelte de înaltă performanță, capabile să realizeze o astfel de precizie și complexitate, dar care ridică semnificativ costurile de prelucrare. Aceasta conduce la o cerință stringentă impusă proiectării proceselor tehnologice, și anume la reducerea timpilor de prelucrare, ca o măsură eficientă de folosire a mașinilor-unelte cu comandă numerică pentru realizarea suprafețelor sculptate.

În final, în **capitolul 7** din lucrare s-a prezentat pe larg teoria generării suprafețelor sculptate, cu scopul folosirii optimale a acestei teorii în domeniul prelucrării acestor suprafețe pe mașini-unelte cu comandă numerică. S-a evidențiat prin formule matematice adecvate influența alegerii adecvate, optimale, a sculelor de prelucrat, pentru optimizarea procesului de prelucrare.

S-au studiat în detaliu realizarea suprafețelor modelate pe mașini-unelte cu comanda numerică, descriindu-se din punct de vedere matematic suprafețele ce apar în cadrul prelucrării în punctul de contact. Din studierea cinematicii sculelor așchietoare s-au obținut traiectoriile optime de prelucrare pentru care se pot minimiza costurile de fabricație.

În mod detaliat s-au studiat condițiile necesare și suficiente pentru o realizare optimală a suprafeței sculptate modelate. Acestea trebuie luate în considerare atunci când se are în vedere modelarea optimală a suprafeței sculptate, reprezentând condițiile necesare și suficiente pentru îndeplinirea condițiilor proiectului tehnic de realizare a suprafeței.

Totodată, din studiul erorilor de prelucrare ce apar în procesul de obținere a suprafețelor sculptate, a rezultat necesitatea reducerii acestora pentru încadrarea în limitele de toleranță. Studiul matematic al erorilor de prelucrare prezentat în lucrare permite minimizarea acestor erori, în scopul măririi preciziei de prelucrare.

În finalul capitolului 7 se calculează parametrii optimali de prelucrare a suprafeței sculptate, în vederea minimizării costurilor de producție, evidențiindu-se metode de mărire a preciziei suprafeței sculptate și calculându-se parametrii optimali de prelucrare.

Prin cuplarea modelului geometric de analiză a suprafețelor sculptate cu programarea mașinilor-unelte cu comandă numerică se obține modelul geometric al generării suprafețelor sculptate, ceea ce reprezintă o metodă avansată de prelucrare a suprafețelor sculptate pe mașini-unelte cu comandă numerică.

Prin elaborarea acestei lucrări a rezultat că, deși progresele din domeniul modelării matematice, în general, și a *modelării geometrice*, în special, sunt impresionante, cercetările sunt departe de a fi încheiate. Se poate considera că în viitor aceste cercetări vor continua, relevând noi cunoștințe, care vor contribui, atât la dezvoltarea generală a acestui domeniu, dar și numeroase aplicații în alte domenii ale dezvoltării teoretice și practice.

# 1. NOȚIUNI ȘI PRINCIPII FUNDAMENTALE

## 1.1. Introducere

În acest capitol se prezintă definirea noțiunilor de **model** în general și de **modelare geometrică** în particular, noțiuni care fac obiectul studiului aprofundat în cadrul acestei lucrări. Se fac referiri la **model** și la **subiectul de modelat**, pe de o parte și la **modelul** propus și realitatea **modelată**, pe de altă parte. În final se prezintă etapele generale ce se parcurg în cadrul specific al creerii unui **model**, de la prezentarea problemei luată în considerare, până la testarea și validarea **modelului**.

Termenul "**modelare geometrică**" s-a consolidat în vocabularul tehnic după 1970, în principal datorită dezvoltării rapide a proiectării asistate de calculator (CAD/CAM)<sup>1</sup>. Acest termen se referă la o serie de metode utilizate pentru definirea caracteristicilor geometrice ale unui obiect în spațiu sau a unei suprafețe în plan sau în spațiu, cu scopul, în principal, de a fi realizat în practică, cu metode specifice de fabricație.

**Modelarea geometrică** extinde cunoștințele din domeniul graficii pe calculator (CG)<sup>2</sup> și a geometriei pe calculator (CG)<sup>3</sup> într-un domeniu distinct - **al modelării volumelor (solidelor)**<sup>4</sup> - domeniu care reprezintă o sinteză a îmbinării geometriei spațiale și a utilizării calculatoarelor electronice.

În general, atunci când se realizează un **model**, se creează de fapt o reprezentare a realității modelate, **model** care permite studierea caracteristicilor acestei realități într-un mod relativ facil și direct. Dacă modelul creat este unul considerat corespunzător, atunci acesta poate răspunde necesităților cercetării și producției, întocmai ca și obiectul modelat.

Uneori, în practică, se încearcă abstractizarea informației esențiale a obiectului propus, chiar ignorându-se unele informații considerate neesențiale cu scopul simplificării calculelor necesare realizării modelului propus.

## 1.2. Modelul

### 1.2.1. Termenul de model

Termenul de "**model**"<sup>5</sup> și în consecință acțiunea de a **modela** - are diferite semnificații în funcție de domeniul de aplicație.

Dicționarul Petit Larousse Illoustré (Larousse, 2007) prezintă termenul **de model - modelare** - sub diferite aspecte.

**Model:**

- ce servește ca obiect de imitare;
- persoane sau orice obiect după care lucrează și creează artiștii;

---

<sup>1</sup> Computer Aided Design / Computer Aided Manufacturing (engl.)

<sup>2</sup> Computer Graphics (engl.)

<sup>3</sup> Computational Geometry (engl.)

<sup>4</sup> Solid modeling (engl.)

<sup>5</sup> Modello (ital.)

- aparat ce permite reproducerea unei piese date prin procedee utilizate în turnătorie pentru realizarea amprenteii unei forme în care se va turna piesa metalică;
- formă în relief în sculptură, formă utilizată în pictură;
- forma de eroziune a reliefului (**model** în relief (geografie));
- caracteristică de imitare: de ex. "Turrene a fost un **model** de curaj".

**Model matematic:** reprezentarea matematică a unui fenomen fizic, chimic, uman etc. cu scopul de a studia această reprezentare în locul fenomenului propriu-zis.

**Model redus:** reprezentare la o scară redusă, dar funcțională, a unei mașini sau a unui ansamblu.

**A modela:**

- a porni de la pământ, argilă, ceară pentru a obține forme concrete;
- a imita, prin desen sau pictură obiectul ales;
- figurativ: a se conforma: "și-a modelat conduita sa după a oamenilor de bine".

Alți termeni legați de noțiunea de **model** pot fi:

**Modelor - modelator:** artist care modelează o statuie, un basorelief. În industrie: un modelator poate fi un muncitor care face modele din lemn, argilă, ceară etc. pentru mulajul pieselor turnate.

**Modelare:** acțiunea de a modela figuri în relief.

**Modelist:** desenator/are de modele, persoană care fabrică modele reduse.

**Model**, ca adjectiv: perfect în domeniul său - un elev model, o femeie model.

În (Ören, 1979) se definește un **model** ca un obiect artificial și care reflectă și reproduce elemente esențiale, relații între elemente ale structurii și funcții ale unui obiect concret sau fenomen al realității într-un mod simplificat și care astfel poate fi folosit ca instrument pentru examinarea și analizarea realității concrete.

Fenomenul de **modelat** - realitatea - și **modelul** creat trebuie să fie similar sau cât mai apropiat de obiect sau fenomen, referitor la caracteristicile și funcțiile modelate.

Faptul că **modelul** este obținut prin simplificarea unor caracteristici și funcții ale fenomenului real se datorește necesității de a simplifica studiul fenomenului real. Ca urmare, **modelul** este o simplificare, o reducere, o abstractizare a realității, iar **modelele** reduc obiectele originale la unele mai simple. În același timp este posibil ca **modelele** să aibă caracteristici fără nici-o legătură cu fenomenul sau obiectul studiat. După cum este posibil să existe mai multe **modele** pentru același fenomen sau mai multe **modele** parțiale care să reflecte mai mult sau mai puțin exact fenomenul sau obiectul de modelat.

În același timp, se poate face o distincție între **modelele structurale** și **modelele funcționale**. În general **modelele structurale** încearcă o analogie între obiectul sau obiectele originale și **modelul** referitor la relațiile între elementele sistemului. Pe de altă parte este posibil ca realizarea **modelului** să corespundă integral obiectului (fenomenului) inițial (original).

**Modelele funcționale** reprezintă comportamentul unui sistem în funcție de datele de intrare/ieșire ale sistemului. Ca urmare, **modelul** ignoră structura internă a obiectului sau a fenomenului original cu scopul de a reproduce legăturile funcționale, obținându-se "cutia neagră"<sup>6</sup> a obiectului de studiu.

<sup>6</sup> Black box (engl.)

Studiind reacțiile sistemului la diferiți stimuli se poate obține comportamentul sistemului considerat, eventual predicția și evoluția comportării acestuia în spațiu sau în timp.

### 1.2.2. Modelul și subiectul de modelat

În practică este evident că **modelele** servesc unor scopuri diferite. Persoana care dezvoltă un **model** încorporează diverse informații despre fenomenul (obiectul) real în crearea **modelului**, iar persoana care utilizează acel **model** obține noi informații despre fenomenul (obiectul) studiat folosind **modelul** creat sau propus.

În acest fel, **modelele** pot fi clasificate în funcție de scopul pentru care au fost create:

- obținerea de noi informații, de ex. când acestea nu pot fi obținute considerând obiectul original sau este prea costisitor să fie obținute în acest mod;
- diseminarea informațiilor (un astfel de exemplu îl constituie hărțile geografice – un **model** al datelor geodezice);
- ca aplicații tehnice cu scopul de a înlocui sistemele originale (de ex. sistemul autopilot al avioanelor).

### 1.2.3. Modelul propus și realitatea modelată

În general utilizatorul **modelului** verifică informațiile obținute prin utilizarea **modelului** la studiul fenomenului original cu scopul de a obține noi informații sau de a verifica cele existente.

Rezultă că un **model**, experimental sau de simulare, nu înlocuiește datele și experimentele empirice, inițiale. Exemplul clasic îl poate reprezenta prognoza meteorologică și care folosește **modelele** matematice ale atmosferei, bazându-se pe datele meteorologice anterioare pentru a prezice vremea probabilă.

Un alt exemplu îl constituie utilizarea **modelării** matematice la procesarea datelor medicale așa cum sunt ele obținute prin folosirea tomografiei computerizate (CT)<sup>7</sup>, rezonanța magnetică (MRI)<sup>8</sup>, tomografiei cu emisie de protoni (PET)<sup>9</sup>, angiografie digitală (DSA)<sup>10</sup> etc.

Datele obținute sunt folosite la crearea unui **model** grafic a corpului uman în vederea stabilirii diagnosticului. Cu toate că aceste metode devin din ce în ce mai sofisticate și precise, diagnosticul final implică și alte investigații de specialitate.

### 1.2.4. Crearea modelului

Activitatea de creare a unui **model**, denumită anterior **modelare**, presupune parcurgerea unor etape care să conducă la crearea și dezvoltarea **modelului** propriu-zis. Această activitate se prezintă figura 1.1, unde diagrama propusă încearcă definirea etapelor creării unui **model** ca o succesiune logică a etapelor procesului de **modelare**.

<sup>7</sup> Computered tomography (engl.)

<sup>8</sup> Magnetic resonance imaging (engl.)

<sup>9</sup> Positron emission tomography (engl.)

<sup>10</sup> Digital subtraction tomography (engl.)



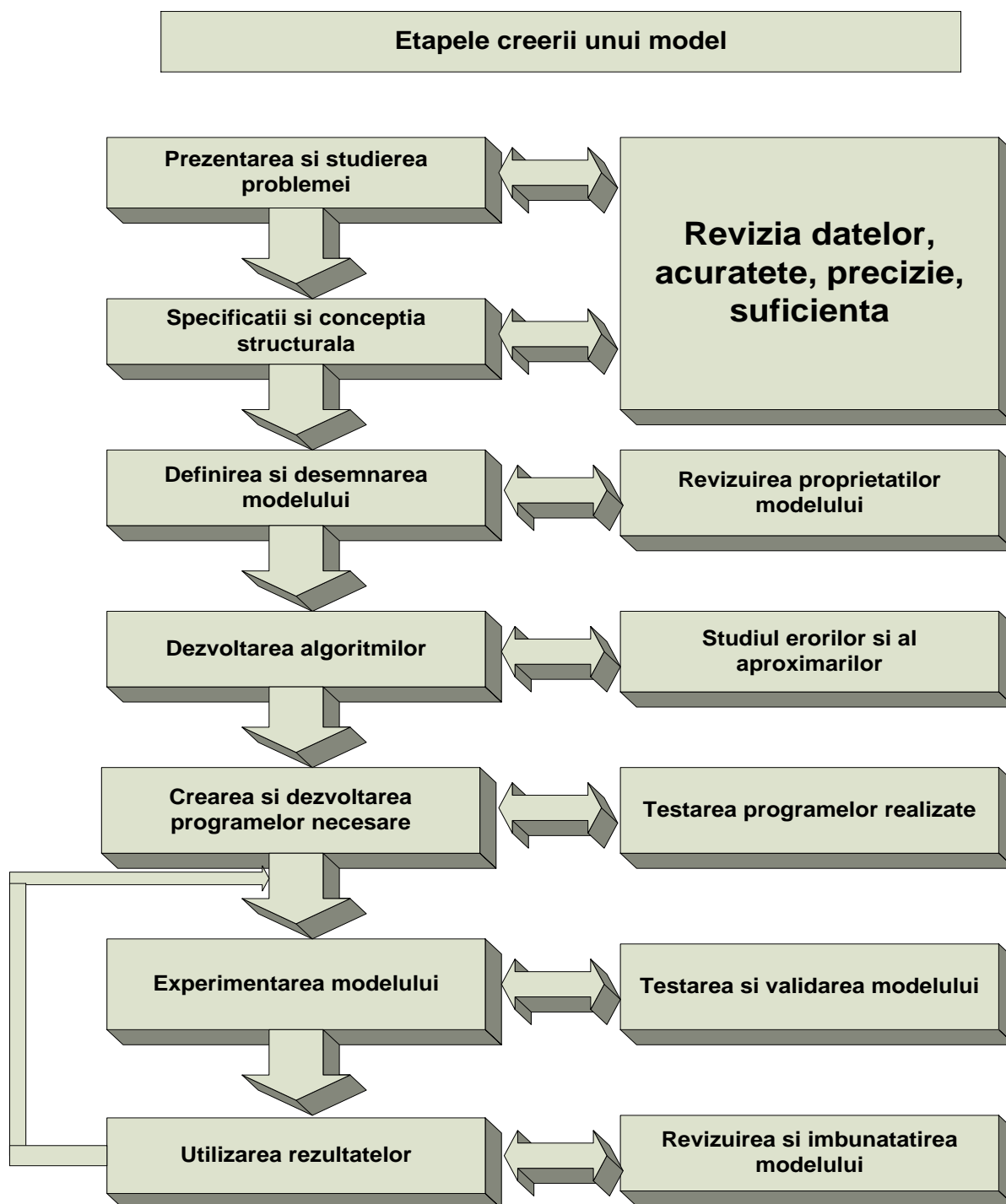


Fig. 1.1. Etapele creerii unui model

#### 1.2.4.1. Prezentarea și studierea problemei

Primul pas în constituirea **modelului** îl constituie prezentarea clară a problemei studiate, definindu-se scopul cercetării și al investigației, stabilindu-se acuratețea necesară. De multe ori, în cursul construirii **modelului**, problema modelată se poate modifica și remodela pentru a reflecta mai precis fenomenul studiat.



#### 1.2.4.2. Specificații și concepția structurală

După obținerea datelor necesare și verificarea acurateții lor, acestea sunt grupate, structurate și organizate în vederea alegerii sau creării **modelului** adecvat procesului studiat.

#### 1.2.4.3. Desemnarea și definirea modelului

Având la baza datele procesului de **modelat** și alegându-se metoda de **modelare**, se desemnează **modelul** ca o imagine fizică a obiectelor sau fenomenelor studiate. Proprietățile relevante ale obiectelor sau fenomenelor studiate se pot descrie folosind un limbaj natural sau formal, ca de exemplu în cazul **modelelor** matematice, și care formalizează procesul **modelat**.

La alegerea **modelelor** se ține cont de criteriile metodologice, de analiza costurilor necesare realizării **modelului**, de acuratețea necesară, de complexitatea **modelului**, de destinația acestuia etc.

Descrierea calitativă și cantitativă a obiectului sau a fenomenului de **modelat** trebuie să fie suficient de precisă ca să corespundă intențiilor pentru care a fost creat **modelul**. Ca urmare, **modelul** trebuie să reflecte în mod adecvat descrierea calitativă pe baza datelor disponibile.

Creșterea gradului de complexitate a problemei studiate poate duce la complicarea **modelului** și care uneori face ca modelul să fie dificil de utilizat. Utilizarea unui **model** neadecvat sau care să distorsioneze problema studiată în loc să o rezolve, reduc șansele de existență a **modelului**. De aceea, verificarea și testarea **modelului** propus este crucială.

Deși uneori **modele** complexe par mai potrivite în a descrie fenomenele studiate decât **modelele** simple, totuși sunt posibile cazuri când prea multe parametrizări să nu reflecte adecvat realitatea.

„Din două **modele** adecvate, cel ce necesită mai puține resurse sau mai puține prezumții este cel mai adecvat”<sup>11</sup>. Matematic. aceasta se poate exprima folosind diferite metode numerice simple, ca de ex. analiza valorilor singulare sau analiza factorilor, ca metode care analizează relațiile dintre elementele unui fenomen aleator dat și cauzele acestuia.

#### 1.2.4.4. Dezvoltarea algoritmilor

Dezvoltarea algoritmilor ține cont de tipul problemei de **modelat** și resursele disponibile pentru rezolvarea algoritmilor propuși. În funcție de destinația **modelului** se pot alege sau crea programe specifice **modelului** respectiv și care să reflecte cât mai adecvat problema propusă.

#### 1.2.4.5. Testarea și validarea modelului

Odată **modelul** ales, testarea și validarea acestuia apare ca o etapă necesară pentru experimentarea **modelului**.

Problemele principale care se consideră în cadrul etapei de experimentare a **modelului** trebuie să răspundă întrebărilor de tipul:

- Comportarea **modelului** corespunde în suficientă măsură comportamentului fenomenului (obiectului) abordat?
- Este **modelul** mult prea complicat, poate fi perfecționat?
- Comportarea **modelului** comparativ cu fenomenul (obiectul) studiat limitează aplicabilitatea sa?

<sup>11</sup> Principiul lui Occam, cunoscut sub numele de principiu minimal.

Ca metode de verificare se pot folosi următoarele strategii:

- Verificarea statistică bazată pe teste statistice, care în limita unor erori de probabilitate impuse determină dacă **modelul** acoperă sau nu comportamentul fenomenului (obiectului) studiat;
- Verificarea indirectă, care demonstrează că contrariul nu e posibil sau e posibil doar în cazuri particulare.

O analiză a sensibilității **modelului** se impune ca necesară și care să arate cât de sensibil este **modelul** la schimbarea parametrilor sau a structurii fenomenului (obiectului) de studiat. Comportamentul **modelului** trebuie să corespundă comportamentului sistemului studiat, în limitele acceptate sau impuse ulterior. **Modelul** validat poate fi folosit apoi – ca în cazul simulării pe calculator – la găsirea soluțiilor problemei originale.

### 1.3. Modelarea matematică numerică

Pentru descrierea, analiza și controlul unor fenomene (obiecte) tehnice, științifice, economice – principalul scop al existenței și dezvoltării **modelării**, în general, și a celei matematice în special – se consideră că sunt posibile cel puțin două metode de abordare:

1. **prin experiment**: informațiile necesare modelării fenomenelor (obiectelor) se obțin din examinarea fenomenelor (obiectelor) propriuzise;
2. **prin simulare**: datele necesare studierii fenomenelor (obiectelor) se obțin în principal prin utilizarea calculatoarelor electronice, și care pe baza unui **model** creat, în special cu ajutorul metodelor matematice, furnizează aceste date.

Atunci când se pune problema alegerii strategiei utilizate, de regulă se iau în considerare costul și fezabilitatea proiectului. În același timp, există fenomene pentru care singurele metode de studiere sunt metodele științifice, în special matematice, folosindu-se de cele mai multe ori calculatoarele electronice și, în special, sisteme de programe (software) adecvate (Meyer, 1984).

Un element important al specificațiilor problemelor de rezolvat îl constituie nivelul de acuratețe cerut datelor inițiale ce sunt folosite ulterior pentru **modelarea** fenomenelor (obiectelor).

În cadrul studiilor de simulare, calitatea **modelelor** și a datelor ce rezultă din aplicarea metodelor sunt determinante pentru obținerea nivelului de acuratețe cerut. De aceea, pentru a obține acest nivel este necesară cunoașterea și cuantificarea totalităților factorilor care influențează acest nivel.

#### 1.3.1. Aspecte calitative și cantitative ale procesului de modelare

Uneori este posibil ca în procesul de elaborare a **modelului** să se obțină expresii matematice care să nu poată fi rezolvate într-o manieră simplă. Aceasta înseamnă că utilizarea formulelor matematice care să descrie și să modeleze problema dată pot conduce la situații calitative referitoare la legăturile dintre datele existente și valorile obținute utilizând **modelele** create. Dar, în practică, sunt mai puțin frecvente situațiile în care scopul **modelării** îl constituie rezolvarea problemelor cantitative ale proceselor **modelate**.

### 1.3.2. Probleme ale modelării matematice

În general, **modelarea** matematică se prezintă sub forma unor expresii matematice (ecuații algebrice, ecuații diferențiale, inecuații, etc.) care încearcă să „**modeleze**” (să reproducă) teoretic sau practic un fenomen (obiect, proces).

Se poate menționa că în **modelarea** matematică se pot întâlni următoarele probleme:

- *Calitative*:
  - ca de exemplu, în examinarea stabilității soluțiilor obținute (ținând cont de perturbațiile ce apar în **model**);
  - sau problemele ce pot apare urmărind evoluția **modelului** după o perioadă de timp.
- *Cantitative*:
  - pot apare de exemplu când se cere precizarea soluțiilor sau a valorilor variabilelor, fie ele constitutive ale procesului, fie ca valori de control.

### 1.3.3. Prelucrarea datelor numerice

Problemele matematice care apar în procesul de **modelare** necesită determinarea stărilor variabilelor ce fac parte din proces. Aceasta a condus, prin natura și volumul datelor numerice, la dezvoltarea unei noi ramuri ale matematicii: matematica numerică<sup>12</sup> sau matematica prelucrării datelor numerice<sup>13</sup> sau analiza numerică<sup>14</sup>. Această ramură se ocupă cu crearea, analiza și implementarea de metode matematice care, folosind calculatoarele electronice, să fie în măsură rezolve probleme numerice.

În principiu există o delimitare între problemele matematice și problemele numerice, chiar dacă la reprezentarea soluțiilor unor probleme matematice se folosesc formule matematice. Pe de altă parte însă, numeroase probleme numerice pot fi puse în corespondență cu diferite probleme matematice care să fie apoi folosite la obținerea unor soluții acceptabile. În practică există numeroase metode de a obține soluții numerice începând cu dezvoltarea și implementarea unor algoritmi proprii, până la utilizarea unor sisteme de programe de calcul disponibile (Hamming, 1987).

### 1.3.4. Tipuri de probleme numerice

Rezolvarea problemelor numerice se poate încadra în următoarele tipuri:

- evaluarea de funcții  $f: F \rightarrow \mathbb{R}$ :
  - prin calculul valorilor funcțiilor  $f(x)$ ,
  - a derivatelor  $f'(x)$ ,  $f''(x)$ , ... (diferențiere numerică),
  - prin integrare  $\int_a^b f(t) dt$  (integrare numerică),
  - calculul normelor  $\|f\|_p$ , (unde  $\|\cdot\|$  reprezintă norma funcției corespunzătoare);
- soluții ale unor ecuații algebrice prin determinarea valorilor algebrice ale necunoscutelor rezolvând sisteme de ecuații liniare sau neliniare;
- soluții ale ecuațiilor analitice prin determinarea unor operatori folosind:
  - ecuații diferențiale ordinare sau parțiale,

<sup>12</sup> Numerical Mathematics (engl.)

<sup>13</sup> Numerical data processing (engl.)

<sup>14</sup> Numerical analyses (engl.)

- ecuații integrale,
- ecuații funcționale,
- ecuații Boule, etc.;
- soluții de optimizare a problemelor prin determinarea unor valori numerice sau funcționale, în funcție de unele condiții date și care să optimizeze (maximizeze sau minimizeze) o funcție obiectiv dată.

În concluzie, se poate afirma că rezolvarea problemelor numerice poate fi privită ca o problemă  $F: x \rightarrow \mathbb{R}$  în spațiile liniare normate  $\mathbb{R}^{n \times n}$ , unde în funcție de entitățile necunoscute  $y$ ,  $x$  sau  $F$  avem următoarele probleme (Tabel 1.1):

Tabel 1.1. Rezolvarea problemelor numerice

<b>Problema:</b> ↔	<b>F</b>	<b>x</b>	<b>Y</b>
↓	↓	↓	↓
- Directă ↔	dat	dat	se cere
≤ Inversă ↔	dat	se cere	dat
≤ De identificare ↔	se cere	dat	dat

### 1.3.5. Erori în modelarea matematică

Prin „**modelare** matematică” se încearcă găsirea și realizarea unui „**model** matematic”, o formulă, un polinom, o relație matematică etc., care să aproximeze (să reflecte) o situație, o realitate, un proces etc., date și cunoscute prin expresii numerice sau formule definite.

Noțiunea de „aproximare” indică faptul ca între realitate și **modelul** propus există o diferență și care se poate exprima prin calculul erorilor în **modelarea** matematică: cu cât eroarea e mai mică, cu atât **modelarea** se apropie de realitatea **modelată**.

Acuratețea și calculul erorilor reprezintă un capitol distinct în analiza numerică. În general, se disting:

- **Erori în datele de intrare**, inițiale, ale procesului de **modelat**. De exemplu, astfel de erori pot apare în utilizarea aparatelor de măsurat și care își au clasele lor de toleranțe;
- **Erori de rotunjire** ce pot apare, de exemplu, atunci când reprezentarea numerelor se restrânge la un număr finit de cifre, de exemplu la reprezentarea numerelor în calculatoarele electronice;
- **Erori de aproximare** pot apare, de exemplu, atunci când se încearcă descrierea unui **model** M folosind o „aproximare”, o relație simplă  $\tilde{M}$ , și care încearcă sa „aproximeze” **modelul** M. În acest caz, erorile poartă denumirea de erori de **model**. Uneori, în dezvoltarea algoritmilor ce stau la baza **modelului** se fac unele simplificări, care însă modifică rezultatul, apărând modificări de algoritmi ale **modelului**.
- **Erori de trunchiere** ce se definesc ca diferența dintre funcția dată  $f(x)$  și funcția de aproximare  $p(x)$ , acceptând să folosim un polinom de aproximare  $\Pi(x)$ .

În acest caz, eroarea de trunchiere este:

$$f(x) - p(x) = \frac{\Pi(x)}{(n+1)!} y^{(n+1)}(\zeta);$$

Deși  $\zeta$  este necunoscut, formula poate fi totuși folosită pentru a obține marginile domeniului de eroare  $x_0$  și  $x_n$ . De remarcat că în probleme de predicție,

acest tip de eroare poate fi substanțial, deoarece factorul  $\zeta$  devine foarte mare în afara intervalului în care se află  $x_0$  și  $x_n$ .

În principiu este necesar să existe relația:

$\|$ erorile în datele de intrare + erorile de rotunjire + erorile de aproximare + erorile de trunchiere  $\| \leq$  toleranța dată.

- Datorită efectelor erorilor de aproximare și de rotunjire, soluția  $\tilde{x}$  a problemei numerice nu este în general egală cu soluția  $x$  a problemei matematice. Totuși ea trebuie să aibă o anumită acuratețe:

$$\| \tilde{x} - x \| < \varepsilon, \text{ pentru un } \varepsilon > 0 \text{ dat.}$$

- Datorită efectelor erorilor datelor de intrare și a erorilor de trunchiere, soluția  $x$  a problemei matematice descrie procesul pe baza căruia s-a creat modelul. Față de acestea se estimează o eroare de date și de aproximare:

$$\| x - x_{real} \| < \delta, \text{ pentru } \delta > 0 \text{ dat.}$$

În acest caz se estimează o eroare generală ca fiind dată de formula:

$$\| \tilde{x} - x_{real} \| \leq \beta \| \tilde{x} - x \| + \| x - x_{real} \| \leq \beta \varepsilon + \delta$$

Această relație indică faptul că nu este suficient să se aleagă o eroare relativ mică  $\varepsilon$  pentru problema numerică și care să garanteze o eroare generală pentru soluția aproximativă  $\tilde{x}$ . Pe de altă parte efectul erorilor de date și de aproximare  $\| x - x_{real} \|$  trebuie să fie suficient de mic pentru a avea valori acceptabile pentru eroarea generală  $\| \tilde{x} - x_{real} \|$ .

În practică, estimarea efectelor diverselor erori poate deveni destul de complicată, iar în unele cazuri chiar imposibilă. Uneori se preferă efectuarea de teste sau experimente care să valideze sau nu modelul, iar algoritmi și programele să fie create în așa fel ca acesta să corespundă acurateței cerute de problema dată.

Dacă prin validare rezultă că nivelul de acuratețe nu a fost atins, este necesară izolarea factorilor responsabili pentru nivelul de eroare și modificarea (îmbunătățirea) **modelului** care astfel să corespundă cerințelor **modelării** (Rutherford, 1995).

### 1.3.6. Problema condiției numerice

Impactul erorilor datelor și a erorilor de trunchiere  $\| x - x_{real} \|$  face obiectul analizei erorilor de date și care se referă la a stabili ce măsură soluția  $x$  este modificată, dacă datele  $\mathcal{D}$  pe care această soluție se bazează a fost alterată din cauza introducerii datelor eronate.

Tranziția de la datele  $\mathcal{D}$  ale problemei originale (numite **date fără perturbare**) la datele  $\overline{\mathcal{D}}$  ale modelului (numite **date perturbate**) reprezintă tranziția de la soluția exactă  $x$  la soluția perturbată  $\bar{x}$ .

### 1.3.7. Numărul condiției absolute

S-a arătat mai sus că erorile de forma:

$$\| \bar{x} - x \| \leq \| \overline{\mathcal{D}} - \mathcal{D} \|$$

caracterizează sensibilitatea soluției la schimbările (**perturbările**) datorate erorilor datelor de intrare. Partea dreaptă a inegalității de mai sus reprezintă norma în spațiul  $S \subset \mathbb{R}^n$  al datelor și care măsoară distanța (**diferența**) dintre  $\mathcal{D}$  și  $\overline{\mathcal{D}}$ .

Cel mai mic factor posibil:

$$k = \inf \{ \| \bar{x} - x \| \leq \| \overline{\mathcal{D}} - \mathcal{D} \| \}, \text{ unde } \overline{\mathcal{D}}, \mathcal{D} \in S \subset \mathbb{R}^n$$

reprezintă **numărul condiției absolute** a problemei matematice relativ la acel particular set de date.

### 1.3.8. Numărul condiției relative

Definind inegalitatea:

$$\frac{\|\bar{x} - x\|}{\|x\|} \leq \kappa \frac{\|\bar{\mathcal{D}} - \mathcal{D}\|}{\|\mathcal{D}\|}$$

se obține **numărul condiției relative** a problemei matematice pentru factorul  $\kappa$  relativ la setul de date.

Pentru a cuantifica sensibilitatea modelului  $F : \mathbb{R}^n \rightarrow \mathbb{R}^n$ ,  $a \mapsto y$  la perturbații, considerăm o dată particulară  $a_i \in \mathbb{R}$  și studiem perturbația pe care o produce această dată asupra variabilei  $y_j \in \mathbb{R}$ .

Comparăm modificările relative ale rezultatului:

$$M_r = \frac{|(y_j(a_1, \dots, a_{i-1}, \tilde{a}_i, a_{i+1}, \dots, a_m)) - y_j(a_1, \dots, a_m)|}{|y_j(a_1, \dots, a_m)|}$$

cu modificările asupra datelor:

$$D_i = \frac{|\tilde{a}_i - a_i|}{|a_i|}, i = 1, 2, 3, \dots, n, \dots, m.$$

și care ne conduce la cuantificarea modificării relative a rezultatului variabilelor  $y_j$ , într-un punct particular  $a_i$  sub forma:

$$K_{y_j \leftarrow a_i} = \frac{M_r}{D_i}, i = 1, 2, \dots, n, \dots, m$$

Dacă respectivele cantități:  $a_1, a_2, \dots, a_i, \dots, a_m$  și  $\tilde{a}_i \neq a_i$  variază în așa fel încât:  $(a_1, a_2, \dots, a_i, \dots, a_m)$  și  $(a_1, a_2, \dots, \tilde{a}_i, \dots, a_m)$  sunt elemente ale unui sistem de date  $\mathcal{D}$ , atunci **numărul condiției relative**  $K_{y_j \leftarrow a_i}(\mathcal{D})$  și care reprezintă sensibilitatea lui  $y_j$  în raport cu schimbările lui  $a_i$ , se obține ca suprem al tuturor fracțiilor  $D_i$ , pentru  $i = 1, 2, \dots, n, \dots, m$ . Dacă de exemplu numărul condiției relative  $K_{y_j \leftarrow a_i} = 5$ , determinarea impactului lui  $a_j$  asupra lui  $y_j$  înseamnă că schimbând  $a_i$  cu 1%, rezultă schimbări ale rezultatului  $y_j$  cu 5%.

Este evident că **numărul condiției relative**  $K_{y_j \leftarrow a_i}$  acoperă cel mai dezavantajos caz, astfel încât impactul asupra sensibilității lui  $y_j$ , pentru orice schimbări arbitrare ale lui  $a_i$ , să fie corect reprezentat.

### 1.3.9. Calculul numerelor condiției folosind diferențierea

Din definițiile de mai sus se poate observa ca problema **numerelor condiției** se tratează luând în considerare diferența dintre situația reală și cea care rezultă din modelarea propusă. Or aceasta poate conduce la ideea folosirii calculului diferențial și a noțiunii de derivată în calculul **numerelor condiției**.

Fie o funcție  $f$  continuu diferențiabilă pe  $\mathbb{R}$  și un argument  $a$  astfel încât  $y = f(a)$ .

Folosind schimbarea de variabilă:  $\tilde{a} = a + \Delta a$  în mod corespunzător se schimbă  $y$ :

$$\tilde{y} = f(\tilde{a}) = f(a + \Delta a) = f(a) + f'(\bar{a}) \Delta a = y + \Delta y,$$

unde  $a \leq \bar{a} \leq a + \Delta a$  și unde schimbarea  $\Delta y$  este dată de relația:

$$\Delta y = \tilde{y} - y = f'(\bar{a}) \Delta a.$$

Relațiile dintre schimbările relative  $\frac{\Delta y}{y}$  și  $\frac{\Delta a}{a}$ , unde  $y = f(a)$  se pot obține prin simple transformări:  $\frac{\Delta y}{y} = \frac{a f'(\bar{a})}{f(\bar{a})} \cdot \frac{\Delta a}{a}$ , dar primul termen  $\frac{a f'(\bar{a})}{f(\bar{a})}$  reprezintă tocmai modificarea relativă conform definiției acesteia.

Deoarece  $\bar{a} \approx a$  formula  $K_{y_{j \rightarrow a_i}} = \left| \frac{a f'(\bar{a})}{f(\bar{a})} \right| \approx K_{y_{j \rightarrow a_i}}(B)$  produce o aproximare satisfăcătoare a **numărului condiției relative** într-un domeniu de date suficient de mic  $B$ . Pentru date într-un domeniu multidimensional, formula de mai sus poate fi interpretată prin analogie ca o formulă multidimensională sau derivatele parțiale ale datelor individuale pot fi folosite pentru a obține valorile individuale ale **numerelor condițiilor**.

### 1.3.10. Problemele valorilor condițiilor numerice

Dacă valoarea **condiției numerice** a problemei matematice este mare, adică ( $K \gg 1$ ), atunci chiar pentru o mică schimbare a datelor are loc o deviere pronunțată a lui  $\bar{x}$  față de  $x$ . Aceste probleme sunt tratate în literatura de specialitate ca „ill-conditioned” față de „well-conditioned” pentru condiții mici ale valorii condiției numerice.

În același timp se poate arata că este dificil delimita o linie exactă între cele două probleme și care depinde doar de nivelul cerut și obținut al acurateții modulelor. Ca urmare, dându-se eroarea totală  $\tau$ , specificată de utilizator, aceasta poate fi obținută doar dacă se garantează că:

$$\|\tilde{x} - x_{real}\| \leq \|\tilde{x} - x\| + \|x - x_{real}\| \leq \varepsilon + \delta < \tau,$$

sau mai puțin restrictiv:

$$\varepsilon + K \|\bar{\mathcal{D}} - \mathcal{D}\| < \tau.$$

Dacă dimensiunea erorilor de date  $\|\bar{\mathcal{D}} - \mathcal{D}\|$  este cunoscută, o problemă a valorii condiției numerice  $K$  este considerată „ill-conditioned” dacă:

$\|\bar{\mathcal{D}} - \mathcal{D}\| \geq \tau$  sau chiar dacă  $K \|\bar{\mathcal{D}} - \mathcal{D}\| \approx \tau$  deoarece în aceste cazuri chiar alegerea unui  $\varepsilon$  extrem de mic (dar care de regulă necesită un efort de calcul ridicat) nu poate garanta că  $\tilde{x}$  este suficient de precis.

Dar pe de altă parte, nu este în general recomandabil să se aleagă  $\varepsilon$  mult mai mic decât  $K \|\bar{\mathcal{D}} - \mathcal{D}\|$  deoarece în acest caz nivelul total de precizie (de toleranță) este determinat de erorile de **model** și de erorile de date.

Deci, doar dacă condiția numerică a problemei matematice și nivelul total de precizie (toleranță), adică toleranța  $\varepsilon$  specificată de utilizator pentru problema numerică și informațiile asupra dimensiunii  $\|\bar{\mathcal{D}} - \mathcal{D}\|$  a erorilor de date sunt disponibile, atunci un nivel rezonabil de toleranță  $\varepsilon$  poate fi specificat.

Ca urmare, parametrii de toleranță, care de obicei se precizează ca date de intrare pentru problema numerică, se referă la eroarea  $\tilde{x} - x$  și deci joacă rolul lui  $\varepsilon$ . Aceasta datorită faptului că astfel de probleme de obicei pot controla devierea rezultatelor numerice obținute față de rezultatul matematic ideal. Discrepanța dintre model, algoritmul însăși și realitate poate fi influențată din afara sistemului doar de către utilizator.

### 1.3.11. Unele probleme ale condiției numerice

Dacă rezultatul problemei matematice depinde în mod discontinuu de datele care variază continuu, atunci soluția numerică a problemei este în general imposibilă, dacă datele sunt în vecinătatea acelei discontinuități. În astfel de cazuri rezultă perturbații substanțiale chiar pentru date extrem de precise



prelucrate cu o precizie ridicată. Aceste cazuri pot conduce la noțiunea de probleme „ill-posed”.

Analog problemelor condiției numerice pentru problemele matematice și aplicațiile pot fi „well sau ill – conditioned”, aceasta depinzând de influența unor schimbări mici în experiment și starea inițială care afectează rezultatul  $x_{real}$ .

Ca urmare o proprietate matematică relevantă a modelelor matematice o constituie similaritatea dintre aplicație și problema matematică referitor la sensibilitatea la perturbații. Dacă nu sunt astfel de similarități, atunci, în principiu, modelul nu este realist.

În practică însă, o altă abordare este aleasă: informații adiționale despre soluția expectată sunt adăugate la modelul matematic care să îmbunătățească considerabil condiția numerică, strategie denumită regularizare și care va fi abordată în capitolele ulterioare.

### 1.3.12. Constanta lui Lipschitz

Fie funcția  $F : X \rightarrow Y$ . Se spune despre această funcție ca este **Lipschitz** continuă în regiunea  $B \subseteq X$ , dacă  $\exists$  un număr  $\lambda (F, B) \in \mathbb{R}^+$  astfel încât:

$$\| F x_1 - F x_2 \| \leq \lambda (F, B) \| x_1 - x_2 \|, \text{ pentru } \forall x_1, x_2 \in B .$$

Fiecare număr  $\lambda (F, B) \in \mathbb{R}^+$  se numește astfel **constanta lui Lipschitz** a lui  $F$  în regiunea  $B \subseteq X$ . Ca urmare, cea mai realistă apreciere a sensibilității modelului este dată de cea mai mică **constantă Lipschitz**  $\lambda (F, B)$  și care se referă la **norma lui Lipschitz** a lui  $F$  în regiunea  $B \subseteq X$ .

### 1.3.13. Norma lui Lipschitz

Cantitatea:

$$\begin{aligned} \text{Lip} (F, B) &:= \inf \{ \lambda \in \mathbb{R} : \| F x_1 - F x_2 \| \leq \lambda \| x_1 - x_2 \|, x_1, x_2 \in B \} = \\ &= \sup \left\{ \frac{\| F x_1 - F x_2 \|}{\| x_1 - x_2 \|} \right\} ; \text{ unde: } x_1, x_2 \in B, x_1 \neq x_2. \end{aligned}$$

se numește **norma lui Lipschitz**  $\text{Lip} (F, B)$  a lui  $F : X \rightarrow Y$  pe  $B \subseteq X$  și care este numărul condiției absolute a problemei directe  $y = F x$  pe setul de date  $B \subseteq X$ .

Pentru o funcție neliniară  $F$ , alegerea setului de date  $B$  are o importanță crucială asupra dimensiunii condiției numerice. Pe de altă parte condiția de monotonie are loc întotdeauna deoarece:

$$B_1 \subset B_2 \Rightarrow \text{Lip} (F, B_1) \leq \text{Lip} (F, B_2)$$

Pentru o funcție liniară  $F$  pe  $X$  având **norma lui Lipschitz**  $\text{Lip} (F, B)$  pe  $B \subseteq X$  și unde  $B$  conține domeniul  $S_\delta$  astfel încât:

$$S_\delta (x_0) := \{ x \in X : \| x - x_0 \| < \delta \}, \text{ unde } \delta > 0 \text{ se află în vecinătatea lui } x_0.$$

Atunci pentru  $\forall x_1, x_2 \in X$  avem:

$$\begin{aligned} \| F x_1 - F x_2 \| &= \| F (x_1 - x_2) \| = \| c F \left( \frac{x_1}{c} - \frac{x_2}{c} \right) \| = \| c F \left( \left( x_0 + \frac{x_1}{c} \right) - \left( x_0 + \frac{x_2}{c} \right) \right) \| \leq \\ c \text{Lip} (F, B) \| \left( x_0 + \frac{x_1}{c} \right) - \left( x_0 + \frac{x_2}{c} \right) \| &= c \text{Lip} (F, B) \frac{\| (x_1 - x_2) \|}{c} = \text{Lip} (F, B) \| (x_1 - x_2) \|. \end{aligned}$$

Dacă alegem  $c > 0$  astfel încât:

$$\| \frac{x_1}{c} \| < \delta \text{ și } \| \frac{x_2}{c} \| < \delta, \text{ pentru a avea:}$$

$$x_0 + \frac{x_1}{c} \in S_\delta (x_0) \text{ și } x_0 + \frac{x_2}{c} \in S_\delta (x_0) \text{ și unde } c = \frac{(1 + \| x_1 \| + \| x_2 \|)}{\delta} .$$

Pentru funcția liniară  $F$  de mai sus, **norma Lipschitz** nu depinde de domeniul  $B \subseteq X$ , atunci când domeniul  $B$  înglobează  $S_\delta (x_0)$  și unde  $x_0 \in X$ , iar  $\delta > 0$ , adică  $B$  este în vecinătatea lui  $x_0$ .

Deoarece expresia:

$$\| F x_1 - F x_2 \| = \| F (x_1 - x_2) \| \leq \| F \| \| (x_1 - x_2) \|$$



este adevărată pentru norma  $\| F \|$  a domeniului liniar  $F$ , ea este totodată și cea mai mică valoare care satisface expresia de mai sus.

Din definiția **normei lui Lipschitz** obținem:

$$\text{Lip} ( F, B ) = \| F \|, \text{ pentru funcția liniară } F.$$

### 1.3.14. Determinarea condiției numerice prin diferențiere

Fie funcția  $F : X \rightarrow Y$  continuu diferențiabilă pe domeniul convex  $B \subseteq X$ , atunci obținem:

$$\text{Lip} ( F, B ) = \sup \{ \| f'(x) \| \}, \text{ unde: } x \in B$$

și unde  $\| \|$  reprezintă operatorul normă aplicat vectorilor în spațiul liniar  $X, Y$ .

**Demonstrație:** Pentru  $\forall x_1, x_2 \in B$  obținem:

$$F x_1 - F x_2 = \int_0^1 F'(x_2 + \lambda(x_1 - x_2)) (x_1 - x_2) d\lambda,$$

de unde:

$$\begin{aligned} \| F x_1 - F x_2 \| &\leq \int_0^1 \| F'(x_2 + \lambda(x_1 - x_2)) (x_1 - x_2) \| d\lambda \leq \\ &\leq \sup \{ \| F'(x_2 + \lambda(x_1 - x_2)) \| : \lambda \in [0, 1] \} \| (x_1 - x_2) \| \leq \\ &\leq \sup \{ \| F'(x) \| : x \in B \} \| (x_1 - x_2) \|. \end{aligned}$$

dar:

$$F x_1 - F x_2 = F' x_2 (x_1 - x_2) + R (x_1, x_2),$$

unde:

$$\| R(x_1, x_2) \| = ( \| x_1 - x_2 \| )$$

și care confirmă definiția **normei lui Lipschitz**, unde norma lui  $R$  se poate alege în mod arbitrar în apropierea lui  $\sup \{ \| F'(x) \| \}, \text{ unde: } x \in B$ .

### 1.3.15. Condiția numerică de gradul I

În anumite condiții, **condiția numerică** determinată prin **norma lui Lipschitz**  $\text{Lip} ( F, B )$  este posibil să conveargă spre  $\| F'(x_0) \|$  cu  $B \rightarrow \{x_0\}$ .

Ca urmare:  $\| F'(x_0) \|$  poate fi folosit pentru a aproxima **condiția numerică**, cu condiția ca perturbațiile să fie mici.

Aceasta ne conduce la **condiția numerică** de gradul I prin care se face tranziția de la  $B$  la setul de valori  $\{x_0\}$ . Pentru acesta, fie  $F : X \rightarrow Y$  și  $x_0 \in X$ , atunci obținem:

$$K_{K_{F \leftarrow x}}(x_0) = \lim_{\delta \rightarrow 0^+} \text{Lip} ( F, S_\delta (x_0) )$$

și care este denumită **condiția numerică** absolută de gradul I a lui  $F$  în  $x_0$ .

Dar din condiția de monotonie a **normei lui Lipschitz** avem:

$$B_1 \subseteq B_2 \Rightarrow \text{Lip} ( F, B_1 ) \leq \text{Lip} ( F, B_2 ),$$

care este marginea superioară  $K_{K_{F \leftarrow x}}(x_0) \text{Lip} ( F, B )$  și care este adevărată pentru orice vecinătate a lui  $x_0$  în  $B$ . S-a ales în mod convențional o vecinătate a lui  $x_0$  deoarece  $x$  se deplasează în direcții arbitrare, atunci când este analizată comportarea lui  $x$ .

Deoarece:

$$\text{Lip} ( F, S_\delta (x_0) ) \geq 0, \text{ pentru } \forall S_\delta (x_0), \text{ marginea inferioară:}$$

$K_{K_{F \leftarrow x}}(x_0) \geq 0$  poate fi considerată ca o estimare a lui  $\text{Lip} ( F, B )$  în vecinătatea lui  $x_0$  în  $B$ , după cum arată următoarea:

**Teoremă:** dacă:  $( K_{K_{F \leftarrow x}}(x_0) ) > 0$ , atunci pentru orice  $\rho > 0$  și  $\forall \delta > 0$ , astfel încât **condiția numerică**  $\text{Lip} ( F, B )$  pentru  $\forall$  vecinătate  $x_0$  în  $B$ , unde:  $B \subseteq S_\delta (x_0)$ , poate fi estimată de numărul de condiție de gradul I  $K_{K_{F \leftarrow x}}(x_0) > 0$  adică:

$$K_{K_{F \leftarrow x}}(x_0) \leq \text{Lip}(F, B) \leq (1 + \rho) K_{K_{F \leftarrow x}}(x_0)$$

**Demonstrație:** Condițiile de mai sus impun inegalitatea din partea stângă:

$$K_{K_{F \leftarrow x}}(x_0) \leq \text{Lip}(F, B) > 0, \text{ pentru } \forall \text{ vecinătate } x_0 \text{ în } B.$$

Pentru a demonstra inegalitatea din partea dreaptă considerăm cantitatea  $\varepsilon$  astfel încât:

$$\varepsilon := \rho K_{K_{F \leftarrow x}}(x_0) > 0$$

definită corespunzător ipotezelor teoremei de mai sus.

Atunci există  $\delta > 0$  astfel încât:

$$\text{Lip}(F, S_\delta(x_0)) \leq K_{K_{F \leftarrow x}}(x_0) + \varepsilon$$

deoarece:

$$K_{K_{F \leftarrow x}}(x_0) := \text{Lip}(F, S_\delta(x_0)), \text{ unde } \delta \rightarrow 0^+$$

**Demonstrația:** este completă dacă îl substituim pe  $\varepsilon$  și aplicăm condiția de monotonie a **normei lui Lipschitz** :

$$B_1 \subseteq B_2 \Rightarrow \text{Lip}(F, B_1) \leq \text{Lip}(F, B_2) \text{ pentru } B \leq S_\delta(x_0).$$

Teorema de mai sus ne arată ca în principiu, **condiția numerică** absolută a lui  $F$  într-o vecinătate  $x_0$  a lui  $B$  suficient de mică este de aceeași mărime ca și  $K_{K_{F \leftarrow x}}(x_0)$ . În comparație cu norma  $\text{Lip}(F, B)$  a lui Lipschitz, **condiția numerică** de gradul I  $K_{K_{F \leftarrow x}}(x_0)$  este mult mai ușor de calculat, fiind astfel un instrument versatil când se analizează sensibilitatea modelului la schimbările de variabile sau de condiții.

Mai mult, în particular, teorema de mai sus și condiția de monotonie implică:

$$K_{K_{F \leftarrow x}}(x_0) = \{ \|F'(x_0)\| : x \in B \}.$$

Dar pe de altă parte, dacă numărul de condiție de gradul I tinde spre zero, de exemplu  $K_{K_{F \leftarrow x}}(x_0) = 0$ , nu întotdeauna  $F$  răspunde la schimbările lui  $x$  în vecinătatea  $x_0$  a lui  $B$ .

Dar pentru un spațiu liniar  $F$  ecuația:

$$K_{K_{F \leftarrow x}}(x_0) = \text{Lip}(F, B) = \|F\|$$

are loc pentru  $\forall x_0 \in x$  și pentru orice  $B \subseteq X$ .

### 1.3.16. Condiția numerică de gradul I relativă

Pentru a obține estimarea locală a numărului condiției relative, valoarea condiției numerice absolute se împarte la valorile lui  $x$  corespunzătoare rezultatelor  $F(x)$ :

$$K_{F \leftarrow x}(x_0) := \frac{\|x_0\|}{\|F(x_0)\|} K_{K_{F \leftarrow x}}(x_0),$$

Pentru o funcție diferentiabilă  $F$  ecuația  $K_{K_{F \leftarrow x}}(x_0) := \|F'(x_0)\|$  conduce la formulele:

$$K_{F \leftarrow x}(x_0) = \frac{\|x_0\|}{\|F(x_0)\|} \|F'(x_0)\| \text{ pentru funcții multi-variabile și}$$

$$K_{F \leftarrow x}(x_0) = \frac{|x_0|}{|F(x_0)|} |F'(x_0)| \text{ pentru funcții mono-variabile.}$$

### 1.3.17. Condiția numerică pentru problema matematică inversă

Fie funcția  $F x = y$  continuu diferentiabilă pe domeniul convex  $B \subseteq X$ . Problema matematică inversă înseamnă al găsi pe  $x$  atunci când sunt date  $F$  și  $y$ . În acest caz se cere investigată și problema perturbațiilor  $\bar{F} \bar{x} = \bar{y}$ , unde termenii sint afectați de erori, de exemplu:

$$\bar{F} = F + \Delta F, \bar{x} = x + \Delta x, \bar{y} = y + \Delta y.$$

Ca ipoteză inițială:

- se presupune că  $\bar{F}$  și  $F$  au o soluție unică în vecinătatea lui  $B$ ,
- și că norma lui Lipschitz există pentru ambii  $\bar{F}^{-1}$ , și  $F^{-1}$  adică:

$$\| (x_1 - x_2) \| \leq \text{Lip} (F^{-1}, B) \| F (x_1) - F (x_2) \|$$

și

$$\| (x_1 - x) \| \leq \text{Lip} (\bar{F}^{-1}, B) \| F^{-1} (x_1) - \bar{F}^{-1} (x_2) \|$$

și unde:  $B \subseteq Y$ .

Din ipoteza inițială rezultă:

$$\begin{aligned} F (\bar{x}) - F (x) &= F (\bar{x}) - y = \\ &= F (\bar{x}) - \bar{y} + \Delta y = F (\bar{x}) - \bar{F} (\bar{x}) + \Delta y = -\Delta F \bar{x} + \Delta y \end{aligned}$$

Dacă substituim  $x_1 = \bar{x}$  și  $x_2 = x$  în ipotezele de mai sus:

$$\| \Delta x \| \leq \text{Lip} (F^{-1}, B) \| F (\bar{x}) - F (x) \| \leq \text{Lip} (F^{-1}, B) (\| \Delta F (\bar{x}) \| + \| \Delta y \|)$$

Prin analogie:

$$\bar{F} (\bar{x}) - \bar{F} (x) = -\Delta F (x) + \Delta y,$$

și care din ipoteza inițială rezultă că:

$$\| \Delta x \| \leq \text{Lip} (\bar{F}^{-1}, B) \| \bar{F} (\bar{x}) - \bar{F} (x) \| \leq \text{Lip} (\bar{F}^{-1}, B) (\| \Delta F (x) \| + \| \Delta y \|)$$

Mai rezultă că ambii  $\text{Lip} (F^{-1}, B)$  sau  $\text{Lip} (\bar{F}^{-1}, B)$  pot fi aleși ca și **condiție numerică** absolută a problemei inverse când se studiază valorile din partea dreaptă a inegalității. Din relația de monotonie se poate observa că norma  $\| \Delta x \|$  de mai sus devine mai precisă dacă  $B$  este ales cât mai mic posibil. În mod ideal, pentru analiza **condiției numerice**, domeniul  $B$  este selectat cât mai mic posibil în vecinătatea lui  $y \in Y$ , dar care să includă toate perturbațiile valorilor  $y + \Delta y$  datorate erorilor de date  $\Delta y$ .

Dacă **norma Lipschitz**  $\text{Lip} (\Delta F, B)$  a perturbației  $\Delta F$  este cunoscută, atunci este posibil a se elimina  $\text{Lip} (\Delta F, B)$  din formula de mai sus, estimându-se ulterior  $\text{Lip} (F^{-1}, B)$  și  $\text{Lip} (\Delta F, B)$ .

Din:

$$\begin{aligned} \| \Delta F (x_1) - \Delta F (x_2) \| &\leq \text{Lip} (\Delta F, B) \| (x_1 - x_2) \| \text{ pentru } \forall x_1, x_2 \in B \text{ și} \\ F (x_1) - F (x_2) &= (F (x_1) - \bar{F} (x_1)) + (\bar{F} (x_1) - \bar{F} (x_2)) + (\bar{F} (x_2) - F (x_2)) \\ &= -\Delta F (x_1) + (\bar{F} (x_1) - \bar{F} (x_2)) + \Delta F (x_2) \end{aligned}$$

obținem

$$\| F (x_1) - F (x_2) \| \leq \bar{F} (x_1) - \bar{F} (x_2) + \text{Lip} (\Delta F, B) \| (x_1 - x_2) \|$$

și încă

$$\| (x_1 - x_2) \| \leq \text{Lip} (\bar{F}^{-1}, B) (\| \bar{F} (x_1) - \bar{F} (x_2) \|) + \text{Lip} (\Delta F, B) \| (x_1 - x_2) \|$$

sau în final

$$\| (x_1 - x_2) \| \leq \frac{\text{Lip} (F^{-1}, B)}{1 - \text{Lip} (F^{-1}, B) \text{Lip} (\Delta F, B)} (\| \bar{F} (x_1) - \bar{F} (x_2) \|),$$

presupunând că numitorul este  $> 0$ , de exemplu când perturbația  $\Delta F$ , așa cum este măsurată de către **norma Lipschitz**  $\text{Lip} (\Delta F, B)$ , este suficient de mică.

Din aceeași inecuație mai rezultă marginea superioară:

$$\text{Lip} (\bar{F}^{-1}, B) \leq \frac{\text{Lip} (F^{-1}, B)}{1 - \text{Lip} (F^{-1}, B) \text{Lip} (\Delta F, B)}$$

sau:

$$\| \Delta x \| \leq \frac{\text{Lip} (F^{-1}, B)}{1 - \text{Lip} (F^{-1}, B) \text{Lip} (\Delta F, B)} (\| \Delta F (x) \| + \| \Delta y \|)$$

Cele două expresii găsite ale lui  $\| \Delta x \|$  sunt complementare. Utilizatorul poate să aleagă care din cele două expresii să le folosească:

- în cazul considerării problemei cu perturbații;
- și una pentru cazul considerării problemei fără perturbații.

De asemenea în problema directă, norma derivatelor  $\|(F^{-1})'\|$  sau  $\|(\bar{F}^{-1})'\|$  se pot folosi cu aproximații acceptabile pentru **normele Lipschitz** pentru  $F^{-1}$  sau  $\bar{F}^{-1}$  cu condiția ca perturbațiile să nu fie prea mari.

### 1.3.18. Condiția numerică a problemelor liniare

Din ecuația:

$$K_{F \leftarrow x}(x_0) = \text{Lip}(F, B) = \|F\|$$

care se referă la operatorii liniari  $F$  și  $\Delta F$ , astfel încât pentru un spațiu  $B$  nevid, conținând valorile  $S_\delta(x_0)$  în jurul valorii  $x_0 \in B$ , rezultă expresiile:

$$\begin{aligned} \text{Lip}(F, B) &= \|F\|, \\ \text{Lip}(F^{-1}, B) &= \|F^{-1}\|, \\ \text{Lip}(\Delta F, B) &= \|\Delta F\|. \end{aligned}$$

În acest caz **norma Lipschitz** poate fi înlocuită cu operatorul normă, dependența de  $B$  dispare și **condiția numerică** estimată poate fi derivată fără dificultate.

### 1.3.19. Efectul perturbației asupra lui $y$

Presupunând ca doar  $x$  este perturbat și  $F$  este dat fără eroare ( $\Delta F = 0$ ), atunci avem:

$$\|\Delta x\| \leq \text{Lip}(F^{-1}, B) \|\Delta y\| = \|F^{-1}\| \|\Delta F(\bar{x})\|.$$

Considerând și inegalitatea:

$$\begin{aligned} \|F^{-1}\| \|\Delta F\| &\leq \|\bar{x}\| \text{ și deci:} \\ \frac{\|\Delta x\|}{\|\bar{x}\|} &\leq \|F\| \|F^{-1}\| \frac{\|\Delta y\|}{\|y\|} \end{aligned}$$

Din cele trei formule ale perturbației asupra lui  $y$  și respectiv  $F$  se poate obține numărul condiției  $\|F\| \|F^{-1}\|$  pentru problema funcției liniare inverse.

Pe de altă parte, în ultima formulă eroarea relativă se referă la o soluție perturbată  $\bar{x}$ . O formulă similară, unde erorile relative se referă la  $x$  și nu la  $\bar{x}$ , poate fi dedusă și pentru  $\Delta y = 0$ :

$$\frac{\|\Delta x\|}{\|x\|} \leq \frac{\|F\| \|F^{-1}\| \|\Delta F\|}{1 - \|F^{-1}\| \|\Delta F\| \|F\|}.$$

De asemenea, estimările relative sunt posibile și pentru funcțiile inverse și neliniare cu condiția ca ele să fie mărginite. Marginile sunt date de formulele de mai jos:

$$\|\Delta F(x)\| \leq M(\Delta F) \|x\| \text{ și } \|F(x)\| \leq M(F) \|x\|,$$

dacă comportamentul funcțiilor  $F$  și  $\Delta F$  în spațiul  $B$  este similar.

Presupunând că doar  $F$  este perturbat și  $y$  rămîne neperturbat ( $\Delta y = 0$ ), atunci:

$$\|\Delta x\| \leq \text{Lip}(F^{-1}, B) \|\Delta F \bar{x}\| = \|F^{-1}\| \|\Delta F \bar{x}\| \leq \|F^{-1}\| \|\Delta F\| \|\bar{x}\|$$

și deci în final

$$\frac{\|\Delta x\|}{\|\bar{x}\|} \leq \|F\| \|F^{-1}\| \frac{\|\Delta F\|}{\|F\|},$$

ceea ce ne permite să concludem asupra efectului perturbației asupra lui  $y$ .

### 1.3.20. Validarea modelului matematic

Validarea **modelului matematic** care încearcă să simuleze realitatea (fenomenul, obiectul) reprezintă o componentă importantă, atât a modelării, cât și a matematicii aplicate, în general.

Scopul validării modelului constă în a compara fenomenul (obiectul) real cu modelul propus. În general, se propun numeroase experimente care să valideze și eventual să îmbunătățească modelul.

Problema fundamentală a validării **modelului matematic** constă în compararea **modelului** cu realitatea **modelată**:

- În ce măsură comportarea **modelului** corespunde (reflectă) comportamentul fenomenului (obiectului) studiat?
- Cit de precis este **modelul**, în principiu determinat empiric, în a reflecta cantitativ și calitativ mărimile și valorile sistemului original?.
- Este structura **modelului** prea complicată sau poate fi îmbunătățită?
- Manifestă **modelul** instabilitate, în sensul că există valori pentru care **modelul**, fie să nu corespundă realității, fie să fie instabil și să evalueze în mod diferit realitatea?.

În practică nu se poate afirma că există o certitudine totală a comportamentului **modelului**, existând întotdeauna un nivel de incertitudine și care să facă necesară validarea **modelului**. De multe ori este posibil ca rezultatele obținute prin **modelare** să fie valide doar la un domeniu restrâns al **modelului** fenomenului (obiectului) **modelat**. Este posibil în același timp, ca validarea modelului pentru un număr restrâns de date (situații) să poată conduce la largi discrepanțe față de realitate pentru valorile (datele) pentru care nu s-a făcut o testare corespunzătoare. De regulă, în acest caz este necesară o nouă variantă a **modelării** care să țină cont de testele anterioare și care reflectă mai fidel realitatea **modelată**.

### 1.3.21. Sensibilitatea analizei și estimarea erorilor

Analiza empirică a sensibilității **modelului** constă în investigarea cantitativă și calitativă a **modelului** creat la schimbările impuse modelului. În mod deliberat se fac schimbări la structura modelului, la parametri și valorile de intrare, la soluția și structura algoritmilor și la alți factori ce caracterizează **modelul**, cu scopul de a-l compara cu realitatea (fenomenul, obiectul) **modelat**.

Este evident că tipul și mărimea acestor perturbații depind de **modelul** și problema respectivă. Dacă aceste perturbații cauzează doar mici perturbații în comportamentul **modelului** și care se pot încadra în toleranța impusă **modelului**, atunci și gradul de incertitudine al **modelului** se poate considera acceptabil.

### 1.3.22. Impactul erorilor de model

Impactul erorilor de **model** în procesul construirii acestuia poate avea consecințe importante asupra comportamentului **modelului**. Sensibilitatea analizei erorilor de **model** are ca obiect tocmai determinarea acestor erori. Uneori, în practică nu sunt excluse situații când sunt propuse sisteme complexe, chiar noi metode de testare a **modelelor** propuse și implicit chiar personal format special pentru a testa **modelele** propuse.<sup>15</sup>

### 1.3.23. Impactul erorilor de date

Soluția de preferat este ca **modelul** creat să fie testat în cât mai multe situații, cu cât mai multe date posibile. Dar aceasta poate conduce la mărirea cheltuielilor de testare, iar uneori este chiar imposibil. Alteori se aleg metode

<sup>15</sup> Quality tester engineer or quality tester system (engl.)

aleatoare de generare a datelor de testare. În principiu, alegerea datelor de testare considerate reprezentative pentru aplicație trebuie făcută în așa fel încât să corespundă în mare măsură situațiilor reale care se **modelează**.

Determinarea caracteristicilor experimentale ale **modelării** ne poate conduce la rezultate importante ale sensibilității algoritmilor aleși, a programelor componente și a consecințelor erorilor de date asupra comportamentului **modelului**.

Dacă se semnalează mari discrepanțe sau analiza datelor de intrare (de exemplu folosind metoda Monte Carlo) relevă erori importante, atunci se cere o îmbunătățire a metodelor de colectare a datelor, iar întreg procesul de validare se cere a se relua cu noi proceduri și seturi de date.

### 1.3.24. Impactul erorilor de rotunjire

Erorile de rotunjire pot apărea în procesul utilizării programelor calculatoarelor electronice care sunt folosite la crearea, generarea și testarea **modelelor** matematice.

Se poate remarca faptul că utilizarea de calculatoare cu performanțe din ce în ce mai ridicate și creșterea gradului de performanță a programelor (software) de aplicații reduce impactul erorilor de rotunjire asupra **modelelor** matematice.

### 1.3.25. Impactul erorilor algoritmilor de calcul

În prezent există un număr semnificativ de programe care rezolvă problemele numerice determinate de dezvoltarea **modelării** matematice. Este evident că unele programe pot fi mai performante decât altele, în cazul particular al problemei abordate și simpla înlocuire a acestora în procesul de testare poate conduce la modificări semnificative a erorilor algoritmilor de calcul.

În general, algoritmi numerici iau în considerare parametrii de intrare specifici, și / sau numărul maxim de iterații necesare obținerii rezultatelor. Analiza erorilor trebuie să investigheze dependența rezultatelor numerice de acești parametri.

### 1.3.26. Analiza erorilor folosind condițiile numerice

În secțiunile dedicate **condiției numerice** s-a arătat că **normele lui Lipschitz**  $Lip(F, B)$  și  $Lip(F^{-1}, B)$  pot fi calculați sau cel puțin estimați. În practică, în special pentru problemele complicate, calculul acestor norme se dovedește a fi dificil, uneori chiar imposibil.

Deoarece informațiile referitoare la sensibilitatea rezultatelor la erorile de date sunt importante la determinarea acurateții **modelării**, în practică se pot folosi sisteme de simulare a perturbațiilor și care să genereze aceste erori. Datele artificiale introduse în setul de date sunt intenționat perturbate într-un mod similar cu situațiile perturbante existente în practică, de exemplu prin erorile de măsurare.

Se pot utiliza numere sau date aleatoare sau pseudo-aleatoare cu o distribuție similară cu aceea a datelor existente. Numere generatoare aleatorii pot fi folosite la a produce seturi de date perturbatoare. Acestea pot fi folosite la generarea de date perturbatoare, ca date de intrare, sau la investigarea metodei numerice care stă la baza algoritmului modelului realizat.

Aceasta conduce la un set de rezultate în vecinătatea domeniului rezultatelor exacte, evidențiind totodată cât de sensibil este această metodă la erorile de calcul sau de date.

Uneori este posibil ca o mică variație a datelor standard ale rezultatelor să nu reflecte întotdeauna o variație mică a erorilor ci, dimpotrivă, aceste valori să fie semnificative. În general, analiza empirică a **condiției numerice** este eficientă la reducerea incertitudinii **modelului**. Dar utilizarea ei este redusă, în particular la analiza sistematică a cât mai multe variante, dar care în schimb complică calculele necesare performării experimentelor definite în acest fel și care se determină prin metode statistice adecvate.

### 1.3.27. Analiza generării erorilor

Generarea erorilor și analiza lor poate fi o alternativă la obținerea experimentală a datelor și a analizei sensibilității acestora la erori. **Modelele** matematice de generare a erorilor, atunci când sunt folosite, pot lua în considerare diverși factori, cantitativi sau calitativi, ai procesului de **modelare**. Astfel este posibil ca diferite tipuri de erori să determine diferite rezultate pentru aceeași problemă.

Ca dificultăți ce pot apare la utilizarea generării erorilor și la analiza lor se pot menționa:

- Aparatul matematic teoretic și practic al investigațiilor este mult prea complicat pentru a face analiza erorilor fezabilă;
- Estimarea impactului diverșilor factori poate fi mult prea pesimist (de exemplu exagerând importanța acestor factori) și ca urmare rezultatele să aibă o valoare relativă redusă;
- Ipotezele asupra datelor de intrare pot fi prea restrictive, încât utilizarea metodei propuse să nu poate fi aplicată ușor.

## 1.4. Concluzii

Etapele creerii unui **model**, pot avea diverse succesiuni. Schema de mai sus reprezintă o schema generală, care se poate adapta la diverse situații.

Atât analiza empirică a datelor de intrare cât și generarea matematică a erorilor au limitele lor când sunt folosite ca metode în **modelarea matematică**. Totuși, ambele tehnici au importanța lor când se consideră îmbunătățirea rezultatelor calculelor numerice. În același timp, impunând standarde ridicate tehnicilor de testare a **modelelor** se mărește considerabil volumul de calcule necesare validării acestora.

Atunci când se efectuează validarea programelor folosite în cadrul **modelării** se pot lua în considerare unele criterii, ca de exemplu:

- Este necesar să existe specificații formale (matematice) ale cerințelor impuse **modelului** pe care acesta să le satisfacă, de exemplu descrierea detaliată a rezultatelor cerute **modelului** în funcție de datele de intrare;
- Este necesar un sistem analitic de verificare a corectitudinii algoritmilor care transformă datele de intrare în rezultate finale. Chiar folosind uneori validarea automată a programelor numerice, aceasta este restrictivă datorită complexității problemelor numerice ce se cer rezolvate. Aceste restricții ce apar în astfel de sisteme automate de validare se pot datora de exemplu erorilor de rotunjire, în special când algoritmi matematici necesită soluții numerice.







## 2. MODELAREA GEOMETRICĂ, CA PARTE IMPORTANTĂ A PROCESULUI DE MODELARE

### 2.1. Introducere

În acest capitol se prezintă definierea generală a principalelor noțiuni care se folosesc în lucrare referitoare la **modelarea geometrică**, scopul, destinația și tehnici ale **modelării** suprafețelor geometrice, clasificarea condițiilor de continuitate și de racordare a suprafețelor.

Se prezintă în continuare unele tehnici generale de construcție a **modelelor geometrice** pornind de la puncte obținute prin procesul de digitizare și prin schițe și desene de proiectare, detaliindu-se utilizarea polinoamelor la construcția **modelelor matematice**. Totodată, se prezintă procedee de construcție a curbelor și a caroiajelor, accentuându-se asupra intersecțiilor și a racordurilor, prezentându-se construcția curbelor ca locuri geometrice, a suprafețelor de revoluție și a caroiajelor de pe suprafața acestora (Mortensen, 2006).

**Modelarea geometrică** reprezintă o componentă importantă a procesului de **modelare**, în general, și care folosind metode și obiecte matematice, în special geometrice, își propune să **modeleze** o realitate dată (un fenomen sau obiecte).

În principiu, în **modelarea matematică**, în general, și în **modelarea geometrică**, în particular, se folosesc elemente de bază utilizate în cadrul acestor științe: puncte, linii, curbe, suprafețe, volume, și care utilizate în cadrul unor relații și formule matematice permit descrierea și modelarea fenomenelor sau obiectelor considerate.

În general, **punctele** apar ca date de bază ale procesului de modelare, atât ca date inițiale ale procesului, cât și ca date obținute în cursul modelării.

Este bine cunoscut faptul că într-un sistem  $n$  spațial, punctele se reprezintă prin coordonatele lor raportate la un sistem de coordonate  $(x_i)$ , unde  $i = 1, 2, 3, \dots, n$  și unde:

- pentru  $i = 1, 2$  se obține o reprezentare planară;
- pentru  $i = 1, 2, 3$  se obține o reprezentare spațială;
- pentru  $i = 1, 2, 3, \dots, n$  se obține o reprezentare în spațiul  $n$  dimensional.

Prin unirea a două puncte se poate obține o **linie**, care în funcție de axele de coordonate poate fi în plan sau în spațiu. O **curbă** se poate obține prin unirea mai multor puncte sau intersecția unor suprafețe și cune la fel, pot fi descrise în plan sau în spațiu.

**Suprafețele** sunt elemente geometrice fundamentale care pot apărea în procesul de reprezentare a datelor. În general, **volumele** sunt definite atunci când suprafețele ce reprezintă volumul sunt suprafețe închise.

Corespunzător, **modelarea matematică volumetrică** se distinge de **modelarea matematică a suprafețelor**, printre altele, cel puțin prin faptul că noțiunile de interior sau exterior la volumele sau suprafețele modelate necesită o cantitate mult mai mare de informații sau parametri, când ne referim la elemente geometrice ce constituie frontiera volumului. Se distinge astfel o modelare geometrică a **curbelor, suprafețelor sau a volumelor**.

În principal această lucrare urmărește **modelarea geometrică** a:

- **curbelor**, folosind tehnici de modelare a curbelor și, în principal, tehnici de interpolare;
- **suprafețelor**, folosind în special sisteme de caroiaj;
- **volumelor**, folosind în special metode de modelare spațială.

## 2.2. Scopul și destinația modelării geometrice

Independent de tehnica de modelare (prin curbe, suprafețe sau volumetrică) și în special folosind tehnici specifice, **modelarea geometrică** are ca scop aplicații prin care se obțin:

- modele geometrice sintetice, ca de exemplu în cinematografie;
- obiecte modelate, reprezentări fizice, machete ale obiectului modelat, ca de exemplu în sectorul mecanic de construcții de automobile, aeronautice, navale etc.

## 2.3. Modelarea geometrică a suprafețelor

**Modelarea geometrică** a suprafețelor își propune realizarea de modele ale suprafețelor pornind de la puncte sau curbe date. Datele, constituite în principal din puncte, se pot obține:

- utilizând instrumente de măsură adecvate sau
- pot fi propuse ca parametri de intrare a fenomenului (obiectului) de modelat.

Mai pot exista situații când majoritatea datelor se pot obține de utilizator în procesul construcției suprafețelor. Realizarea modelelor se bazează în acest caz pe cunoștințele și experiența proiectantului referitoare la funcțiile și destinația obiectului de modelat, geometria, caracteristicile acestuia și de cunoștințele tehnologice din domeniul respectiv.

De exemplu, cunoștințele tehnologice din domeniul turnării, forjării, extrudării și alte procedee mecanice de elaborare și prelucrare tehnologică a suprafețelor își au importanța lor, în special în etapele inițiale de predimensionare, completând definiția geometrică a obiectului de modelat și permițând obținerea de informații complementare importante, ce pot fi folosite ulterior la realizarea modelelor corespunzătoare.

## 2.4. Tehnici de modelare geometrică a suprafețelor

În principal, pentru **modelarea geometrică** a suprafețelor se folosește tehnica descompunerii în caroiaje și utilizarea de racordări. În sens geometric, un caroiaj reprezintă un domeniu închis, mărginit, și care încearcă să aproximeze cât mai aproape de realitate suprafața obiectului de modelat. În general, această definiție se referă la un caroiaj de patru curbe descrise de parametri independenți. Pot exista însă situații când careurile pot avea trei, două, sau chiar nici o curbă de frontieră (de exemplu când suprafața de caroiaj se reduce la un punct) sau situații când careurile nu corespund cu curbele de frontieră, fiind, de pildă, tocmai interiorul careurilor.

Uneori, din motive tehnologice sau estetice, pot exista situații când carourile se descompun în mai multe subansamble, situații care necesită studiul racordărilor și a condițiilor de continuitate la frontiera subansamblelor (Berg, 2008).

Ca urmare, **modelarea geometrică** a suprafețelor impune inițierea unui proces de analiză a problemelor matematice și tehnologice ce apar la descompunerea în carouri și la frontiera subansamblelor (carourilor) care să țină cont în principal de:

- ⇒ forma geometrică a obiectului de **modelat**;
- ⇒ existența razelor de curbura în diverse zone ale caroiajului;
- ⇒ tehnologia disponibilă pentru realizarea **modelelor**;
- ⇒ modele matematice și sisteme de programe disponibile utilizatorului;
- ⇒ natura datelor inițiale și modul în care acestea au fost obținute.

## 2.5. Clasificarea condițiilor de continuitate și racordare

Condițiile de continuitate și de racordare se pot clasifica în continuitate de gradul:

- 0 - corespunzătoare curbelor de frontieră a suprafețelor adiacente și care corespund;
- 1 - corespunzătoare unei evoluții continue a orientării normalei la suprafața care înglobează frontiera comună a două caroiaje adiacente;
- 2 - corespunzătoare conservării continuității curburii la trecerea frontierei între caroiajele adiacente.

## 2.6. Tehnici de construcție a modelelor geometrice

### 2.6.1. Construcția modelelor geometrice pornind de la date (puncte) obținute prin procesul de digitizare

În principal, datele obținute prin procesul de digitizare servesc la construcția de curbe al căror rol principal este legat de descompunerea suprafețelor în caroiaje.

Construcția de curbe se efectuează ținând cont de următoarele premise:

- ⇒ toleranța erorilor datelor de intrare obținute în procesul de digitizare;
- ⇒ criteriile estetice ale obiectului de modelat;

⇒ racordurile în punctele de joncțiune între curbele existente și compatibilitatea lor la descompunerea în carouri.

Integrarea acestor premise permite obținerea de date (puncte) care să stea la baza curbelor ce constituie suprafețele cerute. În realizarea acestor curbe se pot avea în vedere cel puțin două aspecte legate de:

- metodele de aproximare folosite la realizarea curbelor (interpolări, parametrizări);
- gradul polinoamelor în sistemele de modulare și poziția nodurilor sau a punctelor de racordare ale polinoamelor.

În prealabil, construcția de caroiaje cere ca elaborarea curbelor să fie validată din punctul de vedere al unor criterii calitative referitoare la estetică, dimensiuni, racorduri și raze de curbura etc. Totodată construcția curbelor trebuie să țină cont de criteriile de continuitate comparabile cu cele ale caroiajelor.

În principiu, realizarea și construcția curbelor care stau la baza obținerii caroiajelor se desfășoară în cadrul unui proces iterativ în pași succesivi, cu numeroase validări și reveniri la datele inițiale până la obținerea formei finale a modelului și care să corespundă cel mai bine condițiilor inițiale, tehnologice și estetice ale modelării.

### 2.6.2. Construcția modelelor geometrice pornind de la schițe și desene de proiectare

Această situație se deosebește de cea precedentă prin aceea ca este mai puțin secvențială. Dacă la prima metodă **punctele, curbele, caroiajele sau volumele** sunt elemente de bază ale **modelării**, ce sunt furnizate, cel puțin inițial, în cazul 2.6.2 informațiile disponibile procesului de **modelare** se obțin prin diverse metode de proiectare.

Ca urmare, se poate trece direct la realizarea de **curbe, suprafețe și volume** ce stau la baza **modelării** subiectului respectiv, eforturile concentrându-se în special la alegerea procedeele tehnologice necesare producerii pieselor și ansamblor cerute.

În acest caz, construcția geometrică a **modelului geometric** este strâns legată de:

- ⇒ dimensionarea adecvată bazată pe calcule de rezistența materialelor și / sau calcule de elemente de structură ale obiectului final;
- ⇒ procedeele tehnologice de realizare a obiectului de modelat, și care impun diverse forme ale obiectului final.

La rândul lor, entitățile geometrice (**puncte, linii, curbe, suprafețe, volume**) se pot clasifica în entități:

- funcționale, obținute din caietele de sarcini ale obiectului de **modelat**;
- de legătură între suprafețele și curbele destinate a lega entitățile funcționale constituite în prealabil, și care descriu cerințele de construire a **modelului**.

Prima etapă în construirea propriu-zisă a suprafețelor o constituie studierea caietelor de sarcini, pentru a începe construcția liniilor și a suprafețelor funcționale. În mod frecvent este vorba de elemente geometrice "clasice":

segmente de dreaptă, arce de cerc, plane, cilindri, sfere, conuri etc. și care sunt dimensionate cu ajutorul criteriilor tehnologice sau a restricțiilor tehnicilor de producție.

Alternanța ciclurilor de producție cu etapele de validare prin metode de calcul cu elemente finite sau tehnici de simulare a producției conduce în final la realizarea unui compromis între tehnologiile de producție, caietul de sarcini și criteriile economice și estetice.

Un element important ce apare în procesul de mai sus îl constituie liniile sau suprafețele de racordare. Utilizarea lor se bazează pe prezența curbelor de intersecție între suprafețele de legătură dintre suprafețele funcționale și suprafețele de legătură. Existența lor este impusă de procedeele tehnologice de fabricație (turnare, forjare, extrudare etc.), de utilajele de prelucrare sau de cerințele economice și estetice.

Ca urmare, procesul de **modelare** a suprafeței unui obiect impune un proces iterativ în cursul căruia sunt dezvoltate suprafețe funcționale, de legătură și de racordare alternativ cu fazele de simulare a comportamentului mecanic sau tehnologic necesare realizării obiectului.

Uneori, utilizarea tehnicii de descompunere în carouri pentru realizarea suprafețelor modelate este limitată de absența informațiilor complete despre conturul carourilor. O soluție posibilă o constituie alegerea unor dimensiuni corespunzătoare simplificate și care, de exemplu, să țină cont în special de carourile de legătură în zonele de racordare.

### 2.6.3. Procedee de construcție a curbelor și a caroiajelor

#### 2.6.3.1. Construcția de curbe

În procesul de modelare, o primă problemă ce se ia în considerare o constituie realizarea și construcția curbelor ce definesc obiectul de **modelat**. Ca tehnici de construcție a curbelor se folosesc, în principal, tehnici și algoritmi de interpolare, care constau în simularea unor curbe care trec prin toate punctele inițiale și satisfac orientările impuse de vectorul tangent.

Totodată, se folosesc tehnici de aproximare ce simulează curbe, care încearcă să treacă sau să acopere majoritatea punctelor inițiale, iar orientarea vectorului tangentă să aproximeze cât mai bine posibil valorile impuse acestuia, prin minimizarea distanței dintre curbele și datele inițiale.

#### 2.6.3.2. Intersecția a două caroiaje

Intersecția a doua caroiaje este, de asemenea, o tehnică ce permite definirea unei curbe, prin:

- marcarea domeniului caroiajului suprafețelor;
- marcarea frontierei caroiajului;
- obținerea de parametri ce permit definirea suprafețelor de racordare.

#### 2.6.3.3. Curbe definite pe o suprafață

În principal curbele definite pe o suprafață sunt reprezentate de soluțiile numerice ale ecuațiilor diferențiale sau de construcțiile geometrice ce definesc modelul de realizat. Aceste curbe se mai pot obține din reprezentarea punctelor

inițiale și care aparțin unei suprafețe date, definită, de exemplu, prin coordonatele parametrice  $(u_i), (v_i)$ .

#### 2.6.3.4. Construcția de curbe ca locuri geometrice

În funcție de situațiile ce apar și de tipul algoritmilor matematici utilizați pot exista cazuri când construcția de curbe are loc pe baza locurilor geometrice a unor **puncte, drepte, curbe** și care își au importanța lor, mai puțin la crearea și exploatarea modelului geometric și mai mult la realizarea modelului din punct de vedere tehnologic.

#### 2.6.3.5. Construcția curbilor de racordare

Curbele de racordare sunt elemente geometrice ce apar la îmbinarea a două curbe disjuncte, astfel încât ansamblul rezultat să formeze o entitate pentru care vectorul tangent să evolueze cât mai aproape de raza de curbura.

#### 2.6.3.6. Construcția de carioaje în domenii normate

Dacă rețeaua de puncte date inițial formează un domeniu de natură normată, atunci este posibilă construirea de carioaje care să interpoleze sau, în cel mai bun caz, să aproximeze punctele date referitoare la o suprafață dată. Există situații când suprafața dată are distorsiuni importante și când poate fi dificilă obținerea unor rezultate satisfăcătoare.

#### 2.6.3.7. Suprafețe de revoluție

Suprafețele de revoluție constituie un caz particular, dar des utilizat în practică, datorită aplicațiilor tehnologice și, mai ales, a procedurilor tehnologice ce facilitează realizarea modelelor și apoi a produselor cerute.

#### 2.6.3.8. Carioaje de racordare

Carioajele de racordare apar la îmbinarea a două suprafețe de carioaj și, în general, se împart în două categorii în funcție de suprafețele de racordare și care pot fi de rază:

- constantă;
- variabilă, sub formă polinomială.

În general, carioajele sunt tangente la suprafețele de modelat în zona suprafețelor de racordare a două suprafețe. De remarcat că în cazul intersecției a trei carioaje modalitățile de racordare diferă.

#### 2.6.3.9. Construcția de suprafețe plane în jurul unei axe

Această metodă folosește o serie de suprafețe plane dezvoltate de-a lungul unei axe pe care secțiunile plane sunt plasate și orientate. În final, suprafețele generate "îmbracă" axa dată în care suprafețele date sunt felii înglobate în volumul general. O astfel de tehnică definește realizarea de volume prin felii<sup>1</sup> și care este folosită de exemplu la realizarea de imagini ale corpului uman cu ajutorul imaginilor luate la intervale determinate, utilizând, de exemplu, interferența rezonanței magnetice<sup>2</sup>.

---

<sup>1</sup> Slide (engl.)

<sup>2</sup> MRI – Magnetic Resonance Interference (engl.).

### 2.6.3.10. Construcția de carioaje folosind metoda lui Coons

Această metodă se folosește când se dispune de trei sau patru curbe inițiale în cadrul unor carioaje adecvate prin tehnici de glisare.

### 2.6.3.11. Construcția de carioaje folosind suprafețe de racordare între carioaje

Se folosește în special la realizarea tehnologică a modelului propriu-zis, atunci când acesta este prelucrat prin metode mecanice. În vecinătatea zonei de racordare dintre două carioaje se poate genera un carioaj care să folosească suprafețe de racordare dintre carioaje.

## 2.6.4. Utilizarea polinoamelor la modelarea matematică

În cazul **modelării matematice** se folosesc formule matematice care au la bază polinoame, funcții trigonometrice, exponențiale, logaritmice etc., pentru a descrie elementele matematice (**puncte, linii, curbe, suprafețe, volume**) ce definesc modelul considerat.

Utilizarea polinoamelor la **modelarea matematică** este determinată în special de proprietățile polinoamelor, proprietăți care le fac să fie utilizate ca instrumente preferate în **modelarea matematică**, datorită:

- adaptării cu ușurință la diversitatea formelor obiectelor de modelat;
- simplității utilizării acestora în procesul de modelare;
- rapidității cu care acestea răspund la schimbări relativ importante ale parametrilor de modelare.

Polinoamele care se folosesc la modelarea matematică pot fi sub formă:

- **explicită:**

- $y = f(x)$ ; în planul bidimensional  $(x, y)$ ,
- $z = f(x, y)$ ; în planul tridimensional  $(x, y, z)$ ,
- $z = f(x_1, x_2, x_3 \dots x_n)$ ; în spațiul  $n$  dimensional  $(x_1, x_2, x_3 \dots x_n)$ .

Această formă, deși larg utilizată în modelarea matematică, nu întotdeauna răspunde diversității sub care se găsesc modelele în practică. În plus, manipularea parametrilor polinoamelor este destul de laborioasă, chiar pentru manipulări simple, ca de exemplu de tipul translațiilor sau al rotațiilor.

- **implicită:**

- $\begin{cases} f_1(x, y) = 0 \\ f_2(x, y) = 0 \end{cases}$  pentru o curbă definită prin intersecția a două suprafețe.
- $g(x, y, z) = 0$  pentru o suprafață în spațiul tridimensional.
- $h(x_1, x_2 \dots x_n) = 0$  pentru un volum în spațiul  $n$  dimensional.

Această formă permite descrierea unei largi game de tipuri de situații întâlnite în modelarea matematică, suplinind lipsurile întâlnite la forma explicită.

- **parametrică:**

- $P(u) = 0$ , unde  $u = u(x, y)$ , în planul bidimensional  $(x, y)$ ,
- $Q(u, v) = 0$ , unde  $u = u(x, y, z)$  și  $v = v(x, y, z)$ , în planul tridimensional  $(x, y, z)$ ,
- $R(u, v, \dots, z) = 0$ , unde  $u = u(x_1, x_2 \dots, x_n)$ ,  
 $v = (x_1, x_2 \dots, x_n), \dots, z = z(x_1, x_2 \dots, x_n)$ , în spațiul  $n$  dimensional  $(x_1, x_2 \dots, x_n)$ .



Aceasta formă permite prezentarea unei game largi de **curbe, suprafețe sau volume** cu aplicații extinse în domenii ca de pildă vizualizarea și prelucrarea imaginilor sau generarea de modele complicate.

- **polinomială prin părți:** este posibil ca la utilizarea polinoamelor de grad superior să apară oscilații care să nu mai reprezinte evoluția modelului real, oscilații considerate parazite. Pentru a preveni această situație s-a optat ca, în locul reprezentării întregii curbe sau suprafețe, să se reprezinte doar o porțiune, o parte a respectivei curbe sau suprafețe și apoi să se studieze racordurile dintre părți în cazul curbei sau între caroiagele în cazul suprafețelor. Aceste curbe sunt folosite în special la modelarea **Bezier** și **Bezier rațional** și care vor fi studiate ulterior.

- **polinomială prin spline:** care satisfac un număr limitat de condiții de continuitate în punctele de racord ale diferitelor părți.

Fie o funcție  $f(u)$  construită din polinoame ce se racordează în abscisele:  $u_0 \geq u_1 \geq \dots u_i \dots \geq u_p$ . Numim  $f(u)$  o funcție polinomială spline de gradul  $m$  dacă aceasta satisface condițiile următoare:

- $f(u)$  este un polinom de gradul  $m$  și  $f_i(u)$  o parte a polinomului  $f(u)$  definit pe fiecare din intervalele  $[u_i, u_{i+1}]$ ,  $i \in \{0, \dots, (p-1)\}$ ,
- $f(u)$  este derivabilă de ordinul  $1, 2, \dots, (m-1)$ , iar derivatele sunt continue, inclusiv în punctele de racordare  $u_i$ , adică:

$$\begin{aligned} f_i(u_i) &= f_{i+1}(u_i); \\ \frac{df_i}{du}(u_i) &= \frac{df_{i+1}}{du}(u_i); \\ &\dots \\ \frac{d^{(m-1)}}{du^{(m-1)}} f_i(u_i) &= \frac{d^{(m-1)}}{du^{(m-1)}} f_{i+1}(u_i). \end{aligned}$$

### 2.6.5. Polinoame și rețele caracteristice

Se consideră că în abordarea modelării geometrice un important instrument îl constituie utilizarea poligoanelor și a rețelelor caracteristice.

Într-un sistem de coordonate în spațiul tridimensional  $(0, x, y, z) \in \mathbb{R}^3$  se definește un **poligon caracteristic** ca un ansamblu ordonat de puncte (elemente):  $s_1, s_2, s_3, \dots, s_i, \dots, s_m$ , unde  $i \in \{0, 1, \dots, m\}$ , care formează elementele poligonului caracteristic  $PG_m$ . Ca urmare, fiecare element este asignat unui vector  $\overline{OS_i}$ , notat  $\bar{S}_i$ .

Asupra poziției elementelor  $S_i, i \in \{0, 1, \dots, m\}$  nu se impune nici o restricție. Deci, pot exista cazuri când punctele poligonului caracteristic, definit prin diferența vectorilor  $(S_{i+1} - S_i)$ ,  $i \in \{0, 1, \dots, m\}$  să fie chiar nule, în acest caz referindu-ne la un punct.

Generalizând poligonul caracteristic în spațiul tridimensional se obține rețeaua caracteristică, iar aceasta definește caroiajul suprafeței.

Fiind dat un sistem de coordonate în spațiul tridimensional  $(0, x, y, z) \in \mathbb{R}^3$ , o **rețea caracteristică**  $RG_{nm}$  se definește ca  $(m+1)$  secvențe ordonate de  $(n+1)$  puncte:

$$S_{00}, S_{01}, \dots, S_{0j}, \dots, S_{0n}, S_{10}, S_{11}, \dots, S_{m0}, \dots, S_{mn}.$$

Vectorii  $s_{ij}$ , unde  $i \in \{0, 1, \dots, m\}, j \in \{0, 1, \dots, n\}$  reprezintă elemente ale unei **rețele caracteristice** asociate unui caroiaj. În acest caz cotele poligonul caracteristic sunt definite de vectorii:

$$\begin{aligned} &(\bar{s}_{i+1j}), (\bar{s}_{ij}), i \in \{0, 1, \dots, (m-1)\}, j \in \{0, 1, \dots, n\}, \\ &(\bar{s}_{ij+1}), (\bar{s}_{ij}), i \in \{0, 1, \dots, m\}, j \in \{0, 1, \dots, (n-1)\}. \end{aligned}$$

Ca și cazul poligoanelor caracteristice, unele elemente ale **rețelei caracteristice** pot coincide atunci când cotele sunt de lungime nulă (adică coincid), sau rețelele sunt parțial închise, adică:

$$((\bar{s}_{i0}) = (\bar{s}_{in})), i \in \{0, 1, \dots, m\},$$

sau:

$$((\bar{s}_{0j}) = (\bar{s}_{mj})), j \in \{0, 1, \dots, n\}.$$

## 2.7. Concluzie

**Modelarea geometrică** este parte a **modelării matematice**, folosind metodele generale ale acestei modelări. Aplicând aceste metode, dar mai ales descoperind noi procedee specifice geometriei, **modelarea matematică** s-a extins, definind o nouă știință aparte, a **modelării geometrice** care, folosind procedee și reguli specifice, permite obținerea de noi rezultate, contribuind la dezvoltarea generală a științei, generând totodată numeroase aplicații practice.



# 3. TEHNICI DE MODELARE GEOMETRICĂ PRIN INTERPOLARE

## 3.1. Introducere

În acest capitol se prezintă principalele tehnici de modelare geometrică folosind tehnica interpolării polinomiale. Se prezintă polinomul de interpolare a lui Lagrange, polinomul de interpolare a lui Newton, interpolarea prin funcții spline, accentuându-se asupra utilizării funcțiilor spline cubice, îndeosebi asupra proprietăților de convergență a funcțiilor spline. Aceste proprietăți se vor utiliza și detalia în capitolele următoare, ca tehnici de modelare geometrică, extinzându-se utilizarea lor.

Se atrage atenția asupra diferitelor tipuri de erori care apar inevitabil în cadrul procesului de interpolare și care trebuie avute în vedere atunci când se studiază acuratețea modelării geometrice.

## 3.2. Problema interpolării și tipuri de interpolare

Fie o familie  $\Phi$  de funcții de o singură variabilă  $x$ :

$\Phi = \Phi(x, a_0, \dots, a_i, \dots, a_n)$ , având  $(n + 1)$  parametrii:  $a_0, \dots, a_i, \dots, a_n$  și unde:  $i = 0, 1, 2, \dots, n$ .

Problema **interpolării** pentru familia de funcții  $\Phi$  definită mai sus constă în a determina parametrii  $a_i$ , astfel încât pentru  $(n + 1)$  perechi de puncte  $(x_i, f_i)$  în domeniul real sau complex și pentru  $i \neq k$  să avem (Stoer, 1976):

$\Phi(x_i, a_0, \dots, a_i, \dots, a_n) = f_i$ , unde:  $i = 0, 1, 2, \dots, n$ , cu  $x_i \neq x_j$ ;

Vom numi perechile de puncte:  $(x_i, f_i)$  puncte de suport, iar:

- $x_i$  - abscise de suport și
- $f_i$  - ordinate de suport.

Problema de mai sus este o **interpolare**:

➤ **liniară** dacă:

$$\Phi(x, a_0, \dots, a_i, \dots, a_n) \equiv a_0 \Phi_0(x) + a_1 \Phi_1(x) + \dots + a_n \Phi_n(x),$$

➤ **polinomială**, dacă:

$$\Phi(x, a_0, \dots, a_i, \dots, a_n) \equiv a_0 + a_1 x + a_2 x^2 + \dots + a_i x^i + \dots + a_n x^n,$$

➤ **trigonometrică**, dacă:

$$\Phi(x, a_0, \dots, a_i, \dots, a_n) \equiv a_0 + a_1 e^{xi} + a_2 e^{2xi} + \dots + a_i e^{ixi} + \dots + a_n e^{nxi},$$

unde  $i^2 = -1$ ,

➤ **prin funcții raționale**, dacă:

$$\Phi^{\mu, \nu}(x) = \frac{P^{\mu, \nu}(x)}{Q^{\mu, \nu}(x)} \equiv \frac{a_0 + a_1 x + \dots + a_i x^i + \dots + a_\mu x^\mu}{b_0 + b_1 x + \dots + b_i x^i + \dots + b_\nu x^\nu},$$

➤ **prin funcții spline**<sup>1</sup>, dacă:

$$\Phi_i(x) = a_i + b_i(x - x_i) + c_i(x - x_i)^2 + d_i(x - x_i)^3 + \dots,$$

unde  $i = 0, 1, 2, \dots, n$ .

<sup>1</sup> Cuvântul **spline** este originar din engleză, unde definește instrumentul numit în română "**florar**", folosit de asemenea și la aproximarea curbelor.

### 3.3. Interpolarea prin polinoame. Polinomul de interpolare al lui Lagrange

Fie  $\Pi_n$  un set de polinoame  $P$  în domeniul real sau complex (Kahner, 1989), (Linndfield, 1995):

$$P(x) = a_0 + a_1x + a_2x^2 + \dots + a_i x^i + \dots + a_n x^n.$$

Pentru  $(n+1)$  puncte de suport arbitrare  $(x_i, f_i)$  în domeniul real sau complex există un polinom unic  $P \in \Pi_n$  astfel încât:

$$P_i(x_i) = f_i, \text{ unde: } i = 0, 1, 2, \dots, n, \text{ cu } x_i \neq x_j \text{ și pentru } i \neq k.$$

**Demonstrație:** Fie două polinoame  $P_1, P_2 \in \Pi_n$  cu  $P_1(x) = P_2(x) f_i$  și unde  $i = 0, 1, 2, \dots, n$ , atunci polinomul  $P := P_1 - P_2 \in \Pi_n$  este de grad cel puțin  $n$  și pentru  $x_i, i = 0, 1, 2, \dots, n$  are cel puțin  $(n+1)$  termeni diferiți de zero, ceea ce impune ca cele două polinoame  $P_1$  și  $P_2$  să fie identice, adică  $P \equiv P_1 \equiv P_2$ .

Soluția  $P$  a problemei de interpolare se poate exprima direct în funcție de polinoamele lui Lagrange  $L_i$ :

$$P(x) \equiv \sum_{i=0}^n f_i L_i(x) \equiv \sum_{i=0}^n f_i \prod_{\substack{k=0 \\ k \neq i}}^n \frac{x - x_k}{x_i - x_k}$$

adică coeficienții lui  $P$  depind liniar de ordonatele de suport  $f_i$  și unde:

$$L_i(x_k) = \begin{cases} 1, & i = k \\ 0, & i \neq k \end{cases}$$

### 3.4. Algoritmul lui Neville

În loc de a rezolva problema interpolării liniare luând în considerare totalitatea punctelor date, se poate considera un număr redus de puncte și apoi prin iterații succesive să se obțină o soluție pentru totalitatea punctelor.

Fie  $P_{i_0 i_1} \in \Pi_k$  un polinom în  $\Pi_k$  și dându-se punctele de suport  $(x_i, f_i)$ ,  $i = 0, 1, 2, \dots, n$ , pentru care  $P_{i_0 i_1 \dots i_k}(x_{i_j}) = f_{i_j}$ , unde:  $i = 0, 1, 2, \dots, n$  și  $j = 0, 1, 2, \dots, k$ , aceste polinoame sunt legate de următoarele formule de recurență:

$$P_i(x) \equiv f_i$$

și

$$P_{i_0 i_1 \dots i_k}(x) \equiv \frac{(x - x_{i_0}) P_{i_1 i_2 \dots i_k}(x) - (x - x_{i_k}) P_{i_0 i_1 \dots i_{k-1}}(x)}{x_{i_k} - x_{i_0}}$$

**Demonstrație.** Pentru a demonstra ultima relație de mai sus, notăm partea dreaptă cu  $R(x)$  și vom arăta că  $R(x)$  are proprietățile caracteristice ale lui  $P_{i_0 i_1 \dots i_k}(x)$ . Este evident că gradul lui  $R(x)$  nu este mai mare decât  $k$ .

Prin definiție avem pentru  $P_{i_0 \dots i_{k-1}}$  și  $P_{i_1 \dots i_k}$ :

$$R(x_{i_0}) = P_{i_0 \dots i_{k-1}}(x_{i_0}) = f_{i_0},$$

$$R(x_{i_k}) = P_{i_1 \dots i_k}(x_{i_k}) = f_{i_k},$$

$$\text{și } R(x_{i_j}) = \frac{(x_{i_j} - x_{i_0}) f_{i_j} - (x_{i_j} - x_{i_k}) f_{i_j}}{x_{i_k} - x_{i_0}} = f_{i_j}, \text{ pentru } i = 0, 1, 2, \dots, n \text{ și } j = 0, 1, 2, \dots, k-1$$

și care ne arată că  $R(x) = P_{i_0 i_1 \dots i_k}(x)$  în virtutea unicității polinomului de interpolare  $P_i(x) \equiv f_i$ .

**Algoritmul lui Neville** ne permite determinarea polinomului de interpolare  $P$  pentru o singură valoare  $f_0 = P_0(x)$  a lui  $x$ , ca apoi, prin iterații succesive să se obțină soluția pentru totalitatea punctelor  $P_{i_0 i_1 \dots i_k}(x)$ . De exemplu, pentru  $k = 3$  **algoritmul lui Neville** pentru polinoamele succesive de interpolare sunt prezentate în Tabel 3.2 de mai jos:

↓ Tabel 3.2. Polinoamele succesive de interpolare conform algoritmului lui Neville

→	$k = 0$	$k = 1$	$k = 2$	$k = 3$
$x_0$	$f_0 = P_0(x)$			
		$P_{01}(x)$		
$x_1$	$f_1 = P_1(x)$		$P_{012}(x)$	
		$P_{12}(x)$		
$x_2$	$f_2 = P_2(x)$		$P_{123}(x)$	
		$P_{23}(x)$		
$x_3$	$f_3 = P_3(x)$			$P_{0123}(x)$

unde prima coloană a tabloului conține ordonatele de suport  $f_i$ . Următoarele coloane se obțin iterativ luând în considerare câte doi vecini din coloanele precedente. Pentru  $P_{123}(x)$  de exemplu, avem:

$$P_{123}(x) = \frac{(x - x_1)P_{23}(x) - (x - x_3)P_{12}(x)}{x_3 - x_1}$$

### 3.5. Polinomul lui Newton de interpolare

Fie polinomul de interpolare  $P \in \Pi_n$ , unde  $P_i(x) = f_i$ ,  $i = 0, 1, 2, \dots, n$  sub form:

$$P(x) \equiv P_{01\dots n}(x) = a_0 + a_1(x - x_0) + a_2(x - x_0)(x - x_1) + \dots + a_n(x - x_0) \dots (x - x_{n-1})$$

Pentru  $P(\xi)$ , forma de mai sus se poate transforma în formula de recurență:

$$P(\xi) = ((a_n(\xi - x_{n-1}) + a_{n-1})(\xi - x_0) + a_0)$$

și care corespunde schemei lui Horner și unde coeficienții  $a_i$  se pot calcula succesiv:

$$\begin{aligned} f_0 &= P(x_0) = a_0, \\ f_1 &= P(x_1) = a_0 + a_1(x_1 - x_0), \\ f_2 &= P(x_2) = a_0 + a_1(x_2 - x_0) + a_2(x_2 - x_0)(x_2 - x_1), \\ &\vdots \end{aligned}$$

și care pot fi calculați prin  $n$  împărțiri și  $n(n - 1)$  înmulțiri.

Algoritmul se poate îmbunătăți observând că cele două polinoame:

$$P_{i_0 i_1 \dots i_k}(x) \text{ și } P_{i_0 i_1 \dots i_{k-1}}(x)$$

diferă printr-un polinom de gradul  $k$  și având  $k = 0$ , deoarece ambele polinoame de interpolare corespund aceluiași puncte.

Deci există un coeficient unic:

$$f_{i_0 i_1 \dots i_k}, k = 0, 1, 2, \dots, n, \text{ astfel încât:}$$

$$P_{i_0 i_1 \dots i_k}(x) \equiv P_{i_0 i_1 \dots i_{k+1}}(x) + f_{i_0 i_1 \dots i_k}(x - x_0)(x - x_1) \dots (x - x_{i_{k-1}}).$$

Ținând cont că:  $P_{i_0}(x) \equiv f_{i_0}$ , obținem:

$P_{i_0 i_1 \dots i_k}(x) \equiv f_{i_0} + f_{i_0 i_1}(x - x_0) + \dots + f_{i_0 i_1 \dots i_k}(x - x_0)(x - x_1) \dots (x - x_{i_k-1})$  și care este polinomul de interpolare  $P_{i_0 i_1 \dots i_k}$  a lui Newton.

În acest caz, formula de recurență este:

$$f_{i_0 i_1 \dots i_k} = \frac{f_{i_0 i_1 \dots i_k} - f_{i_0 i_1 \dots i_{k-1}}}{x_{i_k} - x_{i_0}}$$

unde:

$f_{i_0 i_1 \dots i_k}$  și  $f_{i_0 i_1 \dots i_{k-1}}$  sunt coeficienții de cel mai mic grad al polinoamelor  $P_{i_0 i_1 \dots i_k}(x)$  și respectiv  $P_{i_0 i_1 \dots i_{k+1}}(x)$ .

### 3.6. Interpolarea prin funcții raționale

Considerând punctele de suport  $(x_i, f_i)$ , unde  $i = 0, 1, 2, \dots, n$ , definim **funcțiile raționale** de interpolare, ca fiind:

$$\Phi^{\mu, v}(x) \equiv \frac{P^{\mu, v}(x)}{Q^{\mu, v}(x)} \equiv \frac{a_0 + a_1 x + \dots + a_\mu x^\mu}{b_0 + b_1 x + \dots + b_v x^v}$$

și unde  $\mu$  și  $v$  reprezintă gradul maxim al polinoamelor de la numărător și respectiv numitor.

Funcțiile raționale  $\Phi^{\mu, v}(x)$  sunt determinate de  $(\mu + v + 2)$  coeficienți:

$$a_0, a_1, \dots, a_\mu, b_0, b_1, \dots, b_v.$$

Dar funcția rațională  $\Phi^{\mu, v}(x)$  determină acești coeficienți până la un factor comun  $P = 0$ , ceea ce înseamnă că  $\Phi^{\mu, v}(x)$  este complet determinată de  $(\mu + v + 1)$  condiții de interpolare:

$$\Phi^{\mu, v}(x_i) = f_i, \text{ unde: } i = 0, 1, 2, \dots, (\mu + v),$$

Ca urmare, pentru a afla coeficienții  $a_r, b_s$  ai lui  $\Phi^{\mu, v}(x_i)$  este necesar a se rezolva sistemul de ecuații liniare omogene:

$$P^{\mu, v}(x_i) - f_i Q^{\mu, v}(x_i) = 0, \text{ unde: } i = 0, 1, 2, \dots, (\mu + v),$$

sau:

$$a_0 + a_1 x + \dots + a_\mu x^\mu - f_i (b_0 + b_1 x + \dots + b_v x^v) = 0$$

**Teoremă.** Sistemul de ecuații liniare omogene:

$$a_0 + a_1 x + \dots + a_\mu x^\mu - f_i (b_0 + b_1 x + \dots + b_v x^v) = 0$$

are întotdeauna soluții nebanale. Pentru fiecare astfel de soluții:

$$\Phi^{\mu, v}(x) \equiv \frac{P^{\mu, v}(x)}{Q^{\mu, v}(x)},$$

unde  $Q^{\mu, v}(x) \neq 0$  există și este de formă rațională.

**Demonstrație.** Sistemul de ecuații liniare omogene de mai sus are:  $(\mu + v + 1)$  ecuații pentru  $(\mu + v + 2)$  necunoscute. Pentru ca un astfel de sistem, cu mai multe necunoscute decât ecuații, să aibă soluții diferite de soluțiile banale este necesar ca:

$$(a_0, a_1, \dots, a_\mu, b_0, b_1, \dots, b_v) \neq (0, 0, \dots, 0, 0, \dots, 0).$$

Pentru astfel de soluții  $Q^{\mu, v}(x) \neq 0$  deoarece:

$$Q^{\mu, v}(x) \equiv (b_0 + b_1 x + \dots + b_v x^v) \equiv 0$$

ceea ce implică faptul că polinomul:

$$P^{\mu, v}(x) \equiv a_0 + a_1 x + \dots + a_\mu x^\mu$$

este egal cu zero:

$$P^{\mu, v}(x) = 0, \text{ pentru } i = 0, 1, 2, \dots, (\mu + v).$$

Ca urmare,  $P^{\mu, v}(x) \equiv 0$ , deoarece polinomul  $P^{\mu, v}(x)$  are cel puțin gradul  $\mu$

și

$$(a_0, a_1, \dots, a_\mu, b_0, b_1, \dots, b_v) \neq (0, 0),$$

care ne arată că polinomul rațional de interpolare are o soluție unică, dacă aceasta există.

În același timp:

$$\Phi^{\mu,v}(x) \equiv \frac{P^{\mu,v}(x)}{Q^{\mu,v}(x)},$$

pentru orice  $i = 0, 1, 2, \dots, (\mu + v)$  putând exista două cazuri:

1)  $Q^{\mu,v}(x) \neq 0$ ; când  $\Phi^{\mu,v}(x) = f_i$

2)  $Q^{\mu,v}(x_i) = 0$  când punctele de suport  $(x_i, f_i)$ ,  $i = 0, 1, 2, \dots, n$  pot fi inaccesibile și atunci  $P^{\mu,v}(x) = 0$  din definiția sistemului de ecuații liniare omogene. Ca urmare, ambii  $P^{\mu,v}(x)$  și  $Q^{\mu,v}(x)$  conțin un factor  $(x - x_i)$  și ambii sunt respectivi primi.

Dacă  $S^{\mu,v}(x)$  este o soluție pentru  $\Phi^{\mu,v}(x) = 0$  și ambii  $P^{\mu,v}(x)$  și  $Q^{\mu,v}(x)$  sunt respectivi primi, atunci nu sunt puncte inaccesibile și problema polinomului rațional de interpolare este solvabilă. Ca urmare, dacă  $S^{\mu,v}(x)$  rezolvă  $\Phi^{\mu,v}(x) = 0$ , atunci  $\Phi^{\mu,v}$  reprezintă soluția cu condiția ca  $P$  și  $Q$  să fie respectivi primi.

### 3.7. Algoritmul lui Neville pentru funcții raționale

Presupunând că problema polinomului de interpolare este solvabilă avem:

$$\Phi_s^{\mu,v}(x) \equiv \frac{P_s^{\mu,v}(x)}{Q_s^{\mu,v}(x)} \text{ cu } Q_s^{\mu,v}(x) \neq 0.$$

Notăm  $\Phi_s^{\mu,v}(x) = f_i$ , pentru  $i = s(s+1), \dots, (s + \mu + v)$ , și unde:  $P_s^{\mu,v}(x)$  și  $Q_s^{\mu,v}(x)$  sunt polinoame de grad mai mic decât  $\mu$  și  $v$ , respectiv.

Fie  $p_s^{\mu,v}(x)$  și  $q_s^{\mu,v}(x)$  coeficienții de cel mai mare grad al polinoamelor:

$$P_s^{\mu,v}(x) = p_s^{\mu,v} x^\mu + \dots$$

$$Q_s^{\mu,v}(x) = q_s^{\mu,v} x^\mu + \dots$$

și fie  $\alpha_i := x - x_i$  și  $T_s^{\mu,v} := (P_s^{\mu,v}(x) - y Q_s^{\mu,v}(x))$ ,

unde  $T_s^{\mu,v}(x_i, f_i) = 0$ , pentru  $i = s, s+1, \dots, s + \mu + v$ .

**Teoremă.** Începând cu  $P_s^{0,0}(x) = f_s$  și  $Q_s^{0,0}(x) = 1$ , relațiile de recurență sunt:

a) când  $(\mu - 1, v) \rightarrow (\mu, v)$  obținem:

$$P_s^{\mu,v}(x) = \alpha_s q_s^{\mu-1,v} P_{s+1}^{\mu-1,v}(x) - \alpha_{s+v+\mu} q_{s+1}^{\mu-1,v} P_s^{\mu-1,v}(x)$$

$$Q_s^{\mu,v}(x) = \alpha_s q_s^{\mu-1,v} Q_{s+1}^{\mu-1,v}(x) - \alpha_{s+v+\mu} q_{s+1}^{\mu-1,v} Q_s^{\mu-1,v}(x).$$

b) când  $(\mu, v - 1) \rightarrow (\mu, v)$  obținem:

$$P_s^{\mu,v}(x) = \alpha_s p_s^{\mu,v-1} P_{s+1}^{\mu,v-1}(x) - \alpha_{s+v+\mu} p_{s+1}^{\mu,v-1} P_s^{\mu,v-1}(x)$$

$$Q_s^{\mu,v}(x) = \alpha_s q_s^{\mu,v-1} Q_{s+1}^{\mu,v-1}(x) - \alpha_{s+v+\mu} q_{s+1}^{\mu,v-1} Q_s^{\mu,v-1}(x)$$

**Demonstrație.** Presupunând că expresiile raționale  $\Phi_s^{\mu-1,v}$  și  $\Phi_{s+1}^{\mu-1,v}$  îndeplinesc condițiile de interpolare:

$$T_s^{\mu-1,v}(x_i, f_i) = 0, \text{ pentru } i = s, (s+1), \dots, (s + \mu + v - 1).$$

$$T_{s+1}^{\mu-1,v}(x_i, f_i) = 0, \text{ pentru } i = (s+1), \dots, (s + \mu + v).$$

Din relația a) rezultă că:  $P_s^{\mu,v}(x)$  și  $Q_s^{\mu,v}(x)$  nu pot avea un grad mai mare decât  $\mu$ , respectiv  $v$ .

Deci:

$$T_s^{\mu,v}(x, y) = \alpha_s q_s^{\mu-1,v} T_{s+1}^{\mu-1,v}(x, y) - \alpha_{s+v+\mu} q_{s+1}^{\mu-1,v} T_s^{\mu-1,v}(x, y)$$

și deci:  $T_s^{\mu,v}(x_i, f_i) = 0$  pentru  $i = s, (s+1), \dots, (s + \mu + v)$ .

Sub rezervă că nici o combinație  $(v, \mu, s)$  nu are puncte inaccesibile, rezultatul de mai sus ne arată că relația a) definește un numărător și un numitor pentru  $\Phi_s^{\mu,v}(x)$ .



### 3.8. Interpolarea prin funcții spline

Fie  $\Delta := \{a = x_0 < x_1 < \dots < x_n = b\}$  un subinterval al intervalului  $[a, b] \rightarrow \mathbb{R}$ .

**Definiție:** Fie o funcție cubic spline  $S_\Delta : [a, b] \rightarrow \mathbb{R}$  având proprietățile:

- $S_\Delta \in \mathbb{R}^2[a, b]$  unde  $S_\Delta$  este de două ori diferențiabilă pe  $[a, b] \rightarrow \mathbb{R}$ , iar
- $S_\Delta$  coincide pe fiecare subinterval  $[x_i, x_{i+1}]$ ,  $i = 0, 1, 2, \dots, n-1$ , cu un polinom de gradul III.

Curba spline cubică este formată din polinoame definite astfel încât valorile sale și ale primelor derivate să coincidă în punctele  $x_i, i = 1, \dots, n-1$ , puncte numite noduri.

Fie un set  $Y := \{y_0, y_1, \dots, y_n\}$  de  $(n+1)$  numere reale.

Notăm cu  $S_\Delta(Y; \bullet)$  funcția spline de interpolare  $S_\Delta$  având  $S_\Delta(Y; x_i) = y_i$  pentru  $i = 0, 1, 2, \dots, n$ . Dar  $S_\Delta(Y; \bullet)$  definită ca mai sus nu este unic determinată de setul  $Y$  al ordonatelor de suport, existând încă două grade de libertate rămase și care impun alte condiții.

Se pot considera încă trei astfel de condiții adiționale pentru a obține unicitatea:

- $S'_\Delta(Y; a) = S'_\Delta(Y; b) = 0$ ,
- $S_\Delta^{(k)}(Y; a) = S_\Delta^{(k)}(Y; b)$  pentru  $k = 0, 1, 2$ ;  $S_\Delta(Y; \bullet)$  este periodic,
- $S_\Delta^{(k)}(Y; a) = y'_0 S'_\Delta(Y; b) = y'_n$  pentru numerele date  $y'_0$  și  $y'_n$ , și condiții care asigură unicitatea funcției spline de interpolare  $S_\Delta(Y; \bullet)$ .

O cerință inițială pentru 2. este ca  $y_0 = y_n$ . Pentru a stabili proprietățile funcției spline considerăm setul  $K^m[a, b]$ , unde  $m > 0$ , întreg.

Setul  $K^m[a, b]$  reprezintă funcțiile reale  $f: [a, b] \rightarrow \mathbb{R}$  pentru care  $f^{(m-1)}$  este **absolut** continuă<sup>2</sup> pe  $[a, b] \rightarrow \mathbb{R}$  și  $f^m \in L^2[a, b]$ , unde prin setul  $L^2[a, b]$  s-a notat setul tuturor funcțiilor pătratice a căror integrale pe intervalul  $[a, b]$ , de exemplu  $\int_a^b |f(t)|^2 dt$ , există și sunt finite.

Fie  $K_p^m[a, b]$  setul tuturor funcțiilor pentru care  $f^{(k)}(a) = f^{(k)}(b)$ , pentru  $k = 0, 1, 2, \dots, (m-1)$ . Aceste funcții sunt periodice, deoarece restricțiile impuse funcțiilor pe intervalul  $[a, b]$  sunt periodice cu perioada  $(b-a)$ .

Fie  $S_\Delta \in K_p^3[a, b]$  și  $S_\Delta(Y; \bullet) \in K_p^3[a, b]$  satisfăcând condiția 2.

Dacă  $f \in K_p^2[a, b]$  atunci putem defini:

$$\|f\|^2 := \int_a^b |f''(x)|^2 dx, \text{ unde } \|f\| \geq 0$$

Pe de altă parte  $\|f\| = 0$  poate avea loc pentru funcții care nu întotdeauna sunt zero, de exemplu toate funcțiile liniare de forma:  $f(x) = cx + d$ .

<sup>2</sup> O funcție reală  $f: [a, b] \rightarrow \mathbb{R}$  este **absolut continuă** pe intervalul  $[a, b]$  dacă pentru orice  $\epsilon > 0$  există  $\delta > 0$  astfel încât  $\sum_i |f(b_i) - f(a_i)| < \epsilon$  pentru  $\forall$  set finit de intervale  $[a_i, b_i]$ , unde  $a \leq a_1 < b_1 < \dots < a_n < b_n \leq b$  și  $\sum_i |b_i - a_i| < \delta$ . Dacă funcția  $f$  este diferențiabilă oriunde pe intervalul închis  $[a, b]$  sau, mai general satisface condițiile Lipschitz, adică  $|f(x_1) - f(x_2)| \leq \theta |x_1 - x_2|$  pe  $[a, b]$ , atunci  $f$  este **absolut continuă**, dar nu și reciproc: există funcții **absolut continue**, având derivate care nu au margini. Dacă funcția este **absolut continuă**, atunci  $f'$  este continuă și există pe întreg intervalul de existență. Mai mult,  $f(x) = f(a) + \int_a^x f'(t) dt$  pentru  $x \in [a, b]$ . Continuitatea absolută a funcțiilor  $f, g$  a unei integrale de forma  $\int_a^b f(t) g'(t) dt$  ne asigură că integrarea prin părți este posibilă.

### 3.9. Teorema lui Holladay

Fie  $f \in K^2(a, b)$  și subintervalul  $\Delta = \{a = x_0 < x_1 < \dots < x_n = b\}$  al intervalului  $[a, b]$ , Dacă  $S_\Delta$  este o funcție spline având punctele  $x_i \in \Delta$  (numite noduri), atunci:

$$\|f - S_\Delta\|^2 = \|f\|^2 - \|S_\Delta\|^2 - 2 \left[ \left( f'(x) - S'_\Delta(x) \right) S''_\Delta(x) \Big|_a^b - \sum_{i=1}^n \left( f(x) - S_\Delta(x) \right) - S''_\Delta(x) \Big|_{x_{i-1}^+}^{x_i^-} \right]$$

Pe de altă parte,  $S''_\Delta(x)$  este o funcție definită prin părți cu posibile discontinuități în nodurile  $x_1, \dots, x_{n-1}$ . De aceea, folosim limitele de dreapta și de stânga ale lui  $S''_\Delta(x)$  în punctele  $x_1$  și respectiv  $x_{n-1}$ .

Avem:

$$\begin{aligned} \|f - S_\Delta\|^2 &= \int_a^b |f''(x) - S''_\Delta(x)|^2 dx = \|f\|^2 - 2 \int_a^b f''(x) S''_\Delta(x) dx + \|S_\Delta\|^2 \\ &= \|f\|^2 - 2 \int_a^b (f''(x) - S''_\Delta(x)) S''_\Delta(x) dx - \|S_\Delta\|^2. \end{aligned}$$

Integrând prin părți pentru  $i = 0, 1, 2, \dots, n$  obținem:

$$\begin{aligned} \int_{x_{i-1}}^{x_i} (f''(x) - S''_\Delta(x)) S''_\Delta(x) dx &= \left( (f'(x) - S'_\Delta(x)) S''_\Delta(x) \Big|_{x_{i-1}}^{x_i} - \right. \\ &\quad \left. - \int_{x_{i-1}}^{x_i} (f'(x) - S'_\Delta(x)) S'''_\Delta(x) dx \right) = (f'(x) - S'_\Delta(x)) S''_\Delta(x) \Big|_{x_{i-1}}^{x_i} - \\ &\quad - (f(x) - S_\Delta(x)) S'''_\Delta(x) \Big|_{x_{i-1}^+}^{x_i^-} + \int_{x_{i-1}}^{x_i} (f(x) - S_\Delta(x)) S_\Delta^{(4)}(x) dx. \end{aligned}$$

Dar  $S_\Delta^{(4)}(x) \equiv 0$  pe subintervalele  $(x_{i-1}, x_i)$  și  $f', S'_\Delta, S''_\Delta$  sunt continue pe  $[a, b]$  și unde pentru  $i = 0, 1, 2, \dots, n$  obținem:

$$\sum_{i=1}^n (f'(x) - S'_\Delta(x)) S''_\Delta(x) \Big|_{x_{i-1}}^{x_i} = (f'(x) - S'_\Delta(x)) S''_\Delta(x) \Big|_a^b.$$

Aceasta ne permite să demonstrăm o importantă proprietate a funcțiilor spline reflectată în teorema de mai jos:

**Teoremă:** Fie un subinterval  $\Delta = \{a = x_0 < x_1 < \dots < x_n = b\}$  al intervalului  $[a, b]$ , un set  $Y = \{y_0, y_1, \dots, y_n\}$  de  $(n+1)$  numere reale și o funcție  $f \in K^2(a, b)$  având  $f(x_i) = y_i$ , pentru  $i = 0, 1, 2, \dots, n$ , atunci:

$$\|f\|^2 \geq \|S_\Delta(Y; \bullet)\|^2$$

și mai exact:

$$\|f - S_\Delta(Y; \bullet)\|^2 = \|f\|^2 - \|S_\Delta(Y; \bullet)\|^2 \geq 0,$$

ce are loc pentru orice funcție spline  $S_\Delta(Y; \bullet)$  care satisface una din condițiile inițiale:

- 1)  $S''_\Delta(Y; a) = S''_\Delta(Y; b) = 0$ ,
- 2)  $f \in K^2(a, b)$ , pentru  $S_\Delta(Y; \bullet)$  periodic,
- 3)  $f'(a) = S'_\Delta(Y; a)$ ,  $f'(b) = S'_\Delta(Y; b)$ ,

Se remarcă faptul că în acest caz funcțiile spline sunt unic determinate.

**Demonstrație** În cele 3 cazuri de mai sus expresia:

$$(f'(x) - S'_\Delta(x)) S''_\Delta(x) \Big|_a^b - \sum_{i=1}^n (f(x) - S_\Delta(x)) S'''_\Delta(x) \Big|_{x_{i-1}^+}^{x_i^-} = 0,$$

dacă  $S_\Delta = S_\Delta(Y; \bullet)$  și care demonstrează proprietatea funcției spline:  $S_\Delta(Y; \bullet)$ .

Faptul că această funcție spline este continuă rezultă considerând  $\bar{S}_\Delta(Y; \bullet)$ , o altă funcție spline având aceleași proprietăți ca și  $S_\Delta(Y; \bullet)$ . Dacă acceptăm că  $\bar{S}_\Delta(Y; \bullet)$  să aibă rolul funcției  $f \in K^2[a, b]$  din teorema de mai sus, atunci avem

$$\|\bar{S}_\Delta(Y; \bullet) - S_\Delta(Y; \bullet)\|^2 = \|\bar{S}_\Delta(Y; \bullet)\|^2 - \|S_\Delta(Y; \bullet)\|^2 \geq 0,$$

și deoarece  $S_\Delta(Y; \bullet)$  și  $\bar{S}_\Delta(Y; \bullet)$  pot inversa rolurile, atunci

$$\|\bar{S}_\Delta(Y; \bullet) - S_\Delta(Y; \bullet)\|^2 = \int_a^b (\bar{S}_\Delta''(Y; x) - S_\Delta''(Y; x))^2 dx = 0$$

și pentru că:  $\bar{S}_\Delta''(Y; \bullet)$  și  $S_\Delta''(Y; \bullet)$  sunt ambele continue:

$$\bar{S}_{\Delta}''(Y; x) = S_{\Delta}''(Y; x)$$

Ca urmare, prin integrare rezultă:

$$\bar{S}_{\Delta}(Y; x) \equiv S_{\Delta}(Y; x) + cx + d$$

dar  $\bar{S}_{\Delta}(Y; x) = S_{\Delta}(Y; x)$  are loc pentru  $x = a, b$  respectiv și care implică faptul că  $c = d = 0$ .

### 3.10. Metode de determinare a funcțiilor spline cubice

Fie:

$$\Delta = \{x_i | i = 0, 1, 2, \dots, n\}$$

un subinterval al intervalului  $[a, b]$  având punctele (noduri)  $\{a = x_0 < x_1 < \dots < x_n = b\}$  și  $Y = y_i, i = 0, 1, 2, \dots, n$  un set de  $(n+1)$  numere reale.

Fie:

$h_{j+1} := x_{j+1} - x_j$ , unde:  $j = 0, 1, 2, \dots, n$  și fie valorile derivatei a II - a în nodurile  $x_j \in \Delta$ .

Vom arăta că funcțiile spline sunt deja determinate de momentele  $M_j$  ale lui  $S_{\Delta}(Y; \bullet)$  și că aceste momente ale interpolării funcțiilor spline pot fi calculate ca o soluție a unui sistem de ecuații liniare, unde:

$M_j := S_{\Delta}''(Y; x_j)$ , unde:  $j = 0, 1, 2, \dots, (n-1)$  sunt momente ale unei funcții spline  $S_{\Delta}(Y; \bullet)$  ce urmează a fi găsită.

Remarcăm că derivata secundă  $S_{\Delta}''(Y; \bullet)$  a funcției spline coincide cu o funcție liniară în fiecare interval  $[x_j, x_{j+1}]$ , unde:  $j = 0, 1, 2, \dots, (n-1)$  și că aceste funcții liniare pot fi descrise în funcție de momentele  $M_i$  ale lui  $S_{\Delta}(Y; \bullet)$ , astfel:

$$S_{\Delta}''(Y; x) = M_j \frac{x_{j+1} - x}{h_{j+1}} + M_{j+1} \frac{x - x_j}{h_{j+1}},$$

pentru  $x \in [x_j, x_{j+1}]$ , unde:  $j = 0, 1, 2, \dots, (n-1)$ .

Prin integrare obținem:

$$S_{\Delta}'(Y; x) = -M_j \frac{(x_{j+1} - x)^2}{2h_{j+1}} + M_{j+1} \frac{(x - x_j)^2}{2h_{j+1}} + A_j,$$

și

$$S_{\Delta}''(Y; x) = M_j \frac{(x_{j+1} - x)^3}{6h_{j+1}} + M_{j+1} \frac{(x - x_j)^3}{6h_{j+1}} + A_j(x - x_j) + B_j,$$

pentru  $x \in [x_j, x_{j+1}]$ ,  $j = 0, 1, 2, \dots, (n-1)$  și unde  $A_j$  și  $B_j$  sunt constante de integrare.

Considerând  $S_{\Delta}(Y; x_j) = y_j$  și  $S_{\Delta}(Y; x_{j+1}) = y_{j+1}$  obținem următoarele ecuații pentru constantele de integrare  $A_j$  și  $B_j$ :

$$M_j \frac{(h_{j+1})^2}{6} + B_j = y_j, \quad M_{j+1} \frac{(h_{j+1})^2}{6} + A_j h_{j+1} + B_j = y_{j+1}$$

În consecință obținem:

$$B_j = y_j - M_j \frac{(h_{j+1})^2}{6},$$

$$A_j = \frac{y_{j+1} - y_j}{h_{j+1}} - \frac{h_{j+1}}{6} (M_{j+1} - M_j)$$

și care ne conduce la următoarea reprezentare a funcțiilor spline în funcție de momentele sale:

$$S_{\Delta}(Y; x) = \alpha_j + \beta_j(x - x_j) + \gamma_j(x - x_j)^2 + \delta_j(x - x_j)^3,$$

pentru  $x \in [x_j, x_{j+1}]$ ,  $j = 0, 1, 2, \dots, (n-1)$  unde:

$$\alpha_j := y_j,$$

$$\gamma_j := \frac{M_j}{2},$$

$$\beta_j := S'_\Delta(Y; x_j) = -\frac{M_j h_{j+1}}{6} + A_j = \frac{y_{j+1} - y_j}{h_{j+1}} - \frac{2M_j + M_{j+1}}{6} h_{j+1},$$

$$\delta_j := \frac{S''''_\Delta(y; x_j^+)}{6} = \frac{M_{j+1} - M_j}{6 h_{j+1}}$$

și unde  $S_\Delta(Y; \bullet)$  este caracterizat de momentele  $M_j$  și pe care ne propunem să le calculăm.

Condiția de continuitate a lui  $S'_\Delta(Y; \bullet)$  în nodurile  $x = x_j$  din relația:

$$S'_\Delta(Y; x_j^-) = S'_\Delta(Y; x_j^+)$$

conduce la  $(n-1)$  ecuații pentru momentele necunoscute  $M_j$ .

Înlocuind constantele de integrare  $A_j$  și  $B_j$  în formula lui  $S_\Delta(Y; x)$  obținem:

$$S'_\Delta(Y; x) = -M_j \frac{(x_{j+1} - x)^2}{2h_{j+1}} + M_{j+1} \frac{(x - x_j)^2}{2h_{j+1}} + \frac{y_{j+1} - y_j}{h_{j+1}} - \frac{h_{j+1}}{6} (M_{j+1} - M_j).$$

Pentru  $j = 0, 1, 2, \dots, (n-1)$  obținem:

$$S'_\Delta(Y; x_j^-) = \frac{y_j - y_{j-1}}{h_j} + \frac{h_j}{3} M_j + \frac{h_j}{6} M_{j-1},$$

$$S'_\Delta(Y; x_j^+) = \frac{y_{j+1} - y_j}{h_{j+1}} + \frac{h_{j+1}}{3} M_j - \frac{h_{j+1}}{6} M_{j+1}$$

și pentru că:  $S'_\Delta(Y; x_j^-) = S'_\Delta(Y; x_j^+)$ :

$$\frac{h_j}{6} M_{j-1} + \frac{h_j + h_{j+1}}{3} M_j + \frac{h_{j+1}}{6} M_{j+1} = \frac{y_{j+1} - y_j}{h_{j+1}} - \frac{y_j - y_{j-1}}{h_j},$$

pentru  $j = 0, 1, 2, \dots, (n-1)$  și care sunt  $(n-1)$  ecuații pentru momentele necunoscute  $M_j$ . Alte trei ecuații a), b), c), se pot obține din condițiile inițiale 1), 2), 3):

$$a) S''_\Delta(Y; a) = M_0 = 0 = M_n = S''_\Delta(Y; b) = 0,$$

$$b) S''_\Delta(Y; a) = S''_\Delta(Y; b) \Rightarrow M_0 = M_n,$$

$$S'_\Delta(Y; a) = S'_\Delta(Y; b) \Rightarrow \frac{h_n}{6} M_{n-1} + \frac{h_n + h_1}{3} M_n + \frac{h_1}{6} M_1 = \frac{y_1 - y_n}{h_1} - \frac{y_n - y_{n-1}}{h_n}$$

și care este identică cu condiția deja enunțată mai sus unde pentru  $j = n$ , obținem:

$$h_{n+1} := h_1, M_{n+1} := M_1, y_{n+1} := y_1.$$

c) Reamintindu-ne condiția  $y_n := y_0$ , avem:

$$S'_\Delta(Y; a) = y'_0 \Rightarrow \frac{h_1}{3} M_0 - \frac{h_1}{6} M_1 = \frac{y_1 - y_n}{h_1} - y'_0$$

$$S'_\Delta(Y; b) = y'_n \Rightarrow \frac{h_n}{6} M_{n-1} - \frac{h_n}{3} M_n = y'_n - \frac{y_n - y_{n+1}}{h_1},$$

ecuații ce pot fi scrise sub forma:

$$\mu_j M_{j-1} + 2M_j + \lambda_j M_{j+1} = d_j, \text{ unde: } j = 0, 1, 2, \dots, (n-1)$$

și unde:

$$\lambda_j := \frac{h_{j+1}}{h_j + h_{j+1}},$$

$$\mu_j := 1 - \lambda_j = \frac{h_j}{h_j + h_{j+1}},$$

$$d_j := \frac{6}{h_j + h_{j+1}} \left\{ \frac{y_{j+1} - y_j}{h_{j+1}} - \frac{y_j - y_{j-1}}{h_j} \right\}$$

pentru  $j = 0, 1, 2, \dots, (n-1)$ .

Pentru a) avem:

$$\lambda_0 := 0, d_0 := 0, \mu_n := 0, d_n := 0,$$

iar pentru c) avem:

$$\lambda_0 := 1, d_0 := \frac{6}{h_1} \left( \frac{y_1 - y_0}{h_1} - y_0' \right)$$

și care ne conduce la un sistem de  $n$  ecuații liniare pentru momentele  $M_1$  rezultate din a) și c)

$$\begin{aligned} 2M_0 + \lambda_0 M_1 + \mu_1 M_0 + 2M_1 + \lambda_1 M_2 + \mu_2 M_1 + \dots + \mu_{n-1} M_{n-2} + 2M_{n-1} + \lambda_{n-1} M_n + \dots &= d_0, \\ \mu_1 M_0 + 2M_1 + \lambda_1 M_2 + \mu_2 M_1 + \dots + \mu_n M_{n-2} + 2M_n &= d_n. \end{aligned}$$

și care se pot scrie matricial:

$$\begin{bmatrix} 2 & \lambda_0 & \cdot & \cdot & \cdot & 0 \\ \mu_1 & 2 & \lambda_1 & \cdot & \cdot & \cdot \\ \cdot & \mu_2 & \cdot & \cdot & \cdot & \cdot \\ \cdot & \cdot & \cdot & \cdot & 2 & \lambda_{n-1} \\ 0 & \cdot & \cdot & \cdot & \mu_n & 2 \end{bmatrix} \begin{bmatrix} M_0 \\ M_1 \\ \cdot \\ M_{n-1} \\ M_n \end{bmatrix} = \begin{bmatrix} d_0 \\ d_1 \\ \cdot \\ d_{n-1} \\ d_n \end{bmatrix}$$

Pentru b) avem

$$\begin{aligned} \lambda_n &:= \frac{h_1}{h_n + h_1}, \\ \mu_n &:= 1 - \lambda_n = \frac{h_n}{h_n + h_1}, \end{aligned}$$

$$d_n := \frac{6}{h_n + h_1} \left\{ \frac{y_1 - y_n}{h_1} - \frac{y_n - y_{n-1}}{h_n} \right\}$$

și care ne conduce la următorul sistem de ecuații pentru momentele:

$$\begin{aligned} &M_1, M_2, \dots, M_n (= M_0): \\ \begin{bmatrix} 2 & \lambda_1 & \cdot & \cdot & \cdot & \mu_1 \\ \mu_2 & 2 & \lambda_2 & \cdot & \cdot & \cdot \\ \cdot & \mu_3 & \cdot & \cdot & \cdot & \cdot \\ \cdot & \cdot & \cdot & \cdot & 2 & \lambda_{n-1} \\ 0 & \cdot & \cdot & \cdot & \mu_n & 2 \end{bmatrix} \begin{bmatrix} M_0 \\ M_1 \\ \cdot \\ M_{n-1} \\ M_n \end{bmatrix} &= \begin{bmatrix} d_0 \\ d_1 \\ \cdot \\ d_{n-1} \\ d_n \end{bmatrix} \end{aligned}$$

Coeficienți  $\lambda_i, \mu_i$  și  $d_i$  în sistemele matriciale de ecuații sunt complet definiți de relațiile:

$$\frac{h_j}{6} M_{j-1} + \frac{h_j + h_{j+1}}{3} M_j + \frac{h_{j+1}}{6} M_{j+1} = \frac{y_{j+1} - y_j}{h_{j+1}} - \frac{y_j - y_{j-1}}{h_j},$$

și

$$\begin{aligned} \lambda_n &:= \frac{h_1}{h_n + h_1}, \\ \mu_n &:= 1 - \lambda_n = \frac{h_n}{h_n + h_1}, \\ d_n &:= \frac{6}{h_n + h_1} \left( \frac{y_1 - y_n}{h_1} - \frac{y_n - y_{n-1}}{h_n} \right). \end{aligned}$$

În particular:  $\lambda_i \geq 0, \mu_i \geq 0, \lambda_i + \mu_i = 1$ , pentru toți coeficienții  $\lambda_i$  și  $\mu_i$  și care depind numai de valorile nodurilor  $x_j \in \Delta$  și nu de valorile  $y_i \in Y$  sau  $y'_i, y''_i$ , ca în cazul c). Ceea ce ne conduce la următoarea:

**Teoremă.** Cele două sisteme liniare de ecuații matriciale de mai sus sunt nesingulare pentru orice interval  $\Delta$  a lui  $(a, b)$ . Ceea ce înseamnă că sistemele au o soluție bine determinată și în consecință problema interpolării prin funcții spline cubice are o soluție unică în fiecare din cele 3 cazuri: a), b) și c).

Demonstrație. Fie matricea  $A$  de dimensiune  $(n + 1) \cdot (n + 1)$  din sistemul

$$\text{matricial de ecuații liniare: } A = \begin{bmatrix} 2 & \lambda_0 & \cdot & \cdot & \cdot & \cdot \\ \mu_1 & 2 & \lambda_1 & \cdot & \cdot & \cdot \\ \cdot & \mu_2 & \cdot & \cdot & \cdot & \cdot \\ \cdot & \cdot & \cdot & \cdot & 2 & \lambda_{n-1} \\ \cdot & \cdot & \cdot & \cdot & \mu_n & 2 \end{bmatrix}$$

Această matrice are următoarea proprietate:

$$Az = w \Rightarrow \max_i |z_i| \leq \max_i |w_i|, \text{ pentru orice pereche de vectori:}$$

$$z = (z_0, z_1, \dots, z_n)^T \text{ și } w = (w_0, w_1, \dots, w_n)^T, \text{ unde } z, w \in \mathbb{R}^{n+1}.$$

Fie  $r$  astfel încât  $|z_r| = \max_i |z_i|$ . Din:

$$Az = w \text{ avem: } \mu_r z_{r-1} + 2z_r + \lambda_r z_{r+1} = w_r, \text{ unde: } \mu_0 := 0, \lambda_n := 0.$$

Dar din definiția lui  $r$  și pentru ca să existe relația:  $\mu_r + \lambda_r = 1$

$$\begin{aligned} \max_i |w_i| \geq |w_r| &\geq 2|z_r| - \mu_r |z_{r-1}| - \lambda_r |z_{r+1}| \geq 2|z_r| - \mu_r |z_r| - \lambda_r |z_r| = \\ &= (2 - \mu_r - \lambda_r) |z_r| = |z_r| = \max_i |z_i|. \end{aligned}$$

Presupunem că matricea  $A$  este nulă. Atunci trebuie să existe o soluție  $z \neq 0$  a lui  $Az = 0$ , dar care ne conduce la contradicția:

$$0 < \max_i |z_i| \leq 0$$

și ceea ce contrazice afirmația de mai sus.

Rezolvarea acestui sistem matricial se face aplicând algoritmul lui Gauss pentru a obține o matrice triunghiulară și care ne prezintă soluția imediat. Prin înmulțirea primei linii cu elementele celei de a II -a linii și scăzând, eliminăm  $\mu_1$ . La fel cu următoarele linii pentru a elimina  $\mu_2, \mu_3, \dots$

### 3.11. Proprietățile de convergență a funcțiilor spline

În practică este posibil ca polinomul de interpolare să nu convergă întotdeauna spre funcția de interpolare  $f$ , chiar dacă intervalele  $\Delta$  au fost alese corespunzător. Dar impunând de la început unele condiții funcției de interpolare  $f$  și intervalelor  $\Delta$ , este posibil ca funcțiile de interpolare spline să convergă spre funcția de interpolare  $f$ , atunci când  $\Delta \rightarrow 0$ .

Vom arăta pentru început că momentele  $M_j$  ale funcției spline de interpolare converg spre derivata secundă a funcției date. Mai precis, considerând subintervalul

$$\Delta = \{a = x_0 < x_1 < \dots < x_n = b\} \text{ al intervalului } [a, b] \text{ și fie:}$$

$$M = \begin{bmatrix} M_0 \\ M_1 \\ \cdot \\ M_{n-1} \\ M_n \end{bmatrix}, \text{ vectorul de momente } M_j \text{ a funcției spline } S_\Delta(Y; \cdot).$$

Fie  $f(x_i) = y_j$ , pentru  $j = 0, 1, 2, \dots, (n - 1)$ , astfel încât:

$S_{\Delta}(Y; a) = f'(a)$  și  $S_{\Delta}(Y; b) = f'(b)$ , adică cazul c).

Vectorul de momente  $M_j$  satisface ecuația matricială liniară:  $AM = d$  și unde  $d = d_j$ , pentru  $j = 0, 1, 2, \dots, (n-1)$ .

Fie  $F$  și  $r$  vectorii:

$$F := \begin{bmatrix} f''(x_0) \\ f''(x_1) \\ \vdots \\ f''(x_{n-1}) \\ f''(x_n) \end{bmatrix},$$

$$r := d - AF = A(M - F).$$

Definind  $\|z\| := \max_i |z_i|$  pentru vectorii  $z$  și alegând  $\|\Delta\|$ , astfel încât:

$$\|\Delta\| := \max_j |x_{j+1} - x_j|,$$

pentru subintervalul  $\Delta$ , avem:

**Lemă.** Dacă  $f \in \mathbb{R}^{(4)}[a, b]$  și  $|f^{(4)}(x)| \leq L$  pentru  $x \in [a, b]$ , atunci:

$$\|M - F\| \leq \|r\| \leq \frac{3}{4} L \|\Delta\|^2.$$

Demonstrație. Prin definiție  $r_0 = d_0 - 2f''(x_0) - f''(x_1)$  și din c) obținem:

$$r_0 = \frac{6}{h_1} \left( \frac{y_1 - y_0}{h_1} - y'_0 \right) - 2f''(x_0) - f''(x_1).$$

Folosind teorema lui Taylor pentru  $y_1 = f(x_1)$  și  $f''(x_1)$  în funcție de valorile și respectiv derivatele lui  $f$  în  $(x_0)$  obținem:

$$\begin{aligned} r_0 &= \frac{6}{h_1} \left[ f'(x_0) + \frac{h_1}{2} f''(x_0) + \frac{h_1^2}{6} f'''(x_0) + \frac{h_1^3}{24} f^{(4)}(\tau_1) - f'(x_0) \right] - \\ &\quad - 2f''(x_0) - \left[ f''(x_0) + h_1 f'''(x_0) + \frac{h_1^2}{2} f^{(4)}(\tau_2) \right] = \\ &= \frac{h_1^2}{4} f^{(4)}(\tau_1) - \frac{h_1^2}{2} f^{(4)}(\tau_2) \end{aligned}$$

și unde  $\tau_1, \tau_2 \in [x_0, x_1]$ . Deci  $|r_0| \leq \frac{3}{4} L \|\Delta\|^2$ .

În mod analog pentru:  $r_n = d_n - f''(x_{n-1}) - 2f''(x_n)$  avem:  $|r_n| \leq \frac{3}{4} L \|\Delta\|^2$

Pentru componentele rămase  $r := d - AF$  obținem:

$$\begin{aligned} r_j &= d_j - \mu_j f''(x_{j-1}) - 2f''(x_j) - \lambda_j f''(x_{j+1}) = \\ &= \frac{6}{h_j + h_{j+1}} \left( \frac{y_{j+1} - y_j}{h_{j+1}} - \frac{y_j - y_{j-1}}{h_j} \right) - \frac{h_j}{h_j + h_{j+1}} f''(x_{j-1}) - 2f''(x_j) \\ &\quad - \frac{h_{j+1}}{h_j + h_{j+1}} f''(x_{j+1}). \end{aligned}$$

Din formula lui Taylor în punctele  $x_j$  obținem:

$$r_j = \frac{1}{h_j + h_{j+1}} \left\{ 6 \left[ f'(x_j) + \frac{h_{j+1}}{2} f''(x_j) + \frac{h_{j+1}^2}{6} f'''(x_j) + \frac{h_{j+1}^3}{24} f^{(4)}(\tau_1) - f'(x_j) + \frac{h_j}{2} f''(x_j) - \frac{h_j^2}{6} f'''(x_j) + \frac{h_j^3}{24} f^{(4)}(\tau_2) \right] - h_j \left[ f''(x_j) - h_j f'''(x_j) + \frac{h_j^2}{2} f^{(4)}(\tau_3) \right] - 2 f''(x_j) (h_j + h_{j+1}) ; -h_{j+1} \left[ f''(x_j) + h_{j+1} f'''(x_j) + \frac{h_{j+1}^2}{2} f^{(4)}(\tau_4) \right] \right\}$$

$$= \frac{1}{h_j + h_{j+1}} \left[ \frac{h_{j+1}^3}{4} f^{(4)}(\tau_1) + \frac{h_j^3}{4} f^{(4)}(\tau_2) - \frac{h_j^3}{2} f^{(4)}(\tau_3) - \frac{h_{j+1}^3}{2} f^{(4)}(\tau_4) \right]$$

și unde  $\tau_1, \tau_2, \tau_3, \tau_4 \in [x_{j-1}, x_{j+1}]$  și deci

$$|r_j| \leq \frac{3}{4} L \frac{1}{h_j + h_{j+1}} [h_{j+1}^3 + h_j^3] \leq \frac{3}{4} L \|\Delta\|^2, \text{ pentru } j = 1, 2, \dots, n-1,$$

dar:  $|r| \leq \frac{3}{4} L \|\Delta\|^2$  deoarece:  $r = A(M - F)$  și ceea ce implică:  $\|M - F\| \leq \|r\|$ .

**Teoremă.** Fie  $f \in C^{(4)}[a, b]$  și  $|f^{(4)}(x)| \leq L$  pentru  $x \in [a, b]$  și fie un subinterval:

$\Delta = \{a = x_0 < x_1 < \dots < x_n = b\}$  al intervalului  $[a, b]$  și o constantă  $K$  astfel încât:

$$\frac{\|\Delta\|}{|x_{j+1} - x_j|} \leq K$$

pentru  $j = 0, 1, 2, \dots, (n-1)$ .

Dacă  $S_\Delta$  este o funcție spline care interpolează valorile funcției  $f$  în nodurile  $x_0, x_1, \dots, x_n \in \Delta$  și care satisface:  $S'_\Delta(x) = f'(x)$  pentru  $x = a, b$ , atunci există o constantă  $C_k \leq 2$  care **nu** depinde de subintervalul  $\Delta$ , astfel încât pentru  $x \in [a, b]$ :

$$|f^{(k)}(x) - S_\Delta^{(k)}(x)| \leq C_k L K \|\Delta\|^{(4-k)}, \text{ unde } j = 1, 2, 3.$$

**Demonstrație.** Pentru început vom demonstra teorema de mai sus pentru  $k = 3$ .

$$\text{Fie } x \in [x_{j-1}, x_j], \text{ avem: } S_\Delta''(x) - f'''(x) = \frac{M_j - M_{j-1}}{h_j} - f'''(x) =$$

$$= \frac{M_j - f'(x_j)}{h_j} - \frac{M_{j-1} - f''(x_{j-1})}{h_j} + \frac{f''(x_j) - f''(x) - [f''(x_{j-1}) - f''(x)]}{h_j} - f'''(x).$$

Din **teorema lui Taylor** în  $x$  obținem:

$$S_\Delta''(x) - f'''(x) \leq \frac{3}{2} L \frac{\|\Delta\|^2}{h_j} + \frac{1}{h_j} \left| (x_j - x) f'''(x) + \frac{(x_j - x)^2}{2} f^{(4)}(\eta_1) - \right.$$

$$\left. - x_{j-1} - x f'''(x) - x_{j-1} - x \frac{2 f^4 \eta_2}{2} - h_j f'''(x) \right| \leq 32 L \Delta 2 h_j + L 2 \Delta 2 h_j,$$

unde:  $\eta_1, \eta_2 \in [x_{j-1}, x_j]$ .

Prin ipoteză  $\frac{\|\Delta\|}{h} \leq K$  pentru  $\forall j$ . Deci  $|f''(x) - S_\Delta''(x)| \leq 2 L K \|\Delta\|$ .

Pentru a demonstra teorema de mai sus pentru  $k = 2$ , observăm că pentru fiecare  $x \in (a, b)$  există nodul  $x_j = x_j(x)$ , pentru care:  $|x_j(x) - x| \leq \frac{1}{2} \|\Delta\|$ .

$$\text{Din: } f''(x) - S_\Delta''(x) = f''(x_j(x)) - S_\Delta''(x_j(x)) + \int_{x_j(x)}^x (f'''(t) - S_\Delta'''(t)) dt,$$

Pentru  $K \geq 1$  avem:

$$|f''(x) - S_\Delta''(x)| \leq \frac{3}{4} L \|\Delta\|^2 + \frac{1}{2} \|\Delta\| 2 L K \|\Delta\| \leq \frac{7}{4} L K \|\Delta\|^2,$$

unde:  $x \in [a, b]$ .



În final considerăm  $k = 1$ .

Din teorema lui Rolle având punctele marginale  $\xi_0 := a$  și  $\xi_{n+1} := b$  și punctele  $\xi_j \in (x_{j-1}, x_j)$ , pentru  $j = 0, 1, 2, \dots, n$ , obținem:

$$f'(\xi_j) - S'_\Delta(\xi_j), \text{ pentru } j = 0, 1, 2, \dots, n+1.$$

Pentru  $\forall x \in [a, b] \exists \xi_j = \xi_j(x)$  pentru care avem:  $|\xi_j(x) - x| < \|\Delta\|$ , atunci:  $f'(x) - S'_\Delta(x) = \int_{\xi_j(x)}^x (f''(t) - S''_\Delta(t)) dt$  și

$$|f'(x) - S'_\Delta(x)| \leq \frac{7}{4} LK \|\Delta\|^2 \cdot \|\Delta\| = \frac{7}{4} LK \|\Delta\|^3, \text{ unde } x \in [a, b].$$

În final pentru  $k = 0$  obținem:

$$f(x) - S_\Delta(x) = \int_{x_j(x)}^x (f'(t) - S'_\Delta(t)) dt,$$

unde pentru  $k = 1$ , obținem:

$$|f(x) - S_\Delta(x)| \leq \frac{7}{4} LK \|\Delta\|^3 \cdot \frac{1}{2} \|\Delta\| = \frac{7}{8} LK \|\Delta\|^4, \text{ unde } x \in [a, b]^5,$$

dar  $\Delta_m = \{a = x_0^{(m)} < x_1^{(m)} < \dots < x_{n_m}^{(m)} = b\}$

unde  $m = 0, 1, 2, \dots, n$  și dacă  $\Delta_m \rightarrow 0$  atunci:

$$\sup_{m,j} \frac{\|\Delta_m\|}{x_{j+1}^{(m)} - x_j^{(m)}} \leq K < +\infty,$$

corespunzând funcțiilor spline  $S_{\Delta_m}$  a căror derivate până la ordinul III converg spre  $f$  în intervalul  $[a, b]$ .

Se poate observa că  $f'''$  poate fi exprimată de  $S_{\Delta_m}'''$ , considerând o secvență de funcții definite pe intervale diferite.

Din observația de mai sus rezultă că **problema interpolării** constă în aceea că pentru un tabel de valori date:  $(x_i)$  și  $f(x_i)$ , unde  $i = 0, 1, 2, \dots, n$ , se cere să se găsească funcția  $f$  care să satisfacă perechile  $((x_i), f(x_i))$ . După care, folosindu-se  $f$  determinat anterior, se pot obține și alte valori diferite de valorile date<sup>3</sup>.

Dacă aceste valori sunt în afara domeniului inițial a lui  $x$ , atunci problema găsirii acestor valori (puncte, experimente) se numește **extrapolare**. Un caz particular de extrapolare îl constituie funcțiile temporale, care pe baza unor valori (puncte, experimente) determinate în cadrul unor experiențe anterioare, desfășurate în timp, ale funcției (procesului) studiat, se cere să se găsească, să se „prezică”, valorile viitoare, proces care se numește **predicție** (Linndfield, 1995).

Ca exemplu, ce mai simplă problemă de **interpolare** o constituie **interpolarea** liniară pentru care sunt suficiente doar două puncte mărginind intervalul dat.

Fie  $(x_0, y_0)$  și  $(x_1, y_1)$  valorile date. Se cere să se obțină și alte valori  $y$  pentru un  $x$  dat, astfel încât:  $(x_0 < x < x_1)$ .

Presupunem că  $x$  și  $y$  definesc o dreaptă:  $y = ax + b$ . Ne propunem să evaluăm  $f$  astfel încât:  $y = \frac{\{y_0(x_1 - x) + y_1(x - x_0)\}}{x_1 - x_0}$ .

De exemplu, dându-se funcția  $y = x^{2,5}$  pentru  $x = 0, 1, 2, \dots, 10$ , se cere să se estimeze  $y$  pentru:  $x = 4,5$  și  $x = 6,5$  folosindu-ne de interpolarea liniară (Tabel 3.2).

<sup>3</sup> In engleză problema poartă denumirea de “fitting function to data” or “curve fitting”

Tabel 3.2. Valorile funcției  $y = x^{2,5}$ , pentru  $x = 0, 1, 2, \dots, 10$  și ale interpolării liniare.

$x$	1	2	3	4	4,5	5	6	6,5	7	8	9	10
$y = x^{2,5}$		5,6	5,5	32	49,9	55,9	88,1	107,7	129,6	181	243	316
Interpolare liniară:					140			202,8				

Interpolarea liniară a funcției  $y = x^{2,5}$  pentru  $x = 0, 1, 2, \dots, 10$  prezintă erori apreciabile, așa cum se poate observa din (Tabel 3.2) și din figura alăturată (Fig. 3.1):

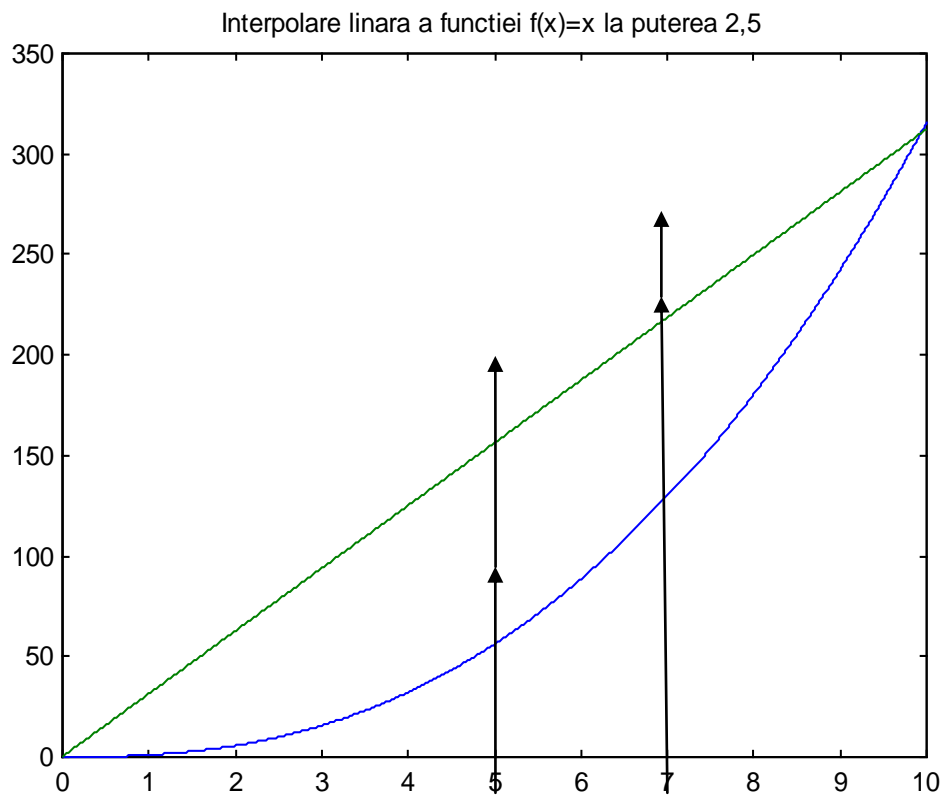


Fig. 3.1. Interpolare liniară a funcției  $f(x) = x^{2,5}$

În graficul din (Fig. 3.2) s-a prezentat interpolarea liniară pentru funcția  $y = \sin(x)$ , pentru  $x = 0, 1, 2, \dots, 10$ .

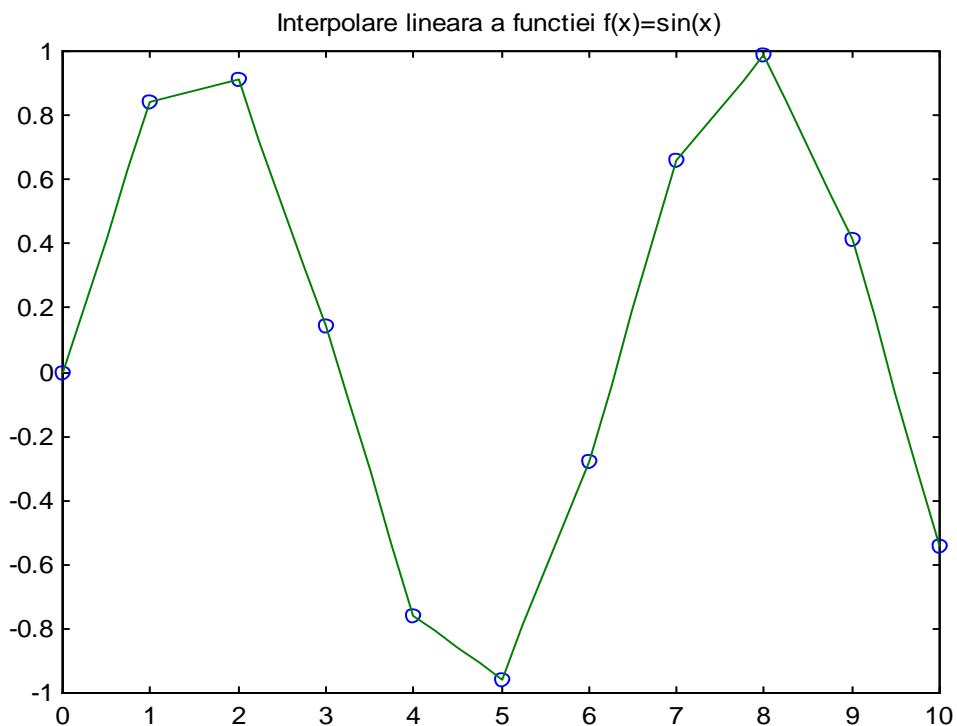


Fig. 3.2. Interpolarea liniară a funcției  $F(x) = \sin(x)$ .

Suprapunând funcția sinusoidală cu funcția liniară se obține graficul de mai jos (Fig. 3.3):

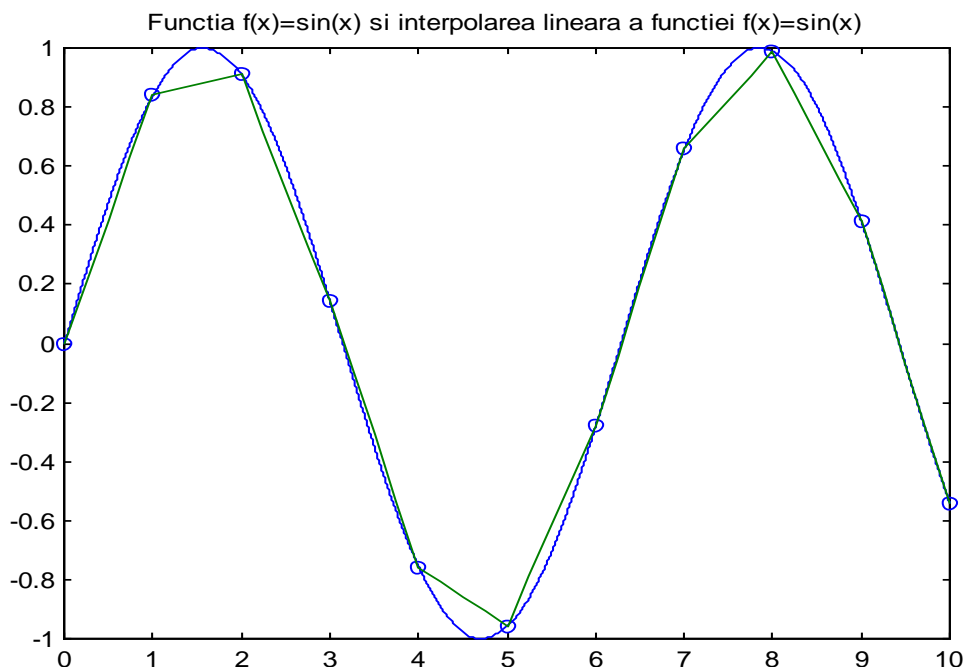


Fig. 3.3. Funcția  $f(x) = \sin(x)$  și interpolarea liniară a funcției  $f(x) = \sin(x)$ .

Se poate observa că interpolarea liniară nu este practică. Însă interpolarea se poate îmbunătăți dacă se utilizează un polinom de interpolare de grad mai

mare. Un astfel de polinom de grad mai mare poate fi ajutat „să treacă” prin  $n + 1$  puncte (variabile). Nu este necesar să se cunoască coeficienții polinomului în mod explicit, dar ei pot fi utilizați implicit în cadrul procedurii de estimare a lui  $x$ . De exemplu în (Fig. 3.4) s-a prezentat interpolarea liniară și cubică utilizând un polinom de interpolare de gradul III al lui  $\sin(x)$ :

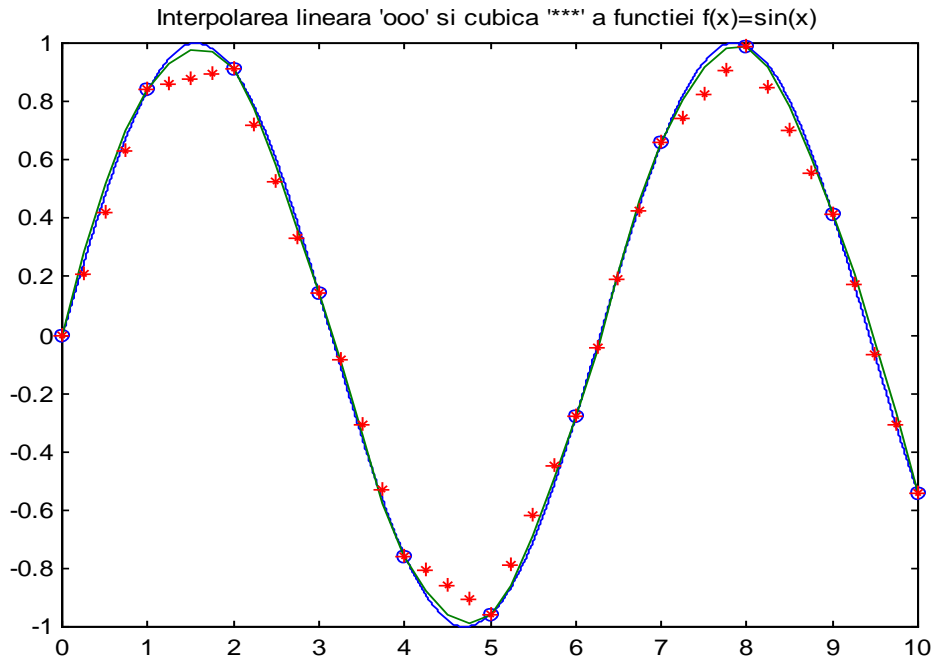


Fig. 3.4. Interpolarea liniară „ooo” și cubică „\*\*\*” a funcției  $f(x) = \sin(x)$

În același fel, aplicând interpolarea cubică (Fig. 3.5) pentru  $y = x^{2,5}$  și  $x = 0, 1, 2, \dots, 10$  gradul de acuratețe a polinomului de interpolare este mult îmbunătățit în comparație cu interpolarea liniară:

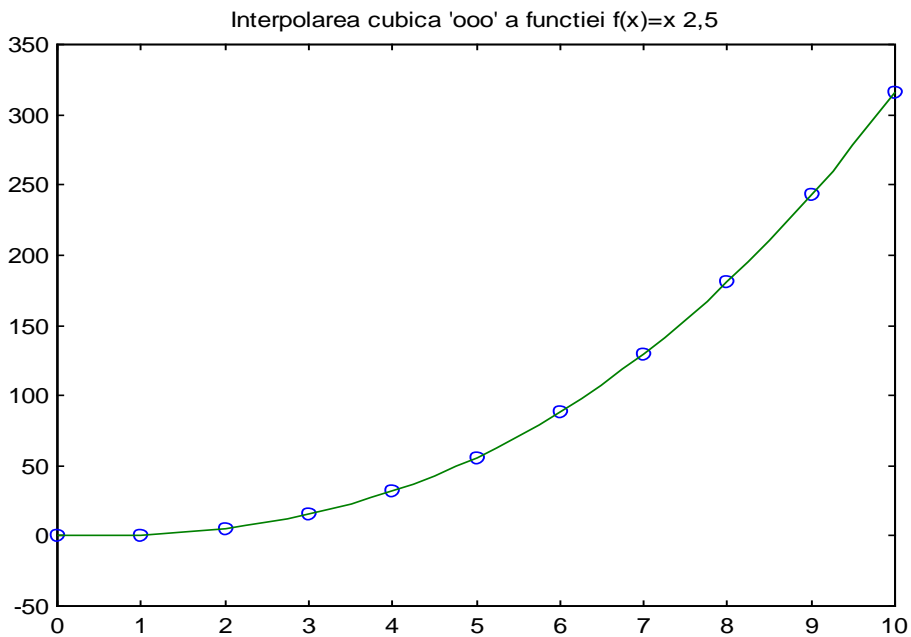


Fig. 3.5. Interpolarea cubică „ooo” a funcției  $f(x) = x^{2,5}$

### 3.12. Erorile de interpolare

**Erorile de interpolare** pot apare prin utilizarea funcțiilor de interpolare, de exemplu prin polinoamele de interfață utilizate la interpolarea funcțiilor date.

Pentru a calcula erorile ce apar în acest caz apelăm la următoarea teoremă (Robert, 2003):

Fie funcția  $F: [a, b] \rightarrow \mathbb{R}$  de  $(n+1)$  ori diferențiabilă pe  $\mathbb{R}$  și fie  $P \in \Pi_n$  un polinom, unde  $P_{x_k} = f_{x_k}$  pentru  $k = 0, 1, 2, \dots, n$ .

**Eroarea de interpolare** pentru orice  $\bar{x} \in [a, b]$ , este dată de formula:

$$f(\bar{x}) - P(\bar{x}) = \frac{\omega(\bar{x}) f^{(n+1)}(\xi)}{(n+1)!}$$

și unde:  $\xi = \xi(\bar{x}) \in [a, b]$  și  $\omega(x) := (x - x_0) \dots (x - x_n)$ .

**Demonstrație.** Dacă  $\bar{x} = x_n$  pentru diferiți  $k$ , atunci ambii membri ai ecuației de mai sus dispar.

Fie însă  $x \notin \{x_0, x_1, \dots, x_n\}$  și fie:

$$\psi(x) := f(\bar{x}) - P(x) - K \omega(x)$$

și unde constanta  $K$  este astfel aleasă încât  $\psi(\bar{x}) = 0$ .

Pentru a găsi o reprezentare particulară pentru constanta  $K$  pentru început observăm că funcția  $\psi$  are cel puțin  $(n+2)$  intervale nule:  $x_0, x_1, \dots, x_n, \bar{x}$  pe intervalul  $[a, b]$ . Aceasta ne conduce la concluzia că funcția  $\psi'$  are cel puțin  $(n+1)$  porțiuni nule în intervalul  $[a, b]$  și că există " $\xi$ " de zerouri ale lui  $\psi^{(n+1)}$  în intervalul  $[a, b]$ . În plus  $P^{(n+1)} \equiv 0$  și  $\omega^{(n+1)} \equiv (n-1)!$  din observația că  $\omega \in \Pi_{n+1}$  are 1 ca și coeficient.

Obținem

$$\psi^{(n+1)}(\xi) - K(n+1)! = 0$$

de unde:  $K = \frac{f^{(n+1)}(\xi)}{(n+1)!}$ , ceea ce demonstrează afirmația de mai sus și care ne arată că funcțiile  $f: [a, b] \rightarrow \mathbb{R}$  pot fi interpolate de către polinoamele de interpolare, eroarea de interpolare fiind calculată mai sus.

Mai mult, pentru subintervalul:

$$\Delta = \{a = x_0^{(\Delta)} < x_1^{(\Delta)} < \dots < x_{n(\Delta)}^{(\Delta)} = b\}$$

al intervalului  $[a, b]$  obținem:

$$\|\Delta\| := \max_{1 \leq k \leq n(\Delta)} \{x_k^{(\Delta)} - x_{k-1}^{(\Delta)}\},$$

ceea ce ne arată că teorema de mai sus are loc și pentru subintervalele:

$$\Delta^{(0)}, \Delta^{(1)}, \dots \text{ cu } \|\Delta^{(m)}\| \rightarrow 0 \text{ pentru } m \rightarrow \infty.$$

**Teoremă.** Fie funcția  $f: [a, b] \rightarrow \mathbb{R}$ , diferențiabilă de o infinitate de ori având:

$$\max_{x \in [a, b]} |f^{(k)}(x)| \leq M,$$

unde  $k = 0, 1, 2, \dots, n$  și unde  $M$  este o constantă finită.

Fie  $\Delta^{(0)}, \Delta^{(1)}, \dots$  o secvență a subintervalelor intervalului  $[a, b]$  și unde:

$$n_m := n(\Delta^{(m)}) \rightarrow \infty \text{ pentru } m \rightarrow \infty.$$

Ca urmare, secvențele succesive ale polinoamelor de interpolare  $P_m \in \Pi_{n_m}$ , care interpolează valorile corespunzătoare a funcției  $f$  relative la subintervalele parțiale  $\Delta^{(m)}$ , converg uniform spre funcția  $f$ .

**Demonstrație.** Din teorema precedentă unde:

$$\max_{x \in [a, b]} |\omega(x)| \leq (b-a)^{n_m+1},$$

rezultă:

$$\max_{x \in [a, b]} |P_m(x) - f(x)| \leq M \frac{(b-a)^{n_m+1}}{(n_m+1)!} \rightarrow 0, \text{ pentru } m \rightarrow \infty.$$

și care ne arată convergența polinoamelor de interpolare prin partiționarea intervalului  $[a, b]$ .

Practic însă mărirea gradului de aproximare al polinoamelor de interpolare prin partiționarea intervalului  $[a, b]$  nu crește spectacular prin alegerea lui  $m \rightarrow \infty$ .

**Teoremă.** Fie funcția  $F: [a, b] \rightarrow \mathbb{R}$  de  $(n + 1)$  ori diferențiabilă pe  $\mathbb{R}$  și dacă  $\bar{x} \notin \{x_0, x_1, \dots, x_n\}$ , atunci eroarea de interpolare se poate obține cu formula de mai jos:

$$f(\bar{x}) - P(\bar{x}) = f[x_0, x_1, \dots, x_n, \bar{x}] \omega(\bar{x})$$

Demonstrație. Pentru  $x_{n+1} := \bar{x}$  și  $P_{0,1,2,\dots,n+1}(x) = P(x)$  avem:

$P_{0,1,2,\dots,n+1}(x) = P_{0,1,2,\dots,n}(x) + f[x_0, x_1, \dots, x_n, \bar{x}] \omega(\bar{x})$ , pentru  $x \in \mathbb{R}$  din teorema inițială folosind identitatea:

$$f(\bar{x}) = P_{0,1,2,\dots,n+1}(\bar{x}).$$

*Corolar.* Pentru orice  $f: [a, b] \rightarrow \mathbb{R}$  diferențiabilă de  $n$  ori și pentru  $[x_0, x_1, \dots, x_n] \in [a, b]$ , intervale ale absciselor  $x_i, i = 0, 1, 2, \dots, n$ , atunci  $\forall$  un număr  $\xi = \xi(x) \in [a, b]$ , astfel încât

$$f[x_0, x_1, \dots, x_n] = \frac{f^{(n)}(\xi)}{n!}$$

și unde ordonatele corespunzătoare sunt date de relația:

$$f_k = f(x_k), \text{ pentru } k = 0, 1, 2, \dots, n.$$

Demonstrație. Propoziția de mai sus este evidentă pentru  $n = 0$ . Pentru  $n \geq 1$ , propoziția se demonstrează comparând termenii din partea dreaptă a celor două teoreme anterioare pentru abscisele  $x_i, i = 0, 1, 2, \dots, n$  și  $\bar{x} = x_n$ .

### 3.13. Concluzii

Din cele prezentate în cadrul acestui capitol rezultă că interpolarea reprezintă o importantă tehnică utilizată în modelarea geometrică. Problema interpolării și tipurile de tehnici de interpolare depinde în principal de tipurile de date considerate, de abilitatea personalului care manipulează datele avute în vedere, dar și de nivelul de toleranță impus de problema studiată.

Creșterea volumului de date, mărirea gradului de precizie pentru acuratețea interpolării necesare modelării geometrice impune cunoașterea și aplicarea de tehnici diverse, adaptate problemelor avute în vedere.

De remarcat că deși realizările și cunoștințele în acest domeniu al matematicii au avansat în mod considerabil, totuși domeniu este departe de a fi epuizat. Se poate considera ca teoria funcțiilor spline și nu numai, poate aduce noi rezultate și cercetări care să aprofundeze și să diversifice cunoștințele din domeniul tehnicilor de modelare geometrică prin modelare.



# 4. POLINOAMELE LUI BERNSTEIN CA ELEMENTE DE BAZĂ ALE MODELĂRII GEOMETRICE

## 4.1. Introducere

În anul 1910, **Serghei Natanovici Bernstein**<sup>1</sup> încercând să demonstreze **Teorema lui Weierstrass**, a definit polinoamele ce îi poartă numele (Bernstein, 1912-1913). Ulterior, după 1935, și în special după 1950, aceste polinoame au devenit fundamentale pentru o nouă ramură a matematicii: teoria aproximării funcțiilor, teorie care stă la baza dezvoltării modelării matematice, în general, și a modelării geometrice în particular (Lorentz, 1953).

## 4.2. Definirea polinoamelor lui Bernstein

Fie  $f(x)$  definită pe  $[0, 1]$  și cu valori în  $P$ :

$$f(x) \equiv [0, 1] \rightarrow P,$$

expresia

$$B_n(x) = B_n^f = \sum_{v=0}^n f\left(\frac{v}{n}\right) \binom{n}{v} x^v (1-x)^{n-v}$$

definește **polinoamele lui Bernstein** de ordinul  $n$  al funcției  $f(x)$  și unde  $B_n(x)$  este un polinom în  $x$ , iar  $x \leq n$ ,  $n \in \mathbb{N}$ .

Dacă  $f(x) \equiv [0, 1] \rightarrow P \in P$  este continuă pe  $[0, 1]$ , atunci:

$$\lim_{n \rightarrow \infty} B_n(x) = f(x),$$

expresie ce ne permite să înțelegem de ce **polinoamele lui Bernstein** au devenit atât de importante pentru dezvoltarea ulterioară a teoriei aproximării funcțiilor. Expresia ne arată că orice funcție continuă pe  $[0, 1]$ , poate fi înlocuită (aproximată) de polinomul  $B_n(x)$ , atunci când  $n \rightarrow \infty$ . Cu cât  $n$  este mai mare, cu atât polinomul  $B_n(x)$  aproximează mai bine funcția  $f(x) \equiv [0, 1] \rightarrow P$  continuă pe  $[0, 1]$ .

Demonstrație. Fie:

$$T = \sum_{v=0}^n (v - nx)^2 p_v = \sum_{v=0}^n \{v(v-1) - (2nx-1)v + n^2 x^2\} p_v,$$

pentru că:  $\sum_{v=0}^n p_v = 1$  și

---

<sup>1</sup> **Serghei Natanovici Bernstein** (în rusă: **Сергей Натанович Бернштейн**, tradus cu caractere latine: *Bernstein*), născut la Odessa în 5 martie 1880, decedat la Moscova în 26 octombrie 1968. Teza sa de doctorat, susținută la Sorbone, a rezolvat a XIX-a problemă a lui Hilbert, găsiind soluția analitică a ecuațiilor diferențiale eliptice. Ulterior, a publicat numeroase lucrări în domeniul teoriei probabilităților, în genetică, în teoria funcțiilor etc. Între 1906 și 1933 a condus Societatea Matematică din Harkov, unde a prezentat principalele sale descoperiri în matematică, inclusiv polinoamele ce îi poartă numele.



$$\sum_{v=0}^n v p_v = nx \sum_{\mu=0}^{n-1} \binom{n-1}{\mu} x^\mu (1-x)^{n-1-\mu} = nx,$$

$$\sum_{v=0}^n v(v-1) p_v = n(n-1) x^2 (1-x)^{n-2-\mu} = n(n-1) x^2$$

și deci:

$$T = n^2 x^2 - 2(nx-1)nx + n(n-1)x^2 = nx(1-x)$$

și pentru că:  $x(1-x) \leq \frac{1}{4}$  pe intervalul  $[0, 1]$ , obținem inegalitatea:

$$\sum_{\left|\frac{v}{n}-x\right| \geq \delta} p_v \leq \frac{1}{\delta^2} \sum_{\left|\frac{v}{n}-x\right| \geq \delta} \left(\frac{v}{n}-x\right)^2 p_v \leq \frac{1}{n^2 \delta^2} T = \frac{x(1-x)}{n\delta^2} \leq \frac{1}{4n\delta^2}.$$

Dacă funcția  $f(x) \equiv [0, 1] \rightarrow P$  este continuă pe  $[0, 1]$  și mărginită, adică  $|f(x)| \leq M$  pe intervalul  $[0, 1]$ ,  $M \in P$  și  $x$  astfel încât pentru  $\forall \varepsilon > 0$ , putem găsi  $\delta > 0$  pentru care avem:  $|x-x'| < \delta$  și corespunzător  $|f(x)-f(x')| < \varepsilon$ , atunci:

$$\begin{aligned} |f(x) - B_n(x)| &= \left| \sum_{v=0}^n \{f(x) - f\left(\frac{v}{n}\right) p_v\} \right| \\ &\leq \sum_{\left|\frac{v}{n}-x\right| < \delta} |f(x) - f\left(\frac{v}{n}\right)| p_v + \sum_{\left|\frac{v}{n}-x\right| < \delta} |f(x)| p_v, \end{aligned}$$

dar

$$\Rightarrow \text{prima sumă } \sum_{\left|\frac{v}{n}-x\right| < \delta} |f(x) - f\left(\frac{v}{n}\right)| p_v \leq \varepsilon \sum p_v = \varepsilon,$$

$$\Rightarrow \text{iar a doua sumă } \sum_{\left|\frac{v}{n}-x\right| < \delta} |f(x)| p_v \leq 2M(4n\delta^2)^{-1},$$

și deci

$$|f(x) - B_n(x)| \leq \varepsilon + M(2n\delta^2)^{-1},$$

și dacă  $n$  este suficient de mare,

$$|f(x) - B_n(x)| \leq 2\varepsilon.$$

În final, dacă  $f(x) \equiv [0, 1] \rightarrow P \in P$  este continuă pe  $[0, 1]$ , ultima expresie ne arată că  $\delta$  este independentă de  $x$  și deci  $B_n(x) \rightarrow f(x)$  în mod uniform, dacă  $n$  este suficient de mare, ceea ce demonstrează definiția **polinoamele lui Bernstein**.

### 4.3. Polinoamele lui Bernstein pentru funcții de două variabile

Fie o funcție  $f(x, y)$  de două variabile reale  $x, y$  definită pe spațiul  $S$ , astfel încât  $x$  și  $y$  satisfac condițiile:

$$S := 0 \leq x \leq 1; 0 \leq y \leq 1.$$

Definiție: **Polinoamele lui Bernstein** în două variabile  $x$  și  $y$  pentru funcția  $f(x, y)$  de două variabile se definesc astfel (Kingsley, 1951):

$$B_{n_1, n_2}^f(x, y) = \sum_{v_1=0}^{n_1} \sum_{v_2=0}^{n_2} f\left(\frac{v_1}{n_1}, \frac{v_2}{n_2}\right) p_{v_1, n_1}(x) p_{v_2, n_2}(y),$$

unde

$$p_{v, n}(u) = \binom{n}{v} u^v (1-u)^{n-v}$$

și

$$\sum_{v=0}^n p_{v,n}(u) = 1$$

**Teoremă.** Dacă funcția  $f(x, y)$  de două variabile reale  $x, y$  definită pe spațiul  $S$  este mărginită de spațiul închis  $S := \{0 \leq x \leq 1; 0 \leq y \leq 1\}$ , atunci

$$\lim_{\delta x_0^q \delta y_0^{p-q}} \frac{\delta^p}{\delta x_0^q \delta y_0^{p-q}} B_{n_1, n_2}^f(x_0, y_0) = \frac{\delta^p}{\delta x_0^q \delta y_0^{p-q}} f(x_0, y_0)$$

în orice punct  $(x_0, y_0)$  aparținând spațiului deschis  $(0 < x < 1, 0 < y < 1)$ , unde diferențiala totală de ordin  $p$  a funcției  $f(x, y)$  există cu condiția ca  $n_1, n_2$  să tindă spre infinit, astfel încât

$$0 < r \leq \frac{n_1 + 1}{n_2 + 1} \leq s < +\infty.$$

În plus, dacă derivatele parțiale ale lui  $f(x, y)$  de ordinul  $p$  există și sunt continue în  $S$ , atunci limitele de mai sus converg uniform în  $S$  când  $n_1, n_2$  tind spre infinit în orice direcție posibilă.

Demonstrație. Dacă  $\delta \geq n_1^{-\alpha}, 0 < \alpha < \frac{1}{2}$ , atunci pentru  $\forall k > 0 \exists C$  depinzând doar de  $\alpha$  și  $k$  astfel încât:

$$\sum_{\left| \frac{v}{n} - u \right| \geq \delta} p_{v,n}(u) \leq C n^{-k},$$

unde:  $0 \leq u \leq 1$ .

În plus pentru un  $\gamma \geq 0$  și orice  $0 \leq u \leq 1$ , obținem:

$$\sum_{v=0}^n |v - nu|^{\gamma} p_{v,n}(u) \leq C_1 n^{\frac{1}{2}\gamma},$$

unde:  $C_1$  este o constantă depinzând doar de  $\gamma$ .

Reamintindu-ne unele proprietăți ale diferențialelor:

Prin definiție, diferențiala totală de ordinul  $p$  a lui  $f(x, y)$  există în punctul  $(x_0, y_0)$  dacă:

$$f(x, y) = P(x, y) + g(x, y),$$

unde:  $P(x, y)$  reprezintă un polinom de grad  $p$  și:

$$g(x, y) = \sum_{i=0}^p a_i(x, y) (x - x_0)^{p-i} (y - y_0)^i = \sum_{i=0}^p \beta_i,$$

unde:  $a_i(x, y)$  tind spre zero ca unică limită când  $x \rightarrow x_0$  și  $y \rightarrow y_0$ .

Definind:

$$\Delta_{(x,h)}^0 f(x, y) = f(x, y),$$

$$\Delta_{(x,h)}^1 f(x, y) = f(x + h, y) - f(x, y),$$

unde în general, pentru  $i = 1, 2, \dots, p$  și  $j = 1, 2, \dots, q$  se obține:

$$\Delta_{(x,h)}^p f(x, y) = \sum_{i=1}^p (-1)^{p-i} \binom{p}{i} f(x + ih, y)$$

și:

$$\Delta_{(y,k)}^q f(x, y) = \sum_{j=1}^q (-1)^{q-j} \binom{q}{j} f(x, y + jk).$$

Din cele două relații de mai sus rezultă că:

$$\Delta_{(x,h)}^p \Delta_{(y,k)}^q f(x, y) = \Delta_{(y,k)}^q \Delta_{(x,h)}^p f(x, y) = \sum_{i=0}^p \sum_{j=0}^q (-1)^{p+q-i-j} = \binom{p}{i} \binom{q}{j} f(x + ih, y + jk).$$

Dacă însă toate derivatele parțiale ale lui  $f(x, y)$  de ordin  $\leq p + q$  există și sunt continue în  $S$ , se poate arăta că

$$\Delta_{(x,h)}^p \Delta_{(y,k)}^q f(x_0, y_0) = h^p k^q \frac{\delta^{p+q}}{\delta x_0^q \delta y_0^{p-q}} f(x_0 + p \theta_1 h y + q \theta_2 k),$$

unde:  $\theta_i = \theta_i(x_0, y_0; h, k)$  și  $(0 < \theta_i < 1; \text{pentru: } i = 1, 2)$

În plus, aplicând inducția matematică pentru  $q = 0, 1, 2, \dots, p$ , în relația de mai sus, obținem:

$$\begin{aligned} & \frac{\delta^p}{\delta x^q \delta y^{p-q}} B_{n_1, n_2}^f(x, y) = \\ & = n_1 (n_1 - 1) \dots (n_1 - q + 1) n_2 (n_2 - 1) \dots (n_2 - p + q + 1) \cdot \\ & \cdot \sum_{v_1=0}^{n_1-q} \sum_{v_2=0}^{n_2-p+q} \Delta_{(x, n_1^{-1})}^p \Delta_{(y, n_2^{-1})}^{p-q} f\left(\frac{v_1}{n_1}, \frac{v_2}{n_2}\right) p_{v_1, n_1-q}(x) p_{v_2, n_2-q}(y). \end{aligned}$$

Din definiția **polinoamelor lui Bernstein** pentru funcții de două variabile rezultă următoarele:

**Lema 1.** Dacă  $f(x, y)$  este mărginită și continuă în spațiul  $S$ , atunci pentru orice punct  $(x, y)$  avem:

$$\lim_{n_1, n_2 \rightarrow \infty} B_{n_1, n_2}^f(x, y) = f(x, y);$$

și care se demonstrează prin analogie cu **polinoamele lui Bernstein** de o singură variabilă.

**Lema 2.** Dacă toate derivatele parțiale ale lui  $f(x, y)$  de ordin  $\leq p$  există și sunt continue în spațiul  $S$ , atunci:

$$\frac{\delta^p}{\delta x^q \delta y^{p-q}} B_{n_1, n_2}^f(x, y)$$

și

$$\frac{\delta^p}{\delta x^q \delta y^{p-q}} f(x, y)$$

tind spre infinit din orice direcție în mod continuu în spațiul lui  $S$ , când  $n_1, n_2$  sunt continue.

Demonstrație. Din relațiile de mai sus:

$$\begin{aligned} & \frac{\delta^p}{\delta x^q \delta y^{p-q}} B_{n_1, n_2}^f(x, y) = \\ & = n_1 (n_1 - 1) \dots (n_1 - q + 1) n_2 (n_2 - 1) \dots (n_2 - p + q + 1) \cdot \\ & \cdot \sum_{v_1=0}^{n_1-q} \sum_{v_2=0}^{n_2-p+q} \Delta_{(x, n_1^{-1})}^p \Delta_{(y, n_2^{-1})}^{p-q} f\left(\frac{v_1}{n_1}, \frac{v_2}{n_2}\right) p_{v_1, n_1-q}(x) p_{v_2, n_2-q}(y) \end{aligned}$$

și:

$$\Delta_{(x,h)}^p \Delta_{(y,k)}^q f(x_0, y_0) = h^p k^q \frac{\delta^{p+q}}{\delta x_0^q \delta y_0^{p-q}} f(x_0 + p \theta_1 h y + q \theta_2 k)$$

Rezultă:

$$\begin{aligned} & \frac{\delta^p}{\delta x^q \delta y^{p-q}} B_{n_1, n_2}^f(x, y) = \\ & = n_1 (n_1 - 1) \dots (n_1 - q + 1) n_2 (n_2 - 1) \dots (n_2 - p + q + 1) \cdot \\ & \cdot \left(\frac{1}{n_1}\right)^q \left(\frac{1}{n_2}\right)^{p-q} \sum_{v_1=0}^{n_1-q} \sum_{v_2=0}^{n_2-p+q} \frac{\delta^p}{\delta x^q \delta y^{p-q}} f\left(\frac{v_1}{n_1} + q \frac{\theta_{v_1 v_2}}{n_1}, \frac{v_2}{n_2} + (p-q) \frac{\phi_{v_1 v_2}}{n_2}\right) \cdot \\ & \quad \cdot p_{v_1, n_1-q}(x) p_{v_2, n_2-q}(y), \end{aligned}$$

unde

$$0 < \theta_{v_1 v_2} < 1 \text{ și } 0 < \phi_{v_1 v_2} < 1,$$

iar produsul factorilor din afara sumei duble tinde spre 1, dacă  $n_1, n_2 \rightarrow \infty$ .

Notăm

$$h(x, y) = \frac{\delta^p}{\delta x^q \delta y^{p-q}} f(x, y)$$

cu observația că diferența dintre dubla sumă și:

$$B_{n_1-q, n_2-p+q}^h(x, y)$$

tinde uniform spre zero în  $x$  și  $y$  când  $n_1, n_2 \rightarrow \infty$ . Dar, din **Lema 2**, ultima expresie tinde spre

$$\frac{\delta^p}{\delta x^q \delta y^{p-q}} f(x, y)$$

în mod uniform în  $x$  și  $y$ , ceea ce demonstrează lema 2.

**Lema 3.** Fie:

$$\frac{d^l}{du^l} [u^v (1-u)^{n-v}] = Q(u) u^{v-l} (1-u)^{n-p-1},$$

unde:

$Q(u) = \sum_{i,j} n^i (v-nu)^j h_{i,j}^l$  și unde:  $i, j \geq 0, 2i+j \leq l$ , iar:  $h_{i,j}^l(u)$  sunt polinoame în  $u$  independente de  $v$  și  $n$  lemă care se demonstrează prin inducție matematică.

Cele de mai sus ne permit să demonstrăm teorema din introducerea capitolului.

**Demonstrație.** Din definiția diferențialei totale de ordinul  $p$  a lui  $f(x, y)$  în punctul  $(x_0, y_0)$  și considerând relația definită mai sus rezultă:

$$f(x, y) = P(x, y) + g(x, y),$$

unde:  $P(x, y)$  reprezintă un polinom de grad  $p$  și  $g$  definit ca mai jos,

$$g(x, y) = \sum_{i=0}^p a_i(x, y) (x-x_0)^{p-i} (y-y_0)^i = \sum_{i=0}^p \beta_i$$

obținem

$$\frac{\delta^p}{\delta x_0^q \delta y_0^{p-q}} B_{n_1, n_2}^f(x_0, y_0) = \frac{\delta^p}{\delta x_0^q \delta y_0^{p-q}} B_{n_1, n_2}^p(x_0, y_0) + \frac{\delta^p}{\delta x_0^q \delta y_0^{p-q}} B_{n_1, n_2}^q(x_0, y_0)$$

și conform **Lemei 2**. trebuie doar să arătăm că termenul secund din dreapta ecuației tinde spre zero.

Folosind definiția lui  $g(x, y)$  de mai sus este suficient să arătăm că

$$\frac{\delta^p}{\delta x_0^q \delta y_0^{p-q}} B_{n_1, n_2}^{\beta_k}(x_0, y_0) \rightarrow 0,$$

și unde:  $k = 0, 1, 2, \dots, p$ .

Din **Lema 3**. obținem

$$\begin{aligned} & \frac{\delta^p}{\delta x_0^q \delta y_0^{p-q}} B_{n_1, n_2}^{\beta_k}(x_0, y_0) = \\ & = \sum_{2i_1+j_1 \leq q} h_{i_1+j_1}^q(x_0) \sum_{2i_2+j_2 \leq p-q} h_{i_2+j_2}^{p-q}(y_0) \sum_{v_1=0}^{n_1} \sum_{v_2=0}^{n_2} \alpha_k \left( \frac{v_1}{n_1}, \frac{v_2}{n_2} \right) \left( \frac{v_1}{n_1} - x_0 \right)^{p-k} \cdot \\ & \cdot \left( \frac{v_2}{n_2} - y_0 \right)^k n_1^{i_1} (v_1 - n_1 x_0)^{j_1} n_2^{i_2} (v_2 - n_2 y_0)^{j_2} \binom{n_1}{v_1} x_0^{v_1-q} (1-x_0)^{n_1-v_1-q} \binom{n_2}{v_2} \cdot \\ & \cdot y_0^{v_2-p+q} (1-y_0)^{n_2-v_2-p+q} \end{aligned}$$

și care se poate rescrie sub forma

$$\frac{\delta^p}{\delta x_0^q \delta y_0^{p-q}} B_{n_1, n_2}^{\beta_k}(x_0, y_0) =$$

$$= \sum_{2i_1+j_1 \leq q} h_{i_1+j_1}^*(x_0) \sum_{2i_2+j_2 \leq p-q} h_{i_2+j_2}^*(y_0) \sum_{v_1=0}^{n_1} \sum_{v_2=0}^{n_2} \alpha_k \left( \frac{v_1}{n_1}, \frac{v_2}{n_2} \right) \left( \frac{v_1}{n_1} - x_0 \right)^{p-k} \cdot \\ \cdot \left( \frac{v_2}{n_2} - y_0 \right)^k n_1^{i_1} (v_1 - n_1 x_0)^{j_1} n_2^{i_2} (v_2 - n_2 y_0)^{j_2} p_{v_1, n_1}(x_0) p_{v_2, n_2}(y_0),$$

unde:  $h_{i_1+j_1}^*(x_0)$  sunt independenți de  $v_1$  și  $n_1$  iar  $h_{i_2+j_2}^*(y_0)$  sunt independenți de  $v_2$  și  $n_2$ . Deci este suficient să aratăm că dubla sumă din interior, pe care o notăm cu  $\sigma$  tinde spre zero cu condiția ca

$$0 < r \leq \frac{n_1 + 1}{n_2 + 1} \leq s < +\infty$$

Atunci, pentru orice  $\varepsilon > 0$ , există  $\delta$  astfel încât

$$a_k |x_1 - x_0| < \varepsilon \\ |x_1 - x_0| < \delta$$

$$|y_1 - y_0| < \delta, \text{ unde: } k = 0, 1, 2, \dots, p$$

iar  $\delta$  se va preciza ulterior și unde există un  $M$  astfel încât

$$a_k |x_1 - x_0| \leq M \text{ pentru:} \\ 0 \leq x_1 \leq 1, \\ 0 \leq y_1 \leq 1.$$

A. În valoare absolută partea din componentele lui  $\sigma$  corespunzătoare acestuia:

$$\left| \frac{v_1}{n_1} - x_0 \right| < \delta \text{ și:} \\ \left| \frac{v_2}{n_2} - y_0 \right| < \delta$$

nu este mai mare decât expresia:

$$n_1^{i_1-p+k} n_2^{i_2-k} \sum_{v_1=0}^{n_1} \sum_{v_2=0}^{n_2} |v_1 - n_1 x_0|^{p-k+j_1} |v_2 - n_2 y_0|^{k+j_2} p_{v_1, n_1}(x_0) p_{v_2, n_2}(y_0).$$

Ținând cont de expresia de mai sus:

$$\sum_{v=0}^n |v - n u|^v p_{v, n}(u) \leq C_1 n^{\frac{1}{2} \nu}$$

ultima expresie nu este mai mare decât:

$$C_{2n_1}^{i_1-p+k+\frac{1}{2}(p-k+j_2)} \leq C_2 (\sqrt{n_1})^{2i_1+j_1-(p-k)} (\sqrt{n_2})^{2i_2+j_2-k}$$

Dar:

$$\begin{cases} 2i_1 + j_1 \leq q \\ 2i_2 + j_2 \leq p - q \end{cases} \text{ rezultă că: } 2i_1 + j_1 + 2i_2 + j_2 - p \leq 0$$

și deci ultima expresie nu este mai mare decât  $C_2$  pentru toți  $n_1, n_2$  suficienți de mari și care satisfac relația:

$$\sum_{v=0}^n |v - n u|^v p_{v, n}(u) \leq C_1 n^{\frac{1}{2} \nu}.$$

În plus, în valoare absolută partea din componentele lui  $\sigma$  corespunzătoare acestuia:

$$\left| \frac{v_1}{n_1} - x_0 \right| < \delta \text{ și:} \\ \left| \frac{v_2}{n_2} - y_0 \right| \geq \delta$$

nu este mai mare decât

$$n_1^{i_1-p+k} n_2^{i_2-k} M \sum_{v_1=0}^{n_1} |v_1 - n_1 x_0|^{p-k+j_1} p_{v_1, n_1}(x_0) p_{v_2, n_2}(y_0) \sum_{\left| \frac{v_2}{n_2} - y_0 \right| \geq \delta} |v_2 - n_2 y_0|^{k+j_2} p_{v_2, n_2}(y_0).$$

Din

$$0 < r \leq \frac{n_1 + 1}{n_2 + 1} \leq s < +\infty,$$

$$|v - nu| \leq n,$$

$$\sum_{v_1=0}^{n_1} p_{v_1, n_1}(x_0) = 1$$

rezultă că expresia de mai sus nu este mai mare decât:

$$n_2^{i_1-p+k} n_2^{i_2-k} M_1 n_2^{j_1-k+p} n_2^{i_2-k} \sum_{\left| \frac{v_2}{n_2} - y_0 \right| \geq \delta} p_{v_2, n_2}(y_0).$$

Considerând  $n_1, n_2$  suficienți de mari și  $0 < \alpha < \frac{1}{2}$ , atunci numărul:

$$\delta = n_1^{-\alpha} + n_2^{-\alpha}$$

satisface condițiile:

$$a_k |x_1 - x_0| < \varepsilon$$

$$|x_1 - x_0| < \delta$$

$$|y_1 - y_0| < \delta, \text{ unde: } k = 0, 1, 2 \dots p$$

B. O concluzie similară rezultă din componentele lui  $\sigma$  corespunzătoare acestuia

$$\left| \frac{v_1}{n_1} - x_0 \right| \geq \delta, \text{ și:}$$

$$\left| \frac{v_2}{n_2} - y_0 \right| < \delta.$$

C. În final, partea lui  $\sigma$  corespunzătoare acestuia

$$\left| \frac{v_1}{n_1} - x_0 \right| \geq \delta, \text{ și:}$$

$$\left| \frac{v_2}{n_2} - y_0 \right| \geq \delta$$

în valoare absolută nu este mai mare decât

$$n_1^{i_1-p+k} n_2^{i_2-k} M \sum_{v_1=0}^{n_1} |v_1 - n_1 x_0|^{p-k+j_1} p_{v_1, n_1}(x_0) p_{v_2, n_2}(y_0) \sum_{\left| \frac{v_2}{n_2} - y_0 \right| \geq \delta} |v_2 - n_2 y_0|^{k+j_2} p_{v_2, n_2}(y_0)$$

Considerând

$$\sum_{\left| \frac{v}{n} - u \right| \geq \delta} p_{v, n}(u) \leq C n^{-k}$$

aceștia nu sunt mai mari decât

$$n_1^{i_1-p+k} n_2^{i_2-k} M C \frac{n_1^{p-k+j_1}}{n_1^{i_1+j_1+1}} \frac{n_2^{k+j_2}}{n_2^{i_2+1+j_2}}$$

și care tinde spre zero când  $n_1, n_2$  suficienți de mari tind spre  $\infty$ .

De aici rezultă că

$$\frac{\delta^p}{\delta x_0^q \delta y_0^{p-q}} B_{n_1, n_2}^{\beta_k} (x_0, y_0)$$

poate fi ales suficient de mic și considerând  $n_1, n_2$  suficienți de mari, astfel încât relațiile

$$0 < r \leq \frac{n_1 + 1}{n_2 + 1} \leq s < +\infty,$$

să fie satisfăcute, ceea ce demonstrează teorema dată.

În același timp, trebuie să arătăm că relația limită prezentată la începutul capitolului:

$$\lim \frac{\delta^p}{\delta x_0^q \delta y_0^{p-q}} B_{n_1, n_2}^f (x_0, y_0) = \frac{\delta^p}{\delta x_0^q \delta y_0^{p-q}} f (x_0, y_0)$$

este valabilă și în cele patru puncte ale suprafeței  $S$  cu coordonatele:

$$(0, 0), (0, 1), (1, 0) \text{ și } (1, 1).$$

Este suficient să arătăm aceasta pentru punctul  $(0, 0)$ , demonstrația fiind similară pentru celelalte puncte.

Fie:

$$D_{v_1, v_2} = \frac{d^q}{dx^q} x^{v_1} (1-x)^{n_1-v_1} \frac{d^{p-q}}{dx^{p-q}} y^{v_2} (1-y)^{n_2-v_2},$$

unde:  $D_{v_1, v_2} (0, 0)$ , pentru:

$$v_1 \geq q + 1, \text{ și:}$$

$$v_2 \geq q + 1.$$

Aplicând **Teorema lui Leibnitz**, obținem:

$$\begin{aligned} D_{v_1, v_2} (0, 0) &= \binom{q}{v_1} \frac{d^{v_1}}{dx^{v_1}} x^{v_1} \frac{d^{q-v_1}}{dx^{q-v_1}} (1-x)^{n_1-v_1} \binom{p-q}{v_2} \frac{d^{v_2}}{dy^{v_2}} y^{v_2} \frac{d^{p-q-v_2}}{dy^{p-q-v_2}} (1-y)^{n_2-v_2} \Big|_{x=y=0} \\ &= (-1)^{q-v_1} \frac{q!}{(q-v_1)!} (n_1 - v_1)(n_1 - v_1 - 1) \dots (n_1 - q + 1) \cdot \\ &\quad \cdot (-1)^{p-q-v_2} \frac{(p-q)!}{(p-q-v_2)!} (n_2 - v_2)(n_2 - v_2 - 1) \dots (v_2 - pq + q + 1) \cong C C n_1^{q-v_1} n_2^{p-q-v_2}, \end{aligned}$$

unde:  $n_1, n_2 \rightarrow \infty$ .

Trebuie să arătăm că

$$\frac{\delta^p}{\delta x_0^q \delta y_0^{p-q}} B_{n_1, n_2}^{\beta_k} (x_0, y_0) \rightarrow 0$$

pentru punctul  $(0, 0)$  în loc de  $(x_0, y_0)$ .

Obținem:

$$\begin{aligned} &\frac{\delta^p}{\delta x_0^q \delta y_0^{p-q}} B_{n_1, n_2}^{\beta_k} (x, y) \Big|_{x=y=0} = \\ &= \sum_{v_1=0}^q \sum_{v_2=0}^{p-q} \alpha_k \left( \frac{v_1}{n_1}, \frac{v_2}{n_2} \right) \left( \frac{v_1}{n_1} - x_0 \right)^{p-k} \left( \frac{v_1}{n_1} \right) \left( \frac{v_2}{n_2} \right) D_{v_1, v_2} (x, y) \Big|_{x=y=0} \end{aligned}$$

și unde  $D_{v_1, v_2}$  în valoare absolută este

$$\cong C \left| \sum_{v_1=0}^q \sum_{v_2=0}^{p-q} \alpha_k \left( \frac{v_1}{n_1}, \frac{v_2}{n_2} \right) \left( \frac{1}{n_1} \right)^{p-k} \left( \frac{1}{n_2} \right)^k n_1^{v_1} n_2^{v_2} n_1^{q-v_1} n_2^{p-q-v_2} \right|$$

și deoarece  $n_1, n_2$  satisfac inegalitatea

$$0 < r \leq \frac{n_1 + 1}{n_2 + 1} \leq s < +\infty,$$

ultima expresie nu e mai mare decât

$$C \sum_{v_1=0}^q \sum_{v_2=0}^{p-q} \left| \left( \frac{v_1}{n_1}, \frac{v_2}{n_2} \right) \right|$$

și care tinde spre zero când  $n_1, n_2 \rightarrow \infty$ , deoarece  $\alpha_k(x, y) \rightarrow 0$ , când  $x \rightarrow 0$  și  $y \rightarrow 0$ .

Ca urmare, obținem relația:

$$\frac{\delta^p}{\delta x_0^q \delta y_0^{p-q}} B_{n_1, n_2}^f(x, y) \Big|_{x=y=0} = \frac{\delta^p}{\delta x_0^q \delta y_0^{p-q}} f(x, y) \Big|_{x=y=0},$$

dacă diferențiala de ordinul  $n$  a lui  $f(x, y)$  există în punctul  $(0, 0)$  și  $n_1, n_2$  satisface inegalitatea

$$0 < r \leq \frac{n_1 + 1}{n_2 + 1} \leq s < +\infty.$$

Vom arăta că demonstrația de mai sus se poate extinde la toate celelalte puncte considerate. Fie pentru aceasta punctul  $(x_0, 0)$ , unde:  $0 < x_0 < 1$  și fie funcția

$$f(x, y) = \varepsilon(y) |x - x_0| \text{ și unde: } 0 < x_0 < 1,$$

iar  $\varepsilon(y)$  este definit pentru  $0 \leq y \leq 1$ , cu următoarele proprietăți:

$$\varepsilon(y) \rightarrow 0$$

$$y^{-\frac{1}{2}} \varepsilon(y) \rightarrow +\infty, \text{ când: } y \rightarrow 0.$$

Considerând:  $n_1 = n_2 = n$ , obținem:

$$\frac{d}{dy} p_{v_2, n}(y) \Big|_{y=0} = \begin{cases} n & \text{pentru } v_2 = 1 \\ 0 & \text{pentru } v_2 = 2, 3, \dots, n. \end{cases}$$

Ca urmare,

$$\begin{aligned} \frac{\delta}{\delta y} B_{nn}(x, y) \Big|_{(x_0, 0)} &= \sum_{v_1=0}^n \left| \frac{v_1}{n} - x \right| p_{v_1, n}(x) \sum_{v_2=0}^n \left( \frac{v_2}{n} \right) \frac{d}{dy} p_{v_2, n}(y) \Big|_{(x_0, 0)} = \\ &= \frac{1}{n} \sum_{v_1=0}^n |v_1 - n x_0| p_{v_1, n}(x_0) \left( \frac{1}{n} \right) n \geq C \sqrt{n} \left( \frac{1}{n} \right) \end{aligned}$$

și care tinde spre  $\infty$ , când  $n \rightarrow \infty$ , deoarece:

$$\lim_{n \rightarrow \infty} \frac{\delta^p}{\delta x_0^q \delta y_0^{p-q}} B_{n_1, n_2}^f(x_0, y_0) = \frac{\delta^p}{\delta x_0^q \delta y_0^{p-q}} f(x_0, y_0).$$

Rezultă că pentru orice:  $0 < x < 1$ , există o constantă  $C > 0$  astfel încât

$$\sum_{v=0}^n |v - n x| p_{v, n}(x) \geq C \sqrt{n}$$

când  $n \rightarrow \infty$ , ceea ce ne arată că extinderea **polinoamelor lui Bernstein** pentru funcții de două variabile este fezabilă. De remarcat abordarea originală a acestei probleme, diferită de cea existentă în literatura de specialitate. O astfel de abordare ne permite extinderea **polinoamelor lui Bernstein** pentru polinoame de gradul -  $m$ , în general, și care este prezentată în continuare.

#### 4.4. Polinoamele lui Bernstein de gradul $m$

$$\text{Fie: } B_k^m[r, s](t) = \binom{m}{k} \left( \frac{s-t}{s-r} \right)^{m-k} \left( \frac{t-r}{s-r} \right)^k$$

și unde:

$$\sum_k^m B_k^m[r, s](t) = \sum_{k=0}^m \binom{m}{k} \left( \frac{s-t}{s-r} \right)^{m-k} \left( \frac{t-r}{s-r} \right)^k = \left( \frac{s-t}{s-r} + \frac{t-r}{s-r} \right)^m = 1$$



Pentru  $r = 0$  și  $s = 1$  și deoarece  $t_i = \lambda_i$  expresia se poate simplifica și obținem funcția polinomială  $h(t)$  asociată lui  $f(x)$  (Fichtenholtz, 1934):

$$h(t) = \sum_{k=0}^m \binom{m}{k} (1-t)^{m-k} t^k f(0, 0, \dots, 0, 1, 1, \dots, 1)$$

unde:  $0, 0, \dots, 0 = m - k$  și  $1, 1, \dots, 1 = k$ .

Polinoamele

$$B_k^m(t) = \binom{m}{k} (1-t)^{m-k} t^k$$

se numesc **polinoamele Bernstein** de gradul  $m$ . Mai mult,

$$B_k^m[r, s](t) = B_k^m\left(\frac{t-r}{s-r}\right).$$

## 4.5. Polinoamele lui Bernstein în spațiul $n$ dimensional

În spațiul  $n$  dimensional și  $m$  variabile polinoamele lui Bernstein pot fi definite astfel:

$$B_{f, n_1, n_2, \dots, n_n}(x_1, x_2, \dots, x_m) = \sum_{\substack{0 \leq k_j \leq n_j \\ j \in \{1, 2, \dots, m\}}} f\left(\frac{k_1}{n_1}, \dots, \frac{k_m}{n_m}\right) \prod_{j=1}^m \binom{n_j}{k_j} x_j^{k_j} (1-x_j)^{n_j-k_j},$$

unde:  $n_1, n_2, \dots, n_n \in N$  și  $f$  este o funcție continuă de  $m$  variabile:

$$f = f(n_1, n_2, \dots, n_n) \text{ și unde } f: [0, 1]^n, n \in N.$$

Și în acest caz, este evident că **polinoamele lui Bernstein de  $m$  variabile**

$B_{f, n_1, n_2, \dots, n_n}(x_1, x_2, \dots, x_m)$  converg spre  $f$  când  $x_1, x_2, \dots, x_m \rightarrow \infty$ .

În acest caz general:

$$\sum_{k=0}^n (k-nx)^2 \binom{n}{k} x^k (1-x)^{n-k} = nx(1-x),$$

iar pentru toți  $x \in [0, 1]$ , obținem:  $x(1-x) \leq 1/4$  și deci:

$$0 \leq \sum_{k=0}^n (k-nx)^2 \binom{n}{k} x^k (1-x)^{n-k} \leq \frac{n}{4}$$

Această generalizare este foarte importantă deoarece ne permite să studiem proprietățile acestor polinoame în cazul general de  $m$  variabile și apoi să particularizăm rezultatele obținute pentru funcții de o variabilă, de două sau de trei variabile.

Se poate observa că particularizând definiția de mai sus, pentru  $m = 1, 2, 3$  obținem **polinoamele lui Bernstein** pentru 1,2,3 variabile studiate mai sus.

Ca exemplificare, se prezintă mai jos reprezentarea grafică comparativă a **polinoamelor lui Bernstein** pentru o variabilă (Fig. 4.1) și două variabile (Fig. 4.2).

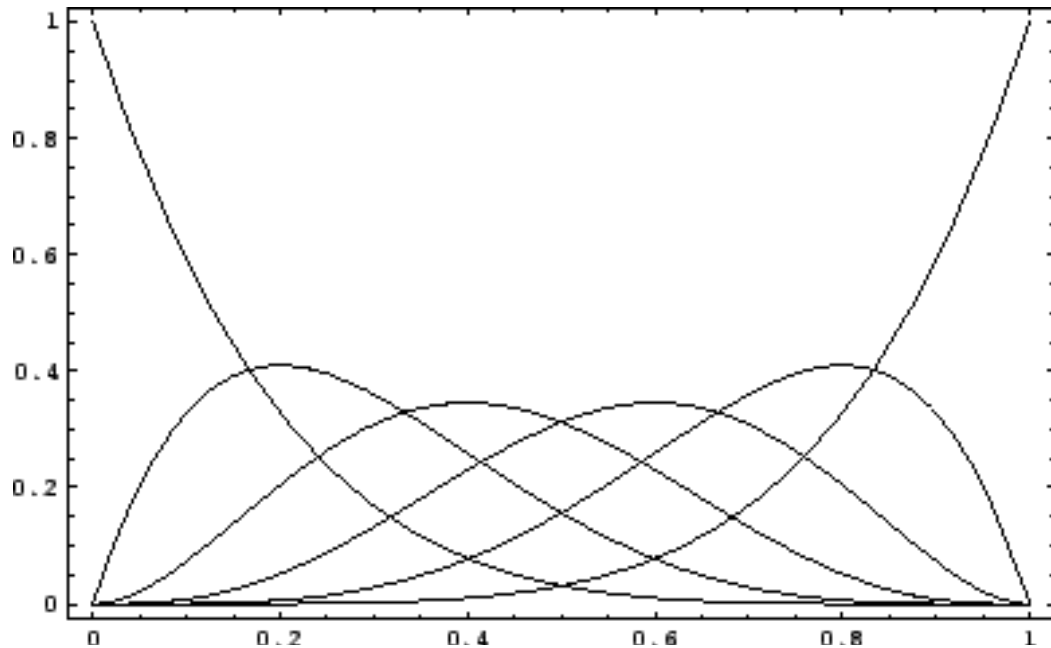


Fig. 4.1. Polinoamele lui Bernstein pentru o variabilă

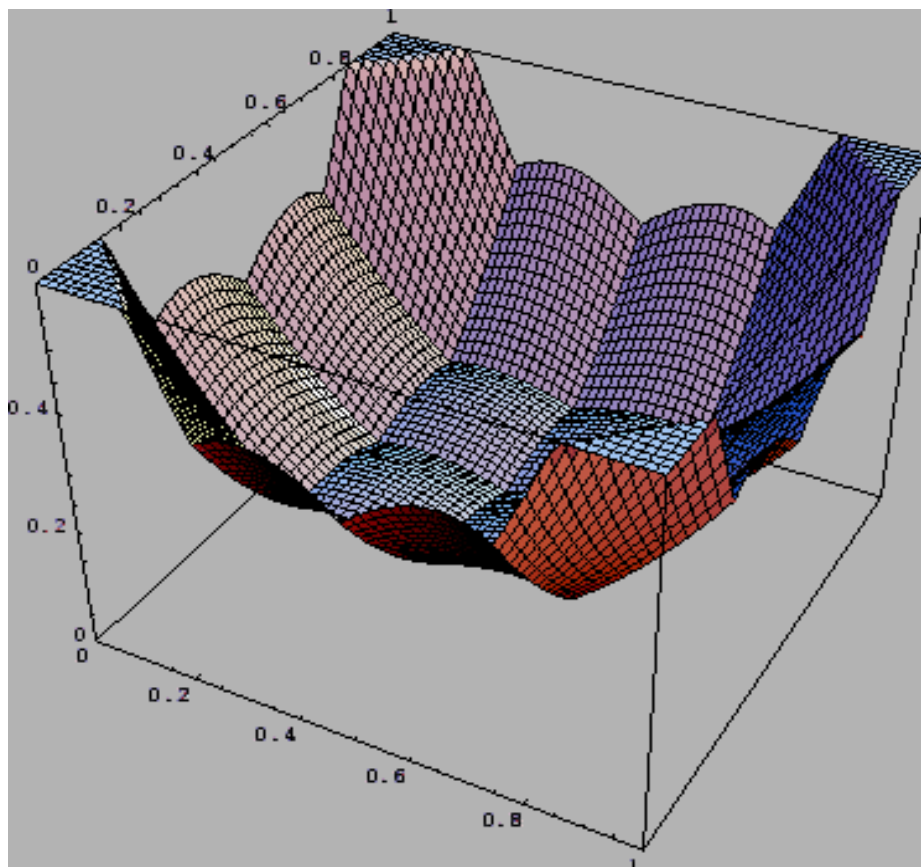


Fig. 4.2. Reprezentarea grafică a polinoamelor lui Bernstein pentru două variabile.

Se poate observa că, convexitatea **polinoamelor lui Bernstein** de o variabilă reprezintă principala rațiune pentru care aceste polinoame sunt preferate în teoria aproximării funcțiilor. În practică, această proprietate se menține și pentru **polinoamele lui Bernstein** multivariabile (Sauer, 1981), reprezentând în acest caz un domeniu interesant de investigat.

## 4.6. Derivatele polinoamelor lui Bernstein

Prin diferențierea polinoamelor lui Bernstein obținem:

$$\begin{aligned} B'_n(x) &= \frac{dB_n(x)}{dx} = \sum_{v=0}^n f\left(\frac{v}{n}\right) \binom{n}{v} \{v x^{v-1} (1-x)^{n-v} - (n-v) x^v (1-x)^{n-v-1}\} = \\ &= n \sum_{v=0}^{n-1} \left\{ f\left(\frac{v+1}{n}\right) - f\left(\frac{v}{n}\right) \right\} \binom{n-1}{v} x^v (1-x)^{n-1-v}, \end{aligned}$$

unde:  $f\left(\frac{v+1}{n}\right) - f\left(\frac{v}{n}\right)$  este diferențiala de ordinul I a funcției  $f(x)$  pentru  $n = \frac{v}{n}$ .

Diferența de ordinul  $k$  corespunzătoare creșterii argumentului  $\Delta x = h$  este:

$$\Delta_h^k f(x) = \Delta(\Delta_h^{k-1} f(x)) = f(x+kh) - \binom{k}{1} f(x+(k-1)h) + \dots + (-1)^k f(x)$$

Dacă notăm  $\Delta^k f(x)$  pentru  $h = n^{-1}$  și pentru  $k$  diferențieri obținem:

$$B_n^{(k)}(x) = n(n-1)\dots(n-k+1) \sum_v^{n-k} \Delta^k f(v) \binom{n-k}{v} x^v (1-x)^{n-1-v},$$

pentru  $k = 1, 2, \dots, n$ , sau pentru puteri ale lui  $x$  obținem expresia **polinoamelor lui Bernstein**:

$$B_n^f(x) = \sum_{k=0}^n \binom{n}{k} \Delta^k f(0) x^k = \sum_{k=0}^n a_{nk} x^k.$$

Dar pentru polinomul  $f(x) = P(x)$  de grad  $m$  avem:

$$\Delta^k P(x) = 0, \text{ pentru } k > m.$$

Ca urmare **polinomul lui Bernstein**  $B_n^P(x)$  al unui polinom de gradul  $m$  este el însuși un polinom de grad  $\leq m$ .

Deci  $B_n^P(x)$  este în general diferit de  $P$ . De exemplu pentru:

$$P(x) = x^2; B_n^P(x) = x^2 - n^{-1} x(1-x).$$

Coeficientul  $a_{nk}$  a lui  $x^k$  din expresia de mai sus a **polinoamelor lui Bernstein** este:

$$a_{nk} = \binom{n}{k} \Delta^k f(0) = \frac{1}{k!} \left(1 - \frac{1}{n}\right) \dots \left(1 - \frac{k-1}{n}\right) \frac{f(0)}{(\Delta x)^k}$$

și unde  $\Delta x = n^{-1}$  converge către  $\frac{f^{(k)}(0)}{k!}$  pentru  $n \rightarrow \infty$ , dacă derivata  $f^{(k)}(0)$  există și este finită.

Se observă că expresia de mai sus nu este altceva decât suma primilor  $(n+1)$  termeni ai dezvoltării Taylor pentru funcția  $f(x)$ , și care ne arată că nu este surprinzător faptul că și dezvoltările Taylor își au rolul lor în aproximarea funcțiilor (Kantorovitch, 1931).

## 4.7. Gradul de aproximare al funcției $f(x)$ atribuit polinoamelor Bernstein

Gradul de aproximare al funcției  $f(x)$ , unde  $a \leq x \leq b$  de către **polinoamele Bernstein** poate fi descris introducând modulul de continuitate  $\omega(\delta)$  definit ca mai jos:

$$\omega(\delta) = \omega^f(\delta), \text{ astfel încât pentru orice } \delta > 0,$$

$$\omega(\delta) = \max |f(x) - f(y)|,$$

pentru orice  $a \leq x \leq b$  și  $a \leq y \leq b$  și  $|x-y| < \delta$ . Se observă că  $(\delta)$  converge spre zero, dacă funcția  $f(x)$  este continuă.

**Consecințe:**

A. Dacă  $\omega(\delta)$  este modul de continuitate al funcției  $f(x)$  pentru  $0 \leq x \leq 1$ , atunci pentru fiecare  $n, \exists$  un polinom  $P_n(x)$  de grad  $\leq n$ , astfel încât

$$|f(x) - P_n(x)| \leq C \omega(n^{-1}),$$

unde  $C$  este o constantă absolută, de exemplu se poate lua  $C = 3$ .

B. Dacă  $f(x)$  are o derivată  $f^{(p)}(x)$  continuă în  $[0, 1]$  și un modul de continuitate  $\omega_p(\delta)$ , atunci pentru fiecare  $n > p, \exists$  un polinom  $P_n(x)$  de grad  $\leq n$ , pentru care

$$|f(x) - P_n(x)| \leq C_p n^{-p} \omega_p(n^{-1}),$$

unde  $C_p$  este de asemenea o constantă absolută.

Pentru a studia gradul de aproximație atribuit **polinoamelor Bernstein** se introduce **Teorema lui Popoviciu** (Popoviciu, 1935):

Dacă  $f(x)$  este continuă și  $\omega(\delta)$  este modul de continuitate definit mai sus, atunci

$$|f(x) - B_n(x)| \leq \frac{5}{4} \omega\left(n^{-\frac{1}{2}}\right).$$

**Demonstrație:** Pentru orice  $x_1$  și  $x_2$  arbitrari în  $[0, 1]$  și  $\delta > 0$ , fie  $\lambda = \lambda(x_1, x_2, \delta)$  întregul expresiei  $[|x_1 - x_2| \delta^{-1}]$ , atunci diferența  $f(x_1) - f(x_2)$  este egală cu suma a  $(\lambda + 1)$  diferențe ale lui  $f(x)$  pe intervalul de lungime  $> \delta$ .

Dar

$$|f(x_1) - f(x_2)| \leq (\lambda + 1) \omega(\delta) \text{ și}$$

$$|f(x) - B_n(x)| \leq \sum_{v=0}^n \left| f(x) - f\left(\frac{v}{n}\right) \right| p_v(x) \leq$$

$$\leq \omega(\delta) \sum_{v=0}^n \left\{ 1 + \lambda \left(x, \frac{v}{n}, \delta\right) \right\} p_v = \omega(\delta) \left\{ 1 + \sum_{\lambda \geq 1} \lambda \left(x, \frac{v}{n}, \delta\right) p_v \right\} \leq$$

$$\leq \omega(\delta) \{ 1 + (4n\delta^2)^{-1} \}$$

Dacă  $\delta = n^{-\frac{1}{2}}$  obținem formula de mai sus:  $|f(x) - B_n(x)| \leq \frac{5}{4} \omega\left(n^{-\frac{1}{2}}\right)$ .

Dar cea mai mică valoare a lui  $C$  pentru care

$$|f(x) - B_n(x)| \leq C \omega\left(n^{-\frac{1}{2}}\right)$$

este adevărată pentru fiecare funcție  $f$  și fiecare  $n$ , este dificil a se determina cu exactitate; în orice caz însă  $C \leq \frac{5}{4}$ . Mai mult  $c \geq 1$ ; după cu se poate vedea mai jos.

Fie  $\delta_n = \omega\left(n^{-\frac{1}{2}}\right)$ .

Presupunând că  $f_n(x)$  este o funcție definită astfel

$$f_n(x) = \begin{cases} 0, & 0 < x_0 < 1 \\ 1, & [0, x_0 - \delta_n] \cap [x_0 + \delta_n, 1] \end{cases}$$

și liniară pentru restul intervalului  $[0, 1]$ , atunci pentru  $n$  suficient de mare avem  $\omega\left(n^{-\frac{1}{2}}\right) = 1$ , pentru funcția  $f_n$ .

De asemenea,

$$|f_n(x_0) - B_n(x_0)| = B_n(x_0) \geq \sum_{\left|\frac{v}{n} - x\right| \geq \delta_n} p_v(x_0) = 1 - \varepsilon_n$$

și unde  $\varepsilon \rightarrow 0$ , deci:

$|f(x) - B_n(x)| \leq C \omega\left(n^{-\frac{1}{2}}\right)$  nu poate fi adevărată pentru  $c < 1$ .

**Rezultă ca funcția  $\omega(\delta)$  este cea mai rapidă funcție descrescătoare spre zero care poate exista.**

De exemplu, se poate arăta aceasta pentru funcția

$f(x) = |x - x_0|^\alpha$ , unde  $0 < x_0 < 1$ ,  $0 < \alpha \leq 1$ , avem:  $\omega(\delta) = \delta^\alpha$  și  $\delta = n^{-\frac{1}{2}}$  și atunci

$$\begin{aligned} |f_n(x_0) - B_n(x_0)| &= \sum_{v=0}^n \left| \frac{v}{n} - x_0 \right|^\alpha p_v(x_0) \geq \\ &\geq n^{-\frac{1}{2}\alpha} \sum_{\left| \frac{v}{n} - x_0 \right| \geq n^{-\frac{1}{2}}} p_v(x_0) \cong C n^{-\frac{1}{2}\alpha}, \end{aligned}$$

pentru oricare  $c > 0$ .

Introducând în discuție funcții care au derivate  $f'(x)$  continue pe  $[0, 1]$ , se poate arăta că dacă  $\omega_1(\delta)$  este modul de continuitate al derivatei  $f'$  atunci:

$$|f(x) - B_n(x)| \leq \frac{3}{4} n^{-\frac{1}{2}} \omega_1\left(n^{-\frac{1}{2}}\right).$$

Pentru a demonstra aceasta introducăm

$f(x_1) - f(x_2) = (x_1 - x_2) f'(\xi) = (x_1 - x_2) f'(x_1) + (x_1 - x_2) [f(\xi) - f'(\xi)]$ , unde  $x_1 \leq \xi \leq x_2$  și unde valoarea absolută a ultimului termen nu este mai mare decât  $|x_1 - x_2|(\lambda + 1) \omega_1(\delta)$ , unde  $\lambda = \lambda(x_1, x_2; \delta)$ , atunci:

$$\begin{aligned} |f(x) - B_n(x)| &= \sum_{v=0}^n \left| f(x) - f\left(\frac{v}{n}\right) \right| p_v(x) \leq \\ &\leq \left| \sum_{v=0}^n \left(x - \frac{v}{n}\right) f'(x) p_v \right| + \omega_1(\delta) \sum_{v=0}^n \left| \frac{v}{n} - x \right| (\lambda + 1) p_v \leq \\ &\leq \omega_1(\delta) \left\{ \sum_{v=0}^n \left| \frac{v}{n} - x \right| p_v + \sum_{\lambda \geq 1} \left| \frac{v}{n} - x \right| \lambda \left(x, \frac{v}{n}, \delta\right) p_v \right\} \leq \\ &\leq \omega_1(\delta) \left\{ \sum_{v=0}^n \left| \frac{v}{n} - x \right| p_v + \delta^{-1} \sum_{v=0}^n \left(\frac{v}{n} - x\right)^2 p_v \right\}. \end{aligned}$$

unde ultimul termen este

$$x(1-x)n^{-1} \leq \frac{1}{4} n^{-1}.$$

Atunci

$$|f(x) - B_n(x)| \leq \omega_1(\delta) \left\{ \frac{1}{2} n^{-\frac{1}{2}} + (4n\delta)^{-1} \right\}.$$

Înlocuind  $\delta = n^{-\frac{1}{2}}$  se obține:  $|f(x) - B_n(x)| \leq \frac{3}{4} n^{-\frac{1}{2}} \omega_1\left(n^{-\frac{1}{2}}\right)$ , ceea ce confirmă ipoteza.

#### 4.8. Convergența derivatelor $B_n^{(k)}$ ale polinoamelor lui Bernstein a funcției $f(x)$

Dacă  $f^{(k)}(x)$  există și este continuă în  $[0, 1]$  și  $0 < \theta_v < 1$ , iar  $k = 1, 2, \dots, n$ , atunci:

$$B_n^{(k)}(x) = \left(1 - \frac{1}{n}\right) \dots \left(1 - \frac{k-1}{n}\right) \sum_{v=0}^{n-k} f^{(k)}\left(\frac{v}{n} + \theta_v \frac{k}{n}\right) p_{n-k, v}(x)$$

Deoarece  $\frac{\Delta^k f(x)}{h^k}$  se reduce la  $f^{(k)}(c)$ , astfel încât:  $x < c < x + kh$ .

Diferența dintre  $B_n^{(k)}(x)$  și  $B_{n-k}^{(k)}(x)$  a derivatelor  $f^{(k)}(x)$  converge spre zero pentru  $x$  când  $n \rightarrow \infty$  și deci:  $B_n^{(k)}(x) \rightarrow f^{(k)}(x)$ , pentru  $0 \leq x \leq 1$ .

Dacă  $f(x) \in [0, 1]$  și  $f^{(k)}(x_0)$  există pentru  $0 \leq x \leq 1$ , atunci

$$B_n^{(k)}(x_0) \rightarrow f^{(k)}(x_0),$$

demonstrând importanța **polinoamelor Bernstein** în aproximarea funcțiilor  $f(x)$  continue pe  $[0, 1]$ .

Derivatele  $B_n^{(k)}$  ale **polinoamelor lui Bernstein** ale funcției  $f(x)$  converg spre  $f^{(k)}(x)$ , oriunde aceste derivate există. Dacă  $f^{(k)}(x)$  există și este continuă pe  $[0, 1]$ , atunci avem

$$B_n^{(k)}(x) = \left(1 - \frac{1}{n}\right) \dots \left(1 - \frac{k-1}{n}\right) \sum_{v=0}^{n-k} f^{(k)}\left(\frac{v}{n} + \theta_v \frac{k}{n}\right) p_{n-k, v}(x),$$

unde:  $0 < \theta_v < 1$ , deoarece  $\frac{\Delta^k f(x)}{h^k}$  din derivata  $B_n^{(k)}$  se reduce la  $f^{(k)}(c)$  pentru  $c$  astfel ca:  $x < c < x + kh$ .

Diferența  $\left|f_n^{(k)} - B_n^{(k)}(x)\right|$  converge uniform spre zero pentru  $x$ , când  $n \rightarrow \infty$  și deci  $B_n^{(k)}(x)$  converge uniform spre  $f^{(k)}(x)$ :

$$B_n^{(k)}(x) \rightarrow f^{(k)}(x) \text{ pentru } 0 \leq x \leq 1.$$

Totodată, aceasta implică:

$$\Rightarrow B_n^{(k)}(0) \rightarrow f^{(k)}(0), \text{ dacă } f^{(k)}(0) \text{ există și}$$

$$\Rightarrow B_n^{(k)}(1) \rightarrow f^{(k)}(1), \text{ dacă } f^{(k)}(1) \text{ există.}$$

Dacă  $f(x) \in [0, 1]$  și dacă  $f^{(k)}(x_0)$  există într-un punct  $x_0$ , astfel încât:

$$0 \leq x_0 \leq 1, \text{ atunci:}$$

$$B_n^{(k)}(x_0) \rightarrow f^{(k)}(x_0).$$

Presupunem că  $\exists$  polinoamele  $q_{ij}^{(k)}(x)$  funcție de  $x$  și care nu depind de  $v$  sau  $n$  astfel încât

$$\frac{d^k}{d_n^k} [x^v (1-x)^{n-v}] = Q(x) x^{v-k} (1-x)^{n-v-k}$$

și unde

$$Q(x) = \sum_{i,j} n^i (v-nx)^j q_{ij}^{(k)}(x),$$

unde  $i, j \geq 0$ , și  $2i + j \leq k$ .

Pentru  $k = 0$  afirmația de mai sus este evidentă.

Pentru a demonstra aceasta în cazul general se folosește inducția matematică pentru  $k \rightarrow k + 1$ :

$$\begin{aligned} & \frac{d^{k+1}}{d_x^{k+1}} [x^v (1-x)^{n-v}] = \\ & = x^{v-k-1} (1-x)^{n-v-k-1} \{ x(1-x) Q'(x) + Q(x)[(v-nx) + 2kx - k] \}, \end{aligned}$$

unde termenii în acolade au forma:

$$\sum_{i,j} n^i (v-nx)^j q_{ij}^{(k)}(x),$$

unde:  $2i, j \geq 0$  și  $2i + j \leq k + 1$ .

Pentru a demonstra această teoremă introducem

$$f(x) = P(x) + g(x),$$

unde

$$P(x) = f(x_0) + (x-x_0)f'(x_0) + \dots + \frac{(x-x_0)^k}{k!} f^{(k)}(x_0),$$

iar  $g(x)$  satisface condițiile:

$$\begin{aligned} g(x_0) = g'(x_0) = \dots = g^{(k)}(x_0) = 0 \text{ și} \\ g(x) = \varepsilon(x)(x-x_0)^k, \end{aligned}$$

astfel încât:  $\varepsilon(x) \rightarrow 0$ , când  $x \rightarrow x_0$ .

Deoarece:

$$\frac{d^k}{dx^k} B_n^f = \frac{d^k}{dx^k} B_n^p + \frac{d^k}{dx^k} B_n^g$$

este suficient să arătăm că membrul drept converge spre zero pentru  $x = x_0$ . Ca urmare obținem

$$\frac{d^k}{dx^k} B_n^g(x) = \sum_{2i+j \leq k} \bar{g}_{ij}(x) \sum_{v=0}^n \varepsilon\left(\frac{v}{n}\right) \left(\frac{v}{n} - x\right)^k n^i (v - nx)^j p_{nv}(x),$$

unde  $\bar{g}_{ij}(x)$  este independent de  $v$  și  $n$ .

Deoarece  $k + j \geq 2(i + j)$  pentru  $x = x_0$ , valoarea absolută a sumei nu poate fi mai mare decât expresia:

$$n^{i+j} \sum_{v=0}^n \left| \varepsilon\left(\frac{v}{n}\right) \right| \left(\frac{v}{n} - x_0\right)^{2(i+j)} p_v(x_0)$$

Fie  $|\varepsilon(x_1)| < \varepsilon$ , pentru  $|x_1 - x_0| < \delta$  și  $|\varepsilon(x_1)| \leq M$  pentru  $0 \leq x_1 \leq 1$

Descompunem suma în două părți corespunzând inegalităților:

$$\left| \frac{v}{n} - x_0 \right| < \delta, \quad \left| \frac{v}{n} - x_0 \right| \geq \delta.$$

Prima parte nu poate fi mai mare decât  $A \leq \varepsilon$ :

$$n^{i+j} \varepsilon \sum_{v=0}^n \left(\frac{v}{n} - x_0\right)^{2(i+j)} p_v(x_0) = \varepsilon n^{-(i+j)} T_{n,2(i+j)}(x_0) \leq A\varepsilon,$$

iar a doua parte:

$$n^{i+j} M C n^{-(i+j+1)} < \varepsilon,$$

pentru orice  $n$  suficient de mare, iar  $A$  și  $M$  constante.

Rezultă că derivata este suficient de mică pentru un astfel de  $n$  ceea ce demonstrează convergența derivatelor  $B_n^{(k)}$  ale **polinoamelor lui Bernstein** a funcției  $f(x)$ . Această observație își are importanța ei atunci când se încearcă înlocuirea polinoamelor lui Bernstein cu derivatele acestora, simplificând astfel utilizarea acestora.

## 4.9. Liniaritatea polinoamelor lui Bernstein

Polinoamele Bernstein sunt liniare în raport cu funcția  $f(x)$ :

Dacă:

$$f(x) = a_1 f_1(x) + a_2 f_2(x)$$

avem:

$$B_n^f(x) = a_1 B_n^{f_1}(x) + a_2 B_n^{f_2}(x).$$

Deoarece:

$$p_{nv}(x) = \binom{n}{v} x^v (1-x)^{n-v} \geq 0,$$

pentru  $x \in [0, 1]$  și  $\sum_{v=0}^n p_{nv} = 1$ , obținem:

$$m \leq B_n^f(x) \leq M \text{ pentru } m \leq f(x) \leq M \text{ în intervalul } [0, 1].$$

Proprietatea de liniaritate a **polinoamelor lui Bernstein** ne permite să substituim sau să descompunem funcția  $f(x)$  în diferite funcții  $f_i(x)$  cu condiția:

$$f(x) = \sum_{i=1}^n a_i f_i(x),$$

proprietate care își are o importanță practică atunci când se descrie un model matematic imaginat de funcția  $f(x)$ .

#### 4.10. Reprezentări grafice ale polinoamelor lui Bernstein

Așa cum s-a arătat, **polinoamele Bernstein**

$$B_n^{(n)}(x) = \binom{n}{k} x^k (1-x)^{n-k}, k \in [0, n]$$

reprezintă polinoame de aproximație care converg spre o funcție continuă  $f \in [0, 1]$ .

În același timp, aceste polinoame se pot exprima sub forma unui operator liniar:

$$B_n[f](x) = \sum_{k=0}^n f\left(\frac{k}{n}\right) B_k^{(n)}(x) = \sum_{k=0}^n \binom{n}{k} f\left(\frac{k}{n}\right) x^k (1-x)^{n-k}.$$

Ca exemplificare, se prezintă **polinoamele Bernstein** pentru câteva cazuri particulare.

Pornind de la formula de mai sus a lui  $B_n^{(n)}(x)$ , unde după formula lui Newton pentru  $\binom{n}{k}$  avem:

$$\binom{n}{k} = \frac{n!}{(n-k)!k!} x^k (1-x)^{n-k}, k \in [0, n]$$

**Pentru  $n = 4$  avem:**

$$\begin{aligned} k = 0 \quad B_{04} &= \frac{4!}{(4)!0!} x^0 (1-x)^4 = (1-x)^4 \\ k = 1 \quad B_{14} &= \frac{4!}{(3)!1!} x^1 (1-x)^3 = 4x(1-x)^3 \\ k = 2 \quad B_{24} &= \frac{4!}{(2)!2!} x^2 (1-x)^2 = 6x^2(1-x)^2 \\ k = 3 \quad B_{34} &= \frac{4!}{(1)!3!} x^3 (1-x)^1 = 4x^3(1-x) \\ k = 4 \quad B_{44} &= \frac{4!}{(0)!4!} x^4 (1-x)^0 = x^4, \end{aligned}$$

care se reprezintă grafic în (Fig. 4.3) pentru **polinoamele Bernstein** de gr.4.

**Pentru  $n = 5$  avem:**

$$\begin{aligned} k = 0 \quad B_{05} &= \frac{5!}{(5)!0!} x^0 (1-x)^5 = (1-x)^5 \\ k = 1 \quad B_{15} &= \frac{5!}{(4)!1!} x^1 (1-x)^4 = 5x(1-x)^4 \\ k = 2 \quad B_{25} &= \frac{5!}{(3)!2!} x^2 (1-x)^3 = 10x^2(1-x)^3 \\ k = 3 \quad B_{35} &= \frac{5!}{(2)!3!} x^3 (1-x)^2 = 20x^3(1-x)^2 \\ k = 4 \quad B_{45} &= \frac{5!}{(1)!4!} x^4 (1-x)^1 = 5x^4(1-x) \\ k = 5 \quad B_{55} &= \frac{5!}{(0)!5!} x^5 (1-x)^0 = x^5, \end{aligned}$$

și care se prezintă în (Fig. 4.4) pentru **polinoamele Bernstein** de gradul 5.



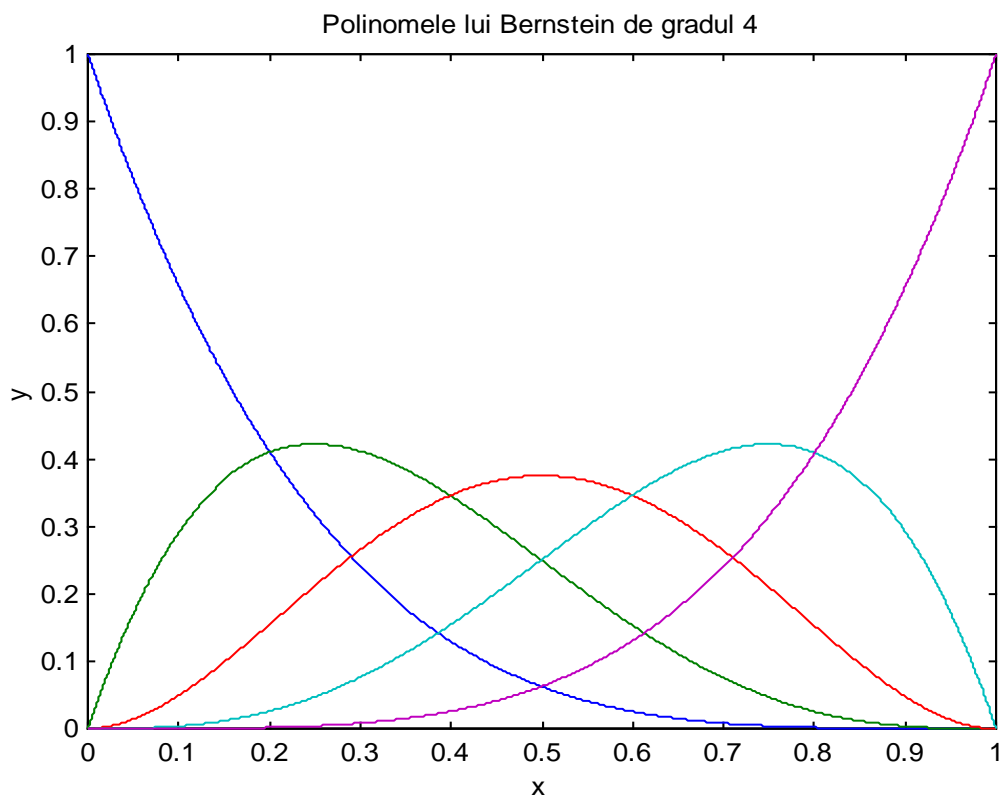


Fig. 4.3. Polinoamele lui Bernstein de gradul 4.

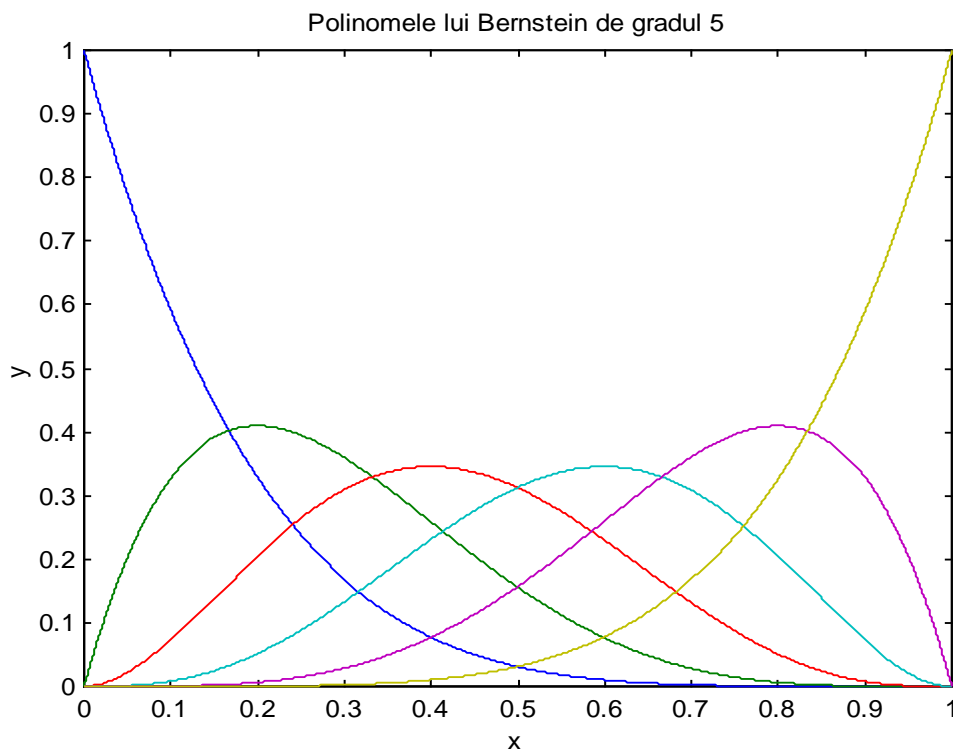


Fig. 4.4. Polinoamele lui Bernstein de gradul 5.

**Pentru  $n = 10$  avem:**

$$\begin{aligned}
 k = 0 \ B_{010} &= \frac{10!}{(10)!0!} x^0 (1-x)^{10} = x^0 (1-x)^{10} \\
 k = 1 \ B_{110} &= \frac{10!}{(9)!1!} x^1 (1-x)^9 = 10x (1-x)^9 \\
 k = 2 \ B_{210} &= \frac{10!}{(8)!2!} x^2 (1-x)^8 = 45x^2 (1-x)^8 \\
 k = 3 \ B_{310} &= \frac{10!}{(7)!3!} x^3 (1-x)^7 = 120x^3 (1-x)^7 \\
 k = 4 \ B_{410} &= \frac{10!}{(6)!4!} x^4 (1-x)^6 = 210x^4 (1-x)^6 \\
 k = 5 \ B_{510} &= \frac{10!}{(5)!5!} x^5 (1-x)^5 = 245x^5 (1-x)^5 \\
 k = 6 \ B_{610} &= \frac{10!}{(4)!6!} x^6 (1-x)^4 = 210x^6 (1-x)^4 \\
 k = 7 \ B_{710} &= \frac{10!}{(3)!7!} x^7 (1-x)^3 = 120x^7 (1-x)^3 \\
 k = 8 \ B_{810} &= \frac{10!}{(2)!8!} x^8 (1-x)^2 = 45x^8 (1-x)^2 \\
 k = 9 \ B_{910} &= \frac{10!}{(1)!9!} x^9 (1-x)^1 = 10x^9 (1-x)^1 \\
 k = 10 \ B_{1010} &= \frac{10!}{(0)!10!} x^{10} (1-x)^0 = x^{10} (1-x)^0.
 \end{aligned}$$

și care se prezintă grafic în (Fig. 4.5) **pentru polinoamele lui Bernstein de gradul 10.**

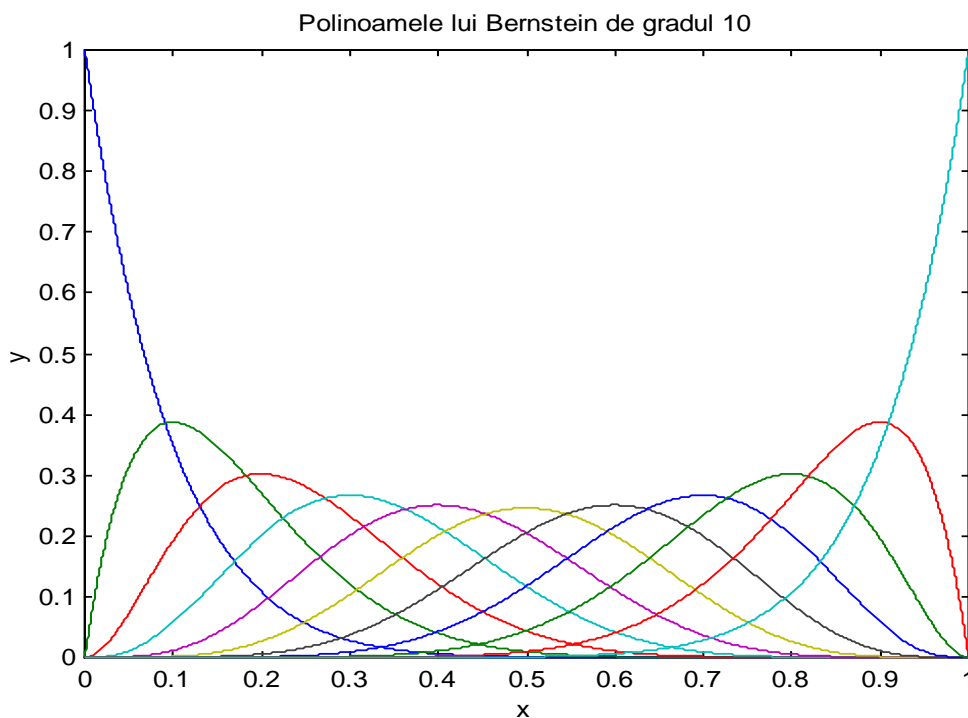


Fig. 4.5. Polinoamele lui Bernstein de gradul 10.

Se poate observa că prin creșterea gradului lui  $n$ , înfășurătoarea polinoamelor lui Bernstein aproximează mai exact o parabolă.

**Polinoamele lui Bernstein** sunt implementate în sistemele de programe Mathematica 7. Folosind funcția **Bernstein Basis**  $[n, i, t]$  a acestor programe se

pot studia proprietățile **polinoamelor lui Bernstein**, inclusiv reprezentarea lor grafică pentru diferite funcții.

Ca exemplu, se prezintă în (Fig. 4.6) **polinoamele lui Bernstein**  $B_{i,n}(x)$ , unde  $i = 1, 2 \dots 20$  pentru funcția

$$f_x(x) = \frac{1}{\sqrt{2\pi n x(1-x)}}$$

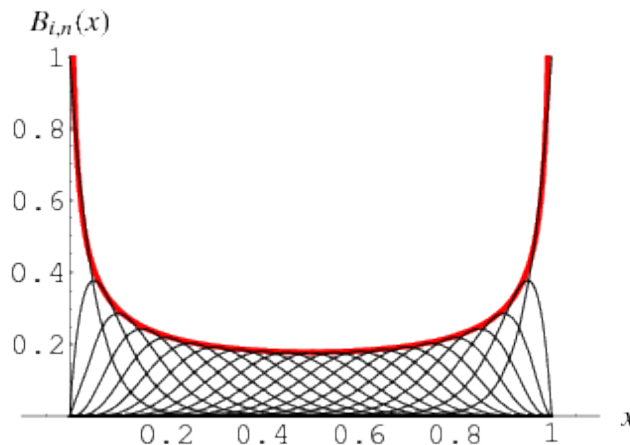


Fig. 4.6. Polinoamele lui Bernstein pentru  $n = 20$  aproximând funcția  $f_x(x) = \frac{1}{\sqrt{2\pi n x(1-x)}}$  folosind Mathematica 7

#### 4.11. Recurența polinoamelor lui Bernstein

O importantă proprietate a **polinoamelor lui Bernstein** și care are aplicații în proiectarea asistată de calculator o reprezintă proprietatea de recurență:

$$B_k^{(n+1)}(x) = (1-x)B_k^{(n)}(x) + xB_{k-1}^{(n)}(x)$$

și care ne permite să determinăm elementul succesiv  $(k+1)$  cunoscând elementele precedente  $(k-1)$  și respectiv  $(k)$ .

#### 4.12. Generalizarea polinoamelor lui Bernstein

Stancu (Stancu, 1968) generalizează **polinoamele Bernstein** introducând:

$$S_{\alpha,k}^{(n)}(x) = S_k^{(n)}(x) = \frac{\binom{n}{k} x(x+\alpha) \dots [x+(k-1)\alpha] (1-x)(1-x+\alpha) \dots [1-x+(n-k-1)\alpha]}{(1+\alpha)(1+2\alpha) \dots (1+[n-1]\alpha)}$$

unde  $n \geq 0$ , pentru  $\alpha = 0$ ,  $S_k^{(n)}(x) = B_k^{(n)}(x)$ , adică **polinoamele Bernstein**.

Sau ca operator:

$$S_n[f](x) = \sum_{k=0}^n f\left(\frac{k}{n}\right) S_k^{(n)}(x)$$

Se poate observa că polinoamele lui Stancu satisfac relația de recurență

$$S_k^{(n+1)}(t) = \left[ \frac{1-t+(n-k)\alpha}{1+n\alpha} \right] S_k^{(n)}(t) + \left[ \frac{t+(k-1)\alpha}{1+n\alpha} \right] S_{k-1}^{(n)}(t).$$

Ca urmare, obținem:

$$\lim_{n \rightarrow \infty} S_n [ t^k ] = \int_0^{(k)} S_k^n (t)$$

reprezentând o generalizare a polinoamelor lui Bernstein în cazul că  $n \rightarrow \infty$ . Această generalizare ne permite să înlocuim polinoamele lui Bernstein cu integrala lor pentru  $k = 1, 2, \dots, n$ .

### 4.13. Polinoamele lui Bernstein în cazul funcțiilor discontinue

În unele cazuri, comportamentul și evoluția **polinoamelor lui Bernstein** pot fi descrise chiar și de funcții  $f(x)$  discontinue pe  $[0, 1]$ , ceea ce ne conduce la următoarea teoremă:

**Teorema lui Chlodovsky** (Chlodovsky, 1925), **Herzog și Hill** (Herzog, 1946).

Fie  $f(x) \equiv [0, 1] \rightarrow P \in P$ ,  $L^+$  și  $L^-$  limitele superioare (stânga – dreapta) și  $l^+$  și  $l^-$  limitele inferioare (stânga – dreapta) respectiv într-un punct  $x$ . Atunci:

$$\frac{1}{2} (l^+ + l^-) \leq \liminf_{n \rightarrow \infty} B_n(x) \leq \limsup_{n \rightarrow \infty} B_n(x) \leq \frac{1}{2} (L^+ + L^-).$$

În particular, dacă un punct  $x$  este un punct de discontinuitate de gradul I avem:

$$\lim_{n \rightarrow \infty} B_n(x) = \frac{1}{2} \{ f(x+) + f(x-) \}$$

Pentru a demonstra aceasta, descompunem suma reprezentată de  $B_n(x)$  în trei părți definind inegalitățile:

$$x \leq \frac{v}{n} < x + \delta, x - \delta < \frac{\delta}{n} < x, \quad \left| x - \frac{v}{n} \right| \geq \delta.$$

Fie  $\varepsilon > 0$  arbitrar; pentru prima parte

$$l^- - \varepsilon < f\left(\frac{v}{n}\right) < L^+ + \varepsilon,$$

iar a doua parte

$$l^+ - \varepsilon < f\left(\frac{v}{n}\right) < L^- + \varepsilon$$

în condițiile că  $\delta > 0$  este suficient de mic și care converge spre  $\frac{1}{2}$  pentru  $n$  suficient de mare, ceea ce demonstrează teorema de mai sus. Dar condițiile impuse limitei sunt foarte restrictive, dificil de satisfăcut pentru unele funcții discontinue arbitrare. În plus  $B_n^f(x)$  depinde doar de  $f\left(\frac{v}{n}\right)$ , ceea ce face ca valorile  $f\left(\frac{v}{n}\right)$  ale lui  $f(x)$  în punctele raționale să nu poată descrie comportamentul funcției  $f(x)$  în punctele iraționale.

În același timp, fie **polinoamele Bernstein** ale funcției

$$F(x) = |c - x|^{-v}, \text{ unde } v > 0,$$

iar  $c$  irațional  $\in [0, 1]$ .

Vom observa că în general comportamentul lui  $B_n(x)$  depinde de gradul de transcendență a lui  $c$ .

Pentru aceasta introducem următoarea definiție:

Fie  $A(v)$  o funcție pozitivă, definită pentru  $v > 0$ , astfel încât  $A(v) \rightarrow 0$  pentru  $(v) \rightarrow \infty$ . Spunem că numărul real  $c$  admite o aproximație

$A(v)$  dacă  $\exists$  o infinitate de  $n$  poziții astfel încât inegalitatea:  $\left|c - \frac{v}{n}\right| \leq A(n)$  să fie îndeplinită de întregii  $v$ , cu observația că orice  $c$  admite aproximația  $A(v) = \frac{1}{2}v$ .

Numerele raționale și cele algebrice admit numai aproximații cu  $A(v)$  descrescând încet spre zero când  $v \rightarrow \infty$ , dar unele numere transcendentale descresc extrem de rapid.

Ca o consecință se poate afirma că:

- a) *majoritatea lui  $c$  real nu admite  $A(v) = v^{-k}, k > 2$  și;*  
 b) *pentru  $\exists A(v) \rightarrow 0$ , unde  $v \rightarrow \infty$ ,  $\exists$  un set de puteri ale lui  $c$  care admite aproximația  $A(v)$ .*

Aceste consecințe se reflectă în **teorema lui Lorentz** (Lorentz G. G., 1951):

Fie  $F(x) = |c - x|^{-v}$ . Pentru  $c \in [0, 1]$ ,  $B_n(x) \rightarrow F(x)$ , pentru  $\forall x \neq c$ ,  $\exists$  un set  $c$  de puteri pentru care  $B_n(x)$  sunt mărginite pentru  $\forall x \neq 0, 1, c$ .

Demonstrație. Pentru a demonstra această teoremă presupunem că  $c$  este un număr întreg care satisface consecința a) și fie  $k > 2$ . Pentru orice  $x \neq c$  se alege:

$$0 < \delta < |x - c| \text{ și fie } \delta = |x - c| - \delta > 0.$$

Dacă  $\bar{F}(t)$  este definit de:

$$\bar{F}(t) = \begin{cases} 0, & \text{pentru } |t - c| < \delta \\ F(t), & \text{pentru } |t - c| \geq \delta. \end{cases}$$

Atunci pentru **polinoamele Bernstein**  $\bar{B}_n(x)$  ale lui  $\bar{F}$  avem:

$$\bar{B}_n(x) \rightarrow \bar{F}(x) \rightarrow F(x)$$

și unde  $\bar{F}(x)$  și  $F(x)$  sunt continue în  $x$ .

Dar

$$|B_n(x) - \bar{B}_n(x)| \leq \sum_{\left|\frac{v}{n} - x\right| \geq \delta_n} F\left(\frac{v}{n}\right) p_{nv}(x) - \sum_{\left|\frac{v}{n} - x\right| \geq \delta_n} \bar{F}\left(\frac{v}{n}\right) p_{nv}(x)$$

Pentru că

$$\left|\frac{v}{n} - x\right| \geq \delta_n \text{ și } F\left(\frac{v}{n}\right) \leq n^{\gamma k},$$

și  $n$  suficienti de mari și pentru orice  $\gamma$  obținem

$$|B_n(x) - \bar{B}_n(x)| \leq C n^{-(\gamma k + 1)} n^{\gamma k} = C n^{-1} \rightarrow 0,$$

pentru  $C$  constant și care demonstrează prima parte a teoremei. Pentru a demonstra partea a II-a, presupunem că  $c$  este un număr irațional admitând aproximația  $A(x) = e^{-n^2}$ . Atunci  $c$  admite deasemenea aproximația  $n^{-1} q^{\frac{n}{\gamma}}$ , pentru  $\forall 0 < q < 1$ .

Fie o valoare  $v_0$  o valoare pentru care:  $\left|\frac{v_0}{n} - c\right| < \frac{1}{2}n$ . Pentru un  $x$  dat,  $B_n(x)$  se poate descompune în suma:  $u_n + v_n$ ,  $v_n$  fiind un termen al lui  $B_n(x)$ , corespunzând lui  $v = v_0$ . Ca mai sus se poate arată că:  $U_n - \bar{B}_n(x) \rightarrow 0$  și  $U_n \rightarrow F(x)$ .

Pe de altă parte, dacă  $q$  este cel mai mic număr dintre  $x$  și  $1 - x$ , atunci:

$$V_n = F\left(\frac{v_0}{n}\right) p_{nv_0}(x) \geq q^n \left|\frac{v_0}{n} - c\right|^{-\gamma}.$$

Pentru  $n \rightarrow \infty$  obținem:

$$\left|\frac{v_0}{n} - c\right| \leq n^{-1} q^{\frac{n}{\gamma}} \text{ și } V_n \geq n^{\gamma} \rightarrow \infty,$$

ceea ce completează demonstrația, dar care ne arată totodată că aplicarea **polinoamelor lui Bernstein** în cazul funcțiilor discontinue nu dă întotdeauna

rezultate acceptabile practice cu consecințe asupra modelării matematice în acest caz.

#### 4.14. Polinoamele de aproximare a lui Bernstein

Fie  $B_{n,j}(x) = C_n^j x^j (1-x)^{n-j}$ , unde  $x \in [0, 1]$ .

Pentru  $f(x) \equiv [0, 1] \rightarrow \infty$  și  $f(x) \xrightarrow{\text{continuu}}$  pe  $[0, 1]$ , polinoamele de aproximare ale lui Bernstein ale funcției  $f(x)$  sunt definite de relația de mai jos: (Schatzman, 2002).

$$B_n(f, x) = \sum_{j=0}^n \beta_{n,j}(x) f\left(\frac{j}{n}\right).$$

**Teoremă.** Fie  $f(x) \equiv [0, 1] \rightarrow \infty$  și  $f(x) \xrightarrow{\text{continuu}}$  pe  $[0, 1]$ ,  $\omega$  modulul de continuitate al funcției  $f(x)$  și  $B_n(f, x)$  polinoamele de aproximare a lui Bernstein de gradul  $n$ , atunci avem:

$$\max_{x \in [0, 1]} |f(x) - B_n(f, x)| \leq \frac{9}{4} \omega\left(n^{-\frac{1}{2}}\right)$$

Pentru a demonstra teorema de mai sus trebuie să definim modulul de continuitate  $\omega$ .

Fie o funcție  $f$  continuă pe un set de domenii  $K \subset P^d$ , atunci avem o funcție  $\omega \subset P^d$  astfel încât:

$$|f(x) - f(y)| \leq \omega(|x - y|), \text{ pentru } \forall x, y \in K.$$

Rezultă că  $\omega$  este:

$$\omega(h) = \sup_{|x-y| \leq h} |f(x) - f(y)| \text{ și } x, y \in K.$$

Revenind la teorema de mai sus, din teorema binomului obținem:

$$(a + b)^n = \sum_{j=0}^n C_n^j a^j b^{n-j},$$

ca urmare rezultă:

$$\begin{aligned} \sum_{j=0}^n \beta_{n,j}(x) &= 1 \\ \sum_{j=0}^n \frac{j}{n} \beta_{n,j}(x) &= x \\ \sum_{j=0}^n \frac{j^2}{n^2} \beta_{n,j}(x) &= \left(1 - \frac{1}{n}\right) x^2 + \frac{1}{n} x. \end{aligned}$$

Observații:

- Dacă în formula teoremei binomului de mai sus:

$$(a + b)^n = \sum_{j=0}^n C_n^j a^j b^{n-j},$$

alegem:  $a = x$  și  $b = 1 - x$ , atunci obținem formula:

$$\sum_{j=0}^n \beta_{n,j}(x) = 1.$$

- Dacă diferențiem formula binomului în funcție de  $a$ , obținem:

$$n(a + b)^{n-1} = \sum_{j=1}^n j C_n^j a^{j-1} b^{n-j}.$$

- Dacă înmulțim cu  $a$  și împărțim cu  $n$  avem:

$$a(a+b)^{n-1} = \sum_{j=1}^n \frac{j}{n} C_n^j a^j b^{n-j}.$$

Înlocuind  $a = x$  și  $b = 1 - x$ , obținem:  $\sum_{j=0}^n \frac{j}{n} \beta_{n,j}(x) = x$ .

➤ Dacă diferențiem încă odată binomul în raport cu  $a$ , obținem:

$$n(n-1)(a+b)^{n-2} = \sum_{j=0}^n \left( \frac{j^2}{n^2} - \frac{j}{n^2} \right) C_n^j a^j b^{n-j}.$$

Folosind aceeași substituție ca mai sus, obținem:

$$\sum_{j=0}^n \left( \frac{j^2}{n^2} - \frac{j}{n^2} \right) \beta_{n,j}(x) = \left( 1 - \frac{1}{n} \right) x^2.$$

Din această formulă și folosind:  $\sum_{j=0}^n \frac{j}{n} \beta_{n,j}(x) = x$  deducem :

$$\sum_{j=0}^n \left( \frac{j^2}{n^2} \right) \beta_{n,j}(x) = \sum_{j=0}^n \left( \frac{j^2}{n^2} - \frac{j}{n^2} + \frac{j}{n^2} \right) \beta_{n,j}(x) = \left( 1 - \frac{1}{n} \right) x^2 + \frac{1}{n} x.$$

și care este tocmai:

$$\sum_{j=0}^n \left( \frac{j^2}{n^2} \right) \beta_{n,j}(x) = \left( 1 - \frac{1}{n} \right) x^2 + \frac{1}{n} x.$$

Fie:  $y_0, y_1, \dots, y_{p+1}$  puncte astfel încât:

$$y_0 = x, \dots, y_k = x + \frac{k}{p+1} \left( \frac{j}{n} - x \right), \dots, y_{p+1} = \frac{j}{n}$$

Dacă distanța între punctele  $y_k$  este cel puțin egală cu  $\delta$ , obținem:

$$\begin{aligned} & \left| f(x) - f\left(\frac{j}{n}\right) \right| \\ & \leq |f(x) - f(y_1)| + \dots + |f(y_k) - f(y_{k+1})| + \dots + \left| f(y_p) - f\left(\frac{j}{n}\right) \right| \\ & \leq (p+1) \omega(\delta) \leq \omega(\delta) \left[ 1 + \frac{1}{\delta^2} \left( n - \frac{j}{n} \right)^2 \right], \end{aligned}$$

și deci:

$$\sum_{j: \left| x - \frac{j}{n} \right| > \delta} \beta_{n,j} \left| f(x) - f\left(\frac{j}{n}\right) \right| \leq \omega(\delta) \left[ \sum_{j=0}^n \beta_{n,j}(x) + \frac{1}{\delta^2} \sum_{j=0}^n \left( x - \frac{\delta}{n} \right)^2 \beta_{n,j}(x) \right]$$

Dar combinând cu teorema binomului și ținând cont că:

$$\sum_{j=0}^n \beta_{n,j}(x) = 1$$

și

$$\sum_{j=0}^n \frac{1}{n} j_{n,j}(x) = x$$

iar

$$\sum_{j=0}^n \frac{j^2}{n^2} \beta_{n,j}(x) = \left( 1 - \frac{1}{n} \right) x^2 + \frac{1}{n} x,$$

obținem

$$\sum_{j=0}^n \left( x - \frac{\delta}{n} \right)^2 \beta_{n,j}(x) = x^2 - 2x^2 + \left( 1 - \frac{1}{n} \right) x^2 + \frac{1}{n} x = \frac{x(1-x)}{n}$$

Maximul funcției  $x \mapsto x(1-x)$  pe intervalul  $[0,1]$  are loc pentru  $x = \frac{1}{2}$  și este egal cu  $\frac{1}{4}$ .

Calculul erorii dintre  $B_n(f, \bullet)$  și  $f(x)$  ne permite să cuantificăm în ce măsură **polinomul de aproximare** a lui **Bernstein**  $B_n(f, \bullet)$  aproximează funcția  $f(x)$ , ceea ce rezultă din formula:

$$e_n(f, x) = f(x) - \sum_{j=0}^n \beta_{n,j}(x) f\left(\frac{j}{n}\right) \leq \sum_{j=0}^n \beta_{n,j}(x) \left| f(x) - f\left(\frac{j}{n}\right) \right|.$$

Fie  $\delta > 0$  astfel încât  $\left| x - \left(\frac{j}{n}\right) \right| \leq \delta$ , atunci  $\left| f(x) - f\left(\frac{j}{n}\right) \right| \leq \omega(\delta)$ , ca urmare:

$$\sum_{j: \left| x - \left(\frac{j}{n}\right) \right| \leq \delta} \beta_{n,j}(x) \left| f(x) - f\left(\frac{j}{n}\right) \right| \leq \omega(\delta).$$

Dar dacă dimpotrivă,

$\left| x - \left(\frac{j}{n}\right) \right| > \delta$ , fie  $p$  partea întreagă a lui:  $\frac{\left| x - \left(\frac{j}{n}\right) \right|}{\delta}$ , atunci:

$$p\delta \leq \left| x - \left(\frac{j}{n}\right) \right| < (p+1)\delta.$$

Obținem:

$$\sum_{j: \left| x - \left(\frac{j}{n}\right) \right| \leq \delta} \beta_{n,j}(x) \left| f(x) - f\left(\frac{j}{n}\right) \right| \leq \omega(\delta) \left( 1 + \frac{1}{4n\delta^2} \right).$$

Combinând această expresie cu valoarea erorii  $e_n(f, x)$  rezultă

$$\left| e_n(f, x) \right| \leq \omega(\delta) \left( 2 + \frac{1}{4n\delta^2} \right).$$

și dacă:  $\delta = \frac{1}{\sqrt{n}}$  se obține formula de la care am plecat, adică

$$\max_{x \in [0,1]} \left| f(x) - B_n(f, x) \right| \leq \frac{9}{4} \omega\left(n^{-\frac{1}{2}}\right).$$

În general, **polinomul de aproximare a lui Bernstein** este stabil, adică oscilează relativ puțin, apropiindu-se rapid de curba modelată, dar nu întotdeauna aproximează exact această curbă.

## 4.15. Teorema lui Weierstrass

În introducerea acestui capitol s-a arătat că **Bernstein** a descoperit polinoamele ce îi poartă numele încercând să demonstreze teorema lui **Weierstrass**:

Pentru orice funcție  $f(x) \equiv [a, b] \rightarrow \infty \in \mathbb{P}$  și  $f(x) \xrightarrow{\text{continuă}} \text{pe } [a, b]$  și pentru orice  $e > 0$ ,  $\exists$  un polinom  $P(x)$ , astfel încât pentru  $\forall x \in [a, b]$  să avem

$$\left| f(x) - P(x) \right| < e$$

sau astfel spus, polinomul  $P(x)$  aproximează  $f(x)$  în mod uniform cu o eroare mai mică decât  $e$ , ca în (Fig. 4.7).



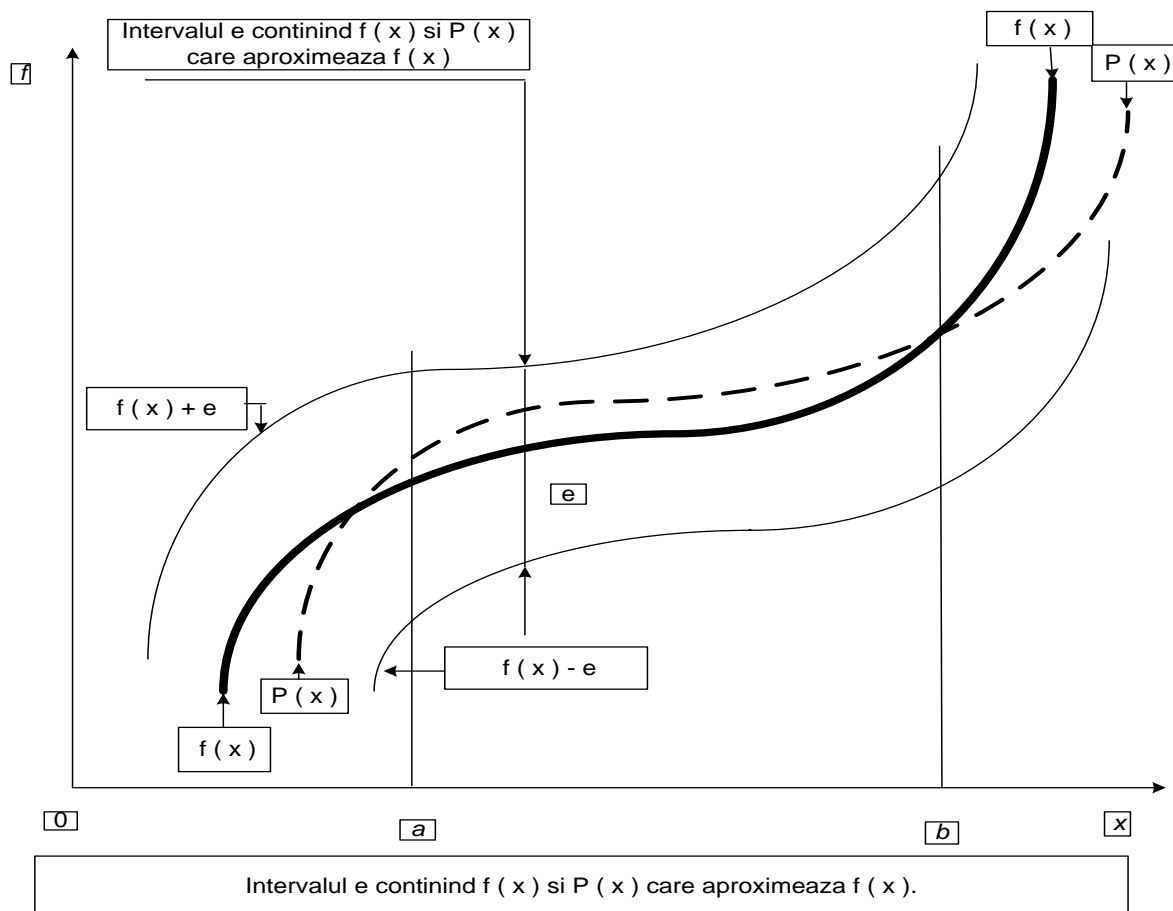


Fig. 4.7. Intervalul  $e$  conținând  $f(x)$  și  $P(x)$  care aproximează  $f(x)$ .

Printr-o substituție liniară intervalul închis  $[a, b]$  poate fi transformat în intervalul închis  $[0, 1]$ , ceea ce face ca **teorema lui Weierstrass** să fie un corolar al **polinoamelor lui Bernstein** și care s-a demonstrat în introducerea acestui capitol.

#### 4.16. Alte expresii matematice care aproximează funcția generatoare $f(x)$

În încheierea acestui capitol se poate arăta că există și alte expresii matematice care încearcă să aproximeze funcția generatoare  $f(x)$  și care să reprodacă unele din proprietățile sale.

- Se poate exemplifica prin **integrala lui Dirichet**:

$$s_n(x) = \frac{1}{\pi} \int_{-\pi}^{+\pi} f(t) \frac{\sin\left(n + \frac{1}{2}\right)(t-x)}{2 \sin \frac{1}{2}(t-x)} dt$$

și care reprezintă sumele parțiale  $s_n(x)$  ale dezvoltării în **serie Fourier** ale funcției  $f(x)$  integrabilă pe  $\{-\pi, +\pi\}$ .

- Un alt exemplu este **integrala lui Fejér** reprezentând suma aritmetică:

$$\sigma_n = \frac{(s_0 + s_1 + \dots + s_n)}{n+1}$$

ale sumelor  $s_n(x)$  definite mai sus.

În general avem:

$$\Phi_n(x) = \int_a^b f(t) K_n(x, t) dt,$$

unde  $K_n(x, t)$  este **funcția Kernel** definită pe:  $a \leq x \leq b$  și  $a \leq t \leq b$  cu proprietatea importantă pentru care funcțiile  $f(x)$  de diferite clase și în anumite condiții și anume funcția  $\Phi_n(x)$  converge spre  $f(x)$ , când  $n \rightarrow \infty$ .

➤ **Polinoamele lui Bernstein** sunt de fapt sume finite corespunzând integralei de mai sus. Atât integrala de mai sus, cât și **polinoamele lui Bernstein** devin astfel de cazuri particulare ale **integralei lui Stieltjes**.

De exemplu, putem defini **polinoamele Bernstein** sub forma **integralelor lui Stieltjes** în funcție de variabila  $t$ :

$$B_n(x) = \int_0^1 f(t) dt K_n(x, t),$$

Considerând **funcția lui Kernel**:

$$K_n(x, t) = \sum_{v \leq n, t} \binom{n}{k} x^v (1-x)^{n-v}, 0 < t \leq 1, K_n(x, 0) = 0$$

constantă pe orice interval  $\frac{v}{n} \leq t < \frac{(v+1)}{n}$ , unde  $v = 0, 1, 2, \dots, n-1$ , avînd un maxim pentru:

$$\binom{n}{k} x^v (1-x)^{n-v}$$

în punctul de interpolare  $t = \frac{v}{n}$ .

Această observație este deosebit de importantă deoarece în acest fel, teoria **polinoamelor lui Bernstein** devine un capitol al teoriei integralelor singulare de tipul celor de mai sus.

Totodată, **polinoamele Bernstein** sunt strîns legate de teoria probabilităților prin teoria sumelor seriilor divergente.

➤ De exemplu, expresia:

$$p_v = p_{nv}(x) = \binom{n}{k} x^v (1-x)^{n-v},$$

care apare în **polinoamele lui Bernstein** este bine cunoscută în teoria probabilităților ca binomul lui Newton.

Dacă  $0 \leq x \leq 1$  este probabilitatea unui eveniment  $E$ , atunci  $p_{nv}(x)$  este probabilitatea prin care  $E$  are loc de  $v$  ori în  $n$  încercări. În acest fel, numeroase proprietăți ale lui  $p_{nv}(x)$  și ale sumelor sale pot fi considerate ca aplicații ale teoriei probabilităților, reprezentând un domeniu de cercetare interesant ce poate fi extins prin cercetări ulterioare.

➤ Un alt exemplu îl constituie **teorema lui Bernoulli** pentru numere mari.

Fie  $\epsilon > 0$  și  $\delta > 0$  și pentru  $n$  încercări,  $u$  este numărul pentru care au loc  $E$  evenimente.

Pentru  $n$  suficient de mare, probabilitatea  $P_\delta$  a lui  $\frac{v}{n}$  diferă de  $x$  prin mai puțin decât  $(1 - \epsilon)$ ,

$$P_\delta = \sum_{\left| \frac{v}{n} - x \right| < \delta} \binom{n}{v} x^v (1-x)^{n-v} > 1 - \epsilon$$

pentru  $\forall x$  suficient de mare. Se observă că ultima sumă are loc pentru toate valorile pentru care  $v = 0, 1, 2, \dots, n$  și care satisface condiția:

$$\left| \frac{v}{n} - x \right| < \delta$$

## 4.17. Concluzii

**Polinoamele Bernstein** au avut un rol determinant în dezvoltarea modelării matematice, în general, și a teoriei aproximării, în particular.

Pentru prima dată s-a demonstrat că, dându-se o curbă oarecare, în loc să se caute o formula "perfectă" care să reprezinte aceea curbă, există posibilitatea găsirii unei funcții  $f(x)$  care să "aproximeze" curba dată. Problema care s-a pus în continuare a fost să se găsească funcții  $f(x)$  care să "aproximeze" cât "mai bine" curba dată, satisfăcând totodată condițiile date.

Rezolvarea acestei probleme, combinată cu apariția calculatoarelor electronice, a dus la o considerabilă dezvoltare a modelării matematice. Cu toate acestea, deși Bernstein a descoperit polinoamele ce îi poartă numele în 1912 și începând cu acea dată au avut loc numeroase descoperiri matematice în acest domeniu, descoperiri considerate "excepționale" ca valoare teoretică și aplicații practice se consideră că acest domeniu de cercetare este departe de a fi încheiat.

Ca direcții viitoare de cercetare, autorul își propune să continue extinderea polinoamelor lui Bernstein în spațiul  $n$  dimensional, abordând funcții reale cu mai mult de 3 variabile. Un domeniu promițător pentru acest domeniu îl constituie extinderea studiului în domeniul complex (Gal, 2009), atât pentru funcții de două și trei variabile, cât și în spațiul  $n$  dimensional. De asemenea, extinderea **polinoamelor lui Bernstein** în domeniul teoriei probabilității reprezintă, de asemenea, un domeniu care merită a fi investigat în continuare.

Or, aceste cercetări, nu numai că vor extinde cunoștințele din domeniu, dar vor face posibilă o largă extindere a acestora în domeniul modelării matematice și nu numai (Stoica-Laze, 2009).

# 5. DEZVOLTAREA MODELELOR MATEMATICE DE DESCRIERE A ENTITĂȚILOR GEOMETRICE

## 5.1. Introducere

Capitolul precedent, consacrat **polinoamelor lui Bernstein**, proprietăților și aplicațiilor acestora, a prezentat schimbările majore introduse de aceste polinoame în abordarea problemelor legate de aproximarea funcțiilor, cu consecințe directe asupra dezvoltării modelelor matematice de descriere a entităților geo-metrice și care vor fi studiate în continuare.

În acest capitol se va aprofunda abordarea **polinoamelor lui Bernstein** făcându-se trecerea spre studiul **modelelor lui Bezier**, **algoritmului lui Casteljaou** și al **algoritmului lui Boor** ca un caz particular al **algoritmului lui Casteljaou**.

Relevându-se importanța polinoamelor definite prin părți în modelarea matematică s-au prezentat aceste polinoame ca o tehnică avansată în modelarea geometrică și în special utilizarea polinoamelor (curbelor) spline folosite în modelarea geometrică.

În mod detaliat se vor prezenta suprafețele și volumele folosite în modelarea geometrică, în special suprafețele bicubice și bicuadrice. Se va insista asupra unor tehnici de interpolare a suprafețelor folosind suprafețe triunghiulare sau dreptunghiulare și în special asupra zonelor de frontieră și de conectare între suprafețele studiate.

În final se prezintă utilizarea suprafețelor **Gordon – Coons** bicubice și triunghiulare în modelarea geometrică.

În abordarea acestor probleme autorul a încercat o metodă devenită clasică în cercetarea matematică fundamentală și aplicativă. În primul rând s-a făcut prezentarea problemelor propuse a se cerceta așa cum prezintă în literatura de specialitate la data elaborării lucrării. În al doilea rând pe baza acestor cunoștințe disponibile s-a încercat a adăuga o modestă contribuție, atât printr-o nouă formă de abordare a problemelor cercetate, cât și prin noi idei și concepte care pot sta la baza dezvoltării ulterioare într-un domeniu care încă se prezintă ca un domeniu potențial de cercetare pentru viitor.

## 5.2. Polinoamele lui Bernstein și modelele lui Bezier

În capitolul destinat **polinoamelor lui Bernstein** s-a prezentat detaliat acest subiect. Pentru a continua se vor trece în revistă principalele proprietăți ale **polinoamelor lui Bernstein**  $B_i^n(x)$  și care vor fi folosite la descrierea altor modele utilizate în modelarea matematică, în general, și cea geometrică, în special (Liming, 1979).

Din capitolul precedent:

Fie funcția  $f(x)$  definită pe  $[0,1]$  și cu valori în  $P \in \mathbb{P}$ :

$$f(x) \equiv [0,1] \rightarrow P,$$

și fie **polinoamele lui Bernstein**  $B_n(x)$  de ordinul  $n$  al funcției  $f(x)$  și fie  $x \leq n$ :

$$B_n(x) = B_n^f = \sum_{v=0}^n f\left(\frac{v}{n}\right) \binom{n}{v} x^v (1-x)^{n-v}.$$

**Polinoamele lui Bernstein** au următoarele proprietăți:

1.  $x = 0$  este rădăcina  $i$  a lui  $B_i^n(x)$ ,
2.  $x = 1$  este rădăcina  $(n-1)$  a lui  $B_i^n(x)$ ,
3.  $B_i^n(x) = B_{n-i}^n(1-x)$ ; ceea ce reprezintă proprietatea de simetrie, pentru  $i = 0, 1, 2, \dots, n$ ,
4.  $(1-x)B_0^n = B_0^{n+1}$  și  $x B_n^n = B_{n+1}^{n+1}$ ,
5.  $B_i^n \geq 0$  pentru  $x \in [0,1]$ , **polinoamele lui Bernstein** sunt strict pozitive pe intervalul  $[0,1]$ .
6. Valoarea maximă a lui  $B_i^n$  în  $[0,1]$  este  $x = \frac{1}{n}$ ,
7.  $B_i^n(x) = x B_{i-1}^{n-1}(x) + (1-x) B_i^{n-1}(x)$ , pentru  $i = 1, 2, \dots, n$  și  $x \in P$ , numită și relația de recurență,
8. **Polinoamele lui Bernstein** formează o bază:

$$B := \{B_0^n, B_1^n, \dots, B_n^n\} \text{ a lui } P_n.$$

Demonstrație. Primele 5 proprietăți sunt evidente din definiția **polinoamelor lui Bernstein**.

Proprietatea 6. rezultă prin diferențiere:

$$\frac{d}{dx} B_i^n(x) = \binom{n}{i} (1-x)^{n-i-1} x^{i-1} (i-nx),$$

pentru:  $i = 1, 2, \dots, n$  și  $x \in P$ .

Proprietatea 7. rezultă din relația de recurență a coeficienților binomiali:

$$\binom{n}{k} = \binom{n-1}{i-1} + \binom{n-1}{i},$$

aplicată definiției **polinoamelor lui Bernstein**.

În legătură cu ultima proprietate se poate observa că s-a introdus polinomul  $P$ .

Definiție: Un polinom (sau o curbă) de gradul  $n$  în  $R^d$  este o funcție  $P$  de forma:  $P := R \rightarrow R^d$ ,

$$P(x) = \sum_{i=0}^n a_i x^i,$$

unde:  $a_0, a_1, \dots, a_n \in R^d$ ,  $a_n \neq 0$  și unde spațiul polinoamelor de grad mai mic sau egal cu  $n$  în  $R^d$  se notează cu  $R_n^d$ . Dacă se consideră  $d = 3$ , se obțin curbele în spațiu, iar pentru  $d = 2$  se obțin curbele în plan.

Dacă  $\{P_0, P_1, \dots, P_n\}$  este o bază a lui  $P_n$  și  $\{e_1, e_2, \dots, e_d\}$  este o bază a lui  $R^d$  atunci polinoamele:

$$\{e_i, P_j\} \mid i = 1, 2, \dots, d \text{ și } j = 0, 1, 2, \dots, n, \text{ formează o bază a lui } R_n^d.$$

Ca urmare graful  $\Gamma_p$  al polinomului  $P \in R_n^d$ :

$\Gamma_p := R \rightarrow R^{d+1}, x \mapsto [x, P(x)]$  poate fi considerat de asemenea un polinom de expresie:

$$\Gamma_p \in P^{d+1}.$$

Dacă  $P$  se reprezintă de exemplu ca un polinom  $P(x)$

$$P(x) = a_0 + a_1x + \dots + a_nx^n, \text{ atunci:}$$

$$\Gamma_p(x) = \begin{pmatrix} 0 \\ a_0 \end{pmatrix} + \begin{pmatrix} 1 \\ a_0 \end{pmatrix}x + \begin{pmatrix} 0 \\ a_2 \end{pmatrix}x^2 + \dots + \begin{pmatrix} 0 \\ a_n \end{pmatrix}x^n.$$

Pentru proprietatea 8. se va arăta că  $n+1$  polinoame  $B_i^n$  sunt liniar independente.

Dacă

$0 = \sum_{i=0}^n b_i B_i^n(x)$  conform 1. și 2., atunci:

$$0 = \sum_{i=0}^n b_i B_i^n(1) = b_n B_n^n(1) = b_n,$$

ceea ce impune:  $b_0 = b_1 = \dots = b_n = 0$ .

Aceasta ne permite să definim orice polinom  $P \in P_n^d$  ca o combinație liniară a **polinoamelor lui Bernstein**

$$P(x) = \sum_{i=0}^n b_i B_i^n(x; a, b), \quad b_i \in R^d$$

unde coeficienți  $b_i, i = 0, 1, \dots, n$  se numesc puncte de control sau **punctele lui Bezier** ale lui  $P(x)$ , iar  $P(x)$  - **polinoamele lui Bezier** (Free Software Foundation, 1998).

Deoarece:

$$x = \sum_{i=0}^n \frac{i}{n} B_i^n(x) \Rightarrow x \sum_{i=0}^n \left[ a + \frac{i}{n} (b - a) \right] B_i^n(x; a, b),$$

**punctele lui Bezier** aparținând polinomului  $P(x) = x$  au ca maxim:

$$b_i = a + \frac{i}{n} (b - a),$$

corespunzătoare **polinoamelor lui Bernstein**.

În particular din sinteza **polinoamelor lui Bernstein**:

$$B_i^n(x) = B_{n-i}^n(1-x),$$

se obține, în cazul **coeficienților lui Bezier**:

$$\sum_{i=0}^n b_i B_i^n(t; a, b) = \sum_{i=0}^n b_{n-i} B_i^n(t; b, a),$$

adică  $b, a$  **coeficienții lui Bezier** în ordine inversă.

Atunci reprezentarea **modelului lui Bezier** este dată de graful  $\Gamma_p$  al polinoamelor:

$$P(x) = \sum_{i=0}^n b_i B_i^n(x; a, b), \text{ unde } b_i \in R_n^d$$

și unde:

$$\Gamma_p(x) = \begin{pmatrix} x \\ P(x) \end{pmatrix} = \sum_{i=0}^n \begin{pmatrix} a + \frac{i}{n} (b - a) \\ b_i \end{pmatrix} B_i^n(x; a, b).$$

Din analiza proprietăților **polinoamelor lui Bernstein** și a **modelului lui Bezier** rezultă clar că punctele inițiale și finale ale **polinoamelor lui Bernstein** corespund cu punctele inițiale și finale ale **modelului lui Bezier**. În plus, tangentele în punctele marginale ale **polinoamelor lui Bernstein** corespund cu punctele marginale ale **modelului lui Bezier** (Peter Alfred, 1995).

Pentru a demonstra această proprietate, calculăm derivatele **polinoamelor lui Bernstein** pe intervalul  $[0, 1]$ .

**Teoremă.** Derivatele **polinoamelor lui Bernstein**  $B_i^n$  pe intervalul  $[0, 1]$  satisfac relația:

$$\frac{d}{dx} B_i^n(x) = \begin{cases} -n B_0^{n-1}, & \text{pentru } i = 0 \\ n [B_{i-1}^{n-1}(x) - B_i^n(x)], & \text{pentru } i = 1, 2, \dots, n-1 \\ n B_{n-1}^{n-1}(x), & \text{pentru } i = n \end{cases}$$

**Demonstrație.** Aceasta rezultă imediat din derivarea formulei de definiție a **modelului lui Bezier**.

Generalizând, fie

$$P(x) = \sum_{i=0}^n b_i B_i^n(x),$$

atunci derivata de ordinul  $k$  a lui  $P$  este

$$P^{(k)}(x) = \frac{n!}{(n-k)!} \sum_{i=0}^{n-k} \Delta^k b_i B_i^{n-k}(x),$$

unde  $\Delta$  este operatorul diferență

$$\Delta^1 b_i := b_{i+1} - b_i$$

și

$$\Delta^k b_i := \Delta^{k-1} b_{i+1} - \Delta^{k-1} b_i$$

pentru  $k > 1$ .

**Corolar.** Pentru punctele marginale  $x = 0, x = 1$  se obțin valorile:

$$P^{(k)}(0) = \frac{n!}{(n-k)!} \Delta^k b_0 \text{ și } P^{(k)}(1) = \frac{n!}{(n-k)!} \Delta^k b_{n-k},$$

și încă

$$\text{a) } P(0) = b_0 \text{ și } P(1) = b_n,$$

$$\text{b) } P'(0) = n(b_1 - b_0) \text{ și } P' = n(b_n - b_{n-1}),$$

$$\text{c) } P''(0) = n(n-1)(b_2 - 2b_1 + b_0) \text{ și } P'' = n(n-1)(b_n - 2b_{n-1} + b_{n-2}),$$

deci

$$B_i^{n-k}(0) = \delta_{0,1} \text{ și } B_i^{n-k}(1) = \delta_{n-k,i}$$

și care confirmă geometric afirmația din corolar.

Este important de observat că în punctele marginale **curba lui Bezier** este determinată până la derivata de ordinul  $k$  de punctele marginale ale lui  $x$ , proprietate crucială atunci când ne vom referi la asamblarea caroiajelor ce modulează supra-fețele considerate.

Pentru a observa în continuare proprietățile **modelului lui Bezier** vom introduce un set de definiții (Yamaguchi, 1988):

Fie  $A$  un set astfel încât  $A \subset \mathbb{R}$ ; acesta este numit convex dacă pentru orice două puncte  $x, y \in A$  în linie dreaptă care și ea este inclusă în  $A$  avem:

$$[x, y] := \{x + (1-x)y \mid x \in [0, 1] \subset A, \text{ pentru } \forall x, y \in A.\}$$

O combinație liniară de forma:

$$x = \sum_{i=1}^k \lambda_i x_i \text{ unde } x_1 = \mathbb{R}^d, \lambda_i \geq 0 \text{ și } \sum_{i=1}^k \lambda_i = 1$$

se numește combinația liniară convexă a lui  $x_1, x_2, \dots, x_k$  și care ne arată că curba ce reprezintă polinomul este inclusă în punctele ce definesc **curba lui Bezier**.

**Teoremă.** Imaginea  $P([a, b])$  a polinomului  $P \in \mathbb{R}_n^d$  în **reprezentarea lui Bernstein** este dată de relația:

$$P(x) = \sum_{i=0}^n b_i B_i^n(x; a, b),$$

unde  $x \in [a, b]$ . În particular, graficul polinoamelor pentru  $x \in [a, b]$  este conținut în setul convex al punctelor  $b_i$ .

**Demonstrație.** În  $[a, b]$  **polinoamele lui Bernstein** definesc partiții strict pozitive:

$$B_i^n(x; a, b) \geq 0 \text{ pentru } x \in [a, b]: \text{ cu proprietatea:}$$

$$\sum_{i=0}^n B_i^n(t) = 1, \text{ deci: } P(x) = \sum_{i=0}^n b_i B_i^n(t; a, b)$$

care este combinația liniară conexă a **punctelor lui Bezier**  $b_0, b_1, \dots, b_n$  și care ne arată ca punctele polinomului  $P(x)$  sunt cuprinse în setul conex al punctelor  $b_i$  conținute în **modelul lui Bezier** (Farin, 1992).

În capitolul destinat **polinoamelor lui Bernstein** s-a arătat în mod repetat că aceasta avut un rol determinant în dezvoltarea unei noi ramuri a matematicii: analiza numerică. **Bernstein** a arătat că orice funcție  $f(x)$  poate fi aproximată cu ajutorul unui polinom și care, în limitele unor valori acceptabile ale erorilor de aproximare, ne permite să **"aproximăm"** sau să **"modelăm"** o funcție inițială dată.

**Modelul propus de Bezier a constituit următorul pas decisiv în dezvoltarea acestei noi ramuri a matematicii numerice și anume a arătat practic cum poate fi construit și generat un astfel de polinom. Pe lângă interpretarea geometrică a punctelor Bezier prezentată anterior, importanța practică a modelului propus de Bezier constă în aceea că a condus la descoperirea unei algoritm care să permită, atât construirea modelului ce îi poartă numele, cit și obținerea de informații asupra derivatelor polinomului de interpolare sau de aproximare.**

Mai mult, același algoritm poate fi folosit la împărțirea **curbei lui Bezier**, asociată **polinomului lui Bezier** în două segmente. Repetând algoritmul de împărțire a curbei în segmente se obține o secvență de **polinoame Bezier** și care - lucrul **cel mai important** - converg extrem de rapid (chiar exponențial în unele condiții) spre o curbă finală, proprietate larg utilizată la reprezentarea grafică unei curbe pe calculator<sup>1</sup> cu ajutorul unui plotter sau pe ecranul al unui monitor<sup>2</sup>.

Prin definiția de mai jos se introduce noțiunea de polinoame parțiale  $P$ .

Definiție: Fie **polinomul lui Bezier** reprezentat pe  $[0, 1]$  și  $i \in [0, 1]$

$$P(x) = \sum_{i=0}^n b_i B_i^n(x).$$

Definim **polinomul parțial**  $b_i^k \in R$  a lui  $P$  pentru  $i = 0, 1, 2, \dots, n - k$ , prin:

$$b_i^k(x) := \sum_{j=0}^k b_{i+j} B_i^k(x) = \sum_{j=1}^{i+k} b_j B_{j-i}^k(x),$$

pentru **polinomul lui Bezier:**

$$P(x) = \sum_{i=0}^n b_i B_i^n(x; a, b),$$

Pentru  $[a, b]$  obținem polinoamele parțiale  $b_i^k$  în mod similar definite prin:

$$b_i^k(x; a, b) := b_i^k[\lambda(x)] = \sum_{j=0}^k b_{i+j} B_j^n(x; a, b).$$

În definiția de mai sus polinomul parțial  $b_i^k \in P_k^d$  a lui  $P$  pentru  $i = 0, 1, 2, \dots, n - k$ , este definit de **punctele lui Bezier**  $b_i, b_{i+1}, \dots, b_{i+k}$ . În continuare pentru  $b_i^k(x; a, b)$  se va folosi notația:  $b_i^k(a, b)$  pentru a evita confuziile. În plus, se observă că:  $b_0^1(t) = P(t)$  este punctul de început al polinomului;  $b_i^k(b) = b_i$  sunt **punctele Bezier** pentru  $\forall x \in R$  și  $b_i^k(a) = b_i$ ; iar  $b_i^k(b) = b_{i+k}$  sunt punctele marginale.

<sup>1</sup> Computer Graphics (CG).

<sup>2</sup> În practică procedeul este similar cu operația unui croitor care taie materialul cu o foarfecă cât mai aproape de marcajul trasat.



### 5.3. Polinoamele lui Bernstein și algoritmul lui de Casteljaou

În capitolul precedent s-au prezentat principalele proprietăți ale **polinoamelor lui Bernstein**. Relația de recurență 7. poartă numele de **algoritmul lui de Casteljaou** și care a avut un rol important în modelarea geometrică, așa cum se va prezenta în continuare.

Fie

$$b_i^k = (1 - \lambda) + b_{i+1}^{k-1} \lambda,$$

unde:  $\lambda = \lambda(x) = \frac{x-a}{b-a}$ ;  $k = 0, 1, 2, \dots, n$ ;  $i = 0, 1, 2, \dots, n-k$ , pentru polinoamele parțiale  $b_i^k(x)$  ale **polinomului (curbelor) lui Bezier**  $P(x) = \sum_{i=0}^n b_i B_i^n(x; a, b)$ , reprezentat pe  $[0, 1]$ , pentru  $i \in [0, 1]$ .

**Demonstrație.** Dacă înlocuim relația de recurență 7. în definiția polinoamelor parțiale  $b_i^k$  ale **polinomului (curbelor) lui Bezier**  $P(x)$ , obținem:

$$\begin{aligned} b_i^k &= \sum_{j=0}^k b_{i+j} B_j^k = b_i B_0^k + b_{k+i} B_k^k + \sum_{j=1}^{k-1} b_{i+j} B_j^k = \\ &= b_i (1 - \lambda) B_0^{k-1} + b_{i+k} \lambda B_{k-1}^{k-1} + \sum_{j=1}^{k-1} b_{i+j} [(1 - \lambda) B_j^{k-1} + \lambda B_{j-1}^{k-1}] = \\ &= \sum_{j=0}^{k-1} b_{i+j} (1 - \lambda) B_j^{k-1} + \sum_{j=1}^k b_{i+j} \lambda B_{j-1}^{k-1} = (1 - \lambda) b_i^{k-1} + \lambda b_{i+1}^{k-1}. \end{aligned}$$

Deoarece:  $b_i^0(x) = b_0$ , unde  $x \in [a, b]$  putem calcula valoarea funcției  $P(x) = b_0^n(x)$  **în punctele Bezier**.

Punctele auxiliare  $b_i^k$  se pot obține prin **algoritmul lui de Casteljaou**<sup>3</sup> ce va fi prezentat mai jos (Fig. 5.1):

$$\begin{array}{ccccccc} b_n & = & b_n^0 & & & & \\ b_{n-1} & = & b_{n-1}^0 & \rightarrow & b_{n-1}^1 & & \\ & & \cdot & & \cdot & & \\ & & \cdot & & \cdot & & \\ & & \cdot & & \cdot & & \\ & & \cdot & & \cdot & & \\ b_1 & = & b_1^0 & \rightarrow & b_1^{n-1} & & \\ b_0 & = & b_0^0 & \rightarrow & \rightarrow & \rightarrow & b_0^{n-1}, b_0^n \end{array}$$

Fig. 5.1. Exemplificarea algoritmului lui de Casteljaou

Totuși, teorema de mai sus se referă la un singur **polinom (curbă) Bezier** pentru un interval fix dat. Problema care se pune este de a cunoaște cum se schimbă **punctele Bezier** când se schimbă intervalul dat. De asemenea, de a cunoaște cum se comportă polinomul în punctele de joncțiune și ce se întâmplă dacă intervalul de referință se subdivide în subintervale.

S-a arătat că în punctele marginale, **polinomul (curba) Bezier**  $P$  este determinat de derivata de ordinul  $k$ . Reciproca este deasemenea adevărată:

<sup>3</sup> similar **algoritmului lui Neville**.

valorile lui  $P$  ale derivatei de ordinul  $k$  în punctul  $k = 0$ , determină punctele parțiale  $b_0^0(x), b_0^1(x), \dots, b_0^k(x)$ , așa cum se va demonstra în lema de mai jos:

Lemă. Polinomul parțial  $b_0^k(x)$  al unui **polinom (curbă) Bezier**:

$$P(x) = b_0^n(x) \sum_{i=0}^n b_i B_i^n(x)$$

este complet determinat de valorile lui  $P(x)$  până la și incluzând derivatele de ordinul  $k$  în punctul  $k = 0$ .

Demonstrație. Conform teoremei precedente, derivatele în punctul  $x = 0$  satisfac relația:

$$\frac{d^l}{dx^l} b_0^k(0) = \frac{k!}{(k-l)!} \Delta^l b_0 = \frac{(n-l)! k!}{(k-l)! n!} \frac{d^l}{dx^l} b_0^n(0)$$

pentru  $l = 1, 2, \dots, k$  și  $x \in P$ . Ceea ce este adevărat, deoarece toate derivatele polinomului există și sunt determinate în punctele  $x = 0$ . Ca urmare se obține următoarea teoremă:

**Teoremă.** Fie:

$$P(x) = a_0^n(x; a, b) \text{ și}$$

$$Q(x) = b_0^n(x; a, c), \text{ două } \textbf{polinoame (curbe) Bezier},$$

iar  $a, b$ , și respectiv  $a, c$  puncte de control (**puncte Bezier**) ale lui  $P(x)$ ; atunci următoarele propoziții sunt echivalente:

i.  $P(x)$  și  $Q(x)$  coincid în punctul  $x = a$  până la derivata de ordinul  $k$ , de exemplu:

$$P^{(l)}(a) = Q^{(l)}(a), \text{ pentru } l = 0, 1, 2, \dots, k,$$

ii.  $a_0^k(x; a, b) = b_0^k(x; a, c)$ , pentru  $\forall x \in R \subset P$  și pentru  $l = 0, 1, 2, \dots, k$ ,

iii.  $a_0^l(x; a, b) = b_0^l(x; a, c)$ , pentru  $\forall x \in R \subset P$  și pentru  $l = 0, 1, 2, \dots, k$ ,

iv.  $a_l = b_0^l(b; a, c)$ , pentru  $l = 0, 1, 2, \dots, k$ .

Demonstrație. Se va arăta că: (i)  $\Leftrightarrow$  (ii)  $\Rightarrow$  (iii)  $\Rightarrow$  (iv)  $\Rightarrow$  (ii).

Conform lemei de mai sus, cele două polinoame (curbe)  $P(x)$  și  $Q(x)$  coincid pentru  $x = a$  până la derivata de ordinul  $k$ , dacă și numai dacă au aceleași polinoame parțiale  $a_0^k(x; a, b) = b_0^k(x; a, c)$ , pentru  $\forall x \in P$  și pentru  $l = 0, 1, 2, \dots, k$ .

Deci primele propoziții sunt echivalente. Dacă  $a_0^k$  și  $b_0^k$  coincid, atunci și polinoamele lor parțiale  $a_0^l$  și  $b_0^l$  coincid pentru  $l = 0, 1, 2, \dots, k$  și deci (ii) implică (iii).

Înlocuind  $x = b$  în (iii) obținem

$$a_l = a_0^l(1) = a_0^l(b; a, b) = b_0^l(b; a, c) \text{ și deci (iv).}$$

Deoarece polinomul este unic determinat de **coeficienții săi Bezier**, (iv) implică (ii) și de aici rezultă echivalența celor patru propoziții. Or, acesta răspunde la întrebarea comportamentului **punctelor lui Bezier** când intervalul de referință se subdivide și când se schimbă însăși intervalul de referință.

Corolar. Fie:  $a_0^n(x; a, b) = b_0^n(x; a, c) = c_0^n(x; a, c)$  **punctele Bezier** pentru polinomul  $P(x)$  respectiv intervalelor:  $[a, b]$ ,  $[a, c]$  și  $[b, c]$ , atunci:

$$P(x) = \sum_{i=0}^n a_i B_i^n(x; a, b) = \sum_{i=0}^n b_i B_i^n(x; a, b)$$

Ca urmare, coeficienții  $a_l$  și  $a_l$  al poligoanelor parțiale pot fi calculați cu ajutorul coeficienților  $a_l$  a lui Bezier conform relațiilor:

$$a_k = b_0^n(b; a, c) \text{ și } c_k = b_k^{n-k}(b; a, c), \text{ pentru } k = 0, 1, 2, \dots, n.$$

Demonstrație. Deoarece polinomul de ordinul  $n$  este complet determinat de derivatele sale, corolarul de mai sus rezultă din:

- teorema precedentă pentru  $k = n$  și
- simetria **reprezentării Bezier**.

În plus, deoarece **subpolinoamele Bezier** sunt cuprinse în polinomul convex când polinomul este continuu subdivizat, practic, doar după câteva subdiviziuni, subpolinoamele se suprapun peste curba inițială. Dacă ne folosim de faptul că doar derivatele într-un punct trebuie să coincidă, atunci se poate rezolva problema îmbinărilor a două polinoame adiacente.

Corolar. **Subpolinoamele Bezier:**

$$R(x) = \begin{cases} a_0^n(x; a, b), & \text{dacă } a \leq x \leq b \\ c_0^n(x; b, c), & \text{dacă } b \leq x \leq c \end{cases}$$

sunt  $C^k$  continue, dacă și numai dacă:

$$c(l) = a_{n-l}^l(c; a, b) \text{ pentru } l = 0, 1, 2, \dots, k$$

sau echivalent:

$$a_{n-l}(l) = c_0^l(c; a, b) \text{ pentru } l = 0, 1, 2, \dots, k.$$

Ca urmare, considerând  $C^k$  continue, primele  $(k+1)$  **puncte Bezier** ale derivatei de ordinul II sunt determinate de ultimele  $(k+1)$  **puncte Bezier** și viceversa. Un polinom  $a_0^n(c; a, b)$  pe intervalul  $[a, b]$  poate fi deci continuu pe  $C^k$  și complet determinat de polinomul  $C(x; a, b)$  pe intervalul  $[a, b]$ , determinând **punctele Bezier**  $c_0, c_1, \dots, c_k$  pe intervalul  $[b, c]$  conform corolarului de mai sus folosind **algoritmul lui de Casteljaou**, iar punctele rămase  $c_{k+1}, c_{k+2}, \dots, c_n$  se pot alege liber.

În particular, **subpolinoamele Bezier**  $R(x)$  sunt continue, dacă și numai dacă

$$a_n = c_0,$$

în plus sunt continuu diferențiabile, dacă și numai dacă

$$c_1 = a_{n-1}^1(c; a, b) = a_{n-1}^1(x_1) = (1-x_1)a_{n-1} + x_1 a_n, \text{ unde } x_1 = \frac{c-a}{b-a},$$

sau echivalent

$$a_{n-1} = c_0^1(a; b, c) = c_0^1(x_2) = (1-x_2)c_0 + x_2 c_1, \text{ unde } x_2 = \frac{a-b}{c-b},$$

ceea ce implică:

$$a_n = c_0 = \frac{c-b}{c-a} a_{n-1} + \frac{b-a}{c-a} c_1$$

adică punctul  $a_n = c_0$  împarte segmentul  $[a_{n-1}, c]$  în porțiunile  $(c-b)$  și  $(b-a)$ . Dacă subpolinoamele  $C^2$  sunt continue, atunci  $a_{n-2}, a_{n-1}$  și  $a_n$  descriu aceeași parabolă ca și  $c_0, c_1, c_2$  referitoare la intervalul  $[a, b]$  și respectiv intervalul  $[b, c]$ .

Ca urmare a corolarului de mai sus, **punctele Bezier** ale acestei parabole re-feritoare la întreg intervalul  $[a, c]$  sunt  $a_{n-2}, d$  și  $c_2$ , unde  $d$  este un punct auxiliar astfel încât

$$d := a_{n-2}^1(c; a, b) = a_{n-2}^1(x_1) = c_1^1(a; b, c) + c_1^1(x_2)$$

și deci din continuitatea lui  $C^2$  rezultă că

$$c_2 = a_{n-2}^2(x_1) = (1-x_1)a_{n-2}^1(x_1) + x_1 a_{n-1}(x_1)$$

unde

$$a_{n-2}^1(x_1) = d \text{ și } a_{n-1}^1(x_1) = c_1$$

și

$$a_{n-2} = C_0^2(x_2) = (1-x_2)C_0^1(x_2) + x_2 C_0^1(x_2),$$

iar

$$c_0^1(x_2) = a_d \text{ și } c_1^1(x_2) = d.$$

Deci subpolinoamele  $C^2$  sunt continue, dacă și numai dacă  $\exists$  un punct  $d$  astfel încât

$$c_2 = (1-x_1)a_{n-1} + x_1 c_1 \text{ și } a_{n-2} = (1-x_1)a_{n-1} + x_1 d.$$

Punctul auxiliar  $d$  este cunoscut în literatura de specialitate ca **punctul de Boor** (Deuffhard, 2003).

## 5.4. Algoritmul lui Boor ca un caz particular al algoritmului lui de Casteljaou

Fie un polinom (curbă) B-spline  $B_i^n(x)$ , unde:  $x \in [x_{n-1}, x_{l+n-1}]$  și fie:  $x_j \in [x_j, x_{j+1}] \subset [x_{n-1}, x_{l+n-1}]$ .

Dacă definim:

$$d_i^k = \frac{x_{i+n-k} - x}{x_{i+n-k} - x_{j-1}} d_{i-1}^{k-1}(x) + \frac{x - x_{i-1}}{x_{i+n-k} - x_{i-1}} d_i^{k-1}(x),$$

unde  $k = 0, 1, 2, \dots, n-r$  și  $i = j - n + k + 1, \dots, j + 1$ , atunci

$$s(x) = B_i^n = d_{j+1}^{n-r}(x);$$

este valoarea funcției B-spline pentru  $x$ , iar  $r$  reprezintă numărul de puncte (valori) alese pentru a multiplica polinomul  $B_i^n$ .

Dacă se alege  $r = 0$ , atunci obținem:  $d_i^0 = d_i$ . Ca urmare, pentru fiecare nivel al lui  $k$  se grupează un nou poligon și noi puncte de control corespunzătoare care să descrie curba B-spline inițială.

Fie cazul:

$0 = x_0 = x_1 = \dots = x_{i-1} < x_i = x_{i-1} \dots = x_{2n-1} = 1$ , unde  $x_0$  și  $x_{2n}$  sunt multiplu de 2.

În acest caz abscisa unui punct (numit **abscisa lui Grenville**) este dată de formula:

$$\xi_i = \frac{1}{n} \sum_{j=1}^{i+n-1} x_j = \frac{i}{n}; \quad i = 1, 2, \dots, n$$

Dacă  $0 \leq x \leq 1$  **algoritmul lui Boor** pentru  $j = n - 1$  este:

$$d_i^k(x) = \frac{x_{i+n-k} - x}{x_{i+n-k} - x_{i-1}} d_{i-1}^{k-1} + \frac{x - x_{i-1}}{x_{i+n-k} - x_{i-1}} d_i^{k-1},$$

Deoarece  $n - 1 \geq (1 - x) \geq 0$ , avem:  $x_{i+n-k} = 1$ ,  $x_{i-1} = 0$ , pentru  $\forall i, k$ , deci

$$d_i^k(x) = (1 - x)d_{i-1}^{k-1} + x d_i^{k-1}; \quad k = 1, 2, \dots, n$$

și care este **algoritmul lui de Casteljaou** ca un caz particular al **algoritmului lui Boor**.

## 5.5. Unele observații referitoare la algoritmul lui Boor

Analiza **algoritmului lui de Casteljaou**, ca un caz particular al **algoritmului lui Boor** permite substanțierea unor observații:

- Restricția referitoare la intervalul  $[0, 1]$  nu este esențială, polinoamele sunt invariante la transformarea parametrilor. Dacă două puncte (noduri) adiacente au  $r = n$ , atunci polinomul B - splin este generat de **polinomul lui Bezier**, iar **abscisa lui Grenville** este calculată într-un punct echidistant între cele două puncte.
- După ce înserăm  $x$  puncte pentru a atinge B până când obținem gradul de multiplicitate  $n$ , polinomul (curba) inițial **de Boor** [sau polinomul (curba) **Bezier** în acest caz], se va transforma în două polinoame (curbe) **Bezier**, definind aceiași curbă așa cum a făcut-o poligonul inițial. De fapt este o confirmare a faptului că **algoritmul lui de Casteljaou** subdivide **curbele lui Bezier**.
- S-a arătat anterior că polinoamele (curbele) B-spline sunt definite prin părți pe domeniul  $[x_{n-1}, x_{j+n-1}]$ . Se poate oricând insera un vector de puncte (noduri) arbitrare, până la obținerea gradului de multiplicitate  $n$ .

Polinomul B-spline corespunzător secvenței de noduri este astfel un polinom (curbă) **Bezier** definit prin părți.

## 5.6. Polinoame definite prin părți folosite la modelarea geometrică

Complexitatea unor polinoame (curbe) ce se cer interpolate sau approximate în vederea utilizării lor la modelarea geometrică a condus la ideea segmentării acestora în părți (segmente, intervale) care au fost approximate - relativ ușor - prin polinoame (curbe) definite prin părți și care apoi au fost asamblate (reunite) într-un polinom definit prin acele părți. Evident problema care s-a pus ulterior a fost cea legată de continuitatea poligoanelor (curbelor) de interpolare (aproximare).

Fie  $\mathcal{P}_k \subset \mathbb{R}^k$  un spațiu vectorial de polinoame de grad  $\leq k$ , unde:  $x \in [a, b]$  de o singură variabilă  $x$ . Rezultă că  $\mathcal{P}_k$  este de dimensiune  $(k + 1)$  în  $\mathbb{R}$ .

Dându-se

- un interval  $[a, b] \subset \mathcal{P}_k$ ,
- un întreg  $l \geq 1, l \in \mathbb{R}^+$ ,
- un set  $\tau$  de  $(l - 1)$  puncte  $(\tau_i)$
- și fie  $(1 \leq i \leq l - 1) \subset (a, b)$

atunci punctele  $a < \tau_1 < \tau_2 \dots < \tau_{l-1} < b$  se numesc puncte de control (noduri), iar  $(l - 1) \subset \mathbb{R}^+$  întregi  $r_i$  unde  $0 \leq r_i \leq k$ . Stabilim de asemeni  $a = \tau_0$  și  $b = \tau_l$ .

Notăm  $\mathcal{P}_{k,\tau,r}$  spațiul vectorial de funcții polinomiale de grad  $\leq k$  pe  $[a, b]$  și  $C^{r_i-1}$  condiția de continuitate în  $\tau_i$  ( $1 \leq i \leq l - 1$ ), adică funcția (polinomul, curba) are  $(r_i - 1)$  derivate continue în  $\tau_i$  și unde pentru  $r_i = 0$  nu sunt necesare condiții de continuitate.

Lemă. Fie

$$\mathcal{P}_{k,\tau,r} = (k + 1)l - \sum_{i=1}^{l-1} r_i.$$

**Demonstrație.** Fie spațiul funcțiilor  $\mathcal{F}_{i,j} \subset \mathbb{R}^k$  astfel încât pentru fiecare  $l$  intervale  $[\tau_i, \tau_{i+1}]$  și  $\forall$  polinom de grad  $k$ , dimensiunea spațiului va fi:  $(k + 1)l$ .

Baza pentru spațiul  $\mathcal{F}_{i,j} \subset \mathbb{R}^k$  va fi format din funcțiile  $f_{i,j}$  astfel încât

$$f_{i,j} = \begin{cases} (X - \tau_i)^j & \text{pentru } X \in [\tau_i, \tau_{i+1}] \\ 0 & \text{pentru } X \notin [\tau_i, \tau_{i+1}] \text{ și } (0 \leq i \leq l - 1, 0 \leq j \leq k) \end{cases}$$

Fie  $f \in \mathcal{P}_{k,\tau,r}$ , un polinom  $P_i \subset [\tau_i, \tau_{i+1}]$  și unde :

$$P_i = \sum_{j=0}^k a_j^i (X - \tau_i)^j.$$

Condiția de continuitate  $C^{r_i-1}$  a lui  $f$  în punctul (nodul):

$\tau_i$  ( $1 \leq i \leq l - 1$ ) determină  $r_i$  relații liniare ale lui  $a_i^j$  :

$$\left\{ \begin{array}{l} a_0^i = \Phi_0 (a_0^{i-1}, a_1^{i-1}, \dots, a_{k-1}^{i-1}, a_k^{i-1}) \\ a_1^i = \Phi_1 (a_0^{i-1}, a_1^{i-1}, \dots, a_{k-1}^{i-1}, a_k^{i-1}) \\ \vdots \\ a_{r_i-1}^i = \Phi_{r_i-1} (a_0^{i-1}, a_1^{i-1}, \dots, a_{k-1}^{i-1}, a_k^{i-1}) \end{array} \right.$$

relații care introduc  $r_i$  ecuații liniar independente, fiecare de o nouă variabilă ale lui  $a_i^j$ :

Fie

$$(X - \tau_i)_+ = \begin{cases} (X - \tau_i) & \text{pentru } X \geq \tau_i \\ 0 & \text{pentru } X \leq 0 \end{cases}$$

atunci funcția  $(X - \tau_i)_+ = \text{Sup}(X - \tau_i, 0)$ .

Lemă. Setul de restricții

$(0 \leq i \leq l-1, r_i \leq j \leq k)$  pe  $[a, b]$  impus funcțiilor  $(X - \tau_i)_+$  reprezintă o bază a lui  $\mathcal{P}_{k,\tau,r}$ .

**Demonstrație.** Deoarece funcția  $(X - \tau_i)$  este o clasă  $C^0$  (din condiția de continuitate) prin inducție rezultă clar că funcțiile  $(X - \tau_i)_+^j$  sunt o clasă  $C^{j-1}$  în punctele (nodurile)  $\tau_i$ . Rezultă că funcțiile  $(X - \tau_i)_+^j \in \mathcal{P}_{k,\tau,r}$ , pentru  $r_i \leq j \leq k$ ; și atunci pentru  $\forall$  astfel de funcții

$$\left[ (k+1)l - \sum_{i=1}^{l-1} r_i \right]$$

este de-ajuns să observăm că funcțiile  $(X - \tau_i)_+^j$  sunt liniar independente, ceea ce este evident.

Fie  $\mathcal{S}_{k,r}$  un subspațiu inclus în  $\mathcal{S}_{k,r} \subset \mathcal{P}_{k,\tau,r}$ , unde:  $r_i = k$  ( $1 \leq i \leq l-1$ ).

Subspațiul  $\mathcal{S}_{k,r} \subset \mathcal{P}_{k,\tau,r}$  este denumit subspațiul polinoamelor (curbelor) spline de ordinul  $k$  având punctele (nodurile)  $\tau_i$  și unde un punct are:

$$\dim \mathcal{S}_{k,r} = l(k+1) - \sum_{i=1}^{l-1} k = k+l,$$

iar polinoamele (curbele) spline sunt de  $C^{k-1}$  ori funcții continue.

### 5.6.1. Polinoame (curbe) spline cubice definite prin părți

Fie

$$M_i = (\tau_i, y_i) \quad (0 \leq i \leq l),$$

unde  $M_i$  sunt  $(l+1)$  puncte de control (noduri) în  $\mathcal{P}^2$ ,  $M_i \subset \mathcal{P}^2$  (Liming, 1979).

Fiind date două numere  $\alpha$  și  $\beta$ , atunci  $\exists$  un polinom (curbă, funcție) spline  $f \in \mathcal{S}_{3,r}$ , astfel încât funcția  $y = f(x)$  care trece prin punctele  $M_i$  și satisface condițiile:

$$\begin{cases} f'(a) = \alpha \\ f'(b) = \beta \end{cases}$$

**Demonstrație.** Vom alege cazul mai ușor de demonstrat când punctele de control (nodurile) sunt echidistante:  $(\tau_{i+1} - \tau_i = h)$  și care ne conduce la  $(l+3)$  condiții liniar independente, deoarece dimensiunea lui  $\mathcal{S}_{3,r}$  este  $(l+3)$ . Obținem:

$$\begin{aligned} f(\tau_i) &= y_i, \quad (0 \leq i \leq l) \\ f'(a) &= \alpha \\ f'(b) &= \beta \end{aligned}$$

Ca urmare, putem rescrie condițiile restrictive  $P_i$  impuse lui  $f$  pe astfel încât pentru fiecare  $l$  intervale  $[\tau_i, \tau_{i+1}]$  să avem

$$\begin{aligned} P_i(u) &= a_i + b_i u + c_i u^2 + d_i u^3 \quad \text{unde: } (0 \leq i \leq l) \text{ și: } (0 \leq n \leq 1), \text{ iar } u \\ &= \frac{t - \tau_i}{h}, \end{aligned}$$

atunci

$$\begin{cases} P_i(0) = f(\tau_i) = y_i \\ P_i(1) = f(\tau_{i+1}) = y_{i+1}, \end{cases} \quad \text{unde: } (0 \leq i \leq l)$$

Condițiile impuse lui  $a_i, b_i, c_i, d_i$  sunt:

- 1)  $a_i = b_i$ ,
- 2)  $a_i + b_i + c_i + d_i = y_i$ , unde:  $[0 \leq i \leq (l-1)]$ , cu  $f(\tau_i) = y_i$ ,
- 3) 
$$\begin{cases} b_0 = \frac{\alpha}{h} \\ b_{l-1} + 2c_{l-1} + 3d_{l-1} = \frac{\beta}{h} \end{cases}$$
 și care rezultă din condițiile de mărginire,
- 4)  $b_i + 2c_i + 3d_i = b_{i+1}$  și care rezultă din condiția de continuitate  $C^2$ ,
- 5)  $2c_i + 6d_i = 2c_{i+1}$ , unde:  $[1 \leq i \leq (l-2)]$ .

Din 1), 2), 4) rezultă

$$\begin{cases} c_i = 3(y_{i+1} - y_i) - 2b_i - b_{i+1} \\ d_i = -2(y_{i+1} - y_i) + b_i + b_{i+1} \end{cases}$$

și introducând în 5) pentru  $(i+1)$  rezultă  $b_{i-1} + 4b_i + b_{i+1} = 3(y_{i+1} - y_i)$  unde:  $[0 \leq i \leq (l-1)]$ .

Obținem astfel următorul sistem matricial în  $b_j$ :

$$\begin{bmatrix} 1 & \cdot & \cdot & \cdot & \cdot & \cdot \\ 1 & 4 & 1 & \cdot & \cdot & \cdot \\ & \cdot & \cdot & \cdot & \cdot & \cdot \\ & & & & & \cdot \\ & & & & 1 & 4 \\ & & & & & 1 \end{bmatrix} \begin{bmatrix} b_0 \\ b_1 \\ \cdot \\ \cdot \\ b_{n-1} \\ b_n \end{bmatrix} = \begin{bmatrix} \frac{\alpha}{h} \\ 3(y_2 - y_0) \\ 3(y_3 - y_1) \\ \cdot \\ 3(y_l - y_{l-2}) - \frac{\beta}{h} \end{bmatrix}$$

Este evident că matricea sistemului este nesingulară și folosind **metoda lui Gauss** se pot obține rapid soluțiile  $b_j$ . În acest caz numărul de operații este  $l$ .

**Teoremă.** Fie  $f \in \mathcal{S}_{3,r}$  polinoame (curbe, funcții) spine definite prin părți astfel încât:

$$\begin{cases} f(\tau_i) = y_i, (0 \leq i \leq l) \\ f'(a) = \alpha \\ f'(b) = \beta \end{cases}$$

Definim  $\Phi \in E$  un subset a lui  $C^r$  ( $E \subset C^r$ ) de polinoame (curbe) definite pe  $[a, b]$  astfel încât

$$\begin{cases} \Phi(\tau_i) = y_i, (0 \leq i \leq l) \\ \Phi'(a) = \alpha \\ \Phi'(b) = \beta \end{cases}$$

atunci dintre elementele lui  $E$ ,  $f$  este singurul care minimizează integrala

$$\int_a^b [\Phi'']^2(t) dt$$

**Demonstrație:** Fie în  $\Phi \in E$  subsetul  $e = \phi - f$ , reprezentând eroarea în aproximarea lui  $\phi$  de către polinomul (curba, funcția) splin  $f''$ .

Fie  $\mathcal{S}_{1,\tau}$  spațiul polinoamelor (curbelor, funcțiilor) de gradul I pe  $[a, b]$  având punctele de control (nodurile)  $\tau_i$ ; ca urmare  $C^0$  sunt polinoame liniare definite prin părți și care își schimbă poziția în punctele  $\tau_i$ .

Avem:

$$\int_a^b e''(x) h(x) dx = 0, \text{ pentru } \forall h \in \mathcal{S}_{1,\tau}.$$

**Demonstrație.** Integrând prin părți obținem

$$\begin{aligned} \int_a^b e''(x) h(x) dx &= \sum_{i=0}^{l-1} \int_{\tau_i}^{\tau_{i+1}} -e''(x) h(x) dx \\ &= \sum_{i=0}^{l-1} ((e'(x) h(x)) \Big|_{\tau_i}^{\tau_{i+1}} - \int_{\tau_i}^{\tau_{i+1}} e'(x) h'(x) dx) \end{aligned}$$

Dar în același timp avem

$$\sum_{i=0}^{l-1} e'(b) h(b) - e'(a) h(a) = 0$$

Deoarece:  $e'(a) = e'(b) = 0$  prin definiție, iar

$$\sum_{i=0}^{l-1} \int_{\tau_i}^{\tau_{i+1}} e'(x) h'(x) = \sum_{i=0}^{l-1} \lambda_i (e(\tau_{i+1}) - e(\tau_i))$$

dacă  $h'(x) = \lambda$ , pentru  $x \in (\tau_i, \tau_{i+1})$ , avem:  $e(\tau_{i+1}) = 0$  din definiția lui  $f(\tau_i) = \phi(\tau_i)$ , unde:  $(0 \leq i \leq l)$ .

Fie  $\phi \in E$  și  $e = \phi - f$ , atunci obținem:

$$\int_a^b (\phi'')^2 = \int_a^b (e'' + f'')^2 = \int_a^b (e'')^2 + \int_a^b (f'')^2 + 2 \int_a^b (e'')(f'')$$

Deoarece  $f \in \mathcal{S}_{3,\tau}, \exists f'' \in \mathcal{S}_{1,\tau}$  și deci  $\int_a^b (e'')(f'') = 0$  prin lema de mai sus.

De asemenea,  $\int_a^b \phi''^2 \geq \int_a^b (f'')^2$ , pentru egalitatea  $\phi'' = f''$ .

Deoarece  $\int_a^b (e'')^2 = 0$  rezultă  $e'' = 0$ , unde  $e''$  este continuu, ceea ce implică  $\phi = f$ , dacă  $l \geq 1$  și deoarece  $\phi$  și  $f$  satisfac relațiile:

$$\begin{cases} \phi'(\alpha) = f'(\alpha) \\ \phi'(\beta) = f'(\beta) \\ \phi'(\tau_i) = f'(\tau_i) \end{cases}$$

Este posibilă generalizarea funcțiilor de mai sus considerând spațiul  $\mathcal{P}_{k,\tau,r}$ , astfel încât:

- a)  $k$  să ia orice valori – nu neapărat 3;
- b) funcțiile vor fi de clasă  $C^{r_j-1}$  în punctele  $\tau_i$  [ $1 \leq i \leq (l-1)$ ], cu  $r_i \leq k$  și nu neapărat  $r_i = k$ .

Ori aceste generalizări conduc la obținerea polinoamelor (curbelor) B-spline și care vor fi tratate în capitolele următoare.

## 5.7. Polinoame spline folosite la modelarea geometrică

În capitolele anterioare în care s-a dezvoltat interpolarea și aproximarea geometrică în modelarea polinoamelor (curbelor) s-a arătat că utilizarea acestor metode la un număr mare de puncte date este inadecvată. Pe de altă parte, creșterea gradului polinomului de interpolare, în loc de a mări fidelitatea modelării față de punctele inițiale, mărește instabilitatea modelului, introducând oscilații nedorite, în special la un număr mare de puncte, rezultând valori neadecvate ale numărului de condiție.

Mici schimbări ale punctelor (nodurilor) conduc la schimbări importante ale polinomului de interpolare  $P(x)$  pentru punctele intermediare  $x \neq x_i$ , dar și la oscilații pronunțate ale polinomului de interpolare între punctele (nodurile) date. Acesta a condus la generarea unor noi tipuri de polinoame care să corespundă mai bine cerințelor modelării. Astfel de polinoame (curbe) sunt polinoamele (curbele) spine și care și-au găsit o largă aplicare, nu numai în modelarea geometrică, dar și în rezolvarea ecuațiilor diferențiale.

Definiție. Fie  $\Delta = \{x_0, x_1, \dots, x_{l+1}\}$  intervale de  $(l+2)$  puncte (noduri) distincte:

$$a = x_0 < x_1 < \dots < x_{l+1} = b$$

O curbă splină de gradul  $k+1$  (numită și de ordinul  $k$ ) relativ la  $\Delta$  este o curbă  $s \in C^{k-2}[a, b]$  și care pentru fiecare interval  $[x_i, x_{i+1}]$ , pentru  $i = 0, 1, \dots, l$



coincide cu polinomul  $s_i \in P_{k-1}$  de grad relativ  $\leq (k-1)$ . Polinomul format din splin de grad  $(k-1)$  relativ la  $\Delta$  se notează cu  $S_{k,\Delta}$ .

Printre cele mai utilizate funcții spline (curbe) se remarcă polinoamele (curbele) spline liniare de ordinul  $k=2$  și polinoamele (curbele) spline cubice  $k=4$ .

În principiu:

- Polinoamele (curbele) spline liniare sunt funcții liniare (părți) de diferite orientări, atașate una altuia pe intervalul  $[x_i, x_{i+1}]$ , pentru  $i = 0, 1, \dots, l$ .
- Polinoamele (curbele) spline cubice reprezintă curbele de diferite orientări și care, una în continuarea altora, oscilează înglobând punctele (nodurile) date.

Este clar că  $S_{k,\Delta}$  reprezintă un vector în spațiul real  $\mathbb{R}^k$  și care în particular conține toate polinoamele de grad  $\leq (k-1)$  ale lui  $P_{k-1} \subset S_{k,\Delta}$ .

Prin urmare puterile (trunchiate) de gradul  $k$  ale lui  $x_i$  sunt:

$$(x - x_i)_+^k := \begin{cases} (x - x_i)^k, & \text{dacă } x \geq x_i \\ 0, & \text{dacă } x < x_i \end{cases}$$

conținute în  $S_{k,\Delta}$ . Aceste puteri, împreună cu monoamele  $1, x, x^2, \dots, x^{k-1}$  formează o bază a lui  $S_{k,\Delta}$  și care ne conduce la următoarea teoremă:

**Teoremă.** Monoamele și puterile trunchiate ale spațiului spline  $S_{k,\Delta}$  formează o bază vectorială  $\mathcal{B}$ :

$$\mathcal{B} := \{1, x, x^2, \dots, x^{k-1}, (x - x_1)_+^{k-1}, (x - x_2)_+^{k-1}, \dots, (x - x_l)_+^{k-1}\}$$

În particular, dimensiunea lui  $S_{k,\Delta}$  este:

$$\dim S_{k,\Delta} = k + 1,$$

**Demonstrație.** Pentru început arătăm că  $\mathcal{B}$  are cel mult  $(k+l)$  grade de libertate în spațiul spline  $s \in S_{k,\Delta}$ . Pe intervalul  $[t_0, t_1]$  se poate alege orice polinom de grad  $\leq (k-1)$ ; acesta are  $k$  parametri liberi. Din această cerință de continuitate impusă lui  $s \in S_{k,\Delta}$ , polinoamele formate pe intervalele  $[x_1, x_2], [x_2, x_3], \dots, [x_l, x_{l+1}]$  sunt determinate de precedesor până la parametrul  $l$ .

Dar, așa cum s-a arătat mai sus funcțiile  $(k+l)$  rămase sunt liniar independente în  $\mathcal{B}$ .

Pentru a continua demonstrația, considerăm  $s(x)$ :

$$s(x) = \sum_{i=0}^{k-1} a_i x^i + \sum_{i=1}^l c_i (x - x_i)_+^{k-1} = 0, \text{ pentru } \forall x \in [a, b]$$

și formula funcțiilor liniare  $G_i(f)$ :

$$G_i(f) := \frac{1}{(k-1)!} (f^{(k-1)}(x_i^+) - f^{(k-1)}(x_i^-))$$

care se aplică lui  $s(x)$ . Mai sus s-a introdus  $f(x^+)$  și  $f(x^-)$  ca limită stînga și respectiv dreapta a lui  $f$  pentru  $\forall i = 0, 1, \dots, l$ .

Rezultă că avem:

$$0 = G_i(s) = G_i\left(\sum_{j=0}^{k-1} a_j x^j\right) + \sum_{j=1}^l c_j G_i(x - x_j)^{k-1} = c_j.$$

Dar

$$G_i\left(\sum_{j=0}^{k-1} a_j x^j\right) = 0 \text{ și fie } G_i(x - x_j)^{k-1} = \delta_{ij}$$

și încă

$$s(x) = \sum_{i=0}^{k-1} a_i x^i = 0, \text{ pentru } \forall x \in [a, b] \text{ și deci:}$$

$$a_0 = a_1 = \dots = a_{k-1} = 0$$

Pe de altă parte, definiția bazei  $\mathcal{B}$  a lui  $S_{k,\Delta}$  prezintă unele dezavantaje:

- Elementele bazei  $\mathcal{B}$  nu sunt elemente locale,  $x_j$  aparținând întregului spațiu  $\mathbb{R}$ .
- Puterile trunchiate  $(X - x)^k$  sunt dependente de nodurile  $x_i, x_{i+1}$ .

Aceasta ne conduce la observația că evaluarea curbelor spline în reprezentarea:

$$s(x) = \sum_{i=0}^{k-1} a_i x^i + \sum_{i=1}^l c_i (x - x_i)_+^{k-1}$$

nu răspunde adecvat evoluției perturbațiilor coeficienților  $c_i$ . În plus coeficienții  $a_i$  și  $c_i$  nu au semnificație geometrică – spre deosebire de **punctele Bezier**  $b_i$ .

Rezultă că este necesară construirea unei baze pentru spațiul spline  $S_{k,\Delta}$  care să aibă cel puțin proprietățile pe care **polinoamele lui Bernstein** le au pentru  $P_k$ .

Pentru a obține aceasta definim o funcție caracteristică recursivă  $\chi_{[\tilde{x}_i, \tilde{x}_{i+1}]}$  pentru  $x \in [\tilde{x}_i, \tilde{x}_{i+1}]$ , unde:  $i = 0, 1, \dots, n - k$  și care ne conduce la capitoul următor.

### 5.7.1. Polinoame (curbe) B-spline<sup>4</sup> folosite la modelarea geometrică

Definiție: Fie  $\tilde{x}_1 \leq \tilde{x}_2 \leq \dots \leq \tilde{x}_n$  o succesiune arbitrară de noduri. Numim B-spline funcțiile  $N_{i,k}(x)$  de ordin  $k$ , pentru  $k = 0, 1, \dots, n$  și  $i = 0, 1, \dots, n - k$ . Acestea sunt recursiv definite prin:

$$N_{i,1}(x) := \chi_{[\tilde{x}_i, \tilde{x}_{i+1}]}(x) = \begin{cases} 1, \text{ dacă: } \tilde{x}_i \leq x \leq \tilde{x}_{i+1} \\ 0, \text{ în caz contrar} \end{cases}$$

$$N_{i,k}(x) := \frac{x - \tilde{x}_i}{\tilde{x}_{i+k+1} - \tilde{x}_i} N_{i,k-1}(x) + \frac{\tilde{x}_{i+k} - x}{\tilde{x}_{i+k} - \tilde{x}_{i+1}} N_{i+1,k-1}(x)$$

unde  $N_{i,1}(x)$  numită **funcție caracteristică** este nulă, dacă nodurile coincid:

$$N_{i,1}(x) := \chi_{[\tilde{x}_i, \tilde{x}_{i+1}]}(x) = 0, \text{ dacă } \tilde{x}_i = \tilde{x}_{i+1}.$$

Ca urmare termenii corespunzători sunt omiși în funcția  $N_{i,k}(x)$ , numită și relație de recurență. Aceasta ne arată că și în cazurile când nodurile coincid, funcțiile B-spline sunt definite și reprezentate de cele două relații de mai sus.

Ca urmare  $N_{i,k}(x) = 0$ , dacă  $\tilde{x}_i = \tilde{x}_{i+1}$  și care rezultă din recursivitatea de mai sus.

În plus rezultă următoarele proprietăți ale funcțiilor B - spline:

- I.  $\text{sup } N_{i,k}(x) \subset [\tilde{x}_i, \tilde{x}_{i+k}]$ ,
- II.  $N_{i,k}(x) \geq 0$ , pentru  $\forall x \in \mathbb{R}^+ P$  (ne - negativ)
- III.  $N_{i,k}(x)$  este un polinom de grad  $\leq k - 1$ , relativ la intervalele  $[\tilde{x}_i, \tilde{x}_{i+1}]$ .

Pentru a obține noi proprietăți ale funcțiilor (curbelor) B-spline reprezentăm aceste funcții ca o aplicație a  $k$  diferențe a lui  $[\tilde{x}_i, \tilde{x}_{i+1}]$  corespunzătoare puterilor trunchiate  $f(s) = (s - \tilde{x}_i)_+^{k-1}$ .

Lemă. Dacă  $\tilde{x}_i < \tilde{x}_{i+k}$  atunci funcția B-splin  $N_{i,k}(x)$  satisface relația:

$$N_{i,k}(x) = (\tilde{x}_{i+k} - \tilde{x}_i) [\tilde{x}_i, \tilde{x}_{i+1}, \dots, \tilde{x}_{i+k}] (\bullet - x)_+^{k+1}.$$

<sup>4</sup> Numele complet este Basis spline în engleză.

**Demonstrație.** Dacă  $k = 1$ , obținem pentru partea dreaptă a expresiei:

$$(\tilde{x}_{i+k} - \tilde{x}_i)[\tilde{x}_i, \tilde{x}_{i+1}], (\cdot - x)_+^{k+1} = (\tilde{x}_{i+1} - \tilde{x}_i) \frac{(\tilde{x}_i - x)_+^0 - (\tilde{x}_{i+1} - x)_+^0}{(\tilde{x}_i - \tilde{x}_{i+1})} =$$

$$= \begin{cases} 1, & \text{dacă } \tilde{x}_i \leq x \leq \tilde{x}_{i+1} \\ 0, & \text{în caz contrar} \end{cases}.$$

Folosind formula lui Leibnitz pentru:

- $g, h \in C^n$  și
- $t_0 \leq t_1 \leq \dots \leq t_n$ , o succesiune arbitrară de puncte (noduri) obținem:

$$[t_0, t_1, \dots, t_n] g h = \sum_{i=0}^n [t_0, t_1, \dots, t_i] g [t_i, t_{i+1}, \dots, t_n] h.$$

Se poate verifica că partea dreaptă satisface și relația de recurență: dacă un polinom (curbă) de gradul  $n$  în  $\mathbb{R}^d$  este funcție de  $P$  de forma:  $P: \mathbb{R} \rightarrow \mathbb{R}^d$  atunci:

$$P(x) = \sum_{i=0}^n a_i x^i, \text{ pentru } a_0, a_1, \dots, a_n \in \mathbb{R}^d, a_n \neq 0.$$

Ca urmare, corolarul de mai sus se demonstrează inductiv:

Corolar. Dacă  $\tilde{x}_j$  este al  $m$ -lea punct (nod) și:

$$1. \quad \tilde{x}_{j-1} < \tilde{x}_j = \dots = \tilde{x}_{j+m-1} < \tilde{x}_{j+m},$$

atunci în poziția  $\tilde{x}_j$ , polinomul (curba) B - spline  $N_{i,k}(x)$  este cel puțin de  $(k-1-m)$  ori continuu diferențială. Derivata lui  $N_{i,k}(x)$  satisface relația:

$$2. \quad (N_{i,k})'(x) = (k-1) \left[ \frac{N_{i,k}(x)}{\tilde{x}_{i+k-1} - \tilde{x}_i} - \frac{N_{i+k,k-1}(x)}{\tilde{x}_{i+k-1} - \tilde{x}_{i+1}} \right],$$

**Demonstrație.** Afirmatia 1. rezultă din faptul că intervalele  $[\tau_i, \tau_{i+1}, \dots, \tau_{i+k}]$  conțin cel puțin o derivată a funcției  $f$  în punctul  $\tau_i$ . Pe de altă parte puterea (trunchiată)  $f(s) = (s - \tau_i)_+^{k-1}$  este de  $(k-2)$  ori continuu diferențiabilă.

Afirmatia 2. rezultă din:

$$(N_{i,k})'(x) = -(k-1) (\tau_{i+k} - \tau_i) [\tau_i, \tau_{i+1}, \dots, \tau_{i+k}] (\cdot - x)_+^{k-2} =$$

$$= -(k-1) (\tau_{i+k} - \tau_i) \left\{ \frac{[\tau_{i+1}, \tau_{i+2}, \dots, \tau_{i+k}] (\cdot - x)_+^{k-2} - [\tau_i, \tau_{i+1}, \dots, \tau_{i+k-1}] (\cdot - x)_+^{k-2}}{(\tau_{i+k} - \tau_i)} \right\} =$$

$$= (k-1) \left[ \frac{N_{i,k}(x)}{\tau_{i+k-1} - \tau_i} - \frac{N_{i+1,k-1}(x)}{\tau_{i+k} - \tau_{i+1}} \right].$$

Revenind la spațiul  $S_{k,\Delta}$  al curbelor spline de ordinul  $k$  referitoare la intervalele:

$$\Delta = \{t_j\}_{j=0,1,\dots,l+1}, j = 0, 1, \dots, l+1$$

obținem:

$$\Delta: a = x_0 < x_1 < \dots < x_{l+1} = b.$$

Pentru a construi baza de transformare, asigurăm lui  $\Delta$  secvența extinsă de puncte (noduri):  $T = \{\tau_j\}_{j=1,2,\dots,n+k}$ , unde nodurile de frontieră (marginii)  $a = x_0$  și  $b = x_{l+1}$  sunt considerate de  $k$  ori, adică:

$$\Delta: a = x_0 < x_1 < \dots < x_{l+1} = b$$

$$\quad \quad \quad \parallel \quad \quad \parallel \quad \quad \parallel$$

$$T: \tau_1 = \dots = \tau_k < \tau_{k+1} < \dots < \tau_{n+1} = \dots = \tau_{n+k}$$

și unde  $n = l + k = \dim S_{k,\Delta}$  este dimensiunea spațiului curbelor B-spline  $S_{k,\Delta}$ .

Considerăm " $n$ " B-spline curbe  $N_{i,k}$  pentru  $i = 0, 1, \dots, n$  și care corespunde secvenței extinse de puncte (noduri)  $T = \{\tau_j\}_{j=1,2,\dots,n+k}$ . Vom arata că aceasta formează o bază a spațiului curbelor spline  $S_{k,\Delta}$ .

Pentru aceasta, pornim de la corolarul de mai sus din care rezultă că cele  $N_{i,k}$  curbe spline sunt de fapt curbele spline de ordinul  $k$ :

$$N_{i,k} \in S_{k,\Delta} \text{ pentru } \forall i = 1, 2, \dots, n.$$

Deoarece numărul "n" cu dimensiunea lui

$$n = \dim \int_{k,\Delta},$$

atunci ne mai rămâne să arătăm doar linear independența bazei spațiului curbelor spline  $S_{k,\Delta}$ . Pentru a arăta aceasta ne folosim de **identitatea lui Marsen**:

**Marsen**:

Lemă: Pentru  $\forall x \in [a, b]$  și  $s \in P^d$  avem:

$$(x - s)^{k-1} = \sum_{i=1}^n \varphi_{i,k}(s) N_{ik}(x)$$

și unde:

$$\varphi_{i,k}(s) := \prod_{j=1}^{k-1} (\tau_{i+j} - s)$$

*Demonstrație.* Folosim metoda inducției, deoarece din definiția curbelor B-spline rezultă că acestea sunt recursive.

▪ Pentru  $k = 1$ , afirmația este evidentă deoarece:

$$1 = \sum_{i=1}^n N_{i,1}(x) \text{ pentru } \forall l \leq k - 1.$$

▪ Pentru  $k > 1$  presupunem că afirmația este adevărată pentru  $\forall l \leq k - 1$ .

Ne reamintim definiția polinoamelor (curbelor) de gradul  $n$  în  $P^d$  ca funcție de  $P$  sub forma (recurentă):

$$P : \mathbb{R} \rightarrow P^d, P(x) = \sum_{i=0}^n a_i x^i, \text{ pentru } a_0, a_1, \dots, a_n \in \mathbb{R}^d, a_n \neq 0.$$

Introducând această relație de recurență în partea dreaptă a lemei de mai sus obținem:

$$\begin{aligned} \sum_{i=1}^n \varphi_{i,k}(s) N_{i,k}(x) &= \sum_{i=2}^n \left( \frac{x - \tau_i}{\tau_{i+k-1} - \tau_i} \varphi_{i,k}(s) + \frac{\tau_{i+k-1} - x}{\tau_{i+k-1} - \tau_i} \varphi_{i-1,k}(s) \right) N_{i,k-1}(s) \\ &= \sum_{i=2}^n \prod_{j=1}^{k-2} (\tau_{i+j} - s) \left[ \frac{x - \tau_i}{\tau_{i+k-1} - \tau_i} (\tau_{i+k-1} - s) + \frac{\tau_{i+k-1} - x}{\tau_{i+k-1} - \tau_i} (\tau_i - s) N_{i,k-1}(x) \right] = \\ &= (x - s) \sum_{i=2}^n \varphi_{i,k-1}(s) N_{i,k-1}(x) = (x - s) (x - s)^{k-2} = (x - s)^{k-1}, \end{aligned}$$

expresie care este interpolarea liniară a lui  $(x - s)$ , adică chiar însăși  $(x - s)$ .

Corolar. Spațiul  $P_{k-1}[a, b]$  al polinoamelor de grad  $\leq k - 1$  pe  $[a, b]$  este conținut în spațiul curbelor spline de ordinul  $k$ .

$$P_{k-1}[a, b] \subset S_{n,k} \text{ unde: } S_{n,k} = (N_{1,k}, N_{2,k}, \dots, N_{n,k}).$$

În particular:

$$1 = \sum_{i=1}^n N_{i,k}(x), \text{ pentru } \forall x \in [a, b]$$

și ca urmare curbele B-spline însumate sunt egale cu 1 pe  $[a, b]$ .

*Demonstrație.* Pentru a "l" derivată a funcției  $f(s) := (x - s)^{k-1}$  din **identitatea lui Marsen**, rezultă:

$$f^{(l)}(0) = (k - 1) \dots (k - l) (-1)^l x^{k-l-1} = \sum_{i=1}^n \varphi_{i,k}^{(l)}(0) N_{i,k}(x)$$

și deci pentru:  $m = k - l - 1$ , obținem:

$$x^m = \frac{(-1)^{k-m-1}}{(k-1) \dots (m+1)} \sum_{i=1}^n \varphi_{i,k}^{(k-m-1)}(0) N_{i,k}(x).$$

Derivata lui  $\Phi_{i,k}$  de ordinul  $(k-1)$  satisface relația:

$$\Phi_{i,k}^{(k-1)}(s) = \left[ \prod_{j=1}^{k-1} (\tau_{i+j} - s) \right]^{(k-1)} = [(-1)^{k-1} s^{k-1} + \dots]^{k-1} = (-1)^{k-1} (k-1)!$$

ceea ce demonstrează a doua propoziție a lemei de mai sus.

După toate aceste pregătiri putem acum demonstra liniar independența polinoamelor (curbelor) B-spline și anume ca ele sunt "local" independente, așa cum arată teorema de mai jos:

**Teoremă.** Polinoamele (curbele) B-spline  $N_{i,k}(x)$  sunt "local" independente dacă:

$$\sum_{i=1}^n c_i N_{i,k}(x) = 0 \text{ pentru } \forall x \in (c, d) \subset [a, b] \text{ și } c, d \cap [\tau_i, \tau_{i+k}] = \emptyset$$

atunci  $c_i = 0$ .

*Demonstrație.* Presupunem că intervalul deschis  $(c, d)$  nu conține nici unul din punctele (nodurile)  $x_i$  [dacă le-ar conține, vom descompune intervalul deschis  $(c, d)$  în subintervale].

Conform corolarului de mai sus, fiecare polinom de grad  $\leq k-1$  din intervalul deschis  $(c, d)$  poate fi reprezentat de polinoamele (curbele) spline  $N_{i,k}(x)$ . Rezultă că ele sunt **liniar independente**.

Rezumând cele de mai sus, am arătat că polinoamele (curbele) B-spline  $N_{i,k}(x)$  de ordinul  $k$  referitoare secvențelor punctelor (nodurilor)  $T = \{\tau_j\}_{j=1,2,\dots,n+k}$  formează o bază **liniar independentă**  $BB := \{N_{1,k}, N_{2,k}, \dots, N_{n,k}\}$  a spațiului polinoamelor (curbelor) spline  $S_{k,\Delta}$ , care sunt local liniar independente formând totodată o partiție a vectorului unitar.

Rezultă că fiecare polinom (curbă) spline  $s \in S_{k,\Delta}$  este o reprezentare unică ca o combinație liniară de forma:

$$s = \sum_{i=1}^n d_i N_{i,k}(x),$$

unde coeficienții  $d_i$  se numesc nodurile (punctele)  $s$  ale lui **de Boor**. Valorile funcțiilor  $s(x)$  sunt deci combinații convexe ale funcțiilor  $d_i$  ale lui **de Boor**.

Pentru a le calcula putem folosi definiția recursivă a polinoamelor (curbelor) B-spline  $N_{i,k}(x)$  și derivatele relației de recurență pentru combinația liniară.

Remarcă. Folosind **identitatea lui Marsen** se poate obține explicit baza duală  $\mathcal{B}$ :

$$\mathcal{B} := \{v_1, v_2, \dots, v_n\} \text{ a polinoamelor (curbelor) B-spline de bază duală } \mathcal{B} \text{ și}$$

$$v_j : S_{k,\Delta} \rightarrow \mathbb{R}^d \text{ liniar cu } v_j(N_{i,k}) = \delta_{i,j}.$$

Mai mult se poate arăta că  $\exists$  o constantă  $\mathcal{D}_k$  care depinde doar de ordinul  $k$ , astfel încât:

$$\mathcal{D}_k \max_{j=1,2,\dots,n} |d_j| \leq \left\| \sum_{j=1}^n d_j N_{j,k}(x) \right\|_{\infty} \leq \max_{j=1,2,\dots,n} |d_j|,$$

unde a doua inegalitate rezultă din faptul că polinoamele (curbele) B-spline formează vectorul unitate. Ca urmare, valorile polinoamelor (curbelor) B-spline sunt:

$$s = \sum_{i=1}^n d_i N_{i,k}(x)$$

și unde coeficienții lor pot fi estimați.

### 5.7.2. Calculul polinoamelor (curbelor) B-spline folosind metoda interpolării.

Fie dată funcția  $f$  și intervalele:  $\Delta = \{x_0, x_1, \dots, x_{l+1}\}$  astfel încât :

$$a = x_0 < x_1 < \dots < x_k < x_{l+1} = b.$$

În cazul **liniar**  $k = 2$ , numărul  $(l + 2)$  al nodurilor (punctelor) coincide cu dimensiunea spațiului  $n = \dim S_{2,\Delta} = l + k$ . Curbele liniar independente B-spline  $N_{i,2}$  corespunzătoare secvenței extinse de noduri:

$$T := \{\tau_1 = \tau_2 < \dots < \tau_{n+2} = \tau_{n+1}\} \text{ cu } \tau_j = \tau_{j-2} \text{ pentru } j = 2, 3, \dots, n,$$

satisfac relația:  $N_{i,2}(x_j) = \delta_{j+1,i}$ .

Deci polinoamele B - splin  $I_2 f \in S_{2,\Delta}$ , formate din părți care interpoalează  $f$  sunt unic determinate de:

$$I_2 f = \sum_{i=1}^n f(x_{i-1}) N_{i,2}(x),$$

**Cazul**  $k = 4$  corespunde polinoamelor (curbelor) B-spline cubice și care sunt preferate în cazul diverselor aplicații. În acest caz, dimensiunea spațiului  $n = \dim S_{4,\Delta}$ , iar numărul de noduri este  $= l + k - l - 2 = 2$ .

Dacă se pune problema construirii polinoamelor (curbelor) spline se va alege o variantă cât mai "adaptabilă", cu o curbura cât mai apropiată de funcția dată. Pentru o curbă  $y$ :

$y \in C^2[a, b]$  și  $x \in [a, b]$ , curbura este dată de relația:

$$k(x) := \frac{y''(x)}{[1 + y'(x)^2]^{\frac{3}{2}}}.$$

Valoarea absolută a curburii este de fapt  $\frac{1}{r}$ , unde  $r$  este raza cercului în punctul de curbura  $(x, y(x))$ . Ca urmare curbura este zero dacă și numai dacă cercul are raza  $r \rightarrow \infty$  și deci curba este lineară.

Pentru a simplifica formula de mai sus considerăm o aproximație acceptabilă:

$$k(x) := \frac{y''(x)}{(1 + y'(x)^2)^{\frac{3}{2}}} \approx y''(x)$$

și ca atare măsura curburii întregii curbe este dată de norma:

$$\|y''\|_2 = \left[ \int_a^b y''(x)^2 dx \right]^{\frac{1}{2}}.$$

De remarcă că polinoamele (curbele) spline de interpolare minimizează această normă.

**Teoremă.** Fie  $s$  curba splină de interpolare în punctele (nodurile):  $a = x_0 < x_1 < \dots < x_k \dots < x_{l+1} = b$  și fie  $y \in C^2[a, b]$  o funcție care interpoalează funcția  $f$ , astfel încât :

$$[s(x)''(y(x)' - s(x)')] \Big|_{x=a}^b = 0$$

atunci:

$$\|s''\|_2 \leq \|y''\|_2,$$

**Demonstrație.** Înlocuind  $y'' = s'' + (y'' - s'')$  în partea dreaptă a relației de mai sus obținem:

$$\begin{aligned} \int_a^b (y'')^2 dx &= \int_a^b (s'')^2 dx = 2 \int_a^b s''(y'' - s'') dx + \int_a^b (y'' - s'')^2 dx \\ &\geq \int_a^b (s'')^2 dx. \end{aligned}$$

Al doilea termen devine zero prin integrare deoarece:

$$\int_a^b s''(y'' - s'') dx = [s''(y' - s')] \Big|_a^b - \int_a^b s'''(y' - s') dt,$$

unde  $s'''$  este în general discontinuu în nodurile:  $x_1, x_2, \dots, x_{n+1}$  și constant, iar  $s'''(x) = s_i'''(x) = d_i$ , pentru  $x \in (x_i, x_{i+1})$  în interiorul subintervalului ale lui  $s_i$  și care sunt polinoame (curbe) cubice.

Deci:

$$\begin{aligned} \int_a^b s''(y'' - s'') dx &= - \sum_{i=1}^n \int_{x_{i-1}}^{x_i} d_i (y' - s'_i) dx = - \sum_{i=1}^n d_i \int_{x_{i-1}}^{x_i} (y' - s'_i) dx = \\ &= - \sum_{i=1}^n d_i [(y(x_i) - s(x_i)) - (y(x_{i-1}) - s(x_{i-1}))] = 0 - 0 = 0 \end{aligned}$$

**Corolar.** În plus față de condițiile de interpolare:  $s(x_i) = f(x_i)$ , presupunem că polinoamele (curbele) spline cubice  $s \in S_{4,\Delta}$  satisfac următoarele condiții de frontieră (margine):

- I.  $s'(a) = f'(a)$  și  $s'(b) = f'(b)$
- II.  $s''(a) = s''(b) = 0$
- III.  $s'(a) = s'(b)$  și  $s''(a) = s''(b)$ , dacă  $f$  este periodic având perioada  $(b - a)$ ,

atunci există o soluție unică  $s \in S_{4,\Delta}$  care satisface condițiile de frontieră (margine), iar o funcție arbitrară de interpolare  $y \in C^2[a, b]$  care satisface condițiile de frontieră (margine) satisface și relația:

$$\|s''\|_2 \leq \|y''\|_2.$$

**Demonstrație.** Prin ipoteză polinoamele considerate sunt liniare în  $s$  și numărul lor de condiție coincide cu dimensiunea  $n = l + 4$  al spațiului polinoamelor  $B'$ - spline  $S_{4,\Delta}$ . Este suficient în a arata că soluția trivială  $s \equiv 0$  este singura soluție pentru funcția nulă  $f \equiv 0$ .

Deoarece  $y \equiv 0$ , aceasta satisface toate condițiile impuse de teorema precedentă, ceea ce implică:

$$\|s''\|_2 \leq \|y''\|_2 = 0$$

Deoarece  $s''$  este continuu,  $s''' \equiv 0$ . Deci  $s$  este continuu diferențiabil și fiind definită prin părți, ca funcții liniare ce au  $s(x_i) = 0$ , rezultă că  $f$  este funcția nulă.

Cele trei propoziții I., II., III., ale corolarului de mai sus definesc proprietățile polinoamelor (funcțiilor, curbilor) B-spline, adică polinomul cubic B-spline de interpolare este complet și respectiv periodic.

Interpretarea fizică a acestor propoziții a făcut ca aceste proprietăți să fie asemănate "florarului"<sup>5</sup>. Dacă  $y(x)$  descrie poziția "florarului", atunci expresia:

$$E = \int_a^b \left[ \frac{y''(x)}{(1 + y'(x)^2)^{\frac{3}{2}}} \right]^2 dx$$

<sup>5</sup> spline (eng.)

măsoară deformația "florarului". Aplicând **principiul lui Hamilton** pentru a minimiza poziția "florarului", atunci deformațiile ce apar față de curba inițială sunt approximate de formula:

$$E \approx \int_a^b (y''(x))^2 dx = \|y''\|^2.$$

Deci polinomul de interpolare cubic B-spline  $s \in S_{4,\Delta}$  descrie aproximativ poziția "florarului" care trebuie să treacă prin punctele (nodurile)  $x_i$ . Pentru o mai mare precizie, s-au impus condiții adiționale la nodurile marginale și care corespund situației când acestea sunt cuprinse în intervalul  $[a, b]$ .

În mod asemănător, s-au impus condițiile de continuitate, când polinoamele (curbele) au fost definite prin părți ale căror margini s-au impus a fi continue. Adică funcția  $I_4: f \in S_{4,\Delta}$  numită polinomul (curba) spline ce interpolează complet funcția de ordinul 4;  $f \in C^4[a, b]$  satisface relația:

$$h := \max_{i=0,1,\dots,l} |x_{i+1} - x_i|$$

și care este cea mai mare distanță între punctele (nodurile)  $x_i$ . În plus:

$$\|f - I_4 f\|_\infty \leq \frac{5}{384} h^4 \|f^{(4)}\|_\infty$$

și care ne arată că această estimare este independentă de poziția punctelor (nodurilor)  $x_i$ , formulă datorată lui **Hull și Meyer** (Hall, 1976).

Condiția de continuitate a lui  $s$  implică faptul că:

$$b_{3i} = \frac{h_i}{h_{i-1} + h_i} b_{3i-1} + \frac{h_{i-1}}{h_{i-1} + h_i} b_{3i+1}$$

și care sunt **puncte (noduri) de Boor** astfel încât:

$$b_{3i+2} = -\frac{h_i}{h_{i-1}} d_i + \frac{h_{i-1} + h_i}{h_{i-1}} b_{3i+1}$$

$$b_{3i-2} = \frac{h_{i-1} + h_i}{h_i} b_{3i-1} - \frac{h_{i-1}}{h_i} d_i.$$

Grafic, acesta înseamnă că segmentele de dreaptă  $(b_{3i-2}, d_i)$  și  $(d_i, b_{3i+2})$  sunt divizate cu rația  $\frac{h_{i-1}}{h_i}$  de către **punctele Bezier**  $b_{3i-1}$  și respectiv  $b_{3i+1}$ . Or aceasta implică faptul că :

$$b_{3i+1} = \frac{h_i + h_{i+1}}{h_{i-1} + h_i + h_{i+1}} d_i + \frac{h_{i-1}}{h_{i-1} + h_i + h_{i+1}} d_{i+1}$$

$$b_{3i-1} = \frac{h_{i-2} + h_{i-1}}{h_{i-2} + h_{i-1} + h_i} d_i + \frac{h_i}{h_{i-2} + h_{i-1} + h_i} d_{i-1}.$$

Dacă definim condițiile de frontieră:

$$h_{-1} := h_{l+1} := 0$$

și

$$d_0 := b_1, d_{-1} := b_0, d_{l+1} := b_{3l+2}, d_{l+2} := b_{3(l+1)}$$

atunci coeficienții  $b_{3i+j}$  a lui **Bezier** și deci întreaga curbă spline este complet determinată de  $l + 4$  puncte de la  $d_{-1}$  la  $d_{l+2}$  și de ecuațiile de mai sus.

Adăugând condițiile de interpolare

$$f_i = s(x_i) = b_{3i}, \text{ pentru } i = 0, 1, 2, \dots, (l + 1)$$

și condițiile de frontieră

$$d_{-1} := f_0 \text{ și } d_{l+2} = f_{l+1},$$

punctele  $d_0, d_1, \dots, d_{l+1}$  ale poligonului de interpolare trebuie să satisfacă următorul sistem de ecuații:



$$\begin{bmatrix} 1 & \cdot & \cdot & \cdot & \cdot & \cdot \\ \alpha_1 & \beta_1 & \gamma_1 & \cdot & \cdot & \cdot \\ & \cdot & \cdot & \cdot & \cdot & \cdot \\ & & & \alpha_l & \beta_l & \gamma_l \\ & & & \cdot & \cdot & 1 \end{bmatrix} \begin{bmatrix} d_0 \\ d_1 \\ \cdot \\ d_l \\ d_{l+1} \end{bmatrix} = \begin{bmatrix} b_1 \\ (h_0 - h_1)f_1 \\ (h_1 - h_2)f_2 \\ \cdot \\ (h_{l-1} - h_l)f_l \\ b_{3l+2} \end{bmatrix}$$

cu soluțiile:

$$\alpha_i := \frac{h_i^2}{h_{i-2} + h_{i-1} + h_i},$$

$$\beta_i := \frac{h_i(h_{i-2} + h_{i-1})}{h_{i-2} + h_{i-1} + h_i} + \frac{h_{i-1}(h_i + h_{i+1})}{h_{i-1} + h_i + h_{i+1}},$$

$$\gamma_i := \frac{h_{i-1}^2}{h_{i-1} + h_i + h_{i+1}};$$

mai rămânând de determinat **punctele (nodurile) Bezier**  $b_1$  și  $b_{3l+2}$  din condițiile de frontieră.

Prin interpolarea polinoamelor (curbelor) splin (I) obținem:

$$f'_0 = s'(a) = \frac{3}{h_0} (b_1 - b_0) \text{ și } f'_{l+1} = s'(b) = \frac{3}{h_l} (b_{3(l+1)} - b_{3l+2})$$

unde

$$b_1 = \frac{h_0}{3} f'_0 + f_0 \text{ și } b_{3l+2} = -\frac{h_l}{3} f'_{l+1} + f_{l+1}.$$

Pentru condiții de frontieră naturale (II) trebuie să alegem  $b_1$  și  $b_{3l+2}$  astfel încât

$$s''(a) = s''(b) = 0$$

și care sunt satisfăcute pentru

$$b_1 := b_0 \text{ și } b_{3l+2} := b_{3(l+1)} = f_{l+1},$$

ceea ce ne conduce la două remarci finale.

**Remarcă I.** Pentru un caroiaj echidistant, de exemplu  $h_i = h$  pentru  $\forall a_i$ , avem:

$$\alpha_i = \gamma_i = \frac{h}{3} \text{ și } \beta_i = \frac{4h}{3} \text{ pentru } i = 2, 3, \dots, l-1.$$

În acest caz matricea este strict diagonală și poate fi rezolvată ușor de exemplu prin eliminare gaussiană și fără a fi necesară schimbarea coloanelor.

**Remarcă II. Punctele de Boor**  $d_i$  sunt de fapt coeficienții polinomului de interpolare B-spline cubice.

$$s = \sum_{i=1}^{l+4} d_{i-2} N_{i_4},$$

unde  $N_{i_4}$  sunt curbele B-spline pentru secvența de puncte (noduri) extinsă  $T = \{\tau_j\}$ .

## 5.8. Suprafețe spațiale și volume utilizate în modelarea geometrică

În capitolele precedente s-au prezentat tehnici și metode de utilizare a **polinoamelor (curbelor)** în modelarea geometrică.

Pasul următor îl reprezintă studiul **suprafețelor spațiale și a volumelor** utilizate în modelarea geometrică și care are o importanță deosebită în modelare, deoarece orice obiect în spațiu poate fi reprezentat și construit prin suprafețele sale spațiale ce îl definesc.

Metoda de abordare a acestei probleme constă în a extinde în spațiu tehnicile și metodele utilizate în cadrul studiului polinoamelor (curbelor).

În practică se folosesc îndeosebi suprafețele reprezentate:

- explicit sub forma  $z = f(x, y)$  sau
- implicit sub forma  $F(x, y, z) = 0$ .

Formele parametrice se folosesc îndeosebi la suprafețe sau curbe pe suprafețe definite prin puncte de control (noduri).

Pentru a generaliza tehnicile și metodele folosite pentru polinoame (curbe) se pornește de la definiția unui polinom (curbă):

$$X(u) = \sum_{i=0}^n C_i F_i(u) \text{ definit în } \mathbb{R}^2 \text{ sau } \mathbb{R}^3$$

și unde:  $F_i(u)$  sunt funcții de bază similare celor studiate anterior.

Dacă deplasăm aceste funcții în spațiu, presupunând că  $X(u)$  permite deformații, atunci această deplasare poate fi descrisă introducând un nou parametru  $v$  sub forma:

$$C_i(v) = \sum_{k=0}^m A_{ik} G_k(v)$$

Rezultă suprafața:

$$X(u, v) = \sum_{i=0}^n \sum_{k=0}^m A_{ik} F_i(u) G_k(v)$$

și care este o suprafață bipolinomială definită de cele două polinoame  $F_i(u)$  și  $G_k(v)$ , funcție de doi parametri  $(u, v)$  (în general un domeniu rectangular) și unde  $a \leq u \leq b, c \leq v \leq d$ . Suprafața bipolinomială mai poartă denumirea de suprafață produs – tensională.<sup>6</sup>

Dacă funcțiile de definiție (de bază)  $F_i(u)$  și  $G_k(v)$  se aleg ca monoame, atunci suprafața bipolinomială are forma:

$$X(u, v) = \sum_{i=0}^n \sum_{k=0}^m A_{ik} u^i v^k$$

sau matricial:

$$X(u, v) = (F_0(u), F_1(u) \dots, F_n(u)) \begin{pmatrix} A_{00} & \dots & A_{0m} \\ \cdot & \dots & \cdot \\ A_{n0} & \dots & A_{nm} \end{pmatrix} \begin{pmatrix} G_0(v) \\ \dots \\ G_m(v) \end{pmatrix}$$

Problema interpolării (cu condiția satisfacerii condițiilor de existență):

$$X(u_j, v_l) = P_{jl}, \text{ unde } j = 0(1)n \text{ și } l = 0(1)m$$

conduce la un sistem de ecuații matriciale:

$$\underline{X} = \underline{F} \underline{A} \underline{G}$$

și unde:

$$\underline{X} = \begin{pmatrix} P_{00} & \dots & P_{0m} \\ \cdot & \dots & \cdot \\ P_{n0} & \dots & P_{nm} \end{pmatrix}; \underline{A} = \begin{pmatrix} A_{00} & \dots & A_{0m} \\ \cdot & \dots & \cdot \\ A_{n0} & \dots & A_{nm} \end{pmatrix}$$

<sup>6</sup> Tensor – product surface (engl.)

$$\underline{F} = \begin{pmatrix} F_0(u_0) & \dots & F_n(u_0) \\ \vdots & \dots & \vdots \\ F_0(u_n) & \dots & F_n(u_n) \end{pmatrix}; \underline{G} = \begin{pmatrix} G_0(v_0) & \dots & G_m(v_m) \\ \vdots & \dots & \vdots \\ G_0(v_m) & \dots & G_m(v_m) \end{pmatrix}.$$

Rezolvând sistemul de ecuații matriciale rezultă:

$$\underline{A} = \underline{F}^{-1} \underline{X} \underline{G}^{-1}$$

Dacă alegem:  $\underline{D} = \underline{A} \underline{G}$  atunci:  $\underline{X} = \underline{F} \underline{D}$ . Aceasta ne permite să rezolvăm problema interpolării aplicând metodele prezentate în cadrul polinoamelor (curbelor):

⇒ interpolând în direcția  $u$  pentru toți  $k$  și apoi

⇒ interpolând în direcția  $v$  pentru toți  $i$ .

Începând cu punctele date  $P_{jl}$  și valorile asociate parametrilor  $(u_j, v_l)$ , primul pas constă în a determina valorile intermediare  $d_i(v_l)$  și care satisfac ecuația matricială:  $\underline{F} \underline{D} = \underline{X}$  sau sub formă extinsă:

$$\begin{pmatrix} F_0(u_0) & \dots & F_n(u_0) \\ \vdots & \dots & \vdots \\ F_0(u_n) & \dots & F_n(u_n) \end{pmatrix} \begin{pmatrix} d_0(v_0) & \dots & d_n(v_m) \\ \vdots & \dots & \vdots \\ d_n(v_0) & \dots & d_n(v_m) \end{pmatrix} = \begin{pmatrix} P_{00} & \dots & P_{0m} \\ \vdots & \dots & \vdots \\ P_{n0} & \dots & P_{nm} \end{pmatrix}.$$

Pasul următor constă în a calcula coeficienții  $A_{ik}$  în funcție de valorile intermediare  $d_i(v_l)$  din ecuația matricială:

$$\underline{G}^T \underline{A}^T = \underline{D}^T$$

sau:

$$\begin{pmatrix} G_0(v_0) & \dots & G_m(v_m) \\ \vdots & \dots & \vdots \\ G_m(v_0) & \dots & G_m(v_m) \end{pmatrix} \begin{pmatrix} A_{00} & \dots & A_{0m} \\ \vdots & \dots & \vdots \\ A_{n0} & \dots & A_{nm} \end{pmatrix} = \begin{pmatrix} d_0(v_0) & \dots & d_n(v_0) \\ \vdots & \dots & \vdots \\ d_n(v_m) & \dots & d_n(v_m) \end{pmatrix}$$

și care conduce la un sistem de  $(n+1)(m+1) \cdot (n+1)(m+1)$  ecuații, ceea ce ne permite să reducem problema la a rezolva  $(m+1)$  sisteme de ecuații a matricei  $\underline{F}$  cu coeficienți ficși și de dimensiune  $(n+1) \cdot (n+1)$ , urmată de rezolvarea a  $(n+1)$  ecuații a matricei  $\underline{G}$  de dimensiune  $(m+1) \cdot (m+1)$ .

## 5.9. Suprafețe de interpolare folosite la modelarea geometrică

Modelarea geometrică a curbelor și a suprafețelor în spațiu necesită utilizarea unor tehnici și metode de interpolare și / sau aproximare adecvate acestei probleme. Cunoașterea lor permite adaptarea tehnicilor de modelare în funcție de modelul propus a se realiza, ținând cont că fiecare metodă își are domeniul său de aplicabilitate cu avantaje și dezavantaje specifice. În cele ce urmează se vor studia unele dintre cele mai folosite suprafețe de interpolare.

### 5.9.1. Suprafețe spline bicubice

Considerând  $P_{ij}$  puncte de control (noduri) în număr de:

$$(n+1) \cdot (m+1) \Rightarrow (u_j, v_l)$$

ca valori ale parametrilor asociați care formează un caroiaj rectangular în  $(u, v)$  parametrii plani, se cere să se găsească o suprafață spline bicubică a căror bi-polinoame sunt date de relația:

$$X_{i,j}(u, v) = \sum_{k=0}^3 \sum_{l=0}^3 A_{ijkl} (u - u_i)^k (v - v_i)^l,$$

unde  $i = 0(1) \dots (n-1)$  și  $j = 0(1) \dots (m-1)$ .

Pentru  $(i, j)$  fix, ecuația de mai sus reprezintă un carioaj <sup>7</sup> bicubic și care interpolează punctele:

$$\{P_{i,j}, P_{i+1,j}, P_{i+1,j+1}, P_{i,j+1}\};$$

$$X_{ij}(u_i, v_j) = P_{ij}$$

și unde derivatele parțiale:

$$\frac{\partial x_{ij}}{\partial u}, \frac{\partial x_{ij}}{\partial v}, \frac{\partial^2 x_{ij}}{\partial u \partial v}$$

sunt continue.

Sub formă matricială obținem:

$$\underline{X} = \underline{U}^T \underline{A} \underline{V},$$

sau

$$X_{i,j}(u, v) = u^T(u, u_i) A_{ij} V(v_i, v_j)$$

unde:

$$A_{ij} = \begin{bmatrix} A_{ij00} & A_{ij01} & A_{ij02} & A_{ij03} \\ A_{ij10} & A_{ij11} & A_{ij12} & A_{ij13} \\ A_{ij20} & A_{ij21} & A_{ij22} & A_{ij23} \\ A_{ij30} & A_{ij31} & A_{ij32} & A_{ij33} \end{bmatrix}$$

și

$$U(u, u_i) = [1, (u - u_i), (u - u_i)^2, (u - u_i)^3]^T$$

$$V(v, v_i) = [1, (v - v_j), (v - v_j)^2, (v - v_j)^3]^T$$

Pentru a găsi coeficienții  $A_{ijkl}$  introducem notația:

$$p_{ij} := \frac{\partial}{\partial u} X_{ij}(u_i, v_j),$$

$$q_{ij} := \frac{\partial}{\partial v} X_{ij}(u_i, v_j),$$

$$r_{ij} := \frac{\partial^2}{\partial u \partial v} X_{ij}(u_i, v_j).$$

Înlocuind în expresia lui  $X_{ij}(u_i, v_j)$  de mai sus obținem:

$$X_{ij}(u_i, v_j) = P_{ij} = A_{ij00},$$

$$\frac{\partial}{\partial u} X_{ij}(u_i, v_j) = p_{ij} = A_{ij10},$$

$$\frac{\partial}{\partial v} X_{ij}(u_i, v_j) = q_{ij} = A_{ij01},$$

$$\frac{\partial^2}{\partial u \partial v} X_{ij}(u_i, v_j) = r_{ij} = A_{ij11}.$$

Fie  $\Delta u_i := u_{i+1} - u_i$  și  $\Delta v_j := v_{j+1} - v_j$ ; deci:

$$X_{ij}(u_{i+1}, v_j) = P_{i+1,j} = \left[ ((1, \Delta u_i, (\Delta u_i)^2, (\Delta u_i)^3) A_{ij}) \begin{pmatrix} 1 \\ 0 \\ 0 \\ 0 \end{pmatrix} \right],$$

$$\frac{\partial}{\partial u} X_{ij}(u_{i+1}, v_j) = p_{i+1,j} \left[ ((0, 1, 2 \Delta u_i, 3 (\Delta u_i)^2) A_{ij}) \begin{pmatrix} 1 \\ 0 \\ 0 \\ 0 \end{pmatrix} \right],$$

$$\frac{\partial}{\partial v} X_{ij}(u_{i+1}, v_{j+1}) = q_{i,j+1} (1, 0, 0, 0) A_{ij} \begin{pmatrix} 0 \\ 1 \\ 2 \Delta v_j \\ 3 (\Delta v_j)^2 \end{pmatrix},$$

<sup>7</sup> Patch (in engl.)

Fie

$$\underline{W}_{ij} := \begin{pmatrix} p_{i,j} & q_{i,j} & p_{i,j+1} & q_{i,j+1} \\ p_{i,j} & r_{i,j} & p_{i,i+1} & r_{i,j+1} \\ p_{i+1,j} & q_{i+1,j} & p_{i+1,j+1} & q_{i+1,j+1} \\ p_{i+1,j} & r_{i+1,j} & p_{i+1,j+1} & r_{i+1,j+1} \end{pmatrix},$$

$$\underline{G}(t_i) := \begin{pmatrix} 1 & 0 & 0 & 0 \\ 0 & 1 & 0 & 0 \\ 1 & \Delta t_i & (\Delta t_i)^2 & (\Delta t_i)^3 \\ 0 & 1 & 2 \Delta t_i & 3 (\Delta t_i)^2 \end{pmatrix},$$

$$\underline{G}^{-1}(t_i) := \begin{pmatrix} 1 & 0 & 0 & 0 \\ 0 & 1 & 0 & 0 \\ -\frac{3}{(\Delta t_i)^2} & -\frac{2}{(\Delta t_i)} & \frac{3}{(\Delta t_i)^2} & -\frac{1}{(\Delta t_i)} \\ \frac{2}{(\Delta t_i)^3} & \frac{1}{(\Delta t_i)^2} & -\frac{2}{(\Delta t_i)^3} & \frac{1}{(\Delta t_i)^2} \end{pmatrix}$$

și

$$\underline{W}_{ij} = \underline{G}(u_i) \underline{A}_{ij} \underline{G}^T(v_j)$$

și deci:

$$\underline{A}_{ij} = \underline{G}_{ij}^{-1}(u_i) \underline{W}_{ij} [\underline{G}^T(v_j)]^{-1}.$$

Având matricea coeficient  $\underline{W}_{ij}$  se poate calcula matricea coeficienților bi-polinoamelor spline  $\underline{A}_{ij}$  corespunzătoare carcoajului elementului  $(i, j)$ . Este necesară calcularea derivatelor  $p_{ij}$ ,  $q_{ij}$ ,  $r_{ij}$  din  $\underline{W}_{ij}$ .

Presupunând că valorile parametrilor  $(u, v)$  determină un carcoaj rectangular, liniile definite prin  $u = u_j$  și  $v = v_j$  sunt linii parametrice ale suprafeței și anume polinoame (curbe) spline cubice (în acest caz) și care ne conduce la ideea că derivatele  $p_{ij}$ ,  $q_{ij}$ ,  $r_{ij}$  din  $\underline{W}_{ij}$  pot fi obținute folosind relațiile de recurență aplicate acestor polinoame.

În plus, din condițiile de frontieră (marginii) rezultă următoarele valori:

- $p_{ij}$  pentru  $i = 0, (1), \dots, n, j = 0, (1), \dots, m$ ,
- $q_{ij}$  pentru  $i = 0, (1), \dots, n, j = 0, (1), \dots, m$ ,
- $r_{ij}$  pentru  $i = 0, (1), \dots, n, j = 0, (1), \dots, m$ .

O modalitate de a găsi  $p, q$  și  $r$  constă în a le estima folosind punctele de control (nodurile) date, de exemplu:

⇒ Se pot calcula derivatele în punctele de frontieră (marginie):

- Pentru fiecare  $j = 0, (1), \dots, m$ , a estima  $p_{0,j}$  constă în a deriva în raport cu  $u$  polinomul cubic ce interpolează punctele de control de frontieră (marginale)  $p_{i,j}$  cu indicii  $i = 0, \dots, n$ . Apoi se estimează  $p_{n,j}$  folosind punctele cu indicii  $i = n - 3, (1), n$ .
- Pentru fiecare  $i = 0, \dots, n$ , a estima  $q_{i,0}$  constă în a deriva în raport cu  $v$  polinomul cubic ce interpolează punctele de control de frontieră (marginale)  $p_{i,j}$  cu indicii  $j = 0, 1, 2, \dots, m$ . Apoi se estimează  $q_{i,m}$  folosind punctele cu indicii  $j = m - 3, (1), m$ .

⇒ Pentru fiecare  $j = 0, (1), \dots, m$  se calculează  $p_{i,j}$  pentru indicii

$$\begin{aligned} & i = 0, 1, \dots, (n-1) \text{ rezolvând sistemul:} \\ & \Delta u_i p_{i-1,j} + 2 p_{i,j} (\Delta u_i + \Delta u_{i-1}) + \Delta u_{i-1} p_{i+1,j} = \\ & = 3 \frac{\Delta u_{i-1}}{\Delta u_i} (p_{i+1,j} - p_{i,j}) - 3 \frac{\Delta u_i}{\Delta u_{i-1}} (p_{i-1,j} - p_{i,j}). \end{aligned}$$

- Din teoria polinoamelor (curbelor) spline a rezultat că relația de mai sus definește un sistem linear independent având o soluție unică atâta timp cât se dau valorile de frontieră (marginale)  $p_{i,j}$  pentru  $i = 0$  și  $j = 0, (1) \dots m$ .

⇒ Pentru fiecare  $i = 0, (1), \dots, n$  se calculează  $q_{i,j}$  pentru  $j = 1 (1), \dots, (m - 1)$  rezolvând sistemul:

$$\begin{aligned} \Delta v_j q_{i,j-1} + 2 q_{i,j} (\Delta v_j + \Delta v_{j-1}) + \Delta v_{j-1} q_{j,j+1} \\ = 3 \frac{\Delta v_{j-1}}{\Delta v_j} (p_{i,j+1} - p_{i,j}) - 3 \frac{\Delta v_j}{\Delta v_{j-1}} (p_{i,j-1} - p_{i,j}) \end{aligned}$$

și care definește un sistem linear independent având o soluție unică atâta timp cât sunt date valorile de frontieră  $p_{i,j}$  pentru  $j = 0, \dots, m$  și  $i = 0 (1), \dots, n$ .

⇒ Se calculează derivata secundă  $r_{i,j}$  în punctele de frontieră (marginale)  $i = 0$  și  $j = 0$  folosind polinoamele cubice spline. De exemplu, pentru a găsi  $r_{0,m}$  se poate obține polinomul (curba)  $Y_{q_{i,m}}(u)$  din interpolarea datelor  $q_{im}, i = 0, 1, 2, 3$ . Prin diferențierea acestui polinom în raport cu  $u$  se pot obține valorile lui  $u$  pentru  $u_0$  și pentru derivatele mixte  $r_{0,m}$ , unde unele  $q_{i,j}$  fiind deja derivate în raport cu  $v$ . Derivatele mixte în cele patru colțuri ale caroiajului de interpolare pot fi deasemenea estimate interpolând  $p_{i,j}$  cu ajutorul polinomului  $Y_{p_{i,j}}(v)$  și apoi diferențind în raport cu  $v$ . Este posibil să se obțină valori diferite, deoarece:

$$\frac{\partial}{\partial u} Y_{q_{i,m}}(u) \neq \frac{\partial}{\partial v} Y_{p_{i,j}}(v).$$

⇒ Pentru  $j = 0, \dots, m$  se calculează  $r_{i,j}$  pentru  $i = 1 (2), \dots, (n - 1)$ , rezolvând sistemul:

$$\begin{aligned} \Delta u_i r_{i-1,j} + 2 r_{i,j} (\Delta u_i + \Delta u_{i-1}) + \Delta u_{i-1} r_{i+1,j} = \\ = 3 \frac{\Delta u_{i-1}}{\Delta u_i} (q_{i+1,j} - q_{i,j}) - 3 \frac{\Delta u_i}{\Delta u_{i-1}} (q_{i-1,j} - q_{i,j}). \end{aligned}$$

Pentru  $j = 0$  dându-se valorile de frontieră (marginale)  $r_{i,0}$  pentru  $i = 0, 1, \dots, n$ , sistemul este linear independent cu soluții unice pentru  $r_{i,0}, i = 1 (1), \dots, n - 1$ . În mod similar se obține și pentru  $j = m$ .

⇒ Pentru  $i = 0 (1)$  se calculează  $r_{i,j}$  pentru  $j = 1 (2), \dots, (m - 1)$  rezolvând sistemul:

$$\begin{aligned} \Delta v_j r_{i,j} + 2 r_{i,j} (\Delta v_j + \Delta v_{j-1}) + \Delta v_{j-1} r_{i,j-1} = \\ = 3 \frac{\Delta v_{j-1}}{\Delta v_j} (p_{i,j+1} - p_{i,j}) + 3 \frac{\Delta v_j}{\Delta v_{j-1}} (p_{i,j-1} - p_{i,j}). \end{aligned}$$

Pentru fiecare  $i$ , dându-se valorile de frontieră (marginale)  $r_{i,j}$  pentru  $j = 0, 1, \dots, m$  obținute mai sus, sistemul este linear independent cu soluții unice, unde pentru  $r_{i,j}$  și pentru  $j = 0, 1, \dots, m$ .

Valorile găsite pentru  $p_{ij}, q_{ij}, r_{ij}$  se înlocuiesc în:

$$X_{i,j}(u, v) = \sum_{k=0}^3 \sum_{l=0}^3 A_{i,j,k,l} (u - u_i)^k (v - v_i)^l$$

obținându-se suprafețe de interpolare bicubice spline.

### 5.9.2. Suprafețe Bezier bicubice

Considerând **polinoamele (curbele) lui Bernstein** pe cele două direcții, parametrii  $u$  și  $v$ ,  $B_i^n(u)$  și  $B_k^m(v)$  ca funcții de bază, atunci **suprafețele Bezier** bicubice se definesc ca (Hoschek, 1989):

$$X(u, v) = \sum_{i=0}^n \sum_{k=0}^m b_{i,k} B_i^n(u) B_k^m(v)$$

și unde  $u, v \in [0, 1] \cdot [0, 1]$  sunt puncte de control (noduri); coeficienții  $b_{i,k}$  se numesc **puncte (noduri) Bezier**, care formează o **rețea Bezier**.

Secvența de succesiune a **punctelor Bezier**  $\{b_{i,k}\}$  corespunzătoare lui  $i$  și respectiv lui  $k$  formează **rețeaua lui Bezier**. Punctele:  $b_{0,0}, b_{n,0}, b_{0,m}, b_{n,m}$  sunt puncte de colț ale **suprafeței lui Bezier**, iar setul de puncte:  $\{b_{0,k}\}, \{b_{i,0}\}, \{b_{i,m}\}, \{b_{n,k}\}$  sunt **puncte Bezier** ale polinoamelor (curbelor) de margine ale **suprafeței Bezier**.

În plus punctele:

- $\{b_{0,0}, b_{1,0}, b_{0,1}\}$ , determină planul tangent în  $b_{0,0}$ ,
- $\{b_{u,0}, b_{n-1,0}, b_{n,1}\}$ , determină planul tangent în  $b_{u,0}$ ,
- $\{b_{0,m}, b_{1,m}, b_{0,m-1}\}$ , determină planul tangent în  $b_{0,m}$ ,
- $\{b_{nm}, b_{n-1,m}, b_{nm-1}\}$ , determină planul tangent în  $b_{nm}$ .

Referitor la formula de definire a **suprafețelor bipolinomiale Bezier** acestea pot fi definite vectorial (tensorial) sau în valori reale, caz în care valorile  $b_{i,k} \in \mathbb{R}$  se numesc **ordonate Bezier**. Înlocuind aceste valori în:

$$X(u, v) = \sum_{k=0}^3 \sum_{i=0}^3 A_{i,j,k,l} (u - u_i)^k (v - v_i)^l$$

se obține o suprafață definită în  $\mathbb{R}^3$  descriind o funcție definită pe caroiajul unitar.

Ca și în cazul polinoamelor (curbelor) Bezier, **ordonatele Bezier**  $b_{i,k}$  se vor asocia cu punctele (abscisele) având valorile parametrilor  $\left(\frac{i}{k}, \frac{k}{m}\right)$ .

În cazul definirii vectoriale a suprafețelor bipolinomiale Bezier pentru punctele:

$$b_{i,k} = \left(\frac{i}{k}, \frac{k}{m}\right),$$

**suprafețele Bezier** se obțin vectorial reprezentând vectorul  $X(u, v) = (x, y, X(u, v))$ , unde  $x = u$  și  $y = v$ .

Pentru  $u = u_0$  **suprafața Bezier** se reduce la un **polinom (curbă) Bezier** având **punctele Bezier definite** de:

$$b_k = \sum_{i=0}^n b_{i,k} B_i^n(u_0)$$

și înlocuind în:

$$X(u, v) = \sum_{i=0}^n \sum_{k=0}^m b_{i,k} B_i^n(u) B_k^m(v)$$

se obține:

$$X(u_0, v) = \sum_{k=0}^m b_k B_k^m(v)$$

Derivatele suprafeței **bipolinomiale Bezier**:

$$\frac{\partial^r}{\partial u^r} X(u, v) = \frac{n!}{(n-r)!} \sum_{i=0}^{n-r} \sum_{k=0}^m \Delta^{r,0} b_{i,k} B_i^{n-r}(u), B_k^m(v)$$

$$\frac{\partial^s}{\partial v^s} X(u, v) = \frac{m!}{(m-s)!} \sum_{i=0}^n \sum_{k=0}^{m-s} \Delta^{0,s} b_{i,k} B_i^n(u), B_k^{m-s}(v)$$

unde:

$$\Delta^{r,0} b_{i,k} = \Delta^{r-1,0} b_{i+1,k} - \Delta^{r-1,0} b_{i,k}$$

$$\Delta^{0,s} b_{i,k} = \Delta^{0,s-1} b_{i,k+1} - \Delta^{0,s-1} b_{i,k}$$

iar derivata mixtă este dată de :

$$\frac{\partial^{s+r}}{\partial u^r \partial v^s} X(u, v) = \frac{n!}{(n-r)!} \frac{m!}{(m-s)!} \sum_{i=0}^{n-r} \sum_{k=0}^{m-s} \Delta^{r,s} b_{i,k} B_i^{n-r}(u), B_k^{m-s}(v)$$

și unde:

$$\Delta^{r,s} b_{i,k} = \sum_{j=0}^r \sum_{l=0}^s (-1)^j (-1)^l \binom{r}{j} \binom{s}{l} b_{i+r-j, k+s+l}.$$

Derivata parțială de ordinul I perpendiculară în punctele de frontieră (margine)  $u = 0$  este:

$$X_u(0, v) = \frac{n}{\Delta u} \sum_{k=0}^m (b_{1,k} - b_{0,k}) B_k^m(v),$$

unde  $\Delta u$  este lungimea intervalului parametrului  $u$ .

Se poate observa din această formulă că derivata depinde doar de polinomul (curba) de frontieră (margine) și de polinomul (curba) imediat următoare, ceea ce confirmă afirmația de mai sus referitoare la derivatele de ordinul  $k$  ale unui **polinom (curbă) Bezier** în punctele de frontieră care depinde doar de acest punct și cel imediat următor.

Deasemenea, asemănător **poligoanelor (curbelor) Bezier** este posibil să se mărească gradul bipolinoamelor (bicubice) **suprafeței Bezier**, în care caz **rețeaua Bezier** conduce în acest caz la o **suprafață Bezier**. Mărind gradul lui  $n$  la  $(n+1)$  pe direcția lui  $u$  se obțin noi **puncte Bezier**:

$$b_{0,j}^* = b_{0,j},$$

$$b_{i,j}^* = b_{i,j} + \left(\frac{i}{n+1}\right) (b_{i-1,j} - b_{i,j}), i = 1, (2) \dots n,$$

$$b_{n+1,j}^* = b_{n,j}, \text{ pentru } j = 0, (1) \dots m.$$

În mod analog, mărind gradul lui  $m$  la  $m+1$  se obțin noi **puncte Bezier** pe direcția lui  $v$ .

### 5.9.3. Algoritmul lui de Casteljau în cazul suprafețelor Bezier

Se aplică în două faze:

- la început pentru  $v = v_0$  pentru a calcula **punctele Bezier**:

$$b_i = \sum_{k=0}^m b_{i,k} B_k^m(v_0), i = 0(1), \dots, n$$

- și apoi pentru  $u = u_0$ .

Se obține astfel suprafața:

$$X(u_0, v_0) = \sum_{i=0}^n b_i B_i^n(u_0) = \sum_{i=0}^n \sum_{k=0}^m b_{i,k} B_i^n(u_0), B_k^m(v_0)$$



Ca în cazul **polinoamelor (curbelor) Bezier** direcțiile pentru derivatele parțiale  $x_u$  și respectiv  $x_v$  sunt date de penultimul element al **algoritmului lui de Casteljaou**. Bineînțeles se poate alege întâi  $u$  și apoi  $v$  sau ambii simultan.

#### 5.9.4. Conexitatea suprafețelor Bezier

Un bipolinom spin Bezier de gradul  $(n, m)$  determină o **suprafață conexă Bezier**, dacă colțurile  $(b_{i,j}, b_{i,j+1})$  și  $(b_{i,j}, b_{j+1,0})$  ale **rețelei Bezier** sunt colțuri ale **bipolinomului convex Bezier** și orice set de patru **puncte Bezier** de forma  $b_{i,j}, b_{i+1,j}, b_{i,j+1}, b_{i+1,j+1}$  trebuie să fie colțuri ale poligonului convex care este planar.

Ca observații se poate afirma că:

- 1) **Punctele Bezier**  $b_{i,k}$  determină complet **suprafața Bezier**.
- 2) **Algoritmul lui de Casteljaou** poate fi utilizat pentru a subîmpărți **suprafața Bezier** în carioaje spline **Bezier**.
- 3) Rețeaua de carioaje prin subdiviziuni succesive în final converge spre suprafața **Bezier**, observație care ne permite să obținem suprafețele Bezier și intersecții ale curbelor aparținând suprafețelor **Bezier**.

#### 5.9.5. Condițiile de continuitate a suprafețelor Bezier

Observația 3) ne conduce totodată la ideea după care dacă o singură **supra-față Bezier** nu ne permite să obținem o aproximare satisfăcătoare a suprafeței date, atunci una din soluții poate fi utilizarea de subdiviziuni ale **suprafețelor (carioajelor) Bezier** și care prin reuniune pot reface **suprafața Bezier** inițial propusă.

O astfel de metodă impune studiul condițiilor de continuitate ale suprafețelor subdivizate. Extinzând condițiile de continuitate determinate la studiul **polinoamelor (curbelor) Bezier** la **suprafețele Bezier** se poate afirma că acestea din urmă trebuie să îndeplinească condiții similare.

De exemplu se cere ca:

- Primele derivate în raport cu ambii parametri  $(u, v)$  să existe și să fie continue de-a lungul frontierei comune dintre două subdiviziuni ale **suprafețelor Bezier**.
- Primele derivate în raport cu ambii parametri  $(u, v)$  de-a lungul frontierei comune să aibă aceeași direcție cu planul tangențial comun celor două subdiviziuni ale **suprafeței Bezier**.
- Două subdiviziuni vecine ale **suprafeței Bezier** trebuie să aibă același plan tangent de-a lungul frontierei comune.

Fie dată o subdiviziune  $X_{p,q}$  de ordinul  $(n, m)$  având ecuația parametrică:

$$X_{p,q}(u, v) = \sum_{i=0}^n \sum_{k=0}^m b_{i,k,p,q} B_i^n(u), B_k^m(v),$$

unde  $u \in [u_p, u_{p+1}]$  și  $v \in [v_q, v_{q+1}]$ .

De-a lungul frontierei comune a două subdiviziuni curbele de frontieră coincid. În plus din condiția de continuitate de-a lungul liniei parametrice  $u = u_{p+1}$  obținem

$$\frac{\partial X_{p,q}}{\partial u}(u_{p+1}, v) = \frac{\partial X_{p+1,q}}{\partial u}(u_{p+1}, v),$$

iar de-a lungul liniei parametrice  $v = v_{p+1}$ , avem:

$$\frac{\partial X_{p,q}}{\partial v} (u, v_{q+1}) = \frac{\partial X_{p,q+1}}{\partial v}.$$

Substituind  $X_{p,q}(u, v)$  din relația de mai sus și ținând cont că

$$\Delta u_p := u_{p+1} - u_p \text{ și } \Delta v_p := v_{q+1} - v_q$$

obținem de-a lungul lui  $u = u_{p+1}$ :

$$\frac{n}{\Delta u_p} (b_{n,k} - b_{n-1,k})_{p,q} = \frac{n}{\Delta u_{p+1}} (b_{1,k} - b_{0,k})_{p+1,q},$$

unde  $k = 0(1), \dots, m$ .

De asemenea, de-a lungul lui  $v = v_{p+1}$  obținem:

$$\frac{n}{\Delta v_p} (b_{i,m} - b_{i,m-1})_{p,q} = \frac{n}{\Delta v_{p+1}} (b_{i,1} - b_{i,0})_{p,q+1},$$

unde  $i = 0(1), \dots, n$ .

Dar având o curbă de frontieră comună:

$$b_{n,k,p,q} = b_{0,k,p+1,q}$$

și:

$$b_{i,m,p,q} = b_{i,0,p,q+1}$$

condițiile de continuitate de-a lungul direcției lui  $u = u_{p+1}$  devin:

$$b_{n,k,p,q} (\Delta u_{p+1} + \Delta u_p) = \Delta u_{p+1} b_{n-1,k,p,q} + \Delta u_p b_{1,k,p+1,q}$$

$$b_{i,m,p,q} (\Delta v_{q+1} + \Delta v_q) = \Delta v_{q+1} b_{i,m-1,p,q} + \Delta v_q b_{i,1,p,q+1}$$

pentru orice  $k$  fix și unde **punctele (noduri) Bezier** asociate direcției  $u$  sunt coliniare și în plus:

$$\frac{u_p}{u_{p+1}} = \frac{\Delta u_p}{\Delta u_{p+1}}$$

În mod similar, avem condițiile de continuitate de-a lungul direcției lui  $v = v_{q+1}$ . În plus derivatele mixte de-a lungul frontierei comune coincid:

$$\frac{\partial^2 X_{p,q}}{\partial u \partial v} (u_{p+1}, v) = \frac{n m}{\Delta u_p \Delta v_q} \sum_{k=0}^{m-1} [(b_{n,k+1} - b_{n-1,k+1}) - (b_{n,k} - b_{n-1,k})]_{p,q} B_k^{m-1}(v)$$

și

$$\frac{\partial^2 X_{p+1,q}}{\partial u \partial v} (u_{p+1}, v) = \frac{n m}{\Delta u_{p+1} \Delta v_q} \sum_{k=0}^{m-1} [(b_{1,k+1} - b_{0,k+1}) - (b_{1,k} - b_{0,k})]_{p+1,q} B_k^{m-1}(v).$$

Condițiile de continuitate sunt importante de-a asemeni când se încearcă să se pună împreună două **subdiviziuni Bezier** pentru a realiza o **suprafață Bezier** comună  $F_1$  și care să satisfacă condițiile de continuitate.

Fie  $F_0$  o **subdiviziune Bezier** a unui bipolinom bicubic de gradul 3 descrisă de **punctele Bezier**  $\{b_{ik}\}$  și  $F_2$  o altă **subdiviziune Bezier** descrisă de  $\{\tilde{b}_{ik}\}$ . Se cere ca suprafața  $F_1$  să se reunească cu  $F_0$  de-a lungul curbei de frontieră asociate **punctelor (nodurilor) Bezier**  $\{b_{i3}\}$ . Atunci **punctele (nodurile) Bezier**  $\{a_{i,k}\}$  ale lui  $F_1$  trebuie să satisfacă

$$\{a_{0,i}\} = \{b_{3,i}\} \text{ și } \{a_{3,i}\} = \{\tilde{b}_{0i}\},$$

dar din

$$\Delta u_p := u_{p+1} - u_p \text{ și } \Delta v_p := v_{q+1} - v_q$$

rezultă că

$$\Delta v_0 a_{i,1} = b_{i,3} (\Delta v_0 + \Delta v_1) - \Delta v_1 b_{i,2}$$

$$\Delta v_2 a_{i,2} = \tilde{b}_{i0} (\Delta v_1 + \Delta v_2) - \Delta v_1 \tilde{b}_{i,1}$$

și unde  $\Delta v_i$  este lungimea parametrului  $v$  a suprafeței  $F_1$  reprezentând condițiile de continuitate la reuniunea unor **subdiviziuni Bezier**.

Totuși pentru condiții de continuitate de un ordin mai mare, condițiile devin mai restrictive, necesitând existența unor puncte auxiliare  $d_k$  și care să satisfacă relația:

$$d_k = b_{n-1,k,p,q} \left(1 + \frac{\Delta u_{p+1}}{\Delta u_p}\right) - b_{n-2,k,p,q} \frac{\Delta u_{p+1}}{\Delta u_p} = b_{1,k,p+1,q} \left(1 + \frac{\Delta u_p}{\Delta u_{p+1}}\right) - b_{2,k,p+1,q} \frac{\Delta u_p}{\Delta u_{p+1}}.$$

### 5.9.6. Suprafețe spine Bezier bicuadractice

Fie  $(l+1) \cdot (m+1)$  puncte  $P_{i,k} \subset \mathbb{R}^2$  și valorile parametrilor asociați  $(u_i, v_k)$ , unde  $i = 0, (1), \dots, l$  și  $k = 0 (1) \dots m$ .

Dacă definim o subdiviziune  $(i, k)$  a unei **suprafețe Bezier** ca fiind:

$$X_{i,k}(u, v) = \sum_{j=0}^2 \sum_{l=0}^2 b_{2i+j, 2k+l} B_j^2(u), B_l^2(v),$$

atunci acestea reprezintă suprafețe **spline Bezier bicuadractice**. Pentru simplificare considerăm punctele (nodurile) date ca fiind în colțurile subdiviziunii, adică :

$$b_{2i, 2k} = P_{i,k}.$$

În plus, condițiile de continuitate între subdiviziuni se cer respectate. Aceasta lasă un punct (nod) liber, de exemplu  $b_{2i,1}$  sau  $b_{1,2k}$  pentru fiecare curbă parametrică  $u = u_i$  și  $v = v_k$ . După ce alegem aceste puncte, problema se reduce la a rezolva formulele recurente prezentate mai sus la condițiile de continuitate de-a lungul lui  $u$  și respectiv  $v$ :

$$\begin{aligned} b_{n,k,p,q} (\Delta u_{p+1} + \Delta u_p) &= \Delta u_{p+1} b_{n-1,k,p,q} + \Delta u_p b_{1,k,p+1,q} \\ b_{i,m,p,q} (\Delta v_{q+1} + \Delta v_q) &= \Delta v_{q+1} b_{i,m-1,p,q} + \Delta v_q b_{i,1,p,q+1}. \end{aligned}$$

### 5.9.7. Suprafețe spline Bezier bicubice

În aceleași condiții ca și pentru suprafețele **spline Bezier bicuadractice** definim suprafețele **spline Bezier bicubice**:

$$X_{i,k}(u, v) = \sum_{j=0}^3 \sum_{l=0}^3 b_{3i+j, 3k+l} B_j^3(u), B_l^3(v).$$

De asemenea, pentru simplitate alegem punctele (nodurile) date în colțurile subdiviziunii, adică:

$$b_{3i, 3k} = P_{i,k}.$$

Considerăm două cazuri:

- 1) Când dorim să construim o subdiviziune continuă a unei **suprafețe spline Bezier** calculul punctelor (nodurilor) corespunzătoare **punctelor Bezier** se poate face în doi pași:

- i.* Se interpoiază  $(l+1)$  rânduri  $(m+1)$  date, de puncte  $P_{i,k}$  a subdiviziunii spline cubice **Bezier**, conform metodei de interpolare descrisă la capitolul referitor la interpolare. Acestea produc **punctele Bezier**:

$$b_{3i, 3k+l} \text{ și } b_{3i+l, 3k} \text{ unde } l = 1, 2,$$

și unde punctele de frontieră (marginie):

$$b_{1, 3k}, b_{3i, 1}, b_{3l-1, 3k}, b_{3i, 3m-1}$$

pot fi alese arbitrar.

- ii.* Pentru fiecare colț al suprafeței  $P_{i,k} = b_{3i, 3k}$  considerăm

$3 \cdot 3 = 9$  **puncte (noduri) Bezier**:

$$b_{3i-1, 3k-1}, b_{3i, 3k-1}, b_{3i+1, 3k-1},$$

$$b_{3i-1,3k}, b_{3i,3k}, b_{3i+1,3k}, \\ b_{3i-1,3k+1}, b_{3i,3k+1}, b_{3i+1,3k+1},$$

și unde punctele din colțuri sunt cunoscute. Se cer a se determina celelalte puncte. Acestea rezultă din condițiile de continuitate de mai sus:

$$\begin{aligned} \Delta u_i b_{3i+1,3k-1} + \Delta u_{i+1} b_{3i-1,3k-1} &= b_{3i,3k-1} (\Delta u_i + \Delta u_{i+1}) \\ \Delta u_i b_{3i+1,3k+1} + \Delta u_{i+1} b_{3i-1,3k+1} &= b_{3i,3k+1} (\Delta u_i + \Delta u_{i+1}) \\ \Delta v_k b_{3i-1,3k+1} + \Delta v_{k+1} b_{3i-1,3k-1} &= b_{3i-1,3k} (\Delta v_k + \Delta v_{k+1}) \\ \Delta v_k b_{3i+1,3k+1} + \Delta v_{k+1} b_{3i+1,3k-1} &= b_{3i+1,3k} (\Delta v_k + \Delta v_{k+1}). \end{aligned}$$

iii. Dacă alegem unul din punctele din colțuri, putem determina celelalte trei puncte folosind metoda recursivă de mai sus. De exemplu dacă alegem **punctul (nodul) Bezier**  $b_{3i+1,3k+1}$  în planul care trece prin **punctele (nodurile) Bezier**:

$b_{3i+1,3k+1}, b_{3i,3k+1}, b_{3i-1,3k}, b_{3i+1,3k+1}$  determinate anterior, atunci:  
 $b_{3i+1,3k+1} = b_{3i,3k+1} + (b_{3i+1,3k} - b_{3i,3k})$ , iar derivata mixtă trebuie să fie nulă.

2) Când dorim să construim o suprafață **splină Bezier** bicubică continuă. În acest caz condiția de continuitate impune:

$$\begin{aligned} (\Delta u_i + \Delta u_{i-1}) b_{3i,s} &= \Delta u_{i-1} b_{3i-1,s} + \Delta u_i b_{3i+1,s} \\ (\Delta v_k + \Delta v_{k-1}) b_{r,3k} &= \Delta v_{k-1} b_{r,3k-1} + \Delta v_k b_{r,3k+1} \end{aligned}$$

Or această condiție de continuitate se impune a fi studiată în două direcții și anume direcțiile  $u, v$ :

➤ **Condiția de continuitate în direcția  $u$  impune:**

$$(\Delta u_i + \Delta u_{i-1}) b_{3i-1,s} - \Delta u_i b_{3i-2,s} := \Delta u_{i-1} f_{i,s}, \text{ unde: } i = 0, (1), \dots, l$$

și:

$$(\Delta u_i + \Delta u_{i-1}) b_{3i+1,s} - \Delta u_{i-1} b_{3i+2,s} := \Delta u_i f_{i,s}, \text{ unde: } i = 0, (1), \dots, (l-1).$$

➤ **Condiția de continuitate în direcția  $v$  impune:**

$$(\Delta v_k + \Delta v_{k-1}) b_{r,3k-1} - \Delta v_k b_{r,3k-2} := \Delta v_{k-1} g_{r,k}, \text{ unde: } k = 1, (1), \dots, m$$

și:

$$(\Delta v_k + \Delta v_{k-1}) b_{r,3k+1} - \Delta v_{k-1} b_{r,3k+2} := \Delta v_k g_{r,k}, \text{ unde: } k = 0, (1) \dots m-1, \text{ iar } f_{i,s}, s = 0, (1), \dots, 3m \text{ și } g_{r,k}, \text{ unde: } r = 0, (1), \dots, 3l \text{ sunt puncte auxiliare.}$$

Folosind ponderile  $d_{i,k}$  definite prin:

$$\begin{aligned} (\Delta u_i + \Delta u_{i-1}) g_{3i-1,k} - \Delta u_i g_{3i-2,k} &:= \Delta u_{i-1} d_{i,k} \\ (\Delta u_i + \Delta u_{i-1}) g_{3i+1,k} - \Delta u_{i-1} g_{3i+2,k} &:= \Delta u_i d_{i,k} \end{aligned}$$

și

$$\begin{aligned} (\Delta v_k + \Delta v_{k-1}) f_{i,3k-1} - \Delta v_k f_{i,3k-2} &:= \Delta v_{k-1} d_{i,k} \\ (\Delta v_k + \Delta v_{k-1}) f_{i,3k+1} - \Delta v_{k-1} f_{i,3k+2} &:= \Delta v_k d_{i,k}, \end{aligned}$$

rezultă că trebuie satisfăcute următoarele condiții:

$$\begin{aligned} \beta_k^2 \alpha_i^2 b_{3i-2,3k-2} &= \beta_k^1 (\alpha_i^1 d_{i-1,k-1} + \alpha_{i-2}^0 d_{i,k-1}) + \beta_{k-2}^0 (\alpha_i^1 d_{i-1,k} + \alpha_{i-2}^0 d_{i,k}) \\ \beta_k^2 \alpha_i^5 b_{3i,3k-2} &= \beta_k^1 (\alpha_i^3 d_{i-1,k-1} + \alpha_i^4 d_{i,k-1} + \alpha_{i-1}^3 d_{i+1,k-1}) + \\ &+ \beta_{k-2}^0 (\alpha_i^3 d_{i-1,k} + \alpha_i^4 d_{i,k} + \alpha_{i-1}^3 d_{i+1,k}) \end{aligned}$$

$$\beta_k^2 \alpha_{i+1}^2 b_{3i+2,3k-2} = \beta_k^1 (\alpha_{i+1}^0 d_{i,k-1} + \alpha_i^1 d_{i+1,k-1}) + \beta_{k-2}^0 (\alpha_{i+1}^0 d_{i,k} + \alpha_i^1 d_{i+1,k})$$

pentru  $b_{3i+j,3k}$  și  $b_{3i+j,3k+2}$ , unde  $j = -2, 0, 2$ ,

iar:

$$\begin{aligned} \alpha_i^0 &\equiv \Delta u_i, \alpha_i^1 \equiv \Delta u_i + \Delta u_{i-1}, \alpha_i^2 \equiv \Delta u_i + \Delta u_{i-1} + \Delta u_{i-2}, \\ \alpha_i^3 &\equiv (\alpha_i^0)^2 \alpha_{i+1}^2, \alpha_i^4 \equiv \alpha_i^0 \alpha_{i-1}^1 \alpha_{i+1}^2 + \alpha_{i+1}^0 \alpha_{i+1}^1 \alpha_i^2, \alpha_i^5 \equiv \alpha_i^1 \alpha_i^2 \alpha_{i+1}^2, \end{aligned}$$

unde:  $\beta_k^0, \dots, \beta_k^5$  sunt definiți în mod analog în funcție de lungimea intervalului parametrului  $\Delta v_k$ .

De îndată ce avem  $d_{i,k}$ , punctele intermediare  $f_{i,s}$  unde  $s \neq 0 \dots 3m$  și  $g_{r,k}$ , unde  $r \neq 0, \dots, 3l$  atunci **punctele Bezier** sunt unic definite, ceea ce înseamnă că setul de **puncte (noduri) Bezier**  $(l + 1) \cdot (m + 1)$  sunt unic determinate din condițiile bipolinomiale spline.

În continuare, pentru a determina punctele de început  $d_{i,x}$  se cere a se rezolva sistemul liniar de ecuații:

$$\underline{L} \cdot \underline{D} \cdot \underline{M} = \underline{B}$$

unde

$$\frac{L}{(l-2) \cdot (l-2)} = \begin{pmatrix} \alpha_1^1 & \alpha_{-1}^0 & 0 & \dots & 0 & 0 & 0 \\ \alpha_1^3 & \alpha_1^4 & \alpha_0^3 & \dots & 0 & 0 & 0 \\ \dots & \dots & \dots & \dots & \dots & \dots & \dots \\ 0 & 0 & 0 & \dots & \alpha_{l-1}^3 & \alpha_{l-1}^4 & \alpha_{l-2}^3 \\ 0 & 0 & 0 & \dots & 0 & \alpha_l^0 & \alpha_{l-2}^1 \end{pmatrix},$$

$$\frac{D}{(m \cdot m)} = \begin{pmatrix} d_{0,0} & \dots & d_{0,m} \\ \vdots & \ddots & \vdots \\ d_{l,0} & \dots & d_{l,m} \end{pmatrix},$$

$$\frac{M}{(m-1) \cdot (m-1)} = \begin{pmatrix} \beta_1^1 & \beta_1^3 & \dots & \dots & 0 & 0 \\ \beta_{-1}^0 & \beta_1^4 & \dots & \dots & 0 & 0 \\ \dots & \dots & \dots & \dots & \dots & \dots \\ 0 & 0 & \dots & \dots & \beta_{m-1}^3 & 0 \\ 0 & 0 & \dots & \dots & \beta_{m-1}^4 & \beta_m^0 \\ 0 & 0 & \dots & \dots & \beta_{m-2}^3 & \beta_{m-1}^1 \end{pmatrix},$$

și

$$\frac{B}{(m-1) \cdot (m-1)} = \begin{pmatrix} \alpha_1^2 \beta_1^2 b_{1,1} & \alpha_1^2 \beta_1^5 b_{1,3} & \dots & \dots & \alpha_1^2 \beta_{m-1}^5 b_{1,3m-3} & \alpha_1^2 \beta_m^2 b_{1,3m-1} \\ \alpha_1^5 \beta_1^2 b_{3,1} & \alpha_1^5 \beta_1^5 b_{3,3} & \dots & \dots & \alpha_1^5 \beta_{m-1}^5 b_{3,3m-3} & \alpha_1^5 \beta_m^2 b_{3,3m-1} \\ \dots & \dots & \dots & \dots & \dots & \dots \\ \alpha_{l-1}^5 \beta_1^2 b_{3l-3,1} & \alpha_{l-1}^5 \beta_1^5 b_{3l-3,3} & \dots & \dots & \alpha_{l-1}^5 \beta_{m-1}^5 b_{3l-3,3m-3} & \alpha_{l-1}^5 \beta_m^2 b_{3l-3,3m-1} \\ \alpha_l^2 \beta_1^2 b_{3l-1,1} & \alpha_l^2 \beta_1^5 b_{3l-1,3} & \dots & \dots & \alpha_l^2 \beta_{m-1}^5 b_{3l-1,3m-3} & \alpha_l^2 \beta_m^2 b_{3l-1,3m-1} \end{pmatrix}.$$

Pentru:  $d_{0,0}, d_{l,0}, d_{0,m}, d_{l,m}$  avem nevoie de  $\Delta u_i$ , unde:  $i = -1, 0, \dots, l$  și  $\Delta v_k$ , unde:  $k = -1, 0, \dots, l$

**Punctele (nodurile) Bezier**  $b_{0,0}, b_{3l,0}, b_{0,3m}$  și  $b_{3l,3m}$  nu depind de punctele auxiliare  $f_{i,s}, g_{r,k}$  și  $d_{i,k}$ . Deoarece curbele de frontieră ale unei suprafețe spline bicubice sunt polinoame (curbe) spline asociate cu punctele auxiliare  $f_{i,s}, s = 0, 1, \dots, 3m$  și respectiv  $g_{r,k}, r = 0, 1 \dots, 3m$ , punctele din interiorul curbelor de margine pot fi calculate prin interpolare spline cubică.

În acest caz curba spline cubică este determinată de  $(3l + 1) \cdot (3m + 1)$  **puncte (noduri) Bezier**. Dar numărul de **puncte (noduri) Bezier** care definește complet **suprafața spline Bezier** este  $(l + 3) \cdot (m + 1)$ .

Sunt necesare  $(l + 1) \cdot (m + 1)$  **puncte (Bezier)** pentru a determina  $d_{i,k}$ . Pentru  $(l + 1)$  auxiliare  $f_{i,0}$ , avem nevoie de  $(l + 1)$  **puncte (noduri) interioare Bezier** pentru  $v = 0$ . La fel pentru  $s = 3m$  și  $v = 1$ , după care putem calcula  $b_{r,0}$  și  $b_{r,3m}$  pentru  $r \neq 0, \dots, 3l$ .

Pentru  $(m + 1)$  puncte auxiliare  $g_{0,k}$ , avem nevoie de a folosi  $(m + 1)$  **puncte Bezier** interioare pentru  $u = 0$ . La fel pentru  $r = 3l$  și  $n = 1$ , după care putem calcula  $b_{0,s}$  și  $b_{3l,s}$  pentru  $s \neq 0 \dots 3m$ . În final, numărul total de **puncte (noduri) Bezier** impunând condițiile de continuitate pentru bipolinoamele spline sunt  $8(lm - 1)$ .

## 5.10. Algoritmul lui de Casteljau aplicat suprafețelor triunghiulare Bezier

Algoritmul clasic al lui **Casteljau** aplicat polinoamelor (curbelor) în plan se bazează pe relația de recurență – proprietate a **polinoamelor lui Bernstein**:

$$B_i^n(t) = (1-t) B_i^{n-1}(t) + t B_{i+1}^{n-1}(t).$$

Această proprietate se poate extinde suprafețelor. Deoarece:  $i + j + k = n$ , avem:

$$B_{i,j,k}^n(u) = u B_{i-1,k}^{n-1}(u) + v B_{i,j-1,k}^{n-1}(u) + w B_{i,j,k-1}^{n-1}(u)$$

sau echivalent:

$$B_1^n(u) = u B_{1-e_1}^{n-1}(u) + v B_{1-e_2}^{n-1}(u) + w B_{1-e_3}^{n-1}(u)$$

Ideea de bază a algoritmului constă în a genera un punct  $X(u)$  pe o suprafață determinată de **polinoamele lui Bernstein** de un grad mai redus:

$$X(u) = \sum_{|I|=n-r} b_I^r(u) B_I^{n-r}(u), \text{ unde: } r = 0(1), \dots, n$$

și unde:  $b_I^r(u)$  sunt **sub suprafețe (sub carioaje) Bezier** triunghiulare de ordinul  $r$ , iar  $B_I^{n-r}(u)$  sunt polinoame generalizate Bernstein de ordinul  $(n - r)$ .

Pe de altă parte din relația:

$$B_1^n(u) = u B_{1-e_1}^{n-1}(u) + v B_{1-e_2}^{n-1}(u) + w B_{1-e_3}^{n-1}(u)$$

obținem:

$$X(u) = \sum_{|I|=n-r-1} [u b_{I+e_1}^r(u) + v b_{I-e_2}^r(u) + w b_{I-e_3}^r(u)] B_I^{n-r-1}(u).$$

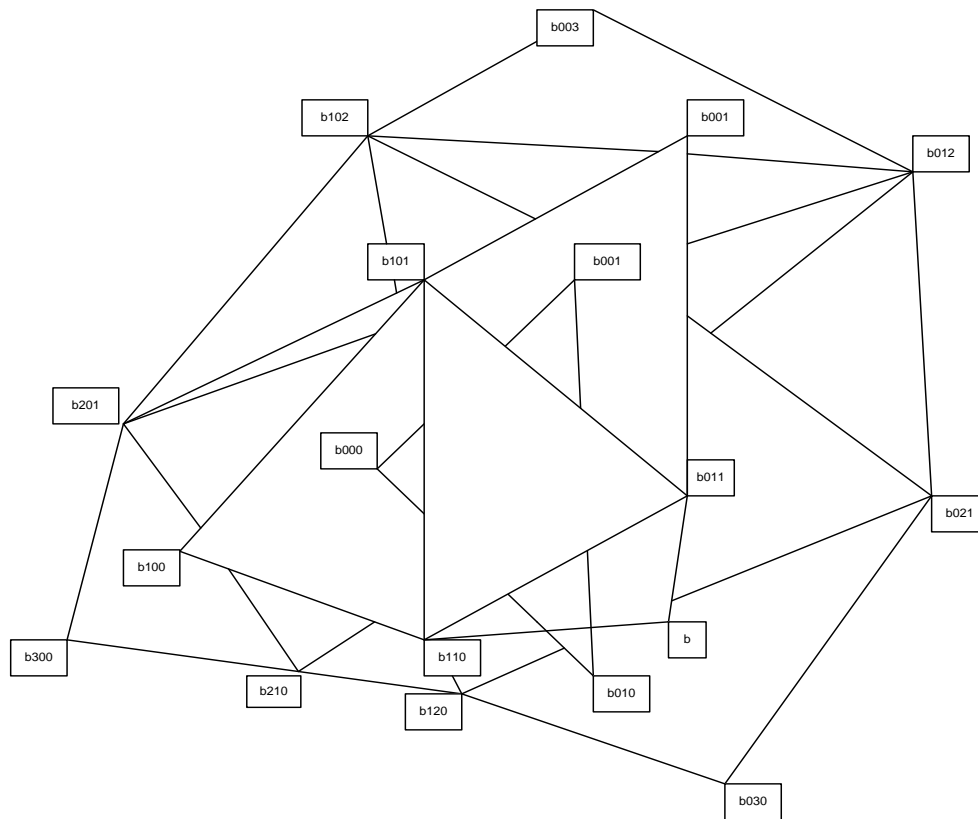
Din comparația coeficienților rezultă relația de **recurență a lui de Casteljau**:

$$b_I^{r+1}(u) = u b_{I+e_1}^r(u) + v b_{I-e_2}^r(u) + w b_{I-e_3}^r(u)$$

unde:  $|I| = n - r - 1$ . Dacă  $b_I^0 = b_1$  pentru  $r = 0$  și pentru un pas  $r = (n - 1)$  atunci obținem:

$$b_1^n(u) = X(u).$$

Relația de **recurență a lui de Casteljau** ne permite să calculăm noul coeficient  $b_I^{r+1}(u)$  în funcție de trei coeficienți  $b_{I+e_i}^r(u)$ , unde  $i = 1, 2, 3$  folosind coordonatele  $(u, v, w)$  ale triunghiului determinat de punctele:  $b_{I+e_1}^r, b_{I+e_2}^r, b_{I+e_3}^r$ , cum se prezintă în figura de mai jos (Fig. 5.2).



Algoritmul lui de Casteljean aplicat suprafețelor Bezier triunghiulare.

Fig. 5.2. Algoritmul lui de Casteljean aplicat suprafețelor Bezier triunghiulare

În concluzie algoritmul lui **de Casteljean** aplicat suprafețelor Bezier triunghiulare se poate formula astfel:

Dându-se o **sub-suprafață (sub-caroiaj) Bezier** triunghiulară  $X(u)$  de ordinul  $n$  și un punct  $U_0 = (u_0, v_0, w_0)^T$  atunci:

1. Pentru  $r = 0 (1), \dots, (n-1)$  și  $|I| = n - r$  se calculează:

$$b_I^{r+1}(u) = u_0 b_{I+e_1}^r + v_0 b_{I+e_2}^r + w_0 b_{I+e_3}^r.$$

2. Se calculează apoi  $X(u_0) = b_0^n$ .

În cazul suprafețelor bipolinomiale, **algoritmul lui de Casteljean** poate fi folosit pentru a subdiviza **suprafața triunghiulară Bezier** în trei sub-suprafețe (sub-caroiaje) care se întâlnesc într-un punct dat  $(u_0, v_0, w_0)$ .

La rândul lor **punctele Bezier** aparținând **sub-suprafețelor Bezier** determinate anterior pot fi folosite din nou pentru aplicarea **algoritmului lui de Casteljean**:

- sub - suprafața (caroiajul) I conține punctele Bezier  $b_{0,j,k}^n (b_{0,0,0}^n, b_{0,n,0}^0, b_{0,0,n}^0)$ ,
- sub - suprafața (caroiajul) II conține punctele Bezier  $b_{i,0,k}^n (b_{0,0,0}^n, b_{0,n,0}^0, b_{0,0,n}^0)$ ,
- sub - suprafața (caroiajul) III conține punctele Bezier  $b_{i,j,0}^n (b_{0,n,0}^n, b_{n,0,0}^0, b_{0,0,n}^0)$ .

unde:  $r + j + k = n$ .

În acest fel, combinând un număr determinat de pași ai **algoritmului lui de Casteljean** putem subdivida **sub-suprafețele (sub-caroiajele) Bezier** într-un număr arbitrar de sub-triunghiuri de ordinul  $n$  și care secvențe de interpolare a sub-suprafețelor (sub-caroiajelor) liniare, triunghiulare, definite prin părți, pot conduce la obținerea unei **suprafețe Bezier**.

## 5.11. Condițiile de continuitate ale sub-suprafețelor (sub-caroiajelor) triunghiulare Bezier

Pentru a analiza condițiile de continuitate ale **sub-suprafețelor triunghiulare Bezier** introducem un operator  $X(u, v, w)$  definit astfel:

$$X(u, v, w) = (E_1 u + E_2 v + E_3 w)^n b_{0,0,0} = \sum_{|I|=n} b_I(u) B_I^n(u),$$

unde  $I = (i, j, k)^T, u = (u, v, w)^T, u + v + w = 1$  și unde

$$E_1 b_{i,j,k} = b_{i+1,j}, E_2 b_{i,j,k} = b_{i,j+1}, E_3 b_{i,j,k} = b_{i,j,k+1}.$$

Deoarece:  $u + v + w = 1$ :

a) prima derivată pe direcția  $u$  este dată de formula:

$$\begin{aligned} \frac{DX}{du} &= n (E_1 u + E_2 v + E_3 w)^{n-1} (E_1 - E_3) b_{0,0,0} = \\ &= n \sum_{i+j+k=n-1} (b_{i+1,j,k} - b_{i,j,k+1}) B_{i,j,k}^{n-1}(u, v, w), \end{aligned}$$

unde:  $w = 1 - u - v$ .

b) dacă eliminăm  $v = 1 - u - w$ , prima derivată pe direcția  $u$  este dată de relația:

$$\begin{aligned} \frac{DX}{du} &= n (E_1 u + E_2 v + E_3 w)^{n-1} (E_1 - E_2) b_{0,0,0} = \\ &= n \sum_{i+j+k=n-1} (b_{i+1,j,k} - b_{i,j+1,k}) B_{i,j,k}^{n-1}(u, v, w). \end{aligned}$$

c) similar avem:

$$\begin{aligned} \frac{DX}{dv} &= n (E_1 u + E_2 v + E_3 w)^{n-1} (E_2 - E_3) b_{0,0,0} = \\ &= n \sum_{i+j+k=n-1} (b_{i,j+1,k} - b_{i,j,k+1}) B_{i,j,k}^{n-1}(u, v, w). \end{aligned}$$

În figura 5.3 se prezintă interpretarea geometrică a derivatelor direcționale din formulele a), b), c) de-a lungul unei curbe de frontieră  $u$ .

Considerând un punct generic  $(0, 0, 1)$  al **triunghiului lui Bezier**, derivatele pe direcțiile  $u, v$  au forma:

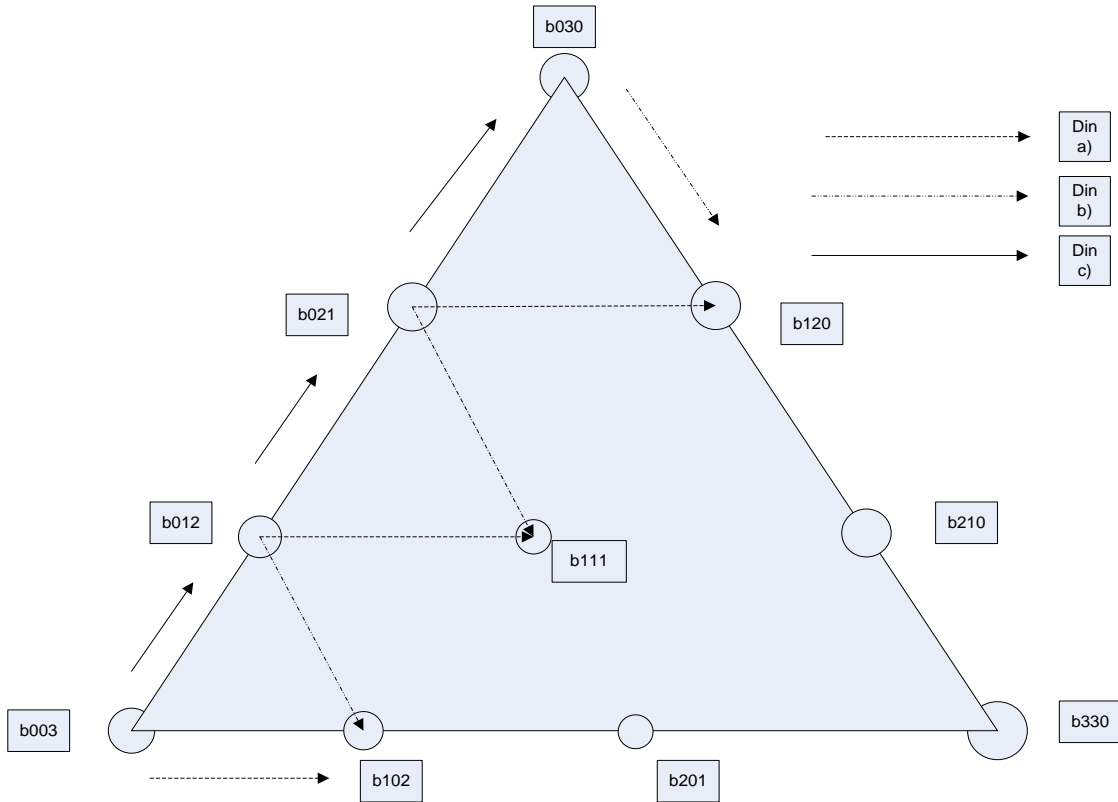
$$\frac{DX}{du}(0, 0, 1) = n (b_{1,0,n-1} - b_{0,0,n}); \quad \frac{DX}{dv}(0, 0, 1) = n (b_{0,1,n-1} - b_{0,0,n}),$$

planul tangent în acel punct fiind determinat de **punctele Bezier** din colț și două puncte învecinate.

Luând în considerare derivatele de ordinul II obținem:

$$\begin{aligned} \frac{D^2X}{du^2} &= n(n-1)(E_1 u + E_2 v + E_3 w)^{n-2} (E_2 - E_3)^2 b_{0,0,0} = \\ &= n(n-1) \sum_{i+j+k=n-2} (b_{i+2,j,k} - 2b_{i+1,j,k+1} + b_{i,j,k+2}) B_{i,j,k}^{n-2}(u, v, w), \\ \frac{D^2X}{dv^2} &= n(n-1)(E_1 u + E_2 v + E_3 w)^{n-2} (E_2 - E_1) b_{0,0,0} = \\ &= n(n-1) \sum_{i+j+k=n-2} (b_{i,j+2,k} - 2b_{i+1,j+1,k} + b_{i+2,j,k}) B_{i,j,k}^{n-2}(u, v, w), \\ \frac{D^2X}{dudv} &= n(n-1)(E_1 u + E_2 v + E_3 w)^{n-2} (E_1 - E_3)^2 b_{0,0,0} = \\ &= n(n-1) \sum_{i+j+k=n-2} (b_{i+1,j+1,k} - b_{i+1,j,k+1} - b_{i,j+1,k+1} + b_{i,j,k+2}) B_{i,j,k}^{n-2}(u, v, w). \end{aligned}$$





Interpretarea geometrica a derivatelor directionale din formulele a), b), c) de-a lungul unei curve de frontiera u.

Fig. 5.3. Interpretarea geometrică a derivatelor direcționale din formulele a), b), c) de-a lungul unei curve de frontieră  $u$ .

Dacă dezvoltăm condițiile de continuitate de-a lungul direcției  $n = 0$ , pentru două **sub-suprafețe (sub-caroiaje) triunghiulare Bezier** obținem:

$$X_1(u, v, w) = \sum_{|I|=n} b_1^1(u) B_I^n(u),$$

$$X_2(u, v, w) = \sum_{|I|=n} b_1^2(u) B_I^n(u).$$

Pentru a îndeplini condițiile de continuitate (numite și condițiile  $GC^0$  de continuitate) trebuie ca:

$$X_1(0, v, w) = X_2(0, v, w)$$

sau:

$$b_{0,n-k,k}^1 = b_{0,n-k,k}^2, \text{ unde } k = 0, (1), \dots, n.$$

Deasemenea, planurile tangente a două suprafețe trebuie să coincidă pentru fiecare punct al frontierei comune (numite și condițiile  $GC^1$  de continuitate):

$$\frac{DX_1}{du}(0, v, w) = \lambda_1 \frac{DX_2}{du}(0, v, w) + \lambda_2 \frac{DX_2}{du}(0, v, w),$$

unde  $\lambda_1, \lambda_2 \in \mathbb{R}$  sunt parametrii arbitrari aleși.

Alegând:  $\lambda := 1 - \lambda_1 + \lambda_2$  atunci condiția de continuitate  $GC^1$  devine:

$$b_{1,n-1-k,k}^1 = \lambda b_{0,n-1-k,k+1}^2 + \lambda_1 b_{1,n-1-k,k}^2 - \lambda_2 b_{0,n-k,k}^2.$$

Dacă  $\lambda_1 = -1$  și  $\lambda_2 = -1$ , tangentele coincid de-a lungul liniilor corespunzătoare  $u, v$ , atunci:

$$b_{1,n-1-k,k}^1 - b_{0,n-1-k,k+1}^1 = b_{0,n-k,k}^2 - b_{1,n-1-k,k}^2$$

și atunci laturile corespunzătoare ale **triunghiurilor Bezier** sunt paralele conform figurii de mai jos (Fig. 5.4):

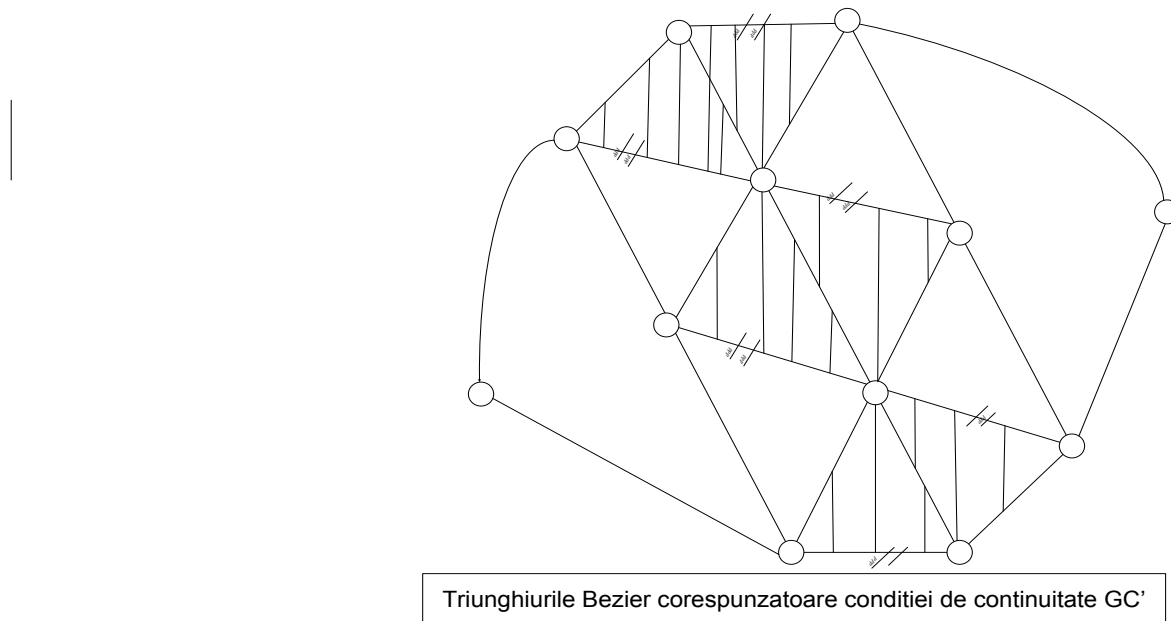


Fig. 5.4. Triunghiurile Bezier corespunzătoare condiției de continuitate  $GC^1$ .

Condiția de continuitate impusă de egalitatea derivatelor secunde după o direcție  $u$  dată (numite și condiția  $GC^2$  de continuitate) rezultă din relațiile:

$$\frac{D^2 X_1}{du^2} (0, v, w) = \frac{D^2 X_2}{du^2} (0, v, w)$$

și

$$b_{2,n-2-k,k}^1 - 2b_{1,n-2-k,k+1}^1 + b_{0,n-2-k,k+2}^1 = b_{0,n-k,k}^2 - 2b_{1,n-1-k,k}^2 + b_{2,n-2-k,k}^2.$$

Folosind condiția  $GC^2$  de continuitate, obținem:

$$b_{1,n-2-k,k+1}^2 + b_{1,n-1-k,k}^2 - D_k = b_{2,n-2-k,k}^2$$

unde

$$D_k = b_{1,n-1-k,k}^1 + b_{1,n-2-k,k+1}^1 - b_{2,n-2-k,k}^1$$

este un punct auxiliar arbitrar ales.

Rezultă că dacă sub-suprafața (sub-caroiajul) are o frontieră comună cu altă suprafață ce îndeplinește condițiile de continuitate, atunci **punctele Bezier** pot fi determinate utilizând algoritmul lui **de Casteljau** în  $r$  pași consecutivi.

## 5.12. Condițiile de continuitate în cazul suprafețelor (caroiajelor) Bezier mixte

În capitolul precedent s-a prezentat cazul sub-suprafețelor (**sub-caroiajelor**) **Bezier triunghiulare**. Dacă însă sub-suprafețele (sub-caroiajele) adiacente sunt un triunghi de ordinul  $n$  și întâlnesc o **sub-suprafață (sub-caroiaj) rectangulară Bezier**, atunci condițiile de continuitate au un aspect relativ diferit (Falcidieno, 1999).

Fie **sub-suprafața (sub-caroiajul) Bezier triunghiulară**:

$$X_1(u, v, w) = \sum_{i+j+k=n} b_{i,j,k} B_{i,j,k}^n(u, v, w),$$

unde

$$0 \leq u, v, w \leq 1, u + v + w = 1 \text{ și fie}$$

$$X_2(u, v) = \sum_{i=0}^n \sum_{j=0}^n a_{ij} B_i^n(u) B_j^n(v)$$

**o suprafață Bezier rectangulară.**

Pentru ca două sub-suprafețe să fie asamblate continuu de-a lungul direcției  $u = 0$  este necesar ca:

$$X_1(0, v, w) = X_2(0, v)$$

ceea implică:

$$b_{0,k,n-k} = a_{0,k}, k = 0, (1), \dots, n.$$

Pentru continuitatea  $GC^1$  se impune ca tangentele de-a lungul direcției  $u$  să coincidă:

$$\frac{\partial X_2}{\partial u}(0, v) = -\frac{DX_1}{du}(0, v, w).$$

Se poate observa că cele două derivate de mai sus au grade diferite. Pentru a putea compara coeficienții este necesar să mărim gradul derivatei  $DX_1$ :

$$\begin{aligned} \frac{DX_1}{du}(0, v, w) &= n \sum_{j+k=n-1} (b_{1,j,k} - b_{0,j,k+1}) B_{0,j,k}^n(0, v, 1-v) = \\ &= n \sum_{j=0}^n \left[ \left(1 - \frac{j}{n}\right) (b_{1,j,n-1-j} - b_{0,j,n-j}) - \binom{j}{n} (b_{0,j-1,n+1-j} - b_{1,j-1,n-j}) B_j^n(v) \right]. \end{aligned}$$

Pentru  $u = 0$  și comparând coeficienții **suprafeței Bezier** rectangulară considerată mai sus

$$X_2(u, v) = \sum_{i=0}^n \sum_{j=0}^n a_{ij} B_i^n(u) B_j^n(v)$$

și folosind

$$\frac{\partial X_2}{\partial u}(0, v) = -\frac{DX_1}{du}(0, v, w)$$

rezultă

$$a_{1j} = 2 \left[ \left(1 - \frac{j}{2n}\right) b_{0,j,n-j} + \left(\frac{j}{2n}\right) b_{0,j-1,n+1-j} \right] - c_j$$

unde

$$c_j = \left(1 - \frac{j}{n}\right) b_{1,j,n-1-j} + \left(\frac{j}{2n}\right) b_{1,j-1,n-j}$$

pentru:  $j = 0, (1), \dots, n$ .

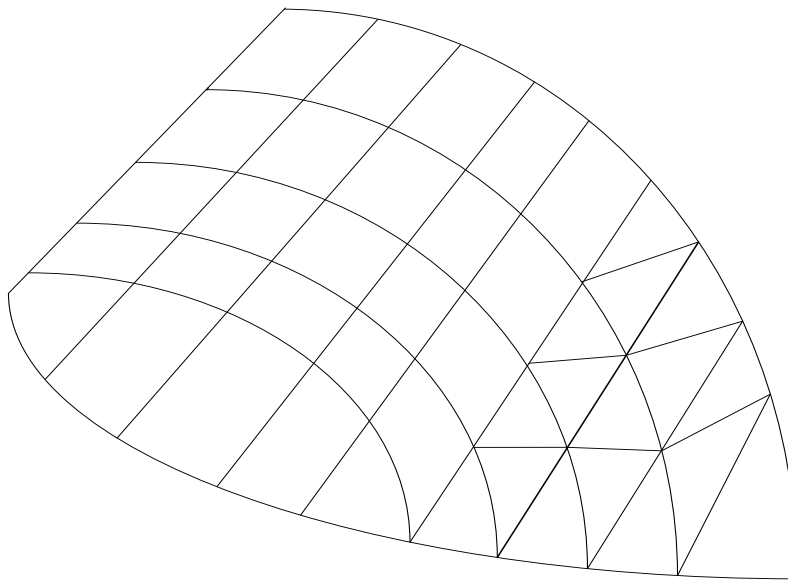
Geometric, situația de mai sus este reprezentată în (Fig. 5.5) și care prezintă continuitatea **sub-suprafețelor(caroiajelor)** Bezier triunghiulare și rectangulare.

În cazul **sub-suprafețelor Bezier** rectangulare condiția  $GC'$  de continuitate devine:

$$\left(1 - \frac{j}{n}\right) b_{1,j,n-1-j} + \left(\frac{j}{n}\right) b_{1,j-1,n-j} = -(a_{1,j} - a_{0,j}) + \left(1 - \frac{j}{n}\right) a_{0,j} + \left(\frac{j}{n}\right) a_{0,j+1},$$

pentru  $j = 0, (1), \dots, (n-1)$ . Pentru  $j = 0$  avem:  $b_{1,0,2} = a_{0,0} - (a_{1,0} - a_{0,0})$ .

În mod recursiv  $b_{1,j,k}$  se poate calcula din relația de mai sus, adică se pleacă de la  $a_{1,j}$  pentru a se obține  $b_{1,j,n-j-1}$ .



Continuitatea GC' între suprafețele ( caroiagele ) Bézier triunghiulare și rectangulare.

Fig. 5.5. Continuitatea sub-suprafețelor ( caroiajelor ) Bézier triunghiulare și rectangulare.

### 5.13. Interpolarea suprafețelor folosind suprafețele Bézier generate de puncte Bézier

O importantă aplicație a **suprafețelor Bézier** cu aplicații în modelarea suprafețelor o constituie utilizarea acestora la interpolarea unor suprafețe date. Pentru interpolare se folosesc **suprafețele Bézier** sub formă dreptunghiulară sau triunghiulară.

#### 5.13.1. Dreptunghiuri Bézier și triunghiuri Bézier folosite la interpolarea suprafețelor

Fie un **dreptunghi Bézier** de dimensiune  $(m \cdot n)$  definit prin:

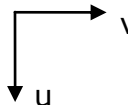
$$S(u, v) = \sum_{i=0}^m \sum_{j=0}^n P_{ij} B_i^m(u) B_j^n(v),$$

unde:  $(0 \leq u, v \leq 1)$  și unde:  $B_i^n(t)$  sunt **polinoame lui Bernstein** de gradul  $n$ , univariabile în  $t, t \in \mathbb{R}^2$ , iar  $P_{i,j}$  sunt **puncte Bézier**:

$$B_i^n(t) = \binom{n}{i} (1-t)^{n-i} t^i.$$

De exemplu punctele Bézier  $P_{i,j}$  ale **dreptunghiului bicubic Bézier** pentru  $m = n = 3$  sunt prezentate în (Tabel 5.1).

Tabel 5.1. Punctele Bezier ale dreptunghiului bicubic Bezier pentru  $m = n = 3$ .



$P_{0,0}$	$P_{0,1}$	$P_{0,2}$	$P_{0,3}$
$P_{1,0}$	$P_{1,1}$	$P_{1,2}$	$P_{1,3}$
$P_{2,0}$	$P_{2,1}$	$P_{2,2}$	$P_{2,3}$
$P_{3,0}$	$P_{3,1}$	$P_{3,2}$	$P_{3,2}$

**Punctele Bezier**  $Q_{i,j,k}$  ale unui **triunghi Bezier cuartic** pentru  $n = 4$  sunt prezentate în figura de mai jos (Fig. 5.6):

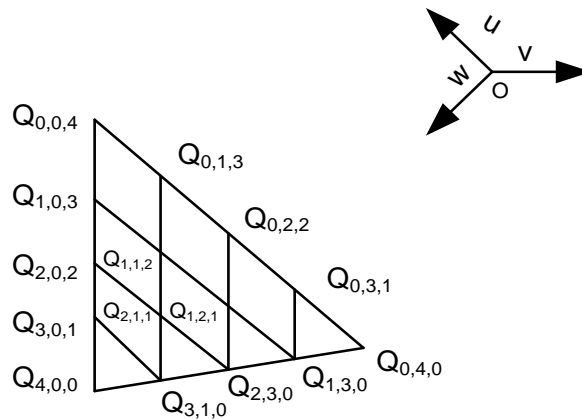


Fig. 5.6. Puncte Bezier ale unui triunghi Bezier cuartic.

### 5.13.2. Definirea unui triunghi Bezier de gradul $n$

Un triunghi Bezier de gradul  $n$  se definește:

$$S(u, v, w) = \sum_{i+j+k=n} b_{i,j,k}^n(u, v, w) Q_{i,j,k}$$

unde

$$\begin{cases} 0 \leq u, v, w \leq 1 \\ u + v + w = 1 \end{cases}$$

iar:  $b_{i,j,k}^n(u, v, w)$  sunt **polinoame bivariante Bernstein** de gradul  $n$ :

$$b_{i,j,k}^n(u, v, w) = \frac{n!}{i! j! k!} u^i v^j w^k .$$

### 5.13.3. Proprietățile geometrice ale triunghiului lui Bezier

Aceste proprietăți se pot pune în evidență transformând **dreptunghiurile Bezier** în **triunghiuri Bezier** folosind substituțiile:

$$u = t(1 - v) \text{ și } w = (1 - t)(1 - v)$$

atunci:

$$\begin{aligned}
 S(u, v, w) &= \sum_{0 \leq i, j, k}^{i+j+k=n} \frac{n!}{i! j! k!} t^i (1-v)^j v^k (1-t)^k Q_{i,j,k} = \\
 &= \sum_{j=0}^n B_j^n(v) \sum_{i=0}^{n-j} B_i^{n-j}(t) Q_{i,j,n-j-i}.
 \end{aligned}$$

Această substituție transformă coordonatele centrului de greutate<sup>8</sup>  $(u, v, w)$  în coordonate carteziene  $(t, v)$ . Ca urmare suprafața  $S(u, v, w)$  este transformată în  $S(t, v)$ :

$$S(t, v) = \sum_{j=0}^n B_j^n(v) C_j(t),$$

unde

$$C_j(t) = \sum_{i=0}^{n-j} B_i^{n-j}(t) Q_{i,j,n-j-i}.$$

Suprafața  $S(t, v)$  reprezintă o interpolare a unor curbe de grade ce variază de la  $n$  la 0, după cum se prezintă în figura de mai jos (Fig. 5.7).

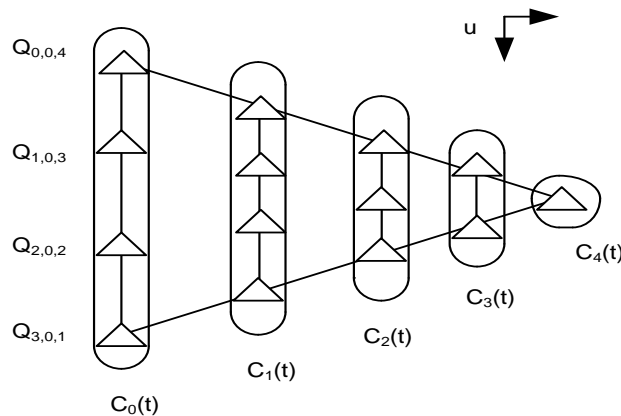


Fig. 5.7. Interpolarea unor curbe Bezier de grade ce variază de la  $n$  la zero.

Calculând derivatele suprafeței  $S(t, v)$  pentru marginile  $v = 0$  obținem:

$$\frac{\partial}{\partial v} S(t, v) \Big|_{v=0} = n(C_1(t) - C_0(t))$$

și:

$$\frac{\partial}{\partial t} S(t, v) \Big|_{t=0} = \frac{d}{dt} C_0(t)$$

Suprafața  $S(t, v)$  este astfel convertită la **dreptunghiuri Bezier** de gradul  $(n \cdot n)$  prin creșterea gradului fiecărei curbe până la gradul  $n$ . Fiecare curbă  $C_j(t)$  este convertită la o curbă  $C'_j(t)$ , iar **punctele de control (nodurile) Bezier** ale tuturor curbelor  $C'_j(t)$  formează un **dreptunghi Bezier** de gradul  $(n \cdot n)$ :

$$C'_j(t) = \sum_{i=0}^n B_i^n(t) Q'_{i,j}$$

și care este de fapt un dreptunghi "degenerat" corespunzător unei curbe de gradul 0 așa cum se prezintă în (Fig. 5.8).

<sup>8</sup> Barycenter (engl.)

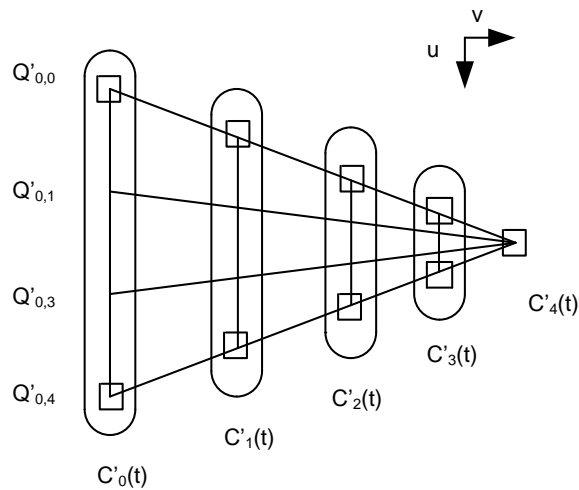


Fig. 5.8. Dreptunghiuri Bezier "degenerate" corespunzătoare unor curbe Bezier de gradul zero

### 5.13.4. Derivatele marginale ale triunghiurilor Bezier

Folosind derivatele marginale ale **triunghiurilor Bezier** de-a lungul frontierei **dreptunghiurilor Bezier** se pot construi **punctele (noduri) Bezier** aparținând **triunghiurilor Bezier** (Fig. 5.9).

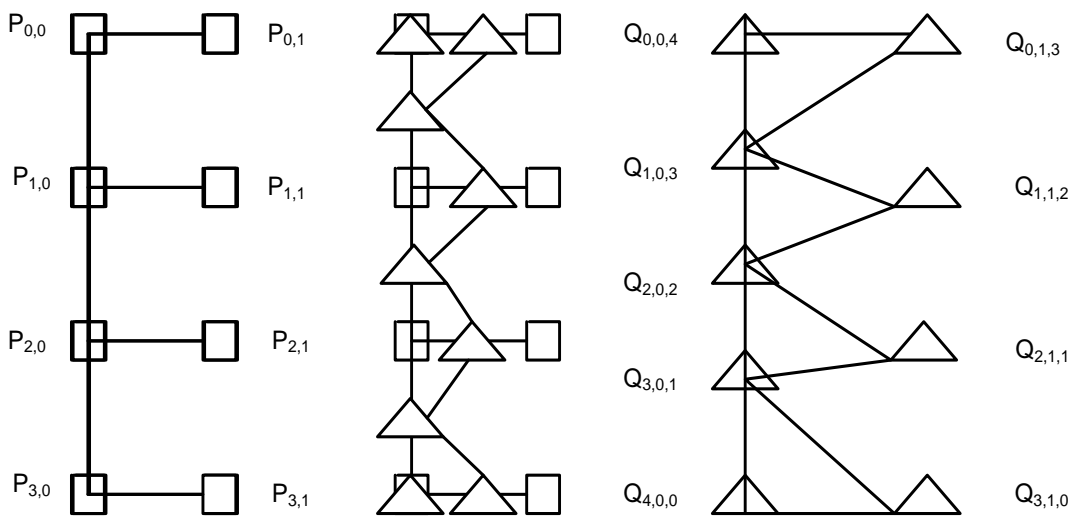


Fig. 5.9. Derivatele dreptunghiului Bezier cubic și ale triunghiului Bezier cuartic.

De exemplu **punctele (nodurile) Bezier**  $Q_{i,j,k}$  sunt derivatele de ordinul I ale **triunghiului Bezier cuartic** construit pornind de la **punctele (nodurile) Bezier**  $P_{i,j,k}$  ale dreptunghiului Bezier cubic folosind formulele:

$$Q_{0,0,4} = P_{0,0} \quad Q_{0,1,3} = \frac{P_{0,0} + 3P_{0,1}}{4}$$

$$Q_{0,1,3} = \frac{P_{0,0} + 3P_{1,0}}{4} \quad Q_{1,1,2} = \frac{P_{1,0} + 3P_{1,1}}{4}$$

$$Q_{2,0,2} = \frac{2P_{1,0} + 2P_{2,0}}{4} \quad Q_{2,1,1} = \frac{P_{2,0} + 3P_{2,1}}{4}$$

$$Q_{3,0,1} = \frac{3 P_{2,0} + P_{3,0}}{4} \quad Q_{3,1,0} = \frac{P_{2,0} + 3 P_{3,0} + 3 P_{3,1}}{4}$$

$$Q_{4,0,0} = P_{3,0}$$

Observație. Dacă sunt folosite derivatele de ordin superior, gradul **triunghiurilor Bezier** crește corespunzător acestui ordin.

### 5.13.5. Studiul suprafețelor Bezier în zona frontierei comune

Corespunzător tipurilor de suprafețe care se conectează în zona de frontieră comună se pot obține puncte (noduri) **Bezier** pentru dreptunghiurile sau **triunghiurile Bezier** din soluțiile ecuațiilor ce descriu această conexiune<sup>9</sup>. Se disting astfel trei combinații ale conexiunilor în zona frontierei comune:

- 1) Dreptunghi – dreptunghi;
- 2) Triunghi – triunghi;
- 3) Mixte: dreptunghi – triunghi.

Se pot obține astfel puncte de control interioare folosind condițiile de continuitate ale planului tangent:

$$\left. \frac{\partial}{\partial v} S^b(u, v) \right|_{v=0} = k(u) \left. \frac{\partial}{\partial v} S^a(u, v) \right|_{v=1} + h(u) \left. \frac{\partial}{\partial v} S^a(u, v) \right|_{v=1}$$

unde s-au introdus două funcții suplimentare:

$$k(u) = (1-u)k_0 + uk_1$$

$$h(u) = (1-u)h_0 + uh_1$$

Din condițiile impuse:  $u = 0$  și  $u = 1$  se obțin constantele  $k_0, k_1, h_0$  și  $h_1$ :

$$b_0 = k_0 a_0 + h_0 c_0 \text{ și } b_3 = k_1 a_3 + h_1 c_2.$$

Valorile lui  $b_1$  și  $b_2$  se obțin rezolvând ecuațiile de mai sus:

$$3b_1 = (k_1 - k_0) a_1 + 3k_0 a_1 + 2h_0 c_1 + h_1 c_1$$

$$3b_2 = 3k_1 a_2 - (k_1 - k_0) a_3 + h_0 c_2 + 2h_1 c_1,$$

iar reprezentarea grafică se prezintă în figura de mai jos (Fig. 5.10):

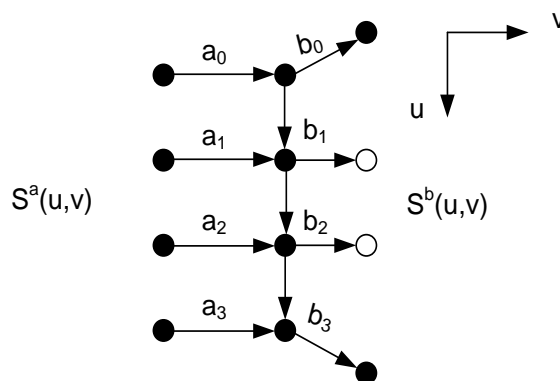


Fig. 5.10. Conectarea a două dreptunghiuri Bezier.

Această tehnică rezolvă orice combinație dintre suprafețele de contact, indiferent dacă au patru sau trei frontiere comune, de exemplu ca în figura de mai jos (Fig. 5.11):

<sup>9</sup> Tehnică dezvoltată de Chiokura și Kimura (Chiokura, 1983).



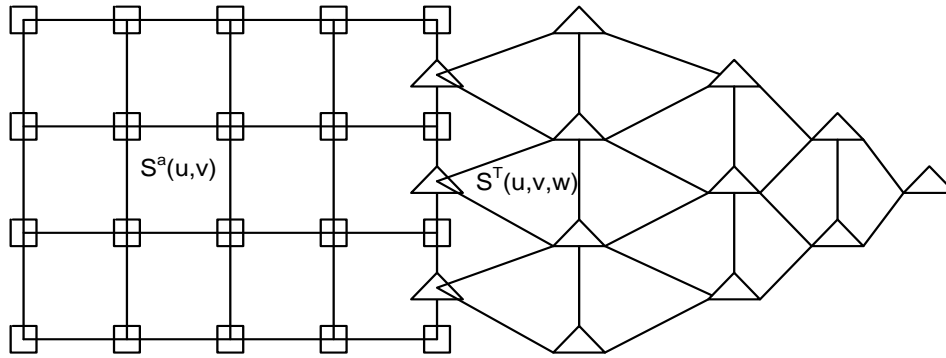


Fig. 5.11. Conexiuni dintre dreptunghiurile Bezier bicubice și triunghiulare Bezier cuartice.

Generalizând pentru suprafețe (caroiaje) se pot considera două cazuri:

1) Considerăm cazul suprafețelor (caroiajelor) cu patru laturi.

Folosim în acest caz **suprafața (caroiajul) Gregory** care ne permite să interpolăm punctele interioare de control cu ajutorul unei suprafețe raționale în funcție de două subpuncte de control, asociate cu una din margini.

Definim **suprafața (caroiajul) Gregory bicubic**:

$$S(u, v) = \sum_{i=0}^3 \sum_{j=0}^3 B_i^3(u) B_j^3(v) P_{i,j}(u, v)$$

unde:

$$P_{1,1}(u, v) = \frac{u P_{1,1}^v + v P_{1,1}^u}{u + (1 - v)}$$

$$P_{1,2}(u, v) = \frac{u P_{1,2}^v + (1 - v) P_{1,2}^u}{u + v}$$

$$P_{2,1}(u, v) = \frac{(1 - u) P_{2,1}^v + v P_{2,1}^u}{(1 - u) + v}$$

$$P_{2,2}(u, v) = \frac{(1 - u) P_{2,2}^v + (1 - v) P_{2,2}^u}{(1 - u) + (1 - v)}$$

și unde:  $P_{i,j}(u, v) = P_{i,j}$  sunt puncte de control: patru puncte interne se deplasează de-a lungul liniei segmentelor, iar punctele de capăt ale fiecărei linii segment sunt subpuncte de control care definesc derivatele de-a lungul marginilor suprafeței, ca în figura de mai jos (Fig. 5.12):

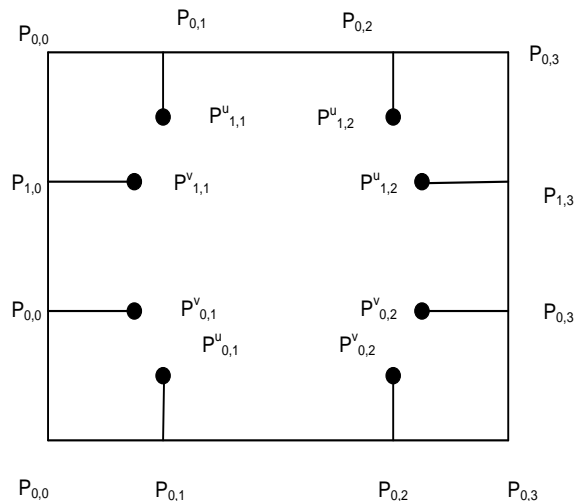


Fig. 5.12. Suprafețe (caroiaje) Gregory rectangulare bicubice.

Există diferite funcții care pot genera subpuncte de control conform relației de mai sus, dar acestea vor trebui să satisfacă cel puțin condițiile:

$$P_{1,1}(0, v) = P_{1,1}^u, P_{1,1}(u, 0) = P_{1,1}^v$$

$$P_{1,2}(0, v) = P_{1,2}^u, P_{1,2}(u, 1) = P_{1,2}^v$$

$$P_{2,1}(1, v) = P_{2,1}^u, P_{2,1}(u, 0) = P_{2,1}^v$$

$$P_{2,2}(1, v) = P_{2,2}^u, P_{2,2}(u, 1) = P_{2,2}^v$$

2) Considerăm cazul suprafețelor (caroiajelor) cu trei laturi.

În acest caz, adoptând metoda de mai sus, de la patru laturi la trei laturi definim **triunghiul cuartic a lui Gregory** (Fig. 5.13) astfel:

$$S(u, v, w) = \sum_{0 \leq i, j, k}^{i+j+k=4} b_{i,j,k}^4(u, v, w) Q_{i,j,k}(u, v, w),$$

unde:

$$Q_{1,1,2}(u, v, w) = \frac{u Q_{1,1,2}^v + v Q_{1,1,2}^u}{u + v}$$

$$Q_{2,1,1}(u, v, w) = \frac{v Q_{2,1,1}^w + w Q_{2,1,1}^v}{u + w}$$

$$Q_{1,2,1}(u, v, w) = \frac{w Q_{1,2,1}^u + u Q_{1,2,1}^w}{w + u}$$

și unde:  $Q_{i,j,k}(u, v, w) = Q_{i,j,k}$  pentru restul punctelor (nodurilor) de control.

Și în acest caz subpunctele (nodurile) de control trebuie să satisfacă condițiile:

$$Q_{1,1,2}(0, v, w) = Q_{1,1,2}^u, Q_{1,1,2}(u, 0, w) = Q_{1,1,2}^v$$

$$Q_{2,1,1}(u, 0, w) = Q_{2,1,1}^v, Q_{2,1,1}(u, v, 0) = Q_{2,1,1}^w$$

$$Q_{1,2,1}(u, v, 0) = Q_{1,2,1}^w, Q_{1,2,1}(0, v, w) = Q_{1,2,1}^u$$

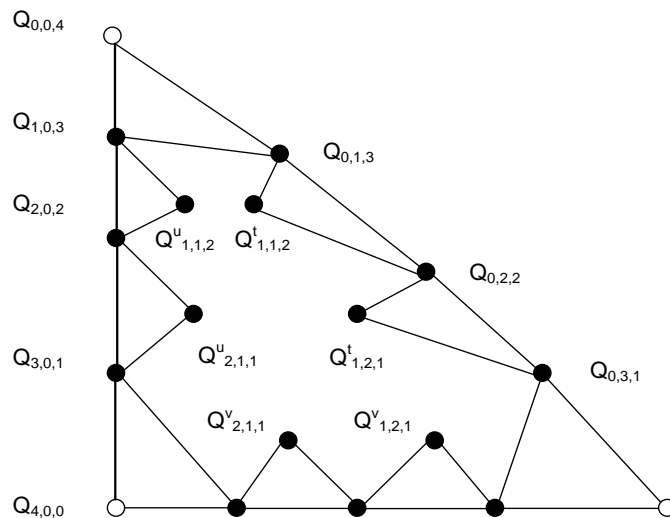


Fig. 5.13. Suprafață (caroiaj) Gregory triunghiulară cuartică

### 5.13.6. Utilizarea suprafețelor raționale Bezier pentru generarea punctelor Bezier

În acest caz folosim pentru generarea punctelor (nodurilor) interioare **Bezier** funcții raționale, ca de exemplu:

$$f(u, v) = \frac{(1-u)u\{(1-v)^2V_0 + v^2V_1\} + (1-v)v\{(1-u)^2U_0 + u^2U_1\}}{(1-u)u\{(1-v)^2 + v^2\} + (1-v)v\{(1-v)^2 + u^2\}} =$$

$$= \frac{\begin{bmatrix} (1-u)^2 \\ 2(1-u)u \\ u^2 \end{bmatrix}^T \begin{bmatrix} 0 & U_0 & 0 \\ V_0 & 0 & V_1 \\ 0 & U_1 & 0 \end{bmatrix} \begin{bmatrix} (1-v)^2 \\ 2(1-v)v \\ v^2 \end{bmatrix}}{\begin{bmatrix} (1-u)^2 \\ 2(1-u)u \\ u^2 \end{bmatrix}^T \begin{bmatrix} 0 & 1 & 0 \\ 1 & 0 & 1 \\ 0 & 1 & 0 \end{bmatrix} \begin{bmatrix} (1-v)^2 \\ 2(1-v)v \\ v^2 \end{bmatrix}}$$

Funcția  $f(u, v)$  este de tip **rațional Bezier** și se generează pentru patru puncte  $V_0, V_1, U_0$  și  $U_1$  (Fig. 5.14):

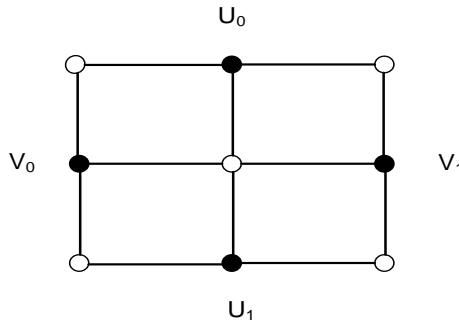


Fig. 5.14. Funcția  $F(u, v)$  de tip rațional Bezier

Se poate observa că ponderea punctelor de control este zero. Ca urmare funcția are următoarele proprietăți:

$$f(u, 0) = V_0; f(u, 1) = V_1$$

$$f(0, v) = U_0; f(1, v) = U_1$$

$$f(u, v) = \begin{cases} \frac{(1-u)(1-v)V_0 + uvV_1}{(1-u)(1-v) + uv}, \text{ dacă: } V_0 = U_0, V_1 = U_1 \\ \frac{u(1-v)V_0 + (1-u)vV_1}{u(1-v) + (1-u)v}, \text{ dacă: } V_0 = U_1, V_1 = U_0 \end{cases}$$

În acest caz **punctele (nodurile) de control Bezier** sunt definite de **punctele (nodurile) de control raționale Bezier**:

$$P_{1,1}(u, v) = \frac{u(1-v)P_{1,1}^v + (1-u)vP_{1,1}^u}{u(1-v) + (1-u)v}$$

$$P_{1,2}(u, v) = \frac{uvP_{1,2}^v + (1-u)(1-v)P_{1,2}^u}{uv + (1-u)(1-v)}$$

$$P_{2,1}(u, v) = \frac{(1-u)(1-v)P_{2,1}^v + uvP_{2,1}^u}{(1-u)(1-v) + uv}$$

$$P_{2,2}(u, v) = \frac{(1-u)vP_{2,2}^v + u(1-v)P_{2,2}^u}{(1-u)v + u(1-v)}$$

Totuși în unele cazuri, datorită numitorului, suprafețele generate prezintă instabilități care pot fi evidențiate considerând derivatele pentru margini unde  $v = 0$ :

$$\frac{\partial}{\partial v} S(u, v) = \sum_{i=0}^m B_i^m(u) \left\{ \sum_{j=0}^n \frac{d}{dv} B_j^n(v) P_{i,j}(u, v) + \sum_{j=0}^n B_j^n(v) P_{i,j}(u, v) \right\}$$

$$\frac{\partial}{\partial v} S(u, v) \Big|_{v=0} = \sum_{i=0}^m B_i^m(u) \{ n [P_{i,1}(u, 0) - P_{i,0}(u, 0)] \} + \frac{\partial}{\partial v} P_{i,0}(u, v) \Big|_{v=0}$$

Pentru a defini cele patru derivate independente de-a lungul marginilor trebuie luate în considerare și **punctele (nodurile) de control Bezier**. Valoarea derivatelor în **punctele Bezier** pentru cele patru margini este zero.

$$\frac{\partial}{\partial v} S(u, v) \Big|_{v=0} = 0$$

Dacă însă se încearcă folosirea unor funcții de grad mai mare și este necesară obținerea derivatelor **punctelor Bezier** pentru valoarea zero, atunci trebuie utilizată următoarea formă pentru funcția  $f(u, v)$ :

$$f(u, v) = \frac{B_d^{2d}(u)\{B_d^{2d}(v)V_0 + B_{2d}^{2d}(v)V_1\} + B_d^{2d}(v)\{B_0^{2d}(u)U_0 + B_{2d}^{2d}(u)U_1\}}{B_d^{2d}(u)\{B_d^{2d}(v) + B_{2d}^{2d}(v)\} + B_d^{2d}(v)\{B_0^{2d}(u) + B_{2d}^{2d}(u)\}} =$$

$$= \frac{(1-u)^d u^d \{(1-v)^{2d}V_0 + v^{2d}V_1\} + (1-v)^d v^d \{(1-u)^{2d}U_0 + U_1^{2d}\}}{(1-u)^d u^d \{(1-v)^{2d} + v^{2d}\} + (1-v)^d v^d \{(1-u)^{2d}\}}.$$

Exprimând funcția  $f(u, v)$  matricial obținem:

$$\begin{bmatrix} B_0^{2d}(u) \\ B_1^{2d}(u) \\ \vdots \\ B_{d-1}^{2d}(u) \\ B_d^{2d}(u) \\ B_{d+1}^{2d}(u) \\ \vdots \\ B_{2d-1}^{2d}(u) \\ B_{2d}^{2d}(u) \end{bmatrix}^T \begin{bmatrix} 0 & 0 & \dots & 0 & U_0 & 0 & \dots & 0 & 0 \\ 0 & 0 & \dots & 0 & 0 & 0 & \dots & 0 & 0 \\ \dots & \dots & \dots & \dots & \dots & \dots & \dots & \dots & \dots \\ 0 & 0 & \dots & 0 & 0 & 0 & \dots & 0 & 0 \\ V_0 & 0 & \dots & 0 & 0 & 0 & \dots & 0 & V_1 \\ 0 & 0 & \dots & 0 & 0 & 0 & \dots & 0 & 0 \\ \dots & \dots & \dots & \dots & \dots & \dots & \dots & \dots & \dots \\ 0 & 0 & \dots & 0 & 0 & 0 & \dots & 0 & 0 \\ 0 & 0 & \dots & 0 & U_1 & 0 & \dots & 0 & 0 \end{bmatrix} \begin{bmatrix} B_0^{2d}(u) \\ B_1^{2d}(u) \\ \vdots \\ B_{d-1}^{2d}(u) \\ B_d^{2d}(u) \\ B_{d+1}^{2d}(u) \\ \vdots \\ B_{2d-1}^{2d}(u) \\ B_{2d}^{2d}(u) \end{bmatrix}$$

$$\begin{bmatrix} B_0^{2d}(u) \\ B_1^{2d}(u) \\ \vdots \\ B_{d-1}^{2d}(u) \\ B_d^{2d}(u) \\ B_{d+1}^{2d}(u) \\ \vdots \\ B_{2d-1}^{2d}(u) \\ B_{2d}^{2d}(u) \end{bmatrix}^T \begin{bmatrix} 0 & 0 & \dots & 0 & 1 & 0 & \dots & 0 & 0 \\ 0 & 0 & \dots & 0 & 0 & 0 & \dots & 0 & 0 \\ \dots & \dots & \dots & \dots & \dots & \dots & \dots & \dots & \dots \\ 0 & 0 & \dots & 0 & 0 & 0 & \dots & 0 & 0 \\ 1 & 0 & \dots & 0 & 0 & 0 & \dots & 0 & 1 \\ 0 & 0 & \dots & 0 & 0 & 0 & \dots & 0 & 0 \\ \dots & \dots & \dots & \dots & \dots & \dots & \dots & \dots & \dots \\ 0 & 0 & \dots & 0 & 0 & 0 & \dots & 0 & 0 \\ 0 & 0 & \dots & 0 & 1 & 0 & \dots & 0 & 0 \end{bmatrix} \begin{bmatrix} B_0^{2d}(u) \\ B_1^{2d}(u) \\ \vdots \\ B_{d-1}^{2d}(u) \\ B_d^{2d}(u) \\ B_{d+1}^{2d}(u) \\ \vdots \\ B_{2d-1}^{2d}(u) \\ B_{2d}^{2d}(u) \end{bmatrix}$$

Se poate observa că funcția  $f(u, v)$  a **suprafețelor Bezier** are doar un punct (nod) de control nenul în fiecare parte. Acesta reduce amploarea calculului în cazul conversiei suprafețelor considerate spre o **suprafață Bezier** rațională.

În plus funcția  $f(u, v)$  mai are următoarele proprietăți:

$$\frac{\partial^i}{\partial u^i} f(u, v) \Big|_{u=0} = \frac{\partial^i}{\partial u^i} f(u, v) \Big|_{u=1} = \frac{\partial^i}{\partial v^i} f(u, v) \Big|_{v=0} = \frac{\partial^i}{\partial v^i} f(u, v) \Big|_{v=1} = 0$$

unde:  $i = 1, 2, \dots, (d - 1)$ .

În cazul considerării **triunghiurilor Bezier**,  $\exists$  o funcție  $g(u, v, w)$  care generează subpunctele (nodurile) de control:

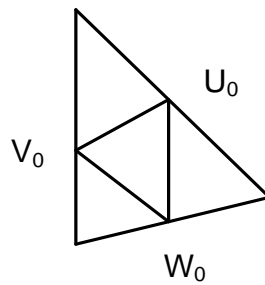
$$g(u, v, w) = \frac{vwU_0 + wuV_0 + uvW_0}{vw + wu + uv}$$

unde cele trei valori  $U_0, V_0, W_0$  introduse au următoarele proprietăți conform figurii de mai jos (Fig. 5.15).

$$g(0, v, w) = U_0$$

$$g(u, 0, w) = V_0$$

$$g(u, v, 0) = W_0$$

Fig. 5.15. Funcția  $g(u, v, w)$  Bezier triunghiulară

Întocmai ca și funcția  $f(u, v)$ , funcția  $g(u, v, w)$  are forma generală:

$$g(u, v, w) = \frac{v^d w^d U_0 + w^d u^d V_0 + u^d v^d W_0}{v^d w^d + w^d u^d + u^d v^d} =$$

$$= \frac{b_{0,d,d}^{2d}(u, v, w)U_0 + b_{d,0,d}^{2d}(u, v, w)V_0 + b_{d,d,0}^{2d}(u, v, w)W_0}{b_{0,d,d}^{2d}(u, v, w) + b_{d,0,d}^{2d}(u, v, w) + b_{d,d,0}^{2d}(u, v, w)}$$

Și această funcție, întocmai ca și funcția  $f(u, v)$  are o singură valoare pentru fiecare parte a ecuației când este exprimată prin **forme Bezier raționale**. În plus funcția  $g(u, v, w)$  are următoarele proprietăți:

$$\frac{\partial^i}{\partial u^i} g(u, v, w) \Big|_{u=0} = \frac{\partial^i}{\partial v^i} g(u, v, w) \Big|_{v=0} = \frac{\partial^i}{\partial w^i} g(u, v, w) \Big|_{w=0} = 0$$

unde  $i = 1, 2, \dots, (d-1)$ .

În special funcția  $g(u, v, w)$  este utilizată îndeosebi la suprafețe cu trei margini (laturi). În acest fel punctele (nodurile) de **control Bezier** ale **suprafețelor (caroiajelor) Gregory** triunghiulare bicubice pot fi înlocuite cu următoarele puncte de control a unor suprafețe raționale

$$Q_{i,j,k}(u, v, w) = \frac{u w Q_{i,j,k}^u + w u Q_{i,j,k}^v + u v Q_{i,j,k}^w}{u w + w u + u v}$$

unde:

$$Q_{1,2,1}^v = \frac{Q_{1,2,1}^w + Q_{1,2,1}^u}{2},$$

$$Q_{1,1,2}^w = \frac{Q_{1,1,2}^u + Q_{1,1,2}^v}{2},$$

$$Q_{2,1,1}^u = \frac{Q_{2,1,1}^v + Q_{2,1,1}^w}{2}.$$

În plus **suprafețele Bezier** având puncte (noduri) de control raționale pot fi convertite la **suprafețe raționale Bezier**. Dar dacă **punctele raționale Bezier** nu au un numitor comun acestea trebuie transformate pentru a avea un numitor comun, ceea ce nu prezintă dificultăți suplimentare deoarece fiecare punct (nod) de control are doar trei sau patru puncte valori nenule, ceea ce face ca efortul de conversie să fie minim.

### 5.13.7. Utilizarea punctelor raționale Bezier la generarea suprafețelor Bezier rectangulare

**Suprafețele Bezier** dreptunghiulare ce folosesc **puncte raționale Bezier** au forma:

$$S(u, v) = \sum_{i=0}^m \sum_{j=0}^n B_i^m(u) B_j^n(v) P_{i,j}(u, v)$$

unde:  $P_{i,j}(u, v)$  are forma rațională de mai jos:

$$P_{i,j}(u,v) = \frac{\sum_{k=0}^p \sum_{l=0}^q B_k^p(u) B_l^q(v) w_{k,l} P_{k,l}^{i,j}}{\sum_{k=0}^p \sum_{l=0}^q B_k^p(u) B_l^q(v) w_{k,l}}$$

Folosind **polinoamele lui Bernstein** într-o singură variabilă  $t$ :

$$B_i^p(t) B_j^q(t) = \frac{\binom{p}{i} \binom{q}{j}}{\binom{p+q}{i+j}} B_{i+j}^{p+q}(t)$$

**suprafața dreptunghiulară Bezier** are forma:

$$S(u,v) = \frac{\sum_{i=0}^{m+p} \sum_{j=0}^{n+p} B_i^{m+p}(u) B_j^{n+q}(v) w'_{i,j} P'_{i,j}}{\sum_{i=0}^{m+p} \sum_{j=0}^{n+p} B_i^{m+p}(u) B_j^{n+q}(v) w'_{i,j}}$$

Și în acest caz nu este necesar să se ia în considerare elementele nule, ceea ce simplifică calculele, iar numărul elementelor (**punctelor, nodurilor**) **Bezier** nenule este întotdeauna patru, egal cu numărul marginilor **suprafeței Bezier** corespunzătoare

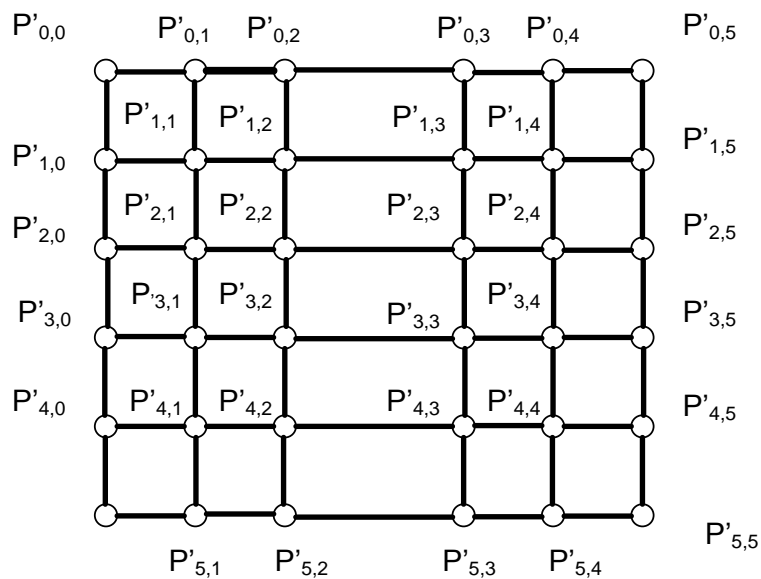


Fig. 5.16. Suprafețe rectangulare raționale Bezier având puncte (noduri) Bezier de pondere zero

Punctele de control (nodurile)  $P'_{i,j}$  ale unei suprafețe rectangulare raționale **Bezier** sunt prezentate în figura de mai sus (Fig. 5.16), unde punctele (nodurile) din colțuri au ponderea zero, datorită raționalității funcției ce le definește. Punctele (nodurile) aflate în apropierea colțurilor au următoarele caracteristici:

$$\begin{aligned} W'_{0,0} &= 0, P'_{0,1} = p'_{1,0} \\ W'_{0,5} &= 0, P'_{0,4} = p'_{1,5} \\ W'_{5,0} &= 0, P'_{5,1} = p'_{1,0} \\ W'_{5,5} &= 0, P'_{5,4} = p'_{4,5} \end{aligned}$$

și care sunt prezentate în figura de mai jos (Fig. 5.17).

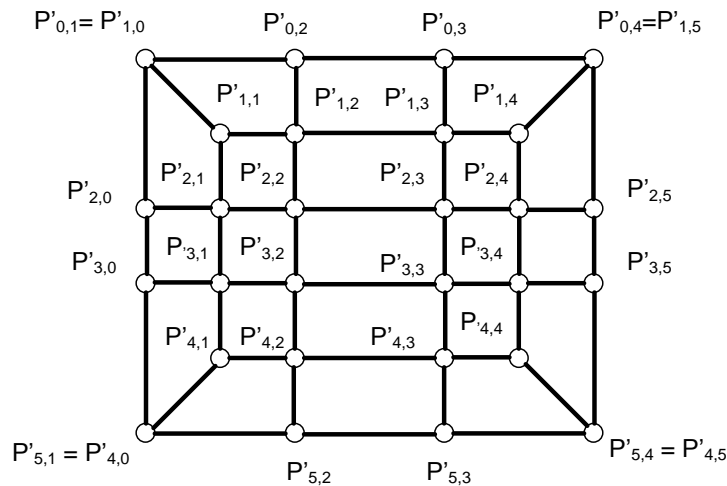


Fig. 5.17. Suprafețe Bezier rectangulare folosind puncte (noduri) Bezier.

Dacă funcția  $f(u, v)$  se alege a avea un grad superior, aceasta devine:

$$f(u, v) = \frac{(1-u)^2 u^2 \{(1-v)^4 V_0 + v^4 V_1\} + (1-v)^2 v^2 \{(1-u)^4 u_0 + u^4 u_1\}}{(1-u)^2 u^2 \{(1-v)^4 + v^4\} + (1-v)^2 v^2 \{(1-u)^4 + u^4\}}$$

și care este în special utilizată când, prin mărimea numărului de puncte (noduri) de control cu ponderea zero, gradul colțurilor suprafeței cresc.

### 5.13.8. Utilizarea punctelor raționale Bezier la generarea suprafețelor Bezier triunghiulare

O suprafață Bezier triunghiulară având puncte Bezier are forma:

$$S(u, v, w) = \sum_{i+j+k=n} b_{i,j,k}^n(u, v, w) Q_{i,j,k}(u, v, w)$$

unde:

$$Q_{i,j,k}(u, v, w) = \frac{\sum_{0 \leq l,m,n}^{l+m+k=p} b_{l,m,n}^p(u, v, w) w_{l,m,n} Q_{l,m,n}^{i,j,k}(u, v, w)}{\sum_{0 \leq l,m,n}^{l+m+n=p} b_{l,m,n}^p(u, v, w) w_{l,m,n}}$$

Folosind polinoamele lui Bernstein în acest caz de două variabile obținem:

$$b_{i,j,k}^p(u, v, w) b_{l,m,n}^q(u, v, w) = \frac{\frac{p!}{i!j!k!} \frac{q!}{l!m!n!}}{(p+q)!} b_{i+l,j+m,k+n}^{p+q}(u, v, w)$$

suprafața  $S(u, v, w)$  devine:

$$S(u, v, w) = \frac{\sum_{0 \leq i,j,k}^{i+j+k=n+p} b_{i,j,k}^{n+p}(u, v, w) W'_{i,j,k} Q'_{i,j,k}}{\sum_{0 \leq i,j,k}^{i+j+k=n+p} b_{i,j,k}^{n+p}(u, v, w) W'_{i,j,k}}$$

Numărul de puncte (noduri) Bezier nenule este întotdeauna trei, egal cu numărul de margini (laturi) ale suprafeței Bezier, dar în acest caz punctele nule au o mai mică importanță față de suprafețele Bezier rectangulare. Punctele (nodurile) de control Bezier din colțuri au următoarele caracteristici:

$$\begin{aligned} W'_{0,0,6} &= 0, Q'_{1,0,5} = Q'_{0,1,5} \\ W'_{0,6,0} &= 0, Q'_{1,5,0} = Q'_{0,1,1} \\ W'_{6,0,0} &= 0, Q'_{5,0,1} = Q'_{5,1,0} \end{aligned}$$

și care sunt exemplificate în figura de mai jos (Fig. 5.18).

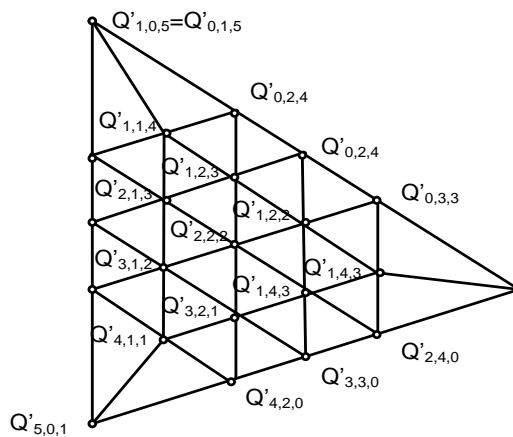


Fig. 5.18. Suprafețe Bezier triunghiulare folosind puncte (noduri) Bezier

### 5.13.9. Eliminarea singularităților la colțurile de conectare

Se poate observa din exemplele precedente că **suprafețele raționale Bezier** au singularități la colțurile de conectare ceea ce poate reprezenta un inconvenient, ponderile nule în general fiind nepermise. În general se folosesc diverse metode pentru a elimina aceste singularități, funcția  $f(u, v)$  fiind înlocuită cu funcția  $f^\varepsilon(u, v)$ , iar  $g(u, v, w)$  cu  $g^\varepsilon(u, v, w)$ , unde funcția  $f^\varepsilon(u, v)$  are expresia matricială de mai jos:

$$\begin{bmatrix} B_0^{2d}(u) \\ B_1^{2d}(u) \\ \vdots \\ B_{d-1}^{2d}(u) \\ B_d^{2d}(u) \\ B_{d+1}^{2d}(u) \\ \vdots \\ B_{2d-1}^{2d}(u) \\ B_{2d}^{2d}(u) \end{bmatrix}^T \begin{bmatrix} (u_0 + v_0)\varepsilon & 0 & \dots & 0 & U_0 & 0 & \dots & 0 & (u_0 + v_1)\varepsilon \\ 0 & 0 & \dots & 0 & 0 & 0 & \dots & 0 & 0 \\ \dots & \dots & \dots & \dots & \dots & \dots & \dots & \dots & \dots \\ \dots & \dots & \dots & \dots & \dots & \dots & \dots & \dots & \dots \\ 0 & 0 & \dots & 0 & 0 & 0 & \dots & 0 & 0 \\ V_0 & 0 & \dots & 0 & 0 & 0 & \dots & 0 & V_1 \\ 0 & 0 & \dots & 0 & 0 & 0 & \dots & 0 & 0 \\ \dots & \dots & \dots & \dots & \dots & \dots & \dots & \dots & \dots \\ \dots & \dots & \dots & \dots & \dots & \dots & \dots & \dots & \dots \\ 0 & 0 & \dots & 0 & 0 & 0 & \dots & 0 & 0 \\ (u_1 + v_0)\varepsilon & 0 & \dots & 0 & U_1 & 0 & \dots & 0 & (u_1 + v_1)\varepsilon \end{bmatrix} \begin{bmatrix} B_0^{2d}(u) \\ B_1^{2d}(u) \\ \vdots \\ B_{d-1}^{2d}(u) \\ B_d^{2d}(u) \\ B_{d+1}^{2d}(u) \\ \vdots \\ B_{2d-1}^{2d}(u) \\ B_{2d}^{2d}(u) \end{bmatrix}$$
  

$$\begin{bmatrix} B_0^{2d}(u) \\ B_1^{2d}(u) \\ \vdots \\ B_{d-1}^{2d}(u) \\ B_d^{2d}(u) \\ B_{d+1}^{2d}(u) \\ \vdots \\ B_{2d-1}^{2d}(u) \\ B_{2d}^{2d}(u) \end{bmatrix}^T \begin{bmatrix} 2\varepsilon & 0 & \dots & 0 & 1 & 0 & \dots & 0 & 2\varepsilon \\ 0 & 0 & \dots & 0 & 0 & 0 & \dots & 0 & 0 \\ \dots & \dots & \dots & \dots & \dots & \dots & \dots & \dots & \dots \\ \dots & \dots & \dots & \dots & \dots & \dots & \dots & \dots & \dots \\ 0 & 0 & \dots & 0 & 0 & 0 & \dots & 0 & 0 \\ 1 & 0 & \dots & 0 & 0 & 0 & \dots & 0 & 1 \\ 0 & 0 & \dots & 0 & 0 & 0 & \dots & 0 & 0 \\ \dots & \dots & \dots & \dots & \dots & \dots & \dots & \dots & \dots \\ \dots & \dots & \dots & \dots & \dots & \dots & \dots & \dots & \dots \\ 0 & 0 & \dots & 0 & 0 & 0 & \dots & 0 & 0 \\ 2\varepsilon & 0 & \dots & 0 & 1 & 0 & \dots & 0 & 2\varepsilon \end{bmatrix} \begin{bmatrix} B_0^{2d}(u) \\ B_1^{2d}(u) \\ \vdots \\ B_{d-1}^{2d}(u) \\ B_d^{2d}(u) \\ B_{d+1}^{2d}(u) \\ \vdots \\ B_{2d-1}^{2d}(u) \\ B_{2d}^{2d}(u) \end{bmatrix}$$

Funcția  $f^\varepsilon(u, v)$  se obține introducând mici deviații ale valorilor în cele patru colțuri care ridică singularitatea funcției  $f(u, v)$  în cele patru colțuri.



Valorile  $f(0,0), f(0,1), f(1,0), f(1,1)$ , exprimând colturile de conectare care sunt nedefinite, se înlocuiesc cu noi valori:

$$f^\varepsilon(0,0) = \frac{u_0 + v_0}{2}, f^\varepsilon(0,1) = \frac{u_0 + v_1}{2}, f^\varepsilon(1,0) = \frac{u_1 + v_0}{2} \text{ și } f^\varepsilon(1,1) = \frac{u_1 + v_1}{2}$$

Proprietățile derivatelor funcțiilor  $f(u,v)$  se extind și pentru funcția  $f^\varepsilon(u,v)$ :

$$\frac{\partial^i}{\partial u^i} f^\varepsilon(u,v)|_{u=0} = \frac{\partial^i}{\partial u^i} f^\varepsilon(u,v)|_{u=1} = \frac{\partial^i}{\partial v^i} f^\varepsilon(u,v)|_{v=0} = \frac{\partial^i}{\partial v^i} f^\varepsilon(u,v)|_{v=1} = 0$$

unde:  $i = 1, 2, \dots, (d-1)$ .

În mod similar funcția  $g(u,v,w)$  este înlocuită cu funcția  $g^\varepsilon(u,v,w)$ :

$$g^\varepsilon(u,v,w) = \frac{\left[ \binom{2d}{d} v^d w^d u_0 + \binom{2d}{d} w^d u^d v_0 + \binom{2d}{d} u^d v^d w_0 \right]}{\binom{2d}{d} v^d w^d + \binom{2d}{d} w^d u^d + \binom{2d}{d} u^d v^d + u^{2d} 2\varepsilon + v^{2d} 2\varepsilon + w^{2d} 2\varepsilon}.$$

Funcția  $g(u,v,w)$  este înlocuită cu funcția  $g^\varepsilon(u,v,w)$  introducând mici variații ale valorilor în cele trei colțuri ale funcției  $g(u,v,w)$  și  $f(u,v)$  unde valorile lui  $g$  se înlocuiesc cu  $g^\varepsilon$ :

$$g^\varepsilon(1,0,0) = \frac{v+w}{2}; g^\varepsilon(0,1,0) = \frac{u+w}{2}; g^\varepsilon(0,0,1) = \frac{u+v}{2},$$

iar proprietățile derivatelor funcției  $g(u,v,w)$  pentru margini (laturi) se extind și pentru funcția  $g^\varepsilon(u,v,w)$ :

$$\frac{\partial^i}{\partial u^i} g^\varepsilon(u,v,w)|_{u=0} = \frac{\partial^i}{\partial v^i} g^\varepsilon(u,v,w)|_{v=0} = \frac{\partial^i}{\partial w^i} g^\varepsilon(u,v,w)|_{w=0} = 0$$

unde:  $i = 1, 2, \dots, (d-1)$ .

Ambele funcții  $f^\varepsilon(u,v)$  și  $g^\varepsilon(u,v,w)$  complică prelucrarea **suprafețelor Bezier raționale**, măbind timpul de prelucrare, deoarece numărul de elemente nenule se măresc și anume de la patru la opt în cazul funcției  $f(u,v)$  și de la trei la șase în cazul funcției  $g(u,v,w)$ .

În concluzie se poate arăta că folosind metodele de mai sus, **modelarea suprafețelor Bezier** se poate executa folosind suprafețe rectangulare sau triunghiulare, reducând în acest fel timpul de prelucrare.

## 5.14. Utilizarea suprafețelor Gordon-Coons<sup>10</sup> în modelarea geometrică

În contrast cu metodele prezentate anterior unde modelarea, interpolarea sau aproximarea suprafețelor se poate face ținând cont de un set de puncte de control (noduri), metoda **suprafețelor Gordon-Coons** ia în considerare totalitatea punctelor (nodurilor) de-a lungul unor polinoame (curbe) de frontieră date.

### 5.14.1. Utilizarea suprafețelor rectangulare Gordon-Coons în modelarea geometrică

Pentru început se va prezenta utilizarea sub-suprafețelor (sub-caroiajelor) rectangulare care intersectează datele de-a lungul frontierei unui patrulater. Astfel de suprafețe pot fi folosite pentru a construi un complex de astfel de sub-suprafețe (sub-caroiaje) rectangulare care să interpozeze datele într-o rețea rectangulară de curbe în spațiu.

<sup>10</sup> numite în literatura de specialitate și suprafețe de interpolare **Hermite**.

Fie pentru început cazul simplu al unor curbe de frontieră (marginie) reprezentate prin linii drepte ale unui patrulater, definit prin patru puncte  $F(i, k)$ ,  $i, k = 0, 1$  aflate pe unul din planele  $x = 0, x = 1, y = 0, y = 1$  (Fig. 5.19).

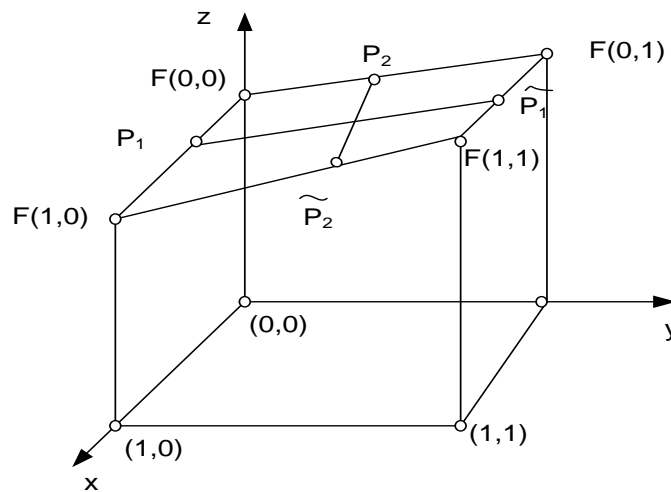


Fig. 5.19. Interpolare liniară a unui patrulater în spațiu cu laturi (marginie) linii drepte.

Presupunând că sunt date valorile funcției  $F(0)$  și  $F(1)$ , atunci linia care interpolează aceste valori este dată de relația:

$$F(x) = (1-x)F(0) + xF(1), \text{ definită pentru } x \in [0, 1]$$

și unde  $f_0(x) := 1-x, f_1(x) := x, x \in [0, 1]$ .

Pentru a fi siguri că funcția de interpolare ia valori corecte, adică cu toleranțe în limitele acceptate, la capetele intervalului  $[0, 1]$ , cele două funcții trebuie să satisfacă condițiile:

$$f_i(k) = \delta_{i,k} = \begin{cases} 1, & \text{pentru } i = k \\ 0, & \text{pentru } i \neq k \end{cases}$$

Deoarece patrulaterul de interpolare a fost definit, construim marginile liniare ale acestuia, considerând de exemplu planele  $y = \text{constant}$ :

$$P_1 = (1-x)F(0,0) + xF(1,0) \text{ și } \tilde{P}_1 = (1-x)F(0,1) + xF(1,1)$$

Dacă **interpolăm în direcția y** avem suprafețele :

$$Q_1 = (1-y)[(1-x)F(0,0) + xF(1,0) + y[(1-x)F(0,1) + xF(1,1)]]$$

pentru  $x = \text{constant}$  avem:

$$P_2 = (1-y)F(0,0) \text{ și } P_2(1-y)F(1,0) + yF(1,1).$$

➤ Dacă **interpolăm în direcția x** avem suprafețele:

$$Q_2 = (1-x)[(1-y)F(0,0) + yF(0,1)] + x[(1-y)F(1,0) + yF(1,1)].$$

Pentru ca patrulaterul să se "închidă", adică laturile să se întâlnească două câte două trebuie ca:  $Q_1 = Q_2$ . Extinzând problema considerată astfel încât marginile să nu fie linii drepte, ci curbe în spațiu (Fig. 5.20):

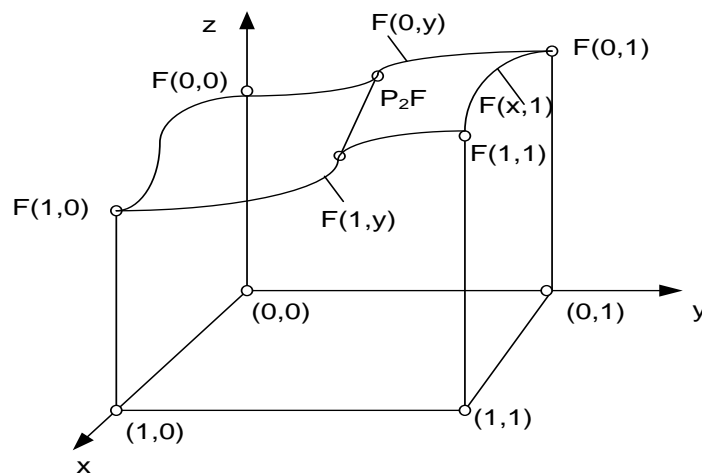


Fig. 5.20. Suprafața de interpolare liniară a unui patrulater în spațiu cu laturi (margini) linii curbe.

$$F(x, 0), F(x, 1), F(0, y) \text{ și } F(1, y),$$

- atunci pentru **y constant**, formula de interpolare are forma:

$$P_1 F(x, y) = (1 - y) F(x, 0) + y F(x, 1).$$

- iar pentru **x constant**, formula de interpolare are forma:

$$P_2 F(x, y) = (1 - x) F(0, y) + x F(1, y).$$

Dar în acest caz cele două suprafețe  $P_1 F(x, y)$  și  $P_2 F(x, y)$  sunt diferite. Pentru a le apropia trebuie să modificăm formulele de mai sus, ori aceasta induce erori. Pentru a calcula aceste erori, considerăm marginile pentru care  $x = 0$  și  $x = 1$ , figura de mai jos (

Fig. 5.21):

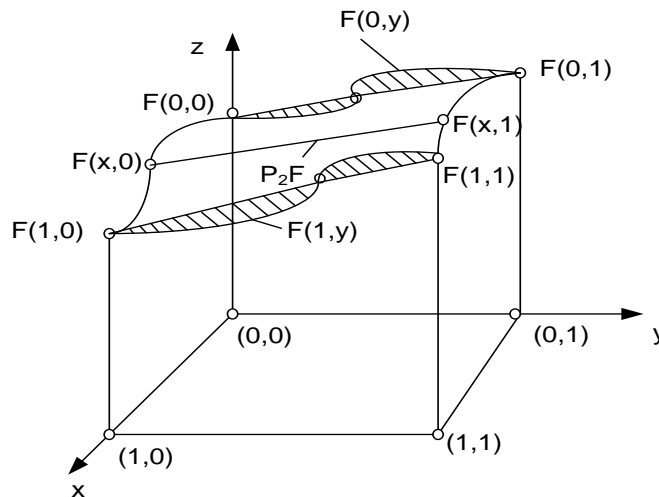


Fig. 5.21. Suprafață de interpolare liniară corectată față de un patrulater în spațiu cu laturi (margini) linii curbe.

- În **planul**  $x = 0$ , trebuie să corectăm  $P_1 F(x, y)$  cu:

$$F(0, y) - [(1 - y) F(0, 0) + y F(0, 1)]$$

- iar în **planul**  $x = 1$ , corecția necesară este:

$$F(1, y) - [(1 - y) F(1, 0) + y F(1, 1)]$$

Ca urmare se poate calcula corecția din termenii scriși simbolic:

$$F - P_1 F$$

Dorim să calculăm această eroare nu numai pentru laturi (margini), ci și de-a lungul liniilor determinate de  $P_2 F(x, y)$ . Simbolic putem scrie:

$$P_2(F - P_1 F) = P_2 - P_2 P_1 F.$$

Atunci formula de interpolare devine:

$$Q = P_1 F + P_2 F - P_2 P_1 F.$$

➤ În **planul**  $y = 0$  avem:

$$F(x, 0) = [(1-x)F(0, 0) + xF(1, 0)]$$

➤ iar în **planul**  $y = 1$  avem:

$$F(x, 1) = [(1-x)F(0, 1) + xF(1, 1)]$$

Simbolic putem scrie ca mai sus:

$$F - P_2 F$$

La fel ca mai sus putem calcula eroarea determinată de-a lungul liniilor determinate de  $P_1 F(x, y)$ :

$$P_1(F - P_2 F) = P_1 - P_1 P_2 F.$$

din condiția ca operatorii simbolici să descrie aceeași suprafață:

$$P_2 P_1 F = P_1 P_2 F$$

Combinând formulele de mai sus, rezultă formula de interpolare a suprafeței:

$$Q(x, y) = (1-y)F(x, 0) + yF(x, 1) + (1-x)F(0, y) + xF(1, y) - [(1-x)((1-y)F(0, 0) + yF(0, 1) + x((1-y)F(1, 0) + yF(1, 1)))]$$

și unde termenul în paranteze drepte [ ] reprezintă tocmai eroarea de corecție. Introducând  $f_0$  și  $f_1$  putem rescrie în formă matricială:

$$Q(x, y) = (F(x, 0), F(x, 1)) \begin{pmatrix} f_0(y) \\ f_1(y) \end{pmatrix} + (f_0(x), f_1(x)) \begin{pmatrix} F(0, y) \\ F(1, y) \end{pmatrix} - (f_0(x), f_1(x)) \begin{pmatrix} F(0, 0) & F(0, 1) \\ F(1, 0) & F(1, 1) \end{pmatrix} \begin{pmatrix} f_0(y) \\ f_1(y) \end{pmatrix}.$$

Pentru a parametriza formula de mai sus, înlocuim  $x$  și  $y$  cu  $u$  și respectiv  $v$ , unde  $u, v \in [0, 1]$  și presupunând că funcțiile (curbele) de margine sunt curbe parametrice în spațiu, obținem:

$$Q(u, v) = (P(u, 0), P(u, 1)) \begin{pmatrix} f_0(v) \\ f_1(v) \end{pmatrix} + (f_0(u), f_1(u)) \begin{pmatrix} P(0, v) \\ P(1, v) \end{pmatrix} - (f_0(u), f_1(u)) \begin{pmatrix} P(0, 0) & P(0, 1) \\ P(1, 0) & P(1, 1) \end{pmatrix} \begin{pmatrix} f_0(v) \\ f_1(v) \end{pmatrix},$$

unde:  $P(i, v)$  și  $P(u, i)$  sunt reprezentările parametrice ale funcțiilor (curbelor) de margine (frontieră) pentru  $i = 0, 1$ . Considerând coordonatele  $(u, v)$  și având punctele (nodurile)  $(u_k, v_j)$  unde:  $k = 0, (1), \dots, n$  și  $j = 0, (1), \dots, m$  putem introduce coordonatele locale:  $r = \frac{u - u_k}{\Delta u_k}, s = \frac{v - v_j}{\Delta v_j}$ , unde:  $r, s \in [0, 1]$ , iar:  $\Delta u_k = u_{k+1} - u_k$  și

unde:  $\Delta v_j = v_{j+1} - v_j$ .

Atunci  $Q$  devine:

$$Q(u, v) = (P(u, v_j), P(u, v_{j+1})) \begin{pmatrix} f_0(s) \\ f_1(s) \end{pmatrix} + (f_0(r), f_1(v)) \begin{pmatrix} P(u_k, v) \\ P(u_{k+1}, v) \end{pmatrix} - (f_0(r), f_1(r)) \begin{pmatrix} P(u_k, v_j) & P(u_k, v_{j+1}) \\ P(u_{k+1}, v_j) & P(u_{k+1}, v_{j+1}) \end{pmatrix} \begin{pmatrix} f_0(s) \\ f_1(s) \end{pmatrix}.$$

Dar formula de mai sus nu conține nici o condiție de continuitate. Dacă dorim să obținem suprafețe continue de tip  $GC^1$ , atunci derivatele funcțiilor pentru punctele aflate pe frontiera (marginea) **suprafețelor Gordon-Coons** trebuie să satisfacă condiția adițională:

$$f_i'(k) = 0, i, k = 0, 1.$$

condiții care sunt satisfăcute de **polinoamele Hermite** cubice de forma:

$$f_0(t) = 1 - 3t^2 + 2t^3, f_1(t) = 3t^2 - 2t^3$$

Atunci:

$$Q_u(i, v) = P_u(i, 0)f_0(v) + P_u(i, 1)f_1(v)$$

$$Q_v(u, i) = P_v(0, i)f_0(u) + P_v(1, i)f_1(u)$$

pentru  $i = 0, 1$  care ne arată că vectorul tangent la curba  $Q(u_i, v)$  în punctul  $Q(u_i, 0)$ , unde  $u_i$  constant, depinde doar de vectorii tangenți  $P_v(0, 0)$  și  $P_v(1, 0)$  în punctele de margine (colturi)  $P(0, 0)$  și  $P(1, 0)$  care este identic și pentru celelalte curbe de margine, ca în (Fig. 5.22).

Ceea ce ne permite să alăturăm două sub-suprafețe de-a lungul liniei (frontierei) comune în așa fel încât să aibă aceleași tangente de-a lungul acestei linii.

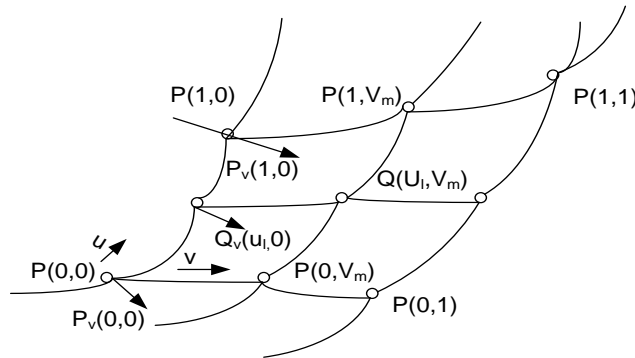


Fig. 5.22. Derivatele în punctele aparținând curbelor de margine ce definesc sub-suprafețele (sub-caroiaje) **Gordon-Coons**

Dacă notăm cele două sub-suprafețe de interpolare I și II și presupunând că acestea se întâlnesc de-a lungul liniilor (curbelor)  $P_I(1, v)$  și  $P_{II}(0, v)$ , obținem:

$$P_I(1, v) \text{ și } P_{II}(0, v).$$

Din condiția ca tangentele de-a lungul liniei (curbei) comune pentru punctele de margine pentru care  $v = 0$  și  $v = 1$  obținem:

$$P_{I,u}(1, i) = c P_{II,v}(0, i) \text{ cu } c > 0 \text{ și } i = 0, 1,$$

unde curbele de margine (frontieră)  $v = 0$  și  $v = 1$  trebuie să aibă aceleași direcții ca și pentru tangentă.

Condițiile de mai sus  $GC^1$  de asamblare a sub-suprafețelor s-au impus fără a se utiliza derivatele de-a lungul frontierelor (marginilor).

Se cere a se găsi funcțiile care de-a lungul frontierei tind spre zero și a căror derivate să poată reproduce derivatele de-a lungul frontierei (marginilor).

Din nou apelăm la **polinoamele Hermite** cubice:

$$g_0(t) = t - 2t^2 + t^3, g_1(t) = -t^2 + t^3$$

și care în mod similar conduc la formulele:

$$P_1 F(u, v) = f_0(v) P(u, 0) + f_1(v) P(u, 1) + g_0 P_v(u, 0) + g_1(u) P_u(1, v)$$

$$P_2 F(u, v) = f_0(u) P(0, v) + f_1(u) P(1, v) + g_0 P_u(0, v) + g_1(u) P_u(1, v)$$

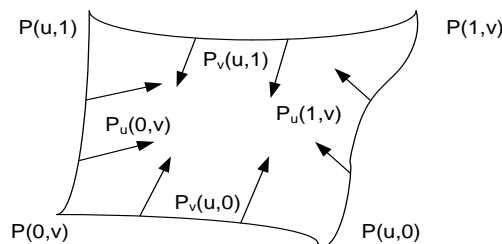


Fig. 5.23. Suprafață de interpolare de-a lungul frontierelor (marginilor).

Matricial, formula de mai sus se poate scrie:

$$P_1 P_2 F := (f_0(u), f_1(u), g_0(u), g_1(u)) \underline{B} \begin{pmatrix} f_0(u) \\ f_1(u) \\ g_0(v) \\ g_1(v) \end{pmatrix}$$

și unde:  $\underline{B}$  este o matrice  $(4 \cdot 4)$  de forma:

$$\begin{bmatrix} [\underline{B}_{11}] & [\underline{B}_{12}] \\ [\underline{B}_{21}] & [\underline{B}_{22}] \end{bmatrix}$$

și unde  $[\underline{B}_{i,j}]$ ,  $i, j = 1, 2$  sunt matrici de dimensiune  $(2 \cdot 2)$  corespunzând lui  $Q(u, v)$  conținând corecțiile de-a lungul frontierei (marginilor). Matricile  $\underline{B}_{12}$  și  $\underline{B}_{21}$  corectează derivatele de margine (frontieră) de-a lungul lui  $u$  și respectiv  $v$ .

În final matricea  $\underline{B}$  are forma:

$$B := \begin{bmatrix} P(0,0) P(0,1) P_v(0,0) P_v(0,1) \\ P(1,0) P(1,1) P_v(1,0) P_v(1,1) \\ P_u(0,0) P_u(0,1) P_{u,v}(0,0) P_{u,v}(0,1) \\ P_u(1,0) P_u(1,1) P_{u,v}(1,0) P_{u,v}(1,1) \end{bmatrix}$$

corespunzătoare funcției de interpolare de forma:

$$Q(u, v) = (1, f_0(u), f_1(u), g_0(u), g_1(u)) \underline{B} \begin{pmatrix} f_0(u) \\ f_1(u) \\ g_0(v) \\ g_1(v) \end{pmatrix}$$

unde

$$\underline{B} = \begin{bmatrix} 0 & P(u,0) & P(u,1) & P_v(u,0) & P_v(u,1) \\ & P(0,v) & & & \\ & P(1,v) & -B & & \\ & P(0,v) & & & \\ & P(1,v) & & & \end{bmatrix}$$

și unde corecția definită de funcția de interpolare  $Q(u, v)$  de mai sus este comutativă, dacă ordinul derivatelor mixte în matricea  $\underline{B}$  poate fi inversat, adică:

$$P_{u,v}(i, j) = P_{v,u}(i, j) \text{ pentru } i, j = 0, 1$$

În cazul suprafețelor ce satisfac condiția de continuitate  $GC^2$ , condiția de mai sus este satisfăcută. Dar în cazul nostru derivatele mixte din colțurile patrulaterului nu sunt cunoscute, însă pot fi estimate, deși în general derivatele de ordinul II mixte sunt necomutative.

Ca metode de estimare se poate alege un set de componente nule, ca apoi prin modificări adecvate să se obțină forma suprafeței dorite.

De exemplu se poate estima un punct, interpolând valorile a patru puncte vecine:  $u_{k-1}, u_{k+1}, v_{j-1}$ , și  $v_{j+1}$  ceea ce face necesar a înlocui  $u_k$  și  $v_k$  cu  $u_{k-1}$  și respectiv  $v_{j-1}$  care ne conduce la formula<sup>11</sup>:

$$Q_{u,v}(u_k, v_{j-1}) = \frac{-Q_v(u_k, v_{j-1}) + Q_v(u_k, v_{j-1})}{\Delta v_j} + \frac{-Q_u(u_{k-1}, v_j) + Q_u(u_{k+1}, v_j)}{\Delta u_k} - \frac{Q(u_{k-1}, v_{j-1}) + Q(u_{k+1}, v_{j+1}) - Q(u_{k-1}, v_{j+1}) - Q(u_{k+1}, v_{j-1})}{\Delta u_k \Delta v_j}$$

unde:  $\Delta u_k = u_{k+1} - u_{k-1}$  și  $\Delta v_j = v_{j+1} - v_{j-1}$ .

Alternativ se aplică **formula lui Bessel** care ne permite să construim sub-suprafețe (**sub-caroiaje**) **Gordon-Coons** interpolând toate combinațiile posibile ale celor patru puncte vecine și ținând cont de derivatele mixte în punctele  $P(u_k, v_j)$ . Avem:

<sup>11</sup> Numită și formula lui Adini.

$$Q_{u,v}(u_k, v_j) = \frac{-P(u_k, v_j) + P(u_k, v_{j+1}) + P(u_{k+1}, v_j) - P(u_{k+1}, v_{j+1})}{\Delta u_k \Delta v_j}$$

Grafic acesta se poate reprezenta ca în figura de mai jos (Fig. 5.24):

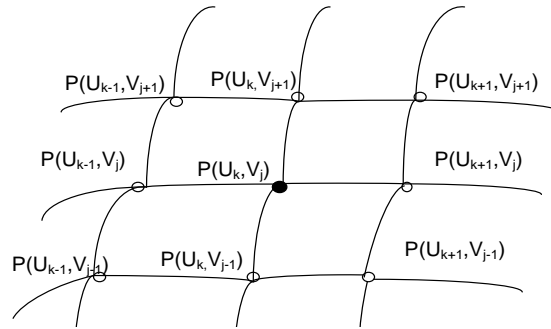


Fig. 5.24. Estimarea punctelor  $P(u_k, v_j)$  în funcție de punctele vecine.

Asemănător considerăm derivatele parțiale mixte ale altor sub-suprafețe liniare patrulate pentru a obține în final **formula lui Bessel**:

$$X_{u,v}(u_k, v_j) = (1 - \alpha_k, \beta_k) \begin{pmatrix} Q_{u,v}(u_{k-1}, v_{j-1}) & Q_{u,v}(u_{k-1}, v_j) \\ Q_{u,v}(u_k, v_{j-1}) & Q_{u,v}(u_k, v_j) \end{pmatrix} \begin{pmatrix} 1 - \beta_j \\ \beta_j \end{pmatrix}$$

unde

$$\alpha_k = \frac{\Delta u_{k-1}}{u_{k+1} - u_{k-1}}, \beta_k = \frac{\Delta v_{k-1}}{v_{k+1} - v_{k-1}}$$

### 5.14.2. Suprafețe de interpolare Gordon–Coons bicubice

Dacă definim funcțiile (curbele) de frontieră (margine) :

$$P(u, i) := (f_0(u), f_1(u), g_0(u), g_1(u)) \begin{pmatrix} P(0, i) \\ P(1, i) \\ P(0, i) \\ P(1, i) \end{pmatrix}$$

unde  $i = 0, 1$  și

$$P(i, v) := (P(i, 0), P(i, 1), P_v(i, 0), P_v(i, 1)) \begin{pmatrix} f_0(v) \\ f_1(v) \\ g_0(v) \\ g_1(v) \end{pmatrix}$$

atunci

$$Q(u, v) = (1, f_0(u), f_1(u), g_0(u), g_1(u)) \underline{B} \begin{pmatrix} f_0(v) \\ f_1(v) \\ g_0(v) \\ g_1(v) \end{pmatrix}$$

devine o suprafață bicubică de forma

$$Q^*(u, v) = F(u)^T P F(v)$$

unde

$$F(u) := f_0(u), f_1(u), g_0(u), g_1(u)^T$$

$$F(v) := f_0(v), f_1(v), g_0(v), g_1(v)^T$$

și

$$P := \begin{bmatrix} P(0,0) & P(0,1) & P_v(0,0) & P_v(0,1) \\ P(1,0) & P(1,1) & P_v(1,0) & P_v(1,1) \\ P(0,0) & P(0,1) & P_{uv}(0,0) & P_{uv}(0,1) \\ P(1,0) & P(1,1) & P_{uv}(1,0) & P_{uv}(1,1) \end{bmatrix}$$

sau în formă matricială pentru

$$f_0(u), f_1(u), g_0(u), g_1(u)^T = (u^3, u^2, u, 1) \begin{pmatrix} 2 & 2 & 1 & 1 \\ -3 & 3 & -2 & -1 \\ 0 & 0 & 1 & 0 \\ 1 & 0 & 0 & 0 \end{pmatrix} := U^T K$$

avem:  $\underline{Q}^* = \underline{U}^T \underline{K} \underline{P} \underline{K}^T \underline{v}$

Observație. Folosind sub-suprafețele bicubice se poate observa ușor cum suprafețele **Gordon-Coons** se transformă în **suprafețe Bezier**. Dacă definim sub-suprafața  $\underline{Q}^*$  ca o **suprafață bicubică Bezier**:

$$Q^* = \sum_{k=0}^3 \sum_{i=0}^3 b_{ik} B_i^3(u) B_k^3(v) = U^T L B L^T,$$

unde:  $B = \{b_{ik}\}$  este matricea de **puncte Bezier** iar:

$$L := \begin{pmatrix} -1 & 3 & -3 & 1 \\ 3 & -6 & 3 & 0 \\ -3 & 3 & 0 & 0 \\ 1 & 0 & 0 & 0 \end{pmatrix}$$

și comparăm cu:  $\underline{Q}^* = \underline{U}^T \underline{K} \underline{P} \underline{K}^T$  obținem:  $\underline{P} = \underline{K}^{-1} \underline{L} \underline{B} \underline{L}^T (\underline{K}^T)^{-1}$ , confirmând observația de mai sus.

### 5.14.3. Suprafețe de interpolare Gordon-Coons triunghiulare

Pentru simplificare ne propunem să utilizăm triunghiul având punctele de contact (nodurile):  $(1,0), (0,1), (0,0)$ . Dacă interpolăm **paralel cu axa x** (Fig. 5.25) obținem:

$$P_1 F = \frac{1-x-y}{1-y} F(0,y) + \frac{x}{1-y} F(1-y,y)$$

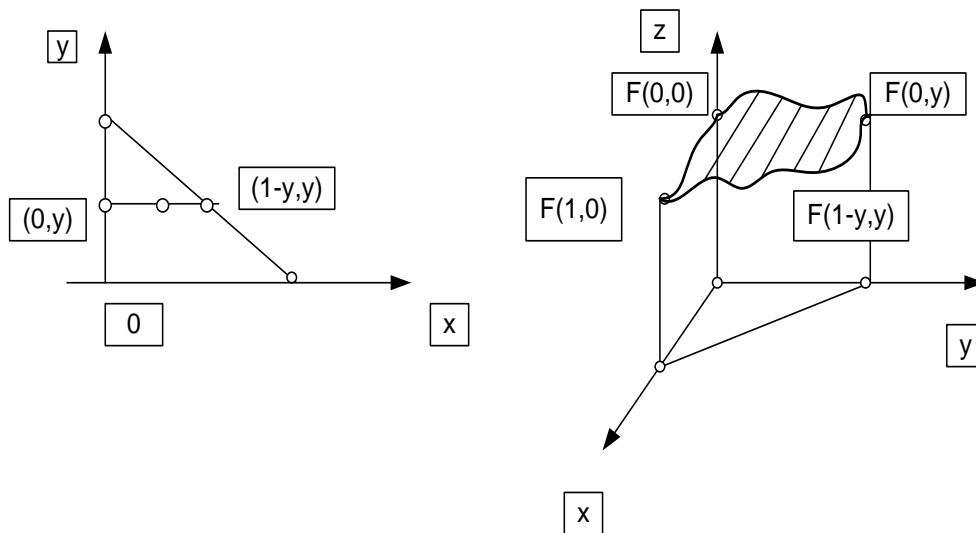


Fig. 5.25. Interpolare paralelă cu axa x.

Pentru frontieră (marginii) obținem:

$$P_1 F = F(1-y,y), \text{ pentru: } x+y=1$$

$$P_1 F = F(0,y), \text{ pentru: } x=0$$

$$P_1 F = (1-x)F(0,0) + xF(1,0), \text{ pentru: } y=0$$

ceea ce reduce interpolarea la o linie dreaptă de-a lungul lui  $y=0$ .

În mod similar, interpolăm **paralel cu axa y** (Fig. 5.26):



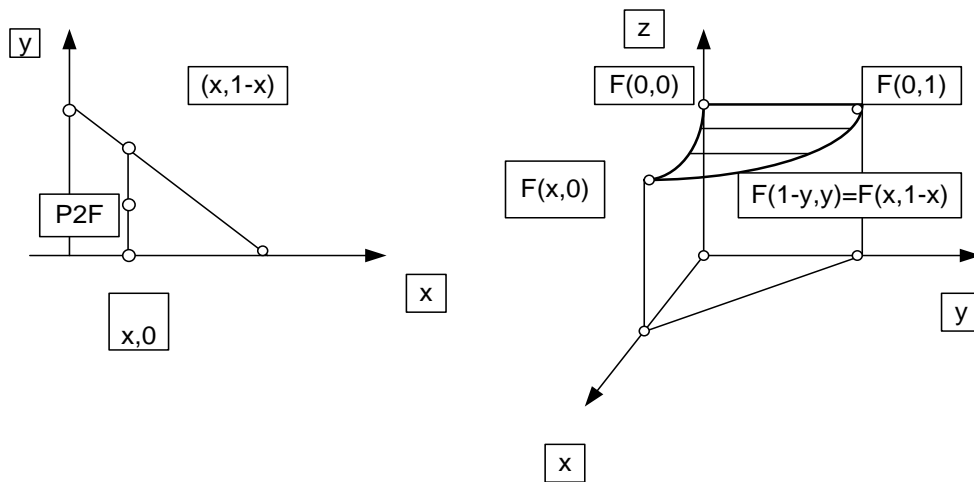


Fig. 5.26. Interpolare paralelă cu axa  $y$ .

Obținem:

$$P_2 F = \frac{1-x-y}{1-x} F(x, 0) + \frac{y}{1-x} F(x, 1-x)$$

și unde frontierele (marginile) sunt:

$$P_2 F = F(x, 0), \text{ pentru } y = 0,$$

$$P_2 F = (1-y) F(0, 0) + y F(0, 1), \text{ pentru } x = 0$$

Dacă interpolăm de-a lungul liniei  $y = 1 - x$ , obținem:

$$P_3 F = \frac{x}{x+y} F(x+y, 0) + \frac{y}{x+y} F(0, x+y).$$

Combinând cele trei interpolări:

$$Q(x, y) = \frac{1}{2} (P_1 F + P_2 F + P_3 F - L F)$$

și unde  $L F$  are următoarele valori pe frontieră (margini):

$$L F \Big|_{x=0} = (1-y) F(0, 0) + y F(0, 1);$$

$$L F \Big|_{y=0} = (1-x) F(0, 0) + x F(1, 0);$$

$$L F \Big|_{x=1-y} = x F(1, 0) + y F(0, 1).$$

În final obținem:

$$Q(x, y) = \frac{1}{2} \left\{ \left( \frac{1-x-y}{1-y} \right) F(0, y) + \frac{x}{1-y} F(1-y, y) + \frac{1-x-y}{1-x} F(x, 0) \right. \\ \left. + \frac{y}{1-x} F(x, 1-x) + \frac{x}{x+y} F(x+y, 0) \right. \\ \left. + \frac{y}{x+y} F(0, x+y) - [x F(1, 0) + y F(0, 1) + (1-x-y) F(0, 0)] \right\}$$

reprezentând ecuația **suprafeței Gordon-Coons** care interpolează punctele date.

## 5.15. Concluzii

Descoperirea **polinoamelor lui Bernstein** la începutul secolului XX a marcat un moment crucial în dezvoltarea matematicii în general și a teoriei polinoamelor în particular.

Elementul crucial l-a reprezentat, atât noutatea abordării problemei reprezentării grafice a curbilor, dar mai ales spectaculare abordări în diferite domenii ale matematicii determinate de acesta descoperire.

Necesitatea reprezentării curbilor, așa cum ele apar în natură, adică departe de o formă „perfectă” a făcut ca utilizarea **polinoamelor lui Bernstein** să reprezinte primul pas pentru dezvoltarea unor noi modele și algoritmi care să rezolve această problemă.

Astfel au apărut **modelele lui Bezier** și **algoritmul lui Casteljau** din necesitatea de a modela forma exterioară a automobilului și care au contribuit la dezvoltarea unor noi ramuri a matematicii și anume **modelarea matematică** și în special **modelarea geometrică**.

Apariția calculatoarelor electronice după 1950 a condus la noi descoperiri care au consolidat această nouă știință, cercetările și descoperirile în domeniul modelării suprafețelor și apoi a volumelor au permis extinderea orizontului acestei științe până la nivelul realizării virtuale a modelării fenomenelor (obiectelor).

În acest capitol s-a prezentat evoluția **modelării geometrice** de la **polinoamele lui Bernstein** până la diverse tehnici de modelare geometrică a suprafețelor în plan și apoi în spațiu, trecându-se astfel la modelarea spațială.

Pe lângă reprezentarea devenită clasică a acestor probleme, autorul a încercat și o prezentare matricială a diverselor tehnici de modelare, ținându-se cont de volumul ridicat de date și care se cer manipulate cu tehnici specifice de calcul.

Ca un domeniu de abordat pentru viitor, autorul consideră că abordarea vectorială și tensorială, atât în domeniul real, cât și în domeniul complex reprezintă un domeniu viitor de cercetare cu rezultate promițătoare.

Dezvoltarea modelării geometrice în spațiul  $n$  dimensional constituie deasemenea un domeniu cu certe rezultate viitoare. De exemplu, abordarea meteorologiei globale impune pe lângă modelări spațiale tridimensionale și considerarea unei a patra dimensiuni - timpul.

Se poate prognoza cu certitudine că domeniul modelării matematicii și în special geometrice va reprezenta un domeniu viitor de cercetare cu deosebite realizări, atât pe plan teoretic, cât și pe plan practic.



# 6. CUPLAREA SISTEMELOR DE CONCEPȚIE ȘI FABRICAȚIE A ENTITĂȚILOR GEOMETRICE

## 6.1. Introducere

În acest capitol se prezintă cuplarea sistemelor de concepție și de fabricație a entităților geometrice, înțelegându-se prin entități geometrice: linii, curbe în plan și în spațiu, suprafețe în plan și în spațiu și volume, dar accentuându-se îndeosebi asupra modelării volumelor și a suprafețelor în spațiu.

Se prezintă **modelarea geometrică** a volumelor folosind geometria constructivă a volumelor, modele de frontieră și cu ajutorul unor poliedre. Se calculează proprietățile globale ale volumelor modelate folosind metoda descompunerii volumelor în părți componente și prin metoda Timmer – Stern. O atenție aparte s-a acordat abordării problemei intersecțiilor entităților geometrice. În final, studiul se concentrează asupra aspectelor matematice ale sculelor de prelucrat, relevându-se importanța acestora în realizarea modelelor propuse.

În numeroase aplicații, **modelul geometric** al unui obiect fizic poate necesita o descriere completă a proprietăților suprafețelor modelate sau poate include doar informații referitoare, de exemplu, la proprietățile de rezistență sau elasticitate a obiectului material. În practică se pot utiliza metode de **modelare geometrică** pentru a construi o descriere matematică cât mai apropiată a detaliilor unui obiect real sau pentru a simula un proces.

Construcția propriu-zisă a **modelului** se poate realiza în principiu utilizând calculatoare și sisteme de operații și de aplicații adecvate. Utilizarea calculatoarelor este, de fapt, principalul instrument folosit în **modelarea geometrică**. Fără un sistem de calcul adecvat, din punctul de vedere al puterii de calcul și a programelor de calcul folosite, nu este posibilă crearea, construcția și analiza unor modele sofisticate care au o importanță practică.

Metodele de **modelare geometrică** reprezintă o sinteză a unor domenii științifice diferite: geometrie analitică și descriptivă, topologie și algebră topologică, teoria logicii matematice, analiză numerică, calcul vectorial și metode matriciale, pentru a enumera doar câteva domenii ce își aduc contribuția la abordarea acestei probleme.

Inițial, prin asamblarea acestor domenii s-a creat o disciplină independentă, cu o logică și un limbaj specific. Dacă, la început, specialiștii erau mulțumiți cu reprezentarea grafică a unor obiecte în spațiul bidimensional, noi cerințe, atât teoretice, cât și tehnologice, împreună cu noi cunoștințe în domeniile prezentate mai sus, au condus la extinderea **modelării geometrice** și, în special, la extinderea modelării tri și multidimensionale.

Odată create aceste modele, a fost posibilă studierea proprietăților geometrice și analitice ale obiectului modelat. În plus, **modelul matematic** creat a permis obținerea de noi informații referitoare la obiectul modelat: intersecții, racordări, îmbinări etc., informații care apoi să fie folosite la

prelucrarea și realizarea propriu-zisă a obiectului modelat. Este clar că tehnologiile bazate pe **modelarea matematică** continuă să se îmbunătățească în ritm rapid, odată cu creșterea cerințelor tehnologice și practice în acest domeniu.

În principiu, se pot distinge trei aspecte ale **modelării geometrice**:

1. **reprezentarea obiectului**: dându-se caracteristicile și dimensiunile fizice al obiectului, se determină aproximarea matematică a modelului obiectului de modelat.
2. **desenul obiectului**: se cere și se obține desenul obiectului, care apoi să servească obiectivelor tehnologice și / sau estetice.
3. **realizarea practică a modelului**: pentru început cu scopul de a-l interpreta, apoi de a-l realiza practic și tehnologic.

Bineînțeles, cele trei aspecte sunt strâns legate și dependente: de exemplu când se creează un **model geometric** al unui produs nou, obiectul fizic inițial nu există, ci se creează, apoi prin **modelare** este studiat, perfecționat sau îmbunătățit, modelul fiind apoi disponibil pentru analiză și evaluare. După selectarea unui desen și aprobarea lui conceptuală, **modelul** se poate utiliza pentru a se realiza fabricația aceluși obiect.

Odată realizat, **modelul geometric** furnizează informații despre forma obiectului, informații necesare desenului tehnic și, ulterior, producției propriu-zise. Importante descoperiri teoretice, împreună cu aplicațiile lor practice, în domenii ca de pildă: grafica pe calculator<sup>1</sup>, proiectarea asistată de calculator<sup>2</sup>, fabricația asistată de calculator<sup>3</sup> au fost de fapt principalii factori în dezvoltarea rapidă a **modelării geometrice**.

Robotica<sup>4</sup>, inteligența artificială<sup>5</sup>, prelucrarea imaginilor<sup>6</sup> cu ajutorul calculatorului au creat noi cerințe acestei ramuri a științei, măbind în același timp cunoștințele din domeniul **modelării geometrice**. Sistemele grafice pe calculator sunt în măsură să producă în mod curent imagini realiste în două dimensiuni ale unor obiecte și / sau acțiuni în spațiul tridimensional.

**Modelarea geometrică** a solidelor, tehnicile de reprezentare poligonală sau a unor suprafețe sculptate au făcut ca aceste tehnici să fie utilizate în mod curent. Utilizând tehnici diverse, ca efecte luminoase din multiple surse, texturi și opacități diferite, se pot obține imagini apropiate realității.

Sistemele grafice de simulare a realității, de mișcare și animare, au contribuit la crearea și dezvoltarea unei noi arte cinematografice apropiate actorilor umani. Aceleași tehnici și-au găsit aplicarea, de exemplu, în generarea de imagini necesare antrenării piloților, în simularea zborurilor avioanelor, fie comerciale, fie militare. Ceea ce permite predicția apariției și dezvoltării de forțe combatante artificiale, capabile să poarte acțiuni de luptă împotriva altor soldați umani sau artificiali.

Dezvoltarea și perfecționarea sistemelor de proiectare pe calculator a condus la revoluționarea acestora, măbind fără precedent productivitatea creerii de noi produse. În plus, departamentele și secțiile de proiectare folosesc în măsură din ce în ce mai mică reprezentările grafice pe hârtie, care sunt înlocuite cu cele pe mediile folosite de calculatoarele electronice.

<sup>1</sup> CG – Computer Graphics (engl.)

<sup>2</sup> CAD – Computer Aided Design (engl.)

<sup>3</sup> CAM – Computer Aided Manufacturing (engl.)

<sup>4</sup> Robotics – robotică (engl.)

<sup>5</sup> Artificial intelligence (engl.)

<sup>6</sup> Imaging processing (engl.)

Activitatea echipei de proiectare s-a transformat dintr-o activitate de desen tehnic într-una de sculptură virtuală, capabilă în același timp să creeze rapid modele complexe, utilizând tehnici ale modelării geometrice, în special folosind calculatoare electronice și sisteme de programe adecvate.

Analiza structurilor (de rezistență și nu numai) este un alt domeniu care a înregistrat schimbări profunde datorită progreselor în **modelarea geometrică**. Modelarea solidelor permite construcția rapidă de modele având la bază elemente finite.

În acest mod, analiza structurilor de rezistență mecanice, statice și dinamice se poate studia într-un număr extrem de mare de condiții și sarcini de încărcare. Efectul acestor sarcini mecanice se pot vizualiza rapid, rezultând o interpretare clară a solicitărilor structurale, ușor de modificat în direcția cerută de caietul de sarcini.

**Sistemele cinematice pe calculator au permis realizarea de modele diferite pentru părți diferite ale modelelor de realizat și apoi îmbinarea lor finală, fie vizual, fie analitic. Iar sistemele de inteligență artificială permit punerea de întrebări și obținerea de răspunsuri la probleme legate de pildă de accesibilitatea sculelor de prelucrat în asamblarea pieselor.**

Se poate însă considera că un domeniu în care **modelarea geometrică** a avut cele mai spectaculoase aplicații îl reprezintă prelucrarea asistată de calculator. **Modelarea geometrică** a făcut posibil ca întreg procesul de prelucrare al produselor să fie realizat cu ajutorul calculatoarelor electronice.

Inginerii în **modelare geometrică**<sup>7</sup> furnizează, prin intermediul unor sisteme de calculatoare electronice, **modele geometrice** complete și exacte a unor părți ce urmează a fi prelucrate.

În departamentele de producție, calculatoarele sunt în măsură să interpreteze aceste modele, să genereze instrucțiuni de prelucrare și apoi de asamblare pentru liniile de producție computerizate și robotizate. Inspectia finală și controlul automat al calității cu ajutorul calculatoarelor a condus la creșterea indicilor de calitate a produselor realizate.

Dezvoltarea sistemelor de **modelare geometrică**, aplicarea acestora în domeniul roboticii și al prelucrării imaginilor cu ajutorul calculatoarelor a condus la dezvoltări apreciabile în domeniul sistemelor de **inteligență artificială**.

Îmbinarea cercetărilor și dezvoltărilor din acest domeniu a condus la dezvoltarea roboticii în măsură să permită mișcări în spațiul tridimensional, incluzând și recunoașterea de obiecte cu ajutorul unor senzori vizuali, tactili, olfactivi sau altor senzori generatori de informații.

**Se consideră că roboții își vor crea propriul lor model geometric într-un spațiu artificial, robotizat, utilizând senzori artificiali și o putere de influență și decizie artificială.**

În același timp se poate observa că la baza fiecărui sistem de aplicații pe calculator care să permită realizarea de modele geometrice stă un aparat matematic apreciabil, capabil să elaboreze în mod rapid variante diverse, uneori optimizate a unor **modele geometrice** propuse a fi studiate de către utilizator. Aceste **modele** pot fi interpretate, studiate, modificate și apoi acceptate de utilizator în funcție de cerințele proiectului tehnic.

Scopul principal al acestei lucrări îl constituie tocmai prezentarea acestui aparat matematic și care stă la baza **modelării matematice** în general și a **modelării geometrice** în particular, încercându-se totodată extinderea sa, atât

<sup>7</sup> Geometric modeling engineer (engl.)

prin forme de prezentare noi, cât și prin ducerea mai departe a cunoștințelor din domeniu.

## 6.2. Modelarea geometrică a volumelor<sup>8</sup>

**Modelarea geometrică** a volumelor reprezintă un important domeniu al **modelării geometrice** cu implicații și, mai ales, aplicații importante în producție. Prin realizarea practică a unui model solid se obține un volum reprezentând un obiect (o piesă) în spațiu, și care să poată fi folosit la studii și analize ulterioare necesare îmbunătățirii și perfecționării produsului final.

În mod general, se poate afirma despre **A** că este un model a lui **B**, dacă **A** poate fi utilizat în a răspunde pentru diferite întrebări asupra lui **B**. În **modelarea geometrică** a volumelor aceasta înseamnă că se pun întrebări și se obțin rezultate despre proprietățile geometrice ale volumelor, proprietățile topologice ale acestora, greutate și centru de greutate, inerție, solicitări de rezistență și conectări cu alte volume și părți ale ansamblului etc.

Scopul practic al acestor activități, de creare și realizare a **modelului geometric** al volumelor considerate și apoi studierea proprietăților fizice și estetice a modelului realizat îl constituie, în principal, realizarea unui nou produs prin metode de fabricație adecvate.

Ca tehnici de realizare a **modelelor geometrice** volumetrice se pot enumera:

1. Utilizarea geometriei constructive a volumelor;
2. Utilizarea modelelor de frontieră (marginii);
3. Utilizarea reprezentării solidelor cu ajutorul unor poliedre.

### 6.2.1. Utilizarea geometriei constructive a volumelor<sup>9</sup> la modelarea acestora

Geometria constructivă a volumelor, numită și modelarea solidelor folosind algoritmi<sup>10</sup> specifici, reprezintă descrierea obiectului (solidului) de modelat cu ajutorul unor carioaje elementare sau a unor primitive. Se folosesc un set de operații Boule arborescente, unde dreptunghiurile reprezintă carioaje de diverse dimensiuni și poziții în spațiu, iar legăturile reprezintă un set de operații de îmbinare și intersecție.

### 6.2.2. Utilizarea modelelor de frontieră (marginii)

Folosirea modelelor de frontieră (marginii) prin care un model (obiect) este reprezentat prin suprafața sa de frontieră, și care înglobează volumul interior reprezintă o altă tehnică utilizată la modelarea volumelor. Se reprezintă astfel solidul ca o îmbinare de suprafețe mărginite. Fețele exterioare se descompun în suprafețe, iar suprafețele sunt mărginite prin curbe care se descompun în puncte comune. **Modelul geometric** conține date ce reprezintă matematic suprafețele geometrice de frontieră (marginie), curbe de frontieră, de îmbinare și coordonate geometrice ale punctelor de intersecție.

<sup>8</sup> Solid modeling (engl.)

<sup>9</sup> CSG – Constructive Solid Geometry (engl.)

<sup>10</sup> ASM- Algorithmic Solid Modeling (engl.)

### 6.2.3. Utilizarea reprezentării volumelor cu ajutorul unor poliedre

Utilizarea reprezentării volumelor cu ajutorul unor poliedre este o tehnică a reprezentării volumelor cu ajutorul unor suprafețe planare – poliedrice-în care caroiagele sunt patrulatere, iar liniile de îmbinare sunt linii drepte care se intersectează în punctele de intersecție.

Aceste metode depind de operatorii constructivi care se folosesc în procesul de modelare. S-au menționat deja **operatorii lui Boule**: reuniune, intersecție, disjuncție. Alți operatori transformă suprafețele bidimensionale în reprezentări tridimensionale prismatice sau axiomatice, folosind tehnici de translație sau rotație. Se pot menționa **operatorii lui Euler**, utilizați pentru a crea suprafețe, margini și puncte de intersecție în concordanță cu topologia modelului propus.

**În principiu, modelarea volumelor prelucrează două tipuri de date ce descriu modelul propus:**

- a) **Date geometrice** referitoare la parametrii de descriere a suprafețelor de bază (caroiage), de exemplu coeficienții geometrici ai suprafețelor bi-cubice sau coordonatele punctelor ce reprezintă poliedrele suprafețelor Bezier;
- b) **Date topografice** referitoare la relația de conectare a componentelor geometrice considerate, acordându-se o atenție deosebită zonelor de frontieră (marginilor).

Alegerea tehnicilor de **modelare** și construcția **modelului** depinde în mare măsură de principiile care sunt alese pentru a sta la baza **modelării** și de cerințele ca **modelul** să fie un **model** viabil. Deși sunt câteva categorii fundamentale de tehnici de construcție a modelelor, la baza acestor tehnici stau principii generale, universale, principii geometrice față de care orice tehnică de **modelare** trebuie să se conformeze. De exemplu, modelele solide, tridimensionale trebuie să respecte condiții topologice de generare restrictive.

### 6.3. Calculul proprietăților globale ale volumelor modelate

Evaluarea proprietăților globale ale volumelor ce fac obiectul **modelării** și evaluarea **modelelor** realizate aplicând tehnicile de **modelare** necesită aplicarea cunoștințelor de geometrie spațială, tridimensională.

Fie:

$$\oint = \int_V f(p) dV,$$

unde  $\oint$  reprezintă proprietatea globală studiată și care este o integrală triplă pe un volum  $V$  dat, iar  $f(p)$  un vector funcție descriind  $\oint$ .

Pentru studierea integralelor triple se folosesc sisteme și teoreme ale calcului geometric și diferențial aplicate în spațiul tridimensional, ca de exemplu: **teorema lui Gauss** (numită și teorema divergenței), care transformă o integrală pe o suprafață închisă într-o integrală corespunzând unui volum închis și / sau **teorema lui Green**, care transformă o integrală pe o direcție dată într-o integrală pe o suprafață închisă, integrale ce sunt utilizate în **metoda Timmer – Stern** și care se vor studia în continuare (Mortenson, 1985).



### 6.3.1. Metoda descompunerii volumelor în părți componente

**Metoda descompunerii volumelor** în părți se utilizează la realizarea de componente care pot fi studiate, reproduse, și / sau fabricate și apoi asamblate pentru a realiza obiectul (**modelul**) global. Pot exista mai multe moduri de descompunere în celule, descompunerea nefiind unică, dar în final ea se cere a fi deplin definită. Metoda este curent folosită în analiza structurală a unor piese asamblate și reprezintă un element de bază la **modelarea** cu elemente finite.

Metode avansate de analiză structurală folosesc reprezentări matematice ale solidelor tri-cubice reprezentate parametric. Se realizează o enumerare spațială<sup>11</sup> de elemente componente, care prin asamblare definesc produsul (**modelul**) considerat:

$$MODEL = \bigcup_i \text{celulele}_i,$$

unde  $i \in P^3$  reprezintă părțile componente (celulele) **modelului**.

În principiu, orice integrală referitoare la **model** se descompune într-o sumă de integrale triple referitoare la părțile **modelului**,

$$\int_V f(p) dV = \sum_i \iiint_{\text{celulele}_i} f dV$$

și care este o sumă de integrale valide triple referitoare la volume distincte ca părți ale **modelului**. Fiecare integrală trebuie evaluată, în domeniul real sau complex, în funcție de natura părților în care s-a descompus volumul studiat.

O metodă relativ simplă o poate constitui descompunerea în cuburi de dimensiuni fixe sau variabile. Atunci, volumul este dat, de exemplu, de o integrală triplă de obiecte în spațiu, în formă parametrică, relative la un sistem de coordonate cartezian:

$$\iiint_{\text{celule}} f ds dy dz = \iiint_{\text{celula elementară}} f J du dv dw$$

unde  $J$  reprezintă transformarea Jacobiană.

Reprezentarea **modelului** (solidului) folosind frontierele (marginile) **modelului** constituie o altă metodă de a realiza un **model**, cu ajutorul integrării directe sau folosind **teorema lui Gauss**, de exemplu: fie  $\vec{p}$  o funcție vectorială continuă, astfel încât

$$\int_{\text{volum}} \nabla \cdot \vec{p} dV = \oint \vec{p} \cdot \vec{n} dA.$$

unde  $\vec{n}$  este vectorul normal unitar, iar  $\nabla$  operatorul de derivare  $(\frac{\partial}{\partial x}, \frac{\partial}{\partial y}, \frac{\partial}{\partial z})$ .

Deoarece integrala pe volum se transformă în integrală pe o suprafață de frontieră (margină) a **modelului** (obiectului, solidului), și cum aceasta se compune (sau descompune) într-o reuniune de suprafețe cvasi-disjuncte  $S_i$ , putem scrie:

$$\oint_{\text{suprafață}} \vec{p} \cdot \vec{n} dA = \sum_{f_i} \int \vec{p} \cdot \vec{n}_i dS_i$$

Pentru a calcula proprietățile integrale ale modelului (solidului) folosind reprezentarea sa în sub-suprafețe se utilizează **metoda Lee și Requicha** și care constă în utilizarea unui algoritm recursiv aplicat sub-suprafețelor componente:

$$\int_{A \cup B} f dV = \int_A f dV + \int_B f dV - \int_{A \cap B} f dV;$$

<sup>11</sup> Cell decomposition (engl.)

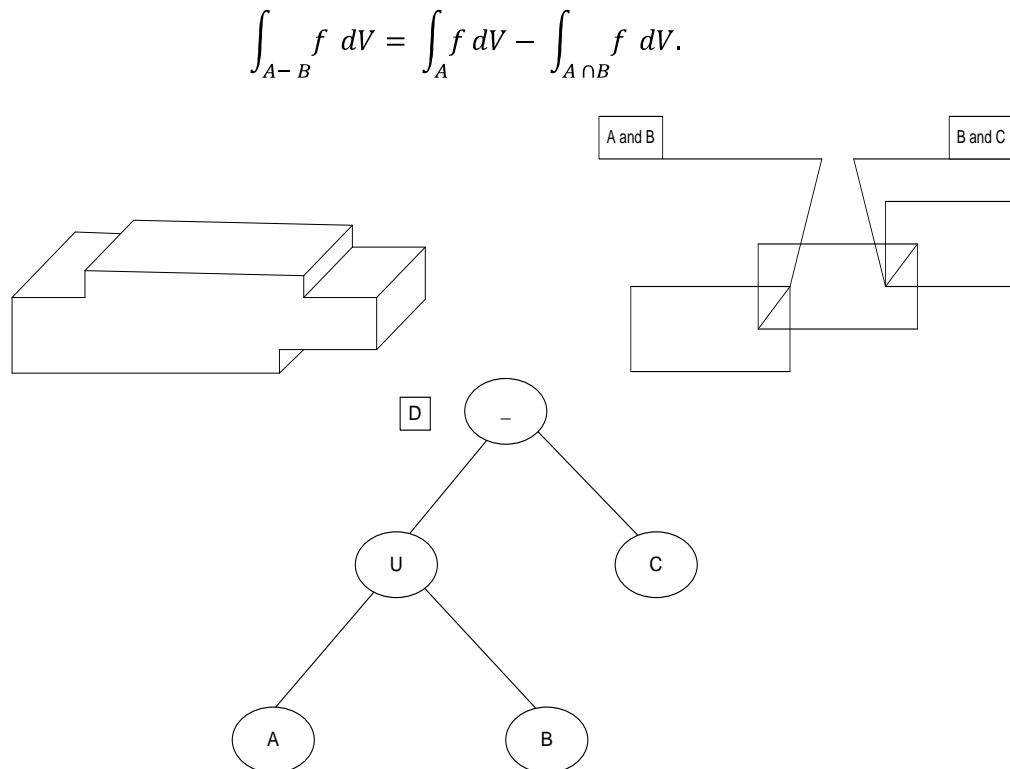


Fig. 6.1. Reprezentarea grafică a metodei Lee și Requicha de realizare a unui model (solid)

În (Fig. 6.1) solidul  $D$  rezultă din reuniunea obiectelor  $A$  și  $B$  urmate de diferența  $C$ .

Notăm cu  $I$  proprietățile integralei și, conform **metodei Lee și Requicha**, obținem:

$$I_D = I_A + I_B - I_{A \cap B} - I_{A \cap C} - I_{B \cap C} + I_{A \cap B \cap C}$$

Dar  $I_{A \cap C}$  și  $I_{A \cap B \cap C} = \phi$ , unde  $\phi$  este mulțimea vidă, deci:

$$I_D = I_A + I_B - I_{A \cap B} - I_{B \cap C}.$$

Dezavantajul calculului lui  $I_D$  prin această metodă constă în aceea că este posibil ca numărul de integrale din dreapta ecuației să crească exponențial, mărind corespunzător timpul de calcul.

### 6.3.2. Metoda Timmer–Stern

Această metodă utilizează reprezentarea frontierelor (marginilor) pentru a calcula proprietățile globale ale **modelului** (solidului). Or, aceasta presupune că orice față a **modelului** să fie reprezentată de o ecuație parametrică de forma:

$$p = p(u, w), \quad u, w \in [0, 1], p \in \mathbb{R}^3$$

Reuniunea acestor sub-suprafețe formează totalitatea frontierelor (marginilor) **modelului** (solidului), definind suprafața marginală a **modelului** (solidului). Curba închisă, frontierele (marginile) fiecărei regiuni se definesc parametric folosind tensorul unitar astfel:

$$u = u_i(t),$$

$$w = w_i(t),$$

unde  $t \in [0, 1]$ ,  $t \in \mathbb{R}^3$  și unde  $i$  identifică o porțiune a frontierei (marginii).

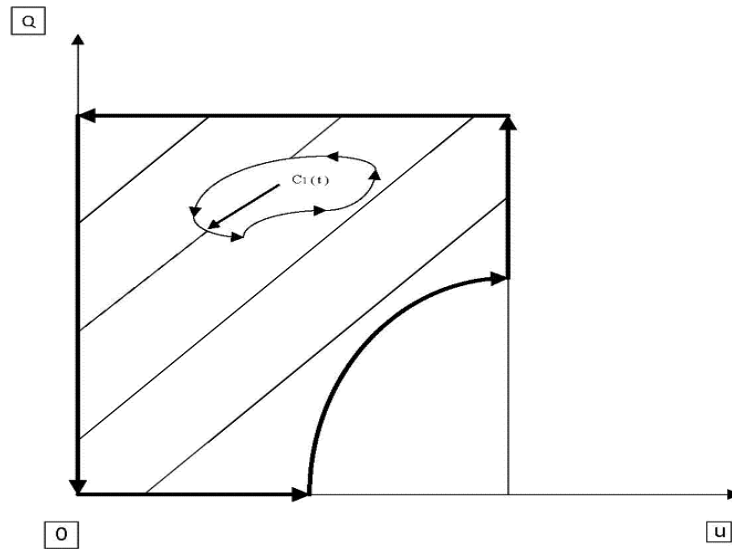


Fig. 6.2. Representarea parametrică a frontierei (marginilor) feței (sub-suprafeței) unui solid. Zona hașurată reprezintă zona activă.

Cum am văzut mai sus, proprietățile globale ale modelului (solidului) se pot calcula fie folosind integrale de suprafață, fie folosind integrale de volum, deoarece **teorema lui Gauss** (a divergenței) permite reducerea integrării de volum la integrarea de suprafață. Folosind notațiile lui **Timmer și Stern** obținem:

$$\iiint_R \nabla \cdot \phi \, d\tau = \iint_S \phi \cdot \vec{n} \, d\sigma$$

unde  $\vec{n}$  este pozitiv, când este îndreptat spre exteriorul obiectului (modelului).

Dacă proprietățile globale pe care dorim să le calculăm sunt

$$\psi = \iiint F(x, y, z) \, d\tau$$

unde:  $d\tau = dx \, dy \, dz$ , atunci  $\phi$  trebuie să satisfacă expresia

$$\nabla \cdot \phi = F$$

cu dezavantajul că  $\phi$  nu este unic.

Ca un exemplu, se poate calcula momentul de inerție de-a lungul axei  $x$ , ca fiind:

$$F(x, y, z) = y^2 + z^2$$

În acest caz:  $\phi = [x(y^2 + z^2), 0, 0]$  sau:  $\phi = [0, \frac{y^3}{3}, \frac{z^3}{3}]$ ; ambele reprezentând aceeași funcție  $\phi$ .

Ca urmare, calculul se reduce la a evalua o integrală de suprafață:

$$\psi = \iint_S F(x, y, z) \, d\sigma$$

Dar prin ipoteză s-a stabilit că frontiera (marginile) volumului (modelului, obiectului) este formată din reuniunea a  $n$  fețe definite ca sub-suprafețe, atunci  $\psi$  devine

$$\bar{\psi} = \sum_{i=1}^n \psi_i$$

și care, în termenii variabilelor parametrice ( $u, w$ ) devine

$$\bar{\psi} = \iint_{S_i} F[x(u, w), y(u, w), z(u, w)] |J| \, du \, dw$$

sau simplificat:

$$\psi_i = \iint_{S_i} H(u, w) du dw$$

și unde:  $|J|$  este transformarea Jakobiană

$$|J| = \frac{\partial p(u, w)}{\partial u} \cdot \frac{\partial p(u, w)}{\partial w}$$

sau

$$|J| = \|p_{uw}^u \cdot p_{uw}^w\|$$

Integrând pe suprafețele active din figura de mai sus (Fig. 6.2) și considerând tensorul suprafață unitar, cu ajutorul **dublei cuadraturi a lui Gauss** obținem aproximarea integralei

$$\psi_i \cong \frac{1}{4} \sum_{j=1}^m \sum_{k=1}^n w_j w_k H(a_j, a_k)$$

unde  $w$  și  $a$  sunt ponderi ale **polinomului lui Legendre** de ordinul  $(m + 1)$ . În mod natural, conturul suprafeței este iregular, ceea ce mărește dificultatea calcului.

Dacă aplicăm **teorema lui Green** algoritmului lui **Timmer și Green** pentru a transforma suprafața de integrat într-o integrală pe o curbă, obținem:

$$\iint_S \left[ \left( \frac{\partial \alpha}{\partial u} \right) - \left( \frac{\partial \beta}{\partial w} \right) \right] du dw = \oint_{r_i} (\beta du + \alpha dw), \text{ unde } \alpha = \alpha(u, w) \text{ și } \beta = \beta(u, w)$$

În Fig. 6.2 sub-suprafața este mărginită de curba închisă  $c_1$ , atunci  $\alpha$  și  $\beta$ , devin:

$$\left( \frac{\partial \alpha}{\partial u} \right) - \left( \frac{\partial \beta}{\partial w} \right) = H(u, w)$$

Dar  $F(x, y, z)$  poate fi specificată independent ca un obiect geometric și deci  $\phi$  poate fi determinat prin măsurători directe. În unele cazuri însă, funcția  $H(u, w)$  poate lua valori în domeniul complex și deci este dificil de evaluat. Se cere a se calcula  $\alpha$  și  $\beta$ .

Dacă presupunem că suprafața  $S_i$  este continuă și funcția  $H(u, w)$  este fără discontinuități, atunci funcția  $H(u, w)$  poate fi aproximată cu ajutorul polinomului:

$$H(u, w) = \sum_{j=1}^M \sum_{i=1}^M a_{i,j} u^{i-1} w^{j-1},$$

unde  $M$  este modelul considerat.

Dacă în formula:

$$\left( \frac{\partial \alpha}{\partial u} \right) - \left( \frac{\partial \beta}{\partial w} \right) = H(u, w)$$

alegem  $\beta(u, w) = 0$ , atunci obținem

$$\alpha(u, w) = \sum_{j=1}^M \sum_{i=1}^M i^{-1} a_{i,j} u^i w^{j-1},$$

iar

$$\psi_i = \oint_{r_i} \alpha_i(u, w) dw$$

sau

$$\psi_i = \sum_{l=1}^L \int_0^1 \alpha_i [u_1(t), w_i(t)] \left( \frac{dw_1}{dt} \right) dt$$

și unde  $L$  este numărul de curbe închise care definesc sub-suprafețele  $S_i$ . Această ecuație poate fi evaluată exact, dacă curbele închise  $C_i(t)$  sunt polinoame, deoarece  $\psi_i$  se reduce la polinoame în  $t$ . Pe de altă parte, ordinul polinomului

poate deveni prea mare, îngreunând calculele. De exemplu, dacă se consideră sub-polinoamele bi-cubice și curbele închise cubice, atunci polinomul în  $t$  are ordinul 24.

Dacă luăm în considerare erorile de reprezentare care apar în cadrul folosirii metodei de mai sus, se poate observa că acestea apar în principal din două surse:

1. al calculului propriu-zis;
2. al aproximării geometrice.

În prima categorie se încadrează erorile inerente **cuadraturii lui Gauss**, erorile de trunchiere și de rotunjire. În categoria aproximării geometrice erorile pot apărea când se aproximează sub-suprafețele de frontieră (marginile) prin polinoame bi-cubice parametrice. De remarcat că o altă sursă de erori poate fi determinată de frontiera dintre două sub-suprafețe bi-cubice adiacente, erori ce se ce luată în considerare.

**Algoritmul lui Timmer și Stern** ne permite să calculăm aceste intersecții rezultând un număr de puncte în cadrul unei toleranțe date, dar care apoi sunt cuprinse în ecuațiile parametrice, ceea ce uneori poate conduce la rezultate globale eronate.

## 6.4. Modelarea geometrică a intersecțiilor

**Modelarea solidelor** și în special **modelarea geometrică** a acestora conduce la o problemă importantă a acestei discipline, și anume la problema intersecțiilor, problemă ce are aplicații largi în:

- Geometria analitică și computațională ( numerică);
- Proiectarea și concepția de produse asistată de calculator;
- Prelucrarea asistată de calculator, de exemplu pentru:
  - Obținerea de vederi în plan, folosind diverse plane de intersecție ale volumelor studiate;
  - Calculul traiectoriei mașinilor-unelte cu comandă numerică, atunci când aceasta se obține prin intersecția unor suprafețe;
  - Descrierea unor suprafețe (volume, îmbinări) ale unor structuri întâlnite la proiectarea unor produse complexe, ca de pildă proiectarea automobilelor, avioanelor, vapoarelor etc.

Pentru a **modela** intersecția a două suprafețe și a obține curba de intersecție în mod cât mai precis, și în același timp eficient din punctul de vedere tehnologic, sunt necesare nu numai aproximări de acuratețe ridicată, implicând diferențiale de ordin superior, dar și calculul tangentelor curbilor de intersecție și a curburii vectorilor.

În general, cele două tipuri de suprafețe care se intersectează și care sunt utilizate cu predilecție în **modelarea geometrică**, sunt în special de tip parametric și / sau implicit, ceea ce conduce la trei tipuri de probleme legate de intersecția suprafețelor:

- Parametric – parametric (P P);
- Implicit – implicit (I I);
- Parametric – implicit (P I).

Pentru a studia problema intersecției a două suprafețe este necesară introducerea și studierea noțiunilor de curbura vectorială, vector normal și torsiune.

Fie o suprafață dată.:

$x = x(s), y = y(s), z = z(s)$  sau sub formă vectorială:  $\bar{r} = \bar{c}(s)$ .

Definim:

$\Rightarrow \bar{c}'(s) = \bar{t}$ , vectorul unitar tangent;

$\Rightarrow \bar{c}''(s) = \bar{k} = k\bar{n}$ , unde  $\bar{k}$  este vectorul curbură și care măsoară variația vectorului tangent.

Avem:  $k^2 = \bar{k} \cdot \bar{k} = \bar{c}'' \cdot \bar{c}''$  și prin diferențiere obținem:

$$\bar{c}'''(s) = k'\bar{n} + k\bar{n}'.$$

Înlocuind pe  $n'$  obținem formula lui **Fernet – Serret**:

$$\bar{c}'''(s) = -k^2\bar{t} + k'\bar{n} + k\tau\bar{b},$$

unde  $\bar{t}, \bar{n}, \bar{b}$  sunt vectori ortonormali și unde

$$\tau = \frac{\bar{b} \cdot \bar{c}'''}{k} \text{ este torsiunea } (k \neq 0).$$

≤ **În cazul  $k = 0$** , pentru a obține vectorul normal în punctul în care  $k = 0$  este necesară calcularea unor derivate de ordin superior rezultând situațiile de mai jos:

▪ Dacă  $k \equiv 0$ , curba este linia dreaptă și  $\tau$  nu este definită;

▪ Dacă  $k = 0$  și  $k' \neq 0$ , derivata de ordinul III

$$\bar{c}'''(s) = k'\bar{n} + k\bar{n}'$$

se reduce la:  $\bar{c}'''(s) = k'\bar{n}$  și care definește vectorul normal unde  $k'$  se obține din

$$(k')^2 = \bar{c}''' \cdot \bar{c}'''.$$

▪ Dacă  $k = k' = 0$  și  $k'' \neq 0$  se cere evaluarea derivatelor de ordinul IV

$$\bar{c}^{(4)}(s) = k''\bar{n},$$

unde:

$$(k'')^2 = \bar{c}^{(4)} \cdot \bar{c}^{(4)}.$$

Generalizând, dacă:  $k = k' = k^{(j-1)} = 0$  și  $k^{(j)} \neq 0$ , atunci

$$\bar{c}^{(j+2)}(s) = k^{(j)}\bar{n},$$

unde:

$$(k^{(j)})^2 = \bar{c}^{(j+2)} \cdot \bar{c}^{(j+2)}.$$

≤ **În cazul  $k = 0$  și  $k' \neq 0$** , torsiunea  $\tau$  se poate calcula evaluând derivata de ordinul al IV-lea a lui  $\bar{c}$ , folosind formula lui **Fernet – Serret**:

$$\bar{c}^{(4)}(s) = -3kk' + (k'' - k\tau^2 - k^3)\bar{n} + (2k'\tau + k\tau')\bar{b},$$

sau:

$$\bar{c}^{(4)}(s) = k''\bar{n} + 2k'\tau\bar{b}$$

deci:

$$\tau = \frac{\bar{b} \cdot \bar{c}^{(4)}}{2k'}.$$

În mod similar:

$$\bar{c}^{(5)}(s) = (-4kk'' - 3(k')^2 + k^4 + k^2\tau^2)\bar{t} + (k''' - 6k^2k' - 3k'\tau^2 - 3k\tau\tau')\bar{n} + (3k''\tau + 3k'\tau' - k^3\tau - k\tau^3 + k\tau'')\bar{b},$$

dacă:  $k = k' = 0$  și  $k'' \neq 0$ , atunci  $\tau$  devine:

$$\tau = \frac{\bar{b} \cdot \bar{c}^{(5)}}{3k''}.$$

În general, dacă  $k = k' = \dots = k^{(j-1)} = 0$  și  $k^{(j)} \neq 0$ , atunci:

$$\tau = \frac{\bar{b} \cdot \bar{c}^{(j+3)}}{(j+1)k^{(j)}};$$

Considerăm două suprafețe sub formă parametrică:

$$\begin{aligned}x &= x^A(u_A, v_A), y = y^A(u_A, v_A), z = z^A(u_A, v_A); \\x &= x^B(u_B, v_B), y = y^B(u_B, v_B), z = z^B(u_B, v_B).\end{aligned}$$

Sau în formă vectorială:

$$\begin{aligned}\bar{r} &= \bar{r}^A(u_A, v_A), \\ \bar{r} &= \bar{r}^B(u_B, v_B)\end{aligned}$$

și care reprezintă cele două suprafețe sub formă parametrică.

De asemeni fie două suprafețe în formă implicită:

$$f^A(x, y, z) = 0$$

și

$$f^B(x, y, z) = 0$$

Presupunând că aceste suprafețe sunt suprafețe regulate, adică

$$\bar{r}_{u_A}^A \cdot \bar{r}_{v_A}^A \neq 0, \bar{r}_{u_B}^B \cdot \bar{r}_{v_B}^B \neq 0, \nabla f^A \neq 0, \nabla f^B \neq 0,$$

atunci vectorul normal unitar pentru o suprafață sub formă parametrică este:

$$\bar{N} = \frac{\bar{r}_u \cdot \bar{r}_v}{|\bar{r}_u \cdot \bar{r}_v|},$$

iar ecuația planului tangent la  $r(u_p, v_p)$  se poate scrie ca:

$$(\bar{r} - \bar{r}(u_p, v_p)) \cdot \bar{N}(u_p, v_p) = 0$$

unde  $r$  este un punct în planul tangențial.

În cazul suprafeței date sub formă implicită vectorul unitar este:

$$\bar{N} = \frac{(f_x, f_y, f_z)^T}{(f_x^2 + f_y^2 + f_z^2)^{\frac{1}{2}}} = \frac{\nabla f}{|\nabla f|}$$

cu condiția:  $|\nabla f| \neq 0$ .

Dacă derivăm relația de mai sus și considerând o curbă parametrică arbitrară  $\bar{r} = \bar{r}(t)$  pe o suprafață implicită  $f(x, y, z) = 0$  se obține relația:

$$\nabla f \cdot \dot{\bar{r}} = 0,$$

deoarece  $\bar{r} = \bar{r}(t)$  este arbitrar,  $\nabla f$  trebuie să fie perpendicular pe planul tangent și deci **acesta** este planul tangent.

Planul tangent al suprafeței implicite  $f(x, y, z) = 0$  în punctul  $P(x_p, y_p, z_p)$  se obține înlocuind vectorul normal al suprafeței date sub forma parametrică, obținându-se:

$$f_x(x - x_p) + f_y(y - y_p) + f_z(z - z_p) = 0,$$

unde:  $f(x, y, z) = 0$ , iar  $f_x, f_y, f_z$  de mai sus sunt evaluați în  $(x_p, y_p, z_p)$ .

În cele de mai sus s-a studiat curba de intersecție a două suprafețe, independent de suprafețele intersectate. Pe de altă parte problema curbei de intersecție se poate studia și ca o curbă a două suprafețe intersectate.

Fie două curbe:

$$u = u(s) \text{ și}$$

$v = v(s)$  în planul  $(u, v)$  definit de curba  $\bar{r} = \bar{c}(t) = \bar{r}(u(s), v(s))$ , aparținând suprafeței definită parametric  $\bar{r}(u, v)$ , și fie curba

$$x = x(s), y = y(s), z = z(s),$$

unde  $f(x(s), y(s), z(s)) = 0$ , definește o curbă implicită  $f(x, y, z) = 0$ .

Atunci, primele trei derivate ale curbei de intersecție  $\bar{c}(s)$  sunt:

$$\bar{c}'(s) = \bar{r}_u u' + \bar{r}_v v'$$

$$\bar{c}''(s) = \bar{r}_{uu} (u')^2 + 2\bar{r}_{uv} u'v' + \bar{r}_{vv} (v')^2 + \bar{r}_u u'' + \bar{r}_v v''$$

$$\begin{aligned}\bar{c}'''(s) &= \bar{r}_{uuu} (u')^3 + 3\bar{r}_{uuv} (u')^2 v' + 3\bar{r}_{uvv} u' (v')^2 + \bar{r}_{vvv} (v')^3 + \\ &+ 3[\bar{r}_{uu} u' u'' + \bar{r}_{uv} (u'' v' + u' v'')] + \bar{r}_{vv} v' v'' + \bar{r}_u u''' + \bar{r}_v v'''.\end{aligned}$$

În mod similar,

$$\frac{df}{ds} = f_x x' + f_y y' + f_z z' = 0$$

$$\frac{d^2f}{ds^2} = f_{xx} (x')^2 + f_{yy} (y')^2 + f_{zz} (z')^2 + 2 (f_{xy} x'y' + f_{yz} y'z' + f_{xz} x'z') + f_x x'' + f_y y'' + f_z z'' = 0$$

$$\frac{d^3f}{ds^3} = f_{xxx} (x')^3 + f_{yyy} (y')^3 + f_{zzz} (z')^3 + 3 (f_{xxy} (x')^2 y' + f_{xxz} (x')^2 z' + f_{xyy} (y')^2 x' + f_{yyz} (y')^2 z' + f_{xzz} (z')^2 x' + f_{yzz} (z')^2 y') + 2 f_{xyz} x'y'z' + 3 (f_{xx} x'x'' + f_{yy} y'y'' + f_{zz} z'z'') + f_{xy} (x'' y' + x' y'') + f_{yz} (y'' z' + y' z'') + f_{xz} (x'' z' + x' z'') + f_x x''' + f_y y''' + f_z z''' = 0$$

Cele de mai sus confirmă observația de la începutul acestui paragraf referitoare la importanța deosebită ce trebuie acordată intersecțiilor suprafețelor studiate și / sau modelate, în special în cazul discontinuităților sau singularităților dintre suprafețe ele adiacente considerate.

### 6.5. Modelarea geometrică a intersecțiilor suprafețelor

Fie intersecția a două suprafețe, prima suprafață definită printr-un polinom rațional sub formă parametrică, iar a doua suprafață sub formă algebrică implicită

$$r = r(u, v) = \left( \frac{X(u, v)}{W(u, v)} \frac{Y(u, v)}{W(u, v)} \frac{Z(u, v)}{W(u, v)} \right)^T \cap f(r) = 0$$

unde  $0 \leq u, v \leq 1$ , și care conduce la patru ecuații algebrice în cinci necunoscute:

$$r(u, v), \quad u(x, y), \quad v(x, y), \quad x, \quad y.$$

Pentru suprafețele  $f(r)$  și  $r(u, v)$  de grad inferior se poate substitui  $r(u, v)$  în  $f(r)$  pentru a obține o curbă în  $(u, v)$ .

Ca exemple, se pot cita intersecțiile:

- a două plane descrise de ecuații de gradul I,
- a sferelor, cilindrilor, conurilor descrise de ecuații de gradul II,
- a două volume toroidale descrise de ecuații de gradul IV,

și care sunt cele mai utilizate în proiectarea elementelor mecanice, simplificând considerabil rezolvarea intersecțiilor prin metode analitice sau geometrice considerate clasice.

Fie suprafața definită sub formă algebrică implicită  $f(x, y, z) = 0$  de gradul  $m$ :

$$f(x, y, z) = \sum_{i=0}^m \sum_{j=0}^{m-1} \sum_{k=0}^{m-i-j} c_{i,j,k} x^i y^j z^k.$$

Efectuând substituțiile:

$$x = \frac{X(u, v)}{W(u, v)}; \quad y = \frac{Y(u, v)}{W(u, v)}; \quad z = \frac{Z(u, v)}{W(u, v)}$$

unde:  $X(u, v), Y(u, v), Z(u, v)$  au gradul maxim  $p$  în  $u$  și  $q$  în  $v$  și înmulțind cu  $w^m(u, v)$  rezultă curba algebrică:

$$F(u, v) = \sum_{i=0}^m \sum_{j=0}^{m-1} \sum_{k=0}^{m-i-j} c_{i,j,k} X^i(u, v) Y^j(u, v) Z^k(u, v) W^{m-i-j-k}(u, v) = 0$$

de grad maxim  $M = m p$  și respectiv  $N = m q$  în  $(u, v)$ .

În consecință, problemele intersecțiilor se reduc la a rezolva ecuația  $F(u, v) = 0$ , ținându-se cont de situațiile speciale care pot apărea, ca de pildă:



singularități, discontinuități, și care se consideră a fi probleme fundamentale ale geometriei algebrice, unde coeficienții lui  $F(u, v) = 0$  sunt întregi.

În contextul utilizării calculatoarelor electronice la rezolvarea acestor probleme, coeficienții lui  $F(u, v) = 0$  și  $r = r(u, v)$  sunt numere în virgulă mobilă, așa cum sunt numerele reprezentate în calculator. Or, acesta introduce în mod inevitabil erori, care pot modifica considerabil rezolvarea problemei intersecțiilor considerate.

Fie polinomul (curba):

$$F(u, v) = \sum_{i=0}^M \sum_{j=0}^{M-1} c_{i,j}^M u^i v^j = 0.$$

Folosind **polinoamele lui Bernstein**, obținem:

$$F(u, v) = \sum_{i=0}^M \sum_{j=0}^{M-1} c_{i,j}^B B_{i,M}(u) B_{j,N}(v) = 0,$$

unde  $(u, v) \in [0, 1] \cdot [0, 1]$ .

Ca exemplu, pornim de la ecuația unui plan în formă implicită

$$ax + by + cz + d = 0$$

și o **suprafață Bezier** de gradul  $m$  în  $u$  și  $n$  în  $v$ :

$$r(u, v) = \frac{\sum_{i=0}^m \sum_{j=0}^n w_{i,j} b_{i,j} B_{i,m}(u) B_{j,n}(v)}{\sum_{i=0}^m \sum_{j=0}^n w_{i,j} B_{i,m}(u) B_{j,n}(v)},$$

unde:  $b_{i,j} = (x_{i,j}, y_{i,j}, z_{i,j})^T$  cu ponderile  $w_{i,j} \geq 0$ .

Rezultă un polinom (curbă) de ecuație:

$$c_{i,j}^B = (a x_{i,j} + b y_{i,j} + c z_{i,j} + d) w_{i,j}.$$

Avantajul utilizării **polinoamelor lui Bernstein** constă în aceea că se obține o mai mare stabilitate în apropierea rădăcinilor.

Dacă  $c_{i,j}^B > 0$  sau  $c_{i,j}^B < 0$  pentru toți  $i$  și  $j$ , atunci nu există soluție și suprafețele nu se întâlnesc, rezultă că întreaga suprafață definită prin  $f(r) = 0$  nu intersectează suprafața dată  $r = r(u, v)$  pentru  $(u, v) \in [0, 1] \cdot [0, 1]$ , iar pentru  $c_{i,j}^B = 0$  cele două suprafețe coincid.

Ca tipuri de intersecție pot exista diferite situații prezentate în Fig. 6.3 de mai jos:

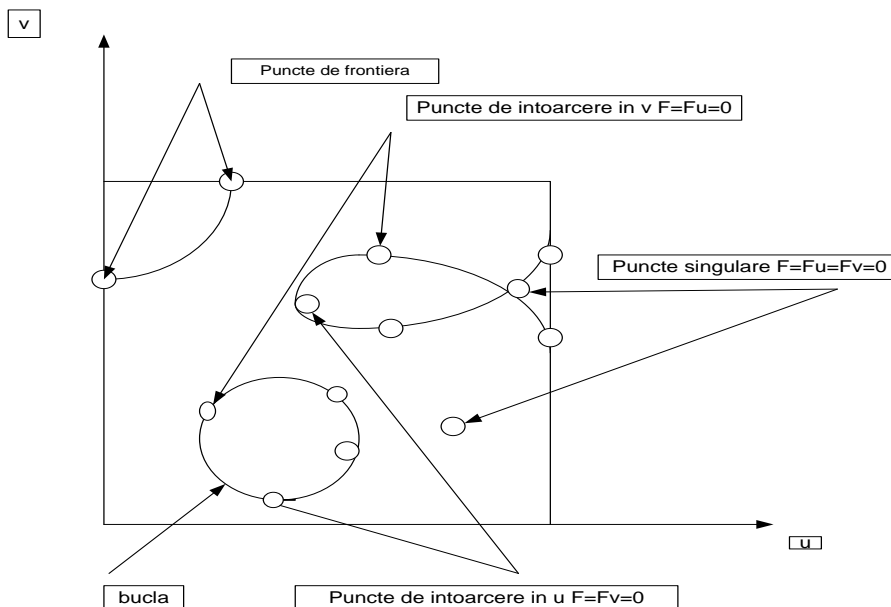


Fig. 6.3. Tipuri de intersecție ale suprafeței  $r(u, v)$  rezolvând curba  $F(u, v) = 0$

Fie  $F(u, v) = 0$ . Folosind **metoda lui Taylor** putem calcula variația lui  $F$  pentru  $u + \delta u$  și  $v + \delta v$  astfel încât

$$F(u + \delta u, v + \delta v) = 0$$

și anume:

$$F(u + \delta u, v + \delta v) = F(u, v) + F_u \delta u + F_v \delta v + \frac{1}{2} (F_{uu} \delta u^2 + 2 F_{uv} \delta u \delta v + F_{vv} \delta v^2) + \dots$$

Când  $F_u$  și  $F_v$  nu sunt ambii zero sau  $F_u^2 + F_v^2 > 0$ , pentru a obține  $F(u, v) = 0$  și  $F(u + \delta u, v + \delta v) = 0$ , trebuie să avem

$$F_u \delta u + F_v \delta v = 0$$

sau:

$$F_{vL} = -\frac{F_u}{F_v} \delta u, \text{ presupunând că } F_v \neq 0.$$

În Fig. 6.4 se prezintă curba algebrică  $F(u, v)$  în apropierea punctului  $P(u, v)$  și  $Q(u + \delta u, v + \delta v)$ .

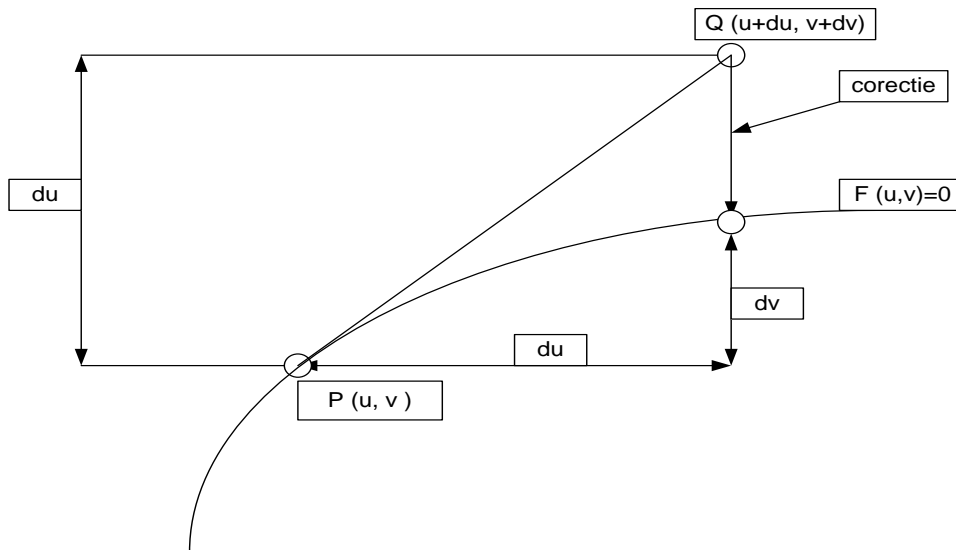


Fig. 6.4. Variația curbei algebrice  $F(u, v)$  în apropierea lui  $P(u, v)$  și  $Q(u + \delta u, v + \delta v)$ .

Dezavantajul acestei metode constă în faptul că uneori punctul  $Q$  poate fi destul de departe de curba  $F(u, v) = 0$ . Se poate utiliza **metoda lui Newton** pentru  $F(u + \delta u, v) = 0$  cu aproximarea inițială:

$$v_1 = v + \delta v_L$$

și care poate fi folosită pentru a calcula apoi  $\delta v$ . Pentru  $|F_v|$  de mici valori se poate utiliza:

$$\delta u_L = -\frac{F_v}{F_u} \delta v.$$

Putem scrie:  $F_u \delta u + F_v \delta v = 0$  ca:

$$F_u \dot{u} + F_v \dot{v} = 0, \text{ unde } u, v \text{ sunt considerate funcții de parametru } t.$$

Soluția ecuației diferențiale de mai sus este:

$$\begin{aligned} \dot{u} &= \xi F_v(u, v) \\ \dot{v} &= -\xi F_u(u, v), \end{aligned}$$

unde  $\xi \neq 0$  este un factor arbitrar și care poate fi ales de exemplu din numărul de condiție la suprafața dată:

$$\xi = \frac{1}{(E F_v^2 - 2 F F_u F_v + G F_u^2)^{\frac{1}{2}}}$$

și unde:  $E, F$  și  $G$  sunt coeficienții suprafeței reprezentate parametric în  $u, v$ .

Ecuțiile diferențiale de mai sus:

$$\begin{aligned} \dot{u} &= \xi F_v(u, v) \\ \dot{v} &= -\xi F_u(u, v), \end{aligned}$$

formează un sistem de două ecuații diferențiale neliniare și care pot fi rezolvate de exemplu prin **metoda Runge – Kunta**.

Din Fig. 6.3 și Fig. 6.4 de mai sus rezultă că pot apărea diverse situații pentru punctele caracteristice ca de exemplu:

⇒ **puncte de frontieră** ce rezultă din  $F(u, v) = 0$  pentru intersecția cu una din frontiera (marginile) spațiului  $r = r(u, v)$ , unde:  $u, v \in [0, 1] \cdot [0, 1]$  și de exemplu:  $F(0, v) = 0$ , unde  $0 \leq v \leq 1$ .

⇒ **puncte de întoarcere:**

- **în  $u$ :** punctele pentru care tangenta la  $F(u, v) = 0$  este paralelă cu axa  $u = 0$  și care satisfac ambele ecuații  $F = F_v$ , cu  $F_u \neq 0$ ,
- **în  $v$ :** punctele pentru care tangenta la  $F(u, v) = 0$  este paralelă cu axa  $v = 0$  și care satisfac ambele ecuații  $F = F_u$ , cu  $F_v \neq 0$ .

Dacă  $F(u, v) = 0$  are gradul lui  $(M, N)$  în  $(u, v)$ , atunci gradele lui  $F_u$  și  $F_v$  vor fi  $(M-1, N)$  și respectiv  $(M, N-1)$ , ceea ce înseamnă că numărul total de rădăcini pentru două ecuații polinomiale în două variabile de grade  $(m, n)$  și  $(p, q)$  sunt  $(mq + np)$ . De unde rezultă că numărul de puncte de întoarcere după  $u$  și  $v$  pot fi cel mult  $(2MN - M)$  și respectiv  $(2MN - N)$ .

⇒ **puncte singulare:** sunt puncte aparținând curbei și care satisfac simultan cele trei ecuații:

$$F = F_u = F_v = 0$$

Fie

$$f(x, y, z) = 0$$

și

$$F(u, v) = W^m(u, v)f(x, y, z),$$

atunci

$$F_u = m W^{m-1} f + W^m \left( \frac{\partial f}{\partial x} \frac{\partial x}{\partial u} + \frac{\delta f}{\delta y} \frac{\delta y}{\delta u} + \frac{\partial f}{\partial z} \frac{\partial z}{\partial u} \right) = W^m \cdot \nabla f \cdot r_u,$$

similar  $F_v = W^m \cdot \nabla f \cdot r_v$ , iar pentru un punct singular  $\nabla f \cdot r_u = \nabla f \cdot r_v = 0$ , ceea ce implică:

a)  $\nabla f \cdot \|r_u \cdot r_v\|$

b) normalele la cele două sunt paralele și pentru că  $F(u, v) = 0$ , în aceste puncte cele două suprafețe se intersectează tangențial.

Dacă  $F$  este de ordinul  $(M, N)$  în  $(u, v)$ :

- ordinele lui  $F_u$  și  $F_v$  vor fi  $(M-1, N)$  și respectiv  $(M, N-1)$ ,
- iar numărul punctelor singulare vor fi cel puțin  $(2MN - M - N + 1)$ .

Practic pentru a găsi **punctele singulare** se rezolvă sistemul de ecuații:

$$\begin{cases} F = F_u = 0 \\ F = F_v = 0 \end{cases}$$

Pentru a analiza **punctele singulare** considerăm o ecuație parametrică a unei linii drepte ce intersectează curba  $F(u, v) = 0$  în punctul  $(u_0, v_0)$ :

$$\begin{aligned} u &= u_0 + \alpha t \\ v &= v_0 + \beta t; \end{aligned}$$

unde  $\alpha, \beta$  constante, iar  $t$  parametru. Intersecția rezultă determinând rădăcinile ecuației:

$$F(u_0 + \alpha t, v_0 + \beta t) = 0$$

Deoarece  $F(u_0, v_0) = 0$ , folosind **metoda lui Taylor** obținem

$$(\alpha F_u + \beta F_v) t + \frac{1}{2} (\alpha^2 F_{uu} + 2\alpha\beta F_{uv} + \beta^2 F_{vv}) t^2 + \dots = 0$$

și unde derivatele parțiale sunt evaluate în  $(u_0, v_0)$ .

În general,  $F_u$  și  $F_v$  nu sunt ambele zero în același timp, iar  $F_u^2 + F_v^2 > 0$ , pentru  $(u_0, v_0)$ , atunci ecuația de mai sus are o rădăcină pentru  $t = 0$  și orice linie ce trece prin  $(u_0, v_0)$  are o singură intersecție cu curba dată în  $(u_0, v_0)$  cu excepția unui singur caz, când  $\alpha F_u + \beta F_v = 0$  pentru diferite valori ale lui  $\alpha$  și  $\beta$ . În acest caz, ecuația cu derivate parțiale de mai sus are o rădăcină dublă  $t = 0$ , cel puțin o ecuație de ordinul II este diferită de zero,  $F_{uu}^2 + F_{uv}^2 + F_{vv}^2 > 0$ , iar  $L$  este tangentă la curba dată în punctul  $(u_0, v_0)$ .

Dacă punctul  $(u_0, v_0)$ , este un **punct singular**

$$F_u(u_0, v_0) = F_v(u_0, v_0) = F(u_0, v_0) = 0,$$

atunci cel puțin una din derivatele  $F_{u,u}, F_{u,v}, F_{v,v}$  este diferită de zero, iar  $t = 0$  este o rădăcină dublă și care are cel puțin două intersecții în  $(u_0, v_0)$  cu excepția valorilor lui  $\alpha$  și  $\beta$  care satisfac ecuația quadratică:

$$\alpha^2 F_u + 2 \alpha \beta F_{u,v} + \beta^2 F_{v,v} = 0.$$

În astfel de cazuri,  $t = 0$  este o rădăcina triplă. Atunci, cel puțin una din derivatele parțiale de ordinul III este nenulă și

$$F_{uuu}^2 + F_{uuv}^2 + F_{uvv}^2 + F_{vvv}^2 = 0.$$

Ecuația quadratică de mai sus,

$$\alpha^2 F_u + 2 \alpha \beta F_{u,v} + \beta^2 F_{v,v} = 0$$

se poate rezolva pentru  $\frac{\alpha}{\beta}$  și  $\frac{\beta}{\alpha}$ , ceea ce conduce la următoarele trei posibilități:

1. **două rădăcini reale distincte**, ceea ce corespunde celor două direcții ale tangentei distincte în punctul singular, adică curba se intersectează cu ea însăși, ca de exemplu foliculul lui Descartes ( $f(x, y) = x^3 + y^3 - 3xy = 0$ ), prezentat în Fig. 6.5 de mai jos;

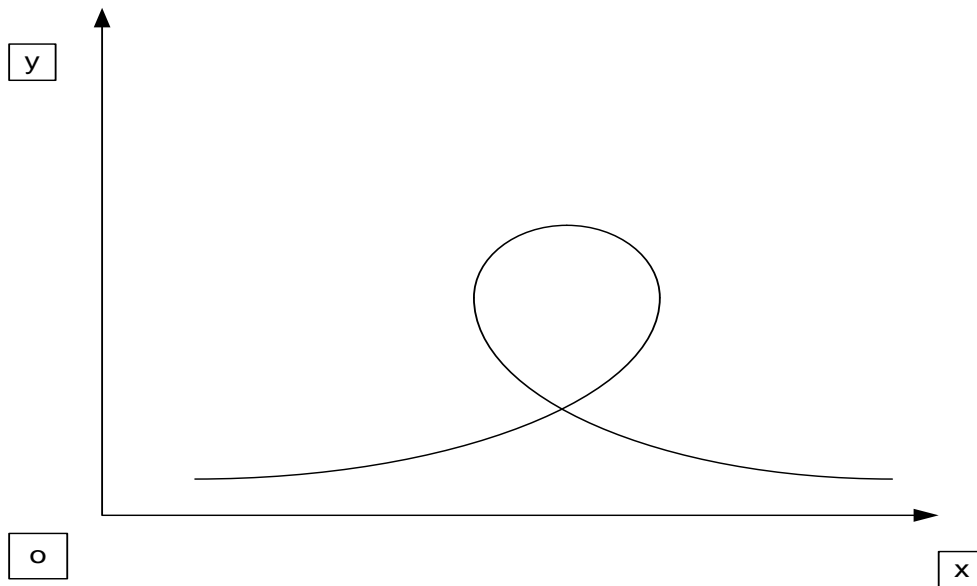
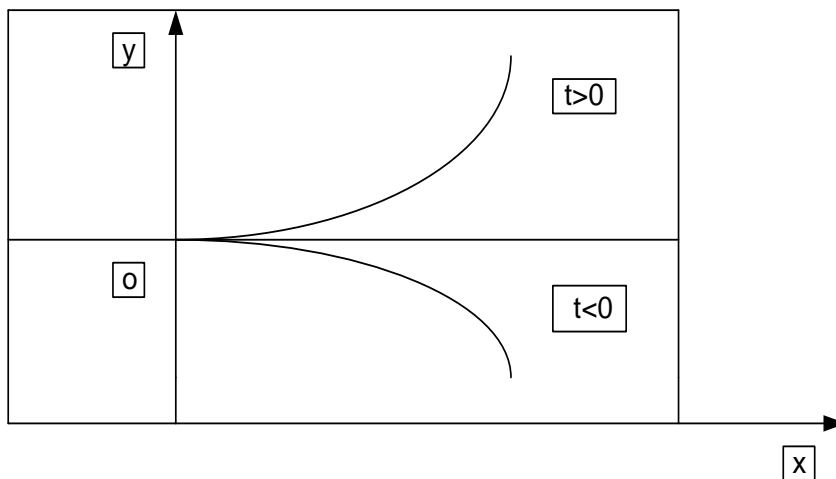


Fig. 6.5. Foliculul lui Descartes.

2. **o rădăcină reală** corespunzând unei direcții distincte în punctul singular  $O(0,0)$  ca în Fig. 6.6 de mai jos;

Fig. 6.6. Punctul singular  $O(0, 0)$  corespunzător unei rădăcini reale

3. **două rădăcini complexe**, când nu există tangente reale în **punctul singular** considerat ca un punct izolat. Ca exemplu, considerând ecuația unei curbe

$$F(u, v) = u^3 + u^2 + v^2 = 0,$$

avem

$$F_u = u(3u + 2); \quad F_v = 2v; \quad F_{u,u} = 6u + 2; \quad F_{u,v} = 0; \quad F_{v,v} = 2 \\ F_{u,u,u} = 6; \quad F_{u,u,v} = F_{u,v,v} = F_{v,v,v} = 0$$

- ⇒ Pentru a găsi **punctul de întoarcere** în  $u$  se caută rădăcinile pentru  $F = F_v = 2v$ ; și  $F_u \neq 0$ .  
Rezultă imediat că  $v = 0$ ; înlocuind în  $F = 0$  se obține  $u = 0, -1$ . Deoarece  $F_u(0, 0)$ , punctul  $(0, 0)$  nu este un punct de întoarcere în  $u$  și deci doar  $(-1, 0)$  este un punct de întoarcere în  $v$ .
- ⇒ Pentru a găsi **punctul de întoarcere** în  $v$  se caută rădăcinile pentru  $F = F_u = 0$  și  $F_v \neq 0$ , dar care nu are soluție reală. Deci doar  $u = v = 0$  este un **punct singular**. Tangenta pentru  $u = v = 0$  se poate obține din

$$\alpha^2 F_{u,u} + 2\alpha\beta F_{u,v} + \beta^2 F_{v,v} = 2\alpha^2 + 2\beta^2 = 0$$

care conduce la ecuația:

$$\left(\frac{\alpha}{\beta}\right)^2 + 1 = 0$$

și care nu are soluție reală și deci  $u = v = 0$  este un punct izolat, ca în Fig. 6.6 de mai sus.

Ca alt exemplu, se consideră un parabola semi-cubică

$$F(u, v) = u^3 - v^3 = 0.$$

Curba are un punct singular în  $u = v = 0$ . Avem:

$$F_u = 3u^2; \quad F_v = -2v; \quad F_{u,u} = 6u; \quad F_{u,v} = 0; \quad F_{v,v} = -2 \\ F_{u,u,u} = 6; \quad F_{u,u,v} = F_{u,v,v} = F_{v,v,v} = 0$$

și:

$$\alpha^2 F_{u,u} + 2\alpha\beta F_{u,v} + \beta^2 F_{v,v} = 6u\alpha^2 - 2\beta^2 = 0$$

Pentru  $O(0, 0)$  există o rădăcină dublă  $\beta = 0$ , iar alura curbei este asemănătoare curbei din Fig. 6.7.

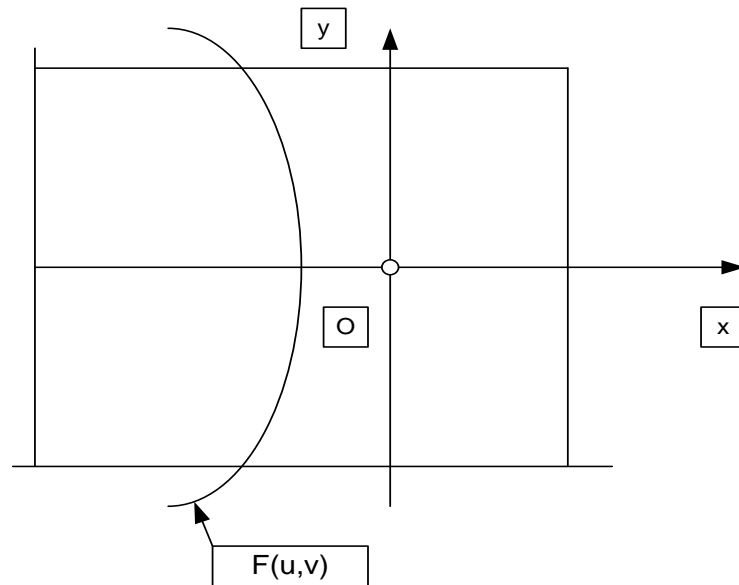


Fig. 6.7. Graficul curbei  $F(u, v)$ , având o rădăcină dublă în  $O(0, 0)$ .

În cazul rădăcinilor complexe, ca în exemplul 3, se poate considera ecuația

$$F_3(u, v) = (u + 1)u(u - 1)(v + 1)v(v - 1) + \frac{1}{20} = 0$$

definită pe  $[-2, 2] \cdot [-2, 2]$  și care este o curbă algebrică de gradul 6, Fig. 6.8 de mai jos:

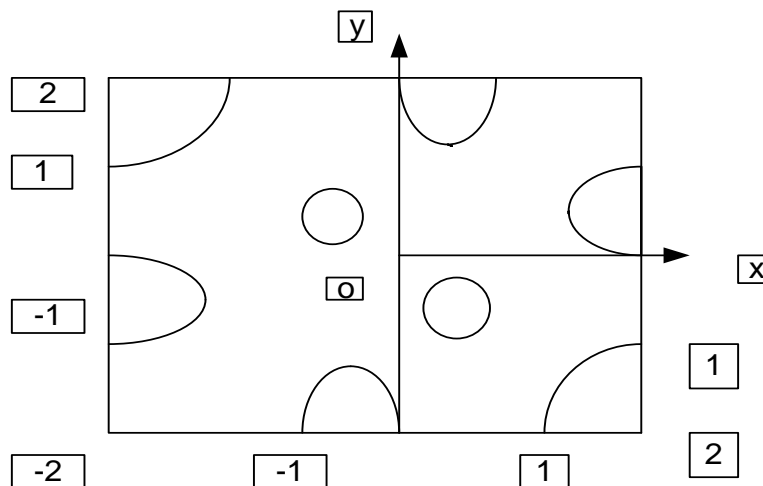


Fig. 6.8. Graficul curbei  $F_3(u, v)$  de gradul 6.

Se poate observa că pentru fiecare frontieră (margine) se pot considera cel puțin în trei puncte de frontieră. Curba nu are puncte singulare, dar are puncte de întoarcere interne și șase ramuri de-a lungul frontierei (marginilor).

Curba  $F_3(u, v) = 0$  are în acest caz  $M = 3, N = 3$  în  $u, v$ . Deci, **punctele de întoarcere** după  $u, v$  și **punctul singular** sunt mărginite de expresiile:

$$2MN - M = 15$$

$$2MN - N = 15$$

$$2MN - M - N + 1 = 13$$

Punctele de frontieră (de margine) de-a lungul lui  $u = 0$ , de exemplu, se pot calcula cu expresia

$$F(0,0) = \sum_{j=0}^N C_{0,j}^B B_{j,N}(v) = 0.$$

Pentru a calcula **punctele de întoarcere** și **punctul singular** este necesară calcularea derivatelor parțiale de ordinul I după direcțiile  $u$  și respectiv  $v$ :

$$F_u(u,v) = M \sum_{i=0}^{M-1} \sum_{j=0}^N (C_{i+1,j}^B - C_{i,j}^B) B_{i,M-1}(u) B_{j,N}(v);$$

$$F_v(u,v) = N \sum_{i=0}^M \sum_{j=0}^{N-1} (C_{i,j+1}^B - C_{i,j}^B) B_{i,M}(u) B_{j,N-1}(v).$$

Ca urmare, calculul **punctelor de întoarcere**:

$$F = F_u = 0$$

$$F = F_v = 0$$

se reduce la rezolvarea unui sistem de două ecuații neliniare în două necunoscute și la calculul punctelor singulare pentru:

$$F = F_u = F_v = 0$$

ceea ce este echivalent cu un sistem de trei ecuații neliniare cu două necunoscute.

## 6.6. Modelarea matematică a procesului de fabricație a modelelor (solidelor)

Realizarea practică a modelelor (solidelor) reprezintă un proces de fabricație de precizie, și care, în general, se realizează pe mașini unelte cu comandă program<sup>12</sup>.

În funcție de direcția de mișcare a sculelor de prelucrare se disting următoarele tipuri de mașini-unelte cu comandă program:

- 2D-mașini de prelucrare cu comandă program la care sculele de prelucrare se deplasează după direcțiile  $x$  și  $y$ .
- 2½D-mașini ce permit deplasări arbitrare după direcțiile  $x$  și  $y$ , dar numai pas cu pas în direcția  $z$ ;
- 3D-mașini ce permit deplasări arbitrare după direcțiile  $x, y$  și  $z$ , dar nu și rotații ale sculelor de prelucrat;
- 5D-mașini ce permit deplasări arbitrare după direcțiile  $x, y$  și  $z$ , dar și rotații ale sculelor de prelucrat în jurul axelor  $x$  și  $y$ ;

Se recunoaște (Patrikalakis, 2002) că succesul prelucrării pe mașini cu comandă program depinde în mare măsură de utilizarea unor algoritmi eficienți care să definească traiectoria sculelor de prelucrare.

În principal, problemele matematice ce pot apare în acest caz se pot evidenția ca fiind (Hoschek, 1993):

- Determinarea coordonatelor traiectoriilor sculelor de prelucrat relativ la suprafețele prelucrate și depinzând de tipul de prelucrare;
- Mișcarea sculelor de prelucrat de-a lungul unor traiectorii (curbe) speciale, determinându-se dimensiunea, forma și profilul suprafeței prelucrate, Fig. 6.9 de mai jos:

<sup>12</sup> NC machines-numerically controlled milling machines (engl.)

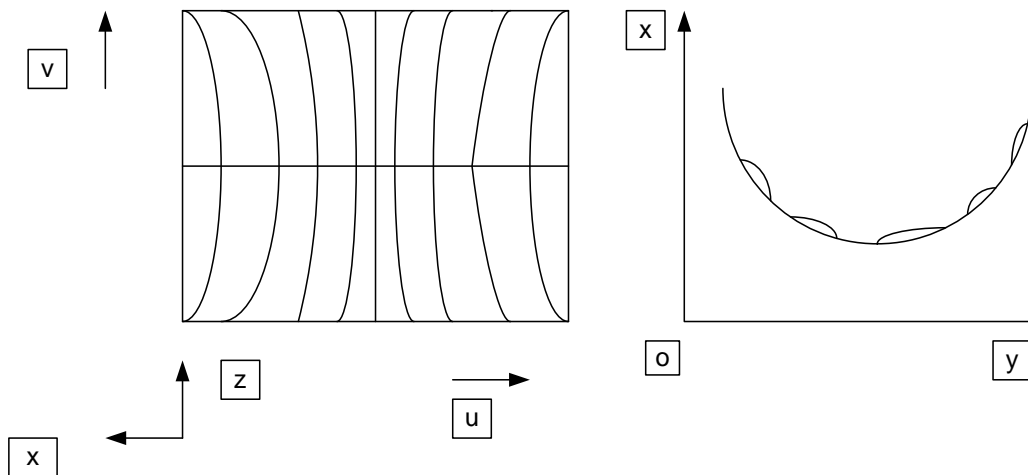


Fig. 6.9. Vedere laterală și profil a unei traiectoriilor sculelor prelucrătoare speciale.

- Transformarea traiectoriilor curbilor (formelor) cerute în comenzi specifice mașinilor de prelucrat;
- Calculul profilului în exces și al materialului de degroșare;
- Calculul restricțiilor impuse mașinilor de prelucrat, astfel încât să se respecte parametrii funcționali ai mașinii.

În mare parte, traiectoria sculelor de prelucrat a mașinilor cu comandă program este determinată și controlată de microprocesoare, care împreună cu sistemele de operare adecvate determină, prin mișcări incrementale, pas cu pas, liniare sau circulare, traiectoria sculelor de prelucrat, ceea ce impune studiul matematic al traiectoriei sculelor de prelucrat.

### 6.6.1. Studiul matematic al traiectoriei sculelor de prelucrat

A. Cazul **sculelor cilindrice**, Fig. 6.10 de mai jos:

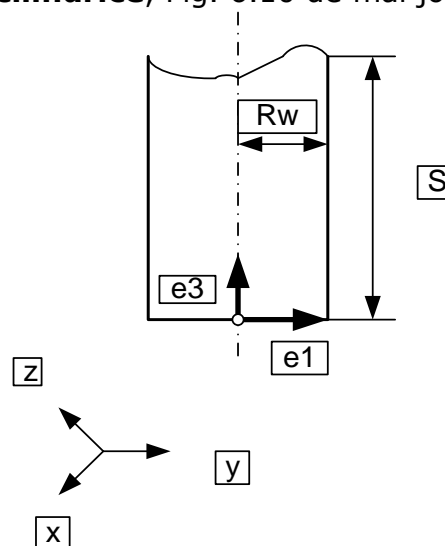


Fig. 6.10. Sculă de prelucrat cilindrică

Fie vectorii unitari de mișcare în cele trei direcții  $(e_1, e_2, e_3)$ , unde  $|e_i| = 1$ . Atunci ecuația de mișcare a sculei de prelucrat este descrisă de ecuația

$$W_z(r, s) = (q R_w \cos r, q R_w \sin r, s S)^T, \text{ unde: } q = [0, 1] \text{ și } s = 0,$$



cea ce corespunde diferitelor tipuri de scule, iar  $q = 1$ ,  $s = [0, 1]$ , corespunzând diferitelor axe de mișcare.

Se poate afirma că în general sculele cilindrice sunt folosite la prelucrări în două axe.

B. Cazul **sculelor cilindrice cu cap sferic**, Fig. 6.11 de mai jos:

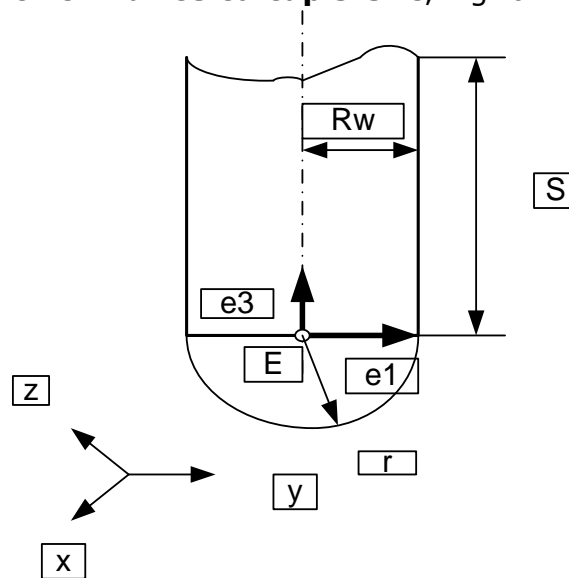


Fig. 6.11. Sculă de prelucrat cilindrică cu cap sferic.

Se poate observa că mișcarea capului sferic al sculei de prelucrat se compune, în principal, din două mișcări:

⇒ **Circulară**, descrisă de formula

$$k_1(v) = (R_w \sin t, 0 - R_w \cos t)^T, \text{ unde } t \in \left[0, \frac{\pi}{2}\right],$$

⇒ **Liniară**, descrisă de formula

$$k_2(v) = (R_w, 0, sS)^T$$

Combinând aceste formule, rezultă

$$k(v) = (R_w \sin t, 0, sS - R_w \cos t)^T$$

- pentru  $0 \leq t \leq \frac{\pi}{2}$  și  $s = 0$ ,  $k(v)$  se reduce la linia dreaptă  $k_1(v)$ ,
- pentru  $0 \leq s \leq 1$  și  $t = \frac{\pi}{2}$ ,  $k(v)$  se reduce la linia dreaptă  $k_2(v)$ ,

de unde rezultă ecuația suprafeței sculei de prelucrat:

$$W_k(r, s, t) = (R_w \cos r \sin t, R_w \sin r \sin t, sS - R_w \cos t)^T.$$

Folosind această formulă este important să respectăm domeniul de definiție (mișcare) impus de intervalele de definiție:

- Dacă stabilim  $s = 0$ , atunci  $W_k$  descrie o jumătate de sferă când  $r$  și  $s$  variază;
- Dacă stabilim  $t = \frac{\pi}{2}$ , atunci obținem suprafața cilindrică când  $r$  și  $s$  variază.

În general, acest tip de sculă de prelucrat se utilizează la mașini de prelucrat în trei axe de mișcare.

C. Cazul sculelor de prelucrat de tip toroidal, Fig. 6.12 de mai jos:

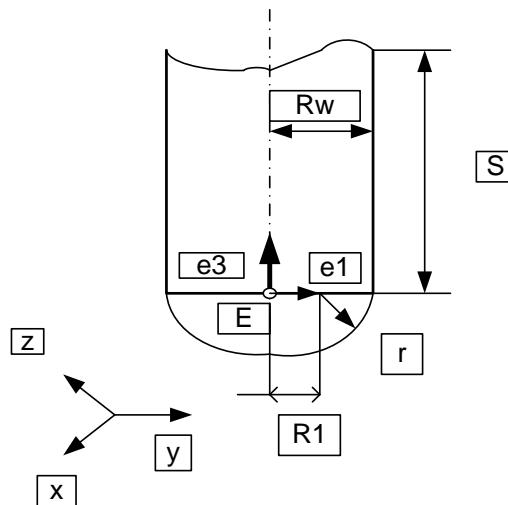


Fig. 6.12. Sculă de prelucrat cu cap toroidal

În acest caz, formula parametrică a unui cap toroidal trebuie să introducă o rază  $\rho$  a colțului toroidal și care introduce doi noi parametri:

- $q$  ce descrie tipul sculelor de prelucrat și
- $s$  ce descrie mărimea axului.

Rezultă următoarea reprezentare parametrică:

$$W_t(q, r, s, t) = \begin{pmatrix} \cos r (q R_1 + \rho \sin t) \\ \sin r (q R_1 + \rho \sin t) \\ s S - \rho \cos t \end{pmatrix},$$

unde  $q, s \in [0, 1]$ ,  $r \in [0, 2\pi]$  și  $t \in [0, \frac{\pi}{2}]$ .

Dacă stabilim:

- $q = 0$  și  $\rho = R_w$  ecuația de mai sus se reduce la cea a sculei de prelucrare cu cap sferic  $W_k$ ,
- $R_1 \neq 0$  și  $\rho = 0$  ecuația de mai sus reduce la reprezentarea parametrică a sculei de prelucrare cilindrică  $W_z$ .

Alegerea constantei  $\rho$  și  $q = 1$  corespunde suprafeței de prelucrare cu cap toroidal.

În general, acest tip de sculă de prelucrare se întâlnește la mașini 3D și 5D.

Dacă considerăm mișcarea sculei de prelucrat în sistemul de coordonate  $(e_1, e_2, e_3)$  în direcția  $x_3 = 0$ , atunci

$$x_3 := s S + \rho (1 - \cos t),$$

unde originea sistemului se alege în E – punctul terminal al sculei de prelucrat.

Considerăm formula pentru toate cele 3 forme:

$$W_t(q, r, s, t) = \begin{pmatrix} \cos r (q R_1 + \rho \sin t) \\ \sin r (q R_1 + \rho \sin t) \\ s S + \rho (1 - \cos t) \end{pmatrix}.$$

Se poate obține o descriere completă a sculei de prelucrat lăsând parametrii  $q, t, s$  să varieze în intervalul corespunzător pentru orice  $r$ . Când unul din parametri atinge marginea superioară, acel parametru devine fix. În general, parametrii  $q, t, s$  nu ating marginea superioară simultan, deci ei pot fi combinați

folosind un parametru comun  $v = v(q, t, s)$  și care ia valori în intervalul  $[0, B_L]$ , unde:

$$B_L := R_1 + \rho \frac{\pi}{2} + S.$$

Pentru a avea  $v$  de-a lungul liniei parametru de deplasare este necesar ca:

a)  $0 \leq v \leq R_1$ , unde:  $q = \frac{v}{R_1}, t = 0, s = 0$

b)  $R_1 \leq v < \left(\rho \frac{\pi}{2} + R_1\right)$  unde:  $q = 1, s = 0, t = \frac{(v - R_1)}{\rho}$

c)  $\left(\rho \frac{\pi}{2} + R_1\right) \leq v < B_L$  unde:  $q = 1, t = \frac{\pi}{2}, s = \frac{[v - (\rho \frac{\pi}{2} + R_1)]}{S}$

În cazul mașinilor-unelte 3D pentru a îmbunătăți operația de prelucrare și în același timp pentru a evita coliziunile, se poate introduce un nou unghi  $\beta$  de înclinare și care, de pildă, să descrie rotația sculei în jurul axei  $e_2$ , presupunând că se deplasează în direcția  $e_1$ . Dacă multiplicăm matricea  $\underline{R}(\beta)$  ce descrie rotația în jurul axei  $e_2$ :

$$\underline{R}(\beta) = \begin{pmatrix} \cos \beta & 0 & \sin \beta \\ 0 & 1 & 0 \\ -\sin \beta & 0 & \cos \beta \end{pmatrix}.$$

cu  $W(1)$ , obținem:

$$\begin{aligned} \underline{W}(\beta, q, r, s, t) &= \underline{R}(\beta) \cdot \underline{W}(q, r, s, t) = \\ &= \begin{pmatrix} \cos \beta \cos r [q R_1 + \rho \sin t] + \sin \beta [s S + \rho (1 - \cos t)] \\ \sin r [q R_1 + \rho \sin t] \\ -\sin \beta \cos r [q R_1 + \rho \sin t] + \cos \beta [s S + \rho (1 - \cos t)] \end{pmatrix} \end{aligned}$$

relativ la  $(e_1, e_2, e_3)$ .

Fig. 6.13. de mai jos reprezintă cele trei tipuri de scule de prelucrat pentru un unghi de înclinare dat  $b = \beta > 0$ .

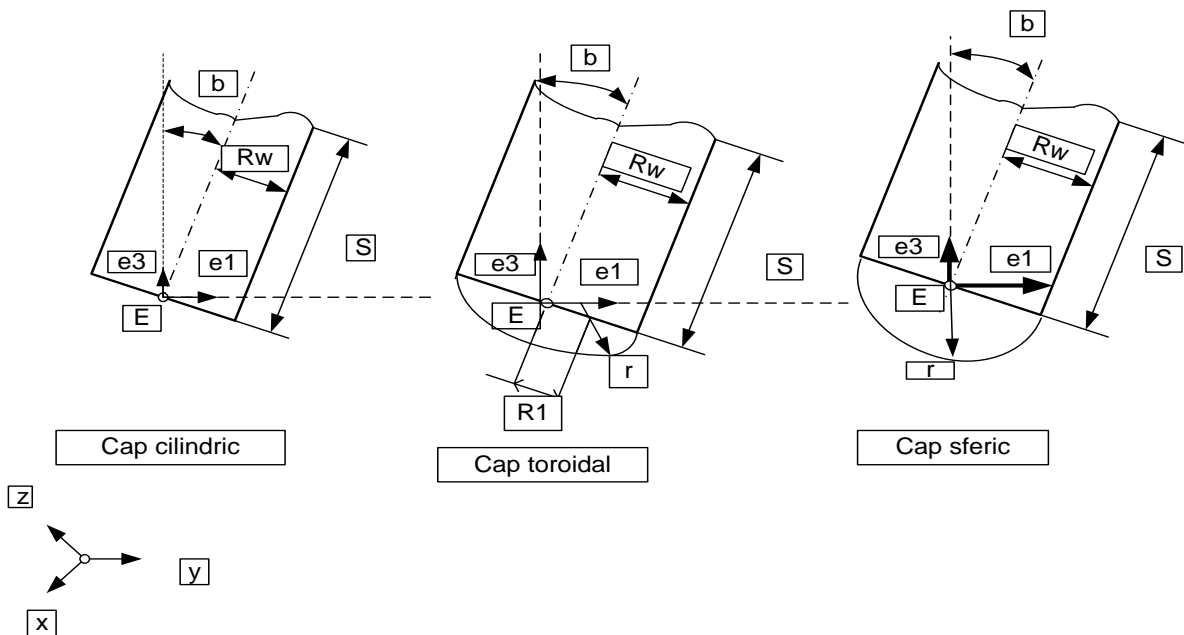


Fig. 6.13. Unghiul de înclinare dat (unde  $b = \beta$  pentru cele 3 tipuri de scule de prelucrat)

### 6.6.2. Tipuri de traiectorii ale sculei de prelucrat

În principiu se disting două strategii de prelucrat:

a) În **zig-zag (prelucrare paralelă)** Fig. 6.14 de mai jos:

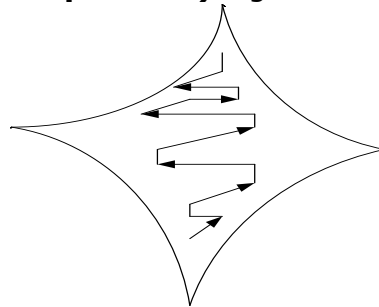


Fig. 6.14. Prelucrare în zig-zag.

b) **Paralelă cu conturile suprafeței** (cunoscută sub numele de **offset**), Fig. 6.15 de mai jos:

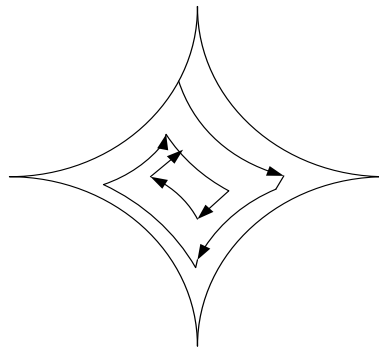


Fig. 6.15. Prelucrare paralelă cu conturile suprafeței (cunoscută sub numele de offset).

Pentru:

- **2D**, scule cilindrice, scula de prelucrat se deplasează la o distanță egală cu raza cilindrului;
- **3D**, scule sferice, centrul sferei sculei de prelucrat se deplasează la o distanță egală cu raza sferei;
- **5D**, scule toroidale, este dificil de a descrie traiectoria sculei, punctul de contact al sculei de prelucrat urmând o traiectorie specială, utilizând în general suprafețe parametrice.

Pentru a descrie traiectoria sculei de prelucrat de-a lungul unei suprafețe curbe  $X(t)$  în direcția  $\dot{X}(t)$  se introduce un sistem de coordonate ortonormale  $(\bar{T}, \bar{S}, \bar{N})$  care se deplasează de-a lungul suprafeței  $X(u, v)$  și unde:

- ⇒  $\bar{T}$  este vectorul tangent la traiectoria sculei de prelucrat,
- ⇒  $\bar{N}$  este vectorul normal la suprafață;
- ⇒  $\bar{S} = \bar{N} \cdot \bar{T}$  este vectorul binormal.

Pentru a descrie poziția punctelor de contact pe suprafața curbă descrisă mai sus, coordonatele sistemului  $(e_1, e_2, e_3)$  se cer convertite la coordonatele ortonormale  $(\bar{T}, \bar{S}, \bar{N})$  prin translație. Această transformare este descrisă de ecuația sistemului

$$\bar{X} = \bar{F} + (\Delta h \bar{T} - \Delta z \bar{N}) := \bar{F} + \bar{V}$$

unde:

- ⇒  $\bar{X}$  = reprezintă un punct al traiectoriei sculei de prelucrat;
- ⇒  $\bar{V}$  = este vectorul de deplasare.

Traectoria descrisă de un punct  $E$  al sculei de prelucrat definește traectoria sculei, iar componentele vectorului de deplasare variază în funcție de tipul sculei de prelucrat, Fig. 6.16 de mai jos:

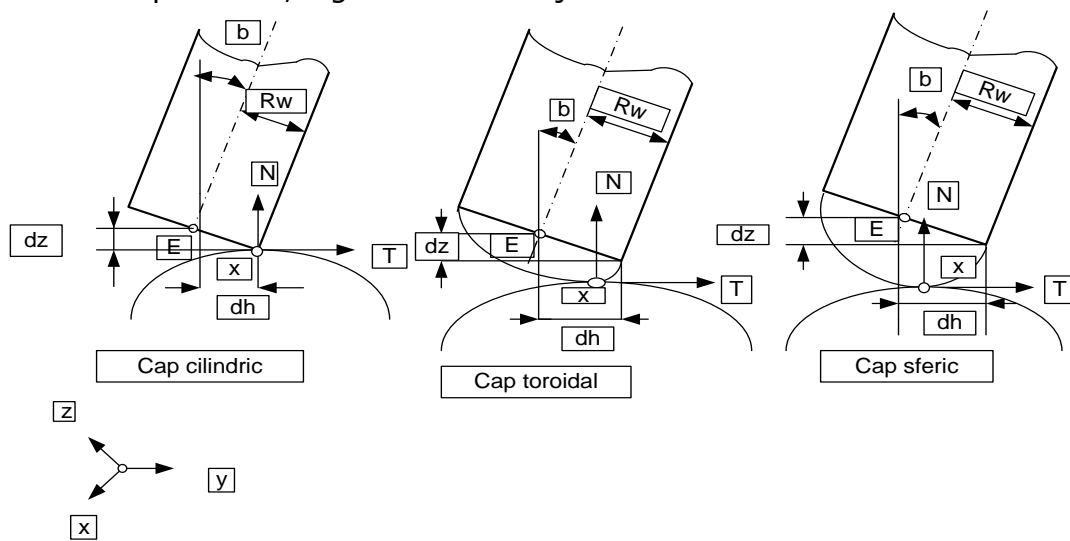


Fig. 6.16. Poziții de lucru al diferitelor tipuri de scule de prelucrat (unde  $b = \beta$  reprezintă unghiul de prelucrat, iar  $dh = \Delta h$  și  $dz = \Delta z$ ) definiți mai sus

## 6.7. Descrierea geometrică a traectoriei sculei de prelucrat

În mod uzual, descrierea suprafeței de prelucrat se face aproximând traectoria sculei prelucrătoare printr-o secvență de polinoame a căror valori descriu poziția sculei prelucrătoare, iar secvența profilelor de tăiere descriu suprafața de prelucrat, Fig. 6.17 de mai jos:

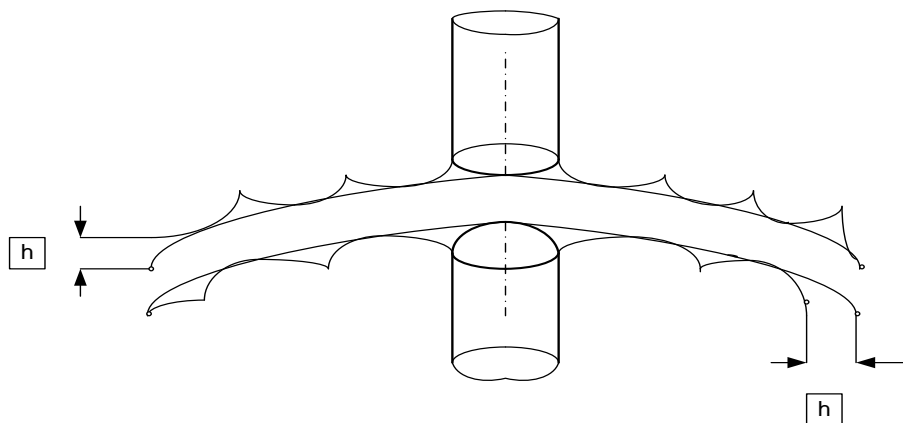


Fig. 6.17. Secvența profilelor de tăiere descriind suprafața de prelucrat

O abordare diferită a problemei de mai sus se poate face considerând înfășurătoarea traectoriei suprafeței de prelucrat: mișcarea curbei de-a lungul traectoriei generează o suprafață secundară, care consistă dintr-o familie de curbe a căror înfășurătoare conțin toate punctele sculei.

Totalitatea curbelor înfășurătoare corespunzătoare traectoriilor de tăiere de-a lungul suprafeței de prelucrat descriu o familie de suprafețe generatoare a suprafeței de prelucrat. Aceasta conduce la ideea descrierii acestor familii de

suprafețe și care se consideră diferentiabile (ca de exemplu suprafețele) spline. Rezolvând ecuațiile obținute rezultă punctele înfășurătoarei mișcării sculei prelucrătoare.

Fie traiectoria curbei de prelucrat  $X(\mu)$  corespunzătoare lui  $\mu = u$  sau  $\mu = v$  [în general  $\mu = \mu(u, v)$ ]. Din ecuația generală:

$$\begin{aligned} \underline{W}(\beta, q, r, s, t) &= \underline{R}(\beta) \cdot \underline{W}(q, r, s, t) = \\ &= \begin{pmatrix} \cos \beta \cos r [q R_1 + \rho \sin t] + \sin \beta [s S + \rho (1 - \cos t)] \\ \sin r [q R_1 + \rho \sin t] \\ -\sin \beta \cos r [q R_1 + \rho \sin t] + \cos \beta [s S + \rho (1 - \cos t)] \end{pmatrix}, \end{aligned}$$

și considerând sistemul de coordonate ortonormale  $(\bar{T}, \bar{S}, \bar{N})$  se poate obține

$$M(\mu) = X(\mu) + (\bar{T} \bar{S} \bar{N})(\beta, q, r, t) + V(\mu, \beta, q, r, s, t),$$

unde  $(\bar{T} \bar{S} \bar{N})$  reprezintă matricea vectorilor coloană, iar  $V$  este deplasarea definită de

$$\bar{X} = \bar{F} + (\Delta h \bar{T} - \Delta z \bar{N}) := \bar{F} + \bar{V}$$

Pentru un unghi de incidență  $\beta$  și o valoare a parametrului  $\mu$ , formula lui  $M(\mu)$  de mai sus reprezintă o formulă completă a mișcării sculei de prelucrat de-a lungul traiectoriei  $X(\mu)$  și unde parametrii  $q, r, s, t$  sunt definiți în intervalele lor de definiție, Fig. 6.18 de mai jos:

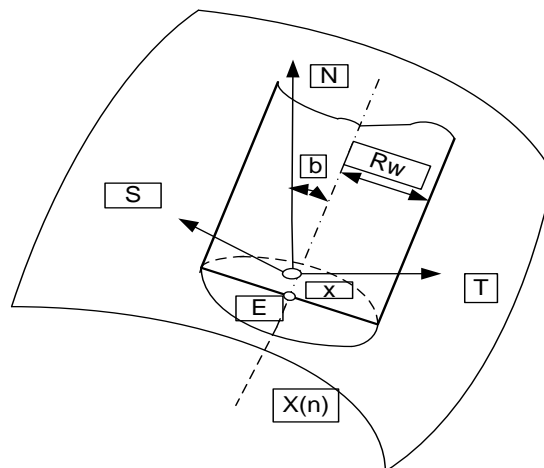


Fig. 6.18. Mișcarea sculei de prelucrat cilindrică de-a lungul traiectoriei  $X(\mu)$

Se cer punctele traiectoriei sculei de prelucrat. Se observă că înfășurătoarea atinge suprafața tangențial, deci punctele înfășurătoarei trebuie să fie ortonormale la suprafața prelucrată, ceea ce conduce la condiția

$$M_\mu \cdot \bar{W} \cdot \bar{N} = 0,$$

unde

$$M_\mu = \frac{\partial \bar{M}}{\partial \mu} \text{ și } \bar{W} \cdot \bar{N},$$

sunt vectorii normalei la suprafața de prelucrat.

Pentru a calcula  $\bar{W} \cdot \bar{N}$  este necesar a se calcula derivatele parțiale ale funcției  $\underline{W}(\beta, q, r, s, t)$  în funcție de parametrii:  $\beta, q, r, s, t$ :

$$\begin{aligned} W_q &= \frac{\partial W}{\partial q} = (\cos \beta \cos r, \sin r, -\sin \beta \cos r)^T \\ W_r &= \frac{\partial W}{\partial r} = (-\cos \beta \cos r, \cos r, \sin \beta \sin r)^T \end{aligned}$$

$$W_s = \frac{\partial W}{\partial s} = (\sin \beta, 0, \cos \beta)^T$$

$$W_T = \frac{\partial W}{\partial t} = \begin{pmatrix} \cos \beta \cos r, \cos t, \sin \beta \sin t \\ \sin r \cos t \\ \cos \beta \sin t, -\sin \beta \cos r \cos t \end{pmatrix}$$

Dacă considerăm trei produse:

$$\begin{aligned} &W_r \cdot W_q, \\ &W_r \cdot W_s, \\ &W_r \cdot W_t \end{aligned}$$

în raport cu  $(\bar{S} \bar{N})$  obținem:

$$a) W N_{r,q} = \frac{W_r \cdot W_q}{|W_r \cdot W_q|} = -(\sin \beta) T - (\cos \beta) N$$

$$b) W N_{r,s} = \frac{W_r \cdot W_s}{|W_r \cdot W_s|} = -(\cos \beta \cos r) T + (\sin r) S - (\sin \beta \cos r) N$$

$$c) W N_{r,t} = \frac{W_r \cdot W_t}{|W_r \cdot W_t|} = (\cos \beta \cos r \sin t - \sin \beta \cos t) T - (\sin r \sin t) S - (\cos \beta \cos t + \sin \beta \cos r \sin t) N$$

Se poate observa că:

≤ a) și b) sunt incluse în c):

- pentru  $t = 0, c) \rightarrow a)$
- pentru  $t = \frac{\pi}{2}, c) \rightarrow b)$ .

Ca urmare, se poate considera o singură formulă vectorială care să descrie traiectoria sculei de prelucrat:

$$WN := W N_{rt} := W N_1 T + W N_2 S + W N_3 N$$

Pentru  $\beta$  constant obținem:

$$M_\mu = X_\mu + (T_\mu S_\mu N_\mu) W(\beta, q, r, s, t) + V_\mu$$

unde

$$\begin{aligned} T_\mu &= \frac{\partial T}{\partial \mu}; \\ S_\mu &= \frac{\partial S}{\partial \mu}; \\ N_\mu &= \frac{\partial N}{\partial \mu}; \\ X_\mu &= \frac{\partial X}{\partial \mu}; \\ V_\mu &= \frac{\partial V}{\partial \mu}. \end{aligned}$$

Derivatele vectoriale în raport cu  $\mu$  au valorile de mai jos:

$$\begin{aligned} \frac{\partial T}{\partial \mu} &= \frac{\partial}{\partial \mu} \left( \frac{\dot{X}}{|\dot{X}|} \right), \\ \frac{\partial S}{\partial \mu} &= \frac{\partial}{\partial \mu} (N \cdot T) = N_\mu \cdot T + N \cdot T_\mu, \\ \frac{\partial N}{\partial \mu} &= \frac{\partial}{\partial \mu} \left( \frac{X_u \cdot X_v}{|X_u \cdot X_v|} \right) = \frac{\partial}{\partial \mu} (X_u \cdot X_v) \cdot [(|X_u \cdot X_v|)^2]^{-\frac{1}{2}} = \\ &= (R_u + R_v) (R^2)^{-\frac{1}{2}} - R \cdot (R^2)^{-\frac{3}{2}} \cdot (R \cdot (R_u + R_v)) \end{aligned}$$

unde

$$R = X_u \cdot X_v, \quad R_u = X_{v\mu} \cdot X_v, \quad R_v = X_u \cdot X_{v\mu}$$

atunci

$$M_\mu = X_\mu + W_1 T_\mu + W_2 S_\mu + W_3 N_\mu + V_\mu$$

unde:  $W_1, W_2, W_3$  sunt componente ale lui  $W$  din formula lui  $M_\mu$  de mai sus.

Înlocuind în:

⇒ formula lui  $M_\mu$ ,

⇒ formula lui  $W N := W N_{rt} := W N_1 T + W N_2 S + W N_3 N$

⇒ condiția lui  $M_\mu \cdot \bar{W} \cdot \bar{N} = 0$

obținem:

$$M_\mu \cdot W N = X_\mu \cdot W N + W_1 (T_\mu \cdot W N) + W_2 (S_\mu \cdot W N) + W_3 (N_\mu \cdot W N) + V_\mu \cdot W N = 0.$$

Deoarece  $W N$  conțin vectorii  $(\bar{T}, \bar{S}, \bar{N})$  ecuația de mai sus se poate simplifica

$$|T| = |S| = |N| = 1$$

și deci derivatele vectorilor unitari în raport cu  $\mu$  satisfac relațiile de mai jos:

$$T \cdot T_\mu = 0; S \cdot S_\mu; N \cdot N_\mu = 0$$

În plus,

$$T \cdot S = T \cdot N = S \cdot N = 0 \text{ și } X_\mu \cdot S = X_\mu \cdot N = 0.$$

Atunci  $M_\mu \cdot W N$  devine:

$$M_\mu \cdot W N = W N_1 + W_1 W N_2 (T_\mu \cdot S) + W_1 W N_2 (T_\mu \cdot N) + W_2 W N_1 (S_\mu \cdot T) + W_2 W N_3 (S_\mu \cdot N) + W_3 W N_1 (N_\mu \cdot T) + W_3 W N_2 (N_\mu \cdot S) + V_\mu \cdot W N = 0,$$

unde:

⇒  $W N_1, W N_2, W N_3$  sunt componente ale vectorilor normali  $W N$ , iar:

⇒  $W_1, W_2, W_3$  sunt componente ale lui  $W$ .

Dar pentru a rezolva ecuația  $M_\mu \cdot W N$  de mai sus sunt necesare condiții suplimentare, care însă depind de tipul de sculelor de prelucrare utilizate în acest proces. De pildă pentru scule de prelucrat cilindrice ecuația  $M_\mu \cdot W N$  se poate rezolva în funcție de două situații:

- odată pentru vectorul normal la capătul inferior al sculelor de prelucrat;
- și odată pentru vectorul normal la axă.

Pentru scule de prelucrare cu cap toroidal se poate introduce în plus o nouă condiție determinată de condițiile de mai sus a), b), c).

În concluzie, pentru a găsi înfășurătoarea unei scule de prelucrat cu cap sferic, de exemplu având raza  $R_w$ , care se rotește în jurul unui cilindru de rază  $R$  sub un unghi de incidență  $\beta = 0$  și considerând

$$\rho = R_w, R_1 = 0, s = 0, \beta = 0 \text{ în } M_\mu = X_\mu + W_1 T_\mu + W_2 S_\mu + W_\mu N_\mu + V_\mu,$$

obținem

$$W = \begin{pmatrix} R_w \cos r \sin t \\ R_w \sin r \sin t \\ R_w (1 - \cos t) \end{pmatrix}.$$

Din

⇒ ecuația cilindrului:

$$X(u, v) = (R \cos u, R \sin u, v)^T$$

⇒ ecuația sculei de prelucrat de-a lungul lui  $u = u_0$ :

$$X(\mu) = (R \cos u_0, R \sin u_0, \mu)^T$$

⇒ și  $V = 0$ ,

rezultă:

$$\begin{cases} X_\mu = T = (0, 0, 1)^T \\ S = (-\sin u_0, \cos u_0, 0)^T \\ N = (\cos u_0, \sin u_0, 0)^T \end{cases}$$

sau matricial:



$$(\bar{T}, \bar{S}, \bar{N}) = \begin{pmatrix} 0 - \sin u_0 \cos u_0 \\ 0 \cos u_0 \sin u_0 \\ 1 \ 0 \ 0 \end{pmatrix}$$

Din a) rezultă:

$$WN = (\cos r \sin t, \sin r \sin t, -\cos t)^T.$$

Ținând cont de coordonatele ortonormale ale lui  $(\bar{T}, \bar{S}, \bar{N})$ :

$$(\bar{T}, \bar{S}, \bar{N}) = \begin{pmatrix} 0 - \sin u_0 \cos u_0 \\ 0 \cos u_0 \sin u_0 \\ 1 \ 0 \ 0 \end{pmatrix}$$

obținem:

$$WN = (\bar{T}, \bar{S}, \bar{N}) = \begin{pmatrix} -\sin u_0 \sin r \sin t, -\cos u_0 \cos t \\ \cos u_0 \sin r \sin t - \sin u_0 \cos t \\ \cos r \sin t \end{pmatrix}$$

În plus:

$$\frac{\partial T}{\partial \mu} = (0, 0, 1) + (T_\mu \ S_\mu \ N_\mu) W$$

$$T_\mu = T_\nu = 0; \ S_\mu = S_\nu = 0; \ N_\mu = N_\nu = 0.$$

Din condiția înfășurătoarei:

$$M_\mu \cdot WN = 0$$

⇒ și  $WN$  de mai sus

⇒ și pentru:  $\cos r \sin t = 0, r = \frac{\pi}{2}$ , pentru  $t = 0$

se obține doar traiectoria extremității sculei de prelucrat și care include

$$r = \frac{\pi}{2}$$

Rezultă următoarea ecuație pentru înfășurătoare:

$$X = \begin{pmatrix} R \cos u_0 \\ R \sin u_0 \\ \mu \end{pmatrix} + \begin{pmatrix} -R_w \sin u_0 \sin t \\ R_w \cos u_0 \sin t \\ 0 \end{pmatrix} + \begin{pmatrix} R_w \cos u_0 (1 - \cos t) \\ R_w \sin u_0 (1 - \cos t) \\ 0 \end{pmatrix} =$$

$$= \begin{pmatrix} (R + R_w) \cos u_0 \\ (R + R_w) \sin u_0 \\ \mu \end{pmatrix} + R_w \begin{pmatrix} -\cos (t - u_0) \\ \sin (t - u_0) \\ 0 \end{pmatrix}.$$

și care implică faptul că centrul sferei trebuie să se deplaseze de-a lungul unui cilindru de rază  $R + R_w$  și în fiecare punct al traiectoriei trebuie să trasăm un cerc de rază  $R_w$  ca în Fig. 6.19 de mai jos:

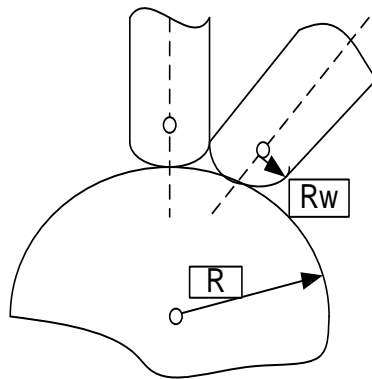


Fig. 6.19. Profilul de prelucrat și poziția sculei pentru prelucrare în 3D și care se deplasează de-a lungul unui cilindru.

## 6.8. Concluzii

Cuplarea sistemelor de concepție și fabricație a entităților geometrice reprezintă un domeniu important al cercetării matematice fundamentale și aplicative. Descoperirile din domeniul geometriei analitice și numerice, împreună cu progresele fără precedent ale calculatoarelor electronice și ale sistemelor de aplicații de la sfârșitul secolului XX și începutul secolului XXI au permis dezvoltarea **modelării matematice** în general și a **modelării geometrice** în particular.

Aceasta a condus la schimbări fundamentale asupra modului în care se proiectează și realizează noile produse. Calculatoare electronice dotate cu sisteme de aplicații adecvate au înlocuit munca considerată tradițională a proiectantului dotat cu o planșetă și o riglă de calcul, permițând nu numai scurtarea timpului de proiectare, dar și obținerea de variante constructive optime în funcție de cerințele tehnologice ale produselor realizate.

Introducerea microprocesoarelor electronice la construcția și realizarea mașinilor-unelte a permis ridicarea performanțelor acestor mașini, atât din punctul de vedere al preciziei de prelucrare, cât și al capabilității de prelucrare a acestor mașini. Totodată realizarea de desene de proiectare ale produselor s-a transformat dintr-o activitate orientată spre un suport de hârtie într-o activitate de programare a mașinilor-unelte cu comandă program și care pe baza unui sistem de aplicații propriu bazat pe microprocesoare permite comanda acestor mașini pentru realizarea de produse adecvate.

Toate aceste progrese au la bază un aparat matematic fundamental cu aplicații practice determinante pentru dezvoltarea modelării geometrice prin îmbinarea cunoștințelor din domeniul geometriei teoretice cu principiile generale a teoriei modelării matematice.

Scopul principal al acestei lucrări îl constituie tocmai dezvoltarea acestui aparat, atât prin prezentarea cunoștințelor din domeniu, cât și prin modeste contribuții personale și care să ducă la îmbogățirea acestor cunoștințe, pregătind totodată dezvoltări ulterioare în domeniu, dezvoltări care se anunță deosebit de promițătoare.



# 7. MODELAREA GEOMETRICĂ, CA TEHNICĂ DE CONCEPȚIE ȘI FABRICAȚIE A SUPRAFEȚELOR SCULPTATE

## 7.1. Introducere

Numeroase produse create pentru consumul general necesită un aspect estetic special, care să mărească satisfacția consumatorilor pentru utilizarea acestor produse. Folosind suprafețe sculptate în proiectarea, prelucrarea și realizarea acestor produse, în special în industria de automobile și de produse electronice, se pot obține produse cu un aspect estetic adecvat.

Pe de altă parte, unele produse necesită ele însuși folosirea suprafețelor sculptate din motive funcționale, iar uneori aceste produse pot interacționa cu alte suprafețe sculptate adiacente sau cu mediul înconjurător. În acest caz, suprafețele funcționale se numesc *suprafețe dinamice*. Exemple de astfel de suprafețe se pot găsi în: industria aero-hidro-dinamică (de ex. elicele turbinelor), industria optică (de ex. reflectoarele lămpilor), industria de aparatură medicală (de ex. în reproducerea unor părți anatomice), industria mecanică (de ex. prelucrarea subansamblelor complexe) etc.

În funcție de complexitatea lor, realizarea suprafețelor sculptate necesită mașini-unelte de înaltă performanță, capabile să realizeze o astfel de precizie și complexitate, dar care ridică semnificativ costurile de prelucrare.

Aceasta conduce la o cerință stringentă impusă proiectării proceselor tehnologice, și anume la reducerea timpurilor de prelucrare, ca o măsură eficientă de folosire a mașinilor-unelte cu comandă numerică (NC<sup>1</sup>) pentru realizarea suprafețelor sculptate (Radzevich, 2008).

În cele ce urmează se va prezenta teoria generării suprafețelor sculptate (SSE<sup>2</sup>), cu scopul folosirii optimale a acestei teorii în domeniul prelucrării suprafețelor sculptate pe mașini-unelte cu comandă numerică.

În principal, studiul realizării suprafețelor sculptate ia în considerare două suprafețe:

- Suprafața sculptată **P** ce urmează a se realiza pe mașinile-unelte cu comandă numerică;
- Suprafața generatoare **T** a sculei așchietoare.

De remarcat că:

- Suprafața sculptată **P** se poate genera ca o suprafață înfășurătoare a punctelor suprafeței generatoare **T** a sculei așchietoare, când suprafețele **P** și **T** sunt în contact.
- În realitate, suprafața generatoare **T** nu există în mod explicit, ci este reprezentată de pozițiile consecutive ale mișcărilor relative a sculei așchietoare în cadrul unui sistem de axe de coordonate.

În acest capitol se prezintă unele probleme ce apar la generarea optimală a suprafețelor sculptate folosind mașini-unelte cu comandă numerică.

<sup>1</sup> NC = Numerically Controlled machine – (engl.)

<sup>2</sup> SSE = Sculptured–Surface generation – (engl.)

Se prezintă definiții, concepții și notații referitoare la analiza suprafețelor sculptate, luându-se în considerare analiza, investigarea și compararea diferitelor metode de prelucrare pentru sintetizarea generalizării optime pe aceste mașini a suprafețelor sculptate.

Se introduc conceptele fundamentale ale geometriei suprafețelor sculptate și teoria mișcării multiparametrice a unui corp rigid în spațiul tridimensional  $\mathbb{R}^3$ , luându-se în considerare faptul că elementul principal în prelucrarea suprafețelor îl constituie suprafața însuși.

Alte elemente luate în calcul la prezentarea programelor referitoare la generarea optimă a suprafețelor sculptate au fost:

- cinematica sculei așchietoare,
- parametrii geometrici ai generării suprafețelor sculptate,
- tipul și complexitatea mașinilor-unelte pe care are loc prelucrarea suprafețelor sculptate.

Se prezintă optimizarea prelucrării suprafețelor sculptate pe mașini-unelte cu comandă numerică folosind teoria geometrică a generării suprafețelor în spațiu, atât pentru suprafețele sculptate realizate, cât și pentru mișcările sculei așchietoare.

Principalele soluții folosite la prezentarea problemelor legate de prelucrarea suprafețelor complexe au constat în generarea cinematicii sculei așchietoare, astfel ca acestea să urmărească coordonatele geometrice ale suprafeței de realizat<sup>3</sup>.

În acest fel, generarea optimă a parametrilor pentru realizarea suprafețelor sculptate se poate exprima numeric prin cotele parametrilor suprafețelor ce urmează a fi realizate.

## 7.2. Realizarea suprafețelor sculptate pe mașini-unelte cu comandă numerică

Fie o suprafață sculptată  $\mathbf{P}$ ; aceasta se poate reprezenta unic exprimând coordonatele sale rectangulare:  $X_p, Y_p, Z_p$  în spațiul tridimensional  $\mathbb{R}^3$  ca funcții de două variabile independente carteziane (Gauss) - parametrii  $(U_p, V_p)$  într-un interval închis  $[U_p, V_p] \subseteq \mathbb{R}$  (Fig. 7.1).

$$\mathbf{r}_p = \mathbf{r}_p(U_p, V_p) = \begin{bmatrix} X_p(U_p, V_p) \\ Y_p(U_p, V_p) \\ Z_p(U_p, V_p) \end{bmatrix}, \text{ unde: } (U_{1,p} \leq U_p \leq U_{2,p}; V_{1,p} \leq V_p \leq V_{2,p})$$

și unde:

- $\mathbf{r}_p$  este vectorul de poziție al unui punct al suprafeței sculptate  $\mathbf{P}$ ;
- $X_p, Y_p, Z_p$  sunt coordonatele rectangulare carteziane (Gauss) ale unui punct al suprafeței sculptate  $\mathbf{P}$ ;
- $U_p, V_p$  sunt variabilele carteziane (Gauss), parametrii unui punct al suprafeței sculptate  $\mathbf{P}$ ;
- $U_{1,p}, U_{2,p}$  sunt punctele de frontieră ale intervalului închis  $[U_{1,p}, U_{2,p}] \subseteq \mathbb{R}$  ai parametrului  $U_p$ ;
- $V_{1,p}, V_{2,p}$  sunt punctele de frontieră ale intervalului închis  $[V_{1,p}, V_{2,p}] \subseteq \mathbb{R}$  ai parametrului  $V_p$

Parametrii  $U_p, V_p$  trebuie să fie independenți, ca urmare matricea  $\mathbf{M}$ :

<sup>3</sup> SSE = Sculptured -Surface generation - ( engl )

$$\mathbf{M} = \begin{bmatrix} \frac{\partial X_P}{\partial U_P} & \frac{\partial Y_P}{\partial U_P} & \frac{\partial Z_P}{\partial U_P} \\ \frac{\partial X_P}{\partial V_P} & \frac{\partial Y_P}{\partial V_P} & \frac{\partial Z_P}{\partial V_P} \end{bmatrix} \text{ are rangul 2.}$$

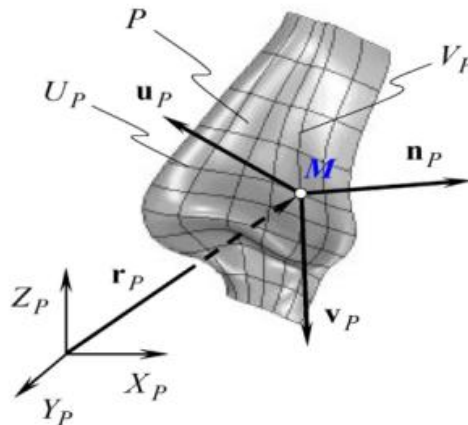


Fig. 7.1. Elementele principale ale topologiei suprafețelor sculptate (Radzevich, 2008)

De remarcat că dacă rangul matricei  $\mathbf{M}$  este 1 sau 0, atunci punctele considerate sunt singulare, iar ecuația matricială  $\mathbf{M}$  reprezintă o curbă (în spațiu sau în plan).

Definim în continuare două funcții fundamentale ale geometriei suprafețelor legate de punctele ce definesc suprafața sculptată  $\mathbf{P}$  și anume funcțiile fundamentale de ordinul I și respectiv II:  $\Phi_{1,P}$  (A.) și  $\Phi_{2,P}$  (B.)

A. Fie **funcția fundamentală de ordinul I:  $\Phi_{1,P}$**  a suprafeței sculptate  $\mathbf{P}$ , reprezentată de funcția pătratică  $\Phi_{1,P}$  definită mai jos:

$$\Phi_{1,P} \Rightarrow ds_P^2 = E_P dU_P^2 + 2 F_P dU_P dV_P + G_P dV_P^2$$

și unde:

- $s_P$  este elementul linear al suprafeței sculptate  $\mathbf{P}$ ;
- $E_P, F_P, G_P$  sunt mărimi fundamentale de ordinul I;
- $U_P = \frac{\partial r_P}{\partial U_P}, V_P = \frac{\partial r_P}{\partial V_P}$  sunt derivatele de ordinul I ale vectorului  $r_P$  în funcție de coordonatele rectangulare gaussiene  $U_P, V_P$ .

În teoria generării suprafețelor, forma matricială a funcției fundamentale de ordinul I:  $\Phi_{1,P}$  a suprafeței sculptate  $\mathbf{P}$  se definește ca (Radzevich, 1990):

$$\Phi_{1,P} \Rightarrow ds_P^2 = \begin{bmatrix} E_P & F_P & 0 & 0 \\ F_P & G_P & 0 & 0 \\ 0 & 0 & 1 & 0 \\ 0 & 0 & 0 & 1 \end{bmatrix} \begin{bmatrix} dU_P \\ dU_P \\ 0 \\ 0 \end{bmatrix}$$

Pentru calculul mărimilor fundamentale de ordinul I:  $(E_P, F_P, G_P)$  se folosesc ecuațiile vectoriale:

$$\begin{aligned} E_P &= \mathbf{U}_P \mathbf{U}_P; \\ F_P &= \mathbf{U}_P \mathbf{V}_P; \\ G_P &= \mathbf{V}_P \mathbf{V}_P, \end{aligned}$$

unde:  $\mathbf{U}_P = \frac{\partial r_P}{\partial U_P}$ ;  $\mathbf{V}_P = \frac{\partial r_P}{\partial V_P}$ , sunt primele derivate ale lui  $r_P$  în funcție de  $U_P, V_P$ .

Pentru vectorii unitate  $\mathbf{U}_P$  și  $\mathbf{V}_P$ , expresiile:

$$\begin{aligned} \mathbf{u}_P &= \frac{\mathbf{U}_P}{|\mathbf{U}_P|} \text{ și} \\ \mathbf{v}_P &= \frac{\mathbf{V}_P}{|\mathbf{V}_P|} \end{aligned}$$

există și definesc direcția tangentei la curba de coordonate  $U_p$  și respectiv  $V_p$  într-un punct dat  $\mathbf{M}$  al suprafeței sculptate  $\mathbf{P}$ .

Fie mărimile fundamentale de ordinul I

$$(E_p, F_p, G_p),$$

ca funcții scalare ai parametrilor  $U_p$  și  $V_p$  ai suprafeței sculptate  $\mathbf{P}$  și care se pot exprima ca fiind:

$$\begin{aligned} E_p &= E_p(U_p, V_p), \\ F_p &= F_p(U_p, V_p), \\ G_p &= G_p(U_p, V_p). \end{aligned}$$

Mărimile  $E$  și  $G$  sunt totdeauna pozitive ( $E_p > 0, G_p > 0$ ), dar  $F_p$  poate fi și zero:

$$(F_p \geq 0).$$

Funcția fundamentală de ordinul I:  $\Phi_{1,p}$  reprezentând lungimea curbei înfășurătoare este întotdeauna pozitivă, adică  $\Phi_{1,p} \geq 0$ . Discriminantul  $H_p$  al funcției  $\Phi_{1,p}$  se poate calcula din ecuația:

$$H_p = \sqrt{E_p G_p - F_p^2} \text{ și unde } H_p \geq 0.$$

B. Fie **funcția fundamentală de ordinul II**:  $\Phi_{2,p}$  a suprafeței sculptate  $\mathbf{P}$  și unde  $\Phi_{2,p}$  este reprezentată de forma pătratică (Faux, 1987):

$$\Phi_{2,p} \Rightarrow -dr_p dn_p = L_p dU_p^2 + 2M_p dU_p dV_p + N_p dV_p^2$$

În teoria generării suprafețelor, forma matricială a funcției fundamentale de ordinul II:  $\Phi_{2,p}$  se definește ca (Pottmann, 2001):

$$\Phi_{2,p} \Rightarrow \begin{bmatrix} dU_p & dV_p & 0 & 0 \end{bmatrix} \begin{bmatrix} L_p & M_p & 0 & 0 \\ M_p & N_p & 0 & 0 \\ 0 & 0 & 1 & 0 \\ 0 & 0 & 0 & 1 \end{bmatrix} \begin{bmatrix} dU_p \\ dV_p \\ 0 \\ 0 \end{bmatrix},$$

unde  $(L_p, M_p, N_p)$  sunt mărimi fundamentale de ordinul II și unde

$$\begin{aligned} L_p &= \frac{\frac{\partial \mathbf{U}_p}{\partial U_p} \cdot \mathbf{U}_p \cdot \mathbf{V}_p}{\sqrt{E_p G_p - F_p^2}}, \\ M_p &= \frac{\frac{\partial \mathbf{U}_p}{\partial V_p} \cdot \mathbf{U}_p \cdot \mathbf{V}_p}{\sqrt{E_p G_p - F_p^2}} \frac{\frac{\partial \mathbf{V}_p}{\partial U_p} \cdot \mathbf{U}_p \cdot \mathbf{V}_p}{\sqrt{E_p G_p - F_p^2}}, \\ N_p &= \frac{\frac{\partial \mathbf{V}_p}{\partial V_p} \cdot \mathbf{U}_p \cdot \mathbf{V}_p}{\sqrt{E_p G_p - F_p^2}}. \end{aligned}$$

Mărimile fundamentale de ordinul II:  $(L_p, M_p, N_p)$  sunt funcții scalare ale parametrilor  $U_p$  și  $V_p$  a suprafeței sculptate  $\mathbf{P}$ , relații care pot fi reprezentate prin:

$$\begin{aligned} L_p &= L_p(U_p, V_p), \\ M_p &= M_p(U_p, V_p), \\ N_p &= N_p(U_p, V_p). \end{aligned}$$

Discriminantul  $T_p$  funcției fundamentale de ordinul II:  $\Phi_{2,p}$  se poate calcula cu formula:

$$T_p = \sqrt{L_p N_p - M_p^2}$$

Sub formă parametrică funcțiile fundamentale de ordinul I și II: ( $\Phi_{1,p}$  și  $\Phi_{2,p}$ ) se pot reprezenta ca un set de două ecuații:

$$\mathbf{P} \Rightarrow \mathbf{P}(\Phi_{1,p}, \Phi_{2,p}) \begin{cases} \Phi_{1,p} = \Phi_{1,p}(E_p, F_p, G_p) \\ \Phi_{2,p} = \Phi_{2,p}(E_p, F_p, G_p, L_p, M_p, N_p). \end{cases}$$

Se poate observa că mărimile fundamentale de ordinul I:  $(E_p, F_p, G_p)$ , împreună cu mărimile fundamentale de ordinul II:  $(E_p, F_p, G_p, L_p, M_p, N_p)$  definesc în mod unic o suprafață, ca poziție și orientare în spațiu.

De remarcă faptul că funcțiile fundamentale de ordinul I și II: ( $\Phi_{1,P}$  și  $\Phi_{2,P}$ ) sunt utilizate la realizarea de programe de aplicații CAD/CAM folosind transformări de coordonate multiple (Radzevich, 2002).

### 7.3. Cinematica prelucrării suprafețelor sculptate

Pentru realizarea practică a suprafețelor sculptate sunt necesare mișcări specifice ale sculei așchietoare, cu regimuri de lucru adecvate prelucrării.

Totodată, realizarea acestor suprafețe necesită optimizarea regimurilor de lucru relative ale mișcărilor în orice moment al prelucrării. În continuare se va prezenta un astfel de criteriu de optimizare.

Mișcările relative ale mașinilor de prelucrat și ale sculei tăietoare se pot descompune într-un număr de mișcări elementare urmând o traiectorie specifică. În general, acestea sunt:

- *translații* pe diferite direcții;
- *rotații* după diferite axe, orientate diferit unele de altele.

O combinație dintre mișcările elementare de *translație* și de *rotație* generează o mișcare complexă a mașinilor de prelucrat și a sculei tăietoare, care este sincronizată în mod specific prelucrării suprafeței sculptate.

În continuare, analiza generării suprafețelor sculptate multiparametrice se bazează pe prezumția că orice mișcare necesară, atât a mașinii-unelte, cât și a sculei tăietoare se poate realiza pe o mașină cu comandă numerică.

#### 7.3.1. Sistemul local de referință

Pentru a descrie mișcările relative a mașinii-unelte și a sculei așchietoare este necesară definirea un sistem de coordonate carteziane care să permită studierea generării cinematicii suprafeței sculptate **P** și a suprafeței generatoare **T** a sculei, sistem prezentat în (Fig. 7.2) de mai jos:

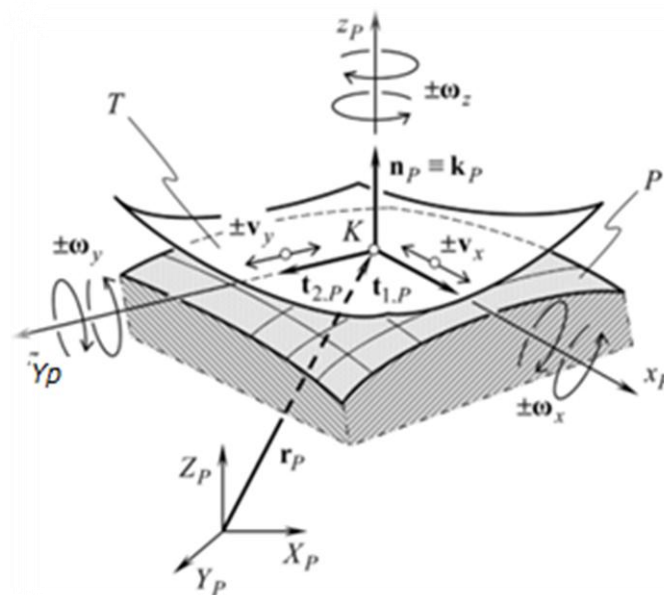


Fig. 7.2. Sistemul de coordonate carteziane a generării suprafeței sculptate **P** și a suprafeței generatoare **T** a sculei așchietoare.



Pentru ușurința calculelor se propune ca sistem de referință **triedronul lui Darboux** considerat cel mai adecvat în cazul studiului și realizărilor suprafețelor sculptate (Radzevich, 2004).

Acesta se poate defini printr-un triplet de vectori:

- vectorul unitate  $n_p$  normal la suprafața **P** și
- doi vectori unitari  $t_{1,p}$  și  $t_{2,p}$  ortogonali la suprafața **P**, astfel încât:

$$n_p = t_{1,p} \bullet t_{2,p}.$$

Folosim vectorii unitari  $U_p$  și  $V_p$  pentru calculul vectorului unitate  $n_p$  normal la suprafața **P** în punctul **M**:

$$n_p = U_p \bullet V_p.$$

Alegând adecvat vectorii unitari  $U_p$  și  $V_p$  se poate obține ca vectorul unitate  $n_p$  normal la suprafața **P** să fie orientat spre axa pozitivă **Z** a suprafeței sculptate.

Pentru calculul vectorilor tangentă unitate  $t_{1,p}$  și  $t_{2,p}$  este necesară definirea vectorilor tangentă  $T_{1,p}$  și  $T_{2,p}$  ale direcțiilor principale ca raport  $\frac{dU_p}{dV_p}$  și care pot fi calculați ca soluție a ecuației pătratice:

$$\begin{bmatrix} E_p dU_p + F_p dV_p & F_p dU_p + G_p dV_p \\ L_p dV_p + M_p dV_p & M_p dU_p + N_p dV_p \end{bmatrix} = 0$$

După calculul vectorilor tangentă a direcțiilor principale  $T_{1,p}$  și  $T_{2,p}$ , vectorii tangentă unitate  $t_{1,p}$  și  $t_{2,p}$  se pot calcula folosind expresiile:

$$t_{1,p} = \frac{T_{1,p}}{|T_{1,p}|} \text{ și } t_{2,p} = \frac{T_{2,p}}{|T_{2,p}|}.$$

Vectorii tangentă unitate  $t_{1,p}$  și  $t_{2,p}$  și vectorul normal unitate  $n_p$  la suprafața **P** formează **triedronul axelor de coordonate**, permițând definirea suprafeței **P** într-un mod relativ simplu.

Totodată, este posibilă deplasarea sistemului de coordonate ortogonale  $(x_p, y_p, z_p)$  într-un punct **CC** de contact<sup>4</sup> **K** a suprafeței sculptate **P** cu suprafața generatoare **T** a sculei așchietoare.

Sistemul de coordonate local  $(x_p, y_p, z_p)$  este direcționat conform direcțiilor corespunzătoare ale vectorilor tangentă unitate  $t_{1,p}$  și  $t_{2,p}$  și a vectorul unitate normal  $n_p$ , permițând atât identificarea oricărui punct a suprafeței sculptate **P**, în funcție de acest sistem de coordonate, cât și exprimarea relativ simplă a ecuațiilor ce definesc procesul de prelucrare folosind în acest scop **triedronul lui Darboux**.

### 7.3.2. Elementele mișcării relative

Mișcările sculei tăietoare se pot descompune în cel mult **șase mișcări elementare**, de exemplu **trei translații** după cele trei axe și **trei rotații** în jurul sistemului de coordonate ortogonale  $(x_p, y_p, z_p)$ . În practică, nu toate cele șase mișcări relative se pot realiza. De exemplu, mișcarea de translație a sculei după axa  $z_p$  nu este totdeauna fezabilă și se poate elimina din mișcarea generării suprafețelor sculptate din cel puțin două motive:

1. Mișcarea sculei așchietoare după direcția  $+n_p$  poate cauza uneori întreruperi ale procesului generării suprafețelor sculptate, ceea ce nu e permis din punct de vedere practic;

<sup>4</sup> CC point - cutter contact point = punctul de contact dintre scula așchietoare și suprafața prelucrată (engl.)

2. Când au loc deplasări elementare ale mișcării sculei așchietoare după direcția  $-n_p$  pot apare interferențe care, de asemenea, nu sunt permise din punct de vedere practic.

Ca urmare, viteza mișcării de translație a sculei tăietoare de lungul perpendicularei comune va fi egală cu zero:

$$V_n = \frac{\partial z_p}{\partial t} \cdot k_p = 0,$$

unde  $t$  reprezintă timpul.

Fie  $V_u$  și  $V_v$  vitezele de translație ale sculei tăietoare de-a lungul axelor  $x_p$  și respectiv  $y_p$  și fie  $\omega_u, \omega_v, \omega_n$  rotațiile în jurul axelor de coordonate  $x_p, y_p, z_p$ .

În principal, în funcție de un sistem de axe de referință  $x_p, y_p, z_p$  și unde  $\varphi_u, \varphi_v, \varphi_n$  sunt unghiurile de rotație ale sculei tăietoare după axele de referință  $x_p, y_p, z_p$ , cinematica generării suprafețelor sculptate se poate descompune în 5 mișcări relative:

- **două translații:**

$$V_u = \frac{\partial x_p}{\partial t} \cdot u_p = \frac{\partial^2 r_p}{\partial U_p \partial t};$$

$$V_v = \frac{\partial y_p}{\partial t} \cdot v_p = \frac{\partial^2 r_p}{\partial V_p \partial t}.$$

- **trei rotații:**

$$\omega_u = \frac{\partial \varphi_u}{\partial t} \cdot u_p;$$

$$\omega_v = \frac{\partial \varphi_v}{\partial t} \cdot v_p;$$

$$\omega_n = \frac{\partial \varphi_n}{\partial t} \cdot n_p,$$

### 7.3.2.1. Generarea mișcărilor sculei tăietoare

După prelucrarea pe mașina-unealtă cu comandă numerică, suprafața sculptată **P** se prezintă ca un caroiaj al traiectoriilor sculei. Generarea suprafeței sculptate **P** de către caroiagele succesive reprezintă principala sarcină a realizării suprafețelor sculptate cu ajutorul mașinilor-unelte cu comandă numerică. În general, mișcarea sculei tăietoare de-a lungul direcției de prelucrare, în principal perpendiculară, se poate considera o *mișcare continuă*, pe când schimbarea de direcție a sculei se poate considera o *mișcare discretă*.

Așa cum s-a arătat la începutul capitolului, suprafața sculptată **P** se poate genera ca o suprafață înfășurătoare ale punctelor suprafeței generatoare **T** ale sculei așchietoare, când suprafețele **P** și **T** sunt în *contact liniar* sau *punctiform*:

- În cazul unui *contact liniar* al suprafețelor, o mișcare cu un singur grad de libertate este suficientă pentru a genera suprafața sculptată **P**;
- În cazul suprafețelor cu *contact punctiform* este necesară o mișcare cu două grade de libertate pentru generarea întregii suprafețe sculptate **P**.

#### Observație:

Numărul gradelor de libertate necesare generării suprafeței sculptate **P** poate fi mai mare decât 2, de exemplu în cazul mișcărilor multiparametrice ale sculei tăietoare.

În practică, metodele de prelucrare pe mașini-unelte nu oferă întotdeauna o soluție eficientă și optimă cerințelor tehnologice ale suprafeței sculptate **P**. În același timp există o varietate de soluții, eficiența fiecăreia fiind diferită și nu totdeauna cea mai ridicată.

Pentru calculul parametrilor mișcărilor relative, în literatura de specialitate se definește ecuația de contact (Willis, 1941):

$$\mathbf{n}_p \cdot \mathbf{V}_\Sigma = 0,$$

unde  $\mathbf{n}_p$  este vectorul unitate normal la suprafață, iar  $\mathbf{V}_\Sigma$  definește viteza mișcării rezultante ale sculei așchietoare relative la suprafața sculptată  $\mathbf{P}$ .

Evident, un număr infinit de vectori  $\mathbf{V}_\Sigma$  satisfac ecuația de contact  $\mathbf{n}_p \cdot \mathbf{V}_\Sigma = 0$  și toți aparțin planului tangent al suprafeței sculptate  $\mathbf{P}$ , acesta fiind principalul motiv pentru care, teoretic, un număr infinit de soluții pot fi luate în considerare la prelucrarea suprafeței sculptate  $\mathbf{P}$ .

De asemenea, este evident că performanțele generării suprafeței sculptate  $\mathbf{P}$  depind de direcția vectorului  $\mathbf{V}_\Sigma$ : pe o direcție oarecare a lui  $\mathbf{V}_\Sigma$  performanțele suprafeței sculptate pot fi ridicate, pe când pe o altă direcție pot să fie diferite, ceea ce poate conduce la următoarele concluzii:

- există o direcție optimală a lui  $\mathbf{V}_\Sigma$ ;
- această direcție satisface ecuația de contact:  $\mathbf{n}_p \cdot \mathbf{V}_\Sigma = 0$ ;
- parametrii optimali ai direcției  $\mathbf{V}_\Sigma$  pot fi calculați.

Pentru calculul parametrilor optimali ai mișcării relative  $\mathbf{V}_\Sigma$  a mașinii-unelte și ai sculei așchietoare este necesară adoptarea unui criteriu de optimizare, cu scopul de a selecta direcția optimală a vectorului  $\mathbf{V}_\Sigma$  din numărul infinit de direcții care satisfac ecuația de contact  $\mathbf{n}_p \cdot \mathbf{V}_\Sigma = 0$ .

Pentru a satisface ecuația de contact  $\mathbf{n}_p \cdot \mathbf{V}_\Sigma = 0$ , vectorul  $\mathbf{V}_\Sigma$  al mișcării relative a sculei așchietoare trebuie să aparțină planului tangent al suprafețelor  $\mathbf{P}$  și  $\mathbf{T}$  în punctul  $\mathbf{CC}$  de contact  $\mathbf{K}$ .

Considerând sistemul de coordonate de referință  $x_p, y_p, z_p$  cu originea în punctul  $\mathbf{CC}$  de contact  $\mathbf{K}$ , vectorul  $\mathbf{V}_\Sigma$  poate fi descris analitic de ecuația vectorială de mai jos:

$$\mathbf{V}_\Sigma = \frac{\partial x_p}{\partial t} \mathbf{u}_p + \frac{\partial y_p}{\partial t} \mathbf{v}_p + \frac{\partial z_p}{\partial t} \mathbf{n}_p.$$

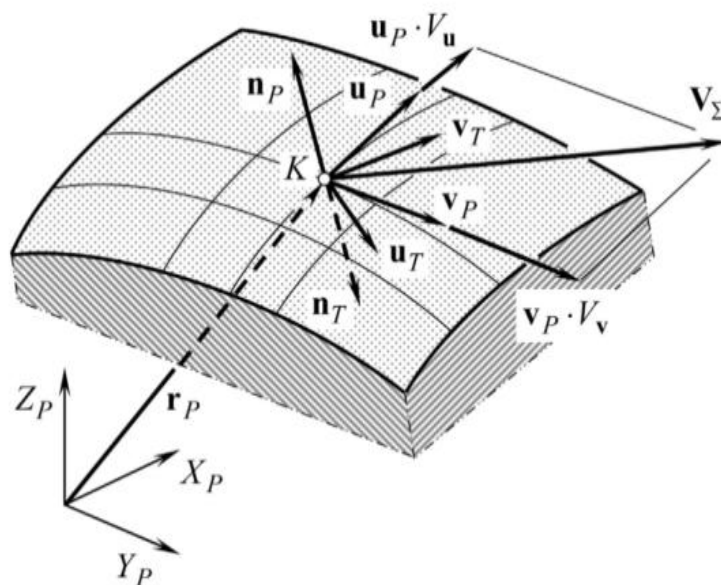


Fig. 7.3. Mișcările relative ale sculei așchietoare în sistemul de coordonate de referință  $x_p, y_p, z_p$  cu originea în punctul  $\mathbf{CC}$  de contact  $\mathbf{K}$

În Fig. 7.3. se prezintă vectorii mișcărilor relative ale sculei tăietoare în sistemul de coordonate de referință  $x_p, y_p, z_p$  cu originea în punctul **CC** de contact **K**.

Remarcă:

În același sistem de coordonate și pentru același punct **CC** de contact **K** există egalitățile:

$$\begin{aligned} \mathbf{n}_p &= \mathbf{k}_p; \\ \mathbf{n}_p \cdot \mathbf{V}_\Sigma &= 0. \end{aligned}$$

Înlocuind în expresia lui  $\mathbf{V}_\Sigma$  de mai sus obținem:

$$\mathbf{n}_p \cdot \mathbf{V}_\Sigma = \frac{\partial z_p}{\partial t} = 0.$$

Pentru a satisface ecuația de contact

$$\mathbf{n}_p \cdot \mathbf{V}_\Sigma = 0$$

în punctul **CC** de contact **K**, proiecția vectorului  $\mathbf{V}_\Sigma$  a mișcării rezultante pe direcția perpendicularei comune  $\mathbf{pr}_n$  la suprafețele **P** și **T** trebuie să fie egală cu zero, ceea ce demonstrează afirmația că vectorul  $\mathbf{V}_\Sigma$  este cuprins în tangenta comună la suprafețele **P** și **T**.

- Dacă  $\mathbf{pr}_n \cdot \mathbf{V}_\Sigma < 0$ ; această situație poate fi considerată ca o condiție a operației de degroșare<sup>5</sup>, porțiunile suprafeței **T** care desfășoară astfel de mișcări îndepartează adaosul de prelucrare.
- Dacă  $\mathbf{pr}_n \cdot \mathbf{V}_\Sigma = 0$ ; această situație este echivalentă cu condiția de contact:  $\mathbf{n}_p \cdot \mathbf{V}_\Sigma = 0$  și care corespunde generării suprafeței sculptate la prelucrarea pe mașini-unelte cu comandă numerică.
- Dacă  $\mathbf{pr}_n \cdot \mathbf{V}_\Sigma > 0$ ; această situație se referă la prelucrarea unor porțiuni a suprafeței generatoare **T** ale sculei așchietoare și care diferă de suprafața sculptată **P**.

Ca urmare, ecuația de contact  $\mathbf{n}_p \cdot \mathbf{V}_\Sigma = 0$  descrie cinematica generării suprafeței sculptate **P**, dar nu în mod unic, ținând cont de numărul infinit al direcțiilor fezabile ale vectorului  $\mathbf{V}_\Sigma$ .

Poziția și orientarea perpendicularei comune  $\mathbf{n}_p$  este unic determinată de suprafața sculptată **P**. În mod normal, dar nu și necesar, aceasta nu poate fi schimbată. Pe de altă parte, în cazuri speciale ale prelucrării, orientarea perpendicularei comune  $\mathbf{n}_p$  se poate schimba în cazul prelucrării.

De exemplu, când se prelucrează membrane subțiri, este necesar a se lua în considerare deformația elastică a acestor membrane. Dacă deformația elastică este folosită în procesul de prelucrare, atunci ecuația de contact trebuie să fie satisfăcută pentru diferite faze ale prelucrării. Schimbarea orientării vectorului normal la suprafață este relativ dificil de realizat în practică, dar când aceasta este posibilă, generarea suprafeței **P** este afectată în cel puțin situațiile următoare:

- Când se prelucrează suprafețele sculptate pe mașini-unelte după o traiectorie (caroiaj) dată, caz în care punctul **CC** de contact **K** se deplasează de-a lungul traiectoriei sculei așchietoare;
- Când se termină o fază de prelucrare după o traiectorie (caroiaj) dată, sculele așchietoare se deplasează spre o nouă poziție de lucru întrerupând traiectoria inițială, caz în care punctul **CC** de contact **K** se deplasează într-o direcție diferită de traiectoria sculei așchietoare.

<sup>5</sup> Roughing – degroșare (engl.)

Pentru a descrie analitic generarea mișcării sculei așchietoare folosim mișcările elementare ce compun cinematica generării suprafeței sculptate  $\mathbf{P}$  în funcție de timp (Fig. 7.1) și (Fig. 7.3):

$$|\mathbf{V}_u| = |\boldsymbol{\omega}_v| \cdot R_{p_u} \text{ și}$$

$$|\mathbf{V}_v| = |\boldsymbol{\omega}_u| \cdot R_{p_v},$$

unde  $R_{p_u}$  și  $R_{p_v}$  definesc razele de curbură a suprafeței sculptate  $\mathbf{P}$  pe direcțiile  $\mathbf{u}_p$  și respectiv  $\mathbf{v}_p$  și care se măsoară în planul secțiunilor vectorilor unitari  $|\mathbf{U}_p|$  și  $|\mathbf{V}_p|$ .

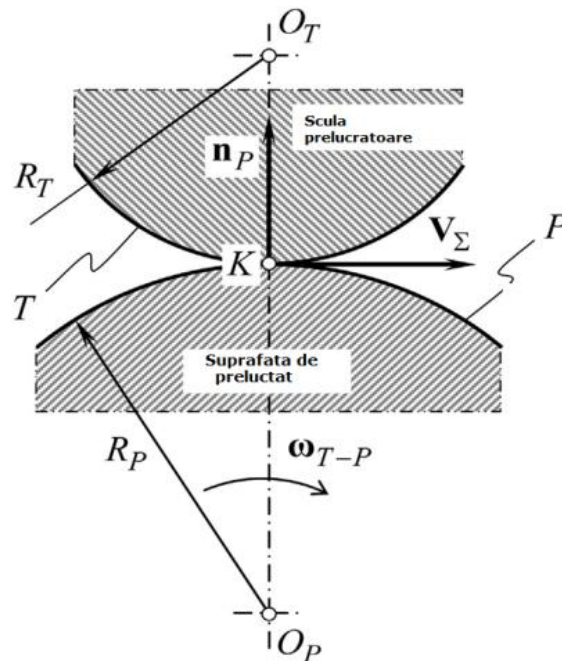


Fig. 7.4. Mișcările sculei așchietoare față de suprafața sculptată  $\mathbf{P}$ .

Pentru calculul lor, folosim ecuația lui Euler:

$$R_{p_u} = \left[ \frac{\cos^2 \varphi}{R_{1,P}} + \frac{\sin^2 \varphi}{R_{2,P}} \right]^{-1}$$

unde  $R_{1,P}$  și  $R_{2,P}$  definesc prima și a doua rază de curbură principală a suprafeței sculptate  $\mathbf{P}$ , iar unghiul  $\omega$  este unghiul pe care tangenta vectorului unitar  $\mathbf{u}_p$  o face cu direcția principală  $\mathbf{t}_{1,P}$  la suprafața considerată și care sunt rădăcinile ecuației pătratice:

$$R_{1,P} = \begin{bmatrix} L_P R_P - E_P & M_P R_P - F_P \\ M_P R_P - F_P & N_P R_P - G_P \end{bmatrix}.$$

În mod similar se poate calcula  $R_{2,P}$ .

Observație:

Ecuatiile

$$|\mathbf{V}_u| = |\boldsymbol{\omega}_v| \cdot R_{p_u} \text{ și}$$

$$|\mathbf{V}_v| = |\boldsymbol{\omega}_u| \cdot R_{p_v}$$

conduc la generalizarea

$$|\mathbf{V}_\Sigma| = |\boldsymbol{\omega}_{T-P}| \cdot R_{p_\Sigma}$$

unde:

- $\mathbf{V}_\Sigma$  este vectorul rezultant al mișcării punctului  $\mathbf{C}$  de contact  $\mathbf{K}$  de-a lungul traiectoriei sculei așchietoare;
- $\boldsymbol{\omega}_{T-P}$  este vectorul mișcării de rotație a suprafeței  $\mathbf{T}$  ale sculei așchietoare în jurul unei axe perpendiculare pe planul normal definit de vectorul  $\mathbf{V}_\Sigma$ ;

- $R_{P_\Sigma}$  este raza de curbură a suprafeței sculptate **P** în direcția vectorului  $V_\Sigma$ .

Cum s-a arătat mai sus, considerând sistemul de coordonate de referință  $x_P, y_P, z_P$  cu originea în punctul **CC** de contact **K**, vectorul  $V_\Sigma$  poate fi descris analitic de ecuația vectorială de mai jos:

$$V_\Sigma = \frac{\partial x_P}{\partial t} \mathbf{u}_P + \frac{\partial y_P}{\partial t} \mathbf{v}_P.$$

În plus, pentru a satisface ecuațiile:

$$\begin{aligned} |V_u| &= |\omega_v| \cdot R_{P_u} \text{ și} \\ |V_v| &= |\omega_u| \cdot R_{P_v} \end{aligned}$$

este necesar ca

$$\begin{aligned} \frac{\partial x_P}{\partial t} \cdot \mathbf{u}_P &= \omega_v \cdot (R_{P_u} \cdot \mathbf{n}_P) \\ \frac{\partial y_P}{\partial t} \cdot \mathbf{v}_P &= \omega_u \cdot (R_{P_v} \cdot \mathbf{n}_P) \end{aligned}$$

și deci:

$$V_\Sigma = \omega_v \cdot (R_{P_u} \cdot \mathbf{n}_P) + \omega_u \cdot (R_{P_v} \cdot \mathbf{n}_P).$$

În plus, se cere satisfăcută ecuația de contact  $\mathbf{n}_P \cdot V_\Sigma = 0$  în orice punct al prelucrării suprafeței sculptate **P** pe mașina-unealtă cu comandă numerică (Fig. 7.4).

Fie  $\delta = \delta^+ + \delta^-$  toleranța prelucrării suprafeței sculptate **P** și  $V_n$  mișcarea relativă a sculei de-a lungul vectorului normal unitar  $\mathbf{n}_P$ .

Cinematica generării suprafeței sculptate **P** este compusă din 5 grade de libertate relativ la mișcările sculei așchietoare. Ca urmare, suprafața sculptată **P** se poate reprezenta ca o suprafață înfășurătoare a pozițiilor elementare relative a cel mult 5 mișcări relative ale sculei așchietoare generatoare a suprafeței **T**.

### 7.3.2.2. Generarea mișcărilor sculei așchietoare

Obținerea suprafețelor sculptate **P** pe mașini-unelte cu comandă numerică implică existența suprafeței **P** și a suprafețelor generatoare **T** ale mișcărilor sculei așchietoare, suprafețe care au un punct **CC** de contact **K** în orice moment al operației de prelucrare.

Se pot distinge diferite tipuri de mișcări relative ale sculei așchietoare în funcție de orientarea poziției punctului **CC** de contact **K** față de suprafața **P** în timpul prelucrării:

- dacă în timpul prelucrării, poziția punctului **CC** de contact **K** rămâne în poziția sa, atât pe suprafața sculptată **P**, cât și pe suprafața generatoare **T** a sculei de prelucrat, se distinge o mișcare de tip I;
- dacă, în schimb, punctul **CC** de contact **K** rămâne în poziția sa pe suprafața **P**, dar își schimbă poziția pe suprafața **T**, se distinge o mișcare de tip II.

Alegerea regimurilor de lucru și, în special, a mișcărilor sculei așchietoare depinde de curburile suprafeței **P** în punctul **CC** de contact **K** și de viteza mișcărilor sculei generatoare.

### 7.3.2.3. Transformările coordonatelor de sistem și impactul lor asupra suprafețelor de prelucrat

Suprafețele considerate **P** și **T** ocupă diverse poziții care pot fi diferite în timpul prelucrării și care pot fi descrise analitic folosind transformări ale operatorilor coordonatelor de sistem.

Pentru a descrie translația de-a lungul axelor de coordonate se folosesc operatorii de translație:  $T_r(\alpha_x, X)$ ,  $T_r(\alpha_y, Y)$ ,  $T_r(\alpha_z, Z)$  și unde  $(a_x, a_y, a_z)$  reprezintă translația de-a lungul axelor de coordonate respective:

$$T_r(\alpha_x, X) = \begin{bmatrix} 1 & 0 & 0 & a_x \\ 0 & 1 & 0 & 0 \\ 0 & 0 & 1 & 0 \\ 0 & 0 & 0 & 1 \end{bmatrix},$$

$$T_r(\alpha_y, Y) = \begin{bmatrix} 1 & 0 & 0 & 0 \\ 0 & 1 & 0 & a_y \\ 0 & 0 & 1 & 0 \\ 0 & 0 & 0 & 1 \end{bmatrix},$$

$$T_r(\alpha_z, Z) = \begin{bmatrix} 1 & 0 & 0 & 0 \\ 0 & 1 & 0 & 0 \\ 0 & 0 & 1 & a_z \\ 0 & 0 & 0 & 1 \end{bmatrix},$$

Fie două coordonate de sistem  $X_1, Y_1, Z_1$  și  $X_2, Y_2, Z_2$  care se deplasează de-a lungul axei  $X_1$  cu distanța  $a_x$  (Fig. 7.5.a) și un punct  $M$  în sistemul de coordonate  $X_1, Y_1, Z_1$  definit de vectorul de poziție  $r_1(M)$  și care se poate exprima în funcție de vectorul  $r_2(M)$  (Fig. 7.5.b și c) folosind expresiile:

$$r_1(M) = T_r(a_x, X) \cdot r_2(M),$$

$$r_1(M) = T_r(a_y, Y) \cdot r_2(M),$$

$$r_1(M) = T_r(a_z, Z) \cdot r_2(M).$$

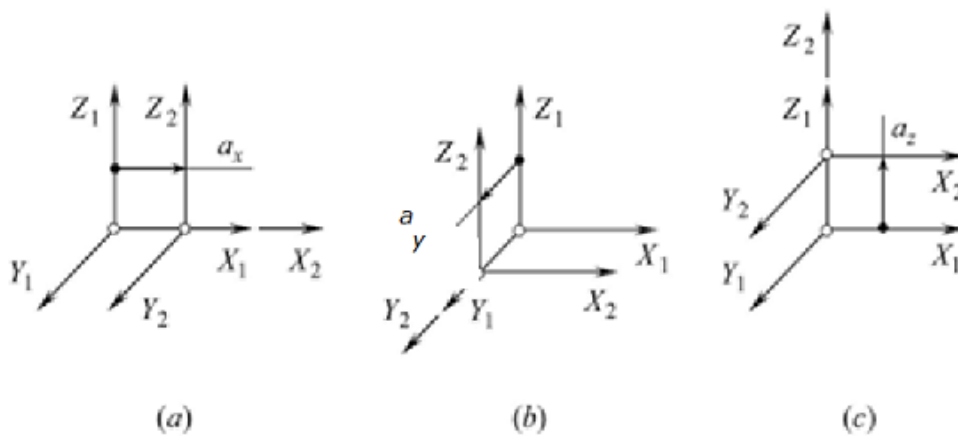


Fig. 7.5. Descrierea operatorilor de translație  $T_r(a_x, X)$ ,  $T_r(a_y, Y)$ ,  $T_r(a_z, Z)$  de-a lungul axelor de coordonate

Considerând un punct  $P$  aparținând unui corp rigid și care se translatează de la  $P_1$  la  $P_2$  prin schimbarea coordonatelor  $(a_x, a_y, a_z)$ .

Deplasarea punctului  $P$  se poate descrie folosind operatorul de translație  $T_r(a, A)$  de-a lungul axei  $A$  ce trece prin originea axelor de coordonate:

$$T_r(a, A) = \begin{bmatrix} 1 & 0 & 0 & a_x \\ 0 & 1 & 0 & a_y \\ 0 & 0 & 1 & a_z \\ 0 & 0 & 0 & 1 \end{bmatrix}.$$

Operatorul translației  $T_r(a, A)$  se poate exprima în funcție de operatorii elementari ai translațiilor:

$$T_r(a, A) = T_r(a_z, Z), T_r(a_y, Y), T_r(a_x, X),$$



unde  $A$  este originea axelor de coordonate.

Alte elemente ce trebuiesc luate în considerare în cadrul transformărilor liniare utilizate în teoria generării suprafețelor îl constituie mișcările de rotație. Pentru aceasta folosim operatorii de rotație:  $\mathbf{R}_t(\varphi_x, X)$ ,  $\mathbf{R}_t(\varphi_y, Y)$ ,  $\mathbf{R}_t(\varphi_z, Z)$  pentru a defini matricile omogene de mai jos:

$$\mathbf{R}_t(\varphi_x, X) = \begin{bmatrix} \cos \varphi_x & 0 & -\sin \varphi_x & 0 \\ 0 & 1 & 0 & 0 \\ \sin \varphi_x & 0 & \cos \varphi_x & 0 \\ 0 & 0 & 0 & 1 \end{bmatrix},$$

$$\mathbf{R}_t(\varphi_y, Y) = \begin{bmatrix} 1 & 0 & 0 & 0 \\ 0 & \cos \varphi_y & \sin \varphi_y & 0 \\ 0 & -\sin \varphi_y & \cos \varphi_y & 0 \\ 0 & 0 & 0 & 1 \end{bmatrix},$$

$$\mathbf{R}_t(\varphi_z, Z) = \begin{bmatrix} \cos \varphi_z & \sin \varphi_z & 0 & 0 \\ -\sin \varphi_z & \cos \varphi_z & 0 & 0 \\ 0 & 0 & 1 & 0 \\ 0 & 0 & 0 & 1 \end{bmatrix}$$

și unde  $\varphi_x, \varphi_y, \varphi_z$  sunt unghiurile de rotație corespunzătoare axelor respective:

- $\varphi_x$  este rotația în lungul axei  $\mathbf{X}$ ,
- $\varphi_y$  este rotația în lungul axei  $\mathbf{Y}$ ,
- $\varphi_z$  este rotația în lungul axei  $\mathbf{Z}$ .

Fie două sisteme de coordonate:

- $X_1, Y_1, Z_1$  primul sistem și
- $X_2, Y_2, Z_2$  al doilea sistem obținut prin rotația în jurul axei  $x_1$  cu unghiul  $\varphi_x$  (Fig. 7.6.a).

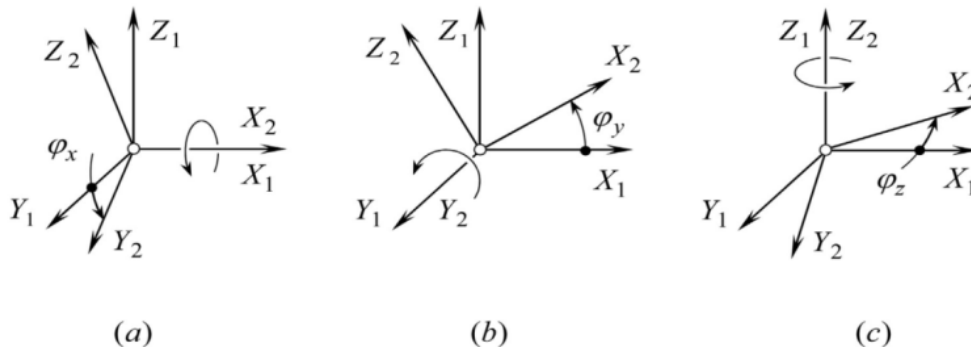


Fig. 7.6. Sistemele de axe de coordonate  $X_1, Y_1, Z_1$  și  $X_2, Y_2, Z_2$

Fie un punct  $\mathbf{M}$  definit de vectorul  $\mathbf{r}_1(\mathbf{M})$  în sistemul de coordonate  $X_1, Y_1, Z_1$  și vectorul de poziție  $\mathbf{r}_2(\mathbf{M})$  în sistemul de coordonate  $X_2, Y_2, Z_2$  definind același punct  $\mathbf{M}$ . Ca urmare poziția vectorului  $\mathbf{r}_1(\mathbf{M})$  se poate exprima în funcție de poziția vectorului  $\mathbf{r}_2(\mathbf{M})$  cu ajutorul ecuației:

$$\mathbf{r}_1(\mathbf{M}) = \mathbf{R}_t(\varphi_x, X) \cdot \mathbf{r}_2(\mathbf{M})$$

și, în mod similar, pentru ceilalți operatori, respectiv  $\mathbf{R}_t(\varphi_y, Y)$  și  $\mathbf{R}_t(\varphi_z, Z)$  ai transformării.

În acest fel definim operatorii:

$$\begin{cases} \mathbf{T}_r(\mathbf{a}_x, X), \mathbf{T}_r(\mathbf{a}_y, Y), \mathbf{T}_r(\mathbf{a}_z, Z) \\ \mathbf{R}_t(\varphi_x, X), \mathbf{R}_t(\varphi_y, Y), \mathbf{R}_t(\varphi_z, Z) \end{cases}'$$



unde:

- $\mathbf{T}$  sunt operatorii translației,
- $\mathbf{R}$  sunt operatorii rotației,

iar combinația lor definesc operatorul liniar de transformare  $\mathbf{R}_S (1 \rightarrow 2)$  ce descrie analitic rezultatul transformărilor coordonatelor de sistem de la  $X_1, Y_1, Z_1$  la  $X_2, Y_2, Z_2$ . Ca urmare, expresia:

$$\mathbf{R}_S (1 \rightarrow 5) = \mathbf{T}_r (\mathbf{a}_x, \mathbf{X}), \mathbf{R}_t (\boldsymbol{\varphi}_x, \mathbf{X}), \mathbf{R}_t (\boldsymbol{\varphi}_z, \mathbf{Z}), \mathbf{R}_t (\boldsymbol{\varphi}_x, \mathbf{X})$$

indică faptul că trecerea de la coordonatele de sistem  $X_1, Y_1, Z_1$  la coordonatele de sistem  $X_5, Y_5, Z_5$  are loc în următorii pași succesivi:

- translație  $\mathbf{T}_r (\mathbf{a}_y, \mathbf{Y})$ , urmată de
- rotație  $\mathbf{R}_t (\boldsymbol{\varphi}_x, \mathbf{X})$ , urmată de
- a doua rotație  $\mathbf{R}_t (\boldsymbol{\varphi}_z, \mathbf{Z})$  și
- în final de translația  $\mathbf{T}_r (\mathbf{a}_x, \mathbf{X})$ ,

exemplu ce poate fi extins pentru celelalte cazuri similare.

**Rezultă că orice schimbări ale sistemului de coordonate implică schimbări ale ecuației suprafeței sculptate  $\mathbf{P}$  și/sau a suprafeței generatoare  $\mathbf{T}$  a sculei așchietoare.**

Ca urmare, este necesară recalcularea coeficienților  $F_{1,P}$  și  $F_{2,P}$  de fiecare dată când are loc transformarea coordonatelor de sistem. Pentru a elimina această procedură se pot folosi operatorii transformărilor de sistem aplicați direct formelor fundamentale  $\Phi_{1,P}$  și  $\Phi_{2,P}$ .

După ce se calculează mărimile fundamentale de sistem:  $E_P, F_P, G_P, L_P, M_P$  și  $N_P$ , acestea se pot transforma în orice alte noi coordonate de sistem folosind în acest scop operatori de translație și de rotație și coordonatele inițiale de sistem. Transformări de acest tip pentru mărimile fundamentale  $\Phi_{1,P}$  și  $\Phi_{2,P}$  se prezintă în continuare.

Fie suprafața sculptată  $\mathbf{P}$  dată de  $\mathbf{r}_P = \mathbf{r}_P (U_P, V_P)$ , unde  $(U_P, V_P) \in \mathbf{G}$  și fie forma fundamentală de gradul I  $\Phi_{1,P}$  a suprafeței sculptate  $\mathbf{P}$  reprezentată matricial sub forma:

$$\Phi_{1,P} = [dU_P \quad dV_P \quad 0 \quad 0] \begin{bmatrix} E_P & F_P & 0 & 0 \\ F_P & G_P & 0 & 0 \\ 0 & 0 & 1 & 0 \\ 0 & 0 & 0 & 1 \end{bmatrix} \begin{bmatrix} dU_P \\ dV_P \\ 0 \\ 0 \end{bmatrix}$$

Similar, forma fundamentală gradul II:  $\Phi_{2,P}$  a suprafeței sculptate  $\mathbf{P}$  rezultă din ecuația:

$$\Phi_{2,P} = [dU_P \quad dV_P \quad 0 \quad 0] \begin{bmatrix} L_P & M_P & 0 & 0 \\ M_P & N_P & 0 & 0 \\ 0 & 0 & 1 & 0 \\ 0 & 0 & 0 & 1 \end{bmatrix} \begin{bmatrix} dU_P \\ dV_P \\ 0 \\ 0 \end{bmatrix}$$

Transformarea coordonatelor de sistem cu ajutorul operatorului liniar de transformare  $\mathbf{R}_S (1 \rightarrow 2)$  transferă ecuația:

$$\mathbf{r}_P = \mathbf{r}_P (U_P, V_P)$$

a suprafeței  $\mathbf{P}$ , inițial dată în coordonatele de sistem  $X_1, Y_1, Z_1$  în ecuația:

$$\mathbf{r}_P^* = \mathbf{r}_P^* (U_P^*, V_P^*)$$

a aceleiași suprafețe sculptate  $\mathbf{P}$  în noile coordonate de sistem  $X_2, Y_2, Z_2$ . Evident  $\mathbf{r}_P = \mathbf{r}_P^*$ .

În noile coordonate de sistem, suprafața sculptată  $\mathbf{P}$  este descrisă analitic cu ajutorul următoarei expresii:

$$\mathbf{r}_P^* = \mathbf{r}_P^* (U_P^*, V_P^*) = \mathbf{R}_S (1 \rightarrow 2) \cdot \mathbf{r}_P (U_P, V_P).$$

Operatorul rezultat al transformărilor coordonatelor de sistem  $\mathbf{R}_S(1 \rightarrow 2)$  transformă matricea coloană a variabilelor din ecuațiile  $\Phi_{1,P}$  și  $\Phi_{2,P}$  de mai sus în forma:

$$[dU_p^* \quad dV_p^* \quad 0 \quad 0]^T = \mathbf{R}_S(1 \rightarrow 2) \cdot [dU_p \quad dV_p \quad 0 \quad 0]^T$$

și care substituită în ecuațiile  $\Phi_{1,P}$  și  $\Phi_{2,P}$  de mai sus, conduc la expresiile lui  $\Phi_{1,P}^*$  și  $\Phi_{2,P}^*$  în noile coordonate de sistem:

$$[\Phi_{1,P}^*] = [\mathbf{R}_S(1 \rightarrow 2) \cdot [dU_p \quad dV_p \quad 0 \quad 0]^T]^T \cdot [\Phi_{1,P}] \cdot \mathbf{R}_S(1 \rightarrow 2) \cdot [dU_p \quad dV_p \quad 0 \quad 0]^T$$

și

$$[\Phi_{2,P}^*] = [\mathbf{R}_S(1 \rightarrow 2) \cdot [dU_p \quad dV_p \quad 0 \quad 0]^T]^T \cdot [\Phi_{2,P}] \cdot \mathbf{R}_S(1 \rightarrow 2) \cdot [dU_p \quad dV_p \quad 0 \quad 0]^T.$$

sau

$$[\mathbf{R}_S(1 \rightarrow 2) \cdot [dU_p \quad dV_p \quad 0 \quad 0]^T]^T = \mathbf{R}_S^T(1 \rightarrow 2) [dU_p \quad dV_p \quad 0 \quad 0]$$

deci

$$[\Phi_{1,P}^*] =$$

$$[dU_p \quad dV_p \quad 0 \quad 0]^T \cdot \{ \mathbf{R}_S^T(1 \rightarrow 2) [\Phi_{1,P}] \cdot \mathbf{R}_S(1 \rightarrow 2) \} \cdot [dU_p \quad dV_p \quad 0 \quad 0]$$

și

$$[\Phi_{2,P}^*] =$$

$$[dU_p \quad dV_p \quad 0 \quad 0]^T \cdot \{ \mathbf{R}_S^T(1 \rightarrow 2) [\Phi_{2,P}] \cdot \mathbf{R}_S(1 \rightarrow 2) \} \cdot [dU_p \quad dV_p \quad 0 \quad 0].$$

Se poate arăta că matricile  $[\Phi_{1,P}^*]$  și  $[\Phi_{2,P}^*]$  din ecuațiile de mai sus reprezintă formele pătratice ale lui  $U_p$  și  $V_p$ .

Operatorul rezultat al transformării  $\mathbf{R}_S(1 \rightarrow 2)$  a suprafeței sculptate  $\mathbf{P}$  având prima formă fundamentală  $\Phi_{1,P}$  și a doua formă fundamentală  $\Phi_{2,P}$  exprimate în coordonatele inițiale de sistem  $X_1, Y_1, Z_1$  conduce spre noile coordonate de sistem  $X_2, Y_2, Z_2$  generând noi expresii:

$$[\Phi_{1,P}^*] = \mathbf{R}_S^T(1 \rightarrow 2) \cdot [\Phi_{1,P}] \cdot \mathbf{R}_S(1 \rightarrow 2)$$

și:

$$[\Phi_{2,P}^*] = \mathbf{R}_S^T(1 \rightarrow 2) \cdot [\Phi_{2,P}] \cdot \mathbf{R}_S(1 \rightarrow 2)$$

care arată că după ce transformarea coordonatelor de sistem s-a efectuat, prima formă  $\Phi_{1,P}^*$  și a doua formă fundamentală  $\Phi_{2,P}^*$  a suprafeței sculptate  $\mathbf{P}$  în noile coordonate de sistem  $X_2, Y_2, Z_2$  sunt exprimate în termenii primei forme fundamentale  $\Phi_{1,P}$  și în termenii celei de a doua forme fundamentale  $\Phi_{2,P}$ , inițial reprezentate în coordonatele de sistem  $X_1, Y_1, Z_1$ .

Pentru a realiza această transformare, cele două forme fundamentale corespunzătoare  $\Phi_{1,P}$  și  $\Phi_{2,P}$  se cer inițial înmulțite cu  $\mathbf{R}_S(1 \rightarrow 2)$ , și apoi înmulțite din nou cu  $\mathbf{R}_S^T(1 \rightarrow 2)$ , ceea ce simplifică semnificativ formulele transformărilor de mai sus.

De remarcat că, în mod identic, ecuații similare se pot generaliza și pentru suprafața generatoare  $\mathbf{T}$  a sculei așchietoare.

#### 7.4. Descrierea analitică a geometriei de contact a suprafețelor sculptate $\mathbf{P}$ și a suprafețelor generatoare $\mathbf{T}$ a sculei așchietoare

În timpul operației de prelucrare cele două suprafețe considerate  $\mathbf{P}$  și  $\mathbf{T}$  sunt în contact permanent în punctul  $\mathbf{CC}$  de contact  $\mathbf{K}$ , ceea ce impune restricții la descrierea analitică a configurației relative a celor două suprafețe de contact.

În cele ce urmează se va studia geometria de contact a celor două suprafețe, considerându-se coordonatele relative ale celor două suprafețe și direcțiile de deplasare ale acestora în funcție de un sistem de axe de coordonate carteziene convenabil ales.

### 7.4.1. Definirea orientărilor relative a suprafețelor **P** și **T**

Cele două suprafețe **P** și **T** sunt suprafețe conjugate, ele fiind în contact permanent, tangente una față de alta, ceea ce impune unele restricții la configurarea celor două suprafețe **P** și **T** referitor la pozițiile și orientările mișcărilor lor relative.

În (Fig. 7.7) se prezintă planul tangent la suprafețele **P** și **T** în punctul **CC** de contact **K**.

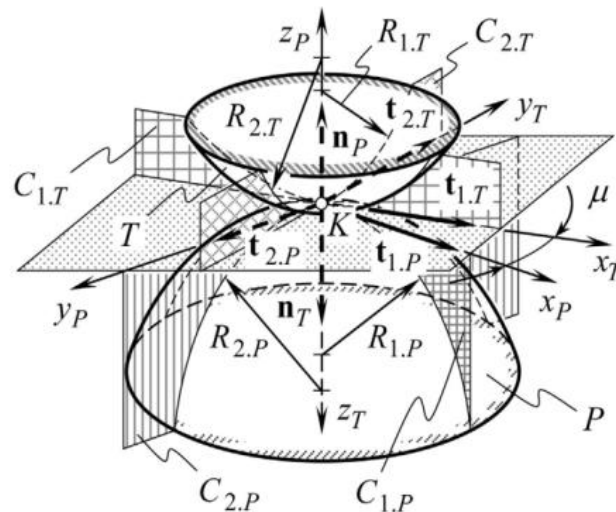


Fig. 7.7. Tangenta la suprafețele **P** și **T** în punctul **CC** de contact **K**

#### 7.4.1.1. Geometria de contact a celor două suprafețe **P** și **T**

Pentru a studia geometria de contact a celor două suprafețe **P** și **T**, luând în considerare coordonatele relative ale suprafețelor și direcțiile de mișcare a acestora, definim unghiul  $\mu$  dintre vectorul tangent unitar  $t_{1,P}$  al direcției principale a suprafeței sculptate **P** și vectorul tangent unitar  $t_{2,P}$  al direcției principale a suprafeței generatoare **T** a sculei așchietoare. Același unghi  $\mu$  se poate defini și determina și între vectorul tangent unitar a direcției secundare a suprafețelor **P** și **T** în punctul **CC** de contact **K**.

Calculul unghiului  $\mu$  se obține din:

$$\operatorname{tg} \mu = \frac{|\mathbf{t}_{1,P} \cdot \mathbf{t}_{1,T}|}{\mathbf{t}_{1,P} \cdot \mathbf{t}_{1,T}} \equiv \frac{|\mathbf{t}_{2,P} \cdot \mathbf{t}_{2,T}|}{\mathbf{t}_{2,P} \cdot \mathbf{t}_{2,T}}.$$

Rezultă ecuația:

$$(\mathbf{r}_{tp} - \mathbf{r}_K) \mathbf{u}_p \cdot \mathbf{v}_p = 0$$

unde

- $\mathbf{r}_{tp}$  este vectorul de poziție al unui punct de pe planul tangent comun,
- iar  $\mathbf{r}_K$  este vectorul de poziție al punctului **CC** de contact **K**.

De remarcat că:

- În cazul unui punct de contact dintre suprafețele **P** și **T**, valoarea unghiului  $\mu$  se calculează în punctul **CC** de contact **K**;
- În cazul unei linii de contact între suprafețele **P** și **T**, valoarea unghiului  $\mu$  se poate calcula în fiecare punct al liniei de contact.

Vectorii unitari ai direcțiilor principale  $\mathbf{t}_{1,P}, \mathbf{t}_{1,T}$  și  $\mathbf{t}_{2,P}, \mathbf{t}_{2,T}$  se pot calcula prin două metode:

1. folosind ecuația:

$$\begin{bmatrix} E_p dU_p + F_p dV_p & F_p dU_p + G_p dV_p \\ L_p dV_p + M_p dV_p & M_p dU_p + N_p dV_p \end{bmatrix} = 0, \text{ sau}$$

2. folosind coordonatele unghiulare  $\omega_p$  din ecuațiile:

$$\sin \omega_p = \frac{\sqrt{E_p G_p - F_p^2}}{\sqrt{E_p G_p}}, \cos \omega_p = \frac{F_p}{\sqrt{E_p G_p}}, \operatorname{tg} \omega_p = \frac{\sqrt{E_p G_p - F_p^2}}{F_p};$$

Ecuatii similare se pot deduce și pentru calculul unghiului  $\omega_T$  referitor la suprafața generatoare **T** a sculei așchietoare. Se poate observa că, atât vectorii tangentă unitari  $u_p$  și  $v_p$ , cât și vectorii tangentă unitari  $u_T$  și  $v_T$ , se pot specifica cu ajutorul unghiurilor  $\theta$  și  $\varepsilon$  conform ecuațiilor:

$$\cos \theta = \frac{v_T \cdot v_p}{|v_T| |v_p|} \text{ și } \cos \varepsilon = \frac{u_T \cdot u_p}{|u_T| |u_p|}$$

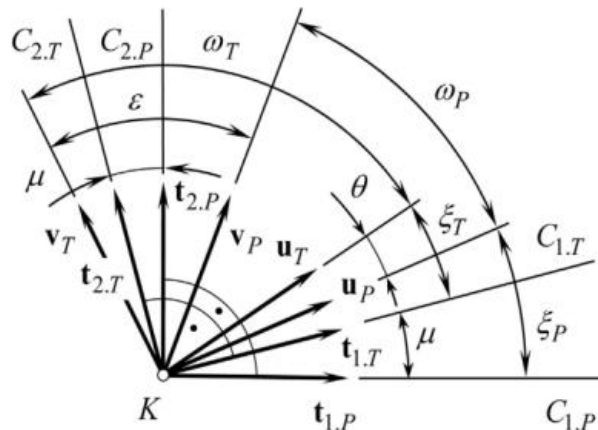


Fig. 7.8. Unghiul  $\mu$  dintre suprafețele **P** și **T** măsurat în planul tangent comun la suprafețele **P** și **T** în punctul **CC** de contact **K**

În Fig. 7.8 se prezintă orientările suprafețelor **P** și **T** în planul tangent comun. Unghiul  $\xi$  din Fig. 7.8 este unghiul dintre direcția principală  $t_{1,p}$  de pe suprafața **P** și vectorul unitar tangent:

$$\sin \xi_p = \frac{\eta_p}{\sqrt{\eta_p^2 - 2\eta_p \cos \omega_p + 1}} \sin \omega_p,$$

unde

$$\eta_p = \frac{\partial U_p}{\partial V_p}.$$

Derivând prin părți obținem:

$$dr_p = U_p dU_p + V_p dV_p.$$

Prin definiție  $\sin \xi_p = \frac{|U_p \cdot dr_p|}{|U_p| \cdot |dr_p|}$  și  $\cos \xi_p = \frac{|V_p \cdot dr_p|}{|V_p| \cdot |dr_p|}$  și deci unghiul  $\xi_p$ :

$$\operatorname{tg} \xi_p = \frac{\sqrt{E_p G_p - F_p^2}}{\eta_p E_p + F_p}.$$

În mod similar, se poate calcula unghiul  $\xi_T$  dintre direcția principală  $t_{1,T}$  pe care suprafața generatoare **T** a sculei așchietoare o face cu direcția tangentei  $u_{t,T}$ , ceea ce conduce la ecuațiile de calcul ale principalelor direcții  $t_{1,p}$  și  $t_{2,p}$ :

$$t_{1,p} = \operatorname{Rt}(\xi_p, n_p) \cdot u_p$$

$$t_{1,p} = \operatorname{Rt}\left[\left(\xi_p + \frac{\pi}{2}\right), n_p\right] \cdot u_p$$

pentru suprafața sculptată **P**.

Ecuatii similare de calcul ale direcțiilor principale  $t_{1,T}$  și  $t_{2,T}$  se pot scrie și pentru suprafața generatoare **T** a sculei așchietoare:

$$\begin{aligned} \mathbf{t}_{1.T} &= \mathbf{Rt}(\xi_T, \mathbf{n}_T) \cdot \mathbf{u}_T \\ \mathbf{t}_{2.T} &= \mathbf{Rt}\left[\left(\xi_p + \frac{\pi}{2}\right) \cdot \mathbf{n}_T\right] \cdot \mathbf{u}_T. \end{aligned}$$

### 7.4.2. Coeficientul lui Dupin

Pentru a descrie curbura normală a suprafețelor **P** și **T** în vecinătatea punctului **CC** de contact **K** se folosește **coeficientul lui Dupin** (Radzevich, 2008):

$$Dup(P) \Rightarrow \frac{L_P}{E_P} x_p^2 + \frac{2M_P}{\sqrt{E_P G_P}} x_p y_p + \frac{N_P}{G_P} y_p^2 = \pm 1$$

Întocmai ca și alte forme pătratice, **coeficientul lui Dupin** se poate exprima matricial:

$$Dup(P) \Rightarrow [x_p, y_p, 0, 0] \begin{bmatrix} \frac{L_P}{E_P} & \frac{2M_P}{\sqrt{E_P G_P}} & 0 & 0 \\ \frac{2M_P}{\sqrt{E_P G_P}} & \frac{N_P}{G_P} & 0 & 0 \\ 0 & 0 & \mp 1 & 0 \\ 0 & 0 & 0 & 1 \end{bmatrix} \begin{bmatrix} x_p \\ y_p \\ 0 \\ 0 \end{bmatrix} = \pm 1$$

În mod similar se poate calcula **coeficientul lui Dupin** pentru suprafața generatoare **T** a sculei așchietoare.

**Coeficientul lui Dupin** se mai poate reprezenta sub forma:

$$r_{Dup}(\varphi) = \sqrt{|R_P(\varphi)|}$$

relație care ne arată că **coeficientul lui Dupin** al vectorului de poziție în orice direcție al unui punct este egal cu rădăcina pătrată a razei de curbură după aceeași direcție.

### 7.4.3. Coeficientul de conformitate al suprafețelor **P** și **T** în punctul **CC** de contact **K**

Considerăm cele două suprafețe **P** și **T** tangente în punctul **CC** de contact **K**. Definim **coeficientul de conformitate**  $C_{nf_R}(P/T)$  al suprafețelor **P** și **T** în punctul **CC** de contact **K** funcție de razele curburii normale  $R_P$  și  $R_T$  ale celor două suprafețe în planul normal comun în punctul **CC** de contact **K**, ca fiind:

$$\begin{aligned} C_{nf_R}(P/T) &\Rightarrow r_{cnf}(\varphi, \mu) = \\ &= \sqrt{\left| \frac{E_P G_P}{L_P G_P \cos^2 \varphi - M_P \sqrt{E_P G_P} \sin 2\varphi + N_P E_P \sin^2 \varphi} \right|} \operatorname{sgn} \Phi_{2.P}^{-1} \\ &+ \sqrt{\left| \frac{E_T G_T}{L_T G_T \cos^2(\varphi + \mu) - M_T \sqrt{E_T G_T} \sin 2(\varphi + \mu) + N_T E_T \sin^2(\varphi + \mu)} \right|} \operatorname{sgn} \Phi_{2.P}^{-1}. \end{aligned}$$

Se poate observa că ecuația lui  $C_{nf_R}(P/T)$  de mai sus reprezintă o curbă de ordinul IV simetrică în planul central. În particular, simetria poate fi de tip oglindă, de exemplu când unghiul  $\mu$  al suprafețelor **P** și **T** este egal cu  $\mu = \pm \frac{\pi}{2} n$ , unde  $n \in N$  este un număr întreg.

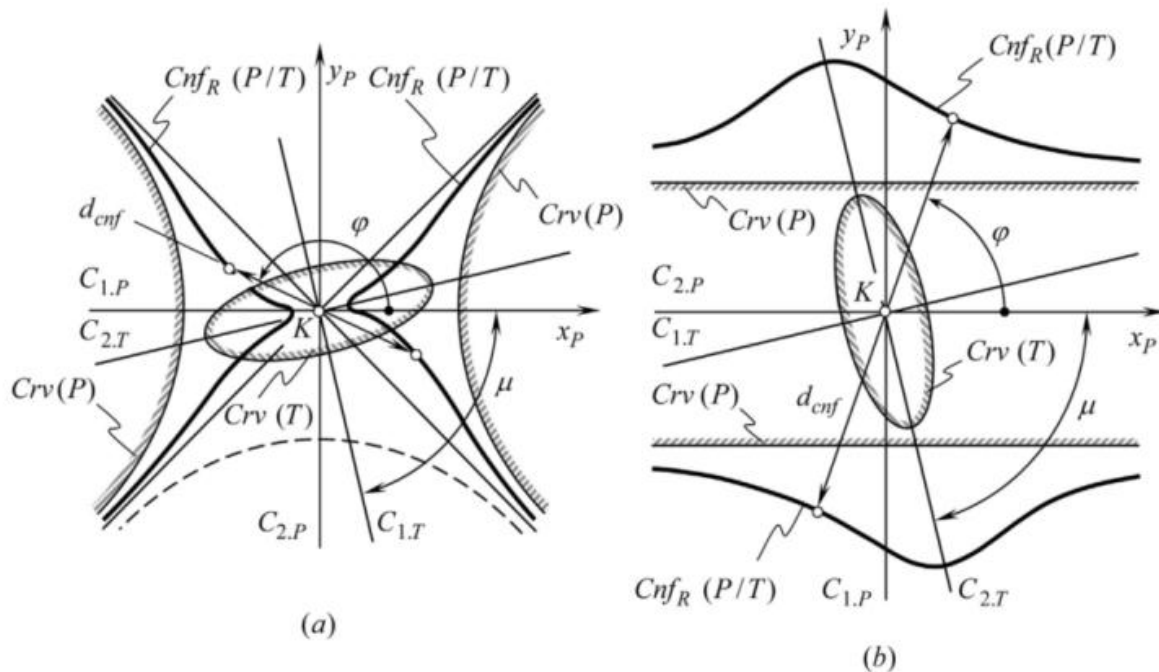


Fig. 7.9. Exemple ale coeficientului de conformitate  $C_{nfr}(P/T)$

În primul caz (Fig. 7.9.a) se prezintă contactul dintre o suprafață sculptată  $P$  de tip parabolic și o suprafață generatoare  $T$  a sculei aşchietoare de tip eliptic, iar în al doilea caz (Fig. 7.9.b), dintre  $P$  de tip convex parabolic și  $T$  eliptic. Pentru ambele cazuri se prezintă coeficienții de conformitate  $C_{rv}(P)$  și  $C_{rv}(T)$  ai suprafețelor  $P$  și  $T$ . Cu linii hașurate s-a prezentat **coeficientul lui Dupin**  $Dup(P)$  pentru suprafața sculptată  $P$ .

Suprafețele  $P$  și  $T$  se află în contact datorită condițiilor de prelucrare, dar dacă aceste suprafețe interferă, **coeficientul de conformitate**  $C_{nfr}(P/T)$  se modifică corespunzător.

Definind diametrul unei curbe central simetrice  $d_{cnf}$  ca fiind distanța dintre două puncte aparținând curbei măsurată pe o linie dreaptă de-a lungul centrului de simetrie al curbei. Se poate obține **coeficientul de conformitate**  $C_{nfr}(P/T)$  al suprafețelor  $P$  și  $T$  în punctul  $CC$  de contact  $K$  într-o secțiune plană la suprafețe în jurul perpendicularei comune și unde direcția secțiunilor planurilor normale la suprafețele  $P$  și  $T$  este definită de unghiul corespunzător  $\varphi$ .

#### 7.4.4. Variația coeficientul de conformitate al suprafețelor $P$ și $T$ în punctul $CC$ de contact $K$

Mărimile vectorilor de direcție pentru care se calculează **coeficientul de conformitate**  $C_{nfr}(P/T)$  al suprafețelor  $P$  și  $T$  variază între diferite valori minime  $d_{cnf}^{(min)}$  și maxime  $d_{cnf}^{(max)}$ , reprezentând diametrele exterioare și care pot fi calculate considerând **coeficientul de conformitate**  $C_{nfr}(P/T)$  al suprafețelor  $P$  și  $T$ .

Fie unghiurile  $\varphi_{min}$  și  $\varphi_{max}$  definind două direcții cuprinse în planul tangent comun pentru care **coeficientul de conformitate**  $C_{nfr}(P/T)$  al suprafețelor  $P$  și  $T$  dintre cele două suprafețe considerate are valori extreme și care sunt rădăcinile ecuației:



$$\frac{\partial}{\partial \varphi} r_{cnf}(\varphi, \mu) = 0$$

Se observă că, în cazul general a două suprafețe în contact, diferența dintre unghiurile  $\varphi_{min}$  și  $\varphi_{max} \neq \frac{\pi}{2}$ , ca urmare:

$$\varphi_{min} - \varphi_{max} \neq \pm \frac{\pi}{2} n \quad (n \in N \text{ întreg}).$$

Se poate observa că prima condiție:  $\varphi_{min} = \varphi_{max} \pm \frac{\pi}{2} n$  este satisfăcută doar în cazul unghiului  $\mu$  al suprafețelor **P** și **T** egal cu  $\pm \frac{\pi}{2} n$ , adică direcțiile principale a suprafeței **P**

$$t_{1,P} \text{ și } t_{2,P}$$

și a suprafeței **T**

$$t_{1,T} \text{ și } t_{2,T}$$

sunt ambele în aceeași direcție sau în direcții opuse una alteia, ceea ce ne permite să concluzionăm că în cazul general a două suprafețe **P** și **T** în contact, direcțiile după care **coeficientul de conformitate**  $C_{nf_R}(P/T)$  dintre cele două suprafețe **P** și **T** au valori extreme, nu sunt direcțiile ortogonale.

#### 7.4.5. Utilizarea conoidul lui Plücker pentru descrierea analitică a curbelor caracteristice

Descrierea analitică a curbelor caracteristice a geometriei spațiale de contact a suprafețelor sculptate **P** și a suprafețelor generatoare **T** ale sculei așchietoare se poate realiza cu ajutorul **conoidului lui Plücker**, care permite vizualizarea distribuției normale într-un punct **CC** de contact **K** al suprafeței sculptate.

În literatura de specialitate (Velimirović, 2002) un **conoid** se definește ca o suprafață regulată în spațiu, care rezultă din mișcarea unei drepte în spațiu, având ecuația parametrică de forma:

$$r(u, v) = \mathbf{R}(u) + v \mathbf{I}(u), \text{ unde: } u, v \in R,$$

și unde  $\mathbf{R} = \mathbf{R}(u)$  este vectorul curbei directoare sau curba de bază, iar  $\mathbf{I}(u)$  este dreapta ce se deplasează în spațiu pe curba directoare.

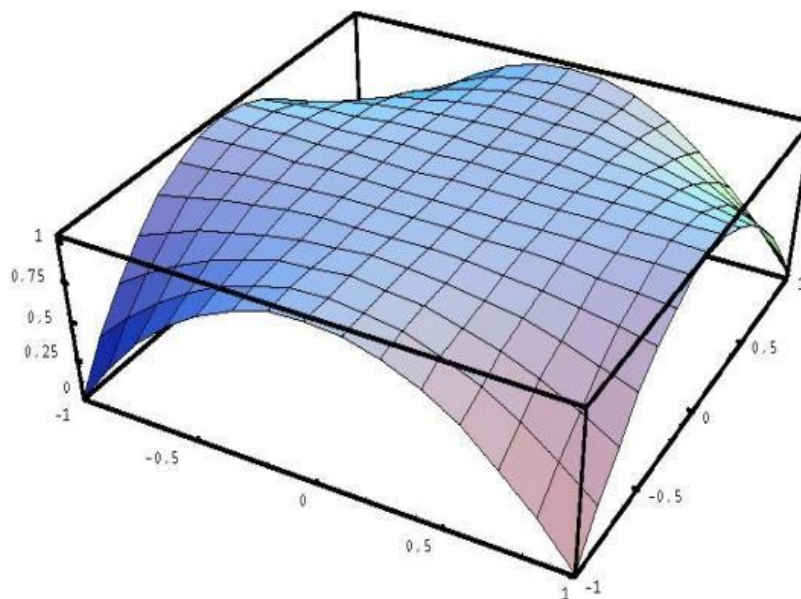


Fig. 7.10. Exemplu de conoid rezultat din deplasarea unei drepte paralele cu un plan ce intersectează două axe de coordonate

Dacă

$$\mathbf{l}(u) = v(\mathbf{i} \cos(u) + \mathbf{j} \sin(u)), \text{ atunci:}$$

$$\mathbf{r}(u, v) = \mathbf{i} \cos(u) + \mathbf{j} \sin(u) + \mathbf{k}f(u),$$

Un caz particular de conoid în spațiu îl reprezintă **conoidul lui Plücker** ce rezultă din mișcarea unei drepte în spațiu, de exemplu axa  $z$ , în jurul unui cerc  $(\cos \theta, \sin \theta, 0)$  ca o curbă directoare; ca urmare, în coordonate polare ecuația parametrică a **conoidului lui Plücker** devine:

$$r(\rho, \theta) = (\rho \cos \theta, \rho \sin \theta, 2 \cos \theta \sin \theta) = (0, 0, 2 \cos \theta \sin \theta) + \rho(\cos \theta, \sin \theta, 0)$$

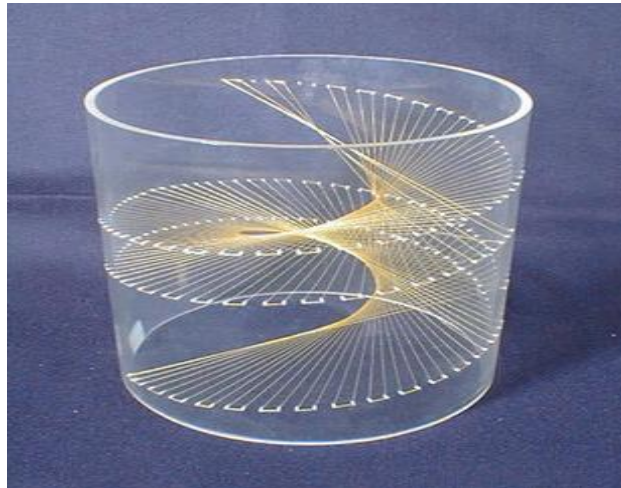


Fig. 7.11. Un exemplu al **conoidului lui Plücker** ca suprafață regulată în care o dreaptă se deplasează perpendicular pe o linie dată (în acest caz axa unui cilindru)

O generalizare a **conoidului lui Plücker** se poate obține folosind  $n$  diferit de 1,  $n \in \mathbb{N}$  întreg:

$$r[n](\rho, \theta) = (0, 0, \sin n \theta) + \rho(\cos \theta, \sin \theta, 0)$$

ceea ce conduce la o mare varietate de suprafețe de tip Plücker în spațiu, de exemplu pentru  $n = 4$  (Fig. 7.12).



Fig. 7.12. Exemplu al unui **conoid Plücker** pentru  $n = 4$ .

Definim suprafețele caracteristice:

- $Pl_R(P)$  ca fiind **conoidul lui Plücker** de gradul I și
- $Pl_K(P)$  ca fiind **conoidul lui Plücker** de gradul II.

Cele două corpuri în spațiu sunt inverse una alteia, adică:



$$PI_R(P) \Leftrightarrow PI_K^{inv}(P).$$

Deoarece curbele cuprinse în suprafața de frontieră a **conoidului lui Plücker** ne pot furniza informații necesare distribuției normale a suprafeței **P** în vecinătatea punctului **CC** de contact **K**, pentru simplificarea calculelor se poate înlocui **conoidul lui Plücker** cu aceste curbe, definite prin coeficientul curburii lui Plücker de gradul I a suprafeței **P** în punctul **CC** de contact **K**.

Acest coeficient este reprezentat de pozițiile vârfurilor vectorilor de lungime  $R_P(\varphi)$  și care se rotesc și se deplasează de-a lungul axelor suprafeței  $PI_R(P)$ , ceea ce ne conduce la ecuația suprafeței caracteristice:

$$PI_R(P) \Rightarrow \mathbf{r}_R(\varphi) = \begin{bmatrix} R_P(\varphi) \cos \varphi \\ R_P(\varphi) \sin \varphi \\ R_P(\varphi) \\ 0 \end{bmatrix},$$

și unde  $R_P(\varphi)$  rezultă din formula lui Euler

$$R_P(\varphi) = (R_{1,P}^{-1} \cos^2 \varphi + R_{2,P}^{-1} \sin^2 \varphi)^{-1}.$$

În mod similar pentru coeficienții **curburii lui Plücker** de gradul II:

$$PI_R \lambda_k(P) \Rightarrow \mathbf{r}_k(\varphi) = \begin{bmatrix} k_P(\varphi) \cos \varphi \\ k_P(\varphi) \sin \varphi \\ k_P(\varphi) \\ 0 \end{bmatrix},$$

unde

$$k_P(\varphi) = k_{1,P} \cos^2 \varphi + k_{2,P} \sin^2 \varphi.$$

#### 7.4.6. Coeficientul bidimensional a suprafeței sculptate

Pentru a simplifica descrierea analitică a topologiei locale a două suprafețe regulate tangente de gradul I, coeficientul **curburii lui Plücker** se poate înlocui cu o curbă caracteristică în plan.

Cele două mărimi de mai sus:  $R_P(\varphi) \cos \varphi$  și  $k_P(\varphi) \sin \varphi$  conțin informațiile necesare definirii distribuției razei normale a curburii suprafeței sculptate **P** în punctul **CC** de contact **K**. Ca urmare, în loc de a considera coeficientul **curburii lui Plücker** pentru descrierea analitică a geometriei de contact a două suprafețe regulate, se poate folosi curba caracteristică plană de gradul I  $An_R(P)$ :

$$An_R(P) \Rightarrow \mathbf{r}_{iR}(\varphi) = \begin{bmatrix} R_P(\varphi) \cos \varphi \\ R_P(\varphi) \sin \varphi \\ 0 \\ 0 \end{bmatrix},$$

iar pentru distribuția curburii normale a suprafeței sculptate **P** în punctul **CC** de contact **K** se poate considera curba caracteristică planară de gradul II  $An_k(P)$ :

$$An_k(P) \Rightarrow \mathbf{r}_{ik}(\varphi) = \begin{bmatrix} k_P(\varphi) \cos \varphi \\ k_P(\varphi) \sin \varphi \\ 0 \\ 0 \end{bmatrix}.$$

#### 7.4.7. Curbe caracteristice relative

Pentru a simplifica în continuare descrierea geometriei spațiale de contact a suprafeței sculptate **P** și a suprafeței generatoare **T** a sculei așchietoare înlocuim coeficientul curburii lui **Plücker**  $PI_R(P)(P/T)$  cu curba caracteristică planară corespunzătoare.

Ca urmare coeficientul bidimensional  $An_r(P)$  devine:

$$An_R(P/T) \Rightarrow \mathbf{R}_{iR}(\varphi) = \begin{bmatrix} R_T \cos \varphi \\ (R_P + R_T) \sin \varphi \\ 0 \\ 0 \end{bmatrix}$$

și care este coeficientul bidimensional  $An_R(P/T)$  de ordinul I, descriind distribuția razei normale de curbură la suprafețele **P** și **T** în punctul **CC** de contact **K**.

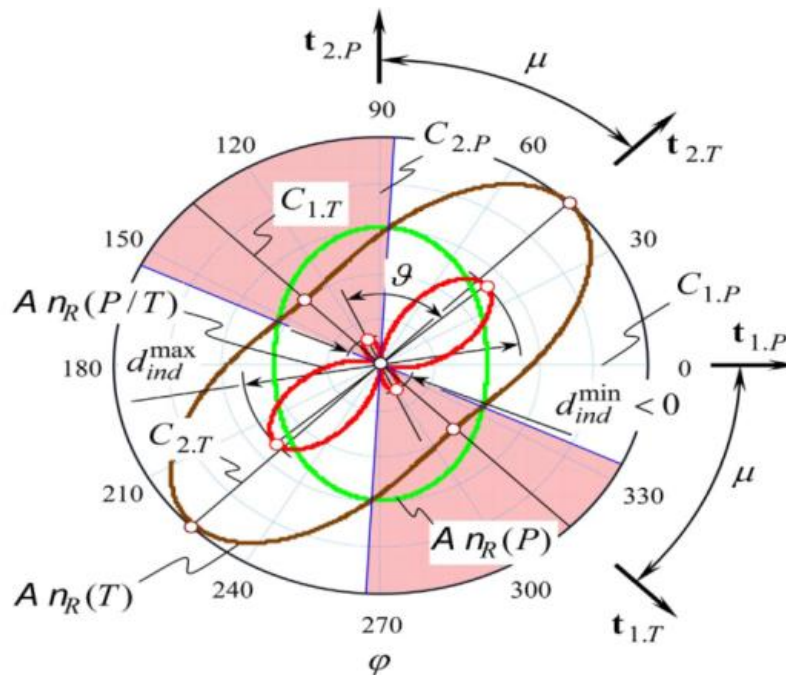


Fig. 7.13. Coeficientul bidimensional  $An_R(P/T)$  al suprafețelor **P** și **T**.

În acest caz, curba caracteristică corespunzătoare coeficientului bidimensional  $An_R(P/T)$  este calculată pentru o suprafață de contact **P** convex eliptică având  $R_{1,P} = 3$  mm și  $R_{2,P} = 15$  mm cu o suprafață de contact **T** concav eliptică având  $R_{1,T} = -2$  mm și  $R_{2,T} = -5$  mm. Unghiul relativ dintre suprafețele **P** și **T** față de perpendiculara comună este  $45^\circ$

Remarca 1:

Se poate remarca faptul că, atât direcția diametrului minimal  $d_{ind}^{min}$ , cât și direcția diametrului maximal  $d_{ind}^{max}$  a curbei caracteristice  $An_R(P/T)$  sunt diferite de direcțiile principale  $t_{1,P}$  și  $t_{2,P}$  de pe suprafața sculptată **P** și direcțiile principale  $t_{1,T}$  și  $t_{2,T}$  de pe suprafața **T** a sculei tăietoare, direcții ce nu sunt ortogonale una cu alta și deci  $\theta \neq 90^\circ$ .

Remarca 2:

Forma și mărimea coeficientului bidimensional  $An_R(P/T)$  depinde de valorile algebrice ale razelor de curbură  $R_{1,P}$ ,  $R_{2,P}$  și  $R_{1,T}$ ,  $R_{2,T}$  ale suprafețelor **P** și **T** și valoarea unghiului  $\mu$  dintre normalele suprafețelor **P** și **T**.

Curba caracteristică  $An_R(P/T)$  are o structură relativ mai simplă și este întotdeauna o curbă plană, ceea ce o face preferabilă în a o utiliza în calcule.

Pentru a descrie diferențele dintre curburile normale ale suprafețelor **P** și **T** folosim expresia analitică a curbei caracteristice plane  $R_{1k}(\varphi)$  denumită și coeficientul caracteristic de gradul II:

$$An_k(P/T) \Rightarrow R_{ik}(\varphi) = \begin{bmatrix} (k_P - k_T) \cos \varphi \\ (k_P - k_T) \sin \varphi \\ 0 \\ 0 \end{bmatrix}$$

Folosind **conoidul lui Plücker** se pot defini curbele plane caracteristice  $An_k(P/T)$  și **coeficientul de conformitate**  $C_{nf_R}(P/T)$ . Totodată, se poate demonstra că ambele mărimi:

- curbele plane caracteristice  $An_R(P/T)$  și
- **coeficientul de conformitate**  $C_{nf_R}(P/T)$

a celor două suprafețe **P** și **T** definesc aceeași direcție  $t_{cnf}^{max}$  pentru care **coeficienții de conformitate**  $C_{nf_R}(P/T)$  ai suprafețelor **P** și respectiv **T** au valori maxime posibile.

În concluzie:

- curbele caracteristice  $An_R(P/T)$  și
- **coeficientul de conformitate**  $C_{nf_R}(P/T)$

al suprafețelor **P** și **T** permit analiza geometriei spațiale al acestor suprafețe.

## 7.5. Proiectarea optimală a sculei așchietoare

Obținerea suprafeței sculptate **P** se realizează folosind mașini-unelte cu comandă numerică, în general multiaxe, întrebuintând scule așchietoare adecvate. Tipul, forma și parametrii tehnici ai sculei așchietoare influențează semnificativ suprafața generatoare **T** a sculei așchietoare, implicând necesitatea proiectării optimale a acesteia.

În acest capitol se vor dezvolta diverse metode de profilare optimală a sculei așchietoare, cu scopul optimizării prelucrării suprafețelor sculptate.

### 7.5.1. Proiectarea sculei așchietoare necesare realizării suprafețelor sculptate

Pentru realizarea suprafeței sculptate **P** este necesar ca scula așchietoare să execute mișcări de rotație și de deplasare generând suprafața generatoare **T** a sculei așchietoare. Teoretic, numărul acestor suprafețe este infinit, punându-se problema practică a alegerii optimale a formei sculei așchietoare pentru obținerea suprafeței sculptate **P** dată.

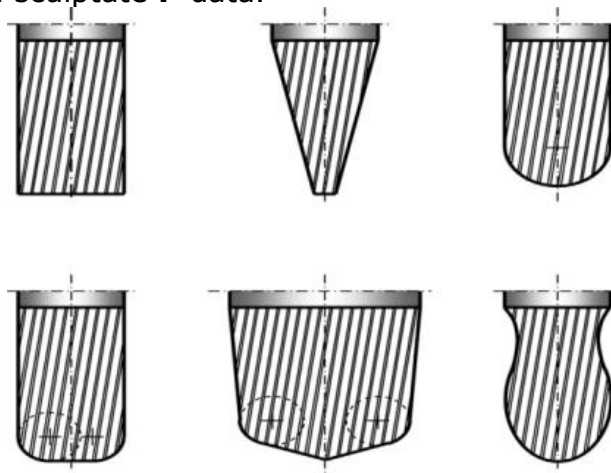


Fig. 7.14. Diverse forme ale sculei așchietoare destinate obținerii suprafeței sculptate **P**

Cum s-a arătat încă de la început, în realitate, suprafața generatoare **T** nu există în mod explicit, ci este reprezentată de pozițiile consecutive ale mișcărilor relative ale sculei așchietoare în cadrul unui sistem de axe de coordonate.

Este importantă definirea termenului de **proiectare optimă** pentru obținerea de scule așchietoare cu parametri care să satisfacă criteriile de optimizare date, ca de exemplu productivitatea maximă a procesului de prelucrare, asociată cu cerințele deplasării minime ale sculei așchietoare. Pentru aceasta, în teoria generării suprafețelor se iau în considerare:

- geometria spațială a suprafeței sculptate **P**,
- geometria spațială a suprafeței generatoare **T** a sculei așchietoare,
- cinematica procesului de prelucrare.

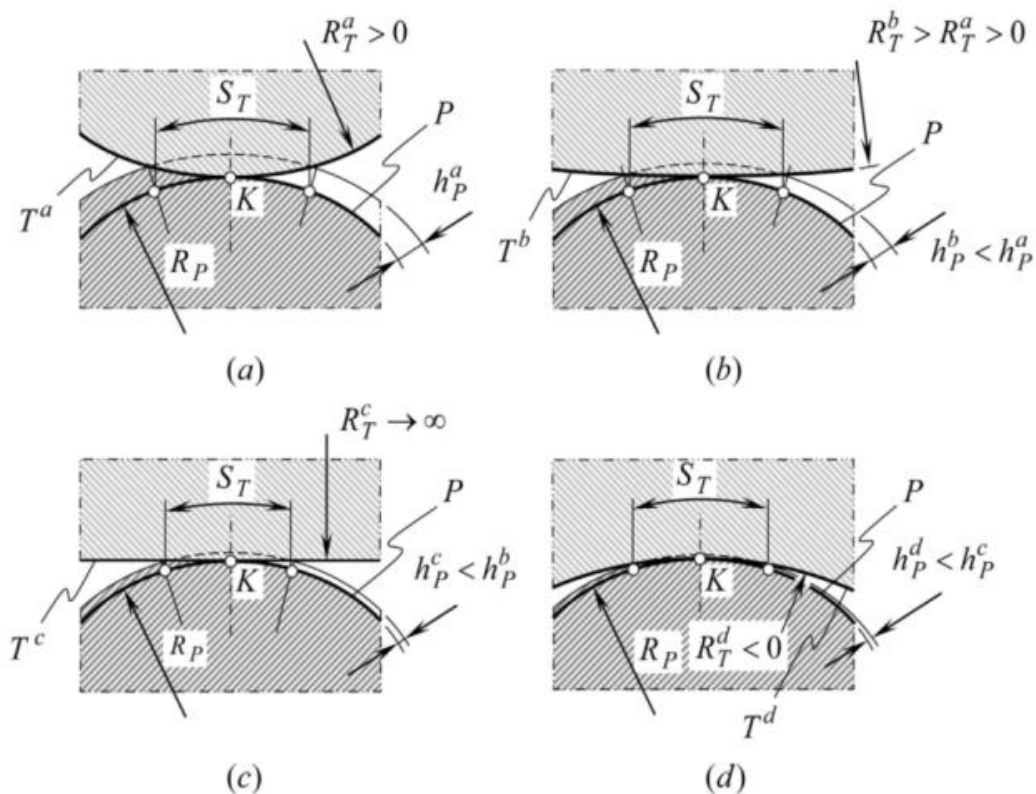


Fig. 7.15. Exemple de coeficienți a suprafeței generatoare **T** a sculei așchietoare pentru realizarea suprafeței sculptate **P** în planul vectorului normal unitar  $n_p$ .

Fie o secțiune a suprafețelor **P** și **T** în planul vectorului unitar  $n_p$  prezentate în Fig. 7.15. Acest plan este perpendicular în punctul **K** pe direcția sculei așchietoare la suprafața **P**. În aceleași figuri,  $S_T$  reprezintă dimensiunea sculei așchietoare, și care este aceeași în figurile prezentate. Aceeași remarcă și pentru raza de curbură normală  $R_P$  a suprafeței **P** în punctul **CC** de contact **K**, unde  $h_p$  este elementul de degroșare. Razele de curbură ale diferitelor suprafețe ale sculei așchietoare  $T^i$  ( $i = a, b, c, d$ ) au valori pozitive  $R_T^i > 0$ .

Este evident că pentru o dimensiune  $S_T$  dată a sculei așchietoare, adâncimea de prelucrare  $h_p^i$  ( $i = a, b, c, d$ ) trebuie să fie mai mică decât adaosul  $[h]$  impus de precizia prelucrării suprafeței sculptate **P**.

Aceași suprafață sculptată **P** se poate genera și de către o suprafață  $T^b$  diferită a sculei așchietoare. În acest caz, raza de curbură a suprafeței  $T^b$  este mai mare decât raza de curbură  $T^a$  din cazul precedent ( $R_T^b > R_T^a$ ).

Fie  $h_p^b < h_p^a$ ; ca urmare, **coeficientul de conformitate** al suprafeței  $T^b$  față de suprafața **P** este mai mare decât al suprafeței  $T^a$  pentru aceeași suprafață.

În punctul **CC** de contact **K**, suprafața  $T^c$  este plană și ca urmare raza de curbură  $R_T^c \rightarrow \infty$ ,  $R_T^c > R_T^b$ , iar  $h_p^c < h_p^b$  ca urmare a creșterii coeficientului de conformitate al suprafeței generatoare  $T^c$  comparativ cu  $T^b$ .

Pentru  $T^d$  avem  $R_T^d < 0$ , deci **coeficientul de conformitate** al suprafeței generatoare  $T^d$  este cel mai mare dintre cazurile considerate.

**Concluzie:** Mărirea **coeficientului de conformitate** al suprafeței generatoare **T** al sculei așchietoare față de suprafața sculptată **P** conduce la reducerea corespunzătoare a dimensiunii adaosului de prelucrare al suprafeței sculptate **P**, ceea ce indică importanța studierii metodelor optime de realizare a sculei așchietoare în vederea unei prelucrări adecvate.

### 7.5.2. Descrierea înfășurătorilor suprafeței sculptate **P** determinate de suprafața generatoare **T** a sculei așchietoare

Așa cum s-a arătat, rata de conformitate a suprafeței generatoare **T** a sculei așchietoare față de suprafața sculptată **P** poate măsura eficiența operației de prelucrare influențând:

- productivitatea procesului de prelucrare;
- reducerea adaosului de prelucrare;
- reducerea timpului de prelucrare.

Pentru o proiectare adecvată, optimală, a sculei așchietoare, suprafața **T** trebuie să fie cât mai apropiată de suprafața sculptată **P**; ca urmare suprafața **T** trebuie generată ca înfășurătoare a suprafeței **P**.

Considerând planele ce se pot construi folosind ca direcție vectorul normal  $n_p$ , rata maximă de conformitate a suprafeței **T** față de suprafața **P** se poate obține, pentru fiecare plan, din egalitatea:

$$R_T = -R_P$$

În acest caz, suprafețele **P** și **T** sunt în contact direct, contact de ordinul I sau de ordinul II, cum s-a arătat anterior.

În realitate, datorită imperfecțiunii sculei așchietoare față de suprafața **P**, egalitatea de mai sus este posibil să nu fie realizată, impunând înlocuirea cu egalitatea:

$$R_T = R_T(R_P),$$

unde funcția  $R_T(R_P)$  se poate exprima în funcție de toleranțele configurației sculei așchietoare față de suprafața sculptată.

Ca urmare, problema alegerii optime a formei sculei așchietoare se reduce la determinarea suprafeței generatoare **T**, astfel încât să satisfacă ecuația de mai sus:

$$R_T = R_T(R_P)$$

și care să corespundă cât mai aproape de suprafața **P**.

Prin schimbarea funcției  $R_T = -R_P$  cu funcția  $R_T = R_T(R_P)$ , se trece de la condițiile ideale de control ale suprafeței **P** și **T** la condițiile practice, realizabile prin procesul de prelucrare. Dacă exprimăm suprafața generatoare **T** a sculei așchietoare sub formă parametrică și fie  $\Phi_{1,T}$  și  $\Phi_{2,T}$  prima și respectiv a doua formă fundamentală a suprafeței **T** în funcție de mărimile  $E_p, F_p, G_p$ , și  $L_p, M_p, G_N$  ale suprafeței **T**, atunci ecuația:

$$R_T = R_T(R_P)$$

se descompune într-un set de două ecuații:

$$\begin{cases} M_T = M_T (M_P; G_P) \\ G_T = G_T (M_P; G_P) \end{cases}'$$

unde  $M_P$  și  $M_T$  reprezintă curburile medii, iar  $G_P$  și  $G_T$  sunt curburile suprafețelor **P** și respectiv **T** în punctul **CC** de control **K**.

Pentru a satisface ecuațiile de mai sus este necesară introducerea egalităților numite de compatibilitate:

$$\begin{aligned} L_T N_T - M_T^2 &= F_1 (L_P N_P - M_P^2); \\ E_T N_T - 2 F_T M_T + G_T L_T &= F_2 (E_P N_P - 2 F_P M_P + G_P L_P); \\ E_T G_T - F_T^2 &= F_3 (E_P G_P - F_P^2). \end{aligned}$$

unde  $F_1, F_2, F_3$  sunt funcții descriind **coeficienții de conformitate** ai suprafețelor **P** și **T** și care pot fi determinați experimental folosind metode de simulare ale suprafețelor sculptate.

Ecuațiile de mai sus sunt necesare, dar nu și suficiente, pentru a descrie cele șase necunoscute din ecuațiile de mai sus și anume:

- mărimile fundamentale  $E_T, F_T, G_T$  ale formei fundamentale de gradul I:  $\Phi_{1,T}$  a suprafeței **T** a sculei așchietoare;
- mărimile fundamentale  $L_T, M_T, N_T$  ale formei fundamentale de gradul II:  $\Phi_{2,T}$  a suprafeței **T** a sculei așchietoare.

Ca urmare, sunt necesare șase ecuații cu șase necunoscute și care să înglobeze cele trei egalități. Pe de altă parte, orice suprafață generatoare **T** a sculei așchietoare satisface ecuația lui Gauss<sup>6</sup>:

$$\begin{aligned} &\tilde{G}_T (E_T G_T - F_T^2) \\ &= \left[ \frac{\partial^2 F_T}{\partial U_T \partial V_T} - \frac{1}{2} \left( \frac{\partial^2 E_T}{\partial V_T^2} + \frac{\partial^2 G_T}{\partial U_T^2} \right) \right] (E_T G_T - F_T^2) \\ &+ \begin{vmatrix} 0 & \frac{\partial F_T}{\partial V_T} - \frac{1}{2} \frac{\partial G_T}{\partial U_T} & \frac{1}{2} \frac{\partial G_T}{\partial V_T} \\ \frac{1}{2} \frac{\partial E_T}{\partial U_T} & E_T & F_T \\ \frac{\partial F_T}{\partial U_T} - \frac{1}{2} \frac{\partial E_T}{\partial V_T} & F_T & G_T \end{vmatrix} + \begin{vmatrix} 0 & \frac{1}{2} \frac{\partial E_T}{\partial V_T} & \frac{1}{2} \frac{\partial G_T}{\partial U_T} \\ \frac{1}{2} \frac{\partial E_T}{\partial V_T} & E_T & F_T \\ \frac{1}{2} \frac{\partial G_T}{\partial U_T} & F_T & G_T \end{vmatrix}. \end{aligned}$$

Alte două ecuații de compatibilitate rezultă din formulele lui Mainardy-Codacci (do Carmo, 1976), (Radzevich, 2002):

$$\begin{aligned} \frac{\partial L_T}{\partial V_T} - \frac{\partial M_T}{\partial U_T} &= L_T \Gamma_{12}^1 + M_T (\Gamma_{12}^2 - \Gamma_{11}^1) - N_T \Gamma_{11}^2, \\ \frac{\partial M_T}{\partial V_T} - \frac{\partial N_T}{\partial U_T} &= L_T \Gamma_{22}^1 + M_T (\Gamma_{22}^2 - \Gamma_{12}^1) - N_T \Gamma_{12}^2. \end{aligned}$$

unde  $\Gamma_{jk}^i$  sunt simbolurile lui Christoffel de ordinul II (Struik, 1962).

Totalitatea acestor ecuații descriu complet înfășurătoarea celor două suprafețe regulate **P** și respectiv **T**, unde suprafața sculei așchietoare **T** este înfășurătoarea suprafeței sculptate **P**, permițând astfel utilizarea mărimilor fundamentale de gradul I:  $\Phi_{1,T}$  și gradul II:  $\Phi_{2,T}$  a suprafeței sculei așchietoare **T** pentru determinarea acestei înfășurători.

### 7.5.3. Generarea suprafeței T de către sculele așchietoare

Pentru a converti ecuația parametrică a suprafeței **T** întrun sistem de coordonate carteziene folosim un sistem tensorial de două ecuații Gauss-Weingarten (Jeffreys, 1961):

<sup>6</sup> Numită și theorem egregium (lat.)



$$\left. \begin{array}{l} \text{Suprafața generatoare } \mathbf{T} \text{ a} \\ \text{suclei așchietoare} \end{array} \right| \Leftrightarrow \begin{cases} \mathbf{r}_{ij} = \Gamma_{ij}^k \mathbf{r}_P + b_{ij} \mathbf{n}_P \\ \mathbf{n}_i = -b_{ik} g^{kj} r_j \end{cases}$$

și care rezolvate conduc la o ecuație matricială a suprafeței generatoare  $\mathbf{T}$  a suclei așchietoare pentru prelucrarea suprafeței sculptate  $\mathbf{P}$  pe mașini-unelte cu comandă numerică.

Condițiile de integrare ale ecuației de mai sus se cer alese corespunzător, astfel:

$$\begin{aligned} \mathbf{r}_i &= \frac{\partial \mathbf{r}_T}{\partial U_T}; \\ \mathbf{r}_{ij} &= \frac{\partial^2 \mathbf{r}_T}{\partial U_T \partial V_T}; \\ \mathbf{n}_i &= \frac{\partial \mathbf{n}_T}{\partial U_T}; \end{aligned}$$

$$b_{ij} = \mathbf{r}_{ij} \cdot \mathbf{r}_{ij} \cdot \mathbf{n}_T = -\mathbf{n}_i r_j - n_j \cdot \mathbf{r}_i;$$

și unde  $g_{ij}$  este tensorul metric al suprafeței  $\mathbf{T}$ , iar  $g^{ij}$  este tensorul covariant al suprafeței  $\mathbf{T}$ .

#### 7.5.4. Algoritm de calcul al parametrilor suclei așchietoare

Pentru calculul parametrilor suprafeței  $\mathbf{T}$  se folosește schema logică din Fig. 7.16.

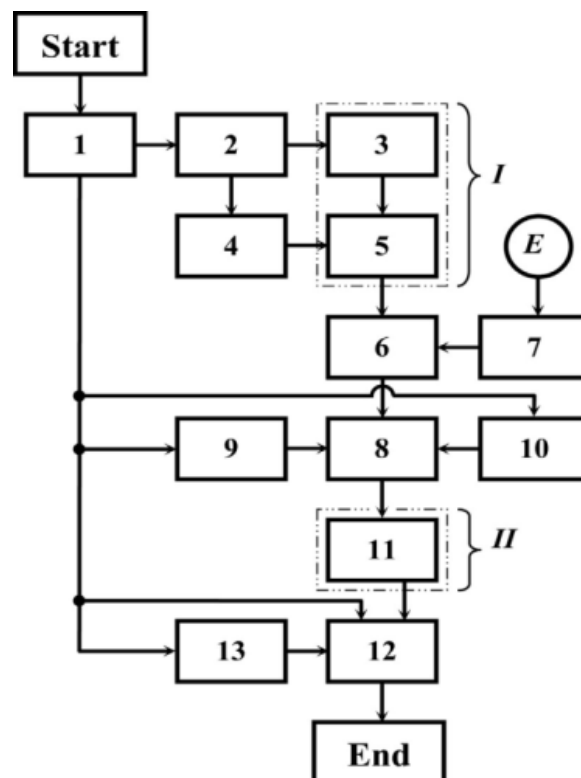


Fig. 7.16. Schema logică a algoritmului de calcul a parametrilor suclei așchietoare pentru prelucrarea optimă a suprafeței sculptate  $\mathbf{P}$  pe mașini-unelte cu comandă numerică

1. Calculul suprafeței sculptate regulate  $\mathbf{P}$ . Dacă  $\mathbf{P}$  este compusă din două sau mai multe părți se cere a se defini un set de ecuații prin părți  $\mathbf{P}_i \Big|_{i=1}^n$ ;
2. Calculul primei derivate a ecuației (ecuațiilor) suprafeței sculptate  $\mathbf{P}$ ;

3. Calculul mărimilor fundamentale de gradul I:  $\Phi_{1,T}$  a suprafeței sculptate **P**:  $E_p, F_p, G_p$ ;
4. Calculul derivatelor de gradul II a suprafeței sculptate **P**;
5. Calculul mărimilor fundamentale de gradul II:  $\Phi_{2,T}$  a suprafeței **P**. Se poate observa că 3 și 5 reprezintă calculul parametrilor suprafeței sculptate **P**;
6. Definirea celor 3 ecuații ce descriu gradul de conformitate a suprafeței generatoare **T** a sculei așchietoare față de suprafața sculptată **P**;
7. Determinarea funcțiilor ce definesc gradul de conformitate a suprafeței sculptate **P**;
8. Definirea și utilizarea înfășurătoarelor suprafeței sculptate **P**;
9. Calculul funcției lui Gauss;
10. Calculul celor două ecuații de compatibilitate ale lui Mainardy-Codacci și care conduc la un set de 6 ecuații cu 6 necunoscute  $E_T, F_T, G_T$ , și  $L_T, M_T, G_T$ ;
11. Exprimarea parametrică a suprafeței generatoare **T** a sculei așchietoare;
12. Rezolvarea celor două ecuații tensoriale Gauss-Weingarten;
13. Alegerea condițiilor inițiale pentru integrarea celor ecuații tensoriale Gauss-Weingarten.

Utilizând schema de mai sus se obține o suprafață generatoare **T** a sculei așchietoare având o topologie optimă, obținându-se totodată parametrii constructivi ai sculei așchietoare ce satisfac combinațiile  $k_{1,T}$  și  $k_{2,T}$ .

### 7.5.5. Alegerea parametrilor constructivi ai sculei așchietoare

Schema bloc de mai sus reprezintă un exemplu practic de obținere a parametrilor constructivi ai sculei așchietoare. În literatura de specialitate se prezintă și alte metode de calcul (Radzevich, 2004), (Radzevich, 2007).

După cum s-a arătat, suprafața generatoare **T** a sculei așchietoare este o suprafață de revoluție. Pentru a crește performanțele sculei așchietoare este necesar ca principalele raze de curbură a suprafeței generatoare **T** a sculei așchietoare să fie egale sau ce puțin apropiate de valorile extreme ale razelor de curbură ale acestor suprafețe luate cu semn schimbat.

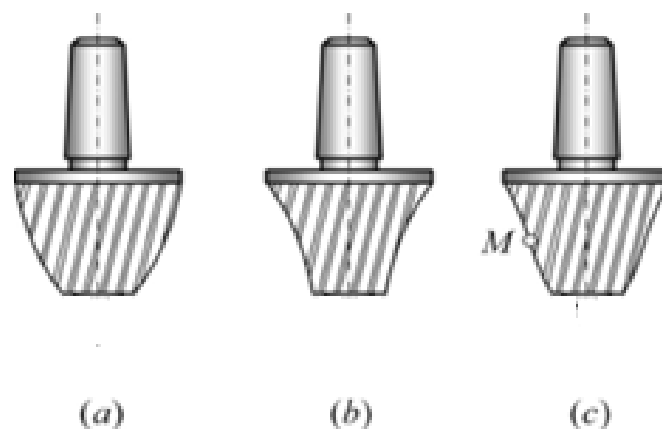


Fig. 7.17. Diverse forme ale sculei așchietoare în cazul prelucrării suprafeței sculptate **P**, pe mașini-unelte cu comandă numerică: a) convexă, b) concavă, c) cu un punct de inflexiune **M**.



Ca urmare, intervalul de variație al razelor de curbură a suprafeței generatoare **T** a sculei așchietoare, ca și configurația acestei suprafețe față de axa de rotație a sculei se cere determinată în funcție de intervalul de variație al razelor de curbură, recomandându-se calculul gradientului variației razelor de curbură.

Pentru un gradient constant există un o relație liniară între raza de curbură  $\rho_T$  a sculei generatoare și lungimea arcului acesteia  $L_T$ . Ca urmare, există relația  $\rho_T = c L_T$ , unde  $c$  este o constantă parametru desemnând variația modificărilor razei de curbură  $\rho_T$ .

Considerând ecuația curbei generatoare  $R_T$  în coordonate polare, aceasta se poate scrie sub forma  $r_T = r_T(\psi)$ , unde:

- $r_T$  reprezintă poziția unui vector al unui punct al curbei generatoare;
- $\psi$  reprezintă parametrul curbei generatoare.

Folosind formula transformărilor, ecuația curbei generatoare devine:

$$R_T = R_{T,0} \exp(c \psi),$$

unde  $R_{T,0}$  este vectorul de poziție al originii axelor de coordonate, ecuație ce poate fi derivată.

Dacă considerăm rotația curbei generatoare  $R_T$  în jurul axei  $O_T$  se obține suprafața generatoare a sculei așchietoare. Ecuația acestei suprafețe poate fi descrisă analitic de ecuația:

$$r_T(\psi, \delta) = \begin{bmatrix} (r_t + R_0 e^{c \cdot \psi} \cos \psi) \sin \delta \\ (r_t + R_0 e^{c \cdot \psi} \cos \psi) \cos \delta \\ (r_t \tan \varphi + R_0 e^{c \cdot \psi} \sin \psi) \\ 1 \end{bmatrix},$$

și care poate descrie suprafața generatoare **T** a sculei așchietoare pentru cazurile considerate, când scula așchietoare are o formă convexă în cazul a), concavă în cazul b) sau sub formă de curbă cu un punct de inflexiune  $M$  a două curbe spiral-logaritmice în cazul c).

### 7.5.6. Scule așchietoare ce permit schimbarea continuă a suprafeței generatoare **T** a sculei așchietoare

În cea mai mare parte, suprafața generatoare **T** a sculei așchietoare este realizată cu ajutorul unor scule având o formă rigidă, care nu permite schimbarea formei sau a parametrilor suprafeței **T**. Există însă cazuri când se folosesc scule de forme speciale, a căror suprafețe așchietoare se pot schimba în cursul prelucrării. În acest caz, suprafața generatoare **T** a sculei se schimbă continuu.

Ca urmare, suprafața **T** nu se mai obține ca o înfășurătoare a diverselor poziții consecutive ale suprafeței sculptate **P**, fiind formată în schimb prin mișcarea compusă a sculei așchietoare relativ la coordonatele  $X_T, Y_T, Z_T$ , rezultând o cinematică complexă în acest caz și care poate face obiectul studiilor în continuare.

## 7.6. Condiții optime ale generării suprafeței sculptate **P**

Se poate observa că aceeași suprafață se poate obține cu aceleași scule așchietoare utilizând diferite suprafețe cinematice de generare **T** ale sculei. Această observație conduce la necesitatea alegerii parametrilor cinematici astfel

încât să conducă la rezolvarea problemei optimizării cinematiei suprafeței **T** a sculei așchietoare pentru realizarea suprafeței sculptate **P**.

### 7.6.1. Orientarea optimală a suprafeței generatoare **T** a sculei așchietoare

Definim o orientare optimală a suprafeței generatoare **T** a sculei așchietoare ca fiind orientarea care minimizează numărul de treceri necesare prelucrării sau maximizează numărul suprafețelor obținute la o singură trecere a sculei așchietoare.

Cum s-a arătat mai sus, obținerea orientării optimale a sculei așchietoare pentru realizarea suprafeței sculptate **P** se poate face prin mai multe metode, considerând diferite suprafețe generatoare **T** ale sculei așchietoare. O astfel de metodă o reprezintă **metoda lui Gauss**, care constă în a minimiza diferența dintre unghiul normalei la suprafața sculptată în punctul ei central și poziția axei sculei așchietoare, cu scopul minimizării numărului de treceri necesare prelucrării.

Dacă această condiție nu este urmărită și nu este îndeplinită optimal, există posibilitatea reducerii performanțelor sculei așchietoare, fiind necesare mai multe treceri pentru realizarea suprafeței sculptate cerute, mărindu-se astfel costul prelucrării.

Fie suprafața sculptată **P** ce se realizează pe o mașină-unealtă cu comandă numerică după trei axe Fig. 7.18.

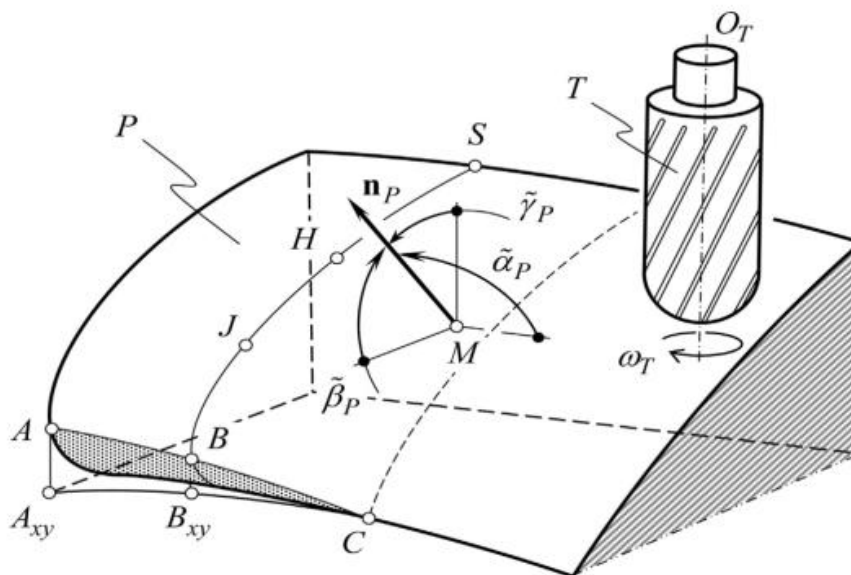


Fig. 7.18. Realizarea suprafeței sculptate **P** folosind sculele așchietoare **T**.

Fie suprafața plană  $A_{xy} B_{xy} C B A$  care nu poate fi prelucrată în acest pas. Prin metoda Gauss amintită se introduce noțiunea unei suprafețe sferice unitare. Se obține astfel înfășurătoarea suprafețelor paralele normale la suprafața sferei unitare în punctele de intersecție cu vectorul normal.

Calculul parametrilor orientării vectorului normal  $\tilde{N}_P$  al suprafeței normale se obține cu formula:

$$\tilde{N}_P = \frac{\iint_P \sqrt{E_P G_P - F_P^2} N_P (U_P; V_P) dU_P dV_P}{S_P},$$

iar în cazul suprafețelor sculptate multiple  $P_i$  care se realizează printr-o singură trecere, formula devine

$$\tilde{N}_P = \frac{\sum_{i=1}^k \iint_{P_i} \sqrt{E_P G_P - F_P^2} \mathbf{N}_P (U_P; V_P) dU_P dV_P}{\sum_{i=1}^k S_{P_i}},$$

$k$  fiind numărul suprafețelor sculptate multiple ( $k = 1, 2, \dots, i$ ) realizate printr-o singură trecere, în care caz se consideră normalele la suprafețele sculptate  $P_i$  într-un punct central al suprafețelor prelucrate.

Fie unghiurile normalei la suprafața  $\mathbf{P}$  cu axele de coordonate notate cu  $\alpha, \beta, \gamma$ . Rezultanta transformării sistemului de coordonate folosind unghiurile lui Euler  $(\psi, \theta, \varphi)$  se pot exprima analitic cu ajutorul operatorului  $E(\psi, \theta, \varphi)$  al transformării lui Euler.

Pentru a obține direcția optimală a prelucrării se consideră deplasarea unei părți a suprafeței  $\mathbf{P}$  în jurul vectorului normal  $\tilde{N}_P$ , ceea ce schimbă orientarea suprafeței  $\mathbf{P}$  față de axele de coordonate. În același timp, se pot considera și alte condiții adiționale rezultate din condițiile de prelucrare, de exemplu:

- suprafața de lucru a mașinii-unelte cu comandă numerică,
- parametrii constructivi ai sculei așchietoare,
- regimurile de lucru ale mașinii-unelte,
- parametrii funcționali, constructivi și caracteristicile tehnice ale mașinii-unelte etc. (Radzevich, 2002).

Introducerea acestor condiții adiționale permite creșterea acurateții formulelor matematice ce reflectă procesul de prelucrare, dar, în același timp, complică exprimarea și, în special, rezolvarea lor.

Autorul consideră că și această direcție de cercetare merită a fi investigată, ceea ce poate constitui subiectul unor cercetări ulterioare.

### 7.6.2. Condiții necesare și suficiente pentru generarea optimală a suprafeței sculptate $\mathbf{P}$

După determinarea direcției de prelucrare optimală (sau cel puțin fezabilă) a sculei așchietoare este necesară stabilirea condițiilor necesare și suficiente pentru generarea suprafeței sculptate  $\mathbf{P}$  sau a părților  $P_i$  ce compun suprafața sculptată  $\mathbf{P}$ . În continuare se prezintă șapte condiții considerate necesare și suficiente pentru generarea suprafeței sculptate  $\mathbf{P}$  și care trebuie luate în considerare atunci când se are în vedere modelarea optimală a suprafeței sculptate  $\mathbf{P}$ .

**1) Condiția a I-a** pentru generarea suprafeței sculptate  $\mathbf{P}$  sau a părților  $P_i$  ce compun suprafața sculptată  $\mathbf{P}$  implică existența suprafeței generatoare  $\mathbf{T}$  a sculei așchietoare.

**2) Condiția a II-a** pentru generarea suprafeței sculptate  $\mathbf{P}$  sau a părților  $P_i$  ce compun suprafața sculptată  $\mathbf{P}$  constă în aceea că suprafețele  $\mathbf{P}$  și  $\mathbf{T}$  trebuie să fie în contact:

- a) **permanent**, în cazul generării continue a suprafeței sculptate  $\mathbf{P}$ ;
- b) **temporar**, în cazul generării discontinue a suprafeței sculptate  $\mathbf{P}$ , datorită discontinuităților în prelucrarea suprafețelor  $P_i \subset P$ .

În cazul a) suprafețele  $\mathbf{P}$  și  $\mathbf{T}$  sunt tangente una față de alta. Ca urmare,

$$\mathbf{n}_{P/T} \cdot \mathbf{V}_\Sigma = 0, \text{ unde:}$$

- $\mathbf{n}_{P/T}$  este vectorul unitar normal comun și care prin definiție poate fi

$$\mathbf{n}_{P/T} \equiv \mathbf{n}_P \text{ sau } \mathbf{n}_{P/T} \equiv -\mathbf{n}_T,$$

- $\mathbf{V}_\Sigma$  este vectorul rezultat al mișcării relative a suprafețelor  $\mathbf{P}$  și  $\mathbf{T}$ .

Rezultă că ecuațiile

$$\begin{aligned} \mathbf{n}_P + \mathbf{n}_T &= 0 \text{ și} \\ \mathbf{n}_P \cdot \mathbf{n}_T &= -1 \end{aligned}$$

sunt echivalente și pot constitui a doua ecuație necesară generării suprafeței sculptate  $\mathbf{P}$ . Vectorii unitari normali comuni  $\mathbf{n}_{P/T}$  ai suprafeței sculptate  $\mathbf{P}$  și ai suprafeței generatoare  $\mathbf{T}$  a sculei așchietoare sunt codirecționali și orientați în sens contrar în orice punct al suprafeței comune.

**3) Condiția a III-a** pentru generarea suprafeței sculptate  $\mathbf{P}$  sau a părților  $P_i$  ce compun suprafața sculptată  $\mathbf{P}$  constă în aceea că, contactul dintre suprafețele  $\mathbf{P}$  și  $\mathbf{T}$  trebuie menținut astfel încât cele două suprafețe să nu penetreze una în alta. De asemenea, este necesar ca normalele razelor de curbură la un plan ce trece prin perpendiculara comună să corespundă pentru fiecare secțiune.

Bineînțeles, astfel de probleme nu apar când cele două suprafețe conexe  $\mathbf{P}$  și  $\mathbf{T}$  sunt în contact. De asemenea, nu este fezabil ca două suprafețe concave  $\mathbf{P}$  și  $\mathbf{T}$  sau una concavă și alta convexă să fie în contact.

Ca urmare, este important ca la prelucrarea pe mașini-unelte cu comandă numerică să se stabilească condițiile necesare și suficiente pentru un contact corespunzător al suprafețelor  $\mathbf{P}$  și  $\mathbf{T}$  în vecinătatea punctului  $\mathbf{CC}$  de contact  $\mathbf{K}$ , când:

- suprafața  $\mathbf{P}$  este convexă, iar cealaltă suprafață  $\mathbf{T}$  este concavă;
- suprafața  $\mathbf{P}$  este concavă, iar  $\mathbf{T}$  este convexă;
- ambele suprafețe sunt concave.

În practică, interpretarea analitică a condițiilor de contact al suprafețelor de contact are o importanță deosebită în cadrul prelucrării pe mașini-unelte cu comandă numerică.

Când relația dintre raza normală de curbură  $R_P$  a suprafeței sculptate  $\mathbf{P}$  și raza normală de curbură  $R_T$  a suprafeței generatoare  $\mathbf{T}$  a sculei așchietoare este corespunzător aleasă, adică are loc inegalitatea  $|R_P| > R_T$ , atunci suprafața  $\mathbf{P}$  poate fi generată de suprafața  $\mathbf{T}$  în vecinătatea punctului  $\mathbf{CC}$  de contact  $\mathbf{K}$  (Fig. 7.19.a).

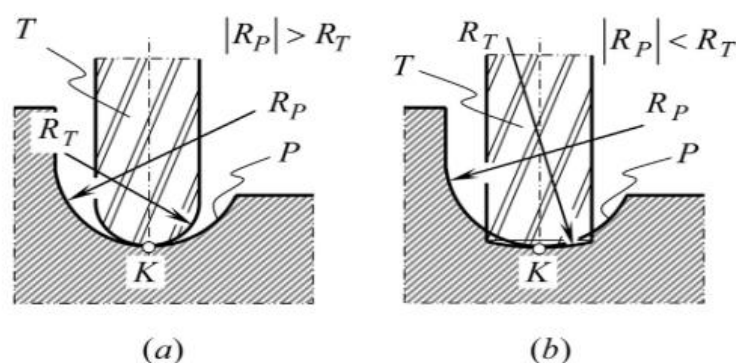


Fig. 7.19. Exemple ale celei de a III-a condiții de generare a suprafeței sculptate  $\mathbf{P}$

În caz contrar, când  $|R_P| < R_T$ , are loc o interferență între suprafețele  $\mathbf{P}$  și  $\mathbf{T}$  și ca urmare suprafața  $\mathbf{P}$  nu poate fi generată în vecinătatea punctului  $\mathbf{CC}$  de contact  $\mathbf{K}$  (Fig. 7.19.b). Rezultă că inegalitatea  $|R_P| > R_T$ , se poate folosi pentru descrierea analitică a celei de a III-a condiții. Pentru aceasta se calculează

**coeficientul de conformitate**  $C_{nf_R} (P/T)$  al suprafețelor **P** și **T** și care a fost determinat mai sus:

$$C_{nf_R} (P/T) \Rightarrow r_{cnf} (\varphi, \mu) =$$

$$= \sqrt{\left| \frac{E_P G_P}{L_P G_P \cos^2 \varphi - M_P \sqrt{E_P G_P} \sin 2\varphi + N_P E_P \sin^2 \varphi} \right|} \operatorname{sgn} \Phi_{2.P}^{-1}$$

$$+ \sqrt{\left| \frac{E_T G_T}{L_T G_T \cos^2(\varphi + \mu) - M_T \sqrt{E_T G_T} \sin 2(\varphi + \mu) + N_T E_T \sin^2(\varphi + \mu)} \right|} \operatorname{sgn} \Phi_{2.P}^{-1}.$$

În Fig. 7.19 se prezintă cazul compatibilității (a) și incompatibilității (b) a celei de a III-a condiții prezentată mai sus. Dacă condiția a III-a este satisfăcută, atunci toate diametrele  $d_{cnf} = 2 r_{cnf}$  ale **coeficientului de conformitate**  $C_{nf_R} (P/T)$  sunt negative, iar în planul tangent comun, în orice direcție ce trece prin punctul **CC** de contact **K** sunt satisfăcute condițiile:

- inegalitatea  $r_{cnf} \geq 0$  sau
- există setul de ecuații echivalent:

$$\begin{cases} \operatorname{sgn} r_{cnf} = 0 \\ \operatorname{sgn} r_{cnf} = \pm 1 \end{cases}$$

Când  $d_{cnf}^{(\min)} \geq 0$ , unde  $d_{cnf}^{(\min)}$  este diametrul minimal al **coeficientului de conformitate**  $C_{nf_R} (P/T)$  al suprafețelor **P** și **T**, atunci toți  $C_{nf_R} (P/T)$  ai acestei curbe caracteristice sunt **nenegativi**.

Punctul **CC** de contact **K** reprezintă un punct al curbei de frontieră  $r_{bc}$  care împarte suprafața **P** în suprafețe în care sculele așchietoare sunt accesibile și suprafețe în care nu sunt accesibile.

Deci, condiția a III-a este satisfăcută când  $d_{cnf}^{(\min)} \geq 0$ , ceea ce conduce la reenunțarea celei de a III-a condiții:

**Pentru realizarea suprafeței sculptate P și a suprafeței generatoare T a sculei așchietoare este necesar ca cele două suprafețe P și T să nu interfereze în vecinătatea punctului CC de contact K.**

**4) Condiția a IV-a:** dacă condiția a III-a este satisfăcută în punctul **CC** de contact **K** este posibil ca o interferență să existe în vecinătatea punctului **CC** de contact **K**, ceea ce introduce noțiunea de interferență globală între suprafețele **P** și **T**.

Pentru verificarea condiției de compatibilitate (sau incompatibilitate) a interferenței globale a suprafețelor **P** și **T** se folosește sistemul de ecuații vectoriale reprezentate în același sistem de axe de coordonate:

$$\begin{cases} \mathbf{r}_P = \mathbf{r}_P (U_P, V_P) \\ \mathbf{r}_T = \mathbf{r}_T (U_T, V_T) \end{cases}'$$

unde  $U_P, V_P$  și  $U_T, V_T$  sunt coordonatele carteziane ale unui punct a suprafeței **P** și respectiv **T**.

Sistemul de ecuații vectoriale de mai sus nu are soluții în domeniul real în afara punctelor unde suprafețele **P** și **T** sunt în contact. Ca urmare, condiția a IV-a este satisfăcută dacă și numai dacă **nu** există o interferență globală între suprafețele **P** și **T**.

**5) Condiția a V-a:** s-a arătat că pentru realizarea suprafețelor sculptate  $P_i \subset P$  scula așchietoare generează suprafețele  $T_i \subset T$ , existând mai multe suprafețe  $T_i \subset T$  fezabile de a realiza suprafețele  $P_i \subset P$ . Condiția pentru realizarea suprafeței  $P_{i+1} \subset P$  este ca scula așchietoare să poată realiza

suprafețele  $T_i$  și  $T_{i+1}$ , ceea ce analitic se transcrie în setul de două ecuații matriciale:

$$\begin{cases} \mathbf{r}_T^{(i)} = \mathbf{r}_T^{(i)} (U_T^{(i)}; V_T^{(i)}) \\ \mathbf{r}_T^{(i\pm 1)} = \mathbf{r}_T^{(i\pm 1)} (U_T^{(i\pm 1)}; V_T^{(i\pm 1)}) \end{cases}$$

unde  $\mathbf{r}_T^{(i)}$  și  $\mathbf{r}_T^{(i\pm 1)}$  descriu poziția vectorilor suprafețelor  $T_i$  și respectiv  $T_{i+1}$ , iar  $U_T^{(i\pm 1)}$  și  $V_T^{(i\pm 1)}$  sunt coordonatele carteziene ale unui punct al suprafețelor  $T_i$  și respectiv  $T_{i+1}$ .

Condiția a V-a este satisfăcută dacă și numai dacă setul de ecuații de mai sus nu are soluții reale, adică vecinătățile suprafeței generatoare  $T$  ale sculei așchietoare nu se intersectează și nici o suprafață  $T$  nu este situată în vecinătatea suprafețelor generatoare  $T_i$ . Cu alte cuvinte, condiția a V-a este satisfăcută dacă nu sunt permise suprafețe de tranziție pentru realizarea suprafețelor  $P_i$  și  $P_{i+1}$ .

**6) Condiția a VI-a:** obținerea suprafeței sculptate  $P$  are loc în jurul punctului  $CC$  de contact  $K$ . Ca urmare, între suprafețele  $P$  și  $T$  are loc o generare „discretă”, reală a suprafeței sculptate, diferită de cea „ideală”, proiectată, atât datorită condițiilor de lucru, cât și a toleranței sculei așchietoare care generează suprafața  $T$ .

Practic, este dificil a se genera suprafața sculptată  $P$  cu ajutorul unui singur punct care se deplasează. În realitate, are loc o generare discretă a suprafeței sculptate reale  $P^{(a)}$  care este diferită de suprafața sculptată ideală  $P^{(n)}$ , ceea ce impune condiția a VII-a:

**7) Condiția a VII-a:** suprafața sculptată reală  $P^{(a)}$  trebuie să respecte limitele de toleranță impuse suprafeței  $P$ . Devierile maxime  $h_\Sigma$  nu trebuie să depășească toleranța  $h$  admisă de caietul de sarcini sau proiectul tehnic, adică

$$\mathbf{n}_p^{(n)} \cdot h_\Sigma = \mathbf{r}_p^{(a)} - \mathbf{r}_p^{(n)} \leq \mathbf{r}_p^{(t)} = \mathbf{n}_p^{(n)} \cdot [h]$$

pentru orice punct  $k < P$  și unde:

- $\mathbf{r}_p^{(n)}$  este vectorul de poziție a unui punct al suprafeței ideale  $P^{(n)}$ ;
- $\mathbf{r}_p^{(a)}$  este vectorul de poziție a unui punct al suprafeței reale  $P^{(a)}$ ;
- $\mathbf{r}_p^{(t)}$  este vectorul de poziție a unui punct aparținând suprafeței  $P^{(t)}$  numită suprafață de toleranță;
- $\mathbf{n}_p$  este vectorul normal la suprafața ideală  $P^{(n)}$  cu observația că două puncte de pe suprafața  $\mathbf{r}_p^{(n)}$  și  $\mathbf{r}_p^{(a)}$  corespund, dacă aparțin unei linii comune a perpendicularei  $\mathbf{n}_p$  la suprafața  $\mathbf{r}_p^{(n)}$ .

Concluzie: cele șapte condiții de generare a suprafeței sculptate  $P$  reprezintă condițiile necesare și suficiente pentru îndeplinirea condițiilor proiectului tehnic de realizare a suprafeței sculptate  $P$ .

### 7.6.3. Verificarea globală a condițiilor de generare a suprafeței sculptate $P$

La prelucrarea pe mașini-unelte cu comandă numerică pot exista situații când unele porțiuni ale suprafeței sculptate  $P$  nu se pot executa. Un astfel de exemplu îl poate reprezenta cazul când aceste porțiuni nu sunt accesibile sculei așchietoare din cauza geometriei suprafeței sculptate.

Aceste situații conduc la necesitatea studierii și verificării globale a condițiilor de generare a suprafeței sculptate  $P$ , în funcție de:

- geometria suprafeței sculptate  $P$ ;



- parametrii constructivi ai mașinilor-unelte cu comandă numerică;
- portabilitatea sculei așchietoare.

## 7.7. Calculul toleranței prelucrării suprafeței sculptate P

Realizarea suprafeței sculptate **P** necesită cerințe constructive, tehnologice și estetice care sunt determinante la prelucrarea pe mașini-unelte cu comandă numerică, impunându-se calculul toleranței acestor prelucrări.

### 7.7.1. Componente ale erorilor de prelucrare pe mașini-unelte cu comandă numerică

În general se pot considera două cauze ale erorilor de prelucrare (Fig. 7.20):

1. Suprafața generatoare **T** a sculei așchietoare este o suprafață reală  $P_{ac}$  obținută cu ajutorul sculei așchietoare, rezultând eroarea elementară de prelucrare  $h_{fr}$  în punctul de contact dintre suprafețele **P** și **T** de la suprafața proiectată nominală  $P_{nom}$ ;
2. Poziționările relative dintre punctele de contact dintre suprafețele **P** și **T** introduc erorile de prelucrare  $h_{ss}$  la realizarea suprafeței reale  $P_{ac}$  față de suprafața nominală  $P_{nom}$  și care se măsoară pe direcția vectorului normal  $n_p$  la suprafața nominală  $P_{nom}$  fiind egale cu distanța dintre suprafețele  $P_{ac}$  și  $P_{nom}$ . Acestea depind de erorile elementare de prelucrare  $h_{fr}$  și  $h_{ss}$ :

$$h_{\Sigma,i} = h_{\Sigma,i} (h_{fr,i}, h_{ss,i}),$$

unde  $i \in P$  și unde erorile  $h_{fr,i}$  și  $h_{ss,i}$  sunt considerate ca funcții ale:

- a) coordonatelor unui punct a suprafeței **P**;
- b) punctelor corespunzătoare a suprafeței generatoare **T** a sculei așchietoare;
- c) unghiului  $\mu$  dintre suprafețele **P** și **T**;

Erorile  $h_{fr,i}$  și  $h_{ss,i}$  se pot exprima prin relațiile:

$$h_{fr} = h_{fr} (U_P, V_P, U_T, V_\mu);$$

$$h_{ss} = h_{ss} (U_P, V_P, U_T, V_\mu).$$

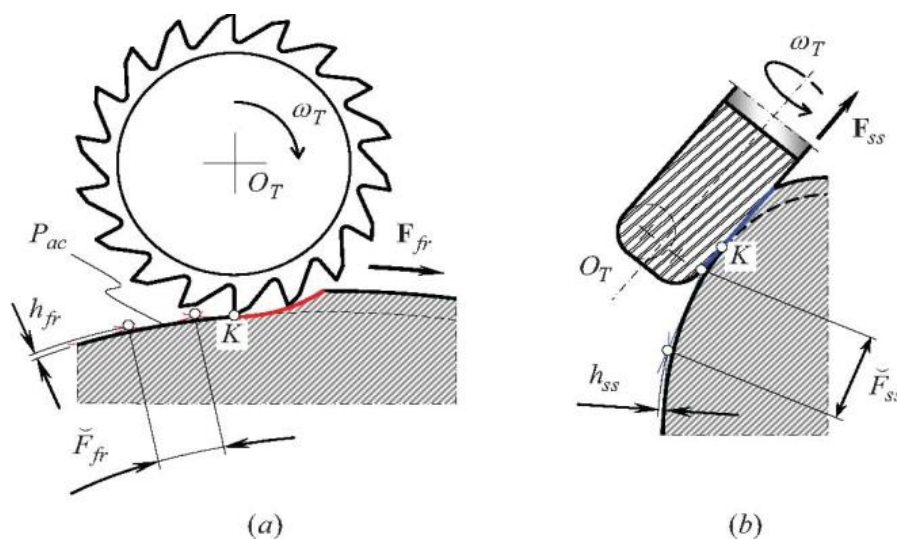


Fig. 7.20. Cele două tipuri ale erorilor de prelucrare datorită: a) sculei așchietoare și b) punctului de contact dintre suprafețele P și T

Eroarea maximă de prelucrare  $h_{\Sigma}^{max}$  a suprafeței sculptate reale  $P_{ac}$  față de suprafața nominală  $P_{nom}$  se utilizează la evaluarea cantitativă a acurateții suprafeței sculptate  $\mathbf{P}$ :

$$h_{\Sigma} = a_h \cdot h_{fr} + b_n \cdot h_{ss},$$

presupunând că erorile  $h_{fr} + h_{ss}$  se compun liniar și unde  $a_h$  și  $b_n$  sunt constante date în punctul  $\mathbf{CC}$  de contact  $\mathbf{K}$ , iar

$$\begin{aligned} 0 &\leq a_h \leq 1 \text{ și} \\ 0 &\leq b_n \leq 1. \end{aligned}$$

**Observația 1:**

Eroarea  $h_{\Sigma}$  atinge valoarea maximă pentru  $a_h = b_n = 1$ . În acest caz particular,  $h_{\Sigma}^{max} = h_{fr}^{max} + h_{ss}^{max}$ , iar funcția  $h_{\Sigma}$  aparține domeniului complex.

**Observația 2:**

Din cerințe tehnologice,  $h_{\Sigma} < h$ , unde  $h$  este eroarea impusă procesului de prelucrare.

### 7.7.2. Aproximări ale erorilor de prelucrare în punctele de contact

Soluțiile la ecuațiile erorilor fiind în domeniul complex, sunt dificil de obținut la nivelul întregii suprafețe sculptate  $\mathbf{P}$ . Problema se poate simplifica încercând soluții locale pe porțiuni ale suprafeței reprezentate prin ecuații de ordinul IV și care pot fi approximate prin suprafețe elicoidale.

Suprafața sculptată  $\mathbf{P}$  se poate exprima local prin razele de curbură  $R_{1,p}$  și  $R_{2,p}$  în punctul  $\mathbf{CC}$  de contact  $\mathbf{K}$  și tensorul  $t_p$  al suprafeței sculptate  $\mathbf{P}$  în punctul  $\mathbf{CC}$  de contact  $\mathbf{K}$ , iar suprafețele elicoidale se pot aproxima local, atât pentru suprafața sculptată  $\mathbf{P}$ , cât și pentru suprafața generatoare  $\mathbf{T}$  a sculei așchietoare, folosind  $R_{1,p}$  și  $R_{2,p}$  și  $t_p$ . În practică  $t_p$  este neglijabil, considerându-se egal cu zero. În acest fel, suprafața elicoidală se poate reduce la un tor (Fig. 7.21).

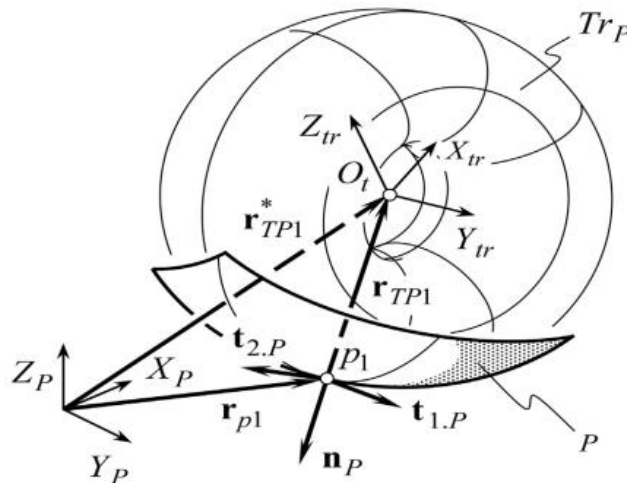


Fig. 7.21. Reprezentarea suprafeței toroidale  $T_p$  în punctul  $p_1$  al suprafeței sculptate  $\mathbf{P}$

În Fig. 7.21 s-a reprezentat suprafața toroidală  $T_p$  în punctul  $p_1$  al suprafeței sculptate  $\mathbf{P}$ , unde  $r_{p1}$  reprezintă poziția vectorului  $r_{p1}$  într-un punct arbitrar  $p_1$  al suprafeței sculptate  $\mathbf{P}$ . În Fig. 7.21 de mai sus, suprafețele  $\mathbf{P}$  și  $\mathbf{T}$  s-au ales ca având vectorul unitar normal  $n_p$  comun și având aceiași vectori unitari tangenți  $t_{1,p}$  și  $t_{2,p}$ .

Vectorii  $t_{1,p}$ ,  $t_{2,p}$  și  $n_p$  împreună cu razele de curbură  $R_{1,p}$  și  $R_{2,p}$  permit definirea și calculul poziției vectorului  $r_{TP1}$  care împreună cu vectorul de poziție



$r_{P_1}$  al punctului  $P_1$  conduc la calculul vectorului de poziție  $r_{TP_1}^*$  în coordonatele de sistem  $X_p, Y_p, Z_p$  asociate suprafeței  $\mathbf{P}$ .

De remarcat că nu toate punctele suprafeței torului pot fi folosite pentru aproximarea locală a suprafețelor  $\mathbf{P}$  și  $\mathbf{T}$ , ci doar punctele cuprinse între cel mai mare și cel mai mic meridian al suprafeței  $\mathbf{P}$ .

Suprafața toroidală se poate exprima în funcție de raza cercului generator  $r_{tr}$  și raza  $R_{tr}$  a cercului director. În funcție de raportul  $r_{tr}$  și  $R_{tr}$ ,  $r_{tr}$  poate fi egal cu raza de curbură  $R_{1,P}$  a suprafeței considerate  $r_{tr} = R_{1,P}$ , când raza  $R_{tr}$  a torului este egală cu diferența  $R_{tr} = R_{2,P} - R_{1,P}$ . Pentru alte valori ale raportului  $\frac{r_{tr}}{R_{tr}}$  au loc egalitățile:

$$r_{tr} = R_{2,P} - R_{1,P} \text{ și } R_{tr} = R_{1,P}.$$

Expresia generală a lui  $r_{tr}$  în funcție de unghiurile  $\theta_{tr}$  și  $\varphi_{tr}$  are forma:

$$r_{tr}(\theta_{tr}, \varphi_{tr}) = \begin{bmatrix} -(R_{2,P} - R_{1,P}) \cos \theta_{tr} + R_{1,P} \cos \varphi_{tr} \cos \varphi_{tr} \\ -(R_{2,P} - R_{1,P}) \sin \theta_{tr} + R_{1,P} \cos \varphi_{tr} \sin \varphi_{tr} \\ R_{1,P} \sin \varphi_{tr} \\ 1 \end{bmatrix},$$

unde  $\theta_{tr}$  și  $\varphi_{tr}$  sunt unghiurile dintre razele cercurilor ce definesc torul considerat și direcțiile vectorilor unitari în punctul dat. Vectorul normal unitar la suprafața toroidală  $\mathbf{n}_{tr}$  se poate calcula cu formula:

$$\mathbf{n}_{tr} = \mathbf{u}_{tr} \cdot \mathbf{v}_{tr},$$

unde

$$\mathbf{U}_{tr} = \frac{\mathbf{u}_{tr}}{|\mathbf{u}_{tr}|} \text{ și } \mathbf{V}_{tr} = \frac{\mathbf{v}_{tr}}{|\mathbf{v}_{tr}|}$$

și unde vectorii tangenți  $\mathbf{U}_{tr}$  și  $\mathbf{V}_{tr}$  au valorile

$$\mathbf{U}_{tr} = \frac{\partial r_{tr}}{\partial \theta_{tr}} \text{ și } \mathbf{V}_{tr} = \frac{\partial r_{tr}}{\partial \varphi_{tr}}.$$

Vectorii tangență unitari  $\mathbf{t}_{1,tr}$  și  $\mathbf{t}_{2,tr}$  definesc suprafața toroidală  $r_{tr}$ . În punctul  $\mathbf{CC}$  de contact  $\mathbf{K}$ , vectorii tangență unitari  $\mathbf{t}_{1,tr}$  și  $\mathbf{t}_{2,tr}$  sunt identici cu vectorii tangență  $\mathbf{t}_{1,P}$  și  $\mathbf{t}_{2,P}$  ai suprafeței  $\mathbf{P}$ .

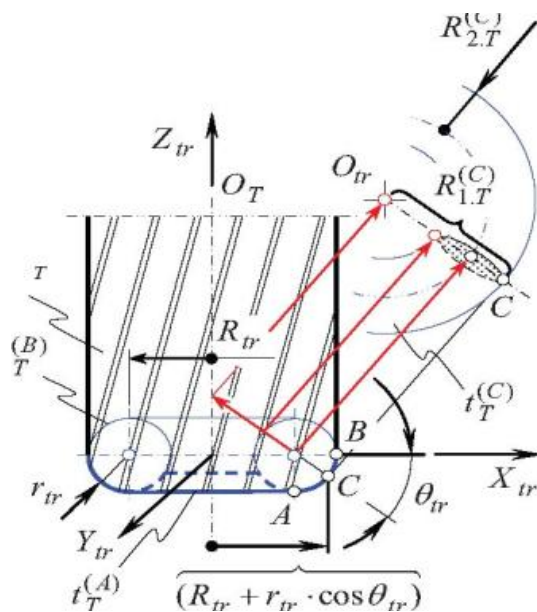


Fig. 7.22. Suprafața generatoare  $\mathbf{T}$  a sculei așchietoare în punctul  $\mathbf{CC}$  de contact  $\mathbf{K}$

De remarcat că:

- a) suprafețele componente ale torului aproximează suprafețele **P** și **T**;
- b) suprafața toroidală a suprafeței generatoare **T** a sculei așchietoare este distinctă de suprafața sculptată **P**.

**Concluzie:** Alegerea suprafeței toroidale pentru aproximarea suprafeței sculptate **P** prezintă avantajul unei acuratețe suficiente, în special pentru suprafețe mai mari, comparativ cu aproximarea prin ecuații de gradul IV, care dau rezultate bune doar în vecinătatea punctului **CC** de contact **K**.

### 7.7.3. Calculul suprafeței torului de aproximație.

Se poate remarca faptul că atunci când suprafața sculptată **P** și suprafața generatoare **T** a sculei așchietoare sunt în contact una cu alta într-un punct **CC** de contact **K**, atunci și suprafețele torului de aproximație sunt în contact una cu alta.

Mai mult, vectorii unitate  $t_{1,P}$  și  $t_{2,P}$  tangenți la suprafața sculptată **P** în punctul **CC** de contact **K** și vectorii  $t_{1,T}$  și  $t_{2,T}$  ai suprafeței generatoare **T** a sculei așchietoare sunt identici cu vectorii tangentă corespunzători ai suprafeței torurilor de aproximație  $Tr_P$  și  $Tr_T$ , ceea ce simplifică reprezentarea analitică a suprafeței torurilor de aproximație.

Fie suprafața sculptată **P** și suprafața generatoare **T** a sculei așchietoare tangente în punctul **T** (Fig. 7.23).

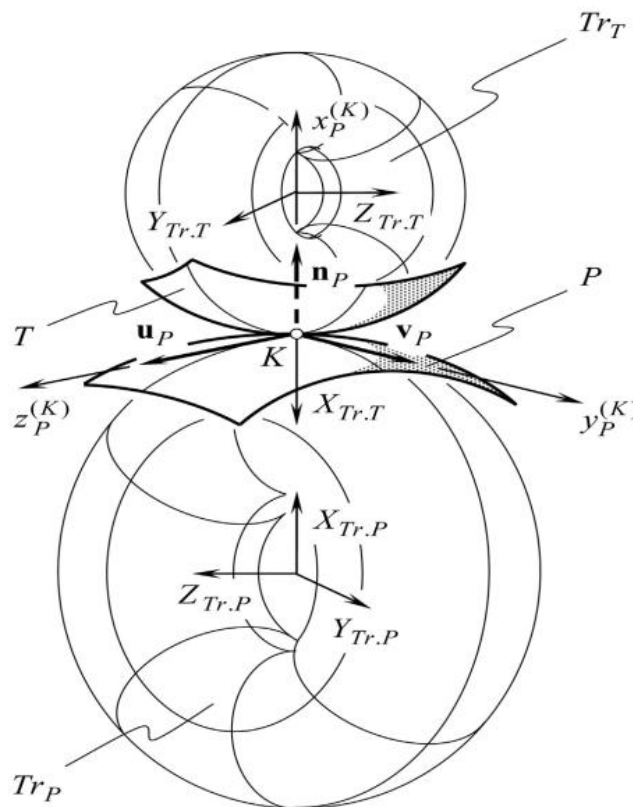


Fig. 7.23. prezintă dispunerea relativă a suprafețelor toroidale de aproximație  $Tr_P$  și  $Tr_T$

Alegem **triedronul lui Darboux** generat de vectorii  $t_{1,P}$ ,  $t_{2,P}$  și  $n_P$  ca fiind originea sistemului de coordonate cartezian locale  $x_p, y_p, z_p$  în punctul **CC** de contact **K** considerat ca punct de origine. Cunoscând pozițiile și direcțiile vectorilor normali ai suprafețelor **P** și **T** în sistemul de coordonate  $X_{NC}, Y_{NC}, Z_{NC}$  al

suclei așchietoare se pot obține operatorii transformărilor de coordonate  $R_S(NC \mapsto P)$  ai transformării de la coordonatele de sistem  $X_{NC}, Y_{NC}, Z_{NC}$  la coordonatele de sistem  $X_P, Y_P, Z_P$  și apoi  $R_S(P \mapsto K_P)$  ai transformării locale de la coordonatele de sistem  $X_P, Y_P, Z_P$  la coordonatele de sistem locale  $x_P, y_P, z_P$ . În final se poate calcula operatorul  $R_S(NC \mapsto P)$ .

În mod similar se pot calcula operatorii  $R_S(NC \mapsto T)$ ,  $R_S(T \mapsto K_T)$  și  $R_S(NC \mapsto K_T)$  corespunzător transformărilor sistemului de coordonate ce compun suprafața generatoare **T** a suclei așchietoare.

În final se pot calcula coordonatele transformărilor sistemului de coordonate directe  $R_S(K_T \mapsto K_P)$  și inverse  $R_S(K_P \mapsto K_T)$  și care închid transformările sistemului de coordonate.

Această procedură permite ca reprezentarea tuturor operatorilor suprafețelor  $r_P$  și  $r_T$  și a celorlalte elemente ale geometriei suprafețelor să fie prezentată în aceleași sistem de coordonate locale  $x_P, y_P, z_P$ .

#### 7.7.4. Evaluarea erorilor de prelucrare a suprafeței sculptate **P**

Pentru calculul erorilor de prelucrare:

$$h_{\Sigma} = a_h \cdot h_{fr} + b_n \cdot h_{ss}$$

sunt necesare valorile erorile  $h_{fr}$  și  $h_{ss}$  care se calculează în mod similar.

Fie ca exemplu calculul erorii  $h_{fr}$ . În Fig. 7.24. se prezintă o secțiune printr-un plan a suprafeței sculptate **P** de către un plan ce trece prin vectorul normal unitar  $n_P$  și vectorul  $F_{fr}$  al direcției de deplasare a suclei de așchietoare. În funcție de alegerea punctului considerat pe suprafața sculptată **P**, secțiunea rezultantă poate avea un profil:

- planar  $K K_1$ ,
- conex  $K_1 K_2$ ,
- concav  $K_2 K_3$ .

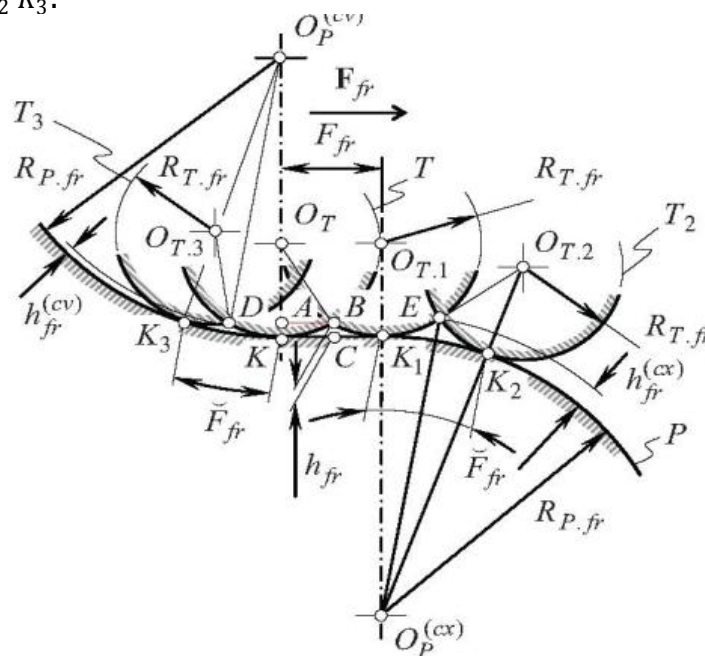


Fig. 7.24. Eroarea de prelucrare  $h_{fr}$  relativă la suprafața sculptată **P**

Calculul erorii  $h_{fr}$  se poate calcula cu formula (Radzevich, 2007), (Radzevich, 2008):

$$h_{fr} \cong \frac{R_{P,fr} (R_{P,fr} + R_{T,fr}) \left(1 - \cos \frac{\check{F}_{fr}}{2 R_{P,fr}}\right)}{R_{P,fr} - (R_{P,fr} + R_{T,fr}) \cos \left(\frac{\check{F}_{fr}}{2 R_{P,fr}}\right)},$$

unde  $R_{P,f}$  și  $R_{T,f}$  sunt razele curburii normale a suprafețelor **P** și respectiv **T**, măsurate pe direcția vectorului  $F_{fr}$ , iar  $\check{F}_f$  este segmentul de arc al vectorului de direcție  $F_{fr}$ .

Calculul razei de curbură normale  $R_{T,fr}$  se poate obține cu ajutorul ecuației:

$$R_{P,fr} = \frac{E_P \cdot G_P}{G_P L_P \sin^2 \xi + M_P \sqrt{E_P G_P} \sin 2\xi + E_P N_P \cos^2 \xi},$$

unde  $\xi$  este unghiul dintre vectorul direcției  $F_{fr}$  și direcțiile principale  $t_{1,P}$  și  $t_{2,P}$  ale suprafeței sculptate **P**.

Similar pentru raza de curbură normală  $R_{T,fr}$ :

$$R_{T,fr} \cong \frac{E_T G_T}{G_T L_T \sin^2 (\xi + \mu) + M_T \sqrt{E_T G_T} \sin 2(\xi + \mu) + E_T N_T \cos^2 (\xi + \mu)},$$

unde cele două suprafețe **P** și **T** sunt reprezentate în același sistem de coordonate  $x_P, y_P, z_P$ , iar  $\mu$  este unghiul dintre normalele celor două suprafețe **P** și **T** în punctul **CC** de contact **K**.

Dacă suprafața sculptată **P** este plană, atunci ecuația erorii totale  $h_f$  se poate simplifica:

$$h_{fr} = R_{T,fr} - \sqrt{R_{T,fr}^2 - 0,25 \check{F}_{T,fr}^2}.$$

Pentru calculul erorii parțiale  $h_{ss}$  se folosește un plan ce trece prin vectorul normal unitar  $n_p$  și vectorul  $F_{ss}$  și care este ortogonal față de planul ce trece prin vectorii  $n_p$  și  $F_r$ .

Prin derivare se poate obține eroarea parțială  $h_{ss}$ :

$$h_{ss} \cong \frac{R_{P,ss} (R_{P,ss} + R_{T,ss}) \left(1 - \cos \frac{\check{F}_{ss}}{2 R_{P,ss}}\right)}{R_{P,ss} - (R_{P,ss} + R_{T,ss}) \cos \left(\frac{\check{F}_{ss}}{2 R_{P,ss}}\right)},$$

unde

$$R_{P,ss} = \frac{E_P G_P}{G_P L_P \cos^2 \xi + M_P \sqrt{E_P G_P} \sin 2\xi + E_P N_P \sin^2 \xi},$$

$$R_{T,ss} \cong \frac{E_T G_T}{G_T L_T \cos^2 (\xi + \mu) + M_T \sqrt{E_T G_T} \sin 2(\xi + \mu) + E_T N_T \sin^2 (\xi + \mu)}$$

și unde  $R_{P,ss}$  și  $R_{T,ss}$  sunt razele curburii normale a suprafețelor **P** și **T** măsurate pe arcul  $\check{F}_{ss}$  care este segmentul de arc al vectorului de direcție  $F_{ss}$ .

### 7.7.5. Eroarea totală a deplasării sculei așchietoare față de suprafața sculptată **P**.

Realizarea suprafeței sculptate **P** se face în limitele unei toleranțe față de cotele de prelucrare, atât datorită mașinii-unelte cu comandă numerică care efectuează prelucrarea, cât și datorită sculei așchietoare a cărei utilizare induce cea mai mare parte a erorii de prelucrare.

Ca urmare, este important a se determina eroarea introdusă de scula așchietoare la eroarea totală rezultantă a suprafeței sculptate **P** față de cotele

proiectate și, în special, este necesară determinarea abaterii maxime admise a sculei așchietoare față de cotele de prelucrare.

Pentru aceasta se calculează distanța minimă de apropiere a celor două suprafețe **P** și **T**. Considerăm cazul ideal când suprafețele **P** și **T** sunt tangente în punctul **CC** de contact **K**.

Definim:

- suprafața sculptată **P** într-un sistem de axe de coordonate carteziene  $x_P, y_P, z_P$ ,
- suprafața  $T_a$  a sculei așchietoare **T** într-un sistem de axe de coordonate  $X_T, Y_T, Z_T$
- $X_{NC}, Y_{NC}, Z_{NC}$  sistemul de axe de coordonate a mașinii cu comandă numerică.

Prin definiție se cunosc suprafețele **P** și **T** în coordonatele  $X_{NC}, Y_{NC}, Z_{NC}$ . Ca urmare, se obțin coordonatele transformărilor de sistem:

- operatorul  $R_S(NC \mapsto P)$  ca rezultat al transformărilor de la coordonatele de sistem  $X_{NC}, Y_{NC}, Z_{NC}$  la coordonatele de sistem  $X_P, Y_P, Z_P$ .
- operatorul  $R_S(P \mapsto K_P)$  ca rezultat al transformării de la coordonatele de sistem  $X_P, Y_P, Z_P$  la coordonatele de sistem  $x_p, y_p, z_p$ .

În acest fel, operatorii  $R_S(NC \mapsto P)$  și  $R_S(P \mapsto K_P)$  ai transformărilor de coordonate sunt exprimați în funcție de transformările elementare de sistem.

În final, operatorul  $R_S(NC \mapsto K_P)$  se poate calcula ca rezultat al transformărilor de sistem corespunzătoare. În mod similar se calculează operatorii  $R_S(NC \mapsto T)$ ,  $R_S(T \mapsto K_T)$  și  $R_S(NC \mapsto K_T)$  ai suprafeței generatoare **T** a sculei așchietoare și operatorul transformării directe  $R_S(K_T \mapsto K_P)$  și inverse  $R_S(K_P \mapsto K_T)$  a transformării coordonatelor de sistem.

Se poate remarca existența egalității  $R_S(K_T \mapsto K_P) = R_S^{-1}(K_P \mapsto K_T)$ , unde operatorii  $R_S(K_T \mapsto K_P)$  și  $R_S^{-1}(K_P \mapsto K_T)$  închid transformările de coordonate sistem, permițând reprezentarea suprafețelor  $r_p$  și  $r_t$  într-un sistem de coordonate comun.

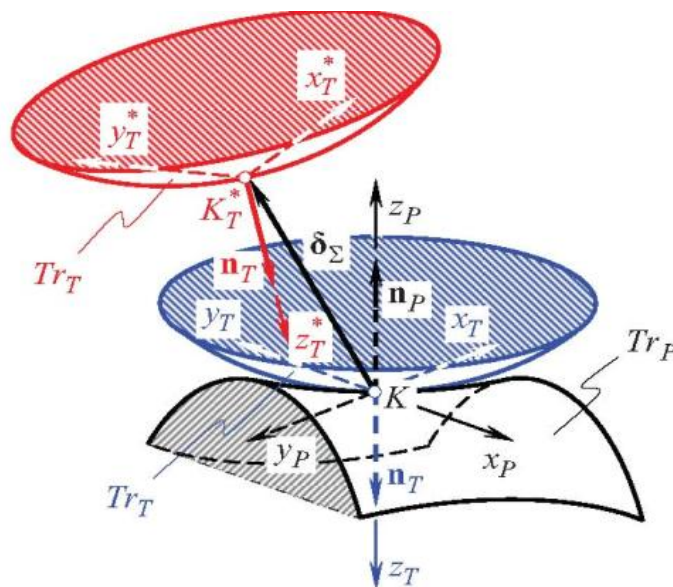


Fig. 7.25. Configurația suprafeței toroidale locale  $Tr_p$  și  $Tr_t$ .

În mod ideal, când suprafața generatoare **T** a sculei așchietoare se consideră tangentă la suprafața sculptată **P**, atunci originile celor două

coordonate de sistem  $x_p, y_p, z_p$  și  $x_T, y_T, z_T$  coincid în punctul **CC** de contact **K** al suprafețelor **P** și **T** (Fig. 7.25).

În realitate însă, suprafețele **P** și **T** nu sunt în contact perfect, ele fiind distanțate una față de alta, ori suprafața **T** penetrează suprafața **P**. Ca urmare a erorilor inerente procesului de prelucrare au loc deplasări inevitabile, iar sistemele de coordonate locale  $x_T, y_T, z_T$  se deplasează la poziția reală  $x_T^*, y_T^*, z_T^*$ .

Fie  $\delta_\Sigma$  deplasarea liniară totală a sculei așchietoare față de suprafața sculptată **P** și  $\delta_x, \delta_y, \delta_z$  deplasările liniare elementare de-a lungul axelor  $x_p, y_p, z_p$ ,

$$\text{unde } \delta_\Sigma = \begin{bmatrix} \delta_x \\ \delta_y \\ \delta_z \\ 1 \end{bmatrix}.$$

În plus, considerăm și deplasările unghiulare  $\theta_x, \theta_y, \theta_z$  ale sistemului de coordonate  $x_T, y_T, z_T$  față de sistemul de coordonate  $x_p, y_p, z_p$ .

Deplasarea unghiulară totală  $\theta_\Sigma$  a sculei așchietoare față de suprafața **P** se poate exprima în funcție de deplasările unghiulare  $\theta_x, \theta_y, \theta_z$  definite cu ajutorul axelor de coordonate  $x_p, y_p, z_p$ :

$$\theta_\Sigma = \begin{bmatrix} \theta_x \\ \theta_y \\ \theta_z \\ 1 \end{bmatrix}$$

Ca urmare, coordonatele locale de sistem  $x_T, y_T, z_T$  asociate sculei așchietoare se transformă în coordonatele de poziție  $x_T^*, y_T^*, z_T^*$ .

Cum s-a arătat, deplasările  $\delta_\Sigma$  și  $\theta_\Sigma$  apar inevitabil datorită deplasărilor dintre suprafețele **P** și **T** sau când suprafețele **P** și **T** interferă.

Cele două deplasări,  $\delta_\Sigma$  liniară și  $\theta_\Sigma$  unghiulară, se pot exprima în funcție de deplasările elementare corespunzătoare ale sistemelor de coordonate locale între punctele  $K_p \equiv K$  și punctul  $K_T$ , unde  $K_p$  și  $K_T$  reprezintă originile sistemelor locale de coordonate  $x_p, y_p, z_p$  și respectiv  $x_T^*, y_T^*, z_T^*$ . Pentru a închide lanțul de transformări este necesară definirea operatorului  $\mathbf{R}_S(K_T^* \mapsto K)$  a rezultantei transformărilor sistemului de coordonate și a operatorului  $\mathbf{R}_S(K_p \mapsto K_T^*) = \mathbf{R}_S^{-1}(K_T^* \mapsto K_p)$  datorate transformării inverse a sistemului de coordonate.

În compunerea operatorilor  $\mathbf{R}_S(K_T^* \mapsto K_p)$  și  $\mathbf{R}_S(K_p \mapsto K_T^*)$  folosim operatorii definiți anteriori:

$$\mathbf{R}_S(P \mapsto K_p), \mathbf{R}_S(P \mapsto K_T),$$

atunci:

$$\mathbf{R}_S(K_T^* \mapsto K_p) = \mathbf{R}_S^{-1}(P \mapsto K_T) \cdot \mathbf{R}_S(P \mapsto K_p).$$

Ca urmare a transformărilor coordonatelor de sistem, suprafețele  $r_p$  și  $r_T$  se pot reprezenta în același sistem de coordonate.

Cazul ideal: suprafețele **P** și **T** sunt în contact perfect în punctul **CC** de contact **K** și când nu se iau în considerare deplasările suprafeței **T** față de suprafața **P**, adică un punct  $K_p$  al suprafeței **T** converge spre punctul comun **K**. Ca urmare, există identitatea:  $K_p \equiv K_T \equiv K$ .

Se poate observa că:

- cea mai mică distanță dintre suprafețele **P** și **T** poate fi interpretată ca distanța dintre punctele  $K_p$  și  $K_T$ ;
- această distanță este identică cu cea mai mică distanță dintre suprafețele toroidale de aproximație  $T_{r_p}$  și  $T_{r_T}$ ;
- ca urmare, distanța  $K_p K_T = 0$ , când  $K_p \equiv K_T \equiv K$ .



Cazul real: suprafața generatoare **T** a sculei așchietoare este deplasată față de suprafața sculptată **P** cu:

- o deplasare liniară dată de mărimea vectorului  $\delta_{\Sigma}$  și
- o deplasare unghiulară dată de mărimea vectorului  $\theta_{\Sigma}$ .

Se poate observa că dacă:

- $\delta_{\Sigma} > 0$ , scula așchietoare este situată în afara suprafeței **P**;
- $\delta_{\Sigma} < 0$ , scula așchietoare interferă cu suprafața **P**.

Ca urmare:

- suprafața generatoare **T** a sculei așchietoare este situată diferit de suprafața sculptată **P**;
- suprafața **T** intersectează suprafața **P** cu consecințe asupra procesului de prelucrare.
- cea mai mică distanță dintre suprafețele **P** și **T** nu este egală cu zero, putând fi or negativă ori pozitivă;

Aceasta ne conduce la o observație importantă, și anume:

**Cea mai mică distanță dintre cele două suprafețe regulate P și T este dată de perpendiculara comună a celor două suprafețe, și nu de distanța dintre punctele  $K_T^*$  și  $K (\equiv K_P)$ .**

Presupunem că sistemul local de coordonate  $x_T^*, y_T^*, z_T^*$  în raport cu sistemul  $x_P, y_P, z_P$  este cunoscut.

Cunoscându-se operatorul  $\mathbf{R}_s (K_T^* \mapsto K_P)$  al transformărilor sistemului de coordonate și utilizând operatorul  $\mathbf{R}_s (K_T^* \mapsto K_P)$ , împreună cu operatorul  $\mathbf{R}_s (K_P \mapsto K_T)$ , se obține matricea  $\mathbf{D}_s (T/P)$  a deplasării suprafeței generatoare **T** a sculei așchietoare față de suprafața sculptată **P**.

Referitor la matricea  $\mathbf{D}_s (T/P)$  se poate observa:

- că este compusă din totalitatea deplasărilor elementare  $n_i$  ( $i = 1, 2, \dots, n$ ) a sistemului de coordonate  $x_i^{real}, y_i^{real}, z_i^{real}$ , față de sistemul de coordonate nominal  $x_i, y_i, z_i$ ,
- în plus, matricea  $\mathbf{D}_s (T/P)$  calculează deplasarea reală totală a sculei așchietoare în sistemul de coordonate  $x_T^*, y_T^*, z_T^*$  față de poziția ideală exprimată în coordonatele  $x_T, y_T, z_T$  referitor la suprafața sculptată **P**;

Aceasta permite introducerea matricei deplasărilor elementare  $\mathbf{ds}_i (real_i \mapsto nom_i)$ :

$$\mathbf{ds}_i (real_i \mapsto nom_i) = \begin{bmatrix} \cos \theta_{xx}^{(i)} & \cos \theta_{xy}^{(i)} & \cos \theta_{xz}^{(i)} & \delta_x^{(i)} \\ \cos \theta_{xy}^{(i)} & \cos \theta_{yy}^{(i)} & \cos \theta_{yz}^{(i)} & \delta_y^{(i)} \\ \cos \theta_{xz}^{(i)} & \cos \theta_{yz}^{(i)} & \cos \theta_{zz}^{(i)} & \delta_z^{(i)} \\ 0 & 0 & 0 & 1 \end{bmatrix},$$

deplasări care pot fi liniare sau unghiulare.

Considerând toate deplasările elementare dintre sistemele elementare dintre sistemele de coordonate  $x_T^*, y_T^*, z_T^*$  la sistemele de coordonate  $x_T, y_T, z_T$ , atunci se poate obține matricea rezultantă  $\mathbf{D}_s (T/P)$ :

$$\mathbf{D}_s (T/P) = \prod_{i=1}^n \mathbf{ds}_i (real_i \mapsto nom_i),$$

unde  $real_i$  și  $nom_i$  reprezintă pozițiile reale și respectiv, pozițiile cerute de proiectul de execuție ale prelucrărilor  $i$  ( $i = 1, 2, \dots, n$ ).

Când operatorul  $\mathbf{R}_s (K_T^* \mapsto K_P)$ , împreună cu operatorul  $\mathbf{R}_s (K_P \mapsto K_T)$  sunt cunoscuți, matricea  $\mathbf{D}_s (T/P)$  se poate exprima în funcție de operatorii  $\mathbf{R}_s (K_T^* \mapsto K_P)$  și  $\mathbf{R}_s (K_P \mapsto K_T)$  a rezultantei transformărilor de coordonate:

$$\mathbf{D}_s (T/P) = \mathbf{R}_s (K_P \mapsto K_T) \cdot \mathbf{R}_s (K_T^* \mapsto K_P).$$

În final, matricea  $\mathbf{D}_s(T/P)$  se poate exprima în funcție de deplasările elementare liniare și unghiulare ale sistemului local de coordonate  $x_T^*, y_T^*, z_T^*$  față de sistemul de coordonate  $x_T, y_T, z_T$ .

$$\mathbf{D}_s(T/P) = \begin{bmatrix} \cos \theta_{xx} & \cos \theta_{xy} & \cos \theta_{xz} & \delta_x \\ \cos \theta_{xy} & \cos \theta_{yy} & \cos \theta_{yz} & \delta_y \\ \cos \theta_{xz} & \cos \theta_{yz} & \cos \theta_{zz} & \delta_z \\ 0 & 0 & 0 & 1 \end{bmatrix},$$

În mod similar se poate calcula matricea rezultantă a deplasărilor  $\mathbf{D}_s(T/P)$  sau se poate utiliza relația:

$$\mathbf{D}_s(T/P) = \mathbf{D}_s^{-1}(T/P).$$

Elementele matricei  $\mathbf{D}_s(T/P)$  pot fi calculate în funcție de elementele reale ale deplasărilor față de pozițiile ideale rezultante din proiectul de execuție și care includ:

- deplasările liniare și unghiulare ale elementelor mecanice;
- deplasările cauzate de elasticitatea materialelor componente supuse prelucrării;
- deplasările cauzate de modificările termice ale materialelor componente în timpul prelucrării.

Teoretic, elementele matricei rezultante a deplasărilor  $\mathbf{D}_s(T/P)$  se pot determina prin măsurători directe ale sistemului mașină-unealtă/sculă așchietoare.

În practică, deplasările suprafeței  $\mathbf{T}$  față de suprafața sculptată  $\mathbf{P}$  sunt dificil de determinat datorită multitudinii și complexității elementelor componente ale prelucrării.

Ca urmare, este dificil a se utiliza matricea deplasărilor  $\mathbf{D}_s(T/P)$  la calculul deplasărilor configurației reale a suprafeței generatoare  $\mathbf{T}$  a sculei așchietoare față de suprafața sculptată  $\mathbf{P}$ . În schimb, se poate utiliza matricea toleranței  $\mathbf{TI}(T/P)$  și care se poate calcula în mod similar calculului matricei  $\mathbf{D}_s(T/P)$ , dar în loc de a folosi deplasările elementare  $\mathbf{ds}_i(\text{real}_i \mapsto \text{nom}_i)$  ale suprafeței  $\mathbf{T}$  față de suprafața  $\mathbf{P}$ , folosim toleranțele corespunzătoare  $\mathbf{tl}_i(\text{real}_i \mapsto \text{nom}_i)$  din relația

$$\mathbf{TI}(T/P) = \prod_{i=1}^n \mathbf{tl}_i(\text{real}_i \mapsto \text{nom}_i)$$

și care conduce la aproximația

$$\mathbf{D}_s(T/P) \cong \mathbf{TI}(T/P)$$

și unde  $\mathbf{TI}(T/P)$  poate fi calculat relativ mai ușor decât  $\mathbf{D}_s(T/P)$ .

S-a considerat mai sus suprafața de aproximație toroidală  $T_{r_T}$  în sistemul local de coordonate  $x_T^*, y_T^*, z_T^*$ , având ecuația  $\mathbf{r}_{tr.T}(\theta_{tr.T}, \varphi_{tr.T})$  și care în sistemul local de coordonate  $x_P, y_P, z_P$  are forma:

$$\mathbf{r}_{tr.T}^{(P)}(\theta_{tr.T}, \varphi_{tr.T}) = \mathbf{D}_s(T/P) \bullet \mathbf{r}_{tr.T}(\theta_{tr.T}, \varphi_{tr.T}).$$

Ecuația suprafeței de aproximație toroidală  $T_{r_T}$ :

$$\mathbf{r}_{tr.T}(\theta_{tr.T}, \varphi_{tr.T})$$

este inițial determinată în sistemul local de coordonate  $x_P, y_P, z_P$ , iar ecuația de mai sus descrie suprafața toroidală de aproximație  $T_{r_T}$  în aceleași coordonate de sistem  $x_P, y_P, z_P$ , ceea ce conduce la concluzia că suprafețele toroidale  $T_{r_P}$  și  $T_{r_T}$  sunt determinate.

Ca urmare, pentru calculul distanței minime dintre cele două suprafețe regulate  $\mathbf{P}$  și  $\mathbf{T}$  se consideră toleranța  $\delta_P$  a suprafeței locale  $\mathbf{P}_{real}$  față de



suprafața proiectată nominală  $P_{nom}$ , ceea ce reduce problema la studiul celor două suprafețe toroidale.

Fie suprafețele  $\mathbf{P}$  și  $\mathbf{T}$  definite în sistemul de coordonate comun  $x_{NC}, y_{NC}, z_{NC}$  asociat mașinii-unelte cu comandă numerică și approximate de către suprafețele toroidale de aproximație  $T_{r_p}$  și respectiv  $T_{r_t}$ . Punctele  $K_P$  și  $K_T^*$  se aleg de către suprafețele toroidale de aproximație  $T_{r_p}$  și respectiv  $T_{r_t}$  pe care le redefinim ca fiind  $p_i$  și  $t_i$ .

Dându-se configurația suprafețelor toroidale de aproximație  $T_{r_p}$  și respectiv  $T_{r_t}$  se poate calcula **coeficientul de aproximație CDA** dintre aceste suprafețe, ca o primă aproximare dintre suprafețele  $\mathbf{P}$  și  $\mathbf{T}$  și care este măsurată pe perpendiculara comună la aceste suprafețe, unde vectorul normal unitar  $n_{T_{r_p}}$  la suprafața toroidală  $T_{r_p}$  este cuprins în planul ce trece prin axa de rotație a suprafeței de rotație  $T_{r_p}$ .

Pentru calculul **coeficientului de aproximație CDA** dintre suprafețele  $\mathbf{P}$  și  $\mathbf{T}$  se utilizează în primă aproximație calculul CDA dintre suprafețele toroidale  $T_{r_p}$  și  $T_{r_t}$  de-a lungul perpendicularei comune la cele două suprafețe și unde vectorul unitar normal  $n_{T_{r_p}}$  la suprafața toroidală  $T_{r_p}$  este cuprins în planul ce trece prin axa de rotație a suprafeței  $T_{r_p}$ . Ciclul se repeta pînă când CDA dintre suprafețele  $\mathbf{P}$  și  $\mathbf{T}$  devine mai mic decât o valoare maximă admisă prin proiectul tehnic de realizare a suprafeței sculptate.

### 7.7.6. Metode de mărire a preciziei suprafeței sculptate $\mathbf{P}$

După cum s-a arătat anterior, diferența dintre suprafața sculptată reală  $P_{real}$  și suprafața sculptată  $\mathbf{P}$  cerută prin proiectul tehnic se datorește în principal a cel puțin două componente: înălțimea  $h_\Sigma$  a rugozității și toleranța  $\delta_p$  a suprafeței.

Ca urmare, diferența rezultantă dintre suprafața sculptată reală și cea nominală este:

$$\delta_\Sigma = h_\Sigma + \delta_p.$$

Evident că ambele componente trebuie reduse pentru a crește acuratețea prelucrării, dar ne vom concentra asupra componentei  $h_\Sigma$ , care este rezultanta a cel puțin două componente:

- înălțimea rugozității locale în punctul considerat  $h_{fr}$  și
- înălțimea devierii elementelor locale  $h_{ss}$  și care trebuie să fie mai mică decât toleranța rezultantă  $[h]$  acceptată în punctul considerat, adică  $h_{ss} = c [h]$ , unde  $c$  este un parametru local al toleranței  $[h]$ ,  $0 \leq c \leq 1$ .

În punctul  $\mathbf{CC}$  de contact  $\mathbf{K}$  considerat al suprafeței sculptate  $\mathbf{P}$  se poate stabili o valoare optimală a parametrului  $c$  și care se poate exprima în funcție de coordonatele carteziene a suprafeței sculptate  $\mathbf{P}$ :

$$c = c(U_P, V_P).$$

Dacă acceptăm că  $h_\Sigma = h_{fr} + h_{ss}$ , atunci există egalitatea pentru devierea elementară  $h_{fr}$ :  $h_{fr} = (c - 1) [h]$ , ca urmare rugozitatea  $h_\Sigma$  se poate exprima în funcție de parametrul  $c$ , adică:  $h_\Sigma = h_\Sigma(c)$ .

Pentru a afla optimul lui  $h_\Sigma$  considerăm ecuația:

$$\frac{\partial h_\Sigma(c)}{\partial c} = 0$$

și care este condiția pentru ca funcția  $h_\Sigma = h_\Sigma(c)$  să admită un minimum. În plus, inegalitatea

$$\frac{\partial^2 h_{\Sigma}(c)}{\partial c^2} > 0$$

trebuie să existe, de asemenea, din condiția existenței unui minim. Or, condițiile de mai sus permit minimizarea funcției  $h_{\Sigma} = h_{\Sigma}(c)$  cu consecințe benefice asupra procesului de prelucrare a suprafeței sculptate **P**.

### 7.7.7. Principiul liniarității rugozităților

Pentru simplificarea calculelor, în capitolele precedente s-a considerat că există relația:

$$h_{\Sigma} = h_{fr} + h_{ss},$$

Or, aceasta s-a bazat pe supoziția că elementele rugozității sunt funcții liniare, ceea ce nu corespunde realității, atât funcțiile  $h_{fr} = h_{fr}(R_{p,fr}, R_{t,fr}, \check{F}_{fr})$ , cât și  $h_{ss} = h_{ss}(R_{p,ss}, R_{t,ss}, \check{F}_{ss})$  fiind funcții neliniare.

Ca urmare, se impune întrebarea: în ce condiții principiul asumat al liniarității rugozității este valid și corespunde realității tehnologice? Răspunsul la această întrebare este că acest principiu este valid, dacă și numai dacă relația  $\check{h}_{\Sigma} - h_{\Sigma} \leq [\Delta h_{\Sigma}]$  are loc și unde  $[\Delta h_{\Sigma}]$  este toleranța rezultată din calculul rugozității.

Totodată, această întrebare conduce la necesitatea continuării studierii fenomenului prezentat în condiții cât mai apropiate de realitate, și care presupune utilizarea domeniului matematic neliniar, constituind o direcție de abordare ulterioară, extrem de interesantă și cu un larg potențial de cercetare.

## 7.8. Prelucrarea optimală a suprafeței sculptate **P**

Prelucrarea optimală a suprafeței sculptate **P** reprezintă o cerință principală a prelucrării. Cu cât prelucrarea pe mașini-unelte cu comandă numerică se apropie de prelucrarea optimală, cu atât costul prelucrării este mai scăzut. Ținând cont de costul ridicat al prelucrării pe aceste mașini, acest criteriu reprezintă un important factor ce trebuie avut în considerare.

### 7.8.1. Criterii de optimizare a prelucrării suprafeței sculptate **P**

Rezolvarea problemei prelucrării optimale a suprafeței sculptate **P** necesită alegerea unor criterii de optimizare a procesului de prelucrare, în special legate de:

A. productivitatea *prelucrării* suprafeței sculptate **P** și care se poate îmbunătăți prin micșorarea timpului necesar procesului de prelucrare. Cum s-a arătat mai sus, datorită costului ridicat al mașinilor-unelte cu comandă numerică, acest criteriu este deosebit de important în practica prelucrării suprafeței sculptate **P**.

B. productivitatea *generării* suprafeței sculptate **P** și care are cel puțin 3 aspecte ale generării:

1. generarea locală a suprafeței sculptate **P**: analiza generării locale a suprafeței sculptate **P** are loc în vecinătatea punctului **CC** de contact **K** dintre suprafața sculptată **P** și suprafața **T** a sculei așchietoare;
2. generarea regională a suprafeței sculptate **P**: această analiză trebuie desfășurată în contextul regional al zonei de contact dintre suprafețele **P** și **T**;

3. generarea globală a suprafeței sculptate **P**: în final este necesar ca analiza parțială în vecinătatea punctului de contact a suprafeței sculptate **P** să țină cont de conturul suprafeței sculptate **P** în ansamblul ei.

Este evident că parametrii suprafeței sculptate **P** variază în timp, ceea ce conduce la necesitatea studierii procesului de fabricație în funcție de acest parametru.

Considerând:

- productivitatea  $P_{GS} = P_{GS}(t)$  a generării suprafeței sculptate **P**,
- vectorul  $\vec{F}_{fr} = |\mathbf{F}_{fr}|$  al avansului sculei așchietoare și
- vectorul  $\vec{F}_{ss} = |\mathbf{F}_{ss}|$  al vitezei prelucrării adaosului de prelucrare,

atunci productivitatea generării suprafeței sculptate **P** se poate calcula cu formula:

$$P_{GS}(t) = |\mathbf{F}_{fr} \cdot \mathbf{F}_{ss}|,$$

unde  $t$  reprezintă timpul.

Vectorii  $\mathbf{F}_{fr}, \mathbf{F}_{ss}$  sunt ortogonali, adică  $\mathbf{F}_{fr} \perp \mathbf{F}_{ss}$ . În cazul general, vectorii  $\mathbf{F}_{fr}$  și  $\mathbf{F}_{ss}$  sunt situați la un unghi  $\theta$  unul față de altul.

Ca urmare, productivitatea generării suprafeței sculptate **P** se poate calcula cu formula

$$P_{GS}(t) = \vec{F}_{fr} \cdot \vec{F}_{ss} \cdot \sin \theta$$

și care ne arată că pentru creșterea productivității  $P_{GS}(t)$  a generării suprafeței sculptate **P** este necesară mărirea celor doi vectori corespunzători și că aceasta este semnificativ redusă când  $\theta \neq 90^0$ .

Este evident că mărind productivitatea prelucrării se mărește suprafața prelucrată. Ca urmare  $P_{GS}(t)$  depinde de:

- coordonatele punctului **CC** de contact **K** a celor două suprafețe **P** și **T**,
- unghiul  $\mu$  dintre vectorii de direcție a celor două suprafețe și vectorii de direcție a mișcării relative a sculei așchietoare în punctul **CC** de contact **K**:

$$P_{sg} = P_{sg}(U_p, V_p, U_T, V_T, \mu, \varphi)$$

Suprafața medie generată  $\tilde{P}_{sg}$  se poate defini ca:

$$\tilde{P}_{sg} = \frac{S_{sg}}{t_{\Sigma}},$$

unde  $S_{sg}$  reprezintă totalul suprafeței generate în intervalul total de timp  $t_{\Sigma}$ . Prin diferențierea lui  $\tilde{P}_g$  se poate obține viteza generării suprafeței sculptate **P**:

$$P_{sg} = \frac{dS_{sg}}{dt}$$

și care permite analiza eficienței procesului de prelucrare a întregii suprafețe **P**.

Cantitatea medie instantanee de material prelucrat este:

$$\tilde{P}_{mr} = \frac{V_{mr}}{t_{\Sigma}},$$

unde:

- $V_{mr}$  este volumul total de material prelucrat;
- $t_{\Sigma}$  este timpul total al prelucrării.

Identific, pentru a caracteriza eficiența operației de prelucrare se poate utiliza rata instantanee a vitezei de prelucrare:

$$P_{mr}(t) = \frac{dV_{mr}}{dt}.$$

Când suprafețele **P** și **T** sunt în contact în punctul **CC** de contact **K**, deplasările maxime permise ale sculei așchietoare sunt limitate de valorile limită

ale sculei aşchietoare  $[\check{F}_{fr}]$  și  $[\check{F}_{ss}]$  și care sunt specificate de cerințele tehnologice ale procesului de prelucrare în funcție de toleranța  $[h]$  impusă prelucrării.

Utilizarea sculei aşchietoare la obținerea suprafeței sculptate **P** induce o rugozitate a acestei suprafețe  $h_{fr}$  și care trebuie să fie sub limita toleranței totale  $[h]$ . Or,  $[\check{F}_{fr}]$  depinde de valoarea admisă a toleranței parțiale  $[h_{fr}]$ .

Ca urmare, calculul ratei  $[\check{F}_{fr}]$  se poate exprima ca:

$$[\check{F}_{fr}] \cong 2 R_{P.fr} \arccos \frac{R_{P.fr}^2 + R_{T.fr} (R_{P.fr} + [h_{fr}] \operatorname{sgn} R_{P.fr})}{(R_{P.fr} + R_{T.fr}) (R_{P.fr} + [h_{fr}] \operatorname{sgn} R_{P.fr})}$$

Din

$$R_{P.ss} = \frac{E_P G_P}{G_P L_P \cos^2 \xi + M_P \sqrt{E_P G_P} \sin 2\xi + E_P N_P \sin^2 \xi},$$

și

$$R_{T.ss} \cong \frac{E_T G_T}{G_T L_T \cos^2 (\xi + \mu) + M_T \sqrt{E_T G_T} \sin 2(\xi + \mu) + E_T N_T \sin^2 (\xi + \mu)}$$

se pot obține razele de curbură normale  $R_{P.fr}$  și  $R_{T.fr}$ .

Presupunem că există inegalitatea  $\check{F}_{fr} \ll R_{P.fr}$  și ca urmare:

$$\check{F}_{fr} \cong AB = F_{fr}.$$

Considerăm că  $[h_{fr}]^2$  este neglijabil și îl putem elimina din calculul de mai sus. În practică,  $\check{F}_{ss}$  este cel mai important factor care afectează suprafața generată  $P_{gs}$ , pentru calculul limitei maxime a deplasării  $[\check{F}_{fr}]$ .

În mod similar se calculează

$$[\check{F}_{ss}] \cong 2 R_{P.ss} \arccos \frac{R_{P.ss}^2 + R_{T.ss} (R_{P.ss} + [h_{ss}] \operatorname{sgn} R_{P.ss})}{(R_{P.ss} + R_{T.ss}) (R_{P.ss} + [h_{ss}] \operatorname{sgn} R_{P.ss})},$$

unde  $R_{P.ss}$  și  $R_{T.ss}$  sunt razele normale de curbură și rezultă din ecuațiile lui  $R_{P.ss}$  și  $R_{T.ss}$ .

Din practică rezultă că determinarea condițiilor pentru care productivitatea generării suprafețelor este maximă are o importanță deosebită la prelucrarea optimală pe mașini-unelte cu comandă numerică.

Productivitatea generării suprafeței  $P_{sg}^{max}$  poate atinge o rată maximă, dacă și numai dacă, productivitatea instantanee a generării suprafeței  $P_{sg}^{max}(t)$  este maximă în orice punct **CC** de contact **K** al suprafețelor **P** și **T**.

Pentru calculul condițiilor de maximă productivitate instantanee se folosește ecuația

$$P_{sg}^{max}(t) = [\check{F}_{fr}] \cdot [\check{F}_{ss}] \sin \theta,$$

din care rezultă că ambii factori  $[\check{F}_{fr}]$  și  $[\check{F}_{ss}]$  trebuie să atingă valoarea maximă.

În concluzie, ambii factori au valori extreme în jurul aceluiași valori ai parametrilor de intrare. Ca urmare, nu numai că funcția  $P_{sg}^{max}(t)$  se poate utiliza pentru rezolvarea problemei optimizării productivității prelucrării, ci și pentru fiecare din cei doi factori de mai sus. De exemplu, funcția  $P_{sg}^{max}(t)$  a productivității instantanee se poate substitui cu **coeficientul de conformitate**  $C_{nf_R}(P/T)$  a suprafețelor **P** și **T**, substituție care simplifică calculul lui  $P_{sg}^{max}(t)$ .

### 7.8.2. Calculul parametrilor optimali ai prelucrării suprafeței sculptate **P**

Calculul parametrilor optimali ai prelucrărilor suprafeței sculptate **P** implică dezvoltarea unor procedee de calcul care să răspundă acestor cerințe și care în practică se realizează prin 3 pași:

- la nivel local;
- la nivel regional;
- la nivel global.

A) Generarea locală a suprafeței se poate face considerând suprafața elementară a suprafeței sculptate **P** ce urmează a fi realizată în punctul **CC** de contact **K**:

Din ecuația **coeficientului de conformitate**  $C_{nf_R} (P/T)$  al celor două suprafețe **P** și **T**:

$$C_{nf_R} (P/T) \Rightarrow r_{cnf} (\varphi, \mu) =$$

$$= \sqrt{\left| \frac{E_P G_P}{L_P G_P \cos^2 \varphi - M_P \sqrt{E_P G_P} \sin 2\varphi + N_P E_P \sin^2 \varphi} \right|} \operatorname{sgn} \Phi_{2,P}^{-1}$$

$$+ \sqrt{\left| \frac{E_T G_T}{L_T G_T \cos^2 (\varphi + \mu) - M_T \sqrt{E_T G_T} \sin 2(\varphi + \mu) + N_T E_T \sin^2 (\varphi + \mu)} \right|}$$

calculul diametrului  $d_{cnf}$  a lui  $C_{nf_R} (P/T)$  se obține după formula:

$$d_{cnf} = d_{cnf} (U_P, V_P, U_T, V_T, \mu, \varphi).$$

Pentru ca un punct al suprafeței generatoare **T** a sculei așchietoare să poată fi un punct optimal sunt necesare condițiile:

$$\frac{\partial d_{cnf}}{\partial U_T} = 0 \text{ și } \frac{\partial d_{cnf}}{\partial V_T} = 0.$$

În plus pentru determinarea condițiilor suficiente pentru calculul lui  $d_{cnf}^{min}$  este necesar ca inegalitățile:

$$\begin{vmatrix} \frac{\partial^2 d_{cnf}}{\partial U_T^2} & \frac{\partial^2 d_{cnf}}{\partial U_T \partial V_T} \\ \frac{\partial^2 d_{cnf}}{\partial U_T \partial V_T} & \frac{\partial^2 d_{cnf}}{\partial V_T^2} \end{vmatrix} > 0 \text{ și } \frac{\partial^2 d_{cnf}}{\partial U_T^2} > 0$$

să fie satisfăcute.

Rezolvarea ecuațiilor diferențiale de mai sus și impunerea condițiilor suficiente pentru calculul lui  $d_{cnf}^{min}$  conduce la calculul coordonatelor carteziene  $U_T^{opt}$  și  $V_T^{opt}$  ale unui punct optimal  $K_T$  a suprafeței generatoare **T** a sculei așchietoare.

Pentru a obține productivitatea maximă posibilă generării suprafeței sculptate **P** este necesar ca punctul considerat  $K_P$  al suprafeței **T** a sculei generatoare să coincidă cu punctul optimal  $K_T$  al suprafeței **P**. iar atunci când punctele  $K_P$ ,  $K_T$  și  $K$  coincid, se va considera un punct unic  $K$  ( $K_P \equiv K_T \equiv K$ ).

Punctele de contact impun restricții importante la mișcarea relativă a suprafeței **T** față de suprafața **P**. În acest caz, singura mișcare permisă pentru suprafețele **P** și **T** în contact, se poate desfășura numai în punctul **CC** de contact **K**.

În funcție de parametrii suprafețelor **P** și **T** în punctul **CC** de contact **K**, suprafața generatoare **T** a sculei așchietoare poate fie să se rotească în jurul vectorului normal comun  $n_p$ , fie să se deplaseze cu un unghi dat în jurul aceluiași vector, nefiind permise, în acest caz, alte mișcări relative pentru suprafețele **P** și **T**.

Fie  $\mu$  unghiul dintre suprafețele **P** și **T** în contact și ecuația diametrului  $d_{cnf}$  a **coeficientului de conformitate**  $C_{nf_R} (P/T)$ :

$$d_{cnf} = d_{cnf} (U_P, V_P, U_T, V_T, \mu, \varphi).$$

Unghiul optimal  $\mu^{opt}$  poate fi calculat ca soluție a ecuației diferențiale:

$$\frac{\partial d_{cnf}}{\partial \mu} = 0$$

și care să satisfacă condiția necesară și suficientă:

$$\frac{\partial^2 d_{cnf}}{\partial \mu^2} > 0.$$

Or, aceasta ne permite obținerea punctului minimal  $d_{cnf}^{min}$  și care este optimul local al suprafeței **T** a sculei așchietoare față de suprafața sculptată **P**.

Ca urmare, în funcție de soluția ecuației diferențiale:

$$\frac{\partial d_{cnf}}{\partial \mu} = 0,$$

sculele așchietoare trebuie să se deplaseze în jurul vectorului  $n_p$  după un unghi optimal  $\mu^{opt}$  relativ la suprafața **P**.

Direcția după care diametrul curent  $d_{cnf}$  este măsurată face un unghi  $\varphi$  cu direcția principală  $t_{1,P}$  a suprafeței sculptate **P**.

Ca urmare, cu ajutorul ecuației de mai sus:

$$\frac{\partial d_{cnf}}{\partial \mu} = 0$$

și satisfăcând condiția necesară și suficientă dată, se poate obține valoarea optimală  $\varphi^{opt}$  a unghiului  $\varphi$ .

Fie vectorul mișcării sculei așchietoare  $F_{fr}$  care se deplasează după unghiul  $\xi^{opt} = \varphi^{opt} + 90^0$ , unghi care specifică direcția optimală după care punctul **CC** de contact **K** se deplasează.

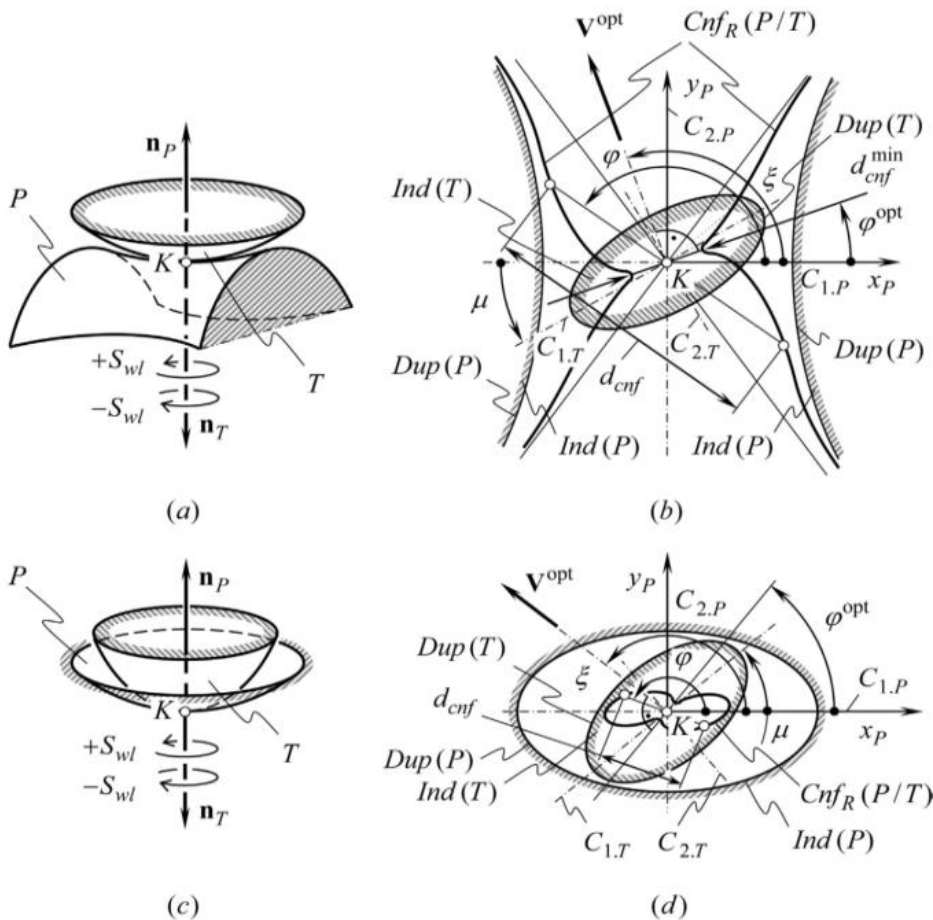


Fig. 7.26. Rezultatele soluțiilor problemei prelucrării locale a suprafeței sculptate **P**



În Fig. 7.26 se prezintă: (a) rezultatele prelucrării unei suprafețe **P** convexe, (c) unei suprafețe **P** concave, iar (b) și (d) secțiunile corespunzătoare celor două situații. Se observă unghiul optimal  $\xi^{opt} = \varphi^{opt} + 90^\circ$  al direcției optimale al vectorului  $V^{opt}$  relativ la mișcarea celor două suprafețe.

Ca un caz particular ce apare la rezolvarea problemei locale a prelucrării suprafeței sculptate **P** se poate menționa cazul când cele două configurații optimale alternative a celor două suprafețe să fie echivalente una față de alta, caz menționat în figura de mai jos (Fig. 7.27):

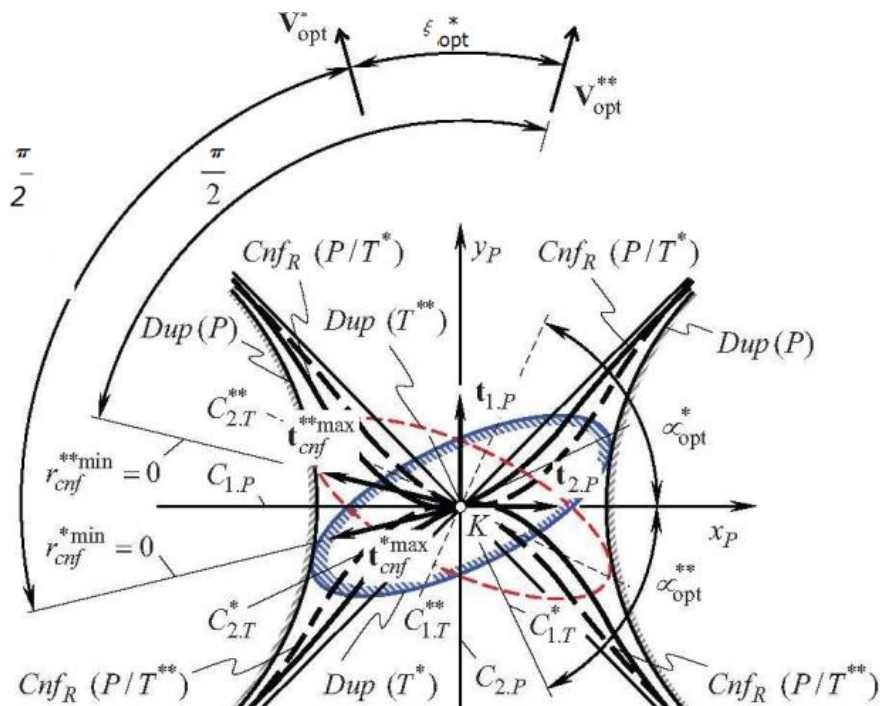


Fig. 7.27. Exemplu de generare a unei suprafețe concave **P** de către suprafața convexă **T** a sculei așchietoare

În Fig. 7.27 se prezintă generarea unei suprafețe concave **P** de către suprafața convexă **T** a sculei așchietoare. Raza minimală a **coeficientului de conformitate**  $C_{nf_R}(P/T^*)$  a suprafeței **P**:  $r_{cnf}^{*min}$  și a suprafeței optimale **T\*** a sculei așchietoare este zero ( $r_{cnf}^{*min} = 0$ ).

Se poate observa că cele două suprafețe **P** și **T\*** se află sub un unghi optimal  $\mu_{opt}^*$ . Vectorul direcției optimale  $V_{opt}^*$ , relativ la suprafața locală **P**, este ortogonal la direcția spre care raza minimă  $r_{cnf}^{*min} = 0$  a **coeficientului de conformitate**  $C_{nf_R}(P/T^*)$  este măsurată. Această direcție este direcția ratei maxime a **coeficientului de conformitate**  $C_{nf_R}(P/T^*)$ .

Pe de altă parte, aceeași porțiune locală **concavă** a suprafeței generatoare **T** a sculei așchietoare poate fi generată de aceeași porțiune **convexă** a suprafeței generatoare **T** a sculei generatoare pentru o configurație diferită a sculei așchietoare.

Și în acest caz, valoarea minimală a razei **coeficientului de conformitate**  $C_{nf_R}(P/T^{**})$  a suprafeței **P** și a suprafeței **T\*\*** a sculei așchietoare este egală cu zero ( $r_{cnf}^{**min} = 0$ ), iar secțiunea de plan  $C_{1,T}^{**}$  a suprafeței **T\*\*** a sculei așchietoare se află sub unghiul optimal  $\mu_{opt}^{**min}$  dintre cele două suprafețe **P** și **T\*\***.

Vectorul direcției optime  $\mathbf{V}_{opt}^{**}$  a suprafeței  $\mathbf{T}^{**}$  a sculei așchietoare relative la suprafața locală  $\mathbf{P}$  este ortogonal la direcția după care raza minimă  $r_{cnf}^{**min}$  a **coeficientului de conformitate**  $C_{nfR} (P/T^{**})$  este măsurată.

Această direcție este direcția ratei maxime de conformitate a suprafeței generatoare a sculei așchietoare la suprafața sculptată locală  $\mathbf{P}$  și este notată cu  $r_{cnf}^{**min}$ .

În final, referitor la Fig. 7.27 se mai poate observa că există două direcții optime ale mișcării relative a sculei așchietoare: prima direcție optimală  $V_{opt}^*$ , specificată de unghiul  $\xi_{opt}^* = \varphi_{opt}^* + 90^0$ , iar a doua direcție optimală  $V_{opt}^{**}$  specificată de unghiul  $\xi_{opt}^{**} = \varphi_{opt}^{**} + 90^0$ , dar care nu sunt prezentate în Fig. 7.27 din lipsă de spațiu, direcțiile  $V_{opt}^*$  și  $V_{opt}^{**}$  fiind sub unghi  $\Delta \xi_{opt}$ , una față de alta.

**Observație:** referitor la problema generării optime a suprafeței sculptate locale  $\mathbf{P}$  se poate arăta că soluțiile găsite local la ecuațiile diferențiale de mai sus, urmărind procesul descris, au aplicabilitate doar în cadrul suprafeței sculptate  $\mathbf{P}$  local aleasă.

B) Aceste soluții conduc la rezolvarea problemei găsirii soluției optime pentru generarea soluției regionale a suprafeței sculptate  $\mathbf{P}$ .

Considerând:

- generarea suprafeței sculptate  $\mathbf{P}$  de către suprafața generatoare  $\mathbf{T}$  a sculei așchietoare;
- un punct  $\mathbf{CC}$  de contact  $\mathbf{K} \in \mathbf{P}$  având coordonatele carteziene  $U_T$  și  $V_T$ ;
- valorile optime  $U_T^{opt}, V_T^{opt}$ ;
- unghiul optimal  $\mu^{opt}$  al suprafețelor  $\mathbf{P}$  și  $\mathbf{T}$  măsurat între principalele direcții  $t_{1,P}$  și  $t_{1,T}$  pentru care diametrul curbei caracteristice a **coeficientului de conformitate**  $C_{nfR} (P/T^{**})$  are valoarea minimală  $d_{cnf}^{min}$  față de vectorul direcției principale  $t_{1,P}$ ,

se poate obține direcția optimală  $\xi^{opt}$  a deplasării sculei așchietoare deasupra suprafeței sculptate  $\mathbf{P}$ :

$$\xi^{opt} = \varphi^{opt} + 90^0.$$

Fie vectorul  $\mathbf{V}^{opt}$  al direcției optime a traiectoriei sculei așchietoare pe suprafața sculptată  $\mathbf{P}$  exprimată matricial în sistemul de coordonate carteziene  $x_P, y_P, z_P$  definit pe suprafața locală  $\mathbf{P}$  considerată:

$$\mathbf{V}^{opt} = \begin{bmatrix} \sin \xi^{opt} \\ \cos \xi^{opt} \\ 0 \\ 1 \end{bmatrix}.$$

Folosind operatorul  $\mathbf{Rs} (K \mapsto NC)$  (Fig. 7.28) reprezentăm vectorul  $\mathbf{V}^{opt}$  în coordonatele carteziene de sistem  $X_{NC}, Y_{NC}, Z_{NC}$ :

$$\mathbf{V}_{NC}^{opt} = \mathbf{Rs} (K \mapsto NC) \mathbf{V}^{opt} = \begin{bmatrix} \left( \frac{\partial x_P}{\partial U_P} (t) \cos \varphi^{opt} (t) - \frac{\partial x_P}{\partial V_P} (t) \sin \varphi^{opt} (t) \right) \\ \left( \frac{\partial y_P}{\partial U_P} (t) \cos \varphi^{opt} (t) - \frac{\partial y_P}{\partial V_P} (t) \sin \varphi^{opt} (t) \right) \\ \left( \frac{\partial z_P}{\partial U_P} (t) \cos \varphi^{opt} (t) - \frac{\partial z_P}{\partial V_P} (t) \sin \varphi^{opt} (t) \right) \\ 1 \end{bmatrix}$$



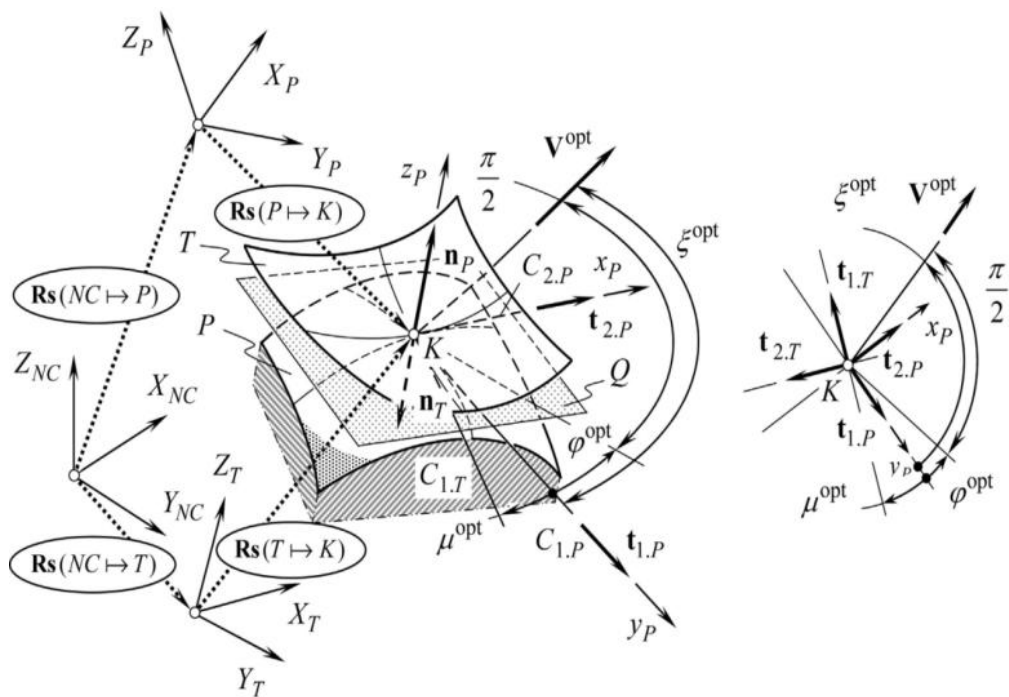


Fig. 7.28. Configurarea și mișcarea relativă a suprafețelor **P** și **T** în funcție de coordonatele carteziene de sistem  $X_{NC}, Y_{NC}, Z_{NC}$  asociate mașinii-unelte cu comandă numerică.

Ca urmare,

$$[\mathbf{r}_{tp}^{opt}](t) = \begin{bmatrix} \int_{t_1}^{t_2} \left( \frac{\partial X_p}{\partial U_p}(t) \cos \varphi^{opt}(t) - \frac{\partial X_p}{\partial V_p}(t) \sin \varphi^{opt}(t) \right) dt \\ \int_{t_1}^{t_2} \left( \frac{\partial Y_p}{\partial U_p}(t) \cos \varphi^{opt}(t) - \frac{\partial Y_p}{\partial V_p}(t) \sin \varphi^{opt}(t) \right) dt \\ \int_{t_1}^{t_2} \left( \frac{\partial Z_p}{\partial U_p}(t) \cos \varphi^{opt}(t) - \frac{\partial Z_p}{\partial V_p}(t) \sin \varphi^{opt}(t) \right) dt \\ 1 \end{bmatrix}$$

În punctul curent **CC** de contact **K**, viteza maximă de lucru a sculei așchietoare de-a lungul traiectoriei optime este limitată de valoarea limită a regimului de lucru  $[\check{F}_{fr}]$  a acestor scule. Din considerente geometrice și cinematice, viteza maximă a sculei așchietoare este mai mare când se prelucrează suprafețe sculptate **P** concave și mai mică când se prelucrează suprafața sculptată **P** convexe.

Ca un caz particular, când ecuația traiectoriei optime a sculei se exprimă prin ecuația diferențială

$$[\mathbf{r}_{tp}^{opt}] \Rightarrow \left[ \begin{matrix} E_p dU_p + F_p dV_p & F_p dU_p + G_p dV_p \\ L_p dU_p + M_p dV_p & M_p dU_p + N_p dV_p \end{matrix} \right] = 0$$

rezultă o ecuație ce se poate aplica când sculele așchietoare au o extremitate așchietoare sferică sau plată. În aceste cazuri, unghiul  $\mu$  dintre suprafețele **T** și **P** ia valori diferite, ceea ce impune considerarea alegerii traiectoriilor suprafețelor optime de-a lungul liniilor de curbură de pe suprafața sculptată **P**.

Coordonatele carteziene de sistem  $X_P, Y_P, Z_P$  care exprimă traiectoria sculei aşchietoare se rotesc întocmai ca un corp rigid cu viteza unghiulară de rotație

$$|\Omega| = \sqrt{k_{tp}^2 + t_{tp}^2},$$

axa de rotație fiind dată de **vectorul lui Darboux**:

$$\Omega = k_{tp} \mathbf{t}_{tp} + t_{tp} \mathbf{b}_{tp},$$

unde  $k_{tp}$  și  $t_{tp}$  sunt curbura și respectiv torsiunea traiectoriei punctului **CC** de contact **K**, iar  $\mathbf{t}_{tp}$  și  $\mathbf{b}_{tp}$  sunt vectorul tangent unitar și respectiv vectorul binormal al traiectoriei punctului curent **K**.

În funcție de vectorul normal  $\mathbf{n}_{tp}$  și de vectorul tangent unitar  $\mathbf{t}_{tp}$  a traiectoriei punctului **CC** de contact **K**:

$$\Omega = \sqrt{k_{tp}^2 + \tau_{tp}^2} (\mathbf{t}_{tp} \cos \theta + \mathbf{n}_{tp} \sin \theta),$$

unde  $\theta$  este unghiul dintre **vectorul lui Darboux**  $\Omega$  și vectorul tangent  $\mathbf{t}_{tp}$  la traiectoria punctului **CC** de contact **K** curent considerat. Se poate observa că viteza unghiulară de rotație  $|\Omega|$  este funcție de curbura traiectoriei punctului **CC** de contact **K**.

C) Sinteza generării globale a suprafeței sculptate **P** este faza finală a optimizării obținerii și prelucrării suprafeței sculptate **P**. Soluțiile la această problemă sunt, în principiu, legate de problemele optimizării generării locale și regionale prezentate mai sus și, în principal, aceasta se realizează minimizând timpul de prelucrare pe mașina-unealtă cu comandă numerică.

Pentru a rezolva această problemă este necesar:

- a) a minimiza interferența traiectoriilor învecinate ale sculei aşchietoare ce prelucrează suprafața sculptată **P**;
- b) a determina parametrii optimali ai intrării și ieșirii sculei aşchietoare de-a lungul traiectoriei de prelucrare;
- c) a determina punctul optimal de start al prelucrării pe mașini-unelte cu comandă numerică.

În practică, suprafața sculptată **P** este realizată printr-un număr de traiectorii ce acoperă suprafața sculptată nominală **P**. Mărirea traiectoriilor de-a lungul traiectoriilor punctului **CC** de contact **K** pe suprafața sculptată **P**, dar și perpendicular pe traiectorii, poate face ca diferite traiectorii să interfereze una cu alta, iar unele porțiuni ale traiectoriilor suprafeței sculptate **P** chiar să se suprapună. Or, aceste interferențe pot cauza reducerea performanțelor mașinii-unelte cu comandă numerică, ceea ce determină necesitatea minimizării interferenței traiectoriilor învecinate.

În general, traiectoria punctului **CC** de contact **K** al sculei aşchietoare este o curbă în spațiul tridimensional de traiectorie  $l_{tr} = l_{tr}(r_{tr}, \tau_{tr})$ , unde  $l_{tr}$  este lungimea arcului traiectoriei măsurată dintr-un punct al traiectoriei și care este exprimată în funcție de raza de curbură  $r_{tr}$  a unui punct al traiectoriei și de torsiunea  $\tau_{tr}$  în acel punct.

În punctul **CC** de contact **K** curent considerat, dimensiunea adaosului de prelucrare se poate exprima în funcție de lungimea traiectoriei de ordinul  $i$ :

$$\check{F}_{ss}^{(i)} = \check{F}_{ss}^{(i)} [l_{tr}^{(i)}].$$

Pentru o unitate de timp  $dt$ , scula aşchietoare se poate deplasa de-a lungul traiectoriei de ordinul  $i$  cu o distanță  $dl_{tr}$ , generând o suprafață sculptată:

$$dS_{tr}^{(i)} = \check{F}_{ss}^{(i)} [l_{tr}^{(i)}] dt.$$

Suprafața generată printr-o singură trecere de ordinul  $i$  este:

$$S_{tr}^{(i)} = \int_{[l_{tr}^{(i)}]} \check{F}_{ss}^{(i)} [l_{tr}^{(i)}] dt,$$

iar suprafața totală generată de totalitatea traiectoriilor este:

$$S_{tr} = \sum_{i=1}^n S_{tr}^{(i)} = \sum_{i=1}^n \int_{[l_{tr}^{(i)}]} \check{F}_{ss}^{(i)} [l_{tr}^{(i)}] dt,$$

unde  $n$  reprezintă numărul total al traiectoriilor necesare acoperirii întregii suprafețe.

În general, suprafața totală  $S_{tr}$  este mai mare decât suprafața generată, adică  $S_{tr} > S_{sg}$ . Ca urmare, definim rata de interferență a traiectoriilor vecine cu ajutorul coeficientului de interferență

$$K_{int} = \frac{S_{tr} - S_{sg}}{S_{sg}} = \frac{\sum_{i=1}^n \int_{[l_{tr}^{(i)}]} \check{F}_{ss}^{(i)} [l_{tr}^{(i)}] dt - S_{sg}}{S_{sg}}$$

și care este funcție de:

- Parametrii de design ai suprafeței sculptate **P**;
- Parametrii de design ai suprafeței generatoare **T** a sculei așchietoare;
- Parametrii cinematici ai operației de prelucrare a suprafeței **T**.

În practică, se cere ca acest coeficient  $K_{int}$  să fie minimizat utilizând metode convenționale de calcul ale minimizării funcțiilor analitice.

### 7.8.3. Efectul zonei de frontieră asupra prelucrării suprafeței sculptate **P**

De remarcat că generarea suprafeței locale în apropierea suprafeței de frontieră este diferită de generarea restului suprafeței și este evident că forma și parametrii suprafeței de frontieră influențează eficiența procesului de generare a suprafeței sculptate **P**.

**Or, această remarcă conduce la necesitatea studierii efectelor zonei de frontieră asupra prelucrării suprafeței sculptate **P**.**

Fie suprafața sculptată **P** și toleranța admisă  $[h]$  a prelucrării, iar  $S_{[h]}$  suprafața toleranței admisă la distanța  $[h]$  față de suprafața sculptată **P**. Ca urmare, suprafața **T** se află între suprafața **P** și  $S_{[h]}$ .

Suprafața generatoare **T** a sculei așchietoare atinge suprafața sculptată locală considerată într-un punct  $K_1$  (Fig. 7.29) și intersectează suprafața de toleranță  $S_{[h]}$  rezultând curba 1 de intersecție a suprafețelor  $S_{[h]}$  și **T** ca o curbă închisă de tip elipsă. Această curbă nu are puncte comune cu suprafața de frontieră.

Fie un punct  $K_3$  al traiectoriei punctului **CC** de contact **K**, în acest caz curba de intersecție 3 a suprafețelor  $S_{[h]}$  și **T** nu este o linie închisă, intersectând suprafața de frontieră în punctele B și C.

Cursa sculei așchietoare se încheie când punctul limită L de pe conturul curbei 3 atinge suprafața de frontieră în punctul  $L^*$ .

În cazul punctului  $K_2$ , suprafața de frontieră este intersectată în punctul A. Pentru orice punct  $A_i$  al suprafeței locale de frontieră există punctele  $K_i$ , similare lui  $K_2$  și care formează conturul limită. Aceasta impune luarea în considerare a impactului de frontieră a acestor curbe descrise de traiectoria punctelor **CC** de contact **K** situate pe suprafața locală a curbei de frontieră și pe conturul limită.

Se observă că lățimea  $bc$  a acestei suprafețe măsurată de-a lungul perpendicularei la curba de frontieră nu este constantă. Fie  $W_i$  lățimea arcului  $ac$  în punctul curent  $c$  de pe traiectoria punctului de **CC** contact **K**. Regimul de lucru

al sculei aşchietoare determină un adaos de prelucrare care poate fi constant pentru un arc  $ac$  al acestei traiectorii sau poate varia în funcţie de mărimea curentă a traiectoriei sculei.

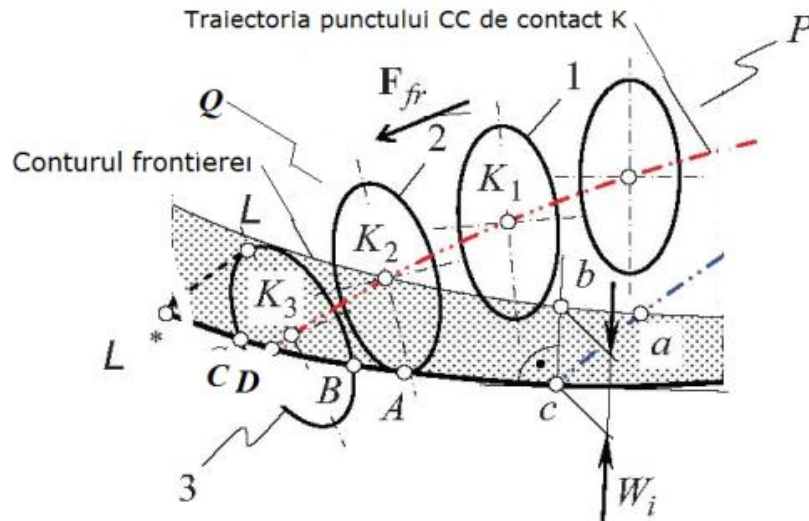


Fig. 7.29. Efectul de frontieră asupra prelucrării suprafeţei sculptate **P**

Se pot remarca următoarele efecte ale impactului zonei de frontieră asupra întregii suprafeţe sculptate **P**:

- Mărirea adaosului de prelucrare provoacă mărirea traiectoriei sculei aşchietoare în contact cu suprafaţa locală sculptată;
- Mărirea toleranţei  $[h]$  prelucrării suprafeţei sculptate **P** măreşte traiectoriile sculei aşchietoare, atunci când acestea ies din contactul cu suprafaţa locală de prelucrat;
- Cu cât suprafaţa sculptată locală **P** considerată este mai mică, cu atât impactul zonei de frontieră asupra eficienţei prelucrării este mai mare;
- Impactul efectului zonei de frontieră este cu atât mai mare cu cât traiectoriile de prelucrare sunt mai lungi;
- Poziţia punctului de la care începe prelucrarea suprafeţei sculptate **P** afectează de asemenea rezultatele prelucrării.

#### 7.8.4. Cuplarea modelului geometric al analizei suprafeţelor sculptate cu programarea maşinilor-unelte cu comandă numerică

Realizarea modelului geometric al generării suprafeţelor sculptate reprezintă o metodă avansată pentru producerea de suprafeţe sculptate folosind maşini-unelte cu comandă numerică.

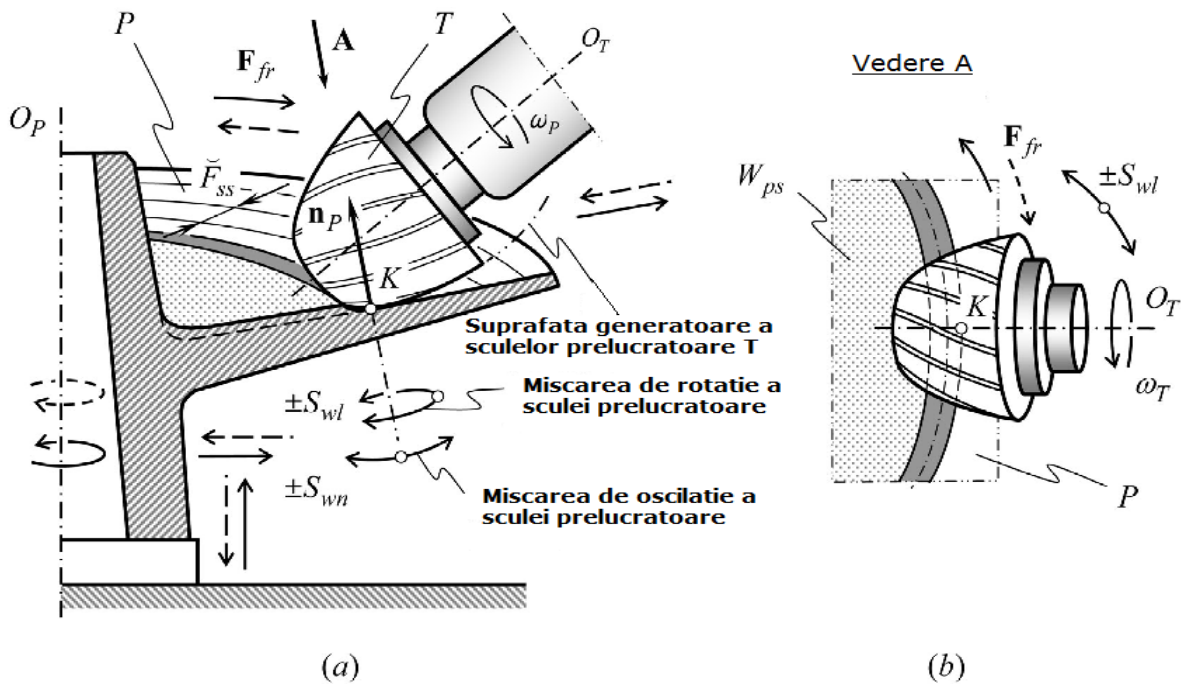


Fig. 7.30. Optimizarea prelucrării suprafeței sculptate **P** pe mașini-unelte cu comandă numerică

Fie prelucrarea suprafeței sculptate **P** pe mașini-unelte cu comandă numerică, prezentată în figura de mai sus (Fig. 7.30). În funcție de așezarea piesei pe mașina-unelte și în funcție de tipul sculei așchiitoare se modelează geometria suprafeței generatoare **T** a sculei.

În aceeași figură sculele așchiitoare se rotesc în jurul axei  $O_T$  cu o viteză unghiulară  $\varphi_T$ , descriind o traiectorie calculată a fi optimă și executând o degroșare optimă  $F_{fr}$ . Calculul traiectoriei optime se poate face cu ecuația determinată anterior:

$$[\mathbf{r}_{tp}^{opt}](t) = \begin{bmatrix} \int_{t_1}^{t_2} \left( \frac{\partial x_p}{\partial U_p}(t) \cos \varphi^{opt}(t) - \frac{\partial x_p}{\partial V_p}(t) \sin \varphi^{opt}(t) \right) dt \\ \int_{t_1}^{t_2} \left( \frac{\partial y_p}{\partial U_p}(t) \cos \varphi^{opt}(t) - \frac{\partial y_p}{\partial V_p}(t) \sin \varphi^{opt}(t) \right) dt \\ \int_{t_1}^{t_2} \left( \frac{\partial z_p}{\partial U_p}(t) \cos \varphi^{opt}(t) - \frac{\partial z_p}{\partial V_p}(t) \sin \varphi^{opt}(t) \right) dt \\ 1 \end{bmatrix}$$

După executarea prelucrării urmând o traiectorie dată, sculele așchiitoare se deplasează de-a lungul traiectoriei punctului **CC** de contact **K** în direcția  $F_{ss}$  la o distanță  $F_{ss}$ , începând o nouă prelucrare pe o nouă traiectorie.

Pentru ca prelucrarea să aibă o eficiență ridicată, dimensiunea adaosului de prelucrare la o trecere trebuie să fie la mărimea maximă pentru orice punct al suprafeței de prelucrat. Or, pentru aceasta se impun cel puțin două mișcări de poziționare a sculei așchiitoare: una de pendulare  $\pm S_{wl}$  și una de rotație  $\pm S_{wn}$ .

Considerăm inițial mișcarea de pendulare a sculei așchiitoare  $\pm S_{wl}$  și apoi cea de rotație  $\pm S_{wn}$  prezentate în

Fig. 7.31 și unde  $\pm S_{wn}$  este direcția mișcării de pendulare care are loc sub un anumit unghi la direcția specificată  $t_{cnf}^{max}$ , ceea ce permite o traiectorie oblică a punctului **CC** de contact **K** în cadrul suprafeței generatoare **T** a sculei așchiitoare. Ca urmare a acestui fapt, deviațiile cinematicii mașinii-unelte cu comandă numerică pentru prelucrarea unei piese date pot fi reduse semnificativ.

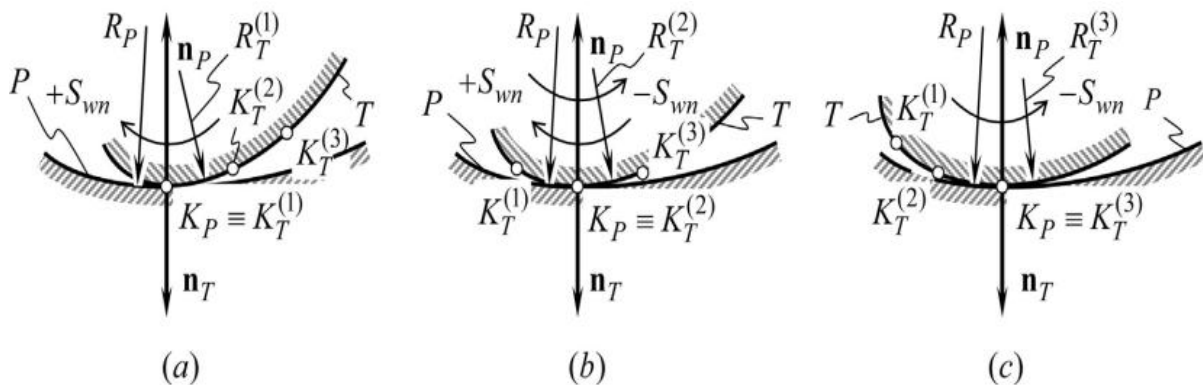


Fig. 7.31. Mișcarea de rotație  $\pm S_{wn}$  care provoacă o rotație  $\omega_n$  a sculei așchietoare în jurul perpendicularei comune  $n_p = -n_T$ .

Viteza mișcării de rotație  $\pm S_{wn}$  este egală cu  $\omega_n = \frac{\partial \mu}{\partial t}$ ; cele două mișcări considerate fiind efectuate simultan.

Rezultanta mișcării relative a mașinii și a sculei așchietoare se poate descompune în diferite rotații și translații generate de sistemele de prelucrare a mașinii-unelte cu comandă numerică.

## 7.9. Concluzii

Modelarea geometrică reprezintă o tehnică eficientă de realizare a suprafețelor sculptate. În cadrul acestui capitol s-au prezentat problemele ce se iau în considerare atunci când se consideră folosirea acestor tehnici în cadrul procesului de fabricație.

În general, realizarea suprafețelor sculptate necesită utilizarea unor mașini unelte cu comandă program de mare complexitate, dar care ridică semnificativ costurile de fabricație, ceea ce impune stringent problema utilizării optime a acestor mașini.

Această condiție, determinantă în cazul utilizării mașinilor-unelte cu comandă program, impune condiții restrictive referitoare la alegerea optimă a regimurilor de lucru, optimizarea proiectării sculelor, impunerea corespunzătoare a condițiilor de toleranță.

Pentru realizarea practică a suprafețelor sculptate sunt necesare mișcări specifice ale sculei așchietoare, cu regimuri de lucru adecvate prelucrării. Totodată, realizarea acestor suprafețe necesită optimizarea regimurilor de lucru relative ale mișcărilor în orice moment al prelucrării. În lucrare s-a prezentat un astfel de criteriu de optimizare.

Prin considerarea elementelor mișcărilor sculei așchietoare și formalizarea lor matematică a fost posibilă obținerea unor criterii de optimizare care se cer luate în considerare la alegerea adecvată a regimurilor de lucru a mașinii-unelte cu comandă program.

De exemplu, în lucrare se propune folosirea **coeficientului de conformitate** la studierea suprafeței sculptate față de suprafața sculelor. Prin mărirea coeficientului de conformitate al suprafeței generatoare a sculei așchietoare față de suprafața sculptată se obține reducerea corespunzătoare a dimensiunii adaosului de prelucrare al suprafeței sculptate, ceea ce indică importanța studierii metodelor optime de realizare a sculei așchietoare, în vederea unei prelucrări adecvate.



Prin definirea și considerarea ratei de conformitate a suprafeței generatoare a sculei față de suprafața sculptată se poate măsura eficiența operației de prelucrare, influențând productivitatea procesului de prelucrare, reducerea adaosului de prelucrare, reducerea timpului de prelucrare pe mașina-uneltă cu comandă program.

Se prezintă un algoritm de calcul al proiectărilor sculelor așchietoare care permite obținerea suprafeței generatoare a sculei având o topologie optimă, obținându-se totodată parametrii constructivi ce satisfac condițiile optime de prelucrare.

Acest capitol prezintă pe larg condițiile necesare și suficiente pentru generarea optimă a suprafeței sculptate, condiții care trebuie luate în considerare atunci când se are în vedere modelarea optimă a suprafeței sculptate.

Evaluarea erorilor de prelucrare a suprafeței sculptate face obiectul unor capitole aparte, dată fiind importanța acestora. Au fost luate în considerare: deplasările liniare și unghiulare ale elementelor mecanice, deplasările cauzate de elasticitatea materialelor componente supuse prelucrării și deplasările cauzate de modificările termice în timpul prelucrării.

Au rezultat o serie de metode de mărire a preciziei suprafeței sculptate care, luate în considerare, permit evidențierea acestora și pot constitui o sursă de reducere a erorilor de prelucrare.

În final, prin studiul prelucrării optime a suprafețelor la nivel local, regional și global au rezultat o serie de criterii de optimizare a prelucrării suprafeței sculptate, care aplicate în practică permit determinarea condițiilor pentru care productivitatea generării suprafețelor este maximă, având o importanță deosebită la prelucrarea optimă pe mașini-unelte cu comandă numerică.

Totodată, s-a remarcat că generarea suprafeței locale în apropierea suprafeței de frontieră este diferită de generarea restului suprafeței și deci, forma și parametrii suprafeței de frontieră influențează eficiența procesului de generare a suprafeței sculptate. Ca urmare, studiindu-se aceste zone au rezultat o serie de efecte ale zonei de frontieră asupra eficienței pe mașinile-unelte cu comandă program.

În concluzie, se poate afirma că determinarea prelucrării optime a suprafeței sculptate, începând cu găsirea punctului optim de început a acestei prelucrări și terminând cu alegerea optimă a regimurilor de așchiere este o problemă importantă care se cere studiată în continuare.

# CONCLUZII FINALE, CONTRIBUȚII ȘI PERSPECTIVE

## Concluzii finale

Modelarea matematică, în general, și modelarea geometrică, ca parte componentă a modelării matematice, care au făcut obiectul acestei lucrări, s-au dezvoltat ca urmare a progresului general al dezvoltării tehnologice, pe care societățile umane le-au înregistrat după sfârșitul secolului al XIX-lea și, în special în secolul al XX-lea, dezvoltare fără precedent în istoria umanității, atât ca domenii de dezvoltare, practic afectând orice aspect al vieții umane, dar și ca viteză de schimbare și transformare a societăților umane.

Lucrarea a abordat în prima parte noțiuni și principii fundamentale referitoare la subiectul abordat, așa cum sunt ele prezentate în literatura de specialitate consultată. A fost definit termenul de model și subiect de modelat, model propus și subiect de modelat, crearea modelului. S-a propus o succesiune logică a creerii, analizei și, în final, testării și acceptării modelului creat.

Din abordarea exhaustivă a problemei modelării matematice numerice, a aspectelor cantitative și calitative ale procesului de modelare, a rezultat că problema erorilor ce inevitabil apar în obținerea, prelucrarea, testarea și stocarea datelor au o importanță deosebită în obținerea rezultatelor ce definesc procesul de modelare, problemă ce a fost tratată în mod detaliat în finalul capitolului 1.

A rezultat necesitatea aplicării analizei erorilor la datele ce definesc obiectul de modelat, considerându-se că datele afectate de erori conduc la rezultate distorsionate ale procesului de modelare, relevându-se importanța validării modelului obținut, componentă principală a procesului de modelare, în funcție de care modelul propus se acceptă sau este supus perfecționării și îmbunătățirilor, atât de formă, cât și de conținut.

Lucrarea a prezentat modelarea geometrică, ca parte importantă a procesului de modelare matematică. Prin definirea scopului și a destinației modelării geometrice, a rezultat importanța tehnicilor de modelare geometrică a suprafețelor în construcția modelelor, când pornind de la un volum de date numerice sau pornind de la desene și schițe de proiectare, se pot obține rezultate semnificative referitoare la obiectele modelate.

De remarcat că, deși realizările și cunoștințele în acest domeniu al matematicii au avansat în mod considerabil, domeniul este departe de a fi epuizat. De exemplu, se poate considera că teoria funcțiilor spline, și nu numai, poate aduce noi rezultate și cercetări care să aprofundeze și să diversifice cunoștințele din domeniul tehnicilor de interpolare.

În lucrare s-a evidențiat în mod deosebit faptul că la dezvoltarea acestor domenii ale matematicii au contribuit la importante descoperiri teoretice, dar și cerințe tehnologice. În capitolul 4 s-a prezentat pe larg contribuția crucială a lui *Bernstein*, care descoperind polinoamele ce îi poartă numele, a făcut posibilă aproximarea numerică a curbilor și a funcțiilor, și care a reprezentat un punct de referință în dezvoltarea acestui domeniu.

S-a accentuat faptul că, deși aceste polinoame sunt în atenția matematicienilor de o sută de ani, domeniul este departe de a fi epuizat. De



exemplu, în finalul capitolului s-a prezentat problema extinderii *polinoamelor lui Bernstein* în domeniul complex, și care se poate considera un domeniu de cercetare viitor cu certe perspective.

În lucrare s-a arătat că cerințele tehnologice ale dezvoltării societăților tehnologizate de după cel de-al doilea război mondial au condus la noi abordări, dobândindu-se noi cunoștințe, care au progresat domeniul modelării matematice până la nivelul unei științe aparte, având un limbaj și simboluri proprii de prezentare referitoare la domeniu propriu de cunoștințe teoretice și practice. S-a relevat faptul că dezvoltarea industriei de automobile de după anii 1950 a fost aceea care a determinat necesitatea obținerii de modele ale diferitelor modele ce urmau a se fabrica, și să determine progrese esențiale ale acestei noi ramuri a matematicii.

Ca urmare, s-au aprofundat *polinoamele lui Bernstein*, făcându-se trecerea spre studiul *modelelor lui Bezier*, *algoritmului lui Casteljaou* și *al algoritmului lui Boor*, ca un caz particular al *algoritmului lui Casteljaou*. Relevându-se importanța polinoamelor definite prin părți, în modelarea matematică s-au prezentat aceste polinoame ca o tehnică avansată în modelarea geometrică și, în special, utilizarea polinoamelor (curbelor) spline folosite în modelarea geometrică.

În mod detaliat s-au prezentat suprafețele și volumele folosite în modelarea geometrică, în special suprafețele bicubice și bicuadrice. S-a avut în vedere extinderea polinoamelor de aproximare clasice la suprafețe de aproximare, cu toate problemele ce apar în acest caz, insistându-se asupra unor tehnici de interpolare a suprafețelor, folosind suprafețe triunghiulare sau dreptunghiulare și, în special, asupra zonelor de frontieră și de conectare între suprafețele.

Din cercetarea acestor zone a rezultat necesitatea acordării unei atenții deosebite acestor zone, datorită singularităților ce apar la colțurile de conectare dintre suprafețe, prezentându-se o metodă de studiere și eliminare a acestor probleme. În final s-a prezentat utilizarea suprafețelor rectangulare Gordon–Coons în modelarea geometrică, suprafețele de interpolare Gordon–Coons bicubice și suprafețele de interpolare Gordon–Coons triunghiulare ca domenii de cercetare relativ recente în abordarea modelării suprafețelor în spațiu.

În lucrare s-a prezentat un exemplu referitor la cuplarea sistemelor de concepție și de fabricație a entităților geometrice. După prezentarea modelării geometrice a volumelor, ce pune probleme deosebite în cadrul modelării geometrice, extinzând aria modelării în spațiu, s-a prezentat utilizarea geometriei constructive a volumelor pentru modelarea acestor volume, insistându-se în special asupra zonelor de frontieră capabile să producă distorsiuni, neregularități și singularități.

La calculul proprietăților globale ale volumelor modelate s-a folosit metoda descompunerii în părți componente și metoda Timmer-Stern. A rezultat o metodă care utilizează reprezentarea frontierelor (marginilor) pentru a calcula proprietățile globale ale modelului propus. Prin prezentarea modelării geometrice a intersecțiilor și prin extinderea studiului la intersecția suprafețelor s-a avut în vedere modelarea matematică a acestor zone, ce pot avea implicații asupra continuității modelului.

În lucrare s-a prezentat o aplicație a modelării matematice în domeniul proiectării sculelor așchiitoare. Studiindu-se diverse tipuri de traiectorii ale sculelor în procesul de prelucrare s-au obținut diverse profile ale acestora, care în cadrul unor mișcări optimizate, împreună cu o formă optimizată a profilului sculei, poate conduce la o prelucrare optimizată, ceea ce confirmă așteptările

referitoare la utilizarea metodelor avansate de proiectare bazate pe modelarea geometrică. Exemplul prezentat confirmă faptul că pot fi de așteptat noi domenii de abordare matematică în care să se obțină rezultate importante, atât teoretice, dar mai ales practice.

Finalul lucrării a prezentat modelarea geometrică, ca o tehnică de concepție și fabricație a suprafețelor sculptate pe mașini-unelte cu comandă numerică. S-a prezentat cinematica prelucrării suprafețelor sculptate, folosindu-se un sistem local de referință format din două suprafețe: suprafața sculptată și suprafața generatoare a sculei așchietoare.

Pentru a caracteriza precizia prelucrării pe mașini-unelte cu comandă numerică, s-a definit coeficientul de conformitate al suprafețelor considerate în punctul de contact. Studiul variației acestui coeficient a relevat direcții de prelucrare care pot fi optimizate, ceea ce are o importanță deosebită pentru reducerea costurilor de fabricație, în condițiile folosirii unor mașini-unelte cu comandă numerică, de regulă scumpe.

Tot în finalul lucrării s-a abordat problema proiectării sculelor așchietoare necesare realizării suprafețelor sculptate, studiindu-se suprafața generatoare a sculelor, permițând elaborarea unui algoritm de calcul al parametrilor constructivi ai sculelor, cu care s-a studiat posibilitatea existenței unor scule ce permit schimbarea continuă a suprafeței generatoare.

Un aspect deosebit l-a reprezentat studiul condițiilor optime ale generării suprafeței sculptate. Au rezultat orientări optime de deplasare a sculelor, ceea ce permite reducerea costurilor de prelucrare, importante în cazul prelucrării pe mașini-unelte cu comandă numerică.

Din lucrare a rezultat că un alt aspect important al prelucrării suprafețelor sculptate îl constituie studiul erorilor de prelucrare în cadrul toleranțelor care se cer respectate, în conformitate cu caietul de sarcini. În lucrare s-au studiat componentele erorilor de prelucrare în punctele de contact a suprafeței sculptate și suprafața generatoare a sculelor de prelucrat, relevându-se faptul că acestea permit aproximarea erorilor de prelucrare și calculul suprafeței torului de aproximație a prelucrării suprafeței sculptate, cu scopul de a reduce erorile de prelucrare.

În finalul concluziilor referitoare la modelarea matematică, în general, și a modelării geometrice, în particular, și care face obiectul acestei lucrări, se poate afirma cu certitudine că, deși ultimii ani au confirmat realizări importante, aceste domenii ale matematicii sunt încă domenii de vârf ale cercetării fundamentale și aplicative, unde sunt de așteptat noi descoperiri teoretice și practice.

## Contribuții personale

Contribuții personale rezultate în urma elaborării lucrării:

1. Prin definirea termenului de model și subiect de modelat, model propus și subiect de modelat, crearea modelului, s-a propus o succesiune logică a creerii, analizei și, în final, testării și acceptării modelului creat.
2. Au fost prezentate *polinoamele lui Bernstein* în cadrul funcțiilor de o variabilă. De remarcat extinderea definirii polinoamelor pentru funcții de două variabile și, mai ales, în spațiul  $n$  dimensional.
3. În calculul proprietăților globale ale volumelor modelate s-a folosit metoda descompunerii în părți componente. A rezultat o metodă care utilizează

reprezentarea frontierelor (marginilor) pentru a calcula proprietățile globale ale modelului propus.

4. Prin prezentarea unor aplicații a modelării matematice în domeniul proiectării sculelor așchietoare, studiindu-se diverse tipuri de traiectorii ale sculelor în procesul de prelucrare, s-au obținut diverse profile ale acestora, care în cadrul unor mișcări optimizate, împreună cu o formă optimizată a profilului sculei, poate conduce la o prelucrare optimizată pe mașini-unelte cu comandă numerică.
5. S-a prezentat modelarea geometrică, ca o tehnică de concepție și fabricație a suprafețelor sculptate pe mașini-unelte cu comandă numerică. S-au studiat coordonatele de reprezentare a sistemul de referință în spațiu a suprafețelor de prelucrat și efectul schimbărilor de coordonate asupra mișcărilor sculelor așchietoare.
6. Pentru a caracteriza precizia prelucrării pe mașini-unelte cu comandă numerică s-a definit coeficientul de conformitate al suprafețelor considerate în punctul de contact. Studiul variației acestui coeficient a relevat direcții de prelucrare care pot fi optimizate, ceea ce, în condițiile folosirii unor mașini-unelte cu comandă numerică, de regulă scumpe, are o importanță deosebită pentru reducerea costurilor de fabricație.
7. S-a abordat problema proiectării sculelor așchietoare necesare realizării suprafețelor sculptate, studiindu-se suprafața generatoare a sculelor, permițând elaborarea unui algoritm de calcul al parametrilor constructivi ai sculelor, cu care s-a studiat posibilitatea fabricării unor scule ce permit schimbarea continuă a suprafeței generatoare.
8. S-au studiat componentele erorilor de prelucrare în punctele de contact a suprafeței sculptate și suprafața generatoare a sculelor de prelucrat. Aceasta a permis aproximarea erorilor de prelucrare și calculul suprafeței torului de aproximație a prelucrării suprafeței sculptate, cu scopul de a releva erorile de prelucrare a suprafeței sculptate.

## Perspective

Din cercetările referitoare la modelarea matematică și modelarea geometrică prezentate în această lucrare și din concluziile generale ale lucrării a rezultat cu impetuoșitate că acest domeniu este susceptibil pe viitor de noi contribuții la dezvoltarea generală a cunoașterii.

Direcțiile de dezvoltare preconizate pot fi:

1. Noi algoritmi de tratare a problemelor ce apar în cadrul prelucrării unui volum foarte mare de date;
2. Extinderea modelării volumice;
3. Noi domenii în care să fie folosite tehnicile de modelare.

Perspectivile imediate de continuare a cercetărilor prezentei teze pot fi:

1. Extinderea studierii polinoamelor lui Bernstein pentru domeniul funcțiilor reale de două și trei variabile, dar mai ales domeniul funcțiilor reale de  $n$  variabile;
2. Extinderea cercetărilor pentru polinoamele lui Bernstein în domeniul complex de o singură variabilă, domeniul bidimensional și tridimensional, dar în special în spațiul multidimensional complex;
3. Noi aplicații ale Polinoamelor lui Bernstein în domenii noi ca de pildă statistica matematică sau studiul integralelor în spațiu și de volum;

4. Extinderea utilizării polinoamelor de aproximare clasice la suprafețe sau volume de aproximare, în special studii asupra zonelor de frontieră și de conectare între suprafețele, insistându-se asupra zonelor de frontieră, care pot genera distorsiuni;
5. Extinderea modelării geometrice a intersecțiilor, în special extinderea studiului intersecției suprafețelor în spațiu;
6. Continuarea cercetărilor în domeniu optimizării formelor sculelor așchietoare, pentru creșterea preciziei prelucrării pe mașini-unelte cu comandă numerică;
7. Continuare studiului coeficientul de conformitate al suprafețelor sculptate considerate în punctul de contact, coeficient care permite optimizarea prelucrării acestor suprafețe;
8. Având în vedere că în scopul simplificărilor calculelor, în studiul rugozităților suprafețelor prelucrate s-a presupus principiul liniarității rugozităților și a erorilor, ar fi interesant de luat în considerare un aspect mai general și mai ales mai apropiat de realitatea prelucrării suprafețelor sculptate, și anume al rugozităților neliniare.



## BIBLIOGRAFIE

1. Adini, A. C. (n.d.). *Analysis of plate bending by the finite element method*. NSF Report G737.
2. Bernstein, S. (1912). *Démonstration du théorème de Weierstrass, fondée sur le calcul des probabilités*. Commun. Soc. Math. Krakow (2), 13, 1-2.
3. Berg, M. (2008). *Computational Geometry, Algorithms and Applications*. Springer.
4. Bezier P. E. (1970). *Emploi des machines à commande numérique*, Masson et Cie., Paris
5. Bornhill, R. (1987). Surface / surface intersection. *Computer Aided Geometric Design*, 4 (1-2), 3-16.
6. Bouix S. (2002). *Divergence-Based Medial Surfaces*, McGill University School of Computer Science & Center for Intelligent Machines.
7. Brândașu D. P. (1997). *Metode moderne în proiectarea sculelor așchietoare*, Editura Universității "Lucian Blaga" din Sibiu.
8. Catmull E. (1978) Recursively generated B-spline surfaces on arbitrary topological meshes. *Computer Aided Design*,10(6)
9. Catrina D. (2003) *Sisteme flexibile de prelucrare prin aschiere*, Ed. Bren, Bucuresti.
10. Chiokura, K. (1983). Design of Solids with Free Form Surface. *Proc. SIGGRAPH '83*, 17 (3), 289-296.
11. Chlodovsky, I. (1925). *Sur la représentation des fonctions continues par les polynômes a coefficients entiers*. Moskow: Math. Sbornik, 32.
12. Choi, B.K., (1997) C-space approach to tool-path generation for die and mold machining, *Computer-Aided Design* 14(2)56-67.
13. Choi, W. (1998). *Sculptured Surface Machining Theory and Applications*. Kluwer Academic Publishers.
14. Coquillart, 5. (1987) Computing offsets of B-spline curves, *Computer-Aided Design*, 19(6), 305-9.
15. Deuflhard, P. (2003). *Numerical Analysis in Modern Scientific Computing. An Introduction, Second edition*. New York, Springer Verlag.
16. Diehl L. (2002). *Machining Methods For Complex Models*, MMS Online, 2002
17. Drăghici G. (1999). *Ingineria integrată a produselor*, Editura Mirton Timișoara
18. Drăghici G. (2005). *Conceptia proceselor de prelucrare mecanică*, Editura Politehnica Timișoara.
19. Duncan, J.P. (1983). *Sculptured Surfaces in Engineering and Medicine*, Cambridge University Press, Cambridge-London -New York.
20. Dwyer, F. I. (1981). *Computational Geometry for Design and Manufacture*. Chichester, England, Ellis Horwood.
21. Falcidieno, B. (1999). *Modeling in Computer Graphics, Methods and Applications*. Berlin, Springer Verlag.
22. Farin G. (1993). *A History of Curves and Surfaces in CAGD*, Computer Science and Engineering, Arizona State University
23. Farin, G (1993). *A Curves and Surfaces for Computer Aided Geometric Design*, Academic Press.

24. Farouki, R. (1987). *Algorithms for polynomials in Bernstein form*. 4 (3), 191-216.
25. Farouki, R. (1987). *Computer Aided Geometry Design*, Vols. 4 (3), 191-216.
26. Fichtenholtz, G. K. (1934). *Sur les opérations linéaires dans l'espace des fonctions bornées*. *Studia Math.*, 5, 69-98.
27. Gal, S. G. (2009). *Approximation by Complex Bernstein and Convolution Type Operators*. Oradea: Series on Concrete and Applicable Mathematics – Vol. 8.
28. Hall, C. (1976). Optimal error bound for cubic spin interpolation. *J. Approx. Theory* 16, 105-122.
29. Hamming, R. (1987). *Numerical Methods for Scientists and Engineers*. Davon Publications.
30. Held, M. *On the Computational Geometry of Pocket Machining*. Springer-Verlag, Berlin, Germany.
31. Held, M. (1994) Pocket machining based on contour parallel tool paths generated by means of proximity maps, *Computer-Aided Design*, 26(3), 189-203.
32. Herzog, F. H. (1946). *The Bernstein polynomials for discontinuous functions*. New York: Amer. J. Math, 68.
33. Hoffman, C. (1989). *Geometric and Solid Modeling: An Introduction*, San Mateo, California, , Morgan Kaufman Publishers, Inc.
34. Hoschek, J. (1993). *Fundamentals of Computer Aided Geometric Design*, A.K. Peters, Wellesley, MA.
35. Hoschek, J. (1989). *Fundamentals of Computer Aided Geometric Design*. Wellesley, Massachusetts, A K Peters.
36. Jerard, R. B. (1989). Approximate methods for simulation and verification of numerically controlled machining program, *The Visual Computer* 5, 329-349.
37. Jerard R. (1989). Methods for Detecting Errors in Numerically Controlled Machining of Sculptured Surfaces, *IEEE Computer Graphics & Applications*
38. Kahner, D. M. (1989). *Numerical Methods and Software*. New York: Prentice Hall.
39. Kantorovitch, L. V. (1931). *Sur la convergence de la suite des polynômes de S. Bernstein en dehors de l'intervalle fondamental*. Moskow: Bull. Acad. Sci. URSS, 1163-1168.
40. Kingsley, E. (1951). *Bernstein polynomials for functions of two variables of class*. *Proc. Amer. Math. Soc.*, 2, 64 -71.
41. Larousse (2007). *Petit Larousse Illustré, Librairie Larousse, 17, rue de la Montparnasse, Paris, France*. Paris, France: Larousse, Paris.
42. Lartigue, C. (2001). *CNC tool path in terms of B-spline curves*. (33 (4): 307-319.
43. Lemac S. G. (1978). Utilizarea calculatorului electronic pentru rezolvarea unei probleme de decizie multicriterială în vederea optimizării planului de producție. *Probleme ale optimizării în economia întreprinderilor, Ministerul Educației și Învățământului, Universitatea "Al. I. Cuza", Iași , Facultatea de Științe Economice, Centrul de Cercetări Economice, Iași*, 121-125.
44. Lemac S. G. (1979). Eficiența introducerii și utilizării calculatoarelor de gestiune în organizarea și conducerea unităților industriale. *Studii de economie industrială, Nr. 4, Consiliul Suprem al Dezvoltării Economice și Sociale, Institutul Central de Cercetări Economice, Institutul de economie industrială, București*, 280 pagini, plus anexe 391 pagini.



45. Lemac S. G. (1979). Unele tendințe în domeniul sistemelor de operare și de aplicații în evoluția informaticii pe plan mondial. *Contribuții la dezvoltarea energiei românești, București, Institutul de cercetări și modernizări energetice*, 12-14 iunie 1979, pag. 168, publicat în 1980.
46. Lemac S. G. (1980). An algorithmic approach of the present legislation on investments. *Computation and Management, The 6<sup>th</sup> Symposium of Informatics and Management*, Cluj-Napoca 21-25 mai 1980.
47. Lemac S. G. (1982). Introducerea roboților industriali în întreprinderile industriale – aspecte economice și sociale. Sesiunea de comunicări științifice Valorificarea superioară a resurselor, cerință fundamentală a noului mecanism economico – financiar, Universitatea din Timisoara, Facultatea de științe economice, 21-22 mai 1982.
48. Le Mac G., XiaoFang X., Rasmunssen H. (2001). *Using Maple6 to study Lambert functions*. Department of Applied Mathematics, Ontario Research Center for Computer Algebra, University of Western Ontario, London, Ontario, Canada, June 2001.
49. Le Mac G., Bengerhbal M., Jeffrey D. J. (2001). *Generating excentric trigonometric functions*, Department of Applied Mathematics, Ontario Research Center for Computer Algebra, University of Western Ontario, London, Ontario, Canada, June 2001.
50. Le Mac G., Jeffrey D. J. (2001). *Derivative of excentric trigonometric functions*, Department of Applied Mathematics, Ontario Research Center for Computer Algebra, University of Western Ontario, London, Ontario, Canada, August 2001.
51. Le Mac G., Jeffrey D. (2002). *Extending classical trigonometric functions*. Department of Applied Mathematics, Ontario Research Center for Computer Algebra, University of Western Ontario, London, Ontario, Canada, March 2002.
52. Le Mac G. , XiaoFang X. (2002). *Lambert functions on Mathematica 4.*, Department of Applied Mathematics, Ontario Research Center for Computer Algebra, University of Western Ontario, London, Ontario, Canada June 2002.
53. Le Mac G., Jeffrey D. (2002). *Bernstein polynomials on multiple dimensional spaces*, Department of Applied Mathematics, Ontario Research Center for Computer Algebra, University of Western Ontario, London, Ontario, Canada, June 2002.
54. Le Mac G. (2005). *Multivariant Bernstein polynomials conexity*, University of Department of Applied Mathematics, Ontario Research Center for Computer Algebra, Western Ontario University, London, Ontario, Canada, June 2005.
55. Le Mac G. (2007). Modelarea geometrică ca tehnică de modelare, *Revista Centrului de cercetări pentru economia industriei*, București, August 2007.
56. Leon J.C. (1991) Modélisation et construction de surfaces pour la CFAO, Hermès, 1991.
57. Li, S.X. (1994) Five axis machining of sculptured surfaces with flat-end cutter, *Computer-Aided Design*, 26 (3), 165-78.
58. Liming, R. (1979). *Mathematics for Computer Graphics*. Fallbrock, California: Publishers, Inc.
59. Levin A. (2004). Interpolating Nets Of Curves By Smooth Subdivision Surfaces, Tel Aviv University
60. Linndfield, G. P. (1995). *Numerical methods using Matlab*. New York: Ellis Horwood.



61. Lorentz, G. G. (1951). *Deferred Bernstein polynomials*. Proc. Amer. Math. Soc., 1, 72-76.
62. Lorentz, G. C. (1953). *Bernstein polynomials*. Toronto, ON, Toronto University Press.
63. Mantyla M. (1988). *An introduction to Solid Modeling*, Computer Science Press, Rockville, Maryland.
64. Marciniack (1991). *Geometry modeling for numerically controlled machining*, Oxford University Press, New York.
65. Meyer, W. (1984). *Concepts of Mathematical Modeling*. Dover Publications.=
66. Mortenson, M. (1985). *Geometric modeling*, John Wiley & Son, Inc.
67. Mortensen, M. (2006). *Geometric Modeling*. Industrial Press.
68. Nittel. *Numerically controlled machining of propeller blades*, Marine Tehnology, 26 (3), 202-209.
69. Olfe, D. *Computer Graphics for Design from algorithms to AutoCAD*.
70. Patrikalakis, N. M. (1990). *Surface intersections for geometric modeling*, Journal of Mechanical Design, Transactions of ASME, 112 (1), 100-101.
71. Patrikalakis, N. M. (1993). *Surface to surface intersection*, IEEE Computer Graphics and Applications, 13 (1), 89-95.
72. Patrikalakis, N. (2002), *Sharpe interrogation for Computer Aided Design and Manufacturing*, Springer Verlag.
73. Peter Alfred, N. M. (1995). *Circular Bernstein - Bezier Polynomials*. M. Daehlen eds. Nashville, Vanderbilt University Press, 11-20.
74. Petrișor E. (2001). *Modelare geometrică algoritmică*, Editura Tehnică
75. Popoviciu, T. (1935). *Sur l'approximation des fonctions convexe d'ordre supérieur*. Cluj: Mathematica (Cluj), 10, 49-54.
76. Radzevich, S. P. (2007). A Novel Method for Mathematical Modeling of a Form-Cutting-Tool of the Optimum Design. *Applied Mathematical Modeling*, Vol. 00, 1639-2654.
77. Radzevich, S. P. (2007). A Novel Tool for Partitioning of a Sculptured Surface. *Mathematical and Computer Modeling*, Vol. 46, 1314-1331.
78. Radzevich, S. P. (2004). A Possibility of Application of Pluckner's Conoid for Mathematical Modeling of Contact of Two Smooth Regular Surfaces in the First Order of Tangency. *Mathematical and Computer Modeling*, Vol. 42, 999-1022.
79. Radzevich, S. P. (2008). CAD / CAM of Sculptured Surfaces on Multi-Axis NC Machine. The DG/K - Based Approach.
80. Radzevich, S. P. (June 2002). Computation of Optimal Workpiece Orientation for Multi-Axis NC Machining of Sculptured Part Surfaces. *ASME J. of Mechanical Design*, Vol.124, No.2, 201-212.
81. Radzevich, S. P. (2008). *Kinematic Geometry of Surface Machining*. Boca Raton, Florida: CRC Press, 508.
82. Requicha, A. (1990). *Representation for rigid solide: Theory, Methods and Systems*,. Computing Surveys, 12 (4).
83. Requicha, A. (1992). *Solid modeling and beyond*, IEEE Computer Graphics and Applications, 12 (5), 31-44.
84. Risler, I. I. (1992). *Mathematical Methods for CAD*. Cambridge University Press.
85. Rutherford, A. (1995). *Mathematical Modelling Techniques*. Dover Publications.
86. Savii G., Milenco L. (2000). *Modeling and Simulation*, Eurostampa Publishing.

87. Savii G. (1997). *Bazele proiectării asistate de calculator*, Editura Mirton, Timișoara.
88. Schatzman, M. (2002). *Numerical Analysis - a mathematical introduction*. Oxford: Clarendon Press, Oxford.
89. Sebe A. P. (2004). *Cercetări privind prelucrarea suprafețelor complexe pe mașini-unelte cu comandă numerică*, Teză de doctorat, Universitatea Politehnică București.
90. Sherbrooke E. C., Patrikalakis N. and Brisson E. (1996) An algorithm for the medial axis transform of 3d polyhedral solids. *IEEE Transactions on Visualization and Computer Graphics*, 2(1):44-61, 1996.
91. Stancu, D. (1968). Approximation of functions by a new class of linear polynomial operators. *Rev. Rom. Math. Pures Appl.*, No. 13, 1173-1194.
92. Stoer, J. B. (1976). *Introduction to Numerical Analysis*, Springer Verlag, Berlin.
93. Stoica-Laze, E. I. (2009). On the Stancu Type Linear Positive Operators of Approximations Constructed by using Beta and Gama Functions. *Studia Univ. "BABES - BOLYAI", Mathematica, Volume LIV, Number 2*.
94. van de Wetering H. (2004). *Implicit surfaces CSG Lipschitz condition scanline rendering*, ISO. Industrial Automation
95. Velimirović L., S. (2002). Modeling Conoid Surfaces. *FACTA UNIVERSITATIS Series: Architecture and Civil Engineering Vol. 2, Niš, Serbia*, 261-266.
96. Warkentin A. (2000) "Comparison between multi-point and other 5-axis tool positioning strategies", *International Journal of Machine Tools & Manufacture 40 (2000)*, Elsevier Science Ltd
97. Willis, R. (1941). *Principles of Mechanism, Designed for the Use of Students in the Universities and for Engineering Students Generally*. London: John W Parker, West Stand, Cambridge: J. & J.J. Deighton.
98. Yamaguchi, F. (1988). *Curves and Surfaces in Computer Aided Geometric Design*. Berlin, Springer-Verlag.
99. \*\*\* (1989). *Theory and Practice of Geometric Modeling*, Springer.

